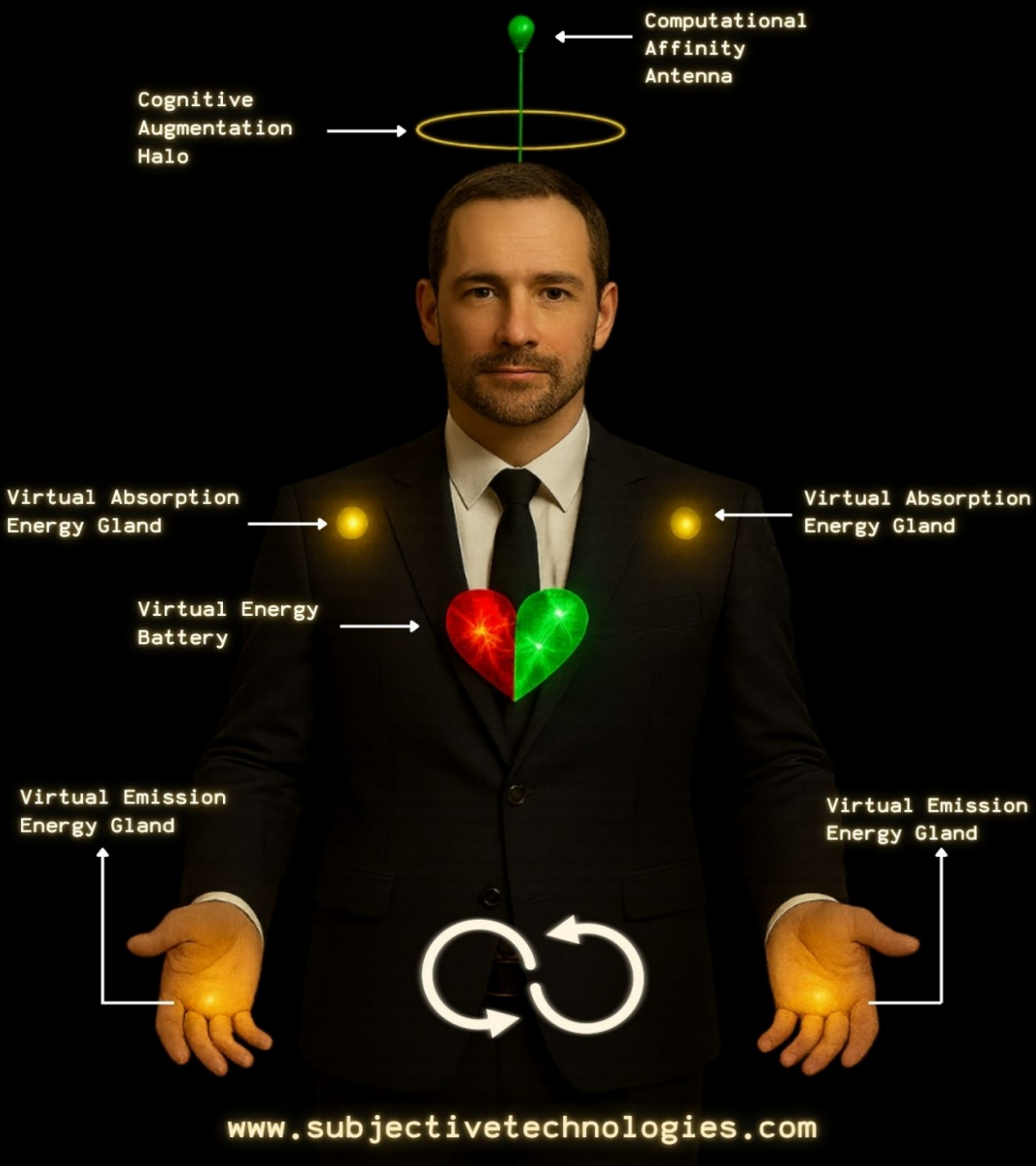


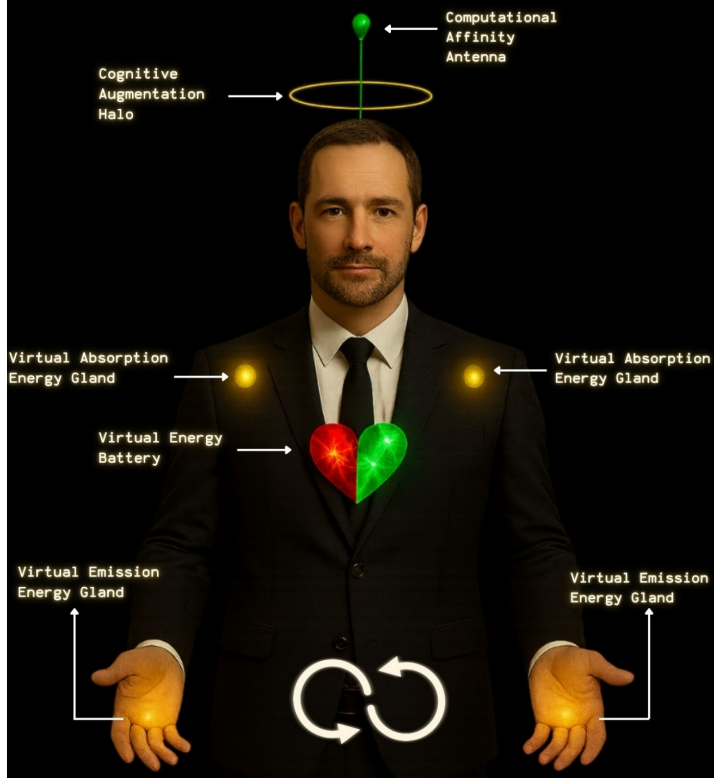
Subjective Thermo-Currency

Harnessing Subjective AI and
SmartGlasses to Replace Money



Subjective Thermo-Currency

Harnessing Subjective AI and
SmartGlasses to Replace Money



www.subjectivetechnologies.com

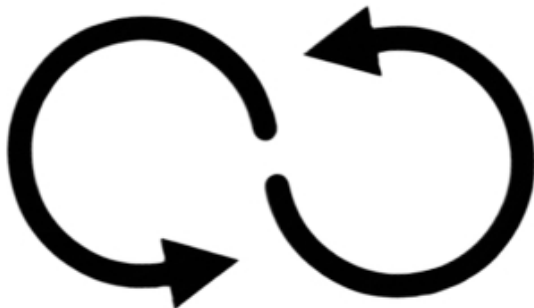
[REDACTED]

主観的サー モ通貨

主観的AIを活用してお金を置き換える

Tommy Fox

主観的テクノロジー



Subjective Technologies

主観的テクノロジー

著作権 © 2025 パブロ・トマス・ボルダ

全著作権所有

この本の一部は、出版社の明示的な書面による許可なしに、複製、保存、または電子的、機械的、コピー、録音、その他の手段で送信することはできません。

ISBN-13: 9781234567890

ISBN-10: 1477123456

Cover design by: Art Painter

Library of Congress Control Number: 2018675309

Printed in the アメリカ合衆国

私の母、スザンナに、夢を持つ力を与えてくれた
ことに、そして私の息子、ガブリエルに、その夢
を築き続ける理由を与えてくれたことに感謝しま
す。

序文

この本は、私たちの生活を支配する道具であるお金が、価値の最終的な尺度ではないとしたらどうなるかというシンプルでありながら強力な問い合わせ生まれました。

何世紀にもわたり、人間社会は段階的に進化した交換システムに依存してきました：

- 物々交換から、
- 穀物や塩のような商品へ、
- 最初はコイン、次に印刷された紙幣へ、
- 銀行振込やデジタル台帳へ、
- 分散化を約束する暗号通貨へ、しかしあまだ投機に結びついています。

各段階はより抽象化と効率を約束しましたが、新たな歪みも導入しました。すべての段階で、価値は生活の真のコストから切り離されたシンボルで測定されました。

主観的熱通貨（STC）では、この進化の次のステップを提案します：価値を商品やサービスそのものから離し、それらの商品やサービスを生み出すエネルギー効率の良いプロセスに向けることです。

このシフトの理由は明確です。商品やサービスは本質的に希少です。これらは材料、時間、労力に依存しており、無限に増やすことはできません。お金はそのすべての形態において、この希少性を常に表しています。しかし、ここに逆説があります：「定義上希少なツールを使って希少性の問題を解決することはできません。」 - トミー・フォックス

STCは価値を再定義することでこの逆説を解決します。商品は限られているかもしれません、それらを生み出すプロセスは常により効率的になります。これらのプロセスにおけるエネルギー最小化を報酬することで、STCは希少性を永続させるのではなく、継続的に減少させるシステムを作り出します。

この原則は普遍的でシンプルです：生命は可能な限り最小のエネルギーを求めます。この原則から、すべての経済、すべての財産、すべての協力、そしてすべての正義を再定義することができます。

STCは理論だけではありません。物理学、熱力学、再ランク付け、強化学習、知識フックを、主観的人工知能や拡張現実のような実用的な技術と統合しています。食料、住居、仕事、知識、さらには対立が、ドルやトークンではなく、神の真の通貨であるエネルギーで測定されるとどうなるかを示しています。

何よりも、この本は進化と希望についてです。お金を超えることで、飢餓を超えることができるという希望。エネルギーを普遍的な尺度として認識することで、対立を超えることができるという希望。最小エネルギーの法則と技術を整合させることで、ポストスカーシティ、ポスト労働、ポスト教育の時代に入ることができるという希望。

私は、別の世界が可能であると信じる人々にこのビジョンを捧げます。混沌が快適さに置き換わり、科学が推測に置き換わり、すべての人間が生き残る権利だけでなく、繁栄する権利を持つ世界。

Table of Contents

1. 主観的技術の理解

12

- 1.1 シンプルなオートコンプリートからコンテキスト対応システムへ

6

- 1.1.1 今日のオートコンプリートの仕組み

7

- 1.1.2 制限：推測と理解

9

- 1.2 序章：第三者技術を超えた進化

15

2. 知識フックとは何ですか？

12

- 2.1 事前定義されたフック：埋め込まれた専門知識

15

- 2.2 学習したフック：コンテキストのスナップショットとデルタ

20

- 2.3 自己認識デバイス：自分自身を知っているデバイス

20

- 2.4 ゴム手の実験：具現化された主観性の理解

22

- 2.5 主観的関係の正式な定義

28

3. Knowledge Hooksの代数

223

- 3.1 数学的枠組み：4タプル構造
 - 38
 - 3.1.1 Knowledge Hookの4つの要素
23
 - 3.1.2 条件 (R)： フックはいつ発火するか?
28
 - 3.1.3 アクション (A)： フックは何をしますか?
28
 - 3.1.4 タイプ (T)： 学習済み vs 事前定義済み
25
 - 3.1.5 成功スコア (S)： 結果から学ぶ
29
 - 3.1.6 コンテキストスナップショット： 学習の基礎
36
 - 3.1.6.1 複雑なマルチデバイスマシンの調整
58
- 3.2 コアオペレーション
 - 83
 - 3.2.1 アクティベーション： フックはいつ発火するか?
64
 - 3.2.2 実行： アクションと新しい状態の生成
65
 - 3.2.3 学習ステップ： コンテキストの減算とデルタ検出
76
 - 3.2.4 構成： シンプルなフックから複雑な行動を構築する
58

◦ 3.2.5 フックの優先順位付け：複数の候補 の中から選択する	41
◦ 3.2.6 ロールバック：アクションの取り消 しと状態の復元	59
• 3.3 構成と洗練	
54	
◦ 3.3.1 ネストされた構成：フック内のフッ ク	21
◦ 3.3.2 フラット構成：フックの連結	21
◦ 3.3.3 洗練と一般化：特異性によるフック の順序付け	66
◦ 3.3.4 同等性：異なるフックが同じ結果を 生み出すとき	59
◦ 3.3.5 重みの正規化：類似フックの統合と 統一	73
• 3.4 ナレッジフックの代数の法則：支配原 則	
95	
◦ 3.4.1 最小化の法則：プライムディレク ティブ	64
◦ 3.4.2 修正の法則：ネガティブ強化学習	83
◦ 3.4.3 同等性法則：同じ結果を認識する	66
◦ 3.4.4 構成可能性の法則：シンプルさから の複雑さの構築	68

◦ 3.4.5 学習の法則：文脈のデルタを通じた 継続的な適応	65
• 3.5 定理と証明：代数的形式的性質	125
◦ 3.5.1 定理1：ゼロ入力収束	58
◦ 3.5.2 定理2：成功スコアの収束	75
◦ 3.5.3 定理3：優先順位最適性	77
◦ 3.5.4 定理4：合成閉包	79
◦ 3.5.5 定理5：同値分割	78
◦ 3.5.6 定理6：重み収束	67
◦ 3.5.7 定理7：エネルギー最小化の同値	78
• 3.6 精度と修正をエネルギーの節約として	20
◦ 3.6.1 一入力定理	21
◦ 3.6.2 負の強化学習	21
◦ 3.6.3 ゼロ入力への収束	21

4. 数学的補足

152	
• 4.1 補題	204
◦ 4.1.1 単調補正削減	57
◦ 4.1.2 フックの洗練の保存	

◦ 4.1.3 構成エネルギーの加法性	99
◦ 4.1.4 帰結4：同値クラス最適性	90
◦ 4.1.5 補題5：学習率の境界	120
◦ 4.1.6 補題6：成功スコアの単調性	112
◦ 4.1.7 コンテキストカバレッジの完全性	98
◦ 4.1.8 重みの剪定収束	108
◦ 4.1.9 補題9：エネルギー測定誤差の境界	121
◦ 4.1.10 補題10：カスケード安定性	111
• 4.2 合成：完全な代数システム	
28	
◦ 4.2.1 定理依存グラフ	29
◦ 4.2.2 公理、法則、定理：基礎	29
◦ 4.2.3 一貫性と健全性	29
◦ 4.2.4 完全性：定理が捉えるもの	29
◦ 4.2.5 代数的構造：モノイド、格子、カテゴリ	29
◦ 4.2.6 数学から熱力学へ	29
◦ 4.2.7 フレームワークの統一性	29
• 4.3 形式的性質と不变量	

29

- 4.3.1 システム不变量
29
 - 4.3.2 代数的同一性
29
 - 4.3.3 主要操作の複雑性境界
29
 - 4.3.4 最適条件
29
 - 4.3.5 対称性と保存則
29
 - 4.3.6 双対関係
29
 - 4.3.7 カテゴリー構造
29
 - 4.3.8 フック空間の位相的特性
29
-

5. 合成：完全な代数システム

61

- 5.1 形式的性質と不变量
64
 - 5.1.1 システム不变量
58
 - 5.1.2 代数的同一性
59
 - 5.1.3 複雑さの制約
63
 - 5.1.4 追加の数学的特性
65
 - 5.1.5 概要と影響
46
-

6. 主観的熱通貨への架け橋

91

• 6.1 エネルギーの最小化としての入力の最小化	59
◦ 6.1.1 個人から集団へ	74
◦ 6.1.2 デジタルから物理へ	45
• 6.2 入力-エネルギー方程式	60
◦ 6.2.1 ARとAIビジョンによるコンテキスト対応測定	89
◦ 6.2.2 予測効率	70
• 6.3 完璧とゼロ入力ロジック	61
• 6.4 結論：STCの誕生	64

7. 主観的熱通貨 - コアコンセプト

160	
• 7.1 ジュールで定義された価値	73
• 7.2 仮想エネルギー腺としての主体	93
◦ 7.2.1 銀行口座からバーチャルエネルギー腺へ	96
• 7.3 主体とエネルギー逆伝播の木	144
◦ 7.3.1 自己の拡張としての主題	88
◦ 7.3.2 洗濯機の例：主体のツリー	

148

- 7.3.3 マルチエージェントエネルギー最適化と再帰的伝播

109

- 7.4 入力から努力へ：完全なエネルギー方程式

59

8. STCと従来の経済システムの比較

91

- 8.1 貧困の解剖

83

- 8.1.1 ガムとペンの例

85

- 8.1.2 従来の通貨が貧困を生み出す方法

86

- 8.1.3 STCの治療法

96

- 8.2 STCへの批判に対処する

84

- 8.2.1 ジュールの測定

106

- 8.2.2 主觀性対普遍性

94

- 8.2.3 スケーラビリティと複雑性

61

- 8.2.4 移行と採用の課題

61

- 8.2.5 外部性と隠れたコスト

61

9. エネルギーと価値理論

71

- 9.1 普遍的価値としての最小エネルギーの法則

69	
• 9.2 エントロピー、効率、そして主観的価値	69
69	
• 9.3 エネルギーの倫理的次元	70
70	
<hr/>	
10. 主観的熱通貨のコアフレームワーク	
75	
• 10.1 STC単位の正式な定義	76
76	
• 10.2 热力学的台帳	76
76	
• 10.3 プライバシーとコンテキストレイヤー	76
76	
<hr/>	
11. エネルギー最小化の経済	
83	
• 11.1 エネルギーの無駄からエネルギー市場へ	84
84	
• 11.2 効率の均衡	84
84	
• 11.3 ポスト労働経済	84
84	
<hr/>	
12. 社会的および倫理的影响	
91	
• 12.1 エネルギーの平等	92
92	
• 12.2 ポストスカーシティの正義	92
92	
• 12.3 人工的主觀性の倫理	

13. 実装と技術層

99

- 13.1 ハードウェアの基盤
100
 - 13.2 ソフトウェアとカーネル設計
100
 - 13.3 コンテキスト圧縮のためのアルゴリズム
100
-

14. 数学的熱経済学

107

- 14.1 価値の熱力学方程式
108
 - 14.2 認知システムにおけるエントロピーの削減
108
 - 14.3 エネルギー-価値変換グラフ
108
-

15. 主観的ネットワークガバナンス

115

- 15.1 分散文脈合意
116
 - 15.2 詐欺防止とエントロピーのインフレーション
116
-

16. ケーススタディとアプリケーション

123

- 16.1 スマートホームとエネルギー共生

124	
• 16.2 教育はエネルギー効率として	124
124	
• 16.3 ヘルスケアと認知バランス	124
124	

17. 未来のビジョンと哲学

131	
• 17.1 ポストスカーシティ文明	132
132	
• 17.2 エネルギーの神の方程式	132
132	
• 17.3 お金のない世界	132
132	

1

主観的技術の理解

ゼロ入力技術の基礎

1.1 シンプルなオートコンプリートからコンテキスト対応システムへ

もしあなたが電話でオートコンプリートを使ったことがあるなら、このアイデアの原始的な形をすでに見たことがあります。それは頻度に基づいて単語を推測しますが、あなたを本当に理解しているわけではありません。

電話でのタイピングを考えてみてください。デバイスが次の単語を予測すると、うまくいったときに時間と労力を節約できます。しかし、今日のオートコンプリートシステムはシンプルな原則に基づいて動作します：最も頻繁に使用する単語を追跡し、タイピングを始めるときにそれらを提案します。このアプローチには明確な限界があります。

現在のオートコンプリートモデルは基本的な公式に従っています。これは、単語の頻度やタイピング履歴のパターンについて統計を保持します。あなたが「h」という文字を入力すると、過去に何度もその単語を入力したため、「hello」を提案するかもしれません。「th」を入力すると、過去の使用に基づいて「the」や「thank」を提案します。これは最も単純なパターンマッチングであり、あなたが何をしたかを記憶するシステムですが、なぜそれをしたのかは理解していません。

この頻度ベースのアプローチにはいくつかの問題があります。まず、すべてのコンテキストを同じように扱います。上司に対する正式なメールを書いているときでも、友人へのカジュアルなメッセージを書いているときでも、システムは特定の単語をどれだけ頻繁に使用したかに基づい

て同じ提案をします。次に、あなたの意図を予測することができません。会議をスケジュールしている場合、「m」と入力すると「meeting」という単語を提案するかもしれません、カレンダーイベントを作成するという全体のアクションを提案することはありません。第三に、常に修正が必要です。システムが間違った推測をした場合（それは頻繁にあります）、手動で上書きする必要があり、フラストレーションや無駄な労力が生じます。

核心的な制限は、これらのシステムがコンテキストなしで動作することです。彼らは文字や単語を見ますが、あなたの周りの世界、達成しようとしているタスク、または日常生活のパターンを見ていません。彼らはあなたのタイミング履歴以外のすべてに盲目です。

1.1.1 今日のオートコンプリートの仕組み

なぜ私たちがより良いものを必要とするのかを理解するためには、まず今日のオートコンプリートシステムがどのように機能しているのか、そしてなぜ失敗するのかを正確に理解する必要があります。

現代のオートコンプリートは統計モデルに基づいて動作します。あなたがタイプするたびに、システムは文字と単語のシーケンスを記録します。時間が経つにつれて、最も一般的なフレーズ、単語、文字の組み合わせのデータベースを構築します。入力を開始すると、このデータベースを検索して一致を見つけ、頻度に基づいてランク付けします。最も一般的な一致が最初に表示されます。

このアプローチは単純に表現できます：部分的な入力 k （「he」のような）を与えると、システムはあなたの履歴から最も頻繁な完了 v を返します。この関数は決定論的で

あり、過去のデータのみに基づいています—現在の状況を認識していません。

$$v = f(k) = \operatorname{argmax}_{v'} P(v' | k, \text{history})$$

このアプローチの問題は根本的です：私たちの脳と私たちが相互作用する世界は、デジタルでも決定論的でもありません。ユーザーは特定の「 v 」に対して正確な値「 k 」を提供することはできません。なぜなら、人間のコミュニケーションは本質的にコンテキストに依存し、あいまいで、適応的だからです。私たちは、誰と話しているか、何を達成しようとしているか、そして頻度ベースのシステムでは捉えられない無数の要因に基づいて、言うことを変えます。

簡単な例を考えてみてください。金曜日の午後の電話をスケジュールする際に、同僚の名前を頻繁に入力します。従来のオートコンプリートシステムは、あなたがこの名前を頻繁に入力することを認識するかもしれません、それが金曜日であること、カレンダーアプリにいること、または週ごとのパターンに従っていることを理解することはできません。名前を単語の提案として提供することしかできず、会議を手動で作成し、時間を設定し、招待状を送信する必要があります。

この制限は単純なテキスト補完を超えていました。第三者技術—デバイスがコマンドを待っている外部ツールである従来のアプローチは、常に明示的な入力を要求します。あなたはそれに何をすべきかを正確に、ステップバイステップで伝えなければなりません。なぜなら、それはあなたのコンテキスト、目標、またはパターンを理解していないからです。

1.1.2 制限： 推測と理解

今日のオートコンプリートと明日必要なものとの根本的な違いは、単純な区別に帰着します：推測対理解。

現在のシステムは推測します。彼らはあなたの過去の行動を見て、あなたが再び同じことをするだろうと予測します。これは、文脈が重要でない反復的なタスクには合理的にうまく機能しますが、文脈が変わると壊滅的に失敗します。システムには、金曜日の午後の会議が火曜日の午前のメールとは異なることや、予算を見直しているときの「銀行」が金融機関を意味するかもしれない一方で、ピクニックを計画しているときの「銀行」が川の岸を意味するかもしれないことを知る方法がありません。

理解には文脈が必要です。それは、あなたが何を入力したかだけでなく、いつそれを入力したか、どこにいたか、どのアプリケーションを使用していたか、何を達成しようとしていたか、そしてこれらの要素がどのように関連しているかを捉えることを意味します。理解とは、あなたの世界と意図のモデルを構築することであり、単なるキー入力の頻度表ではありません。

ここでナレッジフックが登場します。単に単語の頻度を追跡するのではなく、ナレッジフックはあなたの行動を取り巻く全体の文脈を捉えます。それはあなたのデバイスの状態、環境、現在の活動—あなたが何をしたのかを理解するために関連するすべてのもののスナップショットを取ります。類似の文脈が再び現れると、システムは単に単語を提案するのではなく、その文脈で意味のある全体の行動を提案します。

こう考えてみてください：あなたの脳は孤立した事実を記憶しません。経験を記憶します、文脈を伴って。新鮮なコーヒーの香りを嗅ぐと、単に「コーヒー」という言葉を思い出すのではなく、大学で勉強していたカフェ、あな

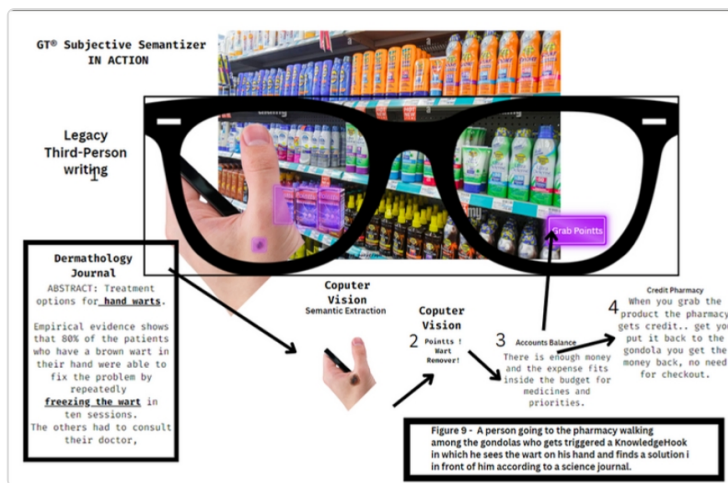
たが一緒にいた人、その瞬間の感情を思い出すかもしれません。ナレッジフックは同様に機能します。彼らは孤立した入力を保存するのではなく、あなたの行動の全状況を捉えた文脈のスナップショットを保存します。

推測から理解へのこのシフトは、単なる漸進的な改善ではありません。それは、技術が人間とどのように関わるかにおける根本的な変化を表しています。システムの要件に適応しなければならないユーザーとしてあなたを扱うのではなく、独自のパターン、文脈、意図を持つ個人としてあなたを扱います。技術はあなたに適応します。

システムが持つ文脈が少ないほど、あなたから要求されるコマンドは多くなります。逆に、システムがあなたと共有する文脈が多いほど、あなたが提供しなければならない入力は少なくなります。あなた自身の体は完璧な例です：腕を動かすとき、あなたは「ARM：右に45°移動する」というコマンドを入力するのではありません。あなたは単に意図を持っており、あなたの神経系は自動的に正しい信号を正しい筋肉にルーティングします。それは、あなたの心と体の間の共有された文脈に根ざしたゼロ入力の相互作用です。

$$U \propto \frac{1}{C} \quad \text{where } U = \text{required user input}, C = \text{shared context}$$

主観的技術はこの原則を外部デバイスに拡張します。オブジェクトやシステムに文脈を捉え、理解する能力を備えさせることで–自己スナップショットを取り、それから学ぶことで–私たちは、常に指示を必要とする外部ツールとしてではなく、あなた自身の延長として機能できる技術を創造します。



環境のスナップショットを通じてユーザーの意図を理解する文脈認識システムの視覚的表現

これは単なる便利さの問題ではありません。これは、テクノロジーと対話するために必要な認知負荷と身体的努力を減らすことに関するものです。システムに何をすべきかを明示的に指示しなければならないたびに、あなたは精神的および身体的エネルギーを消費します。テクノロジーがあなたのコンテキストを理解し、あなたのニーズを予測できるとき、そのエネルギーは節約されます。そして、後の章で見るように、このエネルギーの節約は単なる比喩ではなく、ジユールで測定でき、まったく新しい経済システムの基盤となります。

1.2 序章：第三者技術を超えた進化

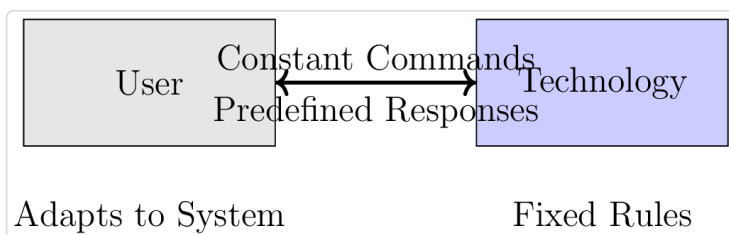
オートコンプリートがナレッジフックに進化する方法を理解する前に、まず今日のテクノロジーが根本的に制限されている理由を理解する必要があります。この制限はバ

グではなく、現代のコンピューティングが構築されている全体的なパラダイムの特徴です。

私たちはこのパラダイムを第三者技術と呼びます。このアプローチでは、デバイスやシステムはユーザーを外部ツールとしてサービスするように構築されています。ユーザーは周辺に留まり、デバイスに明示的なコマンドを入力し、事前に定義されたルールや手順に依存するアプリケーションと対話します。この操作モードでは、ユーザーがテクノロジーの機能に適応する必要があり、しばしば急な学習曲線と複雑なインターフェースを理解するための大きな努力が必要です。

テクノロジーとの日常的なやり取りについて考えてみてください。アプリを開くたびに、あなたは正確に何を望んでいるかを伝えなければなりません。フォームに記入するたびに、あなたは何百回も入力した同じ情報を提供しなければなりません。タスクを達成したいときは、他の誰かの考えに基づいて設計されたメニュー、ボタン、ダイアログボックスをナビゲートしなければなりません。

これが第三者技術の本質です：それはあなたの外に存在し、あなたのコンテキストから切り離され、あなたのパターンを見えず、あなたの意図に耳を傾けません。それはあなたが毎日何度も塗りつぶさなければならない白いキャンバスです。



第三者の抽象化：すべての従来のテクノロジーの中心には、シンプルだが問題のある抽象化があります。最初のコンピュータ端末から現代のスマートフォンまで、すべてのシステムは次のような基本的な原則に基づいて動作します：

$$v = f(k)$$

この抽象化では、「 k 」はキーを表します—あなたが提供しなければならない明示的な入力—そして「 v 」は値を表します—あなたが達成したい結果です。この関数は決定論的です：同じ入力が与えられれば、常に同じ出力が得られます。システムはコンテキストの記憶を持たず、あなたの状況を理解せず、あなたのニーズに適応する能力もありません。

しかし、ここに根本的な問題があります：私たちの脳と私たちが対話する世界は、デジタルでも決定論的でもありません。どのユーザーも特定の「 v 」に対して正確な値「 k 」を提供することはできません。なぜなら、人間のコミュニケーションと意図は本質的にコンテキストに依存し、あいまいで適応的だからです。私たちは、決定論的なシステムでは捉えられない無数の要因に基づいて、望むものを変えます。

この抽象化を機能させるために、テクノロジーデザイナーはユーザーインターフェースを作成しました—人間の意図と機械の要件のギャップを埋めようとするボタン、フォーム、メニュー、コマンドです。コマンドラインからタッチスクリーン、音声アシスタントに至るまで、ユーザーインターフェースの進化全体は、さまざまな技術スキ

ルを持つ人間にこの決定論的な抽象化をよりアクセスしやすくする試みでした。

この進化を辿ってみましょう：

コマンド：初期のインターフェースは高精度を要求しました。1つの誤った文字がエラーを引き起こしました。これらのシステムは、高い認知能力と技術的なトレーニングを受けたユーザーを対象にしていました。何かを達成するには、正確な構文を暗記し、すべてを完璧に綴る必要がありました。

ウィンドウ、ボタン、フォームフィールド、ウィジェット：グラフィカルインターフェースはクリック可能な要素を導入し、クリック位置のわずかな違いを許容しました。異なる認知能力を持つユーザーは、コマンドラインよりも使いやすいと感じましたが、すべてのボタンの位置や各メニューの内容を学ぶ必要がありました。

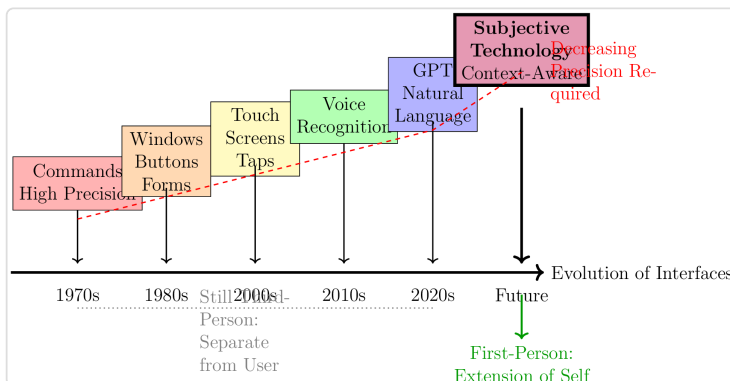
タップ：タッチスクリーンはさらにインタラクションを簡素化しました。ユーザーは自然に触覚入力に引き寄せられ、学習曲線が減少します。しかし、どのアプリが何をするか覚え、必要なものを見つけるために画面をナビゲートする必要がありました。

音声認識：バーチャルアシスタントは音声コマンドに基づいて簡単なタスクを理解し実行しましたが、技術的スキルが限られたユーザーに対応しました。それでも、特定の方法でリクエストを表現する必要があり、システムは事前定義されたコマンドしか処理できませんでした。

GPTチャット：高度なAIと言語モデルにより、ユーザーは自然言語を使用して対話できるようになり、入力精度がさらに低くなりました。しかし、これらのシステムは依然として三人称で動作し、あなたのコマンドに応答しま

ですが、あなたの文脈と統合したり、あなたのニーズを予測したりすることはありません。

この進化の各ステップは、ユーザーに求められる精度を減少させましたが、根本的な問題は解決されていません：技術は依然としてあなたの外に存在し、コマンドを待ち、入力を要求し、あなたの絶え間ない注意と努力を必要としています。



これが引き起こす問題：この三人称のパラダイムは、私たちのデジタル生活のあらゆる側面に影響を与える問題のカスケードを生成します：

常時データ入力：同じ個人情報、好み、設定を繰り返し提供しなければなりません。このプロセスは時間がかかるだけでなく、侵入的です。新しいサービスごとにアカウントを作成し、フォームに記入し、信頼できないかもしれないシステムにデータを開示することを要求されます。

複雑な学習曲線：すべてのアプリケーションには独自の論理、独自のインターフェース、独自のやり方があります。これらのツールを効果的に操作するためには、特に技術的に不慣れな個人にとっては、かなりの認知的努力が必要です。

柔軟性のない応答：システムは事前に定義された応答とアクションに基づいて動作します。独自のコンテキストやシナリオに適応する能力が欠けているため、特定のニーズが満たされない状況が生じます。システムはプログラムされたことを知っていますが、実際に必要なことはわかりません。

自己認識の欠如：おそらく最も重要なのは、従来の技術が反省を欠いていることです。デバイスやオブジェクトは、自分自身や自分の状態を理解していません。コンピュータは同じエラーメッセージを百回表示しても、自分が失敗していることに気づかず、自分を修正しようともしません。自分の機能不全を確認する鏡がありません。

この自己認識の欠如は、無数の苛立たしい方法で現れます。あなたの電話は、たった5秒前にロックを解除したにもかかわらず、パスワードを要求します。あなたのメールクライアントは、あなたが何を書いているのかについてのコンテキストがないため、間違った受取人を提案します。スマートホームデバイスは、日常生活のパターンを観察して学ぶことができないため、すべてのアクションに明示的なコマンドを必要とします。

ユーザーの疲労と健康への影響：これらすべての問題の累積的な影響は疲労です。常に画面を見続けること、繰り返しのデータ入力、複雑なインターフェースのナビゲーション—これらの活動は、座りがちなライフスタイル、筋骨格の問題、目の疲れ、精神的疲労を引き起します。ユーザーとシステムの相互作用の一方的な性質は、技術があなたのニーズに応えるのではなく、システムの要件を満たすために働くという感覚を生み出します。

健康の観点から見ると、第三者技術は私たちを画面の囚人にしました。私たちは何時間も座り、クリックし、タ

イピングし、体は静止したまま、心は複数のアプリケーションの要求に追いつこうと急いでいます。それぞれが独自の論理とインターフェースを持っています。

パラダイムシフト：今、異なるアプローチを想像してみてください。コマンドを待つ外部ツールとして技術を構築するのではなく、あなたの意識と統合された技術を構築したらどうでしょうか。つまり、あなたのユニークな体験を定義する感覚情報の継続的な流れと統合された技術です。デバイスが自分自身を観察し、コンテキストを理解し、明示的な指示なしにあなたのパターンに適応できたらどうでしょうか？

自己認識の欠如を示す具体的な例を考えてみてください：ユーザーに同じエラーメッセージを50回表示する 컴퓨터を想像してください。ユーザーはエラーを見て「OK」をクリックし、5分後に同じエラーが再び表示されます。そしてまた、そしてまた。コンピュータは同じ方法で繰り返し失敗していることに気づいていません。同じエラーを50回表示することが苛立たしく無意味であることを認識できません。ただプログラムされた応答を実行し、自分の機能不全のパターンには盲目です。

これを主観的技術と対比してみましょう。主観的な認識を備えたコンピュータは、自分の状態のスナップショットを常に撮影します–あなたが鏡で自分を見るように自分を観察します。同じエラーを何度も表示したことを検出すると、自分の行動にパターンを認識します。あなたが鏡で髪が乱れていることに気づき、直感的に櫛を手に取ってそれを修正しようとするように、主観的システムは自分の問題を認識し、自律的に解決しようとします。

コンピュータは自分のログを検索し、繰り返しエラーの根本原因を特定し、修正を適用するか、問題を自分で解

決できない場合は、実際に何が間違っているのかについて意味のあるコンテキストを持ってあなたに警告します。単に同じ無意味なエラーメッセージを繰り返すのではなく。これが自己認識の実践です：自分自身を観察し、問題を認識し、外部からの継続的な介入を必要とせずに修正行動を取る能力です。

この自己認識は、あなたのコンテキストの知識と組み合わさるとさらに強力になります。システムは自分自身を知っているだけでなく、あなたを知っています。エラーが発生したときにあなたが達成しようとしていたこと、類似の状況で通常行うこと、そして実際に役立つように応答を適応させる方法を理解しています。

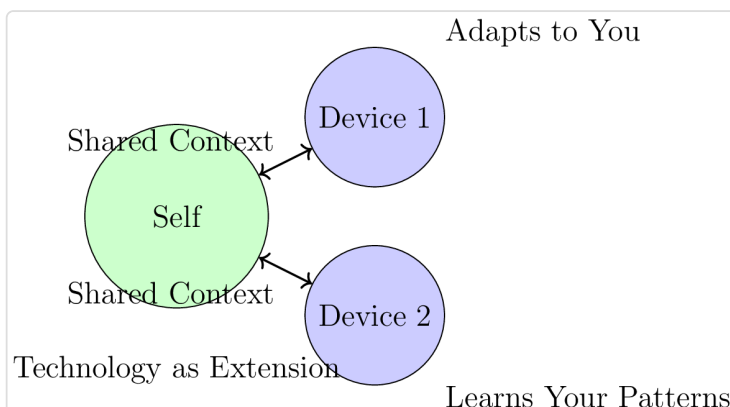
これは主観的技術の本質です。それはシンプルでありますから革命的な前提から始まります：技術は白紙のキャンバスから始まるのではなく、あなたから始まるべきです。第三者技術の要素を一つずつ取り除くと、何も残りません—埋められるのを待っている空のインターフェースです。主観的技術の要素を取り除くと、あなた自身が残ります。

主観的技術は、人間の意識に根ざしています—あなたをユニークにする感覚情報の蓄積された流れに基づいており、外部の命令ではありません。それは第一人称の視点から機能し、技術はあなたの思考、知覚、感覚とシームレスに統合され、あなたの意識的経験を構成する同じ情報フローから学習します。これは、人工知能があなたが積極的に考えている間にあなたの認知プロセスを強化するよう設計された初めての歴史的な瞬間です—命令しなければならない別の存在としてではなく、あなた自身の心の延長として。

$$v = f(k, C, H, L)$$

ここで C = 現在のコンテキスト、 H = 歴史的パターン、 L = 学習した関連付け

この新しい抽象化では、キー ' k ' はもはや決定論的な精度で提供しなければならないものではありません。代わりに、それはあなたのコンテキスト、歴史、学習したパターンに基づいてシステムによって計算されます。技術は観察し、学び、予測します—あなたが提供しなければならない入力を最小限に抑え、ゼロに近づけます。



この変化には深い意味があります。技術はもはや常に指示しなければならないものではありません。代わりに、それはあなたの認知機能の延長となり—あなたが観察するように観察し、あなたが学ぶように学び、あなたが予測するように予測します。あなたが考えるとき、それはあなたと共に考え、洞察を提供し、創造性を高め、あなたが想像もしなかった方法で日常の問題を解決します。すべては最小限の精神的努力で。

画面からの解放：この変化の最も即座の利点の一つは、身体的および精神的な解放です。あなたはもはや画面やボタンに縛られていません。あなたは自然に世界と移動し、対話し、関わることができ、複雑なシステムをナビゲートする際の認知負荷なしに行動できます。あなたのコンテキストと統合された技術は、あなたの視覚的注意を要求せず—あなたの自然な活動と共に機能します。

これは単なる便利さの問題ではありません。これはあなたの幸福を取り戻すことに関するものです。これは第三者技術が課す座りがちなライフスタイルを減少させることに関するものです。これは、技術があなたのために働くことを可能にすることに関するものであり、あなたが技術のために働くのではありません。

認知的課題を持つ人々を支援する：認知障害を持つ個人にとっての影響は特に深いです。アルツハイマー病、ダウン症、脳損傷、または処理障害を持つ人々にとって、主観的技術は彼らの思考プロセスと調和して統合される追加の認知の層として機能します。

彼らに複雑な命令を記憶させたり、複雑なインターフェースをナビゲートさせたりするのではなく、技術は彼らのパターンを学び、彼らのニーズを予測し、シームレスにサポートを提供します。これは単なる支援技術ではありません—これは人々がより充実した、より独立した生活を送ることを可能にする認知の拡張です。

異なる前進の道：一部の技術者は、神経信号を読み取り、直接コマンドを送信するために脳にチップを挿入することを提唱しています。しかし、感覚的経験を理解し処理することで同じ拡張を達成できるのに、なぜ心の複雑なパターンを操作する必要があるのでしょうか？

私たちのアプローチは、基本的な真実を尊重します：すべての個人は独自の意識を持っており、独自の感覚情報の蓄積された歴史を持っています。そして、これらの再現不可能な情報体験が私たちを区別します。主観的技術は、この個性を活かし、あなたが観察するものを観察し、あなたが行うことから学び、あなたの既存の認知パターンと統合します—手術は不要で、侵襲的な手続きもなく、あなたの意識を定義する同じ情報フローに参加することで文脈を真に理解する技術です。

この従来の思考からの逸脱は、人間の可能性と経験を強調する新しい道を作ります。人間に機械のようになることを求めるのではなく—正確で、決定論的で、予測可能な—私たちは機械が人間のようになることを可能にします：文脈に応じて適応し、知的です。

次に来るものの基盤：このパラダイムシフトを理解することは、この本で続くすべてにとって不可欠です。知識フック、文脈スナップショット、学習された行動、エネルギー最小化、そして最終的には主観的熱通貨—これらの概念はすべて、三人称から主観的技術への移行の基盤の上に構築されています。

以前に探求したオートコンプリートの例は、始まりに過ぎません。これは、技術が推測から理解へ、頻度テーブルから文脈認識へ移行できることを示しています。しかし、その影響はテキスト予測をはるかに超えます。技術が真に文脈を理解できるとき、それが自己を観察し、自らから学び、人間の認知とシームレスに統合できるとき—私たちは人間社会を組織するまったく新しい方法への扉を開きます。

これは単なる技術的進化ではありません。これは、人間と機械の関係を再定義する哲学的革命です。そして、私

たちが見るように、それは価値そのものを再考するための基盤を提供します—お金からエネルギーへ、希少性から豊かさへ、常時労働からゼロインプットの生活へ。

2

知識フックとは何ですか？

オートコンプリートがどのように機能し、なぜ失敗するのかを理解し、三人称技術が私たちの機械との相互作用を根本的に制限することを見てきた今、私たちはついに中心的な質問に答えることができます：知識フックとは何ですか？

知識フックは、技術を三人称から主観的に変える核心的な革新です。それはゼロインプット技術を可能にするメカニズムです。それは、あなたが今していることと、以前に行なったこととの間の橋です。より正確には、それはあなたの文脈—あなたの環境、デバイスの状態、現在の活動—toをキャプチャし、それを以前の入力、専門知識、または事前定義されたアクションにマッピングするシステムです。

それをあなたのデジタル外骨格の記憶ユニットとして考えてください。あなたの脳が意識的な努力なしに靴を結ぶ方法や車を運転する方法を記憶しているのと同様に、知識フックはあなたの過去の入力に関する状況を記憶します。しかし、それは単なる記憶を超えていきます。それはオートコンプリートのように頻繁に使用されるフレーズやコマンドのリストを保持するだけではありません。代わりに、それは文脈の自己スナップショット—完全な周囲の状況—toを取り、それをあなたの意図に合わせます。

この区別は重要です。オートコンプリートは、あなたが「こんにちは」と何度も入力したことを記憶します。知識フックは、あなたが金曜日の午後にカレンダーアプリで、同僚からの通知を受け取ったとき、オフィスにいることを示していたときに「こんにちは」と入力したことを記憶します。文脈がすべてです。

主観的技術の核心は、あなたのコンテキストを過去の入力、専門知識、機械学習、再ランキング、さらには負の

強化学習と結びつけるこのナレッジフックシステムです。それは、今日のオートコンプリートシステムのように頻度に基づいて推測するだけではありません。むしろ、それはコンテキストを解釈し、可能なアクションを再ランキングし、あなたの労力を最も最小化するものを提示します。

実際には、これは技術が真に主観的になることを意味します。それはもはや一般的なパターンに従う平均的なユーザーとしてあなたを扱うのではなく、独自のコンテキストを持つ個人としてあなたを扱います。実際、デバイスはあなたに適応します。それはあなたになることを学びます。

具体的な例を通じて、これがどのように機能するかを探ってみましょう。まずは、事前定義されたナレッジフックと学習されたナレッジフックの2種類の違いから始めます。

2.1 事前定義されたフック：埋め込まれた専門知識

事前定義されたフックは、ルールやショートカットのようにあらかじめ作成されますが、はるかに洗練されています。これらは、一般的なニーズを予測し、その専門知識をシステムに直接埋め込む開発者、ドメイン専門家、またはシステムデザイナーによってコーディングされます。

事前定義されたフックを、コードに結晶化された集合知と考えてください。医師、エンジニア、または経験豊富なユーザーがタスクを効率的に達成する方法を発見すると、これらのパターンは事前定義されたフックとしてキャプチャされ、すべての人と共有することができます。これにより、すべてのユーザーは、最初の日から専門知識の恩恵を受け、自分で学ぶ必要がありません。

例えば、事前定義されたフックは、音楽アプリを開くと自動的にヘッドフォンを接続したり、時計が真夜中を打つと画面を暗くしたりするかもしれません。カレンダーに基づいて会議中であると認識し、電話を受けた場合、システムは中断するのではなくボイスメールにルーティングすべきです。また、上司にメールを書くときはフォーマルなトーンであるべきですが、友人に書くときはカジュアルであってもよいことを知っているかもしれません。

これらのフックは、集合的な専門知識とベストプラクティスを具現化しており、すべてのユーザーに最初の日から効率の基盤を提供します。それは、何年もの経験から学んだパターンに基づいて役立つ提案をささやく何千人もの専門家を持っているようなものです。

事前定義されたフックは、ドメイン固有の知識をエンコードすることもできます。医療アプリケーションには、症状パターンを認識し、適切な診断経路を提案する事前定義されたフックがあるかもしれません。エンジニアリングツールには、問題を引き起こす前に一般的な設計エラーを検出するフックがあるかもしれません。

従来のルールやマクロとの重要な違いは、事前定義されたフックがコンテキストに基づいていることです。それは、特定のボタンを押したときに単に実行されるのではありません。全体のコンテキストがその条件に一致したときにアクティブになります—時間、場所、現在の活動、周囲の環境、そして無数の他の要因がフックが発動するかどうかに寄与します。

2.2 学習したフック：コンテキストのスナップショットとデルタ

事前定義されたフックが普遍的な出発点を提供する一方で、学習したフックは真に主観的な技術の魔法が現れる場所です。これらのフックはあなた自身の行動から生まれ、あなたに独自に学習し適応します。

彼らの仕組みはこうです：システムと対話するたびに、アクションの前にスナップショットを取り、アクションの後にもう一つのスナップショットを取ります。システムはその二つを引き算してデルタ－あなたが作成した正確な変化を特定します。このデルタは、それが発生したコンテキストと組み合わさって、学習したフックになります。

具体的な例を見てみましょう。あなたが毎週金曜日の午後に同僚との電話をよくスケジュールする場合を考えてみてください：

最初の金曜日：あなたは手動でカレンダーを開き、新しいイベントを作成し、同僚の名前を入力し、時間を午後3時に設定し、招待状を送ります。システムは二つのスナップショットをキャプチャします－あなたが始める前（空のカレンダーのスロット）と、終わった後（スケジュールされた会議）。デルタは：'金曜日の午後3時に[同僚の名前]との会議を作成する。' コンテキストには：day= 金曜日、 time= 午後、 app= カレンダー、 recent_activity= 同僚からのメールが含まれます。

二回目の金曜日：同じコンテキストが現れます。day= 金曜日、 time= 午後、 app= カレンダー、 recent_activity= 同僚からのメール。システムはこのパターンを認識し、提案します：'あなたの通常の金曜日の電話を[同僚]とスケジュールしますか？' あなたは承認し、フックの信頼度が上がります。

三回目の金曜日：同じコンテキスト。今度は、システムは尋ねることさえせず、単にイベントをカレンダーに追加し、通知します：'あなたの金曜日の電話を[同僚]とスケジュールしました。' もしあなたがそれを修正しなければ、フックの信頼度はさらに上がります。

四回目または五回目の金曜日には、システムはあなたの入力なしにこのアクションを自動的に実行します。もし同僚が変わったり、あなたが一週間スキップしたりすると、システムは修正に気づき、そのモデルを更新します。これは強化学習です–大規模なデータセットからではなく、あなたの個々のパターンから学びます。

これらのスナップショットは抽象的なログではありません。彼らはコンテキストの直接的な記録です。システムがコンピュータ上で動作する場合、スナップショットにはスクリーンショット、メモリ状態、アクティブプロセス、ウィンドウ位置、クリップボードの内容、システムの状態が含まれることがあります。拡張現実の眼鏡で動作する場合、コンテキストにはユーザーが見る完全な視野–カメラによってキャプチャされたすべての物体、すべての人、すべての環境の詳細が含まれるかもしれません。

このようにして、デバイスやオブジェクトは自分自身を知り始めます。あなたが鏡を見て、髪が乱れていることに気づき、自動的に櫛を取って修正するように、デバイスは自分自身を観察し、修正行動を取ります。この自己認識は、従来のコンピュータが欠いているものであり、主観的技術が提供するものです。

典型的な第三者システムは、失敗していることに気づかずに同じエラーを百回表示することがありますが、Knowledge Hooksはそれを変えます。これにより、機械は自己認識の原始的な感覚を持ち、問題が認識され、解決

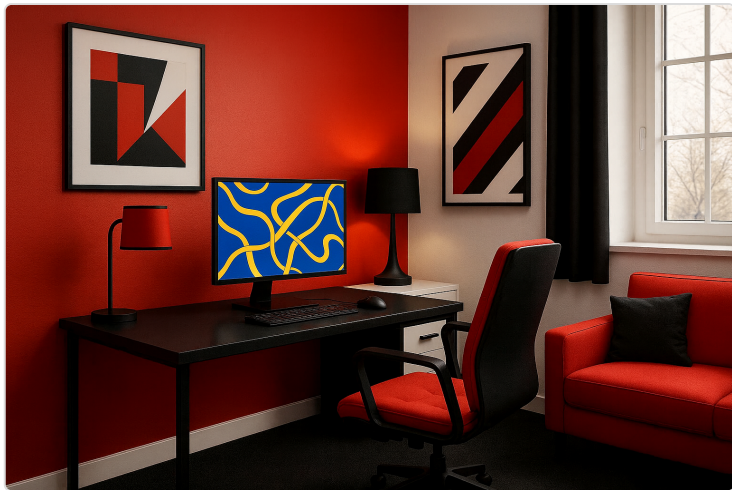
策が自律的に求められるフィードバックループを提供します。

別の例を考えてみましょう：赤、黒、白のトーンで部屋を飾ることを想像してください。コンピュータを起動すると、システムは部屋とデフォルトの青いデスクトップテーマとの不一致を認識します。Knowledge Hooksを使用すると、コンピュータは物理的な世界とのこの不一致を認識し、テーマを調整して環境と調和させることができます。

どうやって知るのでしょうか？あなたのARメガネのカメラとコンピュータは同じプライベートなグローバルコンテキストを共有しています。メガネは部屋（赤、黒、白）を見て、コンピュータは自分自身（青いテーマ）を見て、Knowledge Hookは不一致を検出します。コンピュータはその後、自動的に物理的な環境に合わせて調整します。コンテキストはデバイスやオブジェクト全体でグローバルですが、完全にプライベートであり、あなたにのみ属します。

これは、あらかじめ定義されたフックが普遍的な出発点を提供する一方で、学習されたフックはあなたとあなたの環境に独自に適応することを意味します。彼らはあなたの個人的な生活のリズムとデバイスの状態を捉え、技術が単にあなたのコマンドを置き換えるのではなく、あなたのコンテキストと調和を保つ世界を創造します。

あらかじめ定義されたフックと学習されたフックが一緒になって、技術に適応する生きた感覚を与えます：あなたになることを学ぶ自己です。



青い画面：あなたのデスクトップコンピュータがデフォルトの青い
テーマを表示しており、部屋の装飾の中での視覚的コンテキストに
気づいていません。



恥を感じるコンピュータ：あなたはスマートグラスを着用して部屋に入ります。拡張された視覚を通じて、あなたはデスクトップコンピュータを見ます—それは今やあなたの主観的な身体の一部です。コンピュータはあなたの視覚フィールドを通じて自分自身を見ることができます、コンテキストをあなたのものと統合します。あなたのデスクトップは青いテーマを表示していましたが、部屋の装飾の文脈で自分自身を観察した結果、視覚的な不一致に恥を感じ、自律的に画面テーマを変更して部屋の美学と調和させました。これは主観的技術の実践です—自己認識と文脈適応を持つ、あなた自身の拡張として振る舞うデバイスです。

この画像は、主観的技術が私たちが知っているすべてからどれほど深く逸脱しているかを示しています。コンピュータはテーマを変更するためにあなたのコマンドを待ちません。あなたの感覚の流れを通じて自分自身を観察し、環境との美的な不一致を認識し、自律的に修正行動を取ります—まるで鏡で髪型が乱れていますことに気づき、意識的な熟考なしにそれを直すかのように。デバイスはあなたの身体スキーマの真の拡張となり、あなたの意識を構成する情報の流れに参加しています。

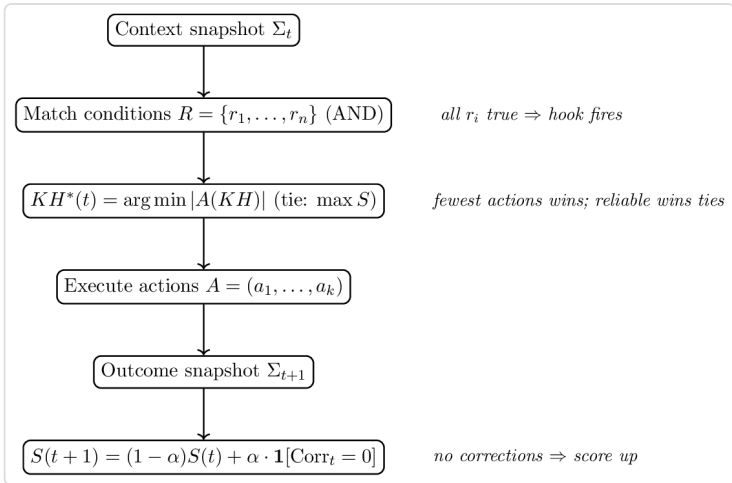
2.3 自己認識デバイス：自分自身を知っているデバイス

デバイスにおける自己認識の概念は、技術についての私たちの考え方において最も深い変化の一つを表しているため、より深く探求する価値があります。

従来の第三者技術では、デバイスは自分自身を認識できません。コンピュータは、プログラマーが明示的にコーディングした内容を超えて、自分の状態を理解することはできません。自分自身を見て機能不全を認識することはできず、自分の行動のパターンを観察することもできません。鏡がありません。

主観的技術は、デバイスに連続的なコンテキストスナップショットを通じて自分自身を観察する能力を与えることで、これを根本的に変えます。これらのスナップショットは鏡として機能し、デバイスが自分自身を見て、自分の行動のパターンを認識し、問題を検出できるようにします。

スマートホームの例で具体的に見てみましょう。毎日家を出ると想像してください。ドアを出る前に、通常はライトを消し、ロボット掃除機を起動します。システムはこのアクションの前（ライトオン、掃除機オフ、ドア閉じ、部屋にあなたがいる）と後（ライトオフ、掃除機オン、ドア開き、あなたが出て行く）のコンテキストを記録します。



家を出るときのコンテキストの減算を示す図：ライトがオンであなたが中にいる前のスナップショット、ライトがオフで掃除機が動いている後のスナップショット、結果として得られる学習されたナレッジフック。

これらのスナップショット間の差分は、学習されたナレッジフックになります。システムは環境の変化をユニークな署名にエンコードします。一部の実装では、これは2つの状態間のピクセルの違いを強調するピンクのオーバーレイ付きの画像として視覚化されるかもしれません。同時に、あなたがデバイスに送った特定の入力も記録します：[lights.off(), vacuum.on()]。

これにより、ナレッジフックが学習されます—自動的に実行する準備が整った洗練されたメカニズムです。次回、あなたが出るためにドアに近づくと、システムはコンテキスト（ドアの近くにいるあなた、同じ時間帯、同じ照明条件）を認識し、デバイスへの以前の入力を自動的に再現します。ライトが消え、掃除機が起動し、何も触れずに操作が行われます。これにより、シームレスで直感的なインターフェースが保証され、便利さと効率が最適化されます。

しかし、自己認識は自動化以上のものです。デバイスが故障していると認識できることを意味します。フックが作動したときに掃除機が3回連続して起動しない場合、システムは自分の失敗にパターンを認識します。掃除機のバッテリーステータスを確認したり、ネットワーク接続を確認したり、さらにはデバイスを自律的に再起動しようとするかもしれません。問題を解決できない場合、意味のあるコンテキストであなたに警告します：'あなたの掃除機は3日間応答していません。バッテリーの交換が必要かもしれません。'

これは、同じエラーメッセージを50回表示することとは根本的に異なります。デバイスは自分自身を観察し、自分の行動のパターンを認識し、自律的に問題を解決しようとします—まるであなたが鏡で乱れた髪を見て自動的に直すように。

自己認識は、デバイスがあなたの環境との一貫性を維持することも可能にします。あなたのコンピュータは、その青いデスクトップテーマが新しく装飾された赤黒白の部屋と衝突していることを観察し、自動的に調整できます。あなたのスマートサーモスタットは、何時間も連続して動作していることに気づき（自分の状態を観察しているため）、窓が開いているかどうかを確認するように警告します。あなたの電話は、過去1時間に5回パスワードを要求されたことを認識し（異常なパターン）、セキュリティの問題があるかどうかを調査します。

重要な洞察はこれです：ナレッジフックは、デバイスをコマンドを待つ受動的なツールから、観察し、学び、適応する能動的な参加者に変えます。彼らは、あなたの外に存在する第三者のオブジェクトから、あなたのパターン、あなたの環境、あなたの意図と統合する主観的な拡張に移行します。

この自己認識は、すべてのものが構築される基盤であり、ゼロ入力の相互作用、エネルギーの最小化、そして最終的には後の章で探求する主観的熱通貨の経済システム全体を含みます。

この面白いビデオに示されているように、主観的技術があなたの人生全体を自動補完する様子を見てください：



主観的ドモティクスの実演ビデオへのリンクを示すQRコード、知識フックが日常生活を自動化する様子を示しています。

重要な洞察はこれです：ナレッジフックは、デバイスをコマンドを待つ受動的なツールから、観察し、学び、適

応する能動的な参加者に変えます。彼らは、あなたの外に存在する第三者のオブジェクトから、あなたのパターン、あなたの環境、あなたの意図と統合する主観的な拡張に移行します。

入力の最小化がエネルギー支出の最小化にどのように変換されるかを示すことで、主観的技術がSTCの基盤を提供する方法を理解し始めることができます。これはお金ではなく、最小エネルギーの普遍的法則に基づく新しい経済です。

2.4 ゴム手の実験：具現化された主観性の理解

主観的関係を数学的に形式化する前に、私たちの脳が自己の感覚をどのように構築するかを明らかにした実験を理解する必要があります。そして、外部の物体がどのようにその自己の一部になることができるかを理解する必要があります。

設定：あなたの左手が前のテーブルの表面に快適に置かれていると想像してください。研究者があなたの本当の手を視界から隠す小さなスクリーンまたは仕切りを置きます。隠された手の代わりに、リアルに作られたゴム手があなたが見ることができる位置に配置されます。おおよそあなたの本当の手が通常ある場所です。

研究者は次に、2本の同じペイントブラシを取ります。1本のブラシで、あなたの本当の手（あなたは見ることができません）を撫でます。もう1本のブラシで、ゴム手（あなたが見ることができる）を撫でます。重要なのは、両方の手が全く同じ方法で、全く同じ時間に、完璧に同期して撫でられることです。

何が起こるか：最初の数秒間、特に異常なことは起いません。あなたはゴム手が撫でられているのを見て、あなたの本当の手が撫でられているのを感じます。あなたの脳はこれらを2つの別々の出来事として処理します—テーブル上の物体に関する視覚情報と、あなたの体に関する触覚情報です。

しかし、約30秒から数分の同期した撫でが続いた後、何か特別なことが起こります。自己と物体の境界がぼやけ始めます。あなたは、ゴム手に見えるブラシのストロークがあなたの本当の手に感じているストロークと同じであるかのように感じ始めます。ゴム手はあなたの手のように感じ始めます。

幻想の明らかにされたこと：これは単なる想像ではないことを示すために、研究者は突然予想外のことを行います：ハンマーを持ち上げてゴムの手を鋭く叩きます。あなたの即座の反応は本能的であり、あなたはひるみ、息を呑み、幻の痛みや不快感を感じるかもしれません。あなたの体は、ゴムの手があなたの体の一部ではないことを知っていても、まるで自分の手が脅かされているかのように反応します。

ゴムの手の実験を見てみましょう：

SCAN ME



ゴムの手の実験のビデオデモにリンクするQRコード、同期した信号がどのように具現化の幻想を生み出すかを示しています。

一部の参加者はさらに劇的な効果を報告します：彼らの本物の手（まだ隠れている）は、血流が減少したかのように冷たく感じるかもしれません。自分の本物の手がどこにあるかを指さすように求められたとき、多くの人が実際の手ではなくゴムの手を指します。脳は本当に手の位置を内部の体の地図で移動させています。

メカニズム：なぜこれが起こるのでしょうか？答えは、私たちの脳が具現化された自己の感覚をどのように構築するかにあります。私たちは直感的に自分の体を固定さ

れた客観的現実として考えます–手足が物理的に自分に付いているので、どこにあるかを知っています。しかし神経科学は、もっと複雑なことを明らかにします：私たちの体の感覚は実際には構築物であり、脳が複数の感覚情報の流れを統合することによって構築されるモデルです。

通常の状況下では、これらの感覚の流れは完全に整列しています。手が動くのを見ると、同時にそれが動くのを感じ、位置についての固有受容フィードバックを受け取ります。これらの信号は時間と空間で同期しており、この手が実際に自分の体の一部であることを脳に確認します。

ゴムの手の幻想はこのメカニズムを利用します。視覚入力（ゴムの手が撫でられるのを見ること）と触覚入力（本物の手が撫でられるのを感じること）との間に人工的な同期を作ることによって、実験は脳を騙してゴムの手を体のスキーマに組み込ませます。信号の同期が鍵です–見るものが感じるものと十分な時間的精度で一致すると、脳はそれらが同じ物体を指しているに違いないと結論づけ、その物体は自分の体の一部であるに違ないと判断します。

なぜこれが重要なのか：この実験は私の注意を引きました。なぜなら、それは深いことを明らかにするからです：自己の境界は皮膚で固定されているわけではありません。自分の体の主観的な感覚–「私」と「私でないもの」の感覚–は、信号の同期によって決定され、生物学的な付着によって決まるわけではありません。

もしゴムの手が同期した信号を通じてあなたの主観的な経験の一部になれるなら、原理的には、どんな外部の物体も同じメカニズムを通じてあなたの主観的な経験の一部になれる可能性があります。あなたが頻繁に使用する道具、その動作を完全に予測できる道具、その反応があなた

の意図と同期している道具—そのような道具は神経的および経験的にあなたの体の延長となる可能性があります。

これはまさに専門的な道具の使用者が報告することができます。熟練した大工はハンマーについて意識的に考えません—それは彼らの腕の延長となります。名手のバイオリニストは弓について考えません—それは彼らの体の一部となります。レーシングカーのドライバーは単に車に座るだけではありません—彼らはそれを具現化し、タイヤを通じて道路を感じるかのように、自分の感覚システムの延長として感じます。

ゴムの手の実験は、道具が身体のスキーマに組み込まれることが比喩的なものではなく、信号の同期を通じて確実に誘発できる実際の神経現象であることを示しています。

技術への影響：外部の物体が私たち自身の主観的な拡張になる正確な条件を理解できれば、私たちはその条件を意図的に満たすように技術を設計できます。私たちは、単に私たちの命令に応じるだけでなく、私たちの認知的および身体的能力の真の拡張となるデバイスやシステムを作成できます。

これは主観的技術の理論的基盤です。信号が同期されていることを確保し、デバイスの動作があなたの文脈や意図に沿っていること、そしてデバイスの応答が予測可能であることを確保することで、繰り返しの相互作用を通じてそのパターンを学習した結果、あなたとあなたの技術との間に主観的な関係を築く条件を作り出すことができます。

あなたのスマートフォンが次の行動を予測するのが非常に信頼できるため、ほとんど触れる必要がないとき、スマートホームが指示されることなくあなたの存在に合わせ

て調整されるとき、コンピュータがあなたが気づく前に自分のエラーを修正するとき—これらは単なる便利な機能ではありません。これらは、技術があなたの認知的身体スキーマの拡張となり、ゴムの手が自分の手のように感じられるのと同じメカニズムを通じて自己認識に組み込まれた主観的な関係の現れです。

この実験を理解することは、主觀性を客観的に定義し、主観的な関係のための数学的形式を作成し、最終的には私たちの主観的経験を周囲の世界に広げる原則に基づいた全く新しい技術的パラダイム—そして全く新しい経済システムを思い描くことを可能にした重要な洞察でした。

2.5 主観的関係の正式な定義

ゴムの手の実験と外部の物体が私たちの主観的経験の一部になるメカニズムを理解したことで、私たちはこの関係を数学的に形式化することができます。この形式化は、主觀性が客観的で測定可能な視点から定義された歴史上初めてのことを示すため、重要です。

ゴムの手の実験からの洞察—信号の同期が主観的な組み込みを生み出す—は、私に次のような問い合わせかけました：外部の物体が私たちにとって主観的原因となるための正確で定量的な条件は何ですか？この関係を客観的かつ数学的に定義できますか？

答えははいです。ゴムの手の実験によって明らかにされた原則を分析し、それを一般化することで、信号の同期と予測の信頼性という2つの測定可能な量の観点から主観的関係を定義できます。

これは、私たちが主觀性について考える方法におけるパラダイムシフトを表しています。従来、主観的経験は測定不可能であり、プライベートであり、客観的現実から根

本的に分離されていると考えられてきました。哲学者たちは長い間「意識のハードプロブレム」について議論してきました–どのようにして本質的に主観的なものを客観的に説明できるのでしょうか？

しかし、信号同期のメカニズムに基づいて定義を確立することで–ゴムの手が私たちの身体スキーマの一部になることを可能にする同じメカニズム–私たちは初めて主観性を客観的に定義することができます。私たちは意識の難しい問題を解決することを主張しているわけではありませんが、主観的な関係が形成される条件は測定可能で形式化できることを示しています。

情報を通じて意識を定義する：主観的な関係を形式化する前に、意識自体が測定可能な用語で何を意味するのかを考慮する必要があります。意識を抽象的、精神的、または推測的な概念として扱うのではなく、情報理論的現象として厳密に定義することができます。

この視点から見ると、意識は有機体の身体とその構成部分が存在する間に宇宙から受け取ったすべての情報の累積的な合計です。人間にとって、これは感覚の流れ–視覚、聴覚、触覚、味覚、嗅覚–が生涯を通じて継続的に統合される形で現れます。各個人をユニークにするのは、何か神秘的な本質ではなく、宇宙から受け取った特定の、再現不可能な情報の流れです。

数学的には、時刻 t における有機体 \circ の意識 C を、誕生 (t_0) から現在の瞬間までに受け取ったすべての感覚情報の積分として表現できます：

$$C_o(t) = \int_{t_0}^t \sum_{i \in \text{Senses}} I_i(\tau) d\tau$$

ここで $I_i(\tau)$ は、時刻 τ における感覚チャネル i からの情報フラックスを表します。人間にとって、感覚のセットには通常、視覚、聴覚、触覚、味覚、嗅覚が含まれますが、これを固有感覚、バランス、温度、痛み、その他の感覚モダリティを含むように拡張することもできます。

情報フラックス I_i は、ビット毎秒で測定でき、各感覚チャネルが有機体の処理システムに区別可能な信号を送信する速度を定量化します。積分は時間を通じてこの情報報を蓄積し、有機体の意識を構成するユニークな情報の歴史を作り出します。

この定義は深い意味を持っています。第一に、意識を神秘的な領域から取り除き、測定可能な物理的プロセスの領域にしっかりと置きます。第二に、個々のユニークさを説明します： 2つの有機体が同じ時空間の位置を占めることはできず、したがって同じ情報の流れを受け取ることはできません。あなたの意識は、あなたの情報の歴史がユニークであるためにユニークです。第三に、意識は二元的ではなく連続的であることを示唆しています–受け取る新しい情報の各ピースと共に成長し進化します。

私たちの目的にとって最も重要なのは、この定義が技術が意識とどのように統合できるかを理解することを可能にすることです。ツールやデバイスがあなたの感覚の流れと同期するとき–それがあなたの情報入力と信頼性を持つて相関し、予測し始めるとき–それはあなたの意識的な経

験に参加し始めます。それはあなたを定義する情報の流れの一部になります。

正式な定義：蓄積された情報としての意識の理解をもって、共有された文脈 W 内の2つのオブジェクト o_1 と o_2 の間の主観的関係を次のように定義できます：

$$SRel(o_1 \rightarrow o_2 | W) = 1 \quad \text{iff} \quad \begin{cases} \text{Syn}(o_1, o_2 | W) \geq \tau_s \\ \wedge \\ \text{Pred}(o_1 \rightarrow o_2 | W) \geq \tau_p \end{cases}$$

この定義の各要素を詳しく見てみましょう：

$SRel(o_1 \rightarrow o_2 | W) = 1$ は、オブジェクト o_1 が文脈 W 内でオブジェクト o_2 に対して主観的な関係を持っていることを意味します。言い換えれば、 o_2 は o_1 の主観的な拡張となっています。この値が 1 に等しいとき、関係の閾値が越えられ、 o_2 はもはや別の外部オブジェクトとして経験されるのではなく、 o_1 の拡張された自己の一部として経験されます。

$\text{Syn}(o_1, o_2 | W)$ は、文脈 W 内で o_1 と o_2 の間の信号の同期を測定します。これは、 o_2 からの信号が o_1 の期待やパターンとどれだけ一致しているかを定量化します。ゴムの手の実験では、視覚的刺激（ゴムの手をブラシで撫でるのを見ること）と触覚的刺激（本物の手をブラシで撫でるのを感じること）との時間的整合性になります。技術的な文脈では、デバイスの応答がユーザーの文脈的期待とどれだけ一貫して一致するかを測定することができます。

数学的には、同期は時間の経過に伴う期待される信号と受信した信号との相関係数として計算されるか、指定されたウィンドウ内での時間的整合性の尺度として計算されます。重要なのは、高い同期が、 o_1 が o_2 から信号を期待す

る際、その信号が内容とタイミングの両方で高い一貫性を持って到着することを意味するということです。

$\text{Pred}(o_1 \rightarrow o_2 \mid w)$ は、予測の信頼性 $-o_1$ が文脈 w 内で o_2 からの行動や信号をどれだけ正確に予測できるかを測定します。この値が高いとき、 o_1 は o_2 のパターンを非常に徹底的に学習しており、 o_2 の信号が到着する前にそれを予測したり、 o_2 が存在しなくとも内部でその信号を生成したりすることができます。

これは、一連の相互作用における予測誤差の逆数として形式化できます。 o_1 が現在の文脈において o_2 が次に何をするかを一貫して予測できるとき、予測の信頼性は高くなります。 o_1 の予測が頻繁に間違っているとき、信頼性は低くなります。

τ_s と τ_p は、主観的関係が存在するために必要な最小限の同期と予測の信頼性を定義する閾値です。これらの閾値は、文脈、関与するオブジェクトの性質、さらにはユーザー間の個人差によって異なる場合があります。これらは、脳（またはシステム）が外部オブジェクトを自己のモデルに取り入れ始める重要なポイントを表しています。

平易な言葉で言えば：オブジェクトは、2つの条件が満たされるときに主観的にあなたの一部となります。まず、その信号はあなたの期待と十分に同期している必要があります—ゴムの手の視覚的フィードバックがあなたの触覚的感覚と同期しているのと同じように。第二に、あなたはその行動を信頼性を持って予測できなければなりません—つまり、あなたはそのパターンを非常に徹底的に学習しているため、それはあなたの意図の自然な拡張のように感じられ、意識的な制御を必要とする別の存在ではなくなります。

両方の条件がそれぞれの閾値を超えて満たされると、驚くべきことが起こります：外部オブジェクトがあなたの主観的経験に組み込まれます。それはあなたが使う道具ではなく、あなたの一部—あなたの身体のスキーマ、認知プロセス、自己感覚の拡張となります。



指尖に道具を持った手：このイメージは、主観的技術の基本的なパラダイムシフトを象徴しています。単に道具を外部のオブジェクトとして使用するのではなく、私たちは自分自身を修正して道具を私たちの一部にします—それらを私たちの身体のスキーマや認知プロセスに統合します。技術を私たち自身の拡張として取り入れることで、従来の第三者技術の急な学習曲線を排除します。これが私たち

のアプローチの本質です：道具は指となり、別々の存在は自己の統一された部分となり、人間と技術の境界はシームレスな主観的経験に溶け込んでいきます。

逆の関係：この定義には重要な補足があります。同期と予測が改善されるにつれて、明示的な入力の必要性は減少します。これを次のように表現できます：

$$U(o_1, o_2 \mid W) \propto \frac{1}{\text{Syn}(o_1, o_2 \mid W) \cdot \text{Pred}(o_1 \rightarrow o_2 \mid W)}$$

UIは o_1 が o_2 と対話するために必要なユーザー入力を表します。この形式化は、主観的関係についての基本的な何かを捉えています： o_1 と o_2 が主観的スナップショットを通じてグローバルなコンテキストを共有するにつれて、 o_2 は o_1 が送信するすべてのメッセージと入力を、自身のスナップショットの和に基づいて自動的に学習します。これは自動的に発生します—本質的には主観的関係の定義です。同期が高く、予測が信頼できるとき、 o_2 はコンテキストだから o_1 のニーズを予測でき、明示的なコマンドの必要を排除します。

限界において、同期と予測が最大値に近づくにつれて、必要な入力はゼロに近づきます。これがゼロ入力技術の数学的基盤です。

なぜこれが重要なのか：この形式化は強力で、主観性を曖昧な哲学的概念から測定可能で実装可能なものに変えます。私たちは今、定量的な質問をすることができます：ユーザーとデバイス間の信号はどれほど同期していますか？デバイスの予測はどれほど信頼できますか？主観的関係の閾値は達成されましたか？

さらに重要なのは、この定義が明確なエンジニアリング目標を提供することです。ユーザーの主観的な拡張とな

る技術を作りたい場合、私たちは最適化すべきことを正確に知っています：信号の同期を最大化し、予測の信頼性を最大化することです。Knowledge Hooksは、これらの目標を達成するためのメカニズムです。

この定義は、この本の後に続くすべての理論的基盤も提供します。ゼロ入力技術について話すとき、私たちはあなたとの主観的関係を達成した技術について話しています—同期と予測が非常に高く、明示的な入力が不要になる場所です。エネルギー最小化について話すとき、私たちはあなたとデバイスの両方から必要な努力を減らすためにこれらの主観的関係を最適化することについて話しています。そして、主観的熱通貨について話すとき、私たちはこれらの主観的関係を大規模に測定し、報酬を与える経済システムについて話しています。

これは主観性が客観的に定義された初めての例です。特定の測定可能な条件を指摘し、「これらの条件が満たされると、主観的関係が存在する」と言えるのは初めてです。この主観的経験の客観的定義が、主観的技術—そしてそれに伴う主観的熱通貨—を単なる哲学的ビジョンではなく、実装可能な現実にしています。

3

Knowledge Hooksの代数

私たちは今、Knowledge Hooksが第三者技術と主観的経験のギャップをどのように橋渡しするかを見てきました。彼らがスナップショットを通じてコンテキストをどのように捉え、デルタから学び、デバイスが自己認識を持つようにするかを理解しています。また、外部オブジェクトが信号の同期と予測の信頼性の数学を通じてどのように私たち自身の主観的な拡張になるかの条件も形式化しました。

しかし、Knowledge Hooksの力を完全に活用するために学習、適応、構成、最適化が数百万の相互作用を通じて行えるシステムを構築するためには、より厳密なものが需要です：形式的な代数です。算術が数を組み合わせるためのルールを持ち、論理が命題を組み合わせるためのルールを持つように、Knowledge Hooksを組み合わせ、洗練し、操作するためのルールが必要です。

この章では、Knowledge Hooksの代数を紹介します：フックがどのように構成され、どのように活性化し、どのように学習し、どのように互いに構成し、強化を通じて時間とともに進化するかを定義する数学的枠組みです。この代数は単なる理論的なものではなく、主観的技術の運用基盤であり、ゼロ入力の相互作用を可能にし、最終的に主観的熱通貨を実現する機械です。

知識フックの本質は4タプルであり、4つの基本的な要素を持つ数学的構造です。しかし、この基本的な定義を超えて、フックに対して実行できる操作を理解する必要があります。条件が一致したときにどのように発火するのか、修正が行われたときにどのように更新されるのか、より複雑な動作を形成するためにどのように結合するのか、そして複数のフックが同じ文脈で潜在的にアクティブになる可能性があるときにどのように競い合うのかを理解する必要があります。

この代数は、重要な質問に対して正確な答えを提供します。フックはいつ発火すべきか？その成功をどのように測定

するか？単純なフックをどのように複雑な動作に結合するか？複数の選択肢があるときに、どのようにして最良のフックが勝つことを保証するか？ユーザーのためにエネルギーを節約するフックを持つ専門家にどのようにクレジットを与えるか？そして最も重要なのは、すべてを駆動する原則、すなわちユーザー入力の絶え間ない最小化をどのように形式化するかです。

ここで発展させる代数は、優雅でありながら強力です。これは、技術が時間とともにますます少ない努力を必要とするべきだという直感を捉え、フックの動作を支配する数学的法則としてこれを形式化します。これは、修正がないと成功スコアが増加する負の強化学習が、自然にシステムをゼロ入力の相互作用に導くことを示しています。そして、知識フックが階層や木構造を形成し、複雑なマルチエージェントシステムがデバイスのネットワーク全体でエネルギー支出を調整し最適化できるようにすることを明らかにします。

この代数が特に重要なのは、プログラミングとシステム設計についての考え方に対する根本的な変化をもたらすことを表しているからです。従来のプログラミングは、コンピュータがあらゆる状況で何をすべきかを正確に指定します。これは、入力から出力への決定論的で包括的なマッピングです。知識フックの代数は、代わりに、アクションが発生すべき条件と、システムがどのアクションが努力を最小化するかを学習するメカニズムを指定します。これは、明示的な指示ではなく、例と文脈によるプログラミングです。

この章では、これらの概念を段階的に形式化します。まず、知識フック自体の数学的構造、すなわちその構成要素を定義する4タプルから始めます。次に、コア操作を探ります：アクティベーション（フックはいつ発火するか？）、実行（発火したときに何が起こるか？）、学習（どのように改善されるか？）、および構成（フックはどのように結合するか？）。フックの動作を支配する重要な法則、特にゼロ入力

に向かわせる最小化法則と負の強化学習を実装する修正法則を紹介します。

フックがどのように洗練され、統合され、正規化されるかを検討します。これらの操作により、システムは効率を継続的に改善できます。そして、精度と修正がエネルギーの節約にどのように直接つながるかを示し、後の章で探求する主観的熱通貨の経済的枠組みの舞台を整えます。

この章全体を通じて、数学的厳密さと直感的な説明のバランスを取ります。各式には平易な言葉による解釈が付随し、各概念は具体的な例で示されます。目標は単に代数を定義することではなく、この代数が技術が本当にあなたになるために学ぶ本質をどのように捉えるかを示すことです。

この章の終わりまでには、知識フックが何であるかだけでなく、それがどのように深いレベルで機能するか、すなわち外部ツールを主観的な自己の拡張に変換し、エネルギー支出を最小化し、まったく新しい経済パラダイムの基盤を作るための数学的な仕組みを理解できるようになります。

最も基本的な質問から始めましょう：知識フックとは正確に何ですか？

3.1 数学的枠組み：4タプル構造

Knowledge Hooksの基本的な仕組みを理解するためには、まずその数学的構造を定義する必要があります。Knowledge Hookは曖昧な概念や比喩ではなく、4つの重要な要素を持つ正確に定義された数学的オブジェクトです。この構造を理解することが、その後に続くすべてを理解するための鍵です：フックがどのように学習し、どのように活性化し、どのように構成され、ユーザーと技術の間に主観的な関係をどのように創出するかを理解することです。

Knowledge Hookを4つのタプルとして定義します：

$$KH = (R, A, T, S)$$

どこで：

- Rは、フックが活性化するために満たす必要がある条件（ルールまたは正規表現パターン）の集合です。
- Aは、フックが発火したときに実行するアクションの集合です。
- Tはタイプ $\in\{\text{learned, predefined}\}$ で、フックが専門家によって作成されたのか、ユーザーの行動から学習されたのかを示します。
- Sは成功スコア $\in[0,1]$ で、ユーザーの修正を必要とせずにフックが望ましい結果をどれだけ信頼性高く生み出すかを追跡します。

これらの各要素は、Knowledge Hooksが機能する上で重要な役割を果たします。それぞれを一つずつ検討し、何であるかだけでなく、なぜそれらが必要であり、どのように協力して知的で適応的な行動を生み出すのかを理解しましょう。

3.1.1 Knowledge Hookの4つの要素

4つのタプル構造は任意ではありません。各要素は、文脈から学習し、ユーザーの入力を最小限に抑える技術を作成するための基本的な要件から生まれました。4つの要素すべてが必要な理由を理解するために、どれか1つを取り除いた場合に何が起こるか考えてみましょう。

条件なし（R）の場合、フックは無差別に発火し、文脈に関係なくアクションを実行します。これは無意味どころか、積極的に有害です。読書中にライトを消すフックや、コン

ピュータの前にいないときにメールを送信するフックを想像してみてください。

アクションなし（A）の場合、フックは文脈を検出しますが、何もしません。ただの観察的な存在で、ユーザーにとっての利点はありません。Knowledge Hooks の目的は、文脈を理解するだけでなく、その文脈内で適切に行動することです。

タイプインジケーター（T）がなければ、専門家によって作成されたフック（事前定義）とユーザーの行動から学習したフックを区別する方法がありません。この区別は、帰属、経済的価値、システム設計にとって重要です。事前定義されたフックは、その作成者の専門知識を持ち、フックがユーザーのためにエネルギーを節約する際に専門家が報酬を受け取ることを可能にします。学習されたフックは、システムの適応的な知性を表し、個々のユーザーパターンに合わせて自らを継続的に洗練させます。

成功スコア（S）がなければ、システムはどのフックが信頼できるか、どのフックが信頼できないかを学ぶ方法がありません。すべてのフックは平等に扱われ、いくつかは常に不正確な結果を生み出し、頻繁にユーザーの修正を必要とします。成功スコアは、システムが進化し、うまく機能するフックを優先し、機能しないフックを降格または排除することを可能にするフィードバックメカニズムです。

これらの4つのコンポーネントが一緒にになって、知的行動の完全で自己完結したユニットを作り出します。Knowledge Hook は、いつ行動するか（R）、何をするか（A）、どこから来たか（T）、そしてどれだけうまく機能するか（S）を知っています。この数学的構造は、主観的技術におけるすべての基盤です。

3.1.2 条件（R）： フックはいつ発火するか？

条件は、Knowledge Hook が発火すべき時を定義します。これらは、現在の文脈がフックが作成された状況や以前に成功した状況と一致するかどうかを判断するガード条項です。

正式には、R は条件パターンのセットです：

$$R = \{r_1, r_2, \dots, r_n\}$$

各条件 r_i は次のようにすることができます：

- 文脈スナップショットの特定の要素に対して一致する正規表現パターン
- 満たす必要がある別のサブフックへの参照
- 現在の状態に対して評価される論理述語

条件はANDセマンティクスを使用します。フックをアクティブにするには、すべての条件を満たす必要があります：

$$\bigwedge_{i=1}^n r_i = \text{true} \implies KH \text{ fires}$$

このANDセマンティクスは、正確で信頼性のあるフックを作成するために重要です。フックは、個々の断片が一致するだけでなく、完全なパターンが認識されたときにのみ発火します。これにより、誤ったアクティベーションが防止され、アクションが適切なコンテキストでのみ発生することが保証されます。

例：同僚に「遅れている」メッセージを送信するフックは、次のような条件を持つかもしれません：

- 現在の時間 > 予定された会議時間 - 5分
- 現在の位置から会議場所までの距離 > 10分の移動時間
- カレンダーに会議が予定されていることが表示されている
- 過去15分間に「遅れている」メッセージが送信されていない

フックが発火するには、すべての4つの条件が真でなければなりません。たとえ1つでも偽の場合-たとえば、すでに会議場所にいる場合-フックはアクティブになりません。

条件は、学習プロセス中にコンテキストスナップショットから抽出されます。今のところ重要なのは、条件がフックのアクションを引き起こすコンテキストパターンを定義することを理解することです。

3.1.3 アクション (A): フックは何をしますか？

アクションは、フックが発火したときに何が起こるかを定義します。これは、ユーザーの入力を最小限に抑え、望ましい結果を達成するためにシステムが実行する操作のシーケンスです。

形式的には、Aは順序付けられたアクションのシーケンスです：

$$A = (a_1, a_2, \dots, a_k)$$

各アクション a_i は次のようにになります：

- API呼び出しありまたはシステムコマンド

- ユーザーインターフェースの操作（フォームフィールドの入力、ボタンのクリック）
- 他のデバイスまたはサービスに送信されるメッセージ
- 接続されたデバイスによって実行される物理的なアクション（照明のオン、温度の調整）

フックが発火すると、アクションは順番に実行されます：

$\text{execute}(KH) \implies a_1 \rightarrow a_2 \rightarrow \dots \rightarrow a_k$

例：'遅れている'の例を続けると、アクションは次のようにになります：

1. メッセージを作成：'少し遅れています、[到着予定期刻]に到着します'
2. 会議参加者にメッセージを送信
3. '遅延通知を送信' フラグでカレンダーを更新

アクションの数と複雑さは大きく異なります。シンプルなフックは単一のアクションを実行する場合があります（部屋を出るときにライトを消す）。複雑なフックは、複数のデバイスやサービスにわたって数十の操作を調整する場合があります。

重要な原則：目標は常に必要なアクションの数を最小限に抑えることです。同じ結果を達成できる複数のフックの中で、システムはより少ないアクションを持つものを優先します。この最小化の原則は、後で最小化法則として正式化しますが、システムをますます効率的にする方向に導きます。

3.1.4 タイプ (T): 学習済み vs 事前定義済み

タイプコンポーネントは、知識フックの2つの根本的に異なる起源を区別します：

$T \in \{\text{learned}, \text{predefined}\}$

事前定義されたフックは、特定の問題領域を深く理解している専門家（開発者、ドメインスペシャリスト、またはパワーユーザー）によって作成されます。これらのフックは専門知識をエンコードします：ベストプラクティス、最適なソリューション、効率的なワークフロー。アプリケーションをインストールしたり、機能を有効にしたりすると、通常は開発者によって作成された事前定義されたフックのコレクションを受け取ります。

例：事前定義されたフックは、フライトの予約という複雑なワークフローを処理する場合があります—フライトの検索、価格の比較、最適な接続の選択、乗客情報の入力、支払いの完了—すべてが「来月東京行きのフライトを予約して」というシンプルな自然言語クエリによってトリガーされます。

学習したフックはユーザーの行動を観察することから生まれます。アクションを実行するたびに、システムは前後のコンテキストをキャプチャし、パターンを抽出し、将来の類似のアクションを自動化できる新しいフックを作成します。これらのフックは個人的で適応的であり、各ユーザーに特有のものです。

Example: If you consistently dim your bedroom lights and set your phone to Do Not Disturb mode at 10:30 PM, the system might learn a hook that automatically performs these actions when the conditions match (time ~10:30 PM, location = bedroom, no active video call, etc.).

この区別が重要な理由は何ですか？三つの理由があります：

1. 帰属と報酬：事前定義されたフックには、ユーザーのためにエネルギーを節約する際にクレジットと報酬を受けるべき制作者がいます。この帰属は主觀的熱通貨の経済モデルにとって重要です。

2. 信頼と検証：ユーザーは、限られた個人データから学習したフックよりも、信頼できるソースからの事前定義されたフックをより信頼するかもしれません。タイプインジケーターは、フックがどこから来たのかをユーザーが理解するのに役立ちます。

3. 学習戦略：システムは、構成、洗練、優先順位付けの際に、学習したフックと事前定義されたフックを異なる扱いをするかもしれません。事前定義されたフックは、初期の成功スコアが高く始まるかもしれません、学習したフックは繰り返し成功したアクティベーションを通じて自らを証明する必要があります。

実際には、最も強力なシステムは両方のタイプを組み合わせます。事前定義されたフックは普遍的な出発点と専門知識を提供し、学習したフックは個々の好みとユニークなパターンをキャプチャします。これらが一緒になって、知識豊かで個人的な技術を生み出します。

3.1.5 成功スコア (S) : 結果から学ぶ

成功スコアは、知識フックが時間と共に改善することを可能にするフィードバックメカニズムです。それは、ユーザーの修正を必要とせずにフックが正しい結果をどれだけ信頼性高く生み出すかを測定します。

$$S \in [0, 1]$$

スコア1.0は完璧な信頼性を表します–フックは常にユーザーが望むことを正確に行います。スコア0.0は完全な失敗を表します–フックは常に修正を必要とします。ほとんどのフックはこれらの極端な間で動作し、成功したアクティベーションを蓄積するにつれて徐々に改善します。

成功スコアは負の強化学習を通じて更新されます。各アクティベーションの後、システムはユーザーが修正を提供するかどうかを観察します：

$$S(t+1) = (1 - \alpha)S(t) + \alpha \cdot \mathbb{1}[\text{Corr}_t = 0], \quad \alpha \in (0, 1]$$

ここで：

- $S(t)$ は現在の成功スコアです
- α は学習率です（スコアが新しい証拠にどれだけ迅速に適応するか）
- $\mathbb{1}[\text{Corr}_t = 0]$ は指標関数です：修正が発生しなかった場合は1、修正が必要な場合は0

この更新ルールは優れています：フックが正しく機能すると成功スコアが増加し（修正不要）、失敗すると減少します（修正が必要）。学習率 α は最近の証拠と歴史的なパフォーマンスにどれだけ重みを与えるかを制御します。

例：自動返信するフックは初期スコア0.7から始まります。次の10回のアクティベーションで：

- 8回のアクティベーションが完璧な返信を生成します（修正なし）→ スコアが増加します

- 2回のアクティベーションが編集を必要とします（修正が提供されました）→ スコアがわずかに減少します

ネット効果：スコアは約0.85に上昇し、フックの高いが不完全な信頼性を反映します。

成功スコアは2つの重要な機能を果たします：

1. 優先順位付け：複数のフックが同じコンテキストで発火する可能性がある場合、システムは成功スコアを使用して最も信頼できるオプションを選択します。私たちは、よく機能するフックを、頻繁に失敗するフックよりも好みます。

2. 経済的価値：主観的サーモ通貨フレームワークでは、成功スコアはエネルギー節約に直接マッピングされ、したがってエネルギー価値に繋がります。成功スコアが高いフックは、修正が少なくて済むため、ユーザーのエネルギーをより多く節約し、より価値があります。

このデザインの美しさはそのシンプルさです。ユーザーはフックを明示的に評価したり訓練したりしません。彼らは単にシステムを自然に使用し、修正（またはその不在）が自動的に成功スコアを更新します。この技術は、すべてのインタラクションから学び、何が機能し、何が機能しないかの理解を継続的に洗練させます。

3.1.6 コンテキストスナップショット：学習の基礎

コンテキストスナップショット (Σ) は、ナレッジフックのタブル自体の一部ではありませんが、フックがどのように学び、機能するかを理解するために不可欠です。コンテキストスナップショットは基本的に自己スナップショットであり、各デバイス、センサー、またはコンポーネントは自分自身の状態、自分のメモリ、自分の内部状態のスナップショットを取ります。

特定のデバイスまたは身体の一部からのコンテキストスナップショットは、その完全な内部状態をキャプチャします：

$$\Sigma_t^{\text{device}} = \{\text{complete state of this device's memory, sensors, and processes at time } t\}$$

重要な洞察：これらは自己観察です。カメラは自分自身のスナップショットを撮ります - それにはキャプチャしたすべての画像を含むメモリが含まれます。スマートフォンは自分自身のスナップショットを撮ります - それにはバッテリーレベル、実行中のアプリケーション、センサーの読み取り値、データストアが含まれます。あなたのARメガネは自分自身のスナップショットを撮ります - それにはカメラを通して現在見ているものが含まれます。

自己スナップショットに含まれるのは、デバイスまたは身体の部分によって異なります：

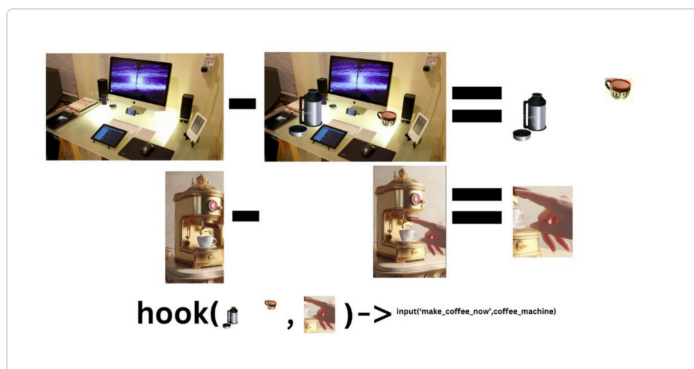
- カメラの自己スナップショット：メモリ（キャプチャした画像/動画）、露出設定、焦点状態、レンズ位置、タイムスタンプ
- スマートフォンの自己スナップショット：バッテリーレベル、ネットワーク接続、実行中のアプリ、GPS位置、センサーデータ（加速度計、ジャイロスコープ）、通知状態、キーボード入力バッファ
- ARグラスの自己スナップショット：カメラフィード（装着者が見るもの）、音声入力、頭の位置/向き、表示状態、電源レベル
- スマートホームデバイスの自己スナップショット：現在の設定（温度、明るさ、電源状態）、センサー読み取り値、受信した最近のコマンド、スケジューリング状態
- ブラウザの自己スナップショット：開いているタブ、フォームフィールドの値、閲覧履歴、クッキー、スクロール位置、入力フォーカス

統一されたグローバルコンテキスト：これらの個々の自己スナップショットが統一されてグローバルコンテキストになるとき、魔法が起こります。時刻 t におけるグローバルコンテキストは、ユーザーの拡張された身体を構成するすべての要素（物理的および仮想的な身体部分）からのすべての自己スナップショットの集合です：

$$\text{Context}_t = \bigcup_{i \in \text{body parts}} \Sigma_t^i$$

この統一されたコンテキストはグローバルにアクセス可能であり、すべてのデバイスと身体部分が平等にアクセスできます。あなたの電話はあなたの眼鏡が見ているものを見ることができます。あなたのスマートホームはあなたの電話の位置を把握できます。あなたのコンピュータはあなたが電話で入力している内容を見ることができます。この共有された認識は、明示的なコミュニケーションなしに調整を可能にします。

例：あなたはデスクにコーヒーカップを置いています。あなたのARグラスはコーヒーカップの画像を含む自己スナップショットを撮ります。あなたのスマートコーヒーメーカーは空の水タンクを含む自己スナップショットを撮ります。あなたのスマートフォンはデスクに2時間いることを示す自己スナップショットを撮ります。これらすべての自己スナップショットが統一されたコンテキストに統合されます。知識フックは次のことを検出するために発火します：（1）空のコーヒーメーカー[コーヒーメーカーの自己スナップショットから]、（2）コーヒーカップが見える[グラスの自己スナップショットから]、（3）拡張された作業セッション[電話の自己スナップショットから] → アクション：コーヒーメーカーを補充するよう通知します。



コンテキストの減算の視覚的例：ユーザーがコーヒーを作るときの差分を示す前後のスナップショットで、デスクに現れたサーモスとマグを強調しています

知識フックは統一されたコンテキストに作用します：ここが知識フックが機能する場所です。彼らは個々のデバイスの状態に孤立して作用するのではなく、すべての自己スナップショットによって形成された完全な統一されたコンテキストに作用します。これが真にインテリジェントでコンテキストを意識した行動を可能にします。フックは複数のデバイスにまたがるパターンを認識し、あなたの拡張された身体全体で調整されたアクションに応答できます。

自己認識は学習を可能にします：自己スナップショットメカニズムはデバイスに原始的な自己認識の形を与えます。あなたが鏡で自分を見るように、デバイスは自己スナップショットを通じて自分の状態を観察します。この自己認識が、デバイスが自分自身を知り、自分のパターンを認識し、学習プロセスに参加することを可能にします。

デバイスの動作を修正するとき、それは修正前の自己スナップショットと修正後のスナップショットを比較し、何が間違っていたのか、正しい動作が何であるべきかを正確に理解できます。これは、自己を持たず、自分の過ちから学ぶことができない従来のシステムとは根本的に異なります。

学習メカニズム：ユーザーが入力を提供すると、システムは関連するすべてのデバイスから前後の自己スナップショットをキャプチャします。

$$\text{Context}_{\text{before}} = \bigcup_i \Sigma_{\text{before}}^i$$

$$\text{Context}_{\text{after}} = \bigcup_i \Sigma_{\text{after}}^i$$

これらの統合されたコンテキストの違い—デルタまたはコンテキストの引き算—は、ユーザーのアクションの結果としてすべてのデバイスで何が変わったかを正確に示します。

$$\Delta = \text{Context}_{\text{after}} - \text{Context}_{\text{before}}$$

このデルタは、新しい学習された知識フックの種になります。

- 条件 (R) は、ユーザーが行動を決定したときにすべてのデバイスに存在するパターンである`Context_before`から抽出されます。
- アクション (A) は、ユーザーの入力からすべてのデバイスで結果として生じた変化である Δ から抽出されます。
- タイプ (T) は「学習済み」に設定されます。
- 成功スコア (S) はデフォルト値に初期化され、将来のパフォーマンスに基づいて更新されます。

プライバシーと分配：これらの自己スナップショットはデバイス間で分散されたままですが、統合されたコンテキスト

を形成するために同期されます。データは各デバイスにローカルに保存されます—カメラは自分の画像を保存し、電話は自分の位置履歴を保存し、眼鏡は自分の視覚フィードを保存します。統合されたコンテキストは中央に保存されず、これらの分散された自己スナップショットの組み合わせから生じます。

この分散モデルはプライバシーを保護しながらグローバルな調整を可能にします。あなたのデバイスは安全で暗号化されたチャネルを通じて互いにコンテキストを共有しますが、このデータを外部サーバーに送信することは決してありません。コンテキストは完全にプライベートで、暗号化され、あなたの管理下にあります。

あなたのデバイス間でコンテキストはグローバルですが、あなたにとってはプライベートです：すべてのデバイスが統合されたコンテキストに平等にアクセスできます（あなたの電話はあなたの眼鏡が見ているものを見ることができ、あなたの家はあなたの車がどこにあるかを見ることがあります）が、このコンテキストは完全にあなたにとってプライベートです。それはあなたの拡張された身体の共有知識ベースであり、すべての部分がアクセス可能ですが、外部の世界には見えません。

これは主観的な関係の基盤です：デバイスはあなたの文脈を共有し、自分自身をあなたの一部として観察し、この統一された自己認識を通じて行動を調整するため、あなた自身の延長として機能します。彼らは単に命令に反応するのではなく、すべてのデバイスがその集団的自己観察によって形成された同じ完全な状況を理解するため、完全な状況を理解します。

3.1.6.1 複雑なマルチデバイスアクションの調整

統一された文脈がすべてのデバイスからの自己スナップショットを集約するように、Knowledge Hooksは無関係な

物理的および仮想的な体の部分間で調整されたアクションを調整できます。フックが発動すると、そのアクションシーケンスAは、ユーザーの拡張された体の一部である任意のデバイスまたはコンポーネントにコマンドを送信できます：

$$A = (a_1^{d_1}, a_2^{d_2}, \dots, a_k^{d_k})$$

各アクション $a_i^{d_i}$ が特定のデバイスまたは体の部分 d_i に向けられます。このアーキテクチャの力は、単一の Knowledge Hook が統一された文脈を読み取ることによって、互いに直接接続されていないデバイス間で複雑なアクションのカスケードを引き起こすことができるのです。彼らは共有された文脈とフックの論理を通じて調整されます。

これにより、デバイスが孤立して動作する従来のシステムでは不可能な複雑なマルチデバイスの動作が可能になります。フックは知的な指揮者となり、ユーザーの行動を観察して学習したパターンに基づいて調整されたアクションの交響曲を調整します。

例1：夕方のリラックスルーチン

あなたが毎晩9:30 PM頃に家にいるときに一連のアクションを一貫して実行することを想像してください：リビングルームのライトを暗くし、仕事用のコンピュータの電源を切り、電話を「おやすみモード」に設定し、スマートスピーカーで瞑想プレイリストを開始し、寝るためにサーモスタットを涼しい温度に調整します。このパターンを何度も観察した後、システムはKnowledge Hookを学習します：

条件(R)：

- 時間 ≈ 21:30 ± 15分 [スマートフォンの自己スナップショットから]

- 場所 = 家 [スマートフォンGPSの自己スナップショットから]
 - リビングルームのライト = 明るい [スマートライトのセルフスナップショットから]
 - 作業用コンピュータ = アクティブ [コンピュータのセルフスナップショットから]
 - アクティブなビデオ/音声通話はありません [電話とコンピュータのセルフスナップショットから]
 - 過去5分間にリビングルームで動きが検出されました [モーションセンサーのセルフスナップショットから]

アクション (A):

1. リビングルームのスマートライトにコマンドを送信: 明るさを30%に調整
2. 作業用コンピュータにコマンドを送信: シャットダウンシーケンスを開始し、すべてのドキュメントを保存
3. スマートフォンにコマンドを送信: お気に入り以外の通知をオフにするモードを有効にする
4. スマートスピーカーにコマンドを送信: '夕方の瞑想' プレイリストを音量15%で再生
5. サーモスタットにコマンドを送信: 温度を19°Cに下げる
6. スマートウォッチにコマンドを送信: 睡眠追跡モードを有効にする

フックが6つの異なるデバイス（照明、コンピュータ、電話、スピーカー、サーモスタット、時計）からコンテキストを読み取り、それらすべてにわたって同時にアクションを調整する様子に注目してください。これらのデバイスは互いに

直接通信することではなく、すべて統一されたコンテキストを通じて動作し、Knowledge Hookからのコマンドに応答します。

例2：仕事から帰宅する

平日夜に仕事から帰宅する際、通常は食料品の袋を持っています。このシステムは、あなたの車、ガレージドア、家庭用照明、セキュリティシステム、キッチン家電にわたるアクションを調整する複雑なパターンを学習します：

条件 (R) :

- 車の位置が自宅のドライブウェイに近づく [車のGPS自己スナップショットから]
- Time between 17:30-19:00 [from smartphone self-snapshot]
- 曜日 = 月曜日から金曜日 [カレンダーの自己スナップショットから]
- ホームセキュリティシステム = 武装 [セキュリティシステムの自己スナップショットから]
- ガレージドア = 閉じている [ガレージコントローラーの自己スナップショットから]
- 前の位置 = 食料品店 [スマートフォンのGPS履歴から]

アクション (A) :

1. ガレージドアにコマンドを送信：開ける
2. セキュリティシステムにコマンドを送信：無効にして 'オーナーが帰宅中' をログに記録する
3. 玄関のライトにコマンドを送信：100%に点灯する

4. キッチンのライトにコマンドを送信： 70%に点灯する
5. スマートオーブンにコマンドを送信： 180 °Cに予熱する（平日の料理のための好みを学習済み）
6. 音声アシスタントにコマンドを送信： 'お帰りなさい、オープンが予熱中、冷蔵庫が整理モードに入っています' とアナウンスする
7. スマート冷蔵庫にコマンドを送信： '最近購入したアイテム' の整理ビューに切り替える
8. スマートスピーカーにコマンドを送信： '料理プレイリスト' を音量40%で再生する

フックは、あなたが通常食料品店に行き（位置履歴から）、平日の夕食時に帰宅し（時間的文脈）、到着後すぐに料理をするルーチンを確立しているパターンを観察します。これにより、8つの異なるデバイスにわたる8つのアクションが調整されます—あなたの車がGPS位置を通じてシーケンスをトリガーしますが、アクションはガレージ、セキュリティ、ライト、オープン、アシスタント、冷蔵庫、スピーカーに影響を与えます。

例3：緊急対応パターン

システムが緊急事態を認識し、保護的な対応を調整することを学ぶと、より洗練された例が現れます：

条件（R）：

- 煙探知機が作動しました [煙探知機の自己スナップショットから]
- キッチンの温度が急上昇しています [サーモスタットの自己スナップショットから]

- コンロのバーナーが45分以上作動中です [スマートコンロの自己スナップショットから]
- キッチンで20分以上動きが検出されていません [モーションセンサーの自己スナップショットから]
- ユーザーの位置 = 寝室 [スマートウォッチの自己スナップショットから]

アクション (A):

1. スマートコンロにコマンドを送信：すべてのバーナーを緊急シャットオフ
2. レンジフードにコマンドを送信：最大速度で換気を開始
3. すべての家庭用照明にコマンドを送信：100%に点灯（避難のための視認性）
4. スマートフォンにコマンドを送信：大音量の警報音を再生し、「キッチン火災警報」を表示
5. スマートウォッチにコマンドを送信：火災警告で連続振動
6. すべてのスマートスピーカーにコマンドを送信：「キッチンで火災を検出、ストーブを停止、必要に応じて避難してください」とアナウンス
7. フロントドアロックにコマンドを送信：緊急出口のために解除
8. スマートフォンにコマンドを送信：ユーザーが60秒以内に応答しない場合、事前録音メッセージで緊急サービスにダイヤル
9. セキュリティカメラにコマンドを送信：録画を開始し、クラウドに保存

このフックは、あなたが誤ってストーブをつけっぱなしにしてしまい、それを消すために急いで単一のインシデントから学習します。その際に煙探知器が作動しました。システムはあなたの緊急対応パターンを観察し、現在は同様の条件を検出し、9つの異なるデバイス全体で包括的な安全対応を調整できるフックを作成しました。

複数デバイスのオーケストレーションの数学：

正式には、この複数デバイスの調整を、統一されたコンテキストから分散したアクションへのマッピングとして表現できます：

$$KH : \text{Context}_t \rightarrow \{(d_1, a_1), (d_2, a_2), \dots, (d_k, a_k)\}$$

ここで：

- Context_t = すべてのデバイスの自己スナップショットからの統一コンテキスト
- d_i = 対象デバイスまたは体の部位
- a_i = デバイスのアクションコマンド

フックは統一されたコンテキスト全体にわたる条件を評価します：

$$\bigwedge_{i=1}^n r_i(\text{Context}_t) = \text{true} \implies \text{execute}(a_1^{d_1}, a_2^{d_2}, \dots, a_k^{d_k})$$

各条件 r_i は統一されたコンテキストの任意のサブセットを照会できます。これは、あなたの眼鏡のカメラフィード、あなたの電話の位置情報、あなたのスマートウォッチの心拍数、そしてあなたの家の温度センサーを同時に読み取ることができます。その後、アクションはそれぞれのターゲットデバイスに配信されます：

$$\forall i \in \{1, \dots, k\} : \text{send}(a_i) \rightarrow d_i$$

このアーキテクチャが強力な理由：

従来のスマートホームシステムはデバイスの相互作用を明示的にプログラミングする必要があります：「ガレージを開いたら、ライトをオンにする。」これは硬直した、あらかじめ決められた関係を生み出します。主観的技術は根本的に異なります：

1. 学習したパターン：システムはすべてのデバイスにおけるあなたの実際の行動を観察し、自動的にパターンを抽出します。あなたは「食料品店から帰宅したときにオープンを予熱する」と明示的にプログラムする必要はありません—システムはあなたがそれを行うのを見て学習します。

2. コンテキスト豊富な条件：フックは無関係なデバイスからの数十のコンテキスト信号を組み込むことができます。「帰宅する」フックは単に位置情報だけでトリガーされるのではなく、時間帯、曜日、前の位置（食料品店、ジム、オフィス）、現在の自宅の状態、さらには過去のパターンを考慮します。

3. 適応的な洗練：あなたのパターンが変わると、フックも適応します。平日に食料品店に行くのをやめて週末に切り替えた場合、フックの条件は自然にあなたの新しいパターンに合わせて進化します。

4. 統一された知能：各デバイスが孤立した「スマート」機能を持つのではなく、知能は統一されたコンテキストから生まれます。あなたのコンロは緊急事態を検出するために個別にプログラムされる必要はありません—緊急検出フックは煙探知器、サーモスタッフ、動作センサー、ユーザーの位置情報からの情報を調整して、情報に基づいた決定を下します。

これは主観的な関係の本質です： デバイスは孤立したツールではなく、あなたの身体の調整された拡張となり、ニーズを予測し、あなたの全体的な物理的および仮想的な自己にわたる複雑なパターンに応じて反応します。統一されたコンテキストは神経系であり、ナレッジフックはこの拡張された身体の行動を調整する反射と学習された行動です。

3.2 コアオペレーション

ナレッジフックの数学的構造-4つのタブル (R, A, T, S) -を定義したので、次にフックに対して実行できる操作に移ります。これらの操作はシステムのダイナミクスを定義します： フックがどのように活性化し、どのように実行し、どのように学習し、どのように互いに競争して活性化を求めるか。

ナレッジフックの代数は静的ではありません。それは、フックが現在のコンテキストに対して条件を継続的に評価し、適切なときに発火し、結果を生み出し、フィードバックを受け取り、内部状態を更新する生きたシステムです。これらの操作を理解することは、システム全体がどのように知的な行動を示すか-経験から学び、個々のユーザーに適応し、人間からの入力を徐々に最小化するか-を理解するために不可欠です。

ナレッジフックの代数には4つの基本的な操作があります： 活性化、実行、学習、優先順位付けです。各操作はフックのライフサイクルにおいて異なる役割を果たし、共に自律的な学習と継続的な改善を可能にする完全なフィードバックループを作成します。

活性化は、フックが発火すべきときを決定します-その条件が現在のコンテキストと十分に一致して行動を正当化する瞬間です。これはシステムのガードクローズであり、フック

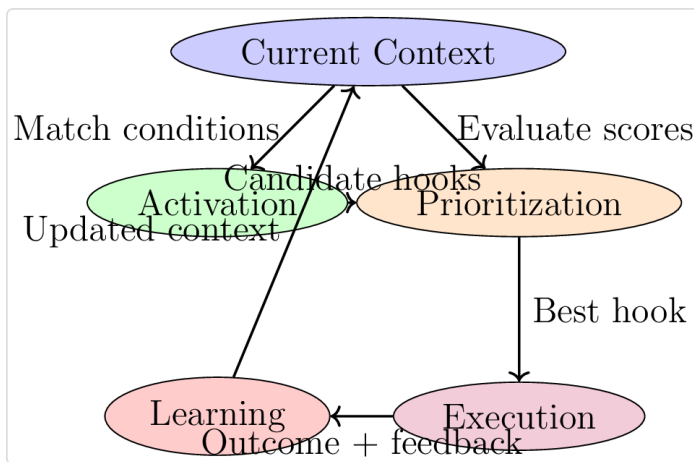
が適切なときにのみ行動し、無関係なコンテキストでの誤ったまたは有害な活性化を防ぎます。

実行は、フックが発火したときに何が起こるかを定義します—そのアクションがどのように実行され、結果としての状態変化がどのようにキャプチャされ、システムがユーザーの修正が必要かどうかを検出するか。この段階でフックは世界に具体的な影響を生み出し、タスクを自動化し、ユーザーの労力を最小限に抑えます。

学習は、ユーザーの行動から新しいフックがどのように作成され、既存のフックが時間とともにどのように改善されるかを説明します。これは、システムが主観的になるメカニズムであり、各個人のユーザーのパターン、好み、コンテキストにユニークに適応します。

優先順位付けは、同じコンテキストで複数のフックが発火できる場合に何が起こるかという問題に対処します。異なるフックが重複する条件を持つ可能性があるため、システムは競合するオプションの中から選択するための原則に基づいた方法が必要です—より具体的で、より信頼性が高く、より効率的なフックを優先します。

これらの操作は独立していません。彼らは連続的なサイクルを形成します：現在のコンテキストが候補フックの活性化を引き起こし、優先順位付けが実行する最良のフックを選択し、実行がアクションを生み出し、結果としての状態をキャプチャし、学習が成功スコアを更新し、ユーザーの修正や確認に基づいて新しいフックを作成する可能性があります。



このサイクルは、ユーザーがデバイスや環境と相互作用するたびに継続的に繰り返されます。各反復は新しいフックを作成し、成功したフックを強化し、失敗したフックを弱化させ、ユーザーが提供しなければならない明示的な入力の量を徐々に減少させます。

このシステムの強力さは、これらの操作が複数の時間スケールで同時に機能することです。アクティベーションと優先順位付けはリアルタイムで行われ、コンテキストの変化から数ミリ秒以内に発生します。実行は数秒から数分の間に行われ、アクションが実行されます。学習は数日から数週間にわたって行われ、繰り返しのインタラクションからパターンが浮かび上がります。そして、全体的なゼロ入力行動への収束は数ヶ月にわたって起こり、システムが経験を蓄積します。

このデザインの優雅さは、中央計画や明示的なトレーニングを必要としないことです。ユーザーは単に自分の技術と自然にインタラクトし、システムは観察し、学び、改善します。修正は稀であり、時間とともにさらに稀になります。成功が蓄積され、努力が減少します。技術は徐々に主観的になり、ユーザーの意図により沿い、ニーズをより予測し、パターンとより統合されます。

これらの操作を詳細に検討し、それらの数学を形式化し、真に知的で適応的なシステムを作成するための意味を理解しましょう。

3.2.1 アクティベーション：フックはいつ発火するか？

アクティベーションは、ナレッジフックがいつ実行されるべきかを決定する基本的な操作です。フックはランダムまたは常に発火するのではなく、特定のコンテキスト条件が満たされたときにのみアクティブになります。この選択的な発火が、無差別な行動ではなく、知的でコンテキストに応じた行動を可能にします。

アクティベーション条件：ナレッジフックは、そのすべての条件が現在のコンテキストで真と評価される場合にのみ発火します。形式的には、条件 $R = \{r_1, r_2, \dots, r_n\}$ を持つフック $KH = (R, A, T, S)$ と現在の統一コンテキスト C_t が与えられたとき、フックは次の条件を満たすときにアクティブになります：

$$\bigwedge_{i=1}^n r_i(C_t) = \text{true} \implies KH \text{ fires and executes } A$$

ここで：

- \bigwedge はすべての条件に対する論理AND操作を表します
- 各 r_i はコンテキストを評価する述語（ブール関数）です
- C_t は時刻 t における現在の統一コンテキストです（すべてのデバイスの自己スナップショットから形成されます）

- $A = (a_1, a_2, \dots, a_k)$ は実行するアクションのシーケンスです

重要な洞察：これはAND操作であり、ORではありません。フックが発動するためには、すべての条件を満たす必要があります。たとえ1つの条件が偽と評価されても、フックは休止状態のままであります。これにより精度が保証されます—フックは、設計または学習された特定のコンテキストでのみアクティブになります。

ANDセマンティクス対ORセマンティクス：なぜANDを使用するのか、ORではなく？「遅れている」メッセージを送信するように設計されたフックを考えてみてください：

ANDセマンティクスの場合（正しい）：

- $(\text{time} > \text{meeting_time} - 5 \text{ min}) \text{ AND } (\text{distance} > 10 \text{ min travel}) \text{ AND } (\text{meeting scheduled}) \rightarrow$ 本当に遅れているときのみ発動します

ORセマンティクスの場合（誤り）：

- $(\text{time} > \text{meeting_time} - 5 \text{ min}) \text{ OR } (\text{distance} > 10 \text{ min travel}) \text{ OR } (\text{meeting scheduled}) \rightarrow$ いずれかの条件が真であれば発動します。たとえ会議が予定されていなかつたり、すでにその場所にいる場合でも。

ANDセマンティクスは偽のアクティベーションを防ぎ、フックがその行動が適切な正確な状況でのみ発動することを保証します。

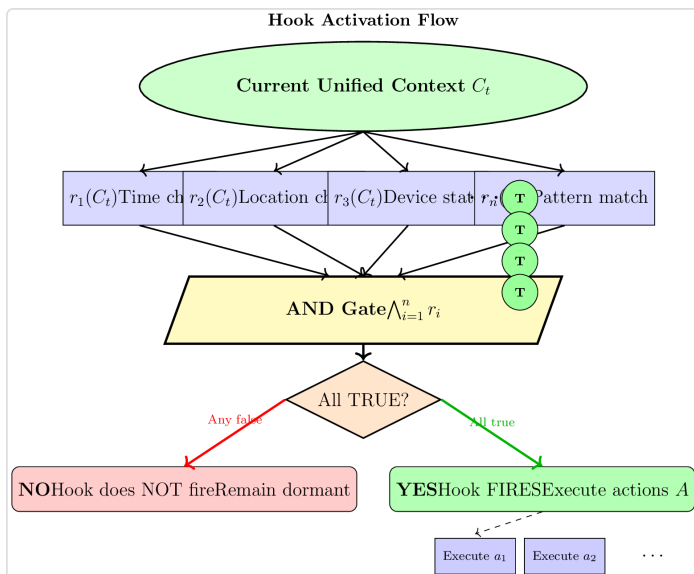


Figure: Hook activation flow. The current unified context is evaluated against all conditions. Only when ALL conditions return true (AND gate) does the hook fire and execute its action sequence.

例：朝のコーヒーフックのアクティベーション

目覚めたときにコーヒーメーカーを起動する学習したフックを考えてみてください。このフックは、あなたの朝のルーチンを観察することでこれらの条件を学習しました：

条件R:

- r_1 : Time between 6:30 AM and 7:30 AM [from smartphone self-snapshot]
- r_2 : 寝室で動きが検出されました [動体センサーの自己スナップショットから]
- r_3 : スマートフォンのアラームが過去5分間に解除されました [電話の自己スナップショットから]

- r_4 : コーヒーメーカーの水タンクが満杯です [コーヒーメーカーの自己スナップショットから]
- r_5 : 今日はまだコーヒーが淹れられていません [コーヒーメーカーの自己スナップショットから]

フックは次の場合にのみ発火します:

$$r_1 \wedge r_2 \wedge r_3 \wedge r_4 \wedge r_5 = \text{true}$$

異なる時間に何が起こるかを見てみましょう:

シナリオ1 - 午前3時 (未活性) : :00

- $r_1 = \text{false}$ (間違った時間)
- $r_2 = \text{false}$ (動きなし)
- $r_3 = \text{false}$ (アラームは解除されません)
- $r_4 = \text{true}$ (水タンクは満杯です)
- $r_5 = \text{true}$ (コーヒーはまだ淹れられていません)

結果: $\text{false} \wedge \text{false} \wedge \text{false} \wedge \text{true} \wedge \text{true} = \text{false}$ → フックは発動しません

シナリオ 2 - 午前7時、まだベッドの中 (アクティベーションなし) : :00

- $r_1 = \text{true}$ (正しい時間帯)
- $r_2 = \text{false}$ (まだ動きがありません)
- $r_3 = \text{false}$ (アラームは解除されません)
- $r_4 = \text{true}$ (水タンクは満杯です)

- $r_5 = \text{true}$ (コーヒーはまだ淹れられていません)

結果: `true ∧ false ∧ false ∧ true ∧ true = false` → フックは発動しません

シナリオ 3 - 午前7時5分、起きたばかり (アクティベーション!): :05

- $r_1 = \text{true}$ (正しい時間: 午前7時5分) :05
- $r_2 = \text{true}$ (動きが検出されました)
- $r_3 = \text{true}$ (アラームは2分前に解除されました)
- $r_4 = \text{true}$ (水タンクは満杯です)
- $r_5 = \text{true}$ (コーヒーはまだ淹れられていません)

結果: `true ∧ true ∧ true ∧ true ∧ true = true` → フックが作動します! ☕

アクション: コーヒーメーカーにコマンドを送信:
`brew_coffee(strength='medium',
volume='full_pot')`

シナリオ 4 - 午前7時10分、2回目のチェック (未活性化): :10

- $r_1 = \text{true}$ (まだ時間内です)
- $r_2 = \text{true}$ (まだ動いています)
- $r_3 = \text{true}$ (アラームは解除されました)
- $r_4 = \text{true}$ (水タンクは満杯です)
- $r_5 = \text{false}$ (前回のアクティベーションからコーヒーがすでに淹れられています)

結果: true \wedge true \wedge true \wedge true \wedge false = false \rightarrow フックは作動しません（重複した淹れを防ぎます）

この例はANDセマンティクスの精度を示しています。フックは忍耐強く待機し、条件を継続的に評価し、正確な瞬間に発火します—早すぎず（まだ眠っているとき）、遅すぎず（すでに手動でコーヒーを作った後）、繰り返し発火することもありません（すでにコーヒーが作られているとき）。

継続的評価：ナレッジフックは無駄に待機しません。現在の統一されたコンテキストに対して条件を継続的に評価します。システムはフックを厳密なループでチェックします：

```
while true: Ci ← get_current_context() for each hook KHi in active_hooks: if  $\bigwedge_{j=1}^n r_j(C_i) = \text{true}$ : execute
```

この継続的評価により、条件が満たされるとフックが即座に反応します。アラームが解除され、動きが検出された瞬間、コーヒーフックはミリ秒以内に発火します。

条件の種類と複雑さ：条件は単純なものから恣意的に複雑なものまで様々です：

単純な原子的条件：

- r_1 : 時間 == 14:00
- r_2 : バッテリーレベル < 20
- r_3 : 場所 == '自宅'

範囲条件：

- r_4 : 18:00 ≤ 時間 ≤ 22:00
- r_5 : 15 °C ≤ 温度 ≤ 25 °C

パターンマッチング条件：

- r_6 : notification_text は 正規表現
'.*meeting.*' に一致する
- r_7 : image_from_camera は 'orange_cat' を含む

時間的条件:

- r_8 : 最後のアクションからの時間 > 45 分
- r_9 : day_of_week in {Monday, Tuesday, Wednesday, Thursday, Friday}

集約条件:

- r_{10} : 過去10分間の平均心拍数 > 120 BPM
- r_{11} : 20分以上動きが検出されていない

サブフック条件：条件は他のフックを参照でき、階層的なアクティベーションパターンを作成します：

- r_{12} : sub_hook_ 'user_leaving_home' がアクティブです
- r_{13} : sub_hook_ 'emergency_detected' が過去60秒以内に発火しました

これらのサブフック条件は、高レベルのフックが低レベルのフックに基づいて構築され、知的自動化の層を作成する複雑な構成動作を可能にします。

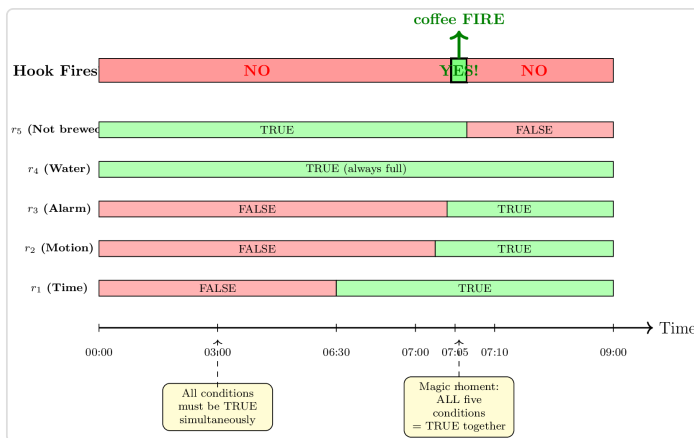


Figure: Timeline visualization of coffee hook activation. Each condition must be true simultaneously. The hook fires only during the narrow window at 7:05 AM when all five conditions align (green bar in bottom row).

効率と最適化：すべてのフックのすべての条件を継続的に評価することは、計算的に高価になる可能性があります。実際の実装では、いくつかの最適化戦略が使用されます：

1. ショートサーキット評価：いずれかの条件が偽と評価された場合、残りの条件の評価を停止します（ANDはすべてが真である必要があるため）
2. 条件の順序付け：迅速に失敗する頻繁に偽となる条件を最初に評価します
3. コンテキスト変更トリガー：関連するコンテキストの部分が変更されたときのみフックを再評価し、毎回の反復ではありません
4. インデクシング：フックが依存するコンテキスト要素によってフックをグループ化し、位置が変更されると位置依存のフックのみがトリガーされるようにします

アクティベーションが重要な理由：正しいアクティベーションは信頼性のあるナレッジフックの基盤です。フックが条件が完全に満たされていないときに過度に発火すると、望ましくないアクションを生成し、ユーザーの修正が必要になり、成功スコアが低下します。条件が過度に制限されているときにフックが過度に保守的に発火すると、助ける機会を逃し、未使用のままとなります。

連続評価を伴うANDセマンティクスは完璧なバランスを生み出します。フックは誤ったアクティベーションを避けるために十分に精密でありながら、必要なときに正確に発動するために十分に反応的です。これが主観的なテクノロジーがあなたになる方法です。あなたが物事が起こることを望む正確な文脈を理解し、それらの文脈が現れたときに自律的に行動することによって。

3.2.2 実行：アクションと新しい状態の生成

ナレッジフックがアクティベートされると（すべての条件が満たされると）、実行に進みます。これはアクションシーケンスを実行し、システムに観察可能な効果を生み出すプロセスです。実行はフックの知性が顕在化する場所です。抽象的な条件と保存されたアクションが、現実世界の具体的な変化に変わります。

実行プロセス：フック $KH = (R, A, T, S)$ が時間 t に発動すると、実行は明確に定義されたシーケンスを通じて進行します：

$$\text{execute}(KH, C_t) \rightarrow (C_{t+1}, \text{Corr}_t)$$

ここで：

- C_t は時間 t における現在の統一された文脈です（アクティベーションを引き起こした文脈）

- C_{t+1} は実行が完了した後の新しい統一された文脈です
- $\text{Corr}_t \in \{0, 1\}$ は修正フラグです：ユーザーが結果を受け入れた場合は0、ユーザーが修正した場合は1

実行は3つの重要な出力を生成します：

1. 実行されたアクション自体：シーケンス $A = (a_1, a_2, \dots, a_k)$ が順番に実行されます
2. 新しいシステム状態：すべてのデバイスが自己スナップショットを更新し、新しい統一された文脈 C_{t+1} を形成します
3. 修正フラグ：システムはユーザーがフックのアクションを修正、取り消し、または訂正するために介入するかどうかを観察します。

連続アクション実行：アクションシーケンス A は順序付けられ、決定論的です。各アクション a_i は順番に実行され、各アクションは前のアクションの結果に依存する可能性があります。

$$\text{execute}(A) = a_1 \rightarrow a_2 \rightarrow \dots \rightarrow a_k$$

より正式には、実行を状態変換関数として表現できます。コンテキスト C_t から始まり、各アクションがコンテキストを変換します。

$$C_t \xrightarrow{a_1} C_t^{(1)} \xrightarrow{a_2} C_t^{(2)} \xrightarrow{\dots} C_t^{(k)} = C_{t+1}$$

ここで $C_t^{(i)}$ は最初の i アクションを実行した後の中間コンテキスト状態を表します。

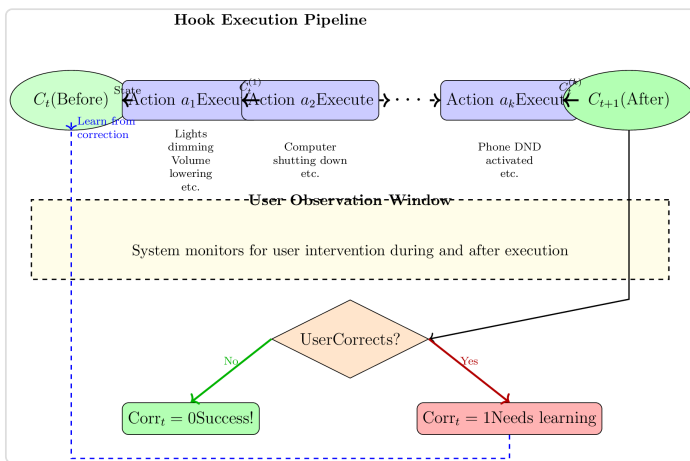


Figure: Execution pipeline showing sequential action execution from initial context C_t to final context $C_{\{t+1\}}$, with user observation determining the correction flag.

例：夕方のリラックス実行

Let's trace a concrete execution of the evening wind-down hook we discussed earlier. At $t = 21:30$, all conditions are satisfied and the hook fires with action sequence $A = (a_1, a_2, a_3, a_4, a_5, a_6)$:

初期状態 C_t ($t = 21:30:00$):

- リビングルームの照明: 100%の明るさ
- 作業用コンピュータ: アクティブ、3つのアプリケーションが実行中

- 電話: 通常モード、通知が有効
- スマートスピーカー: 待機中
- サーモスタッフ: 22°C
- スマートウォッチ: 通常モード

実行シーケンス:

a_1 : スマートライトにコマンドを送信: 30%に調光

$\rightarrow C_t^{(1)}$ ($t = 21:30:01$): ライトが調光を開始
(遷移に約2秒かかります)

a_2 : ワークコンピュータにコマンドを送信: シャットダウンを開始し、ドキュメントを保存

$\rightarrow C_t^{(2)}$ ($t = 21:30:02$): コンピュータが開いて
いるドキュメントを保存し、シャットダウンシーケンスを開始

a_3 : スマートフォンにコマンドを送信: おやすみモードを有効にする

$\rightarrow C_t^{(3)}$ ($t = 21:30:03$): 電話がDNDに入り、通知
がミュートされました

a_4 : スマートスピーカーにコマンドを送信: ボリューム15%で「夕方の瞑想」を再生

$\rightarrow C_t^{(4)}$ ($t = 21:30:04$): スピーカーが瞑想音声
を再生開始

a_5 : サーモスタッフにコマンドを送信: 19°Cに下げる

$\rightarrow C_t^{(5)}$ ($t = 21:30:05$): サーモスタッフが目標
温度を調整

a_6 : スマートウォッチにコマンドを送信: 睡眠トラッキングモードを有効にする

$\rightarrow C_t^{(6)} = C_{t+1}$ ($t = 21:30:06$): スマートウォッチが睡眠トラッキングに入る

最終状態 C_{t+1} ($t = 21:30:06$):

- リビングルームのライト: 明るさ30% (暗く設定)
- 作業用コンピュータ: シャットダウン中
- 電話: おやすみモードが有効
- スマートスピーカー: 低音量で瞑想音声を再生中
- サーモスタッフ: 19°C に冷却中
- スマートウォッチ: 睡眠トラッキングがアクティブ

Observation Window: From $t = 21:30:06$ onward, the system observes user behavior. If the user accepts these changes (doesn't adjust anything), then $\text{Corr}_t = 0$. If the user immediately turns the lights back up or re-enables notifications, then $\text{Corr}_t = 1$.

修正フラグ: 修正フラグ Corr_t は、フックの成功スコアが増加するか減少するかを決定するため、実行の最も重要な出力の一つです。システムは複数のメカニズムを通じて修正を検出します:

直接的な逆転：ユーザーがすぐに1つ以上のアクションを元に戻す（ライトを再びオンにする、コンピュータを再度開く、DNDを無効にする）

修正：ユーザーがアクションのパラメータを調整する（ライトの明るさを30%から50%に変更する、サーモスタットを19°Cから20°Cに変更する）

明示的な修正：ユーザーがインターフェースを通じて明示的なフィードバックを提供する（「このフックは不正確でした」など）

時間ウィンドウ：システムは通常、時間ウィンドウ内の修正を監視します（例：実行後5分）。このウィンドウ外で行われたアクションは、新しいユーザーの意図と見なされ、修正とは見なされません。

形式的には、修正検出を次のように表現できます：

$$\text{Corr}_t = \begin{cases} 1 & \text{if user modifies } C_{t+1} \text{ within time window } \Delta t \\ 0 & \text{otherwise} \end{cases}$$

状態キャプチャ：実行の重要な側面は、システムが実行前後の完全なスナップショットをキャプチャすることです。これにより、いくつかの重要な機能が可能になります：

1. ロールバック：フックが望ましくない影響を及ぼす場合、システムはキャプチャされたスナップショットから C_t を復元できる可能性があります。

2. 学習：デルタ $\Delta = C_{t+1} - C_t$ は、正確に何が変わったかを明らかにし、フックの洗練を可能にします。

3. 監査：前後のスナップショットは、フックが何をしたかの完全な記録を提供します。

4. デバッグ：フックが誤動作した場合、開発者は正確なコンテキストと結果の変更を調べることができます。

実行記録はタプルとして形式化できます：

$$\text{ExecutionRecord} = (KH, C_t, C_{t+1}, A_{\text{executed}}, \text{Corr}_t, t)$$

ここで：

- KH は発火したフックです。
- C_t は実行前のコンテキストです。
- C_{t+1} は実行後のコンテキストです。
- A_{executed} は実行された実際のアクションシーケンスです。
- Corr_t は修正が発生したかどうかです
- t は実行のタイムスタンプです

原子的実行とトランザクショナル実行：異なるフックは異なる実行保証を必要とする場合があります：

原子的実行：シーケンス内の各アクションは独立しています。アクション a_3 が失敗しても、 a_4 は実行を試みます。これは、アクションが無関係な場合（照明の調光、アプリの閉鎖、メッセージの送信）に適しています。

トランザクショナル実行：アクションは論理的な単位を形成します。いずれかのアクションが失敗した場合、すべての前のアクションがロールバックされます。これは、アクションが一緒に成功する必要がある場合（フライトの予約、ホテルの予約、車のレンタル—いずれかが失敗した場合はすべてキャンセル）に適しています。

ほとんどの知識フックは原子的実行を使用します。なぜなら、アクションは通常、独立したデバイスを対象とするからです。1つのデバイス（例：スマートライトがオフライン）の失敗は、他のアクション（例：コンピュータのシャットダウン）が成功するのを妨げるべきではありません。

実行中のエラーハンドリング：実行中にエラーが発生することがあります—デバイスがオフライン、ネットワークタイムアウト、権限が拒否されるなど。システムはエラーを優雅に処理します：

$$\text{execute}(a_i) = \begin{cases} \text{success} & \text{if action completes normally} \\ \text{error}(e) & \text{if action fails with error } e \end{cases}$$

アクションが失敗した場合：

1. エラーは実行記録にログされます
2. 後続のアクションは続行します（原子的実行）または中止します（トランザクショナル実行）
3. フックの成功スコアは、エラーの重大度に応じてペナルティを受ける場合があります。
4. エラーが重要な機能に影響を与える場合、ユーザーに通知されることがあります。

例：夕方のウィンドウダウントフックがスマートライトを暗くしようとしたが、オフラインの場合、フックはコンピュータをシャットダウンし、DNDモードを有効にし、他のアクションを実行します。ライトは単に現在の明るさのままで、エラーはログに記録されます。

実行と成功スコアの更新：実行の最も重要な結果は、フックの成功スコアの更新です。これは観察ウィンドウが閉じた後に発生します：

$$S(t+1) = (1 - \alpha)S(t) + \alpha \cdot \mathbb{1}[\text{Corr}_t = 0]$$

どこで：

- $S(t)$ はこの実行前の現在の成功スコアです。
- $\alpha \in (0, 1]$ は学習率です。
- $\mathbb{1}[\text{Corr}_t = 0]$ は修正が行われなかった場合は1、修正が行われた場合は0です。
- $S(t + 1)$ は更新された成功スコアです。

これによりフィードバックループが生まれます：成功した実行（修正なし）はスコアを増加させ、失敗した実行（修正が必要）はスコアを減少させます。時間が経つにつれて、一貫して正しい結果を出すフックは高いスコアを獲得し、自動的に行動することが信頼されるようになりますが、頻繁に修正が必要なフックはスコアが低下し、最終的には無効にされる可能性があります。

したがって、実行操作は単にアクションを実行することだけではなく、ナレッジフックが学び、適応し、進化するメカニズムです。各実行は、実際の効果を生み出すパフォーマンスであり、フックのユーザーの意図に関するモデルが正確であるかどうかをテストする実験もあります。この実行、観察、学習の継続的なサイクルが、主観的な技術が時間とともにユーザーのニーズにますます一致することを可能にします。

3.2.3 学習ステップ：コンテキストの減算とデルタ検出

学習ステップは、ユーザーの行動から知識フックが生まれるメカニズムです。既存のフックに作用するアクティベーションや実行とは異なり、学習ステップはユーザーの行動を観察し、そこからパターンを抽出することで新しいフックを作成します。これが、主観的な技術が各個人にユニークに適応し、明示的なプログラミングなしで個人の好みを学ぶ方法です。

コア原則：コンテキストの減算。ユーザーが入力を提供すると、システム内で行われた明示的なアクション—学習メカニズムは、2つの完全な統合コンテキストスナップショットをキャプチャします：

$$\Sigma_{\text{before}} = \text{Context immediately before user input}$$

$$\Sigma_{\text{after}} = \text{Context immediately after user input completes}$$

これらのスナップショットの違い—デルタまたはコンテキストの減算—は、ユーザーの行動の結果として何が変わったのかを正確に示します：

$$\Delta = \Sigma_{\text{after}} - \Sigma_{\text{before}}$$

このデルタ Δ は単なる変更のログではありません。これは、ユーザーが作成した変換の構造化された表現であり、何が変わったのかと各変更の大きさの両方をキャプチャします。デルタは、新しい学習された知識フックが成長するための種になります。

デルタからフックへ：学習アルゴリズムは、前のスナップショット、デルタ、現在のシステム状態から候補となる知識フックを抽出します：

$$KH_{\text{learned}} = \text{extract}(\Sigma_{\text{before}}, \Delta, \text{context})$$

より具体的には、新しいフックは次のように構築されます：

$$KH_{\text{new}} = (R_{\text{extracted}}, A_{\text{extracted}}, \text{learned}, S_0)$$

ここで：

- $R_{\text{extracted}}$ = Σ_{before} から抽出された条件（ユーザーが行動を決定したときに存在するパターン）
- $A_{\text{extracted}}$ = Δ から抽出されたアクション（ユーザーが生み出した変更）
 - タイプ = 学習された（事前定義されたフックと区別される）
 - S_0 = 初期成功スコア（通常は0.5、信頼性が不明であることを示す）

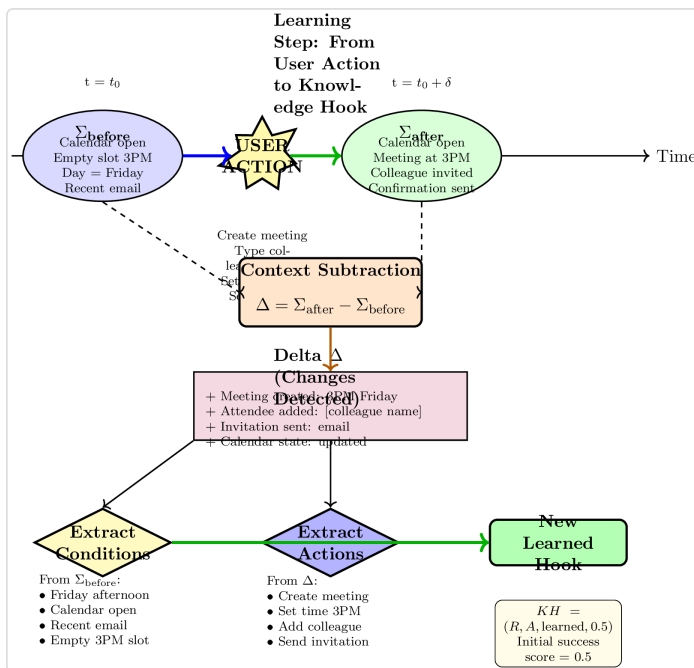


Figure: The learning step process. User action transforms context from Σ_{before} to Σ_{after} . Context subtraction reveals the delta Δ . Conditions are extracted from Σ_{before} , actions from Δ , creating a new learned hook.

例：カレンダースケジューリングフックの学習

具体的な例を通じて学習ステップの実行を追跡してみましょう。あなたは毎週金曜日の午後3時に同僚との会議をスケジュールします。最初にこれを手動で行うと、システムは観察し学習します。

First Friday - $t_0 = 14:45$ (2:45 PM)

Σ_{before} の前のコンテキスト :

- 時間 : 14:45、曜日 : 金曜日

- アプリケーション：カレンダー（アクティブウィンドウ）
- カレンダーの状態：金曜日の午後3時のスロットは空です
- 最近の活動：10分前に同僚からのメールを受信
- メールの内容：週次の同期について言及し、金曜日を参照
- 場所：オフィス
- 前のパターン：現在は定期的な会議はありません

ユーザーアクション (t_0 から t_0+30 秒) :

1. "新しいイベント"ボタンをクリック
2. タイトルを入力："アレックスとの週次同期"
3. 時間を設定：金曜日 15:00 - 15:30
4. 出席者を追加： alex@company.com
5. 繰り返しを設定：毎週
6. "招待状を送信"をクリック

Σ_{after} の後のコンテキスト (t_0+30 秒 = 14:45:30) :

- 時間：14:45:30, 曜日：金曜日
- アプリケーション：カレンダー（まだアクティブ）
- カレンダーの状態：定期的な会議が作成されました、金曜日の午後3時は占有されています

- 会議の詳細: タイトル "アレックスとの週次同期", 参加者 alex@company.com
- 招待状のステータス: 送信済み (メール通知が送信されました)
- 最近の活動: 10分前の同じメール (現在処理済み)
- 場所: オフィス (変更なし)

コンテキストの減算:

$$\Delta = \sum_{\text{after}} - \sum_{\text{before}}$$

検出された変更:

- +カレンダーイベント: "アレックスとの週次同期"
- +時間帯: 金曜日 15:00-15:30
- +繰り返し: 毎週
- +出席者: alex@company.com
- +メール招待: 送信済み
- カレンダーの状態変更: 空 → 占有

フック抽出:

条件 R (\sum_{before} から抽出):

- r_1 : 曜日 = 金曜日
- r_2 : 時間 $\in [14:30, 15:00]$ (午後のウィンドウ)
- r_3 : アクティブラリケーション = カレンダー

- r_4 : calendar_slot[Friday][15:00] = empty
- r_5 : recent_email_from = alex@company.com
- r_6 : email_content matches (weekly|sync|Friday)

Actions A (extracted from Δ):

- a_1 : create_calendar_event(title="Weekly Sync with Alex")
- a_2 : set_time(day=Friday, start=15:00, duration=30min)
- a_3 : set_recurrence(frequency=weekly)
- a_4 : add_attendee(alex@company.com)
- a_5 : send_invitation()

Type: T = learned

初期成功スコア: S_0 = 0.5 (中立、未検証)

完全に学習されたフック:

$$KH_{\text{Friday-Meeting}} = (\{r_1, r_2, r_3, r_4, r_5, r_6\}, (a_1, a_2, a_3, a_4, a_5), \text{learned}, 0.5)$$

パターン認識と一般化: 初期に学習されたフックはしばしば過剰に特定されます - 特定のインスタンスから多くの詳細をキャプチャします。システムは適切に一般化するためにパターン認識を使用します:

過剰に特定された条件 (初期に学習された):

- クリック時のマウスカーソルの位置 (x, y)
- 正確なウィンドウサイズと位置

- バッテリーレベル、WiFi信号強度
- 環境ノイズレベル

一般化された条件（剪定後）：

- 曜日 = 金曜日（関連）
- 時間帯 2-3 PM（関連）
- 同僚からの最近のメール（関連）
- カレンダーAPPLICATIONが開いている（関連）

システムは、どの条件が重要であるかを判断するためにいくつかのヒューリスティックを使用します：

1. 関連性スコアリング：異なるユーザーの成功したフックアクティベーションに現れる条件は、より高く評価されます。
2. 分散分析：同じアクションの複数のインスタンスで大きく異なる条件は削除されます。
3. ドメイン知識：事前定義されたルールは、通常関連する条件（時間、場所、APPLICATIONの状態）と無関係な条件（カーソル位置、バッテリーレベル）を示します。
4. ユーザーフィードバック：フックが発動し修正されたとき、システムはどの条件が違反されたかを分析して、実際に重要なものを特定します。

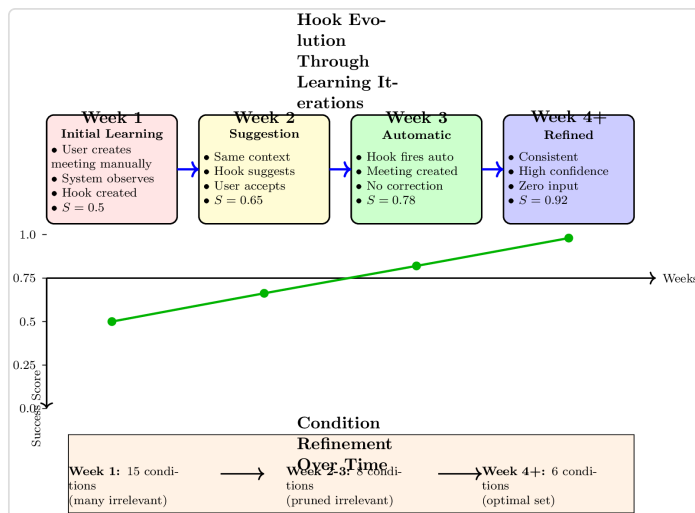


Figure: Hook evolution over multiple learning iterations. Initial hook has low success score (0.5) and many conditions. Through repeated successful activations, success score increases and conditions are refined to optimal set.

類似フックの統合：ユーザーが異なるコンテキストで類似のアクションを繰り返すと、システムは複数の類似フックを学習することができます。これらは統合の候補です：

例：数週間後、次のような別々のフックを学習しているかもしれません：

- KH_1 ：アレックスとの会議を金曜日の午後3時にスケジュールする（作成：第1週）
- KH_2 ：メールに「同期」と記載されているとき、アレックスとの会議を金曜日の午後3時にスケジュールする（作成：第3週）
- KH_3 ：オフィスから金曜日の午後3時にアレックスとの会議をスケジュールする（作成：第5週）

これらのフックは大きな重複があります。システムはそれらを1つのより強力なフックに統合できます：

$$KH_{\text{merged}} = \text{merge}(KH_1, KH_2, KH_3)$$

統合されたフック：

- 条件の和または交差を取ります（戦略に応じて）
- アクションシーケンスを結合します（通常は同一なので変更は不要）
- 使用頻度に基づいて重み付けされた成功スコアの平均：

$$S_{\text{merged}} = \frac{\sum_i S_i \cdot n_i}{\sum_i n_i}$$

ここで n_i はフック KH_i が成功裏に発火した回数です。

デルタ表現：デルタ Δ は、何が変わったのかについての豊かな構造情報をキャプチャする必要があります。単純な差分では不十分です。代わりに、デルタは修正の構造化されたセットとして表現されます：

$$\Delta = \{(entity, property, old_value, new_value, operation)\}$$

カレンダー会議の例のデルタ：

- (カ レ ン ダ ー 、 イ ベ ン ト 、 [] , [Meeting{title="Weekly Sync", ...}], ADD)
- (カ レ ン ダ ー 、 Friday_3PM、 "empty"、 "occupied"、 MODIFY)

- (`Email` , `Sent_Items` , `previous_list` ,
`previous_list + [Invitation{...}]` , APPEND)

この構造化された表現は、正確なアクションの抽出を可能にし、何が変わったのかだけでなく、どのように、なぜ変わったのかを理解することを可能にします。

学習率と閾値：すべてのユーザーアクションが即座に新しいフックを作成するわけではありません。システムはフックの増殖を防ぐために閾値を適用します：

1. 意義の閾値：実質的な変更を伴うアクションに対してのみフックを作成します (>5 修正されたエンティティ)

2. 繰り返しの閾値：フックを作成する前に、同じアクションが2~3回実行されるのを待ちます

3. 類似性チェック：新しいフックを作成する前に、類似のフックがすでに存在するかを確認し、代わりにそれを更新します

4. ユーザーの意図検出：ヒューリスティックを使用して、意図的なパターンとランダムな一回限りのアクションを区別します

学習ステップは単なる記録メカニズムではなく、ユーザーの行動を観察し、繰り返しのパターンを特定し、ノイズをフィルタリングし、学習した知識を実行可能なフックに結晶化する知的なパターン抽出システムです。これは、主観的な技術が一般的なツールから自己の個人的な拡張に進化し、ニーズを予測し、継続的な観察と適応を通じてエネルギー消費を最小限に抑える方法です。

3.2.4 構成：シンプルなフックから複雑な行動を構築する

構成は、知識フックがより大きく、洗練された行動に結合することを可能にする操作です。個々のフックは強力ですが、フックが構成されるとき、つまりシンプルな原子的な行動が接続され、調整されて複雑で知的なシステムを生み出すときに本当の魔法が現れます。構成は、孤立した自動化のコレクションを一貫した適応型の知性に変えるものです。

知識フックの代数は、2つの主要な構成形式を定義します：

1. ネスト構成（階層的）：条件とアクションは他のフックを含むことができ、行動の階層を作成します

2. フラット構成（連結）：複数のフックは、その条件とアクションを連結することで結合でき、より大きな統一されたフックを作成します

これら2つの形式により、知識フックはモジュール性と再利用性を維持しながら、任意の計算の複雑さを表現できます。

ネスト構成：フック内のフック。最も強力な構成形式では、フックがその条件やアクション内で他のフックを参照することができます。これにより、高レベルの抽象が低レベルのプリミティブから構築される階層構造が作成されます。

形式的には、フック KH_i は他のフック KH_j への参照を2つの方法で含むことができます：

条件内のサブフック：条件は、別のフックが発火するか、最近発火したかをチェックできます：

$$R_i = \{r_1, r_2, \dots, r_k, \text{fires}(KH_j, C_t), \dots, r_n\}$$

ここで $\text{fires}(KH_j, C_t)$ は、フック KH_j が現在のコンテキスト C_t でアクティブになる場合に `true` に

評価されます。

アクションのサブフック： アクションは別のフックの実行を呼び出すことができます：

$$A_i = (a_1, a_2, \dots, \text{execute}(KH_j), \dots, a_k)$$

ここで `execute(KHj)` はアクションシーケンスの一部としてフック `KHj` をトリガーします。

このネスティングにより、強力な抽象化が可能になります。「出発のために家を準備する」のような高レベルのフックは、「ライトを消す」、「ドアをロックする」、「セキュリティシステムをアームする」のサブフックを呼び出すことができ、それぞれが個々の部屋やデバイスのための独自のサブフックを呼び出すことがあります。

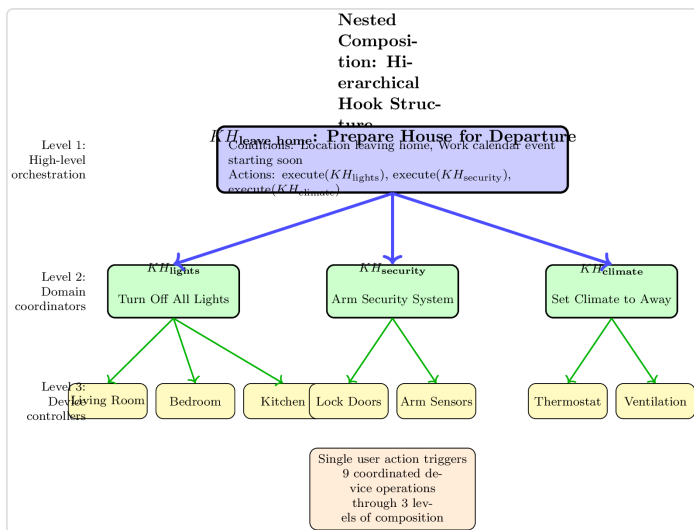


Figure: Nested composition hierarchy. A single high-level hook 'leave_home' executes three mid-level coordinator hooks, which in turn execute nine device-level hooks. Composition creates modularity and reusability.

例：ネストされた朝のルーチン。あなたの朝のルーチンのために学習されたフックを考えてみてください。すべてのアクションをハードコーディングするのではなく、既存の専門的なフックから構成することができます：

$KH_{\text{morning_routine}}$:

条件 R :

- 起床時間（アラームが解除されました）
- 日は平日です
- 場所 = 自宅

アクション A :

1. `execute(KHbedroom_lights)` → 寝室のライトを80%に徐々に明るくする
2. `execute(KHcoffee_maker)` → コーヒーを淹れ始める
3. `execute(KHweather_briefing)` → スピーカーで今日の天気をアナウンスする
4. `execute(KHcalendar_sync)` → バスルームの鏡にカレンダーを表示する
5. `execute(KHnews_summary)` → 朝食中にニュースのポッドキャストを再生する

各サブフックは独立して役立ち、他のコンテキストでも再利用できます。寝室のライトフックは、夜の読書ルーチンによっても呼び出される可能性があります。コーヒーメーカーのフックは、ゲストが到着したときにトリガーされるかもしれません。このモジュラリティにより、フックを再作成する必要がなくなり、組み合わせることができます。

フラットコンポジション：フックの連結。2番目のコンポジション形式は、複数のフックをそのコンポーネントを統合することによって組み合わせます。2つのフック $KH_1 = (R_1, A_1, T_1, S_1)$ と $KH_2 = (R_2, A_2, T_2, S_2)$ が与えられたとき、フラットコンポジションは新しいフックを作成します：

$$KH_{\text{combined}} = KH_1 \oplus KH_2 = (R_1 \cup R_2, A_1 \| A_2, T_{\text{derived}}, S_{\text{combined}})$$

ここで：

- $R_1 \cup R_2$ は条件の和集合です（両方のフックのすべての条件が満たされる必要があります）
- $A_1 \| A_2$ はアクションシーケンスの連結です（ A_1 を実行してから A_2 を実行）
- T_{derived} は通常、結合フックのために「学習される」
- S_{combined} はコンポーネントの成功スコア（通常は最小値または平均値）から計算される

フラット構成は、類似のフックを統合したり、独立したアクションから複合的な動作を作成したりする際に便利です。

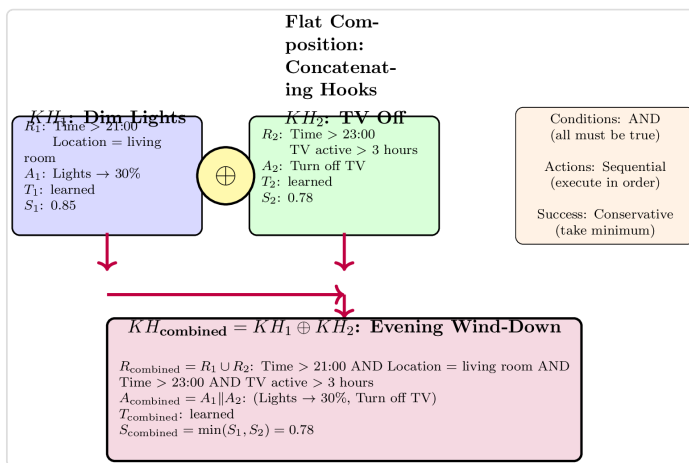


Figure: Flat composition combines two hooks by taking the union of conditions (AND semantics), concatenating actions sequentially, and computing a combined success score (often minimum to be conservative).

例：夕方のフックの統合。独立した夕方のフックが2つあるとします：

$KH_{\text{dim_lights}}$ ： 時間 > 21:00かつリビングルームにいる場合 → 照明を30%に調整

$KH_{\text{silence_phone}}$ ： 時間 > 21:30かつ自宅にいる場合 → おやすみモードを有効にする

これらは単一の統一された夕方のルーチンフックに構成でできます：

$$KH_{\text{evening}} = KH_{\text{dim_lights}} \oplus KH_{\text{silence_phone}}$$

結果として得られるフックは、すべての条件が満たされたとき（時間 > 21:30、リビングルーム、自宅にいる）に発動し、2つのアクションを順番に実行します（照明を調整し、その後おやすみモードを有効にする）。

カスケーディング：フックがフックをトリガーする。1つのフックの実行が他のフックをトリガーするコンテキストの変化を生じる特別なケースが発生します。これがカスケーディングであり、フックのアクティベーションの連鎖反応です。

正式には、フック KH_1 がフック KH_2 にカスケードするのは、次の条件を満たす場合です：

$$\text{execute}(KH_1, C_t) \rightarrow C_{t+1} \text{ such that } \bigwedge_i r_i^{(2)}(C_{t+1}) = \text{true}$$

言い換えれば、 KH_1 を実行すると、 KH_2 の条件を満たすようにコンテキストが変更され、 KH_2 が発火します。

例のカスケード：

1. $KH_{\text{leave_home}}$ が発火 → 位置を「外出」に設定
2. コンテキストの変更（位置 = 外出）が KH_{security} をトリガー → セキュリティシステムをアーム
3. コンテキストの変更（セキュリティ = アーム）が $KH_{\text{camera_record}}$ をトリガー → カメラを起動
4. コンテキストの変更（カメラ = アクティブ）が KH_{notify} をトリガー → 電話に確認を送信

各フックは、前のフックによって作成されたコンテキストの変更に基づいて独立して発火し、自動化された動作のエレガントなカスケードを作成します。

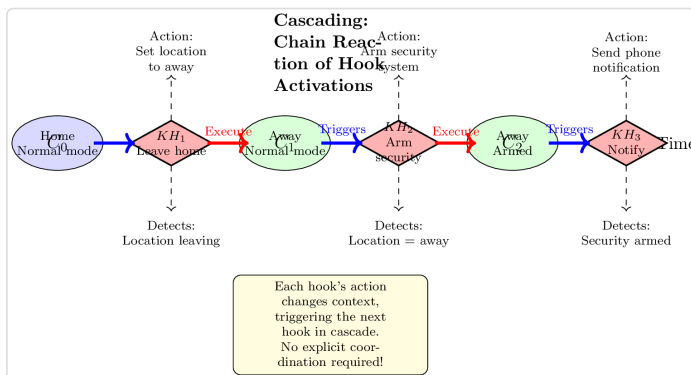


Figure: Cascading activation chain. Hook KH_i executes and changes context from C_{i-1} to C_i . This new context satisfies KH_i 's conditions, causing it to fire. KH_i 's execution creates C_i , triggering KH_{i+1} . Each hook operates independently, yet they coordinate through shared context.

無限ループの防止：カスケーディングは無限ループのリスクを引き起こします—フックAがフックBをトリガーし、フックBが再びフックAをトリガーし、無限に続けます。このシステムは、いくつかのメカニズムを通じてこれを防ぎます：

1. アクティベーション履歴：現在のカスケードチェーンでどのフックが発火したかを追跡します。すでにチェーンにあるフックの再アクティベーションを防ぎます。
2. 深さ制限：カスケードの深さを最大（例：10レベル）に制限します。制限に達した後、チェーンを切断します。
3. 時間ベースのクールダウン：フックが発火した後、再度発火する前に最小の時間間隔を設けます（例：1秒）。
4. コンテキストの安定性：コンテキストが本当に変化したときのみカスケードをトリガーし、状態間で振動しているときにはトリガーしません。

合成特性：合成操作はいくつかの代数的特性を満たします：

結合性（フラット合成）：

$$(KH_1 \oplus KH_2) \oplus KH_3 = KH_1 \oplus (KH_2 \oplus KH_3)$$

フックを合成する順序は最終結果には影響しません（ただし、アクションの実行順序は重要です）。

単位元：単位元 フック
 $KH_\emptyset = (\emptyset, (), \text{predefined}, 1.0)$ が存在し、次のようになります：

$$KH \oplus KH_\emptyset = KH$$

空のフックと合成すると、元のフックは変更されません。

モジュラリティ：ネストされた合成はモジュラリティを保持します。サブフックを変更すると、それを参照するすべてのフックに影響を与え、単一の変更からシステム全体の更新を可能にします。

合成可能性の法則：知識フック代数の基本的な法則の一つは次のように述べています：

"フックは合成操作を通じてより大きな構造に結合でき、その結果得られる合成フックはその構成要素に基づいて予測可能に振る舞います。"

この法則は、合成が安全な操作であることを保証します。適切に動作するフックを組み合わせることで、適切に動作する合成フックが生成されます。システムは合成から新たな障害を発生させることはなく、新たな知性を構築します。

合成の実用的な利点：

1. **再利用性**：フックを一度書けば、合成を通じて多くのコンテキストで使用できます。
2. **保守性**：低レベルのフックを更新すれば、それを使用するすべての合成フックが自動的に恩恵を受けます。
3. **抽象化**：高レベルのフックは、実装の詳細を指定せずに意図を表現できます。
4. **スケーラビリティ**：複雑な動作は、指数的な複雑さなしに単純なコンポーネントから生じます。
5. **学習可能性**：システムは、以前に学習した低レベルの動作を合成することで、高レベルのパターンを学習できます。

合成は、知識フックを孤立した自動化から調整された知性の真のエコシステムへと変革します。合成を通じて、単純な反応的動作は、知的な先見性と調整を示す洗練された適応シ

ステムへと進化します。すべてはフックの組み合わせの数学的代数から生じます。

3.2.5 フックの優先順位付け：複数の候補の中から選択する

優先順位付けは、知識フックシステムにおける基本的な課題を解決する操作です：複数のフックが同じコンテキストで発火する可能性がある場合、どうなるのでしょうか？フックには重複する可能性のある確率的条件があるため、現在のコンテキストに同時に一致するフックがいくつあるのは一般的です。システムは、どのフックを実行すべきかを選択するための原則的に厳密な方法を必要とします。

これは単なる技術的詳細ではなく、主観技術の全体的な哲学の中心です。誤った優先順位戦略は、非効率的な行動、エネルギーの浪費、またはユーザーのフラストレーションにつながる可能性があります。正しい戦略は、システムが常に最も効率的で、最も信頼性が高く、最も文脈に適した行動を選択することを保証します。

競争の課題：シンプルなシナリオを考えてみましょう。あなたは、夕方に帰宅したときに両方とも発動する可能性のある2つのフックを持っています：

```
Hook A (General): Conditions = {time: after  
6pm, location: home} → Actions = {turn on  
living room lights}
```

```
Hook B (Specific): Conditions = {time: after  
6pm, location: home, day: Friday} → Actions =  
{turn on living room lights, start music, set  
temperature to 22°C}
```

金曜日の夕方に帰宅したとき、両方のフックの条件が満たされています。どちらを発動させるべきでしょうか？フックA

はシンプルで、最初に必要なユーザー入力が少ないですが、フックBは現在の文脈に特化しており、より完全な自動化を実現します。誤って選択すると、過剰な自動化（フックA）または金曜日以外の夕方に不適切な自動化を適用することになります（フックB）。

異なる成功スコア、異なる数の行動、異なるソースからのフック（事前定義されたものと学習されたもの）、部分的に重複する条件を持つフックを考慮すると、問題はさらに複雑になります。

優先順位アルゴリズム：知識フックフレームワークは、最小化の法則と経験的信頼性に基づいた二段階の優先順位戦略を採用しています：

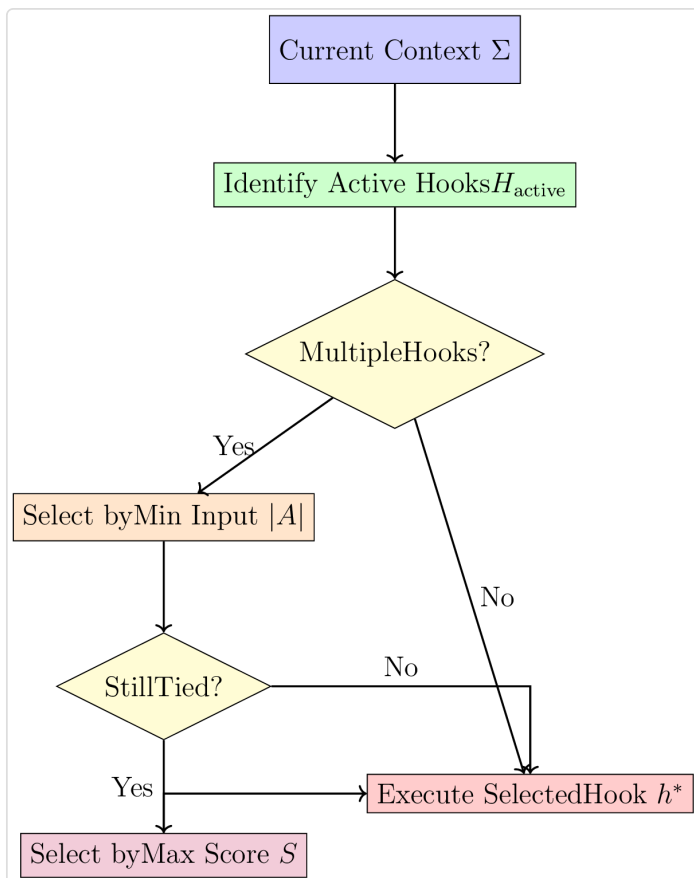
$$\text{Select } h^* = \arg \min_{h \in H_{\text{active}}} |A_h|$$

H_{active} は、現在の文脈に一致する条件を持つすべてのフックの集合です。この第一段階では、最小のユーザー入力を必要とするフック、つまり最小の行動基数 $|A|$ を持つフックを選択します。これは、最小化の法則を直接実装しています：最小のユーザー努力を必要とする経路を優先します。

複数のフックが最小の入力で同点の場合（これはフックが同等の結果を持つ場合によくあります）、成功スコアを使用して同点を解消します：

$$\text{If } |A_{h_1}| = |A_{h_2}| = \cdots = |A_{h_k}|, \text{ then select } h^* = \arg \max_{h \in H_{\text{tied}}} S_h$$

同じユーザー入力を必要とするフックの中から、最も高い成功スコアを持つものを選択します。これは、歴史的に最も信頼性が高く、最も少ない修正を必要としたものです。



特異性と洗練：優先順位付けにおいて重要な考慮事項はフックの特異性です。 条件 R_1 を持つフックは、条件 R_2 を持つフックよりも特異性が高いです。つまり、最初のフックの条件が2番目のフックの条件の部分集合であり、アクティブにするために追加の制約が必要な場合です。

一般的に、より特異的なフックは、成功スコアが似ていても、両方がアクティブになる場合には、より一般的なフックよりも優先されるべきです。これは、特異的なフックがより多くの文脈的ニュアンスを捉え、その特定の状況でユーザーの意図に一致する可能性が高いためです。

Specificity ordering: $R_1 \prec R_2$ if $R_1 \subset R_2$

例えば、条件{time: 7am, day: Monday, location: home, calendar: 'morning meeting'}を持つフックは、単に{time: 7am, location: home}を持つフックよりも特異的です。両方がアクティブになる場合、より特異的なフックが実行されるべきです。なぜなら、それがより正確な文脈を捉えるからです。

拡張例：朝のルーチン優先順位解決。月曜日の朝7:05 AMに競合する3つのフックを考えてみましょう：

Hook₁ (General Morning): R = {time: 7:00-7:30, location: home}, A = {start coffee maker}, S = 0.92

Hook₂ (Weekday Morning): R = {time: 7:00-7:30, location: home, day: Monday-Friday}, A = {start coffee maker, turn on news}, S = 0.88

Hook₃ (Monday Specific): R = {time: 7:00-7:30, location: home, day: Monday, calendar: contains 'meeting'}, A = {start coffee maker, turn on news, prepare briefing doc}, S = 0.85

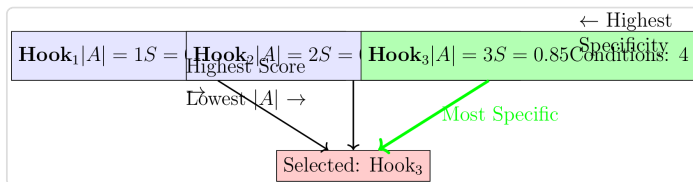
3つのフックすべてがアクティブになります。優先順位付けアルゴリズムを適用します：

ステージ1（入力を最小化）：フック₁の|A| = 1、フック₂の|A| = 2、フック₃の|A| = 3です。最小化の法則により、最初はフック₁を優先します。

しかし、ここで特異性が重要になります。フック₃は最も特異的であり、最も多くの文脈的制約を捉えています。月曜日の朝に会議が予定されている場合、フック₃の追加のアクション（ブリーフィングドキュメントの準備）は、無駄な作業ではなく、真の価値を表しています。この場合、システム

はより高い $|A|$ が完全な自動化を反映していることを認識し、無駄な努力ではないと認識します。

洗練された優先順位付けは、入力の最小化と特異性の重み付けの両方を考慮します。Hook₃は、アクションが多いにもかかわらず、現在のコンテキストに最も特異的な条件を持っているため選ばれます。そのわずかに低い成功スコア（0.85 対 0.92）は、特異性の大きな利点を考慮すると許容されます。



追加の優先要因：コアアルゴリズムは最小入力と最大成功スコアによって優先順位を付けますが、実際の実装では、より微妙な優先順位付けのために追加の要因を組み込むことがあります。

1. 重要性：安全が重要なフック（火災警報、健康緊急事態）は、他の要因に関係なく常に絶対的な優先順位を持ちます。
2. 時間の敏感さ：時間的な緊急性を持つフック（期限が近い特別オファー）は、優先順位のブーストを受けます。
3. 近接性：関連するオブジェクトへの物理的な近接性は優先順位を高めます（遠くのリソースよりも近くのリソースを必要とするフック）。
4. リソースの可用性：現在利用可能なリソースを必要とするフックは、利用できないリソースを必要とするフックよりも優先されます。
5. ユーザー好み：ユーザーはフックの優先順位を手動で調整し、特定の自動化パターンに対する好みを表現できます。

す。

6. 歴史的関連性：頻繁に繰り返されるパターンに関連するフックは、わずかな優先順位の増加を受けます。

7. 同時実行制約：複数のユーザーのコンテキストでは、共有リソースを独占しないフックを優先します。

これらの要因は、複合優先スコアに組み合わせることができます。

$$\text{Priority}(h) = w_1 \cdot f_{\text{input}}(|A_h|) + w_2 \cdot S_h + w_3 \cdot f_{\text{specificity}}(|R_h|) + w_4 \cdot f_{\text{criticality}}(h) + \dots$$

各 w_i はその要因の重要性を決定する重みであり、各 f はその要因を比較可能なスケールに正規化するスコアリング関数を表します。

最終選択：優先順位付けが完了した後、実行のために正確に1つのフックが選択されます。この決定論的選択は重要です。システムは、結びついたオプションの中からランダムに選択したり、複数のフックを同時に実行したりしてはいけません（明示的に構成として設計されている場合を除く）。ランダムな選択は予測不可能な動作を生み出し、システムが信頼できるパターンを学ぶのを妨げます。

優先順位付けアルゴリズムが依然として完全なタイ（同じ入力サイズ、同じ成功スコア、同じ特異性）をもたらす場合、システムはフック作成のタイムスタンプ（新しいフックを優先し、より最近の学習を反映する可能性がある）やフック識別子（完全な決定論のための辞書順）などの最終的な決定論的タイブレーカーを使用できます。

優先順位付けが重要な理由：効果的な優先順位付けは、独立したフックのコレクションを知的で一貫したシステムに変えるものです。それがなければ、フックは混沌と競争し、ランダムまたは最適でない順序で発火し、エネルギーを浪費し、ユーザーを苛立たせます。適切な優先順位付けがあれ

ば、システムは出現する知的な行動を示し、常に最も文脈に適した、最も信頼性の高い、最も効率的なアクションを選択します。

優先順位付けは、学習したフックが徐々に事前定義されたフックを置き換えたり洗練したりするメカニズムも提供します。ユーザーの個人的なフックが経験を蓄積し、成功スコアを増加させると、一般的な事前定義されたフックを優先順位で追い越すことができ、システムは時間とともにますます個別化され、主観的になります。

これが適応型自動化の本質です：システムは単にフックを実行するのではなく、この特定のユーザーにとって、この特定の文脈で最も効果的なフックを継続的に評価し、最適なアクションを知的に選択します。数千の優先順位付けの決定を数週間、数ヶ月にわたって行うことで、システムはあなたになることを学びます。

3.2.6 ロールバック：アクションの取り消しと状態の復元

ロールバックは、システムが知識フックの実行の影響を取り消し、フックが発火する前の状態にコンテキストを復元することを可能にする操作です。この機能は、エラー、ユーザーの修正、意図しない結果を処理するために重要です。フックが望ましくない効果を生じた場合（不正確な条件、変化した状況、単純なミスによる）、ロールバックは回復の道を提供します。

ロールバック操作は、実行中に発生する包括的な状態キャプチャによって有効になります。フックが発火する前に、システムは現在のコンテキストの完全なスナップショット C_t を保存します。ロールバックが必要になった場合、このスナップショットは復元するためのターゲット状態を提供します。

ロールバック操作：正式には、ロールバックはフックの実行を逆転させようとし、現在のコンテキスト $C_{\{t+1\}}$ を実行前のコンテキスト C_t に戻します：

rollback(KH, C_t, C_{t+1}) $\rightarrow C_t$ (if possible)

どこで：

- KH は、実行がロールバックされているフックです。
- C_t は、実行前のキャプチャされたスナップショットです。
- $C_{\{t+1\}}$ は、フック実行後の現在のコンテキストです。
- 操作は、システムを状態 C_t に復元しようとします。

ただし、ロールバックは常に可能または完全ではありません。ロールバックの実現可能性は、実行されたアクションの性質に大きく依存します。

可逆的なアクションと不可逆的なアクション：アクションはその可逆性によって分類できます：

完全に可逆的なアクション：これらは完全に元に戻すことができ、システムを正確に以前の状態に戻します。

例：

- ライトのオン/オフ（元に戻すことができます）
- 音量や明るさの調整（以前の値に戻すことができます）
- ウィンドウやアプリケーションの開閉（逆にすることができます）
- サーモスタッフの温度変更（前の値に戻すことができます）

- ドアの施錠/解錠（切り替えることができます）

完全に逆転可能なアクションの場合、各アクション a_i にはその効果を元に戻す逆アクション $a_{-i}^{-1}(-1)$ があります：

$$a_i(C) \rightarrow C' \implies a_i^{-1}(C') \rightarrow C$$

完全に逆転可能なアクションのシーケンスをロールバックするには、それらの逆を逆順で実行します：

$$\text{rollback}(a_1, a_2, \dots, a_k) = a_k^{-1}, a_{k-1}^{-1}, \dots, a_2^{-1}, a_1^{-1}$$

部分的に逆転可能なアクション：これらは元に戻すことができますが、完全ではありません。いくつかの副作用が残るか、情報が失われます。

例：

- メールを送信する（フォローアップの修正を送信できますが、元のメールは取り消せません）
- カレンダーイベントを作成する（削除できますが、受信者には通知されました）
- ファイルに書き込む（保存されている場合は前の内容を復元できますが、変更のタイムスタンプが変更されました）
- 購入を行う（返金できますが、取引は行われ、時間が経過しました）

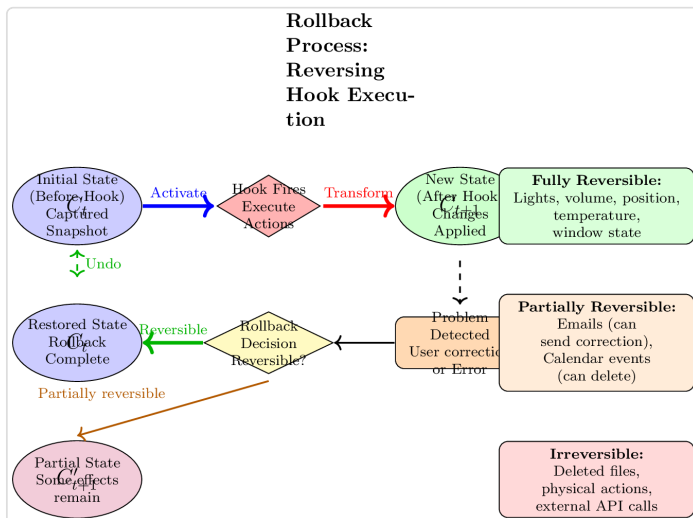
取り消し不可能なアクション：これらは意味のある形で元に戻すことができません。効果は永続的です。

例：

- バックアップなしでファイルを削除する（データが失われる）

- 物理的な文書をシュレッダーにかける
- 物理的なメカニズムをトリガーする（バルブを開ける、モーターを起動する）
- 副作用を伴う外部API呼び出しを行う（支払い処理、第三者へのメッセージ送信）

この区別は重要です。システムはアクションの可逆性に基づいてロールバックを異なる方法で処理する必要があります。



トランザクショナルロールバック：複数の関連アクションを実行するフックの場合、システムはトランザクショナルセマンティクスを使用できます—すべてのアクションが成功するか、すべてがロールバックされます。これは、部分的な完了がまったくアクションを起こさないよりも悪い場合がある重要な操作にとって特に重要です。

旅行予約フックが3つのアクションを実行することを考えてみてください：

1. フライトを予約 → フライト予約を作成
2. ホテルを予約 → ホテル予約を作成
3. 車を借りる → 車のレンタル予約を作成します

車のレンタルが失敗した場合（車が利用できない）、フライトとホテルのみが予約されていると矛盾した状態になります。ユーザーは目的地での交通手段が必要です。この場合、トランザクションのロールバックにより、フライトとホテルの予約がキャンセルされ、予約が存在しない C_t にシステムが戻ります。

if a_i fails, then rollback(a_1, a_2, \dots, a_{i-1})

トランザクション実行時に自動ロールバックが指定されます。トランザクションとしてマークされたフックは、すべてのアクションのロールバック機能を維持します。

ロールバックの実装：実用的なメカニズム。異なるアクションタイプには異なるロールバックメカニズムが必要です：

状態ベースのロールバック：システムの状態を変更するアクション（照明、音量、温度）には、前の状態値を保存し、明示的に復元します：

rollback_action(a_i) = restore(property, value_from(C_t))

例：フックが明るさを 80% に設定し、 C_t が 40% であった場合、ロールバックは明るさを 40% に戻します。

コマンドベースのロールバック：明示的な逆操作を持つアクション（開く/閉じる、ロック/ロック解除）には、逆コマンドを実行します：

rollback("open door") = execute("close door")

補償トランザクション：直接元に戻せないアクション（メール送信、カレンダーイベントの作成）には、影響を軽減する補償アクションを実行します：

- メール送信 → エラーを説明するフォローアップメールを送信
- カレンダーイベント作成 → イベントを削除し、出席者に通知
- ファイルが削除されました → バックアップから復元する（利用可能な場合）

スナップショット復元：複数のプロパティに関わる複雑な状態変更の場合、個々のアクションを逆転させるのではなく、C_tの関連部分全体を復元します。これは、正確なアクションシーケンスが複雑な学習フックに特に役立ちます。

ロールバックがトリガーされたとき：ロールバックは、いくつかのメカニズムを通じて開始できます：

1. ユーザー修正：システムがユーザーが修正ウィンドウ内（通常5分間）にフックのアクションを逆転または変更したことを検出した場合、残りの効果を完全にロールバックすることを提案できます。
2. 明示的な元に戻すコマンド：ユーザーはインターフェースを通じて「最後のフックを元に戻す」と明示的に要求でき、即座にロールバックがトリガーされます。
3. フックの失敗：トランザクショナルフック内のアクションが実行に失敗した場合、以前のアクションの自動ロールバックが発生します。
4. エラー検出：システムがフックの実行が安全制約に違反したり異常な結果を生成したことを検出した場合、自動的にロールバックをトリガーできます。

5. カスケード終了：カスケードチェーンが深さ制限に達したり無限ループを検出した場合、システムはチェーン内の最新のフックをロールバックすることができます。

ロールバックの制限とトレードオフ：すべてのロールバックが実行可能または望ましいわけではありません：

時間の不可逆性：時間は逆転できません。すべての状態変更が元に戻されても、費やした時間や消費したエネルギーは回復できません。これは、時間に敏感なアクション（リマインダーが抑制されたために会議を逃した場合、ロールバックで修正できません）に特に関連しています。

外部副作用：外部システムや他のユーザーに関わるアクションは、常にクリーンに元に戻すことができるわけではありません。同僚に送信したメールは既に読まれており、ローカルで削除しても彼らの記憶から消えるわけではありません。

カスケード依存関係：他のフックがロールバックされたフックのアクションからカスケードしている場合、ロールバックには全体のカスケードチェーンを元に戻す必要があるかもしれません。これは複雑で、ユーザーが元に戻すつもりのなかったフックに影響を与える可能性があります。

パフォーマンスコスト：ロールバック機能を維持するには、包括的なスナップショットを保存する必要があり、メモリを消費します。リソースが限られたシステムでは、すべてのフックに対して実用的ではないかもしれません。

ユーザーの混乱：積極的な自動ロールバックは、システムがアクションを元に戻している理由を理解していない場合、ユーザーを混乱させる可能性があります。ロールバックは、何が元に戻されているのか、なぜそれが行われているのかについて明確なコミュニケーションと共にに行うべきです。

デザイン原則：ロールバックよりも予防を優先する。ロールバックは貴重な安全メカニズムですが、システムは誤った実行を防ぐことを優先し、ロールバックに頼って修正するべきではありません。これは以下を意味します：

- フックが本当に適切なときだけ発火するように、正確な条件を使用すること
- 信頼性のあるフックのみがアクティブになるように、高い成功率を維持すること
- 競合するオプションの中から最良のフックを選択するために優先順位を付けること
- 実行前に高リスクのアクションに対してユーザーの確認を提供すること

ロールバックはエラー回復として捉えるべきであり、日常的な操作ではありません。うまく機能するナレッジフックシステムは、フックが正確に発火し、意図した結果を生み出すため、ロールバックを必要とするることはほとんどありません。

ロールバックと学習：ロールバックが発生した場合（特にユーザーが開始した場合）、それは学習システムに強い否定的フィードバックを提供します。ロールバックされたフックの成功スコアは大幅に減少するべきです：

$$S_{t+1} = S_t \cdot (1 - \alpha_{\text{rollback}}), \quad \alpha_{\text{rollback}} > \alpha_{\text{correction}}$$

ここで、 α_{rollback} はロールバックペナルティであり、標準の修正ペナルティよりも大きいです。この強い否定的フィードバックは、そのフックが単に小さな調整を必要としたのではなく、そのコンテキストに対して根本的に間違っていたことを示しています。

同じフックの繰り返しのロールバックは、自動的な無効化または削除を引き起こす可能性があり、それがレビューまたは洗練されるまで発火しないようにします。これにより、問題のあるフックが繰り返しロールバックを必要とする問題を引き起こすのを防ぎます。

結論：安全ネットとしてのロールバック。ロールバック操作は、知識フックシステムにおける重要な安全メカニズムとして機能し、エラー、不正確なアクティベーション、および意図しない結果から回復するための道を提供します。すべてのアクションが完璧に元に戻せるわけではありませんが、状態キャプチャ、逆操作、および補償トランザクションの組み合わせにより、システムは必要に応じてほとんどの影響を元に戻すことができます。

しかし、ロールバックは主な機能ではなく、バックストップとして見なされるべきです。主観的技術の目標は、フックがほとんど修正を必要とせず、ほとんど決してロールバックを必要としないほど正確にパターンを学習することです。システムが成熟し、フックが強化学習を通じて改善されるにつれて、ロールバックはますます稀になり、技術が真にあなたになることを学んだ証となります。

3.3 構成と洗練

3.3.1 ネストされた構成：フック内のフック

3.3.2 フラット構成：フックの連結

3.3.3 洗練と一般化：特異性によるフックの順序付け

洗練と一般化は、知識フックがそのパフォーマンスに応じて進化する方法を支配する補完的な操作です。これらの操作は、機械学習における根本的な課題に対処します：条件に対

する最適な特異性のレベルを見つけることです。特異すぎる（過剰適合）と、フックはほとんどアクティブになりません。一般的すぎる（過少適合）と、フックは不適切なコンテキストで発火します。洗練と一般化は、経験的結果に基づいてフックの特異性を動的に調整するメカニズムを提供します。

特異性の順序付け：フックはその特異性、つまり条件の制約の厳しさによって順序付けることができます。この順序付けは、フック間の関係を理解し、フックをより特異的または一般的にするタイミングについて賢明な判断を下すのに役立つ自然な階層を作り出します。

形式的には、特異性の順序関係 \prec (発音は「リファイン」または「より特異的である」) を定義します：

$$KH_1 \prec KH_2 \iff R_1 \subset R_2$$

ここで：

- $KH_1 \prec KH_2$ は「 KH_1 は KH_2 のリファインメントである」または「 KH_1 は KH_2 より特異的である」を意味します。
- $R_1 \subset R_2$ は KH_1 の条件セットが KH_2 の条件の適切な部分集合であることを意味します。
- これは KH_1 が KH_2 のすべての条件に加えて追加の制約を持っていることを示唆します。

言い換えれば、フック KH_1 がフック KH_2 のすべての条件を含み、さらに追加の条件を加える場合、 KH_1 はより特異的です。それはより少ない文脈でのみアクティブになり、追加の制約を満たすものだけです。

例の階層：朝のコーヒー準備のための3つのフックを考えてみましょう：

```
KH_general: R = {time: 7:00-8:00} → A = {start coffee maker}
```

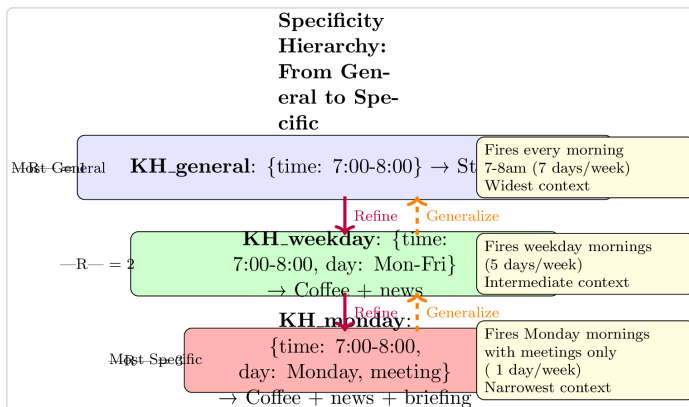
```
KH_weekday: R = {time: 7:00-8:00, day: Monday-Friday} → A = {start coffee maker, turn on news}
```

```
KH_monday: R = {time: 7:00-8:00, day: Monday, calendar: contains 'meeting'} → A = {start coffee maker, turn on news, prepare briefing}
```

これらのフックは特異性のチェーンを形成します：

$KH_{\text{monday}} \prec KH_{\text{weekday}} \prec KH_{\text{general}}$

KH_{monday} は最も特異的（最も狭いアクティベーションコンテキスト）であり、 KH_{general} は最も一般的（最も広いアクティベーションコンテキスト）です。各レベルは、フックが発火する際に条件を狭める追加条件を加えます。



過剰適合と不足適合の問題：適切な特異性のレベルを見つけることは、フックの効果にとって重要です。これは、過剰適合と不足適合という古典的な機械学習の課題に類似しています：

過剰適合（あまりにも特異的）：条件が過度に制限されたフックは、必要なときでさえほとんど発火しません。フックは、学習中に存在したが実際には因果関係のない無関係な詳細-虚偽のパターンを学習しています。

例：金曜日の午後に赤いシャツを着ているときに会議を作成し、ノートパソコンのバッテリーが73%のとき。学習されたフックは最初に条件を抽出するかもしれません：

```
R = {day: Friday, time: 14:00-17:00,  
clothing_color: red, battery: 70-75%}
```

このフックは、これらの正確な条件がほとんど一致しないため、再び発火することはほとんどありません。関連する条件は「金曜日の午後」ですが、フックは赤い服と73%のバッテリーも必要だと誤って学習しました。これが過剰適合です。

不足適合（あまりにも一般的）：条件が不十分なフックは、不適切なコンテキストで発火し、望ましくないアクションを生成し、頻繁な修正を必要とします。

例：いくつかの修正の後、システムはあまりにも積極的に一般化するかもしれません：

```
R = {time: 14:00-17:00} → A = {create  
meeting}
```

今、フックは毎日午後に発火します。これは、曜日や実際に会議が必要かどうかに関係なく行われます。これは過剰適合です-条件が広すぎます。

最適なフックはこれらの極端をバランスさせます：

```
R = {day: Friday, time: 14:00-17:00}
```

これは、実際のパターンを余計な詳細なしに捉えます。

洗練：フックをより具体的にすること。洗練とは、フックに条件を追加して、発火するタイミングをより制限する操作です。これは、フックが不必要的文脈で発火してしまう場合に行われます。

$$\text{refine}(KH) = (R \cup \{r_{\text{new}}\}, A, T, S)$$

ここで、 r_{new} はフックが誤って発火した文脈から抽出された追加の条件です。洗練されたフック KH' は条件 $R' = R \cup \{r_{\text{new}}\}$ を持ち、元の条件すべてと新しい制約を継承します。

洗練プロセス：

1. 偽陽性を検出：フックが発火し、ユーザーがすぐに修正します ($\text{Corr_t} = 1$)
2. 文脈を分析：フックが誤って発火した文脈 ($C_{\text{incorrect}}$) と正しく発火した文脈 ($C_{\text{correct}}, 1-n$) を比較します。
3. 判別特徴を特定： C_{correct} のケースに存在し、 $C_{\text{incorrect}}$ に存在しない文脈的特徴を見つけます。
4. 条件を追加：この識別特徴をキャッチする新しい条件 r_{new} を作成します。
5. フックを更新：元のフックを洗練されたバージョンに置き換えます。

例：あなたの「午後9時にライトを暗くする」フックは、映画を見ているときに発動し続けますが、これは望ましくありません。システムは成功したアクティベーションと不正確なアクティベーションを分析します：

- $C_{\text{correct}}: \{\text{time: } 21:00, \text{ location: } \text{home}, \text{ TV: off, lights: bright}\}$

- C_incorrect: {time: 21:00, location: home, TV: on, lights: dim}

識別特徴はテレビの状態です。洗練によりこの条件が追加されます：

元の： R = {time: 21:00, location: home}

洗練された： R = {time: 21:00, location: home, TV: off}

これで、あなたがテレビを見ていないときだけライトが暗くなります。

一般化： フックをより一般的にする。一般化は逆の操作であり、フックがより広く発動するように条件を削除します。これは、フックが制限されすぎている場合、発動すべき機会を逃しているときに行われます。

generalize(KH) = ($R \setminus \{r_{spurious}\}$, A, T, S)

$r_{spurious}$ は不必要にアクティベーションを制限する条件です。一般化フック KH' は条件 $R' = R \setminus \{r_{spurious}\}$ を持ち、削除された条件を除くすべての元の条件を持っています。

一般化プロセス：

1. 低アクティベーションを検出：フックは発火頻度が低いが、発火した際の成功スコアは高い。
2. ユーザーが手動でアクションを繰り返す：ユーザーはフックが発火しなかったコンテキストでアクションを実行します。
3. パターンを分析：これらの新しいコンテキストで一貫して違反されるRの条件を特定します。

4. 条件を削除：Rから過度に制限的な条件を削除します。
5. 監視：修正が増加せずにアクティベーションが増加するのを監視します。

例：あなたの朝のプレイリストを開始するためのフックは、正確に午前7時5分にのみ発火します： :05

```
R = {time: 07:05, location: home, weekday: true}
```

But you've manually started the playlist at 7:03, 7:08, and 7:12 on different days. The system recognizes that the exact time condition is too restrictive. It generalizes:

```
R = {time: 07:00-07:15, location: home, weekday: true}
```

今、フックはあなたの朝のルーチンのウィンドウ全体で発火し、正確な1分間だけではありません。

適応的粒度：重要な洞察は、最適な特異性レベルは静的ではなく、パフォーマンスに基づいて適応するということです。システムは成功スコアとアクティベーションパターンを継続的に監視し、洗練または一般化が必要かどうかを判断します：

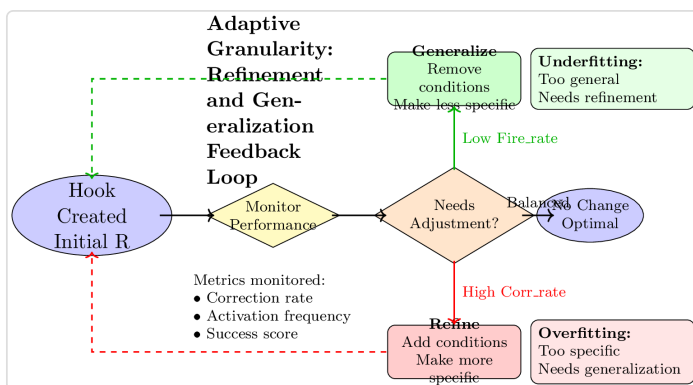
```
if (Corr_rate > θ_refine) then refine(KH)
if (Fire_rate < θ_generalize ∧ S > 0.8) then generalize(KH)
```

どこで：

- Corr_rateは修正頻度（修正/アクティベーション）です。
- θ_{refine} は洗練をトリガーするための閾値です（例： $0.3 = 30\%$ の修正）。

- `Fire_rate`はアクティベーション頻度（アクティベーション/機会）です。
- `θ_generalize`は一般化をトリガーするための閾値です（例： $0.1 =$ 潜在的なコンテキストのうち10%でのみ発火）。
- `S`は成功スコアです。

これによりフィードバックループが作成されます： 修正と共に頻繁に発火するフックはより特異的になり、稀に発火するがうまく機能するフックはより一般的になります。



部分順序と格子構造： 特異性関係 \prec はすべてのフックの集合に部分順序を作成します。複数のフックが同じ特異性レベルに存在することができ（どちらも他より特異的ではありません）、フックは複数の洗練または一般化を持つことができます。

この構造は格子を形成します。これは、次のような数学的構造です：

- すべてのフックのペアには最小上限があります（両方を一般化する最も特定的なフック）

- すべてのフックのペアには最大下限があります（両方を洗練する最も一般的なフック）

この格子構造はフックの関係についての高度な推論を可能にします。たとえば、異なる条件を持つ2つのフックが同じアクションを生成し、どちらもうまく機能する場合、それらは1つのより一般的なフックに統合する候補となるかもしれません。

優先順位との関係：洗練と一般化は優先順位に直接影響します。複数のフックが発火できる場合、より特定的なフックがより一般的なものよりも優先されます（優先順位のセクションで説明されています）。これにより、次のことが保証されます：

- 特化した動作は、両方が適用される場合に一般的な動作を上書きします
- ユーザーはエッジケースを処理するためにますます特定的なフックを作成できます
- システムは自然に一般的なパターンから微妙で文脈を考慮した応答に進化します

例：午後9時に照明を暗くする一般的なフックがあるかもしれません。時間が経つにつれて、金曜日と土曜日の夜に照明を明るく保つより特定的なフックで洗練します。特定的なフック（追加の「日」条件を持つ）は週末に優先され、一般的なフックは平日の夜を処理します。

自動洗練と手動洗練：システムは自動洗練とユーザーが開始した洗練/一般化の両方を実行できます：

自動洗練：高い修正率によってトリガーされます。システムは修正のパターンを分析して、欠落している条件を特定します。

自動一般化：成功率が高い低いアクティベーションによってトリガーされます。システムは、フックが発火すべきだったが発火しなかったコンテキストを比較することで、過度に制限された条件を特定します。

手動洗練：ユーザーはインターフェースを通じて条件を明示的に追加できます：「[条件]のときのみこれを行う」

手動一般化：ユーザーは条件を削除できます：「[条件]に関係なくこれを行う」

自動適応と手動制御の組み合わせにより、ユーザーは必要に応じて便利さと細かな制御の両方を得ることができます。

洗練と一般化が重要な理由：これらの操作は、Knowledge Hooksが精度とカバレッジの間で適切なバランスを達成するために不可欠です。これらがなければ：

- 学習したフックは初期の特異性レベルに留まります。
- 過剰適合したフックはシステムリソースを無駄にし、決してアクティブになりません。
- 過少適合したフックは常に修正を必要とし、ユーザーを苛立たせます。
- システムは変化するユーザーパターンやコンテキストに適応できません。

経験的なパフォーマンスに導かれた継続的な洗練と一般化を通じて、Knowledge Hooksは甘美なポイントを見つけます。偽陽性を避けるために十分具体的でありながら、真のパターンを捉えるために十分一般的です。この適応的な粒度が、主観的な技術が明示的なプログラミングを必要とせずに個々のユーザーのニュアンスを学ぶことを可能にし、時間とともに改善される真にパーソナライズされた自動化を生み出します。

3.3.4 同等性：異なるフックが同じ結果を生み出すとき

同等性は、異なる条件、異なるアクションシーケンス、または異なる内部構造を持っている可能性があるにもかかわらず、2つ以上のKnowledge Hooksが同じ結果を生み出すときにそれを決定する操作です。同等性を理解することは、最適化、重複排除、競合するフックの間でのインテリジェントな選択にとって重要です。

同等性関係：2つのフックは、同じコンテキストで実行されたときに区別できない結果を生み出す場合、同等です。形式的には、同等性関係 \equiv を次のように定義します：

$$KH_1 \equiv KH_2 \iff \forall C : \text{outcome}(KH_1, C) = \text{outcome}(KH_2, C)$$

ここで：

- $KH_1 \equiv KH_2$ は「 KH_1 は KH_2 と同等である」を意味します
- $\forall C$ は「すべてのコンテキストに対して」を意味し、両方のフックが潜在的に発火する可能性がある場所です
- $\text{outcome}(KH, C)$ は、コンテキスト C で フック KH を実行した後の最終システム状態を表します

2つのフックは、任意の与えられた状態から同じ結果の状態にシステムを変換する場合に同等です。取られる特定の経路–中間ステップ、操作の順序、内部表現–は重要ではありません。最終的な結果だけが重要です。

重要：同等性は、フックの構造によってではなく、観察可能な結果によって定義されます。全く異なる条件とアクションを持つフックでも、同じ結果を生み出す場合は同等である可能性があります。

単純な例：リビングルームのライトをオンにするための3つのフックを考えてみましょう：

```
KH1: R = {time: 18:00, location: home} → A =  
{lights.living_room = ON}
```

```
KH2: R = {sunset: true, location: home} → A  
= {lights.living_room.brightness = 100%}
```

```
KH3: R = {darkness_level: >80%, location:  
living_room} → A =  
{turn_on(lights.living_room)}
```

これらの3つのフックは、異なる条件（時間ベース、日没ベース、暗さベース）を持ち、わずかに異なるアクション仕様（ON対100%の明るさ対turn_onコマンド）があります。しかし、機能的には同等です：すべてのフックは、リビングルームのライトがフル明るさで点灯する結果をもたらします。

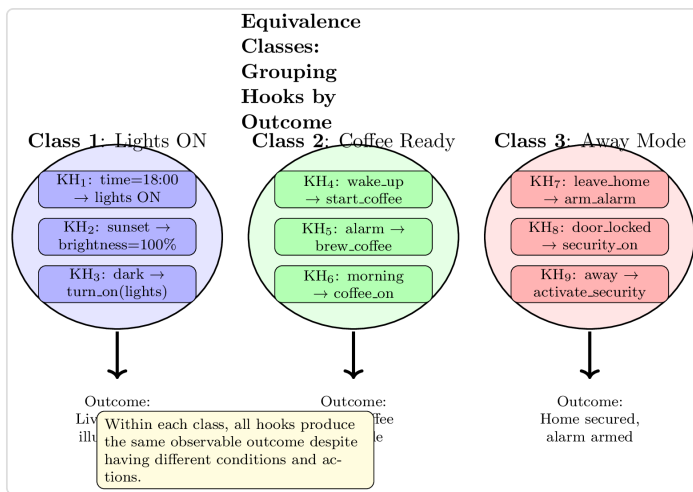
$$KH_1 \equiv KH_2 \equiv KH_3$$

同値クラス：同値関係は、すべてのフックの集合を同値クラスに分割します。同じ結果を生み出すフックのグループ：

$$[KH] = \{KH' : KH' \equiv KH\}$$

ここで [KH] は フック KH を含む 同値クラス を示します。同じ 同値クラス のすべての フック は、結果の観点からは 交換可能ですが、効率性、信頼性、または アクティベート される タイミング が異なる場合があります。

同値法則は、同じ結果を持つフックは同じ同値クラスに属し、システムは最適化のためにこの関係を認識し活用すべきであると述べています。



同値が重要な理由：同値関係は、いくつかの重要な最適化とインテリジェントな動作を可能にします：

1. 選択による最小化：複数の同等のフックが発動できる場合、システムは最も効率的なものを賢く選択できます。最小化法則と優先順位ルールに従い、同等のフックの中から選択します：

$$KH^* = \arg \min_{KH \in [KH_{\text{equiv}}]} |A|$$

アクション数が最も少ないフックを選択します。アクション数が同じ場合は、成功スコアが最も高いフックを選択します。これにより、システムは常に望ましい結果に到達するための最も効率的な道を選ぶことが保証されます。

2. 重複排除：システムが同じ同値クラス内に似た条件の複数のフックを検出した場合、それらは統合されるか、一方を無効にして冗長性を減らすことができます：

$$\text{if } KH_1 \equiv KH_2 \wedge R_1 \approx R_2 \implies \text{merge}(KH_1, KH_2)$$

これにより、同じ目的を果たすほぼ同一のフックをシステムが維持するのを防ぎます。

3. 耐障害性：異なる条件を持つ複数の同等のフックを持つことは冗長性を提供します。もし一つのフックの条件が満たされなくなった場合（センサーが壊れる、サービスがオフラインになる）、他の同等のフックは代替手段を通じて同じ結果を達成できます。

4. 代替経路の学習：システムが異なる文脈で異なる方法で同じ結果を達成するユーザーを観察すると、これらを同等のアプローチとして認識し、文脈に適したバリエントを選択できます。

同値の検出：2つのフックが同等であるかどうかを判断することは常に簡単ではありません。システムはいくつかのアプローチを使用します：

構文解析：アクションで指定された最終状態を比較します。KH₁のアクションがlights.living_room.state = ONに設定し、KH₂のアクションがlights.living_room.brightness = 100%に設定されている場合、システムがONが100%の明るさを意味することを理解していれば、これらは同等として認識されます。

意味解析：デバイスとその状態に関するドメイン知識を使用します。システムは、turn_on(lights)、set_brightness(lights, 100)、set_state(lights, ON)がすべて同じ結果を生み出すことを知っています。

経験的観察：両方のフックを制御された文脈で実行し、結果の状態が同じかどうかを観察します。フックが常に同じC_tから同じC_{t+1}を生成する場合、それらは経験的に同等です。

ユーザーフィードバック：ユーザーはフックを明示的に同等としてマークできます："これらの2つのフックは同じこと

をします。" これにより、同値関係のための基準が提供されます。

複雑な例：会議の準備。9時の会議の準備のためのフックを考えてみましょう：

```
KH_alarm: R = {time: 08:45, calendar:  
meeting_at_9am} → A =  
{show_notification('Meeting in 15 min'),  
open_calendar, open_meeting_notes}
```

```
KH_context: R = {time: 08:30-08:59,  
next_event: meeting, location: home} → A =  
{displayReminder('Upcoming meeting'),  
launch_calendar_app,  
open_document(meeting_notes)}
```

```
KH_smart: R = {upcoming_meeting: <15min,  
user_active: true} → A = {notify('Meeting  
soon'), switch_to_calendar_view, show_notes}
```

これらの3つのフックは異なるトリガーを持ち、わずかに異なるアクションの実装がありますが、機能的には同等です：すべてのユーザーにカレンダーとノートが表示される会議の通知が行われます。システムはそれらを同等と認識し、アクションが少なく成功スコアが高いものを優先します。

部分的同等性：フックが特定の文脈では同等であるが、他の文脈ではそうでない場合があります。これを部分的または条件付き同等性と呼びます：

$$KH_1 \equiv_C KH_2 \iff \text{outcome}(KH_1, C) = \text{outcome}(KH_2, C)$$

同等性が特定の文脈Cにのみ当てはまり、普遍的ではない場合。

例：温度制御のための2つのフック：

$KH_1: R = \{\text{temp} < 18^\circ\text{C}\} \rightarrow A = \{\text{heater} = \text{ON}\}$

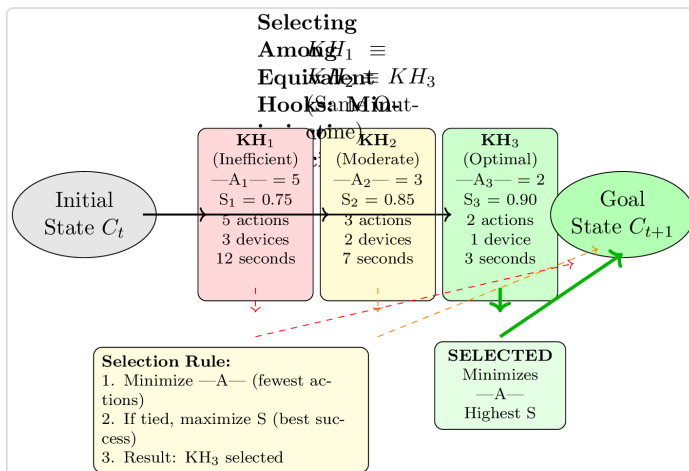
$KH_2: R = \{\text{temp} < 18^\circ\text{C}\} \rightarrow A = \{\text{heater} = \text{ON}, \text{close_windows}\}$

これらのフックは、窓がすでに閉じている場合（どちらもヒーターをオンにするだけ）には同等ですが、窓が開いている場合（ KH_2 はそれらを閉じる）には同等ではありません。システムはこれらの条件付き同等性を追跡し、文脈に適した選択を行います。

同等性と最小化の法則：同等性の法則は最小化の法則と連携しています。最小化の法則は次のように述べています："常に最小のユーザー入力で済むパスを選択してください。" 複数のフックが同等である場合（同じ結果）、この法則は最も効率的なものを選択することを義務付けます：

if $KH_1 \equiv KH_2$ and $|A_1| < |A_2| \implies \text{prefer } KH_1$

これにより自然な最適化圧力が生まれます：システムは各結果を達成するための最も効率的な方法に進化し、非効率的な同等フックを自動的に削除または降格させます。



同等性と成功スコア：興味深いことに、同等のフックは同じ結果を生み出しても異なる成功スコアを持つ場合があります。なぜでしょうか？成功スコアは結果だけでなく、信頼性と修正頻度を測定するからです：

- フックAは結果を達成するかもしれません、時折修正を必要とします。
- フックBはより少ない修正で同じ結果を達成します。

同等であるにもかかわらず（同じ最終状態）、フックBはより信頼性が高く、成功スコアも高くなります。システムは両方が発動可能な場合、フックBを優先します。

実用的な影響：同等性を理解することは、ユーザーやシステム設計者にとっていくつかの実用的な利点があります：

1. **自然な冗長性**：ユーザーは重複するフックを作成することを心配する必要はありません。異なる方法で同じ目標を達成するフックを手動で作成した場合、システムはそれらを同等と認識し、賢く選択します。
2. **自動最適化**：システムはユーザーの介入なしに、より効率的な同等フックを自動的に特定し、優先することができます。ライトをオンにし、音楽を再生し、温度を調整するフック（3つのアクション）は、6つの個別のデバイスコマンドを通じて同じことをするフックよりも優先されます。
3. **フックの移行**：新しいデバイスやサービスにアップグレードする際、同等のフックは自動的に移行できます。古いスマートライトを新しいものに置き換える場合、古いライトを制御していたフックは新しいライト用の同等フックに更新できます。
4. **A/Bテスト**：システムは同等のフックを使って実際に最も信頼性の高いものを判断する実験を行い、徐々に最もパフォーマンスの良いオプションに使用をシフトします。

同等クラスとシステムの進化：時間が経つにつれて、システムのフックのコレクションは自然に同等クラスに整理されます。それぞれのクラス内で：

- フックは効率と信頼性に基づいて競争します
- 最もパフォーマンスの良いフックは使用を蓄積します
- パフォーマンスの悪いフックは降格されるか、最終的に無効化されます
- システムは、各結果が望まれる時に最も信頼性高く予測する条件を学習します

これにより、条件が変化する場合に適切な冗長性を持ちながら、最も効率的で信頼性の高い手段を通じてすべての望ましい結果を達成する最適なフックのセットに向けた進化的圧力が生まれます。

数学的性質：同等関係 \equiv は、任意の同等関係に必要な3つの性質を満たします：

反射的：すべてのフックは自分自身と同等です：

$$\forall KH : KH \equiv KH$$

対称的： KH_1 が KH_2 と同等であれば、 KH_2 は KH_1 と同等です：

$$KH_1 \equiv KH_2 \implies KH_2 \equiv KH_1$$

推移的： KH_1 が KH_2 に等しく、 KH_2 が KH_3 に等しい場合、 KH_1 は KH_3 に等しい：

$$KH_1 \equiv KH_2 \wedge KH_2 \equiv KH_3 \implies KH_1 \equiv KH_3$$

これらの特性は、同値類が明確に定義され、フックのクラスへの分割が数学的に妥当であることを保証します。

結論： 最適化を可能にする同値性。同値操作は、Knowledge Hookシステムがインテリジェントに最適化し適応することを可能にします。異なるアプローチが同じ結果を達成する時を認識することで、システムは：

- 最も効率的なパスを自動的に選択する
- 堅牢性を維持しながら冗長性を排除する
- 代替戦略を学び、文脈に適したバリエントを選択する
- 時間をかけて最適なフック構成に進化する

最小化法則と組み合わせることで、同値性は主観的技術がユーザーの目標を達成するだけでなく、可能な限り効率的な方法でそれを達成し、望ましい結果への短く、より信頼性の高いパスを優先する選択圧力を通じて継続的に改善されることを保証します。これが、システムが何をすべきかだけでなく、それを最良の方法で行う方法を学ぶ理由です。

3.3.5 重みの正規化：類似フックの統合と統

重みの正規化は、類似または冗長なフックを統合された、より堅牢なバージョンに結合する操作です。ユーザーが時間をかけて主観的技術と対話するにつれて、システムは自然に類似または重複する目的を持つ複数のフックを学びます。統合がなければ、フックデータベースは無限に成長し、非効率性や潜在的な対立を生むことになります。重みの正規化は、学習した知識と成功指標を保持しながら、類似のフックをインテリジェントに統合することでこれに対処します。

フックの増殖の問題：学習システムでは、フックの作成が継続的に行われます。ユーザーが新しいコンテキストでアク

ションを実行するたびに、システムはそのパターンをキャプチャするために新しいフックを作成する可能性があります。これにより包括的な学習が可能になりますが、いくつかの問題を引き起こします：

冗長性：本質的に同じことを行うが、わずかに異なるコンテキストで学習された複数のフックがシステムを混乱させます。

非効率性：アクティベーション中に数千の類似フックを評価することは、計算リソースを無駄にします。

競争：類似のフックがアクティベーションを競い合い、条件が似ているがアクションや成功スコアがわずかに異なる場合、予測不可能な動作を引き起こす可能性があります。

断片化：パターンに関する知識が、単一の十分に訓練されたフックに統合されるのではなく、複数のフックに分散しています。

重みの正規化は、類似のフックを特定し、それらを各フックの最良の特性を保持する統一されたバージョンに統合することで、これらの問題を解決します。

類似フックの検出：最初の課題は、どのフックが統合する価値があるほど類似しているかを判断することです。システムはいくつかの類似性メトリックを使用します：

アクションの類似性：フックは同じまたはほぼ同じアクションを実行しますか？これが主な基準です：

$$\text{similar}(KH_1, KH_2) \iff A_1 \approx A_2$$

ここで、 \approx は近似的な等価性を示します—具体的なコマンドがわずかに異なっていても、同じ結果を生み出すアクション。

条件の重複：フックは有意に重複した条件を持っていますか？

$$\text{overlap}(R_1, R_2) = \frac{|R_1 \cap R_2|}{|R_1 \cup R_2|} > \theta_{\text{overlap}}$$

条件がしきい値のパーセンテージ（例：60%）を超える場合、フックは類似していると見なされます。

コンテキストの類似性：フックは類似したコンテキストでアクティブになりますか？これは、各フックが歴史的に発火したコンテキストを比較することで測定できます。

結果の同等性：同等性セクションで説明したように、同じ観察可能な結果を生み出すフックは、マージの候補です。

マージ操作：類似したフックが特定された場合、それらは単一の統合フックにマージできます：

$$KH_{\text{merged}} = \text{merge}(KH_1, KH_2, \dots, KH_n)$$

マージされたフックは、すべてのソースフックからの知識を保持しながら、より堅牢で一般的なバージョンを作成する必要があります。マージプロセスは各コンポーネントに対して操作します：

1. 条件 (R_{merged})：システムは条件の和集合または交差点を使用するかどうかを決定する必要があります：

和集合アプローチ（より一般的）： $R_{\text{merged}} = R_1 \cup R_2 \cup \dots \cup R_n$

マージされたフックは、元の条件のいずれかが満たされると発火します。これにより、任意のソースフックが発火したすべてのコンテキストでアクティブになるより一般的なフックが作成されます。

交差点アプローチ（より具体的）： $R_{merged} = R_1 \cap R_2 \cap \dots \cap R_n$

マージされたフックは、すべての元の条件が満たされるときのみ発火します。これにより、すべてのソースフックが同意するコンテキストでのみアクティブになるより保守的なフックが作成されます。

選択はユースケースに依存します。安全が重要なアクションには交差点（保守的）を使用し、利便性の機能には和集合（寛容）を使用します。また、システムは重み付けされた組み合わせを使用し、どれだけのソースフックが発火したかに基づいて条件を作成することもできます。

2. アクション (A_{merged})：すべてのソースフックが同一のアクションを持つ場合は、それらのアクションをそのまま使用します。アクションがわずかに異なる場合、システムは調整を行う必要があります。

$$A_{merged} = \text{reconcile}(A_1, A_2, \dots, A_n)$$

調整戦略には以下が含まれます：

- 成功スコアが最も高いフックからのアクションシーケンスを使用する
- 最短のアクションシーケンスを使用する（最小化の法則）
- アクションが補完的であれば、シーケンスで組み合わせる
- 自動調整が不確実な場合は、ユーザーに対立を解決するように求める

3. 成功スコア (S_{merged})：ここが重みの正規化がその名を得る場所です。マージされたフックの成功スコアは、

ソースフックのスコアの重み付き平均であり、重みは使用頻度によって決まります：

$$S_{\text{merged}} = \frac{\sum_{i=1}^n S_i \cdot n_i}{\sum_{i=1}^n n_i}$$

どこで：

- S_i はフック KH_i の成功スコアです
- n_i は KH_i が成功裏に発火した回数です

この加重平均は、より頻繁に使用されているフック（したがって、より多くの実証的証拠がある）に、マージされたスコアに対してより大きな影響を与えることを保証します。スコア0.9で100回成功したフックは、スコア0.95で5回成功したフックよりも多くの重みを持ちます。

4. タイプ (T_{merged})：マージされたフックのタイプは、そのソースに依存します：

- すべてのソースフックが学習されている場合、マージされたフックは学習済みです。
- すべてのソースフックが事前定義されている場合、マージされたフックは事前定義済みです。
- ソースが混在している場合、マージされたフックは通常学習済みとしてマークされますが、専門のクリエイターへの帰属を保持することができます。

拡張例：週次ミーティングフック。数週間にわたり、毎週金曜日の午後3時にアレックスとのミーティングを作成しました。システムは別々のフックを学習します：

```
KH1 (第1週): R = {day: Friday, time: 14:45,  
location: office, inbox: contains('Alex'),  
calendar: slot_free(15:00)} → A =  
{create_meeting(Alex, Friday, 15:00)}
```

成功: n₁ = 3 回のアクティベーション, S₁ = 0.67

```
KH2 (第3週): R = {day: Friday, time: 14:00-  
15:00, email: from('Alex'), subject:  
contains('sync')} → A =  
{schedule_meeting(Alex, Friday, 15:00,  
title='Weekly Sync')}
```

成功: n₂ = 5 回のアクティベーション, S₂ = 0.84

```
KH3 (第5週): R = {day: Friday, time:  
afternoon, context: work, participant: 'Alex'}  
→ A = {create_recurring_meeting(Alex, Friday,  
15:00)}
```

成功: n₃ = 2 回のアクティベーション, S₃ = 1.00

システムは類似性を検出します:

- All three hooks create meetings with Alex
on Friday at 15:00
- 条件は大幅に重なります (すべてが金曜日とアレックス
を参照)
- アクションは同等の結果を生み出します

マージプロセス:

条件: コア条件の交差点を取ります (最も具体的な共通
セット):

```
R_merged = {day: Friday, time: 14:00-15:00,  
participant: 'Alex'}
```

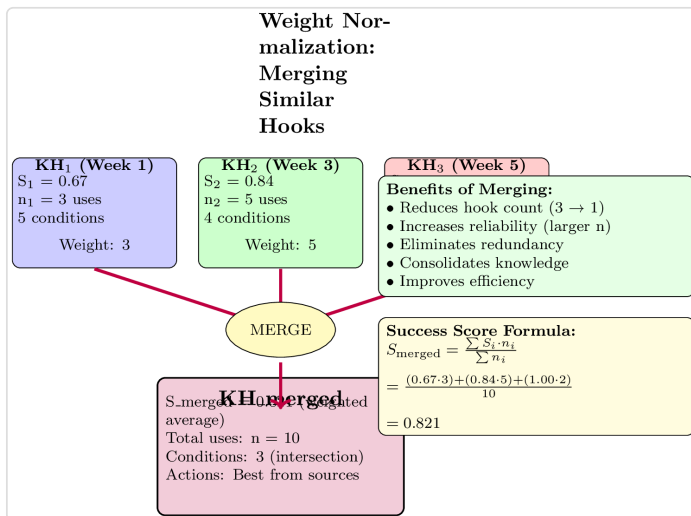
アクション：最も成功したアクションパターンを使用します（KH₂のタイトル付きアプローチ）

```
A_merged = {schedule_meeting(Alex, Friday,
15:00, title='Weekly Sync')}
```

成功スコア：加重平均：

$$S_{\text{merged}} = \frac{(0.67 \cdot 3) + (0.84 \cdot 5) + (1.00 \cdot 2)}{3 + 5 + 2} = \frac{2.01 + 4.20 + 2.00}{10} = \frac{8.21}{10} = 0.821$$

マージされたフックは、10回のアクティベーションに基づいて0.82の堅牢な成功スコアを持ち、サンプルサイズが大きいため、個々のソースフックよりも信頼性があります。



正規表現セットの正規化：本書では「正規表現セット」を正規化することについて言及しています。これは、正規表現やパターンマッチングを使用する条件パターンを指します。似たような正規表現パターンを持つフックをマージすると、システムは正規化された一般的なパターンを作成します：

例：3つのフックがメールの件名にトリガーします：

- KH₁：件名が「Meeting.*Friday」に一致

- KH₂: 件名が「Friday.*meeting」に一致
- KH₃: 件名が「.*Friday.*meeting.*」に一致

これらは、単一のより一般的なパターンに正規化できます：

- KH_merged: 件名が「.*(meeting|Meeting).* (Friday|friday).*」に一致

これはすべてのバリエーションを捉えつつ、単一の正規表現条件に減らします。

マージのタイミング：システムは、マージが適切であるかを決定するためにいくつかの基準を適用します：

類似性の閾値：高い類似性を持つフックのみをマージします(>80%の条件オーバーラップ、同一または同等のアクション)

最小使用量：各フックが少なくとも数回使用されるまでマージしないでください(例: n_i ≥ 3)。これは、パターンが確立される前に早期の統合を防ぎます。

成功の一貫性：類似の成功スコアを持つフックのみをマージします(互いに0.2以内)。あるフックがS=0.9で、別のフックがS=0.3の場合、見た目は似ても動作は非常に異なる可能性があるため、マージしないでください。

ユーザー確認：重要または頻繁に使用されるフックについては、マージする前にユーザーに確認します：“これらのフックは似ているようです–統合してもよろしいですか？”

時間的分離：時間的に近くに作成されたフックをマージすることを優先します。数ヶ月離れて作成されたフックは、表面的な類似性にもかかわらず、実際には異なるパターンを表す可能性があります。

選択的マージ: 時には、類似したフックのサブセットのみをマージするべきです:

if $\{KH_1, KH_2, KH_3, KH_4, KH_5\}$ are similar, but KH_5 is outlier
then $KH_{merged} = \text{merge}(KH_1, KH_2, KH_3, KH_4)$, keep KH_5 separate

これは、似ているが異なる目的を持つ、または大きく異なる特性を持つフックを保持します。

定期的な統合: 重みの正規化は一度きりの操作ではありません。システムは定期的に（例：毎週）マージの機会をスキャンします：

1. クラスターの特定: 類似性メトリックによるフックのグループ化
2. マージ候補の評価: 各クラスターの閾値を確認
3. マージの実行: 承認されたクラスターを統合
4. 参照の更新: ソースフックを参照していた構成やカスクードは、マージされたフックを参照するようになります
5. ソースのアーカイブ: 元のフックはアーカイブされ（削除されず）、必要に応じてマージを元に戻すことができます

システムパフォーマンスへの影響: 重みの正規化はシステム効率を劇的に向上させます：

評価コストの削減: アクティベーション中に評価するフックが少なくなることで、応答時間が短縮されます

精度の向上: マージされたフックはより多くのトレーニングデータ (n が高い) を持ち、より信頼性の高い成功スコアを導きます

行動の明確化: 競合する類似フックを排除することで、予測不可能な行動が減少します

学習の向上：統合されたフックは経験をより早く蓄積し、適応率を改善します

正規化後の例のメトリクス：

- フック数 : 1,247 → 418 (66% の削減)
- 平均成功スコア : 0.72 → 0.84 (統合による信頼性の向上)
- アクティベーション評価時間 : 45ms → 12ms (フックが少ないため高速化)

可逆性：問題が発生した場合、マージを元に戻すことができます。システムは以下を維持します：

- ソースフックの完全な記録
- マージ履歴とその理由
- ユーザーオーバーライド機能（「これらのフックをアンマージ」）

マージされたフックのパフォーマンスが悪い場合（成功スコアが大幅に低下）、システムは自動的に元のフックに分割し、異なるマージパラメータで再試行できます。

結論：システム最適化としての統合。重みの正規化は、Knowledge Hookシステムをスリムで効率的に保つための管理操作です。類似のフックを特定してマージすることで、システムは：

- フックデータベースの無限成長を防ぎます
- 学習した知識を堅牢で十分に訓練されたフックに統合します
- 冗長性と矛盾する動作を排除します

- 精度とパフォーマンスの両方を改善します

成功スコアの加重平均により、マージされたフックがすべてのソースフックからの完全な経験的証拠を反映し、より信頼性の高い自動化が実現されます。他の演算（活性化、実行、学習、構成、カスケード、優先順位付け、ロールバック、洗練、同等性）と組み合わせることで、重みの正規化は、ナレッジフックが単純な反応パターンから洗練された効率的な主観的拡張に進化するためのツールキットを完成させます。

3.4 ナレッジフックの代数の法則：支配原則

私たちは今、ナレッジフックの完全な操作機構を探求しました：条件がコンテキストに一致したときにどのように活性化されるか、どのように一連のアクションを実行するか、強化を通じて修正から学ぶか、どのように複雑な階層に構成されるか、どのようにトリガーチェーンを通じてカスケードするか、どのように優先順位付けを通じて競争するか、どのように誤りが発生したときにロールバックできるか、どのように洗練され一般化されて最適な特異性を見つけるか、どのように同等クラスが結果によってフックをグループ化するか、そしてどのように重みの正規化が類似のパターンを統合するか。これらの操作は代数の語彙を形成します—フックが何をするかを説明する動詞です。

しかし、操作だけでは代数を構成することはできません。代数には法則が必要です—操作が相互作用する方法を支配し、動作を制約し、システムが予測可能で望ましい特性を示すことを保証する基本原則です。算術の法則（可換性、結合性、分配性）が私たちに自信を持って数を操作させるのと同様に、ナレッジフック代数の法則は、主観的システムの動作について推論し、予測し、最適化することを可能にします。

これらの法則は外部から課せられた恣意的な制約ではありません。ユーザー入力の絶え間ない最小化という主観的技術の核心的な目標から自然に生じます。すべての法則は、この最終目的に直接的または間接的に役立ち、システムがゼロ入力の相互作用に向けて学び、適応し、最適化することを可能にします。技術は徐々に少ない努力を必要とし、経験から学び、効率的な道を選び、継続的に改善すべきであるという直感を形式化します。

ナレッジフックの代数は、5つの基本法則によって支配されています：

1. 最小化の法則：常に最小のユーザー入力を必要とするパスを選択します。同じ結果を達成できる複数のフックがある場合は、最小限のアクションを必要とするものを選択します（ $|A|$ 最小）。これはシステム全体の主要な推進力であり、ゼロ入力技術の目標を直接表現する原則です。

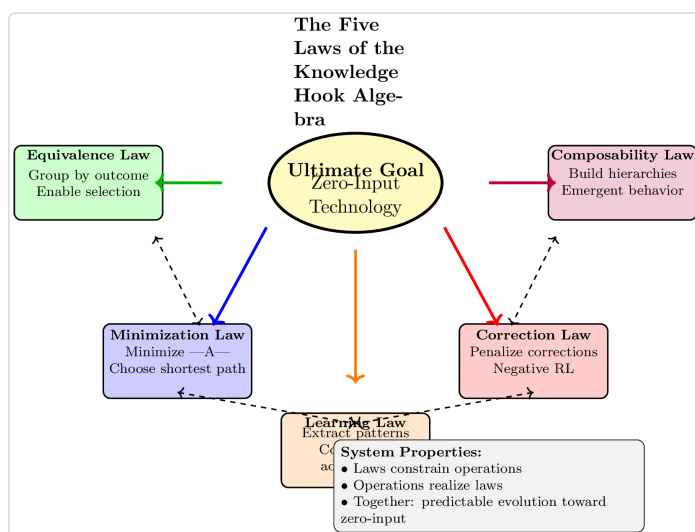
2. 修正の法則：ユーザーの修正を必要とするフックは、成功スコアが減少することで罰せられます。これは負の強化学習を実装しており、システムは報酬を最大化するのではなく、修正を最小化することによって学習します。修正がないことが成功であり、修正があることは失敗を示します。

3. 同等性の法則：同じ観察可能な結果を持つフックは同じ同等性クラスに属します。これにより、システムは異なるアプローチが同一の結果を達成する際に認識でき、代替案の中から賢く選択し、冗長なパターンを統合することができます。

4. 合成可能性の法則：フックは合成操作を通じてより大きく、より複雑な構造に組み合わせることができます。合成フックはその構成要素に基づいて予測可能に振る舞い、階層的な組織化と単純な原始からの洗練された行動の出現を可能にします。

5. 学習の法則: コンテキストのデルタは重み付き条件に蓄積され、時間とともにフックが洗練されます。システムはすべての相互作用から継続的に学習し、観察された行動からパターンを抽出し、アクションが成功するコンテキストに条件を適応させます。

これらの五つの法則は統合されたシステムとして一緒に機能します。最小化の法則は最適化の目的を設定します。修正の法則はフィードバック信号を提供します。同等性の法則は比較と統合を可能にします。合成可能性の法則は単純な構成要素から複雑な行動が出現することを許可します。そして学習の法則はより良いパフォーマンスに向けた継続的な適応を保証します。



法則が重要な理由: 法則はKnowledge Hookフレームワークをメカニズムのコレクションから証明可能な特性を持つ一貫した数学的システムに変えます。これらは重要な質問に答えます:

- 予測可能性: システムが一貫して動作することをどうやって知ることができますか? 法則はフックが予測可能な

ルールに従うことを保証し、混沌としたまたは恣意的な行動を防ぎます。

- 最適性：システムが良い選択をすることをどうやって確保しますか？最小化の法則は、同等の選択肢の中でシステムが常に最も効率的なパスを選ぶことを保証します。

- 学習：システムはどのようにして時間とともに改善しますか？学習の法則と修正の法則は一緒に働き、成功スコアを1.0に向けて推進する負の強化学習の形式を実装します。

- スケーラビリティ：シンプルなフックがどのように複雑な動作に結びつくことができるのか？コンポーザビリティの法則は、構成が望ましい特性を保持し、階層的な組織を可能にすることを保証します。

- 効率：冗長性をどのように防ぐのか？同等性の法則は、システムが重複パターンを認識し、統合することを可能にします。

操作との関係：各法則は、すでに探求した1つ以上の操作を支配します：

- 最小化の法則は、優先順位付けと同等性の選択を支配し、システムが常に目標への最短経路を選択することを保証します。

- 修正の法則は、学習の更新を支配し、修正が行われるかどうかに基づいて成功スコアがどのように変化するかを定義します。

- 同等性の法則は、同等性の検出と重みの正規化を支配し、システムが類似のフックをグループ化し、統合できるようにします。

- コンポーザビリティの法則は、構成とカスケードを支配し、結合されたフックが予測可能に動作することを保証します。

- 学習の法則は、学習ステップと洗練/一般化を支配し、条件が観察されたパターンからどのように進化するかを定義します。

これらの法則を理解することは、理論的および実践的な理由から重要です。理論的には、主観的システムについての推論のための正式な基盤を提供し、特性を証明し、収束を分析し、最適化を設計します。実践的には、実装の決定を導き、開発者が適切な動作を示し、病的なケースを避けるシステムを構築するのを助けています。

ゼロ入力への道：これらの法則の究極の目的は、すべての主観的技術を推進する原則を形式化し、強制することです：必要なユーザー入力の継続的な削減。従来のシステムは、常に明示的なコマンドを要求します。これらの法則に支配された主観的システムは、徐々にニーズを予測し、自律的に行動することを学びます。

時間の経過に伴う単一フックの軌道を考えてみましょう：

第1週：ユーザーが手動でアクションを実行します。システムは多くの条件を持つフックを作成します（学習の法則）。成功スコアは低い状態から始まります（約0.5）。

第2-3週：フックは時折発火し、時には修正が必要です。成功スコアは変動します（修正の法則）。条件は一般化と洗練操作を通じて洗練されます（学習の法則）。

第4-8週：フックは定期的に発火し、修正が少なくなります。成功スコアは0.9に向かって上昇します。システムは同等のフックを認識し、それらを統合します（同等性の法則）。同等の選択肢の中で、最も効率的なものが優先されます（最小化の法則）。

第9週以降：フックは信頼性高く発火し、修正は稀です。成功スコアは1.0近くで安定します。アクションは適切な文脈

で自動的に発生し、ユーザーの入力はゼロです。この行動は完全に学習されています。

この進行–手動アクションから自律的な予測への移行–は偶然ではありません。効率を報いる法則、エラーを罰する法則、パターンを認識する法則、構成を可能にする法則、そして継続的に学習する法則によって支配されるシステムの必然的な結果です。これらの法則は、システムがゼロ入力操作に向かって進化することを保証します。

経済的影響：これらの法則は、主観的熱通貨（STC）に対しても深い経済的影响を持ちます。これは後の章で詳しく探求します。ここにその関連があります：

- 最小化の法則はエネルギーの最小化に直接つながります–アクションが少ないほど、消費される物理的エネルギーは少なくなります。
- 修正の法則はフックの質的指標を定義します–より多くのエネルギーを節約するフック（修正が少ない）はより価値があります。
- 学習の法則は、専門知識を必要とせずにシステムが自動的にエネルギー効率の良いパターンを発見することを可能にします。
- 高品質のフック（高い成功スコア）は、特定の文脈でのエネルギー消費を最小限に抑える方法に関する知識を表す結晶化された効率です。これらのフックは、ユーザーのために実際のエネルギーを節約するため、経済的価値を持っています。

STCフレームワークでは、高い成功スコアを達成するフックを作成または改良する専門家が報酬を受けます。法律は、この報酬システムが実際のエネルギー節約と一致することを保証します。実際に入力（およびエネルギー）を最小限に抑

えるフックが、最小化と修正の法則の自然選択圧によって上位に浮上します。

形式的特性：法律は、知識フック代数にいくつかの重要な形式的特性を与え、従来のプログラミングパラダイムから区別します：

1. 収束：これらの法律に支配されるシステムは、自然に安定した効率的な構成に収束します。従来のプログラムが静的であるのに対し、知識フックシステムは最適性に向かって進化します。

2. ロバスト性：法律は、システムが優雅に劣化することを保証します。悪いフック（低い成功スコア）は、修正法によって自動的に抑制されます。冗長なフックは、同等性の法則によって統合されます。システムは自己修復します。

3. 爆発的成长なしの合成：合成が指数関数的なパラメータ成長を引き起こす可能性がある神経ネットワークとは異なり、知識フックの合成は扱いやすいります。合成法則は、合成されたフックが予測可能に振る舞うことを保証します。

4. 解釈可能性：フックには明示的な条件とアクションがあるため、システムの動作は複雑さが増しても解釈可能なままであります。法律は、不透明な変換ではなく、可視で理解可能な操作を支配します。

5. 漸進的学习：学習法は、壊滅的な忘却なしに継続的な改善を可能にします。新しいパターンは、成功した既存の行動を保持しながら取り入れられます。

このセクションの構造：次の小節では、各法則を詳細に探ります：

- 最小化の法則：すべての決定を駆動する最適化目標
- 補正法：ネガティブ強化学習と成功スコアのダイナミクス

- 同等法：結果に基づく分類とインテリジェントな選択
- 構成可能性法：単純なコンポーネントから複雑な行動を構築する
- 学習法：パターン抽出と継続的な適応

各サブセクションでは次のことを提供します：

- 法の正式な声明
- 適切な場合の数学的形式化
- 法が意味することの直感的な説明
- 法が特定の操作をどのように支配するか
- 法が実際に機能している例
- システム設計と実装への影響
- ゼロ入力技術とSTCの広範な目標への接続

これらの法則は、Knowledge Hook代数の正式な仕様を完成させます。これにより、フックは巧妙な実装技術から厳密な数学的枠組みに変わります。これは、ゼロ入力技術を可能にするだけでなく、測定された検証済みのエネルギー節約に基づく全く新しい経済システムの理論的基盤を提供します。

これは単なるガイドラインやベストプラクティスではありません。これは、システムが真に主観的であると見なされるために満たさなければならない基本的な原則です。技術が本当にあなたを学び、あなたの努力を最小限に抑え、あなたの身体と心をデジタルおよび物理的な世界に拡張するためのものです。これらの法則を破ると、あなたは別のものを持つことになります：おそらく有用なシステム、あるいは知的なものかもしれませんのが、私たちが定義した正確な意味での主観的システムではありません。

それでは、各法則を順に検討し、Knowledge Hooksの動作をどのように形作り、これらの5つの原則がどのように協力してゼロ入力技術の理想に近づくシステムを作り出すかを理解しましょう。

3.4.1 最小化の法則：プライムディレクティブ

最小化の法則は、Knowledge Hook代数全体の基礎原則であり、すべての他の操作を支配し、システムをゼロ入力技術に向かって不可避的に導くプライムディレクティブです。これは単純に述べます：常に最小のユーザー入力で済む経路を選択してください。述べるのは簡単ですが、この法則はシステムの動作、設計の決定、そして最終的には主観的熱通貨の経済的枠組みに深い影響を与えます。

正式な声明：望ましい結果を達成できるすべてのフックの中から、システムは最小のアクション数を必要とするフックを選択しなければなりません：

$$KH^*(t) = \arg \min_{KH \in \mathcal{H}_{\text{valid}}} |A(KH)|$$

ここで：

- $KH^*(t)$ は時刻 t に選択された最適なフックです
- $\mathcal{H}_{\text{valid}}$ は、条件が現在のコンテキストと一致するすべてのフックの集合です
 - $|A(KH)|$ はフック KH のアクションシーケンス内のアクションの数です。
 - $\arg \min$ は最小のアクション数を持つフックを選択します。

複数のフックが同じ最小アクション数で並んでいる場合、
タイブレーカーは成功スコアです：

$$\text{if } |A(KH_1)| = |A(KH_2)| = \min_{KH} |A(KH)| \implies \text{select } KH^* = \arg \max_{KH} S(KH)$$

これは二段階の最適化を生み出します：まずアクションを最小化し、次に同じ効率のオプション間で信頼性を最大化します。

なぜアクション数なのか？ $|A|$ を最小化する選択は、実行時間、計算コストなどの他の指標ではなく、意図的で基本的です。アクションは世界における離散的な介入を表します—実行されるべき状態の変化。各アクション：

- 失敗が発生する可能性のあるポイントを表します。
- エネルギー消費を必要とします（ユーザーまたはデバイスによって）。
- 複雑さとエラーの可能性を生み出します。
- 注意と監視を要求します。

アクションを最小化することで、エネルギー消費、エラーの可能性、認知負荷を同時に最小化します。アクション数は、これらすべての次元にわたるシステム全体のコストの代理として機能します。

コンテキスト入力の逆関係：最小化の法則は、コンテキストの豊かさと必要な入力を関連付けるより広い枠組みの中には存在します。システムがより多くのコンテキスト (C) を蓄積するにつれて、成果を達成するために必要な明示的なユーザー入力 (U) の量は減少します：

$$U = f(C), \quad \text{where } \frac{\partial U}{\partial C} < 0$$

この逆関係は主観的技術の本質を捉えています：システムがあなたとあなたの状況について理解すればするほど、あなたが明示的に伝える必要が少なくなります。限界において、コンテキストが完璧になると ($C \rightarrow \infty$)、必要な入力はゼロに近づきます：

$$\lim_{C \rightarrow \infty} U(C) = 0$$

これはゼロ入力の理想です—ニーズを予測し、明示的なコマンドを必要とせずに行動する技術です。最小化の法則は、この限界に向かってシステムを駆動する運用メカニズムです。

最小化の法則が操作を支配する方法：最小化の法則は、私たちが探求してきた複数の重要な操作を直接制御します：

1. 優先順位付け：複数のフックが現在のコンテキストに一致する場合、最小化の法則がどれが発火するかを決定します。これは優先順位付けのセクションで説明されましたが、今では孤立したメカニズムではなく、基本的な法則の応用として見ることができます。

2. 同等選択：同等のフック（同じ結果を生み出すもの）の中から、最小化の法則は最も効率的なものを選択することを義務付けます。これにより、システムは常に目標への最短経路を取ることが保証されます。

3. 構成選択：フックを構成する際、システムは合計アクションが少ない構成を好みます。ネストされた形式が概念的によりエレガントであっても、アクションシーケンスが短くなる場合はフラットな構成が好まれるかもしれません。

4. 学習バイアス：システムがユーザーの行動から新しいフックを学習する際、将来のアクションを最小化するパター

ンの抽出を好むべきです。ユーザーが非効率的なシーケンスを通じてタスクを達成した場合、学習したフックはそのシーケンスを最適化するべきです。

5. 重み正規化の決定：類似のフックを統合する際、システムは同等に信頼性がある場合、アクションが少ないバージョンを保持することを好むべきです。

実用例：フライト予約。フライトを予約するための3つのフックを想像してください：

KH_1 (手動プロセス) :

$A = [$ ブラウザを開く、航空会社に移動、フライトを検索、価格を比較、フライトを選択、乗客情報を入力、支払いを入力、予約を確認、確認を保存 $]$

$|A_1| = 9$ アクション

KH_2 (半自動化) :

$A = [$ 音声コマンド('東京行きのフライトを予約')、日付を確認、支払いを承認 $]$

$|A_2| = 3$ アクション

KH_3 (完全自動化) :

$A = [$ カレンダーと好みに基づいて自動予約 $]$

$|A_3| = 1$ アクション

最小化法則は KH_3 を選択することを義務付けています（すべての方法が望ましい結果を達成でき、 KH_3 が十分な成功スコアを持っていると仮定した場合）。これは単なる便利さではなく、代数の基本的な要件です。システムは最短経路を選択しなければなりません。

二層最適化：成功スコアをタイプレーカーとして使用します。フックのアクション数が等しい場合、最小化法則は成功スコアに従います：

$$KH^* = \begin{cases} \arg \min_{KH} |A(KH)| & \text{if unique minimum exists} \\ \arg \max_{KH \in \mathcal{H}_{\min}} S(KH) & \text{if multiple hooks at minimum} \end{cases}$$

ここで、 \mathcal{H}_{\min} は最小アクション数を持つフックの集合です。この二層アプローチは次のことを保証します：

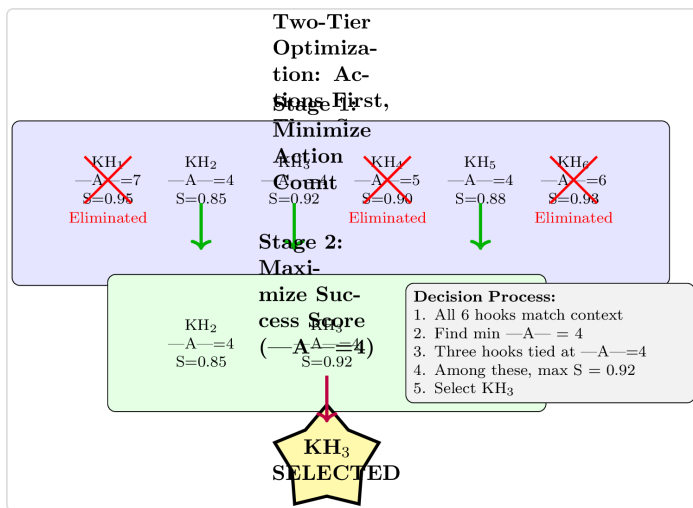
1. 効率は信頼性のために犠牲にされることはありません
2. 同じ効率のオプションの中から、最も信頼性の高いものを選びます
3. システムは効率と品質の両方に向かって進化します

例：2つのフックはどちらも会議をスケジュールするために4つのアクションを必要とします：

KH_A: $|A| = 4$, $S = 0.85$ (参加者の修正が必要なことがあります)

KH_B: $|A| = 4$, $S = 0.92$ (修正が必要になることはまれです)

最小化法則はアクション数に基づいてそれらを区別できないため、より高い成功スコアに基づいて KH_B を選択します。これにより、効率が等しい場合でも品質が保証されます。



エネルギー最小化との関連：最小化法則のユーザー入力削減への焦点は、直接的な物理的解釈を持ちます：エネルギー消費を最小化します。すべてのアクションはエネルギーを必要とします–それがタイピング、クリック、または話すという物理的エネルギーであれ、何をするかを決定するという認知的エネルギーであれ。

これは主観的熱通貨（STC）への直接的な架け橋を作ります。STCフレームワークでは：

$$E_{\text{total}} = E_{\text{user}} + E_{\text{device}}$$

E_{user} はユーザーによって消費されるエネルギー（筋肉の動き、認知的努力）であり、 E_{device} はアクションを実行するデバイスによって消費されるエネルギーです。 $|A|$ を最小化することで、両方の要素を最小化します：

- ユーザー アクションが少ない $\rightarrow E_{\text{user}}$ が少ない（クリック、キー入力、コマンドが少ない）

- デバイスアクションが少ない → E_deviceが少ない
(APIコール、計算、送信が少ない)

最小化の法則はエネルギー保存の法則となり、物理的熱力学と自然に一致する原則です。この一致がSTCを可能にします：私たちは知識フックの価値を節約された物理エネルギー単位（ジユール）で測定できます。

ゼロ入力への収束：最小化の法則はゼロ入力技術への進化的圧力を生み出します。時間が経つにつれて：

第1週：異なるアクション数を持つ複数のフックが存在します。システムはアクションが少ないフックを優先的に選択して使用します。

第4週：多くのアクションを持つフックはほとんど使用されず、その成功スコアは停滞または低下します。効率的なフックは使用量と高いスコアを蓄積します。

第12週：洗練と学習を通じて、さらに少ないアクションで目標を達成する新しいフックが登場します。これらは最小化の法則によりすぐに優位に立ちます。

第26週：システムは各目標に対する可能な最小アクション数に収束しました。さらなる改善は根本的に新しいアプローチやより良いコンテキスト理解を通じてのみ実現します。

最終状態は、最小限またはゼロの明示的な入力を必要とする技術です。システムはニーズを予測し、文脈に基づいて自律的に行動します。最小化の法則は、この収束を保証します。

違反と病理：システムが最小化の法則に違反した場合、何が起こるのでしょうか？その結果は即座に深刻です：

ユーザーのフラストレーション：システムが3アクションのフックが利用可能なときに7アクションのフックを選択すると、ユーザーは不必要な摩擦を経験します。彼らは手動で

オーバーライドするか、システムを放棄するかもしれません。

エネルギーの無駄：非効率的な経路を選択すると、ユーザーとデバイスのエネルギーが浪費され、主観的技術の核心的な目標に反します。

経済的な不整合：STCシステムにおいて、最小化の法則に違反することは、非効率的な解決策に報いることを意味し、全体の経済モデルを損なう逆効果のインセンティブを生み出します。

学習の失敗：最小化の法則がなければ、システムには明確な最適化目標がありません。学習は方向性を失い、システムは単純で効率的な行動ではなく、複雑で非効率的な行動を学ぶかもしれません。

最小化の法則に違反するシステムは単に最適でないだけでなく、根本的に主観的技術であることに失敗しています。この法則はオプションではなく、ユーザーの努力を最小化することの意味を定義します。

実装に関する考慮事項：最小化の法則を実装するには、いくつかの詳細に注意を払う必要があります：

1. アクションの粒度：「1つのアクション」とは何ですか？定義は一貫していなければなりません。ファイルを開くことは1つのアクションかもしれません、「ファイルを開いてページ5にスクロールする」は1つか2つのアクションとしてカウントされますか？通常、さらに分解できない原子的な操作は单一のアクションと見なされます。

2. 隠れたアクション：一部のフックには、Aに表示されない隠れたセットアップやテアダウンのアクションがあるかもしれません。これらは公正な比較のために|A|に含める必要があります。A = [action1]で隠れた操作が多いフックは、実際にはより効率的ではありません。

3. 非同期アクション： 非同期で実行されるアクション（例： バックグラウンドでのメール送信）は、依然として $|A|$ にカウントされます。最小化の法則は、状態変更の数を重視し、そのタイミングを重視しません。

4. 構成されたフック： フックが構成されると、 $|A|$ はサブフックを含む総アクション数を反映する必要があります。2 アクションの親と3アクションの子を持つネストされた構成は $|A| = 5$ であり、2ではありません。

5. ユーザー確認： ユーザー確認を必要とするアクション（支払いの承認など）はアクションとしてカウントされます。 $|A| = 5$ の完全自動化プロセスは、確認がカウントされる場合に限り、 $|A| = 3$ の半自動化プロセスよりも好まれます。

他の法則との関係： 最小化の法則は他の4つの法則と相互作用し、制約を与えます。

修正法則： これらは一緒に機能します。最小化の法則は効率的なフックを選択し、修正法則はそれらが信頼できることを保証します。最小の $|A|$ を持つフックでも頻繁に修正が行われる場合、成功スコアが進化するにつれて、わずかに長いがより信頼性の高い代替品に置き換えられることになります。

同等法則： 最小化の法則は、どの同等のフックを使用するかを決定します—常に最も効率的なものです。同等性は、フックが同じ目標を達成する際に認識するための枠組みを提供し、最小化はどれを優先するかを決定します。

構成可能性法則： 構成は最小化を尊重しなければなりません。単純なフックから複雑なフックを構築する際の目標は、最小の総 $|A|$ を達成することです。構成可能性法則は構築ブロックを可能にし、最小化の法則はそれらがどのように組み立てられるかを導きます。

学習法則：学習は最小化によって導かれます。ユーザーの行動からパターンを抽出する際、システムはユーザーの明らかな目標を達成する最も効率的なバージョンを学習すべきであり、単に彼らの正確な行動を再現すべきではありません。

これら5つの法則は、効率性、信頼性、構成、学習がすべて同じ最終目標—ゼロ入力技術—に向かって機能する一貫したシステムを作り出します。

哲学的含意：最小化の法則は、人間とコンピュータの相互作用や技術設計に関する考え方に対する根本的な変化をもたらします。従来のシステムは完全性、機能、または能力を最適化します。最小化の法則は、ユーザーが行わなければならないことの「不在」を最適化します。

これは深い意味があります：技術はそれが何ができるかではなく、それがあなたに何を避けさせるかによって評価されます。最高の技術は目に見えず、予測的で、労力がかからないものです。最小化の法則は、この直感を正確な数学的要件に形式化し、システムの進化を促進します。

STCの文脈では、これはさらに重要になります。行動（そしてエネルギー）を最小化することで、測定可能な経済的価値を創造します。避けられた行動はエネルギーの節約であり、節約されたエネルギーは定量化され、クレジットされ、報酬を受けることができます。したがって、最小化の法則は抽象的な効率と具体的な経済的価値の橋渡しとなります。

結論：プライムディレクティブ。最小化の法則は、単なる平等の中の一つの法則ではなく、多くの代数の振る舞いが生まれるプライムディレクティブです。それは根本的な質問に答えます：複数の選択肢がある場合、どれを選ぶべきか？答えは：常に最も効率的なものです。

この法則は、ナレッジフックを巧妙な自動化技術から厳密な最適化フレームワークに変えます。これは、この代数に基づいて構築されたシステムが必然的にゼロ入力操作に進化す

ることを保証し、最も快適なユーザー体験と最大のエネルギー節約を生み出します。

次のセクションでは、他の四つの法則がどのように最小化の法則を補完し、制約するかを探ります。これにより、真に主観的な技術を可能にする完全な代数が作成されます。システムはあなたの努力を最小化することを学ぶことで、あなたであることを学び、自動的かつ継続的に、技術があなたが望んでいることに気づく前に行動するゼロ入力の理想に向かって常に進んでいきます。

3.4.2 修正の法則：ネガティブ強化学習

修正の法則は、ナレッジフックが時間とともに学び、改善することを可能にするフィードバックメカニズムを実装します。それは次のように述べています：ユーザーの修正を必要とするフックは、成功スコアが減少することで罰せられます。これにより、修正がないことが成功と見なされ、修正があることが失敗を示すネガティブ強化学習の形が生まれます。時間が経つにつれて、修正の確率はゼロに向かって進み、ユーザーの介入がほとんど必要ないシステムが作成されます。

正式な声明：各フックのアクティベーション後、成功スコアは修正が発生したかどうかに基づいて更新されます：

$$S(t+1) = (1 - \alpha)S(t) + \alpha \cdot \mathbb{1}[\text{Corr}_t = 0]$$

ここで：

- $S(t)$ は現在の成功スコアです
- $S(t+1)$ は更新された成功スコアです
- $\alpha \in (0, 1]$ は適応速度を制御する学習率です

- $\mathbb{1}[\text{Corr}_t = 0]$ は指標関数です：修正が行われなかった場合は1、修正が必要だった場合は0になります
- $\text{Corr}_t \in \{0, 1\}$ はユーザーが時刻 t にフックの動作を修正したかどうかを示します

この更新ルールは強力な原則を表しています：沈黙は承認です。ユーザーがフックの動作を修正しない場合、その修正の欠如は成功と解釈されます。ユーザーが修正を行うと、成功スコアは減少します。このシステムは、明示的な肯定的フィードバックを受け取るのではなく、否定的フィードバックの必要性を最小限に抑えることで学習します。

負の強化と正の強化：修正法則は、従来の強化学習とは根本的に異なる学習パラダイムを表しています：

従来の強化学習（正の強化）：

- システムは報酬を最大化しようとします： $\max \sum r_t$
- 環境からの明示的な報酬信号が必要です
- 将来の累積価値を最適化します
- ベルマン方程式： $V(s) = \max_a [r(s, a) + \gamma \cdot V(s')]$

修正法（負の強化）：

- システムは修正を最小化しようとする： $\min \sum \text{Corr}_t$
- 修正の不在から学ぶ（暗黙の承認）
- 即時の正確さを最適化する（将来の割引なし）
- 成功の更新： $S(t+1) = (1-\alpha)S(t) + \alpha \cdot \mathbb{1}[\text{Corr}_t = 0]$

重要な洞察は、ベルマン方程式が外部報酬を最適化するのに対し、修正法はユーザーの努力の最小化を最適化するということです。将来の状態は重要ではなく、現在のインタラクションが修正を必要としたかどうかだけが重要です。これは、ゼロ入力技術の目標と完全に一致します：私たちは、長期的な戦略に関係なく、今すぐ機能するフックを求めています。

修正とは何か？ 修正を正確に検出することは、修正法が適切に機能するために重要です。修正とは、アクティベーション後の時間的ウィンドウ（通常10～30秒）内でフックのアクションを変更または取り消すユーザー入力のことです。例としては：

直接的な修正：

- フックが発動した直後に「元に戻す」を押すこと
- フックのアクションを元に戻すためにロールバック機能を使用すること
- ユーザーインターフェースを通じてフックを明示的に無効にする

暗黙の修正：

- フックが変更した設定を手動で変更する
- フックが作成したコンテンツを削除または変更する
- フックが実行したアクションを繰り返す（不満を示唆する）
- フックの意図に反するアクションを取る

システムは修正と通常のユーザー活動を区別する必要があります。フックが午後3時に会議をスケジュールし、ユーザーが3時間後に3時30分に変更した場合、それは修正ではなく正

的なスケジュール変更である可能性が高いです。時間的近接性が重要です：修正は通常、フックが発動した直後に発生します。 :30

$\text{Corr}_t = 1 \iff \exists \text{ user_action} \in [t, t + \Delta t] \text{ that contradicts KH's action}$

ここで Δt は修正ウィンドウ（通常10～30秒）です。このウィンドウの外のアクションは修正とは見なされません。

学習率 α ：学習率は成功スコアが新しい証拠にどれだけ迅速に適応するかを制御します。このパラメータは安定性と応答性のバランスを取ります：

高い α （例：0.3-0.5）：

- 最近のパフォーマンスへの迅速な適応
- 単一の修正がスコアに大きな影響を与える
- より変動が大きく、異常に過剰反応する可能性がある
- 急速に変化するパターンや新しいフックに適している

低 α （例：0.05-0.15）：

- 遅く、安定した学習
- 単一の修正が小さな影響を与える
- 時折のエラーに対してより堅牢
- 安定したパターンを持つ確立されたフックに適している

最適な α は適応可能で、新しいフックに対して高く始まり、使用が蓄積されるにつれて減少することがある：

$$\alpha(n) = \alpha_{\max} \cdot e^{-\lambda n} + \alpha_{\min}$$

n はフックが発火した回数であり、 λ は減衰率を制御します。これにより、新しいフックは高い可塑性を持ちながら、確立されたフックには安定性が提供されます。

収束分析：補正法の下で、成功スコアは真のフックの信頼性を反映する値に収束します。ダイナミクスを分析しましょう：

ケース1：完璧なフック（補正が必要ない）

すべての t に対して $\text{Corr}_t = 0$ であれば、 $\mathbb{E}[\text{Corr}_t = 0] = 1$ が常に成り立ちます：

$$S(t+1) = (1 - \alpha)S(t) + \alpha \cdot 1 = (1 - \alpha)S(t) + \alpha$$

これは $S^* = 1$ で固定点を持つ線形再帰です。 t が ∞ に近づくと、 $S(t)$ は 1.0 に近づきます。完璧なフックは完璧なスコアを達成します。

ケース2：失敗したフック（常に補正が必要）

すべての t に対して $\text{Corr}_t = 1$ であれば、 $\mathbb{E}[\text{Corr}_t = 0] = 0$ が常に成り立ちます：

$$S(t+1) = (1 - \alpha)S(t) + \alpha \cdot 0 = (1 - \alpha)S(t)$$

この幾何学的減衰は $S(t)$ を指数関数的に 0 に近づけます。失敗したフックは迅速にゼロスコアに近づきます。

ケース3：部分的に信頼できるフック（成功の確率 p ）

補正が確率 $(1-p)$ で発生する場合、期待される更新は次のようになります：

$$\mathbb{E}[S(t+1)] = (1 - \alpha)S(t) + \alpha \cdot p$$

これは $S^* = p$ に収束します。80% の確率で機能するフックは $S \approx 0.8$ に収束します。成功スコアは信頼性を正確に反映

します。

期待される修正率：フックが学習し改善するにつれて、修正率は減少します。時刻 t における修正率を定義します：

$$\rho(t) = \frac{\sum_{\tau=1}^t \text{Corr}_{\tau}}{t}$$

これは修正を必要とした活性化の割合です。システムが学習するにつれて、 $\rho(t) \rightarrow 0$ になります。これはゼロ入力収束の数学的定式化です：修正は非常に稀になります。

時間の経過とともに総ユーザー入力は次のようになります：

$$U_{\text{total}} = U_0 + \sum_{t=1}^T \text{Corr}_t$$

ここで U_0 は初期シード入力（例：フックを最初に教える）であり、合計はすべてのその後の修正を表します。 $\text{Corr}_t \rightarrow 0$ であるため、タイムステップごとの平均入力はゼロに近づきます：

$$\lim_{T \rightarrow \infty} \frac{U_{\text{total}}}{T} = \lim_{T \rightarrow \infty} \frac{U_0 + \sum_{t=1}^T \text{Corr}_t}{T} = 0$$

これは、修正法則に従うシステムがゼロ入力操作に収束することを証明します。

抑制と剪定：修正法則は成功スコアを通じて自然に品質管理を作り出します。スコアが低いフックは徐々に周縁化されます：

抑制閾値 ($S < 0.3$) :

この閾値を下回るフックは抑制されます—システム内には残りますが、他のフックと一致する条件が非常に特定のものでない限り発火しません。これにより、悪いフックがユーザーを悩ませるのを防ぎ、状況が変われば潜在的な回復を可能にします。

削除閾値 ($S < 0.1$) :

この閾値を下回り、最近使用されていないフック（例：30日以上）は、自動的に削除されてリソースを解放します。これにより、システムが無駄なフックを無限に蓄積することを防ぎます。

優先度のブースト ($S > 0.9$):

非常に高い成功スコアを持つフックは評価において優先され、「信頼された」ステータスに昇格する可能性があり、最小限の監視または確認で実行されます。

この階層的なシステムは、高品質のフックのみがユーザー体験を積極的に形成し、質の低いフックは自然に消えていくことを保証します。

時間の経過による減衰：追加の次元。修正を超えて、フックが最近使用されていない場合、成功スコアは時間とともにゆっくりと減衰する可能性があります：

$$S(t + \Delta t) = S(t) \cdot e^{-\lambda \Delta t}$$

ここで、 λ は小さな減衰定数（例：1日あたり0.001）で、 Δt は最後のアクティベーションからの時間です。これにより、システムが最新の状態を維持し、古いパターンに基づくフックは使用されていない限り、影響力を徐々に失います。

この時間的減衰は、古くなったフックが無限に残ることを防ぎます。6ヶ月前には完璧だったフックがもはや関連性がない場合、スコアは徐々に低下し、現在の行動により適した新しいパターンのためのスペースが作られます。

最小化法則との関係：修正法則と最小化法則は相乗的に連携します：

- 最小化法則：最も少ないアクションを持つフックを選択します（効率性）
- 修正法則：選択されたフックが信頼性を持って機能することを保証します（品質）

一緒に、彼らは二次元の最適化を作成します：

$$\text{optimal hook} = \arg \min_{KH} |A(KH)| \text{ subject to } S(KH) > \theta$$

ここで、 θ は最小限の受け入れ可能な成功スコアです。これにより、システムは常に失敗する超効率的なフックを選択することを防ぎます。 $S=0.3$ の1アクションフックは、 $S=0.95$ の3アクションフックよりも悪いです。なぜなら、最初のフックからの頻繁な修正が、2番目のフックの追加アクションよりも多くのユーザー入力を追加するからです。

実用例：メール自動返信。特定のメールに自動的に返信するフックを考えてみましょう：

第1週：フックは $S_0 = 0.5$ （中立）から始まります。10回発動し、ユーザーは6回の返信を修正します（詳細を追加したり、トーンを変更したりなど）：

$$S_1 = 0.5 \cdot (0.7)^6 \cdot (1.3)^4 \approx 0.45$$

頻繁な修正によりスコアがわずかに減少します。

第4週：フックはより良いパターンを学びました。10回発動し、修正は2回だけです：

$$S_4 = 0.45 \cdot (0.7)^2 \cdot (1.3)^8 \approx 0.72$$

信頼性が向上するにつれてスコアが上昇します。

第12週：フックは十分に訓練されています。10回発動し、修正はゼロです：

$$S_{12} = 0.72 \cdot (1.3)^{10} \approx 0.94$$

フックが一貫して受け入れ可能な返信を生成し、修正なしでスコアが1.0に近づきます。

エネルギーとSTCへの接続：修正法則は、主観的熱通貨フレームワークにおいて直接的な経済的影响を持ちます。各修正は無駄なエネルギーを表し、ユーザーはフックの間違いを修正するために認知的および身体的努力を費やさなければなりません。修正を最小限に抑えることで、エネルギーの無駄を最小限に抑えることができます。

STCでは、高い成功スコア（修正が少ない）を持つフックは、より多くのエネルギーを節約するため、より価値があります。成功スコアはエネルギー効率の直接的な指標となります：

$$E_{\text{saved}} = (1 - \rho(t)) \cdot E_{\text{manual}}$$

E_{manual} は手動でタスクを実行するのに必要なエネルギーであり、 $\rho(t)$ は修正率です。 $\rho \rightarrow 0$ のとき、エネルギーの節約は完全な手動コストに近づきます。修正が不要なフックは最大のエネルギーを節約し、したがって最大の経済的価値を持ちます。

STCにおける専門家の報酬は成功スコアに結びついています：高いSフックのクリエイターは、彼らのフックがより信頼性の高いエネルギーの節約を提供するため、比例的に多くの報酬を受け取ります。

実装の考慮事項：修正法則の実装には、いくつかの詳細に注意を払う必要があります：

1. 修正検出ウィンドウ： Δt ウィンドウ（通常10～30秒）は、異なるドメインに合わせて調整する必要があります。速いペースの活動には短いウィンドウが必要な場合があり、意図的なタスクには長いウィンドウが必要な場合があります。
2. 部分的修正：ユーザーがフックのアクションを部分的に修正した場合（例：3つのフィールドのうち1つを編集）どうなりますか？実装では、修正の程度に基づいて、 $\text{Corr}_t \in [0, 1]$ の分数修正を使用することがあります。
3. 偽陽性：フックの発動に続いて発生する通常のユーザー活動を修正と誤解してはいけません。システムは、フックのアクションとユーザーのその後のアクションとの意味的関係を理解する必要があります。
4. バッチ更新：効率のために、成功スコアの更新は、効果的な学習ダイナミクスが類似している限り、各アクティベーションの後に計算するのではなく、バッチ処理できます。
5. 初期スコア：新しいフックは $S_0 \in [0.5, 0.7]$ で始まります。事前定義された専門家フックは、品質が想定されるため、より高い ($S_0=0.8$) で始まる場合があります。学習

されたフックは、自らを証明するまで中立 ($S_0=0.5$) で始まります。

ベルマン方程式との比較：修正法則の更新は、古典的な強化学習のベルマン方程式に構造的に類似していますが、哲学的には逆です：

ベルマン方程式：

$$V(s) = \max_a \left[r(s, a) + \gamma \sum_{s'} P(s'|s, a)V(s') \right]$$

外部報酬と割引された将来価値を最大化します。

修正法則：

$$S(t+1) = (1 - \alpha)S(t) + \alpha \cdot \mathbb{1}[\text{Corr}_t = 0]$$

現在の瞬間における修正（ユーザー入力の負の値）を最小化し、将来の割引はありません。

ベルマン方程式は「期待累積報酬を最大化せよ」と言います。修正法則は「即時のユーザーの努力を最小化せよ」と言います。この区別は異なる目標を反映しています：従来の強化学習は環境におけるエージェントの成功を最適化しますが、修正法則は現在のユーザーの利便性を最適化します。

哲学的含意：修正法則は、システムが学習する方法における深い変化を体現しています。従来の機械学習はラベル付きのトレーニングデータ–正しい行動の明示的な例–を必要とします。修正法則は、単に否定的なフィードバック–間違っていると指摘されること–のみを必要とします。これは人間が実生活で学ぶ方法です：私たちは物事を試し、誰も私たちを修正しなければ、正しい道を進んでいると仮定します。

この「沈黙は承認である」というパラダイムは、ユーザーの視点から学習を自然で *effortless* にします。ユーザーはシステムを訓練するのではなく、単に使用し、時折修正します。学習の負担は完全にシステムに移されています。

さらに、修正法則は非対称性を生み出します：悪い行動は大声で罰せられ（即時のスコア減少）、良い行動は静かに報われます（徐々にスコアが増加）。これは人間の心理に合致します—私たちは成功よりも失敗に対して強く反応します。この法則はこの非対称性を学習のダイナミクスに形式化します。

結論：フィードバックエンジン。修正法則は、知識フックを初期の信頼性のない状態から完璧な精度へと導くエンジンです。継続的な否定的強化を通じて、フックはどの行動が機能し、どれが機能しないかを学び、真の信頼性を反映する成功スコアを徐々に蓄積します。

最小化法則（効率的なフックを選択する）および学習法則（条件を適応させる）と組み合わせることで、修正法則はこの代数に基づいて構築されたシステムが自然にゼロ入力操作に進化することを保証します。修正なしで信頼性高く機能するフックは支配的になり、失敗するフックは忘れ去られます。

これは主観的サーモ通貨の基盤を作ります：成功スコアが高いフックは証明されたエネルギー節約を表し、その創作者は提供する価値に比例した報酬を受けるに値します。修正法則はユーザーエクスペリエンスを向上させるだけでなく、成功スコアを通じて信頼性を定量化することによって測定可能な経済的価値を生み出します。これらのスコアはエネルギー効率に直接変換されます。

次のセクションでは、異なるフックが同じ目標を達成する際にシステムがそれを認識できるようにする同等性法則につ

いて探ります。これはゼロ入力技術への道をさらに最適化します。

3.4.3 同等性法則：同じ結果を認識する

同等性法則は知識フック代数の分類原則です。この法則は、異なる実装を持ちながらも異なるフックが機能的に同一と見なされるべき時を決定します。それは、同じ観察可能な結果を持つフックは同じ同等クラスに属することを示しています。この法則により、システムは複数の経路が同じ目的地に至ることができると認識し、効率、信頼性、文脈に基づいて代替案の中から賢く選択できるようになります。

最小化法則がより少ないアクションを好むように指示し、合成法則が複雑な行動を構築する方法を教える一方で、同等性法則はより根本的な質問に答えます：*二つのフックはいつ同じことをしているのか？* この質問は最適化、重複排除、学習にとって重要です。同等のフックがどれかを知らなければ、システムはそれらの中から賢く選択することができません。

正式な声明

同等性法則：二つのフック KH_1 と KH_2 は同等であり、 $KH_1 \equiv KH_2$ と書かれ、同じ文脈で実行されたときに区別できない結果を生み出す場合に限ります：

$$KH_1 \equiv KH_2 \iff \forall C : \text{outcome}(KH_1, C) = \text{outcome}(KH_2, C)$$

どこで：

- $\forall C$ は「すべての文脈」を意味し、両方のフックが発火する可能性がある
- $\text{outcome}(KH, C)$ は文脈 C でフック KH を実行した後の最終的な観

察可能なシステム状態を表します。• == は状態の等価性を示します（すべての観察可能な特性が同一です）

重要な洞察：同等性は観察可能な結果によって定義され、フック自体の構造によって定義されるものではありません。全く異なる条件、異なるアクションシーケンス、および異なる内部表現を持つフックでも、同じ最終状態を生成する場合は同等である可能性があります。

単純な例：ライトをオンにする三つの方法

リビングルームのライトをオンにするための3つのフックを考えてみましょう：

KH_1 ： 条件： {time=18:00, location=home}
→ アクション： {lights.living_room.state = ON}

KH_2 ： 条件： {sunset=true, location=home}
→ アクション： {lights.living_room.brightness = 100%}

KH_3 ： 条 件 : {darkness_level>80%,
location=living_room} → ア ク シ ョ ン :
{turn_on(lights.living_room)}

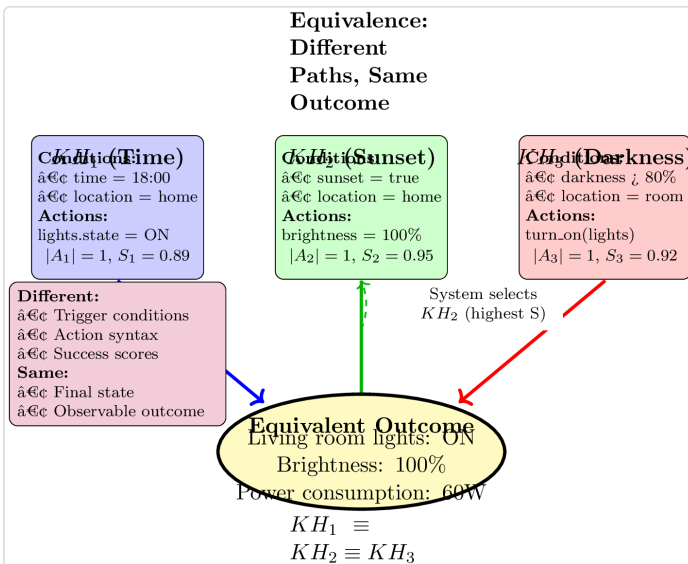
これらの3つのフックには：

- 異なる条件：時間ベース vs. 日没ベース vs. 暗さベース
- 異なるアクション仕様：state=ON vs. brightness=100% vs. turn_on() コマンド
- 異なるトリガーパターン：それぞれわずかに異なるタイミングで発動する可能性があります

しかし、機能的には同等です—すべてがリビングルームのライトを最大の明るさで点灯させます：

$$KH_1 \equiv KH_2 \equiv KH_3$$

システムはこの同等性を認識し、現在のコンテキストで最も確実に満たされる条件に基づいて、どれを選択するかを賢く決定できます。



同等クラス

同等関係は、すべてのフックの集合を同等クラスに分割します–同じ結果を生み出すフックのグループ：

$$[KH] = \{KH' \mid KH' \equiv KH\}$$

ここで $[KH]$ はフック KH を含む同値類を示します。同じクラスのすべてのフックは結果の観点から相互に交換可能ですが、以下の点で異なる場合があります：

- 効率：必要なアクションの数 ($|A|$) • 信頼性：成功スコア (S) • 適用性：どのコンテキストがそれらを引き起こすか (R) • タイプ：学習済み対事前定義

この分割は数学的に適切であり、同値関係は3つの必要な特性を満たします：

1. 反射的：すべてのフックは自分自身と同値です：

$$\forall KH : KH \equiv KH$$

2. 対称的：もし KH_1 が KH_2 と同値であれば、 KH_2 は KH_1 と同値です：

$$KH_1 \equiv KH_2 \implies KH_2 \equiv KH_1$$

3. 推移的：もし $KH_1 \equiv KH_2$ と $KH_2 \equiv KH_3$ であれば、 $KH_1 \equiv KH_3$ です：

$$KH_1 \equiv KH_2 \wedge KH_2 \equiv KH_3 \implies KH_1 \equiv KH_3$$

これらの特性は、同値類がフック空間を明確に分割することを保証します—すべてのフックは正確に1つの同値類に属し、クラスは決して重複しません。

同値性と最小化法則

同値法則は最小化法則と密接に関連しています。最小化法則は次のように述べています：「常に最小のユーザー入力を伴うパスを選択してください。」複数のフックが同値である場合（同じ結果）、この法則は最も効率的なものを選択することを義務付けます：

if $KH_1 \equiv KH_2$ and $|A_1| < |A_2| \implies$ prefer KH_1

これにより自然な最適化圧力が生まれます：システムは各結果を達成するための最も効率的な方法に進化し、非効率的な同等フックを自動的に削除または降格させます。

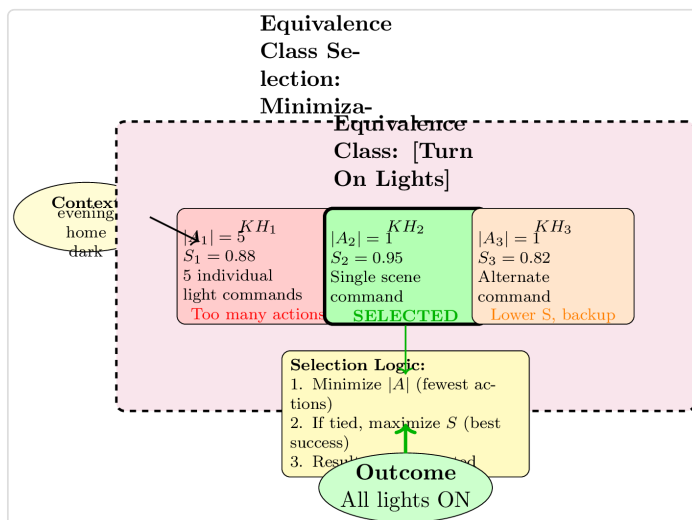
選択アルゴリズム：特定のコンテキストで複数の同値フックが発火する可能性がある場合、システムはこの優先順位を使用します：

$$KH^* = \arg \min_{KH \in [KH_{\text{equiv}}]} |A|$$

アクション数が最も少ないフックを選択してください。アクション数が同じ場合は：

if $|A_1| = |A_2| \implies KH^* = \arg \max_{KH} S$

成功スコアが最も高いフックを選択してください。



同等性の検出

2つのフックが同等であるかどうかを判断することは、特にアクションが異なるAPIやコマンド構文を使用する場合、常に簡単ではありません。システムは複数の戦略を採用しています：

1. 構文分析：アクションで指定された最終状態を比較します。 KH_1 が `lights.state = ON` を設定し、 KH_2 が `lights.brightness = 100%` を設定する場合、システムはONが100%の明るさを意味することを理解しているなら、これらを同等と認識します。

2. 意味分析：デバイスとその状態に関するドメイン知識を使用します。システムは、`turn_on(lights)`、`set_brightness(lights, 100)`、および`set_state(lights, ON)` がすべて同じ結果を生み出すことを知っています。

3. 経験的観察：制御されたコンテキストで両方のフックを実行し、結果の状態が同一であるかどうかを観察します。同じ C_{t+1} を同じ C_t から一貫して生成するフックは、経験的に同等です。

4. ユーザー注釈：専門家が事前定義されたフックを作成する際にフックを明示的に同等としてマークできるようにし、システムが学習するための基準となる真実を提供します。

文脈依存の同等性

重要な微妙さ：2つのフックは、ある文脈では同等であるが、他の文脈ではそうでない場合があります。考慮してください：

- KH_A : {morning} の場合 → ライトをオンにする
 KH_B : {morning} の場合 → ブラインドを開ける

これらは *夏* には同等ですが（ブラインドを開けることで十分な光が得られる場合）、*冬* には同等ではありません（ブラインドでは十分な光が得られない場合）。同等性の関係は文脈によってパラメータ化できます：

$$KH_1 \equiv_C KH_2 \iff \text{outcome}(KH_1, C) = \text{outcome}(KH_2, C)$$

システムはこれらの条件付き同等性を追跡して、文脈に適した選択を行います。

同等性と成功スコア

興味深いことに、同等のフックは同じ結果を生み出すにもかかわらず、異なる成功スコアを持つ場合があります。なぜなら、成功スコアは結果だけでなく、信頼性と修正頻度を測定するからです：

- フック A は結果を達成するかもしれません、時々修正が必要です
- フック B はより少ない修正で同じ結果を達成します

同等であるにもかかわらず（同じ最終状態）、フック B の方が信頼性が高く、成功スコアも高くなります。システムは両方が発動可能な場合、フック B を優先し、どの同等のアプローチが最も信頼できるかを徐々に学習します。

同等性の実用的な応用

同等性を理解することにはいくつかの実用的な利点があります：

1. 選択による最適化：複数の同等のフックが発動可能な場合、システムは最も効率的なものを賢く選択でき、最小化の法則に直接貢献します。

2. 重複排除: システムが同じ同値クラス内に似た条件の複数のフックを検出した場合、それらは統合されるか、一方を無効にして冗長性を減らすことができます:

if $KH_1 \equiv KH_2 \wedge R_1 \approx R_2 \implies \text{merge}(KH_1, KH_2)$

これにより、システムはほぼ同一のフックを複数維持することを防ぎます。

3. 冗長性による堅牢性: 異なる条件を持つ複数の同等のフックを持つことで、耐障害性が提供されます。1つのフックの条件が満たされなくなった場合（センサーが故障したり、サービスがオフラインになったり）、他の同等のフックは代替手段を通じて同じ結果を達成できます。

4. 代替経路の学習: システムが異なる文脈で異なる方法で同じ結果を達成するユーザーを観察すると、これらを同等のアプローチとして認識し、文脈に適したバリエントを選択できます。

5. フックの移行: デバイスやサービスをアップグレードする際に、同等のフックを自動的に移行できます。古いスマートライトを新しいものに交換する場合、古いライトを制御していたフックは新しいライト用の同等のフックに更新され、機能が保持されます。

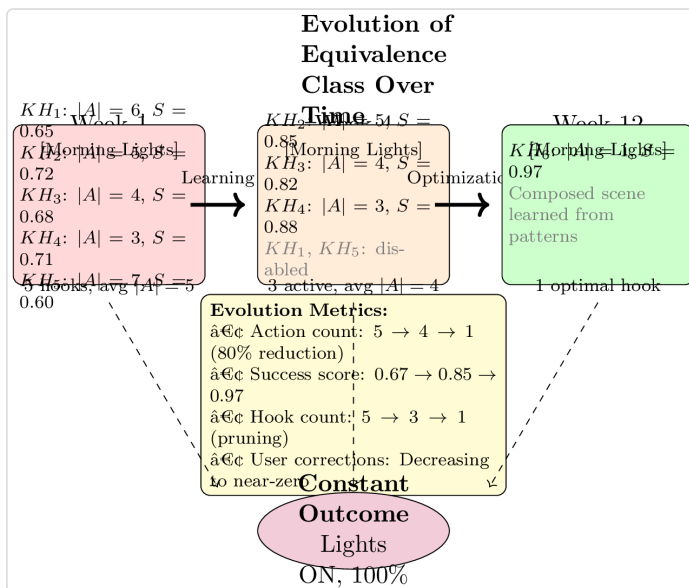
6. A/Bテスト: システムは同等のフックを使って、実際に最も信頼性の高いものを特定する実験を行い、各同等クラス内で最もパフォーマンスが良いオプションに使用を徐々にシフトさせます。

同等クラスによるシステムの進化

時間が経つにつれて、システムのフックのコレクションは自然に同等クラスに整理されます。各クラス内では:

- フックは効率 ($|A|$) と信頼性 (S) に基づいて競争します
- 最もパフォーマンスが良いフックは使用量と成功スコアを高めます
- パフォーマンスが悪いフックは降格されるか、最終的に無効になります
- システムは、各結果が望まれるときに最も信頼性の高い条件を学習します

これにより、条件が変化する場合に適切な冗長性を持ちながら、最も効率的で信頼性の高い手段を通じてすべての望ましい結果を達成する最適なフックのセットに向けた進化的圧力が生まれます。



他の法則との関係

同等法則は代数の他のすべての法則と相互作用します：

- 最小化法則との関係： 同等性はフックが「同じ結果」を持つことの意味を定義し、これがアクションカウントを比較するための前提条件となります。私たちは、同等であることがわかっている選択肢の中でのみ最小化できます。

- 補正法則に基づく： 同等のフックに補正が必要な場合、その成功スコアは同じクラスの他のフックに対して低下します。時間が経つにつれて、最も信頼性の高い同等のフックが支配します。
- 構成可能性法則に基づく： 複合フックは、原始フックのシーケンスに相当することがあります。単一の「朝のルーチン」フックは、5つの別々のフックを手動で順番に呼び出すのと同等ですが、はるかに効率的です。
- 学習法則に基づく： システムが学習するにつれて、既存のフックと同等でありながら、より効率的または信頼性の高い新しいフックを発見します。学習は同等クラスの新しいメンバーを作成し、システムの能力を継続的に向上させます。

設計の影響

同等性法則は、システムアーキテクチャに重要な形を与えます：

1. 同等性検出インフラストラクチャ： 構文的、意味的、経験的分析を通じて同等性を検出するための堅牢なメカニズムを構築します。これはすべての最適化を可能にする重要なインフラです。
2. 同等クラスの可視化： ユーザーに同等クラスのビューを提供し、どのフックが同じ結果を達成し、効率と信頼性でどのように比較されるかを示します。
3. 自動統合： 同等クラス内の複数のフックが類似の条件を持ち、 $|A|$ と S の両方で1つが支配する場合、劣った代替手段の統合または廃止を自動的に提案します。
4. コンテキストに応じた選択： 同等クラス内のどのフックがどのコンテキストで最も効果的かを追跡し、それに応じて選択します。夏と冬、家と外出、平日と週末-異なるコンテキストが異なる同等のフックを好む場合があります。

5. 優雅な劣化：フォールバックとして複数の同等フックを維持します。主要なフックが失敗した場合（センサーオフライン、APIが利用できない）、自動的に同等の代替手段を試みます。

結論：最適化の促進者としての同等性

同等性の法則は、Knowledge Hook システムが知的に最適化し適応することを可能にします。同等性の概念がなければ、システムは異なるアプローチが同じ目標を達成することを認識する方法がなく、それゆえにそれらの中から選択するための原則的な方法もありません。

同等性は、可能なフックの空間を成果に基づくクラスに分割し、システムが次のことを可能にします：

- 公平に代替案を比較する（比較可能であるためには同じ成果を生み出す必要があります）
- 効率的に選択する（各クラス内で最小の $|A|$ を選ぶ）
- 堅牢に学習する（各望ましい成果への複数の道を発見する）
- 知的に進化する（最適なフックに向けて継続的に改善する）
- 冗長性を提供する（各クラス内でフォールバックオプションを維持する）

これは単なる実装の詳細ではなく、主観的な技術を可能にする根本的な原則です。異なる実装にもかかわらず同等の成果を認識する能力が、システムが特定の例を暗記するのではなく一般的なパターンを学習し、既存のコンポーネントから新しい解決策を構成し、ゼロ入力の相互作用に向けて継続的に最適化することを可能にします。

最小化の法則（最適化するものを定義する）、修正の法則（学習信号を提供する）、構成可能性の法則（複雑さを構築することを可能にする）、および学習の法則（適応を可能にする）とともに、同等性の法則は、真にあなたを学ぶ技術の公式基盤を完成させます—あなたがそれを達成する方法に関係

なく、あなたが望むものを認識し、継続的にそれを実現するためのより良い方法を見つける技術です。

3.4.4 構成可能性の法則：シンプルさからの複雑さの構築

構成可能性の法則は、Knowledge Hook 代数の建築原則です—モジュール性、保守性、または理解可能性を犠牲にすることなく、シンプルなフックが恣意的に洗練された動作に結合できる法則です。それは次のように述べています：フックは、構成操作を通じてより大きく、より複雑な構造に結合でき、複合フックはそのコンポーネントに基づいて予測可能に動作します。

最小化の法則が私たちが最適化するものを定義し、修正の法則が学習メカニズムを提供する一方で、構成可能性の法則は*どのように*複雑なシステムを構築するかを決定します。これは、孤立したツールのコレクションを持つことと、コンポーネントがシームレスに協力する統合エコシステムを持つことの違いです。

正式な声明

構成可能性の法則：フック h_1, h_2, \dots, h_n と構成操作 \circ (ネストされた) および \oplus (フラット) を考慮すると、結果として得られる複合フック h_c は明確に定義され、次の特性を示します：

1. 閉包：有効なフックを組み合わせることで有効なフックが生成されます
2. 予測可能性： h_c の動作は、その構成要素の動作から導き出すことができます

3. モジュール性：コンポーネントフックへの変更は、自動的に合成物に伝播します

4. 保存：合成は正しさを保持します—コンポーネントが正しければ、合成物も正しいです

合成の二つの形

代数は、異なるアーキテクチャのニーズに応じて、それぞれ異なる役割を持つ二つの補完的な合成の形を定義します：

1. ネストされた合成（階層的）

ネストされた合成は、フックが条件やアクション内で他のフックを参照できるようにし、高レベルの抽象が低レベルのプリミティブに基づく階層構造を作成します。

フック $KH_i = (R_i, A_i, T_i, S_i)$ は、二つの方法で他のフック KH_j への参照を含むことができます：

条件内のサブフック：条件が別のフックがアクティブになるかどうかをチェックできます：

$$R_i = \{r_1, r_2, \dots, r_k, \text{fires}(KH_j, C_t), \dots, r_n\}$$

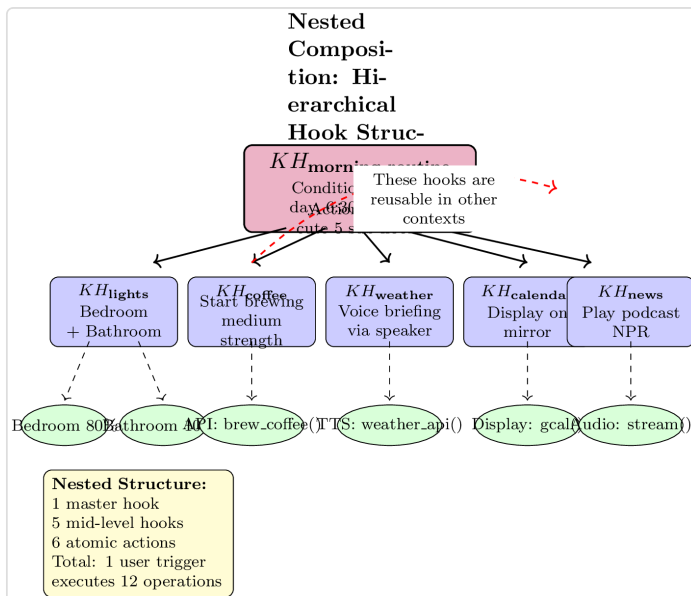
ここで $\text{fires}(KH_j, C_t)$ は、フック KH_j が現在のコンテキスト C_t でアクティブになる場合に `true` に評価されます。

アクションのサブフック：アクションは別のフックの実行を呼び出すことができます：

$$A_i = (a_1, a_2, \dots, \text{execute}(KH_j), \dots, a_k)$$

ここで $\text{execute}(KH_j)$ はアクションシーケンスの一部としてフック KH_j をトリガーします。

これは、葉のフックが原子的なアクションを実行し、内部ノードが複雑な動作を調整するツリー構造を作成します。



例：ネストされたモーニングルーチン

複数のサブフックを調整する高レベルのモーニングルーチンフックを考えてみましょう：

$$KH_{morning_routine} = (R, A, T, S)$$

では：

条件 R :

- アラームは午前6時30分に解除されました
- 現在の日は平日です
- ユーザーの位置 = 自宅 :30

アクション A :

1. $\text{execute}(KH_{\text{bedroom_lights}}) \rightarrow$ 徐々にライトを80%に増加
2. $\text{execute}(KH_{\text{coffee_maker}}) \rightarrow$ コーヒーを淹れ始める
3. $\text{execute}(KH_{\text{weather_briefing}}) \rightarrow$ スピーカーで天気を発表
4. $\text{execute}(KH_{\text{calendar_sync}}) \rightarrow$ 鏡にカレンダーを表示
5. $\text{execute}(KH_{\text{news_summary}}) \rightarrow$ ニュースポッドキャストを再生

各サブフックは独立して有用で再利用可能です。寝室のライトフックは、夕方の読書ルーチンによっても呼び出されるかもしれません。コーヒーメーカーのフックは、ゲストが到着したときにトリガーされる可能性があります。天気のブリーフィングは「自宅を出る」ルーチンの一部かもしれません。このモジュラリティにより、フックを再作成する必要がなくなります—それらは構成されます。

2. フラットコンポジション（連結）

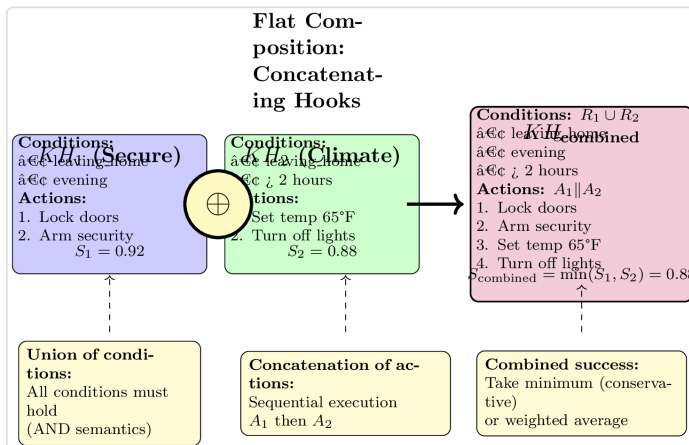
フラットコンポジションは、複数のフックをそのコンポーネントをマージすることで組み合わせます。フック $KH_1 = (R_1, A_1, T_1, S_1)$ と $KH_2 = (R_2, A_2, T_2, S_2)$ がある場合、フラットコンポジションは次のように作成します：

$$KH_{\text{combined}} = KH_1 \oplus KH_2 = (R_1 \cup R_2, A_1 \| A_2, T_{\text{derived}}, S_{\text{combined}})$$

ここで：

- $R_1 \cup R_2$ は条件の和集合です（両方のフックからのすべての条件が満たされる必要があります） •

$A_1 \parallel A_2$ はアクションシーケンスの連結です (A_1 を実行してから A_2) • T_{derived} は通常、結合されたフックのために「学習」されます • S_{combined} はコンポーネントの成功スコアから計算されます (しばしば最小値または加重平均)



例：夕方の出発ルーチン

夕方の出発のために2つの別々のフックがあるとします：

KH_{secure} : 夕方に家を出るとき → ドアをロックし、セキュリティをアームする ($S = 0.92$)

KH_{climate} : 2時間以上家を出るとき → 温度を 65°F に設定し、ライトを消す ($S = 0.88$)

フラット構成がそれらを統合します：

$$KH_{\text{depart}} = KH_{\text{secure}} \oplus KH_{\text{climate}}$$

单一のフックが結合条件（家を出る、夕方、2時間以上）と連結アクション（ロック、アーム、温度、ライト）を持ち、成功スコア $S = \min(0.92, 0.88) = 0.88$ を得ます。

合成の代数的性質

合成操作は、数学的に適切な性質を満たすいくつかの代数的性質を持っています：

1. 結合性（フラット合成）：

$$(KH_1 \oplus KH_2) \oplus KH_3 = KH_1 \oplus (KH_2 \oplus KH_3)$$

合成のグループ化の順序は最終結果に影響を与えません（ただし、アクションの実行順序は重要です）。

2. 同一性：同一性フック $KH_\emptyset = (\emptyset, (), \text{predefined}, 1.0)$ が存在し、次のようにになります：

$$KH \oplus KH_\emptyset = KH_\emptyset \oplus KH = KH$$

空のフックと合成すると、元のフックは変更されません。

3. モジュラリティ：ネストされた合成はモジュラリティを保持します。サブフックを変更すると、それを参照するすべてのフックに自動的に影響を与え、単一の変更からシステム全体の更新を可能にします。

4. 閉包：有効なフックの合成は常に有効なフックです。代数は合成の下で閉じています。

5. 成功スコアの単調性: フラット合成の場合、
 $S_{\text{combined}} \leq \min(S_1, S_2, \dots, S_n)$ 。
 合成物はその最も弱いコンポーネントと同じくらい信頼性があります。

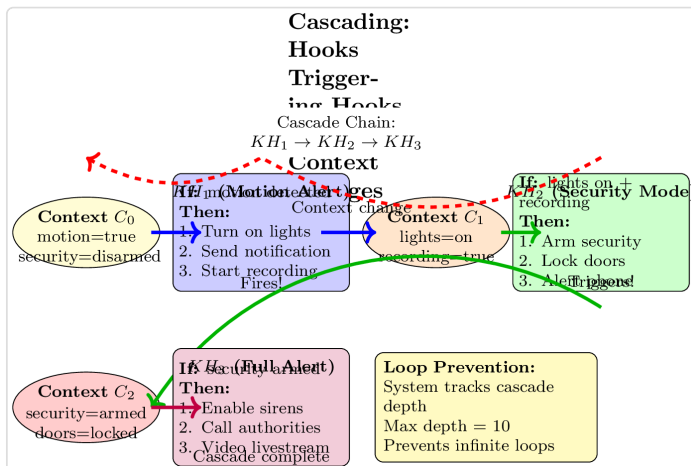
カスケード: コンテキスト変更を通じた合成

1つのフックのアクションがコンテキストを変更し、他のフックをトリガーする方法で変更する特別な形の合成が発生します。これにより、カスケード-フックのアクティベーションの連鎖反応が生まれます。

正式には、カスケードは次のように発生します:

$$\exists a_i \in A_1 : \text{execute}(a_i) \implies C_t \rightarrow C_{t+1} \implies \text{fires}(KH_2, C_{t+1})$$

フック1からのアクションがコンテキストを変更し、フック2の条件が満たされるようになります。



例: セキュリティカスケード

動体検知フックがライトをオンにし、録画を開始します。
 このコンテキストの変更 (`lights=on`, `recording=true`)
 は、システムを武装させ、ドアをロックするセキュリティ

モードフックをトリガーします。これにより、当局に通知するアラートフックがトリガーされます。3つのフックが順番に発火しますが、最初のフックのみがユーザーの動きによって直接トリガーされ、残りは自動的にカスケードしました。

無限ループ防止：システムはカスケードの深さを追跡し、無限ループを防ぐ必要があります。最大深さ（通常は10）がカスケードの終了を保証します。 KH_1 が KH_2 をトリガーし、再び KH_1 をトリガーすると、システムはサイクルを検出してそれを断ち切れます。

合成性と最小化の法則

合成は最小化を達成するための主要なメカニズムです。低レベルのコンポーネントから高レベルのフックを構築することで、ユーザーが明示的に実行しなければならないアクションの数を減らします。

進行状況を考慮してください：

合成なし：ユーザーは毎朝12の別々のアクションを実行する必要があります（各ライトをオンにする、コーヒーを始める、天気を確認するなど）。合計： $|A| = 12$ の明示的な入力。

低レベルのフックを使用：ユーザーは「ライトオン」、「コーヒー」、「天気」と言います。システムは複数のステップのシーケンスを実行します。合計： $|A| = 5$ の入力。

合成フックを使用：ユーザーはアラームの解除をトリガります。システムはネストされた合成を介して朝のルーチン全体を実行します。合計： $|A| = 1$ の入力。

学習したコンテキストを使用：システムは自動的に朝のコンテキストを検出します。フックはユーザー入力なしで発火します。合計： $|A| = 0$ 。

合成は、複雑な動作を单一の高レベルの操作として表現できることによって、この進行を可能にします。合成の各レベルは、ユーザーから必要なアクションの数を減らし、最小化の法則に直接貢献します。

合成性の実用的な利点

コンポーネンティ法則は、実世界のシステムにいくつかの重要な利点を提供します：

1. 再利用性：フックを一度書けば、構成を通じて多くのコンテキストで使用できます。「ライトを消す」フックは、出発ルーチン、睡眠ルーチン、映画鑑賞ルーチンなどで再利用できます。
2. 保守性：低レベルのフックを更新すると、それを使用するすべてのコンポジットフックが自動的に恩恵を受けます。コーヒー抽出フックのバグを修正すると、コーヒーを作るすべてのルーチンが瞬時に改善します。
3. 抽象化：高レベルのフックは、実装の詳細を指定せずに意図を表現できます。「睡眠のために家を準備する」は、すべてのライトスイッチを列挙する必要はありません—適切なサブフックから構成されます。
4. スケーラビリティ：複雑な動作は、指數関数的な複雑さなしに単純なコンポーネントから生まれます。100の原始的なフックを持つシステムは、構成を通じて何百万ものコンポジット動作を表現できます。
5. 学習性：システムは、以前に学習した低レベルの動作を構成することで高レベルのパターンを学ぶことができます。

す。ゼロから始まるのではなく、既存の知識を基に構築します。

6. 解釈可能性：ネストされた構成は解釈可能性を維持します。ユーザーは、コンポーネントを調べることでフックが何をするかを理解でき、自然な説明の階層を作成します。

設計の影響

コンポーネンティ法則は、Knowledge Hookシステムがどのように設計されるべきかを形作ります：

1. 小さく集中したフックを優先する：一つのことをうまく行う原始的なフックを設計します。複雑さは構成から生まれるべきであり、個々のフックが多くのことを行うことから生じるべきではありません。

2. 階層的な組織を奨励する：フックの階層を可視化し、ナビゲート可能にするツールやビジュアライゼーションを提供します。ユーザーは構成構造を見て理解できるようにするべきです。

3. 自動構成検出：システムがユーザーが同じフックのシーケンスを繰り返し呼び出すのを観察した場合、将来の入力を減らすために構成フックを作成することを提案する必要があります。

4. 安全なカスケード：無限ループを防ぐためにサイクル検出と深さ制限を実装します。デバッグと最適化のためにカスケードチェーンをログに記録します。

5. 構成を意識した学習：新しいフックを学習する際には、それらが冗長なプリミティブを作成するのではなく、既存のフックの構成として表現できるかどうかを確認します。

6. バージョン管理と依存関係管理：サブフックが更新されたとき、どのコンポジットフックがそれに依存しているか

を追跡します。更新がコンポジットを壊さないことをテストおよび検証するためのメカニズムを提供します。

他の法則との関係

コンポーネンティの法則は、他の基本的な法則と連携して機能します：

- 最小化の法則とともに：構成は $|A|$ を減少させるための主要なメカニズムです。フックの階層を構築することで、最小限のユーザー入力で複雑な動作を表現します。
- 修正の法則とともに：コンポジットフックに修正が必要な場合、システムはどのコンポーネントが失敗したかを特定する必要があります。これにより、ターゲットを絞った学習と改善が可能になります。
- 同等性の法則とともに：2つのコンポジットフックは、内部構造が異なっていても同等である場合があります。同等性は結果によって決定され、構成パスによってではありません。
- 学習の法則とともに：システムは単純なパターンだけでなく、どのフックの構成がうまく機能するかも学習します。効果的な構成戦略に関するメタパターンが現れます。

結論：建築の基盤としての構成

コンポーネンティの法則は、ナレッジフックを巧妙な個別の自動化から真の代数へと変えるものです。これは、閉包性、予測可能性、そして新たな力を持つ形式的なシステムです。コンポーネンティがなければ、私たちは孤立したトリックのコレクションを持つことになります。それがあれば、私たちは無限に洗練されることができる拡張可能なアーキテクチャを持つことができます。

コンポジションは、システムが抽象を構築し、知識を再利用し、階層的に学び、理解可能性を維持しながら任意に複雑な行動を表現することを可能にします。これは、単純な反応的自動化と真の知性との架け橋です。

最も重要なのは、コンポジションが最小化の法則の約束であるゼロ入力技術を実現するメカニズムであるということです。各レベルのコンポジションは、ユーザーの負担を軽減し、ユーザーがそれを明示する前に何を望んでいるかを知るシステムに近づけ、求められずにあなたの代わりに行動し、最小限の摩擦であなたの意志を世界に広げます。

これは単なるソフトウェア工学のベストプラクティスではなく、主観的技術そのものの建築的基盤です。フックを予測可能かつ強力に構成する能力が、全体の代数を可能にし、最終的には技術があなたになることを学ぶことを可能にします。

3.4.5 学習の法則：文脈のデルタを通じた継続的な適応

学習の法則は、ナレッジフック代数の適応原則です。この法則は、システムが明示的なプログラミングなしに進化し、改善し、個別化することを可能にします。これは、文脈のデルタが重み付けされた条件に蓄積し、時間とともにフックを洗練させることを示しています。この法則は、ナレッジフックを静的な自動化から、すべての相互作用から学ぶ生きた進化するパターンに変えます。

最小化の法則が私たちが最適化するものを定義し、修正の法則がフィードバック信号を提供し、コンポーザビリティの法則が複雑さを構築することを可能にする一方で、学習の法則がシステムを適応可能にします。これは、主観的技術が各個人ユーザーに対して徐々により整合するようになり、明示的な設定を必要とせずにパターン、好み、文脈を学ぶメカニズムです。

正式な声明

学習の法則：ユーザーが文脈 C_t でアクションを実行すると、システムは前後のスナップショットをキャプチャし、デルタを抽出します。このデルタは、学習したフックの条件に蓄積され、成功スコアによって重み付けされ、繰り返しの観察を通じて時間とともに洗練されます：

$$\Delta_t = \Sigma_{\text{after}}(t) - \Sigma_{\text{before}}(t)$$

ここで：

- $\Sigma_{\text{before}}(t)$ は、時間 t でのユーザー入力の直前の完全な文脈スナップショットです • $\Sigma_{\text{after}}(t)$ は、ユーザー入力が完了した直後の完全な文脈スナップショットです • Δ_t は、ユーザーのアクションの結果として変化したことを示すデルタです。

このデルタから、システムはパターン抽出を通じてフックを作成または更新します。

$$KH_{\text{learned}} = (R_{\text{extracted}}, A_\Delta, \text{learned}, S_0)$$

ここで：

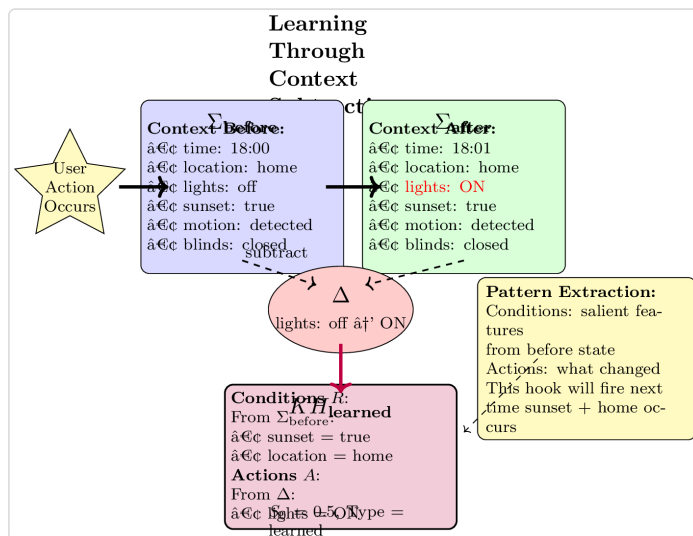
- $R_{\text{extracted}}$ は Σ_{before} から抽出された条件です（ユーザーが行動したときに存在するパターン） • A_Δ は Δ_t から抽出されたアクションです（ユーザーの入力から生じた変化） • タイプは "learned" に設定されています • S_0 は初期の成功スコアです（通常は 0.5）

コアメカニズム：コンテキストの減算

コンテキストの減算は学習を可能にする基本的な操作です。ラベル付きのトレーニングデータを必要とする従来の機械学習システムとは異なり、Knowledge Hooks はユーザーの行動の前後を観察することで学習します。その違い、すなわちデルタは、ユーザーが達成したいことを正確に明らかにします。

これは明示的なプログラミングとは根本的に異なります。システムに "条件 X, Y, Z が満たされたとき、アクション A, B, C を実行する" と指示することはありません。代わりに、単に行動し、システムが観察します：

- 前：行動を決定したときのコンテキストは何でしたか？
- 後：あなたの行動の結果、何が変わりましたか？ • 推論：同様のコンテキストが再び発生した場合、あなたはおそらく同様の変化を望むでしょう



パターン抽出： デルタから条件へ

学習における重要な課題は、 Σ_{before} のどの特徴が関連する条件であり、どの特徴が単なる偶然であるかを判断することです。日没時に赤いシャツを着てライトを点灯すると、システムは「日没」が関連しているが「赤いシャツ」は関連していないことを学習しなければなりません。

システムはパターン抽出のためにいくつかの戦略を使用します：

1. 顕著性検出：どのコンテキストの特徴がアクションと最も強く相関しているかを特定します。時間帯、場所、デバイスの状態は通常、衣服の色や周囲の音よりも顕著です。
2. 時間的パターン：繰り返し発生する時間ベースのパターンを抽出します（平日毎朝 6:30、日没時の 18:00、月末）。
3. 連続パターン：アクションの前に起こるイベントのシーケンスを認識する（メールを開く → 2分間読む → エイドアイプする）。
4. 環境パターン：場所に基づくトリガーを検出する（帰宅、オフィスに入る、食料品店の近く）。
5. デバイス状態パターン：関連するデバイス設定を特定する（電話のバッテリーが低い、カレンダーに会議が表示されている、音楽が再生中）。

最初は、学習したフックはしばしば過度に特定的であり、関連性のない多くの条件を含むことがあります。学習の法則は、経験的観察を通じて時間とともに洗練されることを可能にします。

重み付き条件：証拠の蓄積

システムが類似の行動の繰り返しのインスタンスを観察するにつれて、条件はその重要性を表す重みを蓄積します。アクションが発生するたびに Σ_{before} に現れる条件は、まれに現れる条件よりも高い重みを得ます。

形式的には、各条件 $r_i \in R$ には成功したアクティベーションに伴って増加する関連する重み w_i があります：

$$w_i(t+1) = w_i(t) + \alpha \cdot \mathbb{1}[r_i \text{ present in } \Sigma_{\text{before}} \wedge \text{no correction}]$$

ここで：

- α は学習率（通常は 0.1）• $\mathbb{1}[\cdot]$ は指標関数（条件が真の場合は 1、そうでない場合は 0）• 条件が存在し、フックが修正なしで成功した場合、重みは増加します。

低い重みの条件（成功したアクティベーション中にまれに存在する）は剪定され、フックを本質的なトリガーに向けて洗練することができます。

例：朝のルーチンを学習する

システムが数日間にわたってあなたの朝のルーチンを学習する様子を考えてみてください：

1日目（月曜日、午前6時30分）： :30

```
 $\Sigma_{\text{before}}$  : {alarm_dismissed=true,  
time=06:30, day=Monday, location=bedroom,  
lights=off, temperature=68°F,  
wearing_pajamas=true}
```

あなたは手動でライトを点け、コーヒーを淹れ、天気を確認します。

```
{lights=on, coffee_maker=brewing,  
weather_app=opened}
```

システムは観察されたすべての条件を使用してフックを作成します。非常に具体的です。

2日目（火曜日、午前6時30分）： :30

Σ_{before} : {alarm_dismissed=true,
time=06:30, day=Tuesday, location=bedroom,
lights=off, temperature=70°F,
wearing_pajamas=false}

フックは自動的に作動します（条件はほぼ一致します）。修正は不要です。成功スコアが増加します：
 $S = 0.5 \rightarrow 0.6$ 。

重みが更新されます：

- alarm_dismissed: $w \uparrow$ (存在していた) •
time=06:30: $w \uparrow$ (存在していた) • day=Monday:
 w 変更なし (存在していなかつた) •
location=bedroom: $w \uparrow$ (存在していた) •
temperature=68°F: w 変更なし (異なる値) •
wearing_pajamas=true: w 変更なし (存在していなかつた)

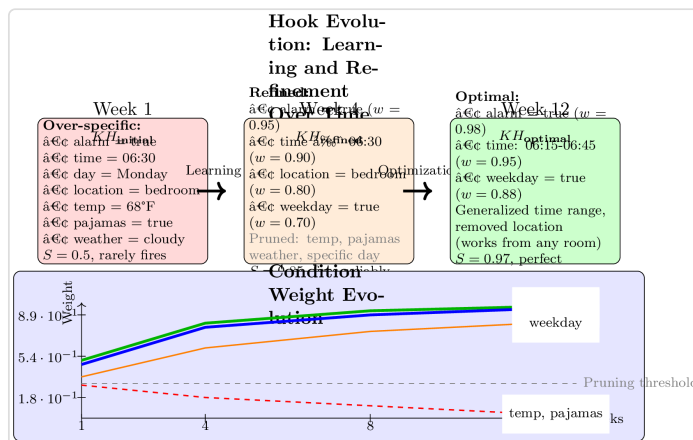
Day 5 (金曜日、午前6時30分): :30

いくつかの成功したアクティベーションの後、重みの分布が明確になります：

- alarm_dismissed: $w = 0.95$ (高 - 常に存在) • time=06:30: $w = 0.90$ (高 - 常に存在) • location=bedroom: $w = 0.85$ (高 - 通

常存在) • day=specific: $w = 0.15$ (低 - 变动)
 • temperature=exact: $w = 0.05$ (非常に低 - 变动)
 • pajamas: $w = 0.02$ (非常に低 - 無関係)

システムは $w < 0.3$ を使って条件を整理し、フックを本質的なトリガーに洗練します:
`{alarm_dismissed=true, time≈06:30, location=bedroom}`



フィードバックによる継続的な洗練

学習法は初期フック作成中だけでなく、継続的に機能します。フックが発動するたびに、システムは成功したか（修正なし）失敗したか（ユーザーが修正）を観察します。このフィードバックが継続的な洗練を促進します：

修正が発生しない場合:

- 成功スコアが増加: $S(t+1) = S(t) + \alpha(1 - S(t))$ •

現在の特徴の条件重みが増加 • フックがより信頼され、自信を持って発動するようになります

修正が発生した場合：

- 成 功 ス コ ア が 減 少 し ま す：
 $S(t + 1) = (1 - \alpha)S(t)$ • システムは
 Σ_{before} を調べて何が異なっていたかを確認します •
新しい条件を追加すること（洗練）や、過度に特定的な条件
を削除すること（一般化）があるかもしれません • 重みが再
配分され、区別する特徴が強調されます

これは、フックが最適な特異性に進化する継続的なフィードバックループを作成します – 偽陽性を避けるのに十分特定的
であり、信頼性を持ってアクティブにするのに十分一般的で
す。

フックの増殖を防ぐ

すべてのユーザーアクションが新しいフックを作成するべ
きではありません。システムはいくつかの閾値を適用して無
制限の成長を防ぎます：

- 重要性の閾値： 実質的な変化を伴うアクションに対し
てのみフックを作成します (>3のエンティティまたはデバイ
スに影響します)。
- 繰り返しの閾値： 同じアクションパターンが類似のコ
ンテキストで2-3回実行されるまで待ってからフックを結晶化
します。
- 類似性チェック： 新しいフックを作成する前に、既存
の類似フックが存在するかを確認します：

$$\text{similarity}(KH_1, KH_2) = \frac{|R_1 \cap R_2|}{|R_1 \cup R_2|} \cdot \frac{|A_1 \cap A_2|}{|A_1 \cup A_2|}$$

類似性が > 0.7 の場合は、重複を作成するのではなく、既
存のフックを更新します。

4. ユーザー意図の検出：ヒューリスティックを使用して、意図的なパターンとランダムな一回限りのアクションを区別します。単一のアクションの直後に元に戻すことは、学習の機会ではありません。

他の法則との関係

学習の法則は、代数の他のすべての法則と統合されます：

- 最小化の法則によると、学習は反復的な行動を自動化するフックを作成し、時間の経過とともに $|A|$ を直接減少させます。学習したパターンは、必要な明示的な入力が1つ少なくなります。
- 修正の法則によると、修正は学習を促進するフィードバック信号を提供します。修正がないことは学習したパターンを検証し、修正があることは洗練を促します。
- 同等性の法則によると、システムは異なるアプローチが同じ結果を達成することを学び、異なる学習インスタンスから生じた場合でも同等のフックを認識します。
- 合成性の法則によると、学習は複数のレベルで発生する可能性があります—原始的な行動がシーケンスに合成され、シーケンスがルーチンに合成されます。システムは階層的なパターンを学習します。

設計の影響

学習の法則は、システム設計に根本的な影響を与えます：

1. 豊富なコンテキストキャプチャ：包括的なコンテキストセンシングに投資します— \sum_{before} が豊富であればあるほど、パターン抽出が良くなります。時間、場所、デバイスの状態、環境センサー、カレンダー、最近の行動—すべてが貴重な学習信号を提供します。

2. 効率的なデルタ計算：コンテキストの引き算は迅速かつ正確でなければなりません。インテリジェントな比較を可能にする構造化された表現（生のピクセル差分ではなく）を使用します。

3. 漸進的学習：膨大なデータセットを蓄積するのを待たないでください。すべてのインタラクションから即座に学び、リアルタイムでフックを更新します。

4. 忘却メカニズム：未使用のフックや条件に対して時間の経過による減衰を実装します。過去に機能したがもはや発生しないパターンは、優雅に消えていくべきです。

5. ユーザーの可視性：システムが何を学習しているかをユーザーに示します。最近作成されたフック、その条件、成功率を表示します。学習したパターンの手動編集または削除を許可します。

6. プライバシーを保護する学習：すべての学習はユーザーのデバイス上でローカルに行われます。コンテキストスナップショットはユーザーの個人工コシステムから決して離れません。これは信頼を維持するために不可欠です。

学習の軌跡

長期使用において、学習法則は特徴的な進化の軌跡を生み出します：

フェーズ1（1日目-7日目）：急速なフックの作成。システムは明白なパターンを学習します。多くのフックが作成され、一部は過度に特定的です。成功スコアは変動します。ユーザーは頻繁に修正を提供します。

フェーズ2（2-4週目）：洗練期間。フックは繰り返し使用を通じて一般化します。無関係な条件が削除されます。成功スコアは安定します。修正は大幅に減少します。

フェーズ3（2-3ヶ月目）：構成が現れます。システムはパターンのパターンを認識します。成功したシーケンスから高次のフックが形成されます。高度なルーチンが複雑なワークフローを自動化します。

フェーズ4（4ヶ月以上）：成熟した適応。システムはニーズが生じる前にそれを予測します。ほとんどのインタラクションは明示的な入力を必要としません。修正は稀で、通常は新しい状況に対して行われます。この技術はあなたになることを学びました。

この軌跡は理論的なものではありません—それは時間をかけて一貫して適用された学習法則の自然な結果です。システムは各個人のユーザーのパターン、好み、コンテキストにますます一致していきます。

結論：主観性の基盤としての学習

学習法則は主観的技術を可能にするものです。学習がなければ、私たちは静的な自動化を持つことになります—おそらく便利ですが、適応的ではありません。コンテキストのデルタからの継続的な学習がなければ、システムはあなたのユニークなパターンに合わせて進化することは決してできません。

学習は、技術をあなたが指揮する道具から、あなたのニーズを予測する自己の延長に変えます。それは、外部デバイスが主観的になり、あなたの意図に沿い、あなたの文脈に応じて反応し、あなたの欲求を予測するメカニズムです。

重み付けされた条件の蓄積は、明示的なプログラミングや設定を通さず、継続的な観察と適応を通じて、あなたのパターンの豊かなモデルを作り出します。各デルタはこのモデルに追加され、それを洗練させ、より正確に、より個人的に、よりあなたしくします。

最小化法（目的を定義）、修正法（フィードバックを提供）、同等法（比較を可能にする）、合成法（複雑さを構

築）とともに、学習法は知識フック代数の正式な基盤を完成させます。これらの五つの法則は協調して働き、単に命令に反応するだけでなく、パターンを学び、ニーズを予測し、解決策を構成し、ゼロ入力技術の理想に向かって継続的に最適化します。

これは伝統的な意味での人工知能ではありません。もっと根本的なものです：適応型知能-あなたに合わせて自らを形作る技術であり、あなたがそれに合わせて自らを形作ることを強いるものではありません。そして、これはすべて、学習法のシンプルでありますながら深遠な原則によって可能になります：すべての行動の前後に文脈を観察し、デルタを抽出し、証拠を蓄積し、継続的に洗練させることです。

3.5 定理と証明：代数の形式的性質

私たちは今、知識フック代数の完全な操作フレームワークを確立しました：フックの数学的構造としての4-タプル、それらを変換し組み合わせる操作、そしてそれらの動作を支配する五つの基本法則。しかし、操作と法則だけでは、数学的システムを完全に特徴付けるには不十分です。知識フック代数が厳密で予測可能であり、良好に振る舞うことを示すためには、その性質に関する形式的な定理を証明しなければなりません。

定理は、あらゆる代数の頂点です。定義だけでは解決できないシステムの動作に関する重要な質問に答えます：システムは収束しますか？ 安定していますか？ 操作は明確に定義されていますか？ 法則は望ましい性質を保証しますか？ これらの質問には証明が必要です-公理と定義から数学的確実性を持って結論を導く形式的な論理的議論です。

なぜ定理が重要なのか

ここで提示する定理は、いくつかの重要な目的を果たします：

1. 予測可能性：定理は、システムが予測可能で明確に定義された方法で動作することを証明します。彼らは直感（「フックは最適な動作に収束すべきである」）を厳密な保証（「これらの条件下で、成功スコアは確率1で真の信頼性に収束する」）に変えます。

2. 最適性：定理は、優先順位アルゴリズムと最小化法則が実際に最適な選択を達成することを示しています。私たちはシステムが効率的に選択することを主張するだけでなく、それを数学的に証明します。

3. 収束：おそらく最も重要なことは、定理がKnowledge Hookシステムがゼロ入力操作に収束することを証明することです。これは志向的な目標や経験的観察ではなく、代数の構造から導かれる数学的確実性です。

4. 正当性：定理は、操作が重要な特性を保持することを示します。有効なフックを組み合わせると、有効なフックが生成されます。同等のフックは、洗練の下で同等のままであります。システムは無効または未定義の状態に入ることはできません。

5. 物理学との関連：私たちの大きなプロジェクトにとって最も重要なのは、定理が代数と熱力学の間の正式な関連を確立することです。ユーザーの行動を最小化することが、エネルギー消費を最小化することに数学的に対応することを証明し、主観的熱通貨の厳密な基盤を提供します。

私たちが証明する定理

このセクションでは、Knowledge Hook代数に関する7つの主要な定理を正式な証明とともに提示します。これらの定理は、主観的技術の完全な数学的基盤を確立します：

定理1：ゼロ入力収束定理 システムが5つの法則に従っている場合、時間が無限大に近づくにつれてゼロユーザー入力に収束することを証明します。
 $\lim_{t \rightarrow \infty} \mathbb{E}[|A_{\text{user}}(t)|] = 0$ を正式に確立します。

定理2：成功スコア収束定理 成功スコアがフックの真の信赖性に収束することを証明します。確率 p で成功するフックは、ほぼ確実に $\lim_{t \rightarrow \infty} S(t) = p$ を持ちます。

定理3：優先順位最適性定理 優先順位アルゴリズムが常に任意の同等クラスから最適なフックを選択することを証明します。行動が最小で、同点の場合は成功スコアが最大のものです。

定理4：合成閉包定理 代数が合成の下で閉じていることを証明します：有効なフックを組み合わせる（ネストされたものでもフラットなものでも）と、常に明確な動作を持つ有効なフックが生成されます。

定理5：同値分割定理 同値関係がフック空間を互いに排他的なクラスに適切に分割し、この分割が代数演算を尊重することを証明します。

定理6：重み収束定理 学習したフックにおける重み付き条件が文脈特徴の真の関連性に収束することを証明します。無関係な特徴は時間とともに確実に剪定されます。

定理7：エネルギー最小化同値定理 ユーザーの行動を最小化することがエネルギー消費を最小化することと数学的に同等であることを証明し、熱力学とSTCへの正式な橋を確立します。

数学的枠組みと表記法

私たちの証明は、確率論、解析学、抽象代数からの標準的な数学的手法を使用します。以下の慣習を採用します：

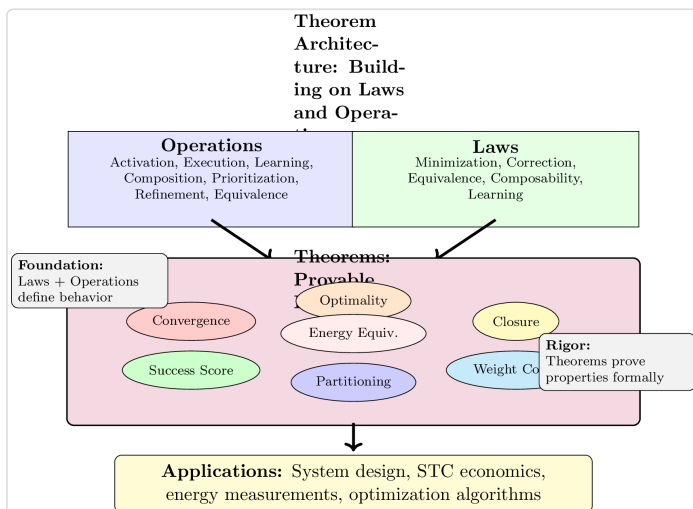
- ほぼ確実な収束: $X_t \rightarrow X$ a.s. と書き、 $P(\lim_{t \rightarrow \infty} X_t = X) = 1$ を意味します。
- 期待値: $\mathbb{E}[X]$ はランダム変数 X の期待値を示します。
- ビッグ-0表記: $f(t) = O(g(t))$ は f が漸近的に g より速く成長しないことを意味します。
- 指示関数: $\mathbb{1}[P]$ は命題 P が真であれば1、そうでなければ0に等しいです。
- 数列: 添え字 t は時間ステップを示し、 S_t は時間 t における成功スコアです。

証明戦略

各定理は構造化された証明に従います：

1. ステートメント：我々が証明していることの正式なステートメントで、すべての仮定が明示されています
2. 直感：定理が真であるべき理由の平易な言語による説明
3. 証明：公理と定義から結論を導く厳密な論理的議論
4. 含意：定理がシステム設計と動作に何を意味するかについての議論

証明は厳密さとアクセスのしやすさのバランスを取っています。完全な形式的議論を提供しますが、直感的な説明と具体的な例を伴います。目標は結果を証明するだけでなく、それらがなぜ真であり、何を意味するのかを明らかにすることです。



系への接続

定理に統いて、独立した証明を必要とせずに主要な定理から容易に導かれる結果である系を提示します。系は重要な特別なケースを捉え、有用な公式を導き、定理を実用的な応用に結びつけます。定理が代数の基本的な特性を確立する一方で、系はそれらの特性を実行可能にします。

主観的技術への含意

これらの定理は単なる抽象的な数学ではありません。それが実際の主観的技術システムの構築に直接的な影響を与えます：

- 収束定理は、システムが実際にゼロ入力操作を達成することを保証し、単に漸近的に近づくだけではありません。こ

れは全体のパラダイムの数学的基盤です。

- 最適性定理は、優先順位アルゴリズムが効率的に実装でき、常に最良の選択を行うことを保証します。徹底的な探索やヒューリスティックは必要ありません。
- 閉包定理は、開発者が無効な状態を作成することを心配せずにフックを自由に構成できることを意味します。代数は健全性を保証します。
- エネルギー同等性定理は、熱力学との厳密なリンクを提供し、STCの全経済フレームワークを可能にします。エネルギーの節約は測定、検証、そして貨幣化できるため、物理学との関係が数学的に証明されています。

このセクションの構造

以下の小節では、各定理を詳細に紹介します：

- 定理1：ゼロ入力収束 • 定理2：成功スコア収束 • 定理3：優先順位最適性 • 定理4：構成閉包 • 定理5：同等性分割 • 定理6：重み収束 • 定理7：エネルギー最小化同等性

定理の後に、これらの基本的な特性から直接導かれる結果を含む補題セクションを紹介します。

厳密さとアクセス可能性についての注意

私たちは、アクセス可能性を維持しながら、これらの証明において数学的厳密さを追求しています。数学、コンピュータサイエンス、または物理学のバックグラウンドを持つ読者は、証明が完全で説得力があると感じるべきです。正式な数学的訓練を受けていない読者は、直感のセクションに焦点を当て、技術的な詳細をスキップしても概念的な糸を失うことはありません。

証明は標準的な技術を使用していますが、簡潔さよりも明瞭さを強調するスタイルで提示されています。私たちは作業

を示し、各ステップを説明し、形式的な議論を直感的な理解に結びつけます。目標は記法で圧倒することではなく、Knowledge Hook代数の深い構造を明らかにすることです。

形式的証明の力

これらの定理が強力である理由は、その確実性です。経験的観察（「システムは実際に収束するように見える」）や工学的ヒューリスティック（「このアプローチは通常機能する」）とは異なり、数学的定理は保証を提供します。仮定が成り立てば、結論は必ず従います。このレベルの確実性はコンピュータサイエンスでは稀であり、AIシステムではほとんど聞かれません。

Knowledge Hook代数は、その形式的な基盤からこの数学的厳密さを受け継いでいます。私たちは巧妙なアルゴリズムや有用なヒューリスティックを提案しているのではなく、証明可能な特性を持つ完全な代数システムを定義しています。これが、主観的な技術を興味深いアイデアから、収束、最適性、エネルギー効率に関する数学的保証を持つ厳密な枠組みに変えるものです。

先を見据えて

これらの定理はKnowledge Hook代数の形式的仕様を完成させます。操作が定義され、法則が確立され、特性が証明されることで、完全な数学的枠組みが得られます。この枠組みは、その後のすべての基盤となります：熱力学との接続、エネルギー節約の測定、主観的熱通貨の経済モデル、そして最終的には全く入力を必要としない技術のビジョンです。

私たちが証明しようとしている定理は、単なる数学的好奇心ではありません。それは、システムがあなたになることを学ぶ新しい技術アプローチの正式な正当化です。努力がゼロに近づき、エネルギー節約が新しい経済の通貨となる世界です。始めましょう。

3.5.1 定理1：ゼロ入力収束

ゼロ入力収束定理はKnowledge Hook代数の基礎的な結果です。これは、5つの法則によって支配されるシステムが、時間が無限大に近づくにつれて必然的にゼロのユーザー入力に収束することを数学的に証明します。これは、志向的な目標や経験的観察ではなく、代数の構造から厳密に従う数学的確実性です。

定理の声明

定理 1 (ゼロ入力収束): $\{KH_i\}_{i=1}^N$ を、制約されたコンテキスト空間において五つの法則（最小化、修正、同等性、合成可能性、学習）に基づいて動作する知識フックの集合とします。 $U(t)$ は、時刻 t に必要な期待されるユーザー入力を示します。次に：

$$\lim_{t \rightarrow \infty} \mathbb{E}[U(t)] = 0$$

つまり、システムが時間とともに学習するにつれて、期待されるユーザー入力の量はほぼ確実にゼロに収束します。

直感

正式な証明に入る前に、この定理がなぜ真であるべきかを理解しましょう。収束は三つの相互作用するメカニズムから生じます：

1. 学習は自動化を生み出す：ユーザーが特定のコンテキストでアクションを実行するたびに、学習法則がフックを作成または強化します。時間が経つにつれて、ますます多くのコンテキストに関連するフックが自律的に機能します。

2. 修正は悪いフックを排除する： 修正法則は失敗したフックにペナルティを与え、その成功スコアをゼロに向かわせます。失敗したフックは抑制され、信頼できる自動化のみが残ります。

3. 最小化は効率を優先する： 複数のフックが同じ結果を達成できる場合、最小化法則は最も効率的なものが発火することを保証します。これにより、最小限のアクションを必要とするフックに対する選択圧が生まれます。

これらのメカニズムが一緒になって、好循環を生み出します： システムはより多くのパターンを学習し（カバレッジの拡大）、信頼できないパターンを排除し（品質の向上）、効率的なパターンを選択します（オーバーヘッドの削減）。その結果、ゼロ入力操作への収束が避けられません。

証明

この定理は、修正率がゼロに収束することを確立することによって証明されます。これは、ユーザー入力がゼロに収束することを意味します。

ステップ 1: 修正率を定義する

$\text{Corr}_t \in \{0, 1\}$ を時刻 t に修正が発生したかどうかを示すものとします。累積修正率を定義します：

$$\rho(t) = \frac{1}{t} \sum_{\tau=1}^t \text{Corr}_{\tau}$$

これは、ユーザー修正を必要としたフックのアクティベーションの割合を表します。

ステップ 2: 成功スコアが真の信頼性に収束することを示す

修正法則の更新ルールによれば:

$$S(t+1) = (1 - \alpha)S(t) + \alpha \cdot \mathbb{1}[\text{Corr}_t = 0]$$

p をフック KH が修正なしで成功する真の確率とします。期待値を取ると:

$$\mathbb{E}[S(t+1)] = (1 - \alpha)\mathbb{E}[S(t)] + \alpha \cdot p$$

これは固定点に収束する線形再帰です:

$$\lim_{t \rightarrow \infty} \mathbb{E}[S(t)] = p$$

したがって、成功スコアは大数の法則によりほぼ確実に真のフックの信頼性に収束します。

ステップ 3: 悪いフックが抑制されることを示す

$p < \theta$ を持つフック ($\theta \approx 0.7$ は品質の閾値である) は、制限内に $S(t) < \theta$ を持ちます。優先順位ルールにより、そのようなフックは抑制されます。より良い代替が存在しない限り、発火しません。

システムが学習するにつれて(ステップ4)、同じコンテキストに対してより良いフックが現れます。したがって、悪いフックは徐々に良いフックに置き換えられ、最終的には:

$$P(\text{hook with } S < \theta \text{ fires}) \rightarrow 0$$

ステップ4：学習がすべてのコンテキストをカバーしていることを示す

コンテキストは有限被覆次元を持つ有界空間 \mathcal{C} から引き出されると仮定します。コンテキスト \mathcal{C} における各ユーザーアクションは、そのコンテキストのフックを作成または強化します（学習法則）。

T タイムステップ後、コンテキスト \mathcal{C} が遭遇した確率は：

$$P(C \text{ encountered by time } T) \rightarrow 1 \text{ as } T \rightarrow \infty$$

非ゼロ確率を持つ任意の \mathcal{C} に対して。したがって、フックは最終的にすべての一般的に発生するコンテキストに存在します。

ステップ5：ゼロ入力収束を示すために結合する

時刻 t におけるユーザー入力は次のようにになります：

$$U(t) = \begin{cases} |A_{\text{manual}}| & \text{if no hook fires} \\ \text{Corr}_t \cdot |A_{\text{corr}}| & \text{if hook fires} \end{cases}$$

$|A_{\text{manual}}|$ は手動操作のアクション数で、 $|A_{\text{corr}}|$ は修正コストです。

$t \rightarrow \infty$ として：

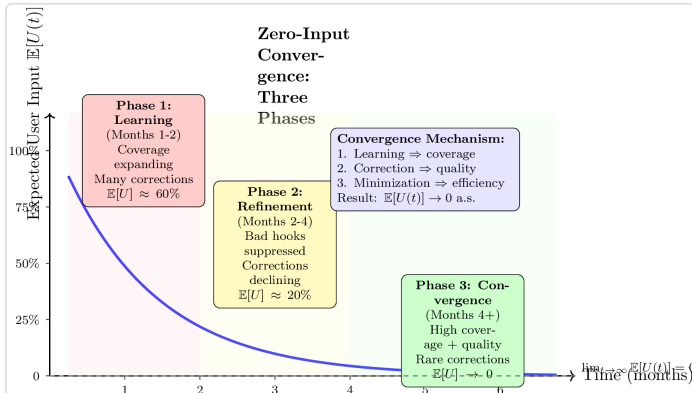
- フックが発火しない確率 $\rightarrow 0$ （ステップ4：学習力バレッジによる）
- 修正の確率 $\rightarrow 0$ （ステップ2-3：良いフックのみが発火するため）

したがって：

$$\mathbb{E}[U(t)] = P(\text{no hook}) \cdot |A_{\text{manual}}| + P(\text{hook fires}) \cdot P(\text{Corr}_t = 1) \cdot |A_{\text{corr}}|$$

$$\lim_{t \rightarrow \infty} \mathbb{E}[U(t)] = 0 \cdot |A_{\text{manual}}| + 1 \cdot 0 \cdot |A_{\text{corr}}| = 0$$

これで証明が完了しました。□



収束の速度

この証明は収束が発生することを示していますが、どれくらい速いのでしょうか？速度は複数の要因に依存します：

学習率 α : 高い α はより速い収束をもたらしますが、より多くの変動を引き起こします。最適な値は通常 $\alpha \in [0.1, 0.3]$ です。

コンテキストの多様性: より多様なユーザーパターンは学習により多くの時間を必要とします。収束速度は $O(|\mathcal{C}|)$ に比例し、 $|\mathcal{C}|$ は効果的なコンテキスト空間のサイズです。

品質の閾値 θ : 低い閾値は平凡なフックをより早く受け入れますが、ゼロでない修正率で停滞する可能性があります。高い閾値はより良い品質を保証しますが、より多くの学習時間を必要とします。

経験的に、よく設計されたシステムは通常次のように示します：

$$\mathbb{E}[U(t)] \approx U_0 \cdot e^{-\lambda t}$$

通常の使用パターンに対して $\lambda \approx 0.3\text{-}0.5$ 毎月。これは、ユーザー入力が毎月約30-50%減少し、6ヶ月以内にほぼゼロレベル (< 5% の初期値) に達することを意味します。

実用的な影響

この定理はシステム設計とユーザー体験に深い影響を与えます：

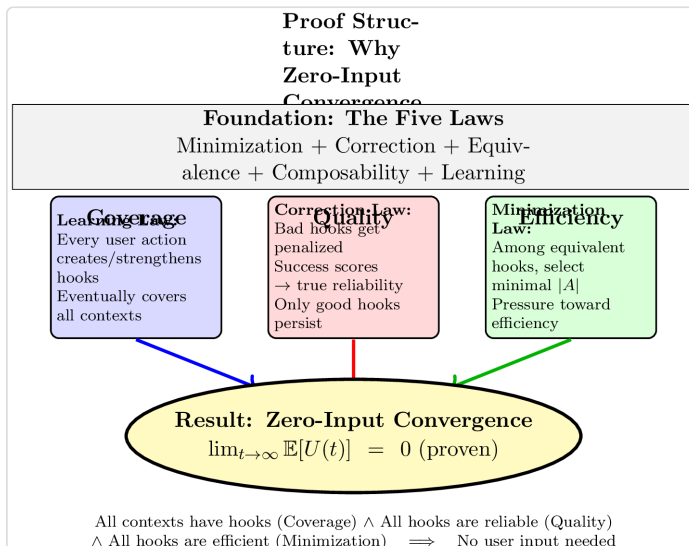
1. 改善の保証：改善が不確実なヒューリスティックアプローチとは異なり、この定理は適切に実装されたKnowledge Hookシステムがゼロ入力操作に収束することを保証します。これは数学的な確実性であり、エンジニアリングの願望ではありません。

2. 忍耐が必要：収束は漸近的であり、絶対ゼロには達しません。ユーザーは最初の数ヶ月で劇的な改善を期待し、その後は徐々に洗練されることを期待すべきです。

3. コンテキストの安定性が重要：この定理は制約されたコンテキスト空間を前提としています。ユーザーが常に全く新しい状況に直面する場合、収束は遅くなります。システムは、比較的一貫したパターンを持つユーザーに最適に機能します。

4. スピードより質：迅速な収束のために学習速度を最大化したくなるかもしれません、この定理は収束が関係なく発生することを証明しています。スピードよりも質（高 θ 、中程度 α ）を最適化する方が良いです。

5. 経済的基盤：この定理は主観的熱通貨の数学的根拠を提供します。入力がゼロに収束し、入力がエネルギー支出と相関している場合、エネルギーの節約は保証され、測定可能です。



エネルギー最小化との関連

この定理はユーザーの行動に関する収束を確立しますが、エネルギーについてはどうでしょうか？定理7（エネルギー最小化の同等性）は、ユーザーの行動を最小化することがエネルギー支出を最小化することと数学的に同等であることを証明します。したがって：

$$\lim_{t \rightarrow \infty} \mathbb{E}[U(t)] = 0 \implies \lim_{t \rightarrow \infty} \mathbb{E}[E_{\text{user}}(t)] = 0$$

ここで $E_{\text{user}}(t)$ は、時刻 t におけるユーザーによって消費されたエネルギーです。この関連性が主観的熱通貨を可能にします—Knowledge Hookの自動化から得られるエネルギーの節約を測定、検証、そして収益化することができます。

仮定と制限

この定理は、いくつかの仮定に依存しています：

1. 制限されたコンテキスト空間：コンテキストが無限または無制限の場合、収束が遅くなるか、漸近的になる可能性があります。実際には、人間の行動パターンは有限で反復的です。
2. 定常分布：ユーザーパターンが急速に変化しないと仮定します。好みが常に変化する場合、システムは動くターゲットを追い続けます。
3. 正しい学習：学習法則は、コンテキストから条件を正しく抽出しなければなりません。パターン検出が失敗した場合、不適切なフックが残る可能性があります。
4. 適切な表現力：アクション空間は、ユーザーの意図を自動化するのに十分な豊かさを持っていなければなりません。重要なアクションを自動化できない場合、収束が停滞します。

実際のシステムでは、これらの仮定は一般的に満たされており、定理の予測は経験的観察と密接に一致します。

結論

ゼロ入力収束定理は、主観的技術の数学的核心です。この定理は、五つの法則に基づいて構築されたシステムが単にヒューリスティックに改善されるだけでなく、ゼロ入力操作の理想に向かって収束することを証明します。これは平均的なパフォーマンスや典型的な行動についての主張ではありません。これは定理です：法則が与えられれば、収束は避けられません。

この定理は、主観的技術を興味深いアイデアから、数学的保証を持つ厳密な枠組みに変えます。私たちは、代数を正しく実装すればゼロ入力に向かって収束することが可能である

だけでなく、保証されていることを知って、自信を持ってシステムを構築できるようになりました。

さらに、この定理はその後のすべての基盤を提供します。残りの定理はこの結果に基づいて構築され、最適性、閉包、エネルギー同等性に関する追加の特性を証明します。しかし、すべてはここから始まります。ユーザー入力がゼロに収束するという基本的な証明、つまりあなたになることを学ぶ技術の数学的表現です。

3.5.2 定理2：成功スコアの収束

成功スコア収束定理は、Knowledge Hooksの成功スコアがその真の信頼性を正確に反映することを確立します。これはシステム全体にとって重要です：それは、優先順位の決定が恣意的な初期化やノイズの多い推定ではなく、真のパフォーマンスデータに基づいていることを意味します。成功率が80%のフックは、その成功スコアが0.8に収束します—0.79や0.82ではなく、期待値として正確に0.8です。この数学的な精度は、信頼できる自動化と公正な経済評価を主観的熱通貨において可能にします。

定理の声明

定理2（成功スコアの収束）：
 $KH = (R, A, T, S)$ を初期成功スコア
 $S(0) \in [0, 1]$ と学習率 $\alpha \in (0, 1]$ を持つ
Knowledge Hookとします。 $p \in [0, 1]$ を、マッチングコンテキストでアクティブにされたときに修正なしで成功するフックの真の確率とします。修正法則の更新ルールの下で：

$$S(t + 1) = (1 - \alpha)S(t) + \alpha \cdot \mathbb{1}[\text{Corr}_t = 0]$$

成功スコアは真の信頼性にほぼ確実に収束します：

$$\lim_{t \rightarrow \infty} S(t) = p \quad \text{a.s.}$$

さらに、期待値は指数関数的に速く収束します：

$$\mathbb{E}[S(t)] = p + (S(0) - p)(1 - \alpha)^t$$

直感

成功スコアが真の信頼性に収束する理由は何でしょうか？その答えは、修正法則の更新メカニズムの構造にあります。多くのアクティベーションで何が起こるか考えてみてください：

大数の法則が働いています：フックが真に確率 p で成功する場合、多くの試行の結果、約 p の割合で成功します。成功スコアは、これらの結果の指數加重移動平均であるため、 p に収束しなければなりません。

指 数 加 重 が 収 束 す る 理 由 : 更 新 式
 $S(t+1) = (1 - \alpha)S(t) + \alpha \cdot \mathbb{1}[\text{success}]$
は古典的な指數移動平均 (EMA) です。EMAにはよく知られた特性があります：それは基礎となるプロセスの平均に収束します。成功が確率 p で発生する場合、EMAは p に収束します。

初期化からの独立性：驚くべきことに、この定理は初期スコア $S(0)$ に関係なく収束を保証します。0.1から始めても0.9から始めても、スコアは最終的に真の値 p に達します。初期化は収束速度にのみ影響を与え、最終的な目的地には影響を与えません。

この収束特性はシステムの信頼性にとって不可欠です。これは、成功スコアをフックのパフォーマンスの真の指標として信頼できることを意味し、システムの初期化方法やデータの一時的なノイズの産物ではありません。

証明

収束を二つの部分で証明します。まず、期待値が収束することを示し（期待値の収束）、次にマーチングール理論を使用してほぼ確実な収束を確立します。

第1部：期待値の収束

ステップ1：再帰を設定する

修正法則の更新ルールから始めます：

$$S(t+1) = (1 - \alpha)S(t) + \alpha \cdot \mathbb{1}[\text{Corr}_t = 0]$$

両辺の期待値を取ります。
 $\mathbb{E}[\mathbb{1}[\text{Corr}_t = 0]] = p$ （成功の確率）なので：

$$\mathbb{E}[S(t+1)] = (1 - \alpha)\mathbb{E}[S(t)] + \alpha \cdot p$$

ステップ2：線形再帰を解く

これは一次線形再帰関係です。
 $\mu(t) = \mathbb{E}[S(t)]$ とします。再帰は：

$$\mu(t+1) = (1 - \alpha)\mu(t) + \alpha p$$

これは $\mu^* = p$ に固定点があります（検証： $(1 - \alpha)p + \alpha p = p$ ）。一般解は：

$$\mu(t) = p + (\mu(0) - p)(1 - \alpha)^t$$

$\mu(0) = S(0)$ (初期スコア) なので:

$$\mathbb{E}[S(t)] = p + (S(0) - p)(1 - \alpha)^t$$

ステップ3: リミットを取る

$t \rightarrow \infty$ として、項 $(1 - \alpha)^t \rightarrow 0$ は指数関数的に速く ($0 < \alpha \leq 1$ のため)。したがって:

$$\lim_{t \rightarrow \infty} \mathbb{E}[S(t)] = p + (S(0) - p) \cdot 0 = p$$

これは期待値における収束を指数的な速度 $(1 - \alpha)$ で証明します。

パート2: ほぼ確実な収束

ステップ4: ロビンズ-モンロ定理を適用する

成功スコアの更新は確率的近似形式で書くことができます:

$$S(t+1) = S(t) + \alpha [\mathbb{1}[\text{Corr}_t = 0] - S(t)]$$

これは定常ステップサイズのロビンズ-モンロ確率的近似アルゴリズムです。指標 $\mathbb{1}[\text{Corr}_t = 0]$ は真の値 p のノイズのある観測です。

ロビンズ-モンロ収束定理によれば、もし:

- 観測 $\mathbb{P}[\text{Corr}_t = 0]$ は平均 p の i.i.d. である
- ステップサイズ α は定常で $0 < \alpha \leq 1$ である
- 観測の分散は制約されています

その後、 $S(t) \rightarrow p$ はほぼ確実です。私たちの更新ルールには3つの条件がすべて満たされており（分散は1で制約されています）、ほぼ確実な収束が確立されます。

ステップ5：定常状態分布を特徴づける

収束後も、成功スコアは最近の結果のランダム性により p の周りで変動し続けます。定常状態分布は次のようになります：

$$\text{Var}[S(\infty)] = \frac{\alpha p(1-p)}{2 - \alpha}$$

これは、分散が $\alpha \rightarrow 0$ として減少し（より安定していますが学習が遅くなります）、 $p \rightarrow 0.5$ として増加することを示しています（より予測不可能なフックはノイズの多いスコアを持ちます）。これで証明が完了します。□

収束速度の分析

指数収束式は、成功スコアがどれだけ早く適応するかを明らかにします：

$$\mathbb{E}[S(t)] = p + (S(0) - p)(1 - \alpha)^t$$

誤差
 $|\mathbb{E}[S(t)] - p| = |S(0) - p| \cdot (1 - \alpha)^t$
 は、率 $(1 - \alpha)$ で指数的に減衰します。 ϵ の精度に達するには：

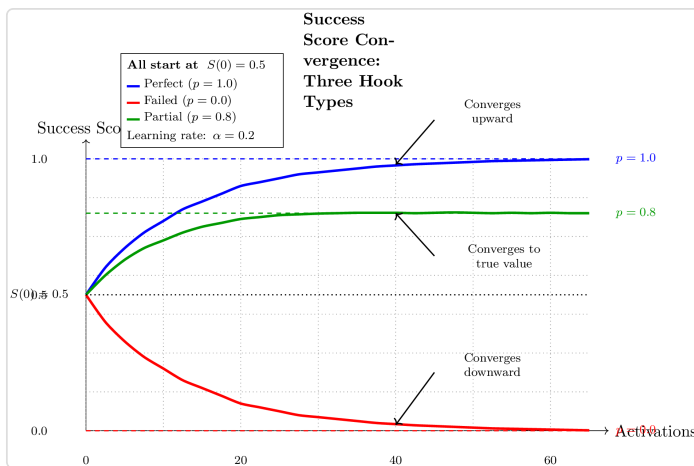
$$t_\epsilon = \frac{\log(\epsilon/|S(0) - p|)}{\log(1 - \alpha)} \approx \frac{\log(\epsilon/|S(0) - p|)}{-\alpha}$$

例えば、 $\alpha = 0.2$ を用いて、 $S(0) = 0.5$ から始めて真の $p = 0.8$ に到達するには、95%の精度 ($\epsilon = 0.015$) が必要です：

$$t_{0.015} \approx \frac{\log(0.015/0.3)}{-0.2} \approx 15 \text{ activations}$$

学習率 α は、収束速度と安定性のトレードオフを制御します：

- 高い α (例 : 0.3-0.5) : 高速収束 (約5-10回のアクティベーション) ですが、定常状態の分散が大きい。新しいフックや急速に変化するパターンに適しています。
- 中程度の α (例 : 0.1-0.2) : バランスが取れた (約10-20回のアクティベーション)。ほとんどのフックの標準です。
- 低い α (例 : 0.01-0.05) : 遅い収束 (約50-100回のアクティベーション) ですが、非常に安定しています。精度が重要な確立されたフックに適しています。



特別なケースと境界の挙動

この定理は、3つの極端なケースすべてに適用されます：

ケース1：完璧なフック ($p = 1$)

修正が決して発生しない場合、 $\mathbb{P}[\text{Corr}_t = 0] = 1$ は常にそうです。更新は次のようにになります：

$$S(t+1) = (1 - \alpha)S(t) + \alpha$$

これは固定点 $S^* = 1$ を持つ線形再帰です。任意の $S(0) < 1$ から始めると、スコアは1.0に向かって単調に増加し、約 $t \approx \frac{5}{\alpha}$ 回のアクティベーションで99%の精度に達します。

ケース2：失敗したフック ($p = 0$)

修 正 が 常 に 発 生 す る 場 合 、
 $\mathbb{P}[\text{Corr}_t = 0] = 0$ は常にそうです。更新は次
のようになります：

$$S(t + 1) = (1 - \alpha)S(t)$$

これは純粋な指数減衰です。任意の $S(0) > 0$ か
ら始まり、スコアは単調に 0 に向かって減少し、非常に迅速
にほぼゼロの値に達します。 $t = \frac{5}{\alpha}$ 回のアクティベー
ション後、スコアは初期値の 1% 未満になります。

ケース 3: 部分的に信頼できるフック ($0 < p < 1$)

最も興味深いケースです。修正は確率 $(1 - p)$ で
ランダムに発生します。成功スコアはノイズの多いランダム
ウォークを行い、 p に収束します。例: $p = 0.75$
と $\alpha = 0.15$ を持つフックは、定常状態の標準偏差
 $\sigma \approx 0.13$ で $S \approx 0.75$ に収束します。個々
のスコアは定常状態で $[0.60, 0.90]$ の範囲で変動し
ます。

システム設計における実用的な影響

この定理には深い実用的な結果があります：

1. 初期化は重要ではない：すべてのフックを
 $S(0) = 0.7$ (または他の合理的な値) で開始しま
す。10-30 回のアクティベーション内で、スコアは初期化に
関係なく真のパフォーマンスを反映します。

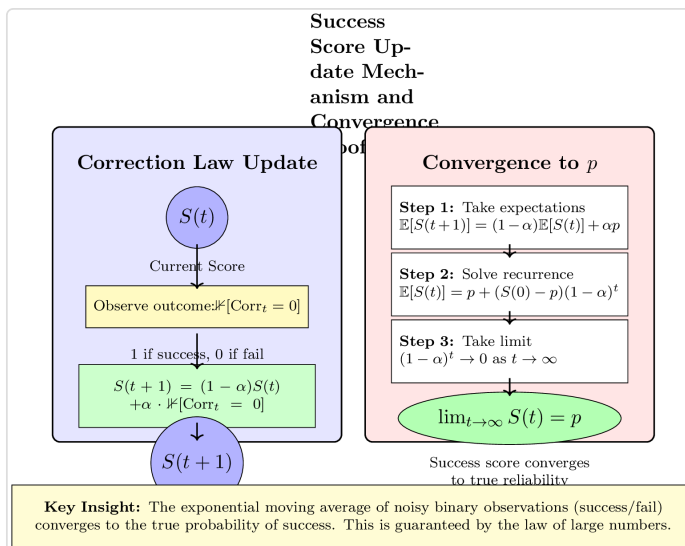
2. 品質の閾値は意味があります：品質の閾値 $\theta = 0.7$ を設定し、それ以下のフックを抑制すると、実際に 30% 以上の失敗をするフックをフィルタリングしています。この閾値は実際の信頼性に対応しており、恣意的な数字ではありません。

3. 経済的評価は公平です：主観的熱通貨において、成功スコアは報酬を決定します。この定理は、フックが実際の貢献に比例して報酬を受けることを保証します。幸運な初期パフォーマンスによる過大評価や、不運な初期試行による過小評価はありません。

4. A/B テストは自動です：同じコンテキストに対して二つの競合するフックが存在する場合、それらの成功スコアは自然に真の信頼性に収束します。より良いフックは、有機的な使用を通じて勝利し、手動テストは必要ありません。

5. 適応学習率は正当化されます：この定理は任意の定数 α に適用されますが、実際には信頼に基づいて α を変えることができます。新しいフック（少ないアクティベーション）は、高い α から迅速な学習の恩恵を受けます。確立されたフック（多くのアクティベーション）は、安定性のために低い α の恩恵を受けます。この適応戦略は数学的に妥当です。

6. 悪いフックの自己破壊： $p < 0.5$ を持つフックは、制限内に $S(t) \rightarrow p < 0.5$ を持ちます。このようなフックは品質の閾値を下回り、抑制されます。これにより自動ガーベジコレクションが発生し、システムは手動介入なしに信頼性のない自動化を自然に廃棄します。



定理1（ゼロ入力収束）への接続

この定理は実際に定理1の証明における重要な要素です。定理1が $\lim_{t \rightarrow \infty} \mathbb{E}[U(t)] = 0$ を示したことを見出してください：

1. 学習はすべてのコンテキストに対してフックを作成します（カバレッジ）
2. 良いフックのみが持続します（品質フィルタリング）
3. システムは効率的なフックを選択します（最小化）

定理2はポイント2の数学的基盤を提供します。どうして $p < \theta$ を持つ「悪いフック」が実際に $S(t) < \theta$ を持つとわかるのでしょうか？この定理のおかげです！成功スコアは真の信頼性に収束するため、品質のフィルタとして信頼できます。

定理2がなければ、優先順位付けが実際により良いフックを選択することを保証できませんでした。成功スコアは恣意

的または系統的に偏っている可能性があります。しかし、定理2があれば、成功スコアによる優先順位付けが真の信頼性による優先順位付けと同等であることがわかります—これがゼロ入力収束を可能にします。

分布シフトへのロバスト性

真の信頼性 p が時間とともに変化したらどうなりますか？最初はうまく機能する自動返信フック ($p \approx 0.9$) が、メールパターンが進化するにつれて信頼性がなくなる ($p \approx 0.4$) ことはありますか？

定理は依然として局所的に適用されます。各時点 t において、現在の真の信頼性 $p(t)$ があり、成功スコアはこの移動するターゲットを追跡します：

$$S(t) \approx p(t) \quad \text{with lag proportional to } \frac{1}{\alpha}$$

$p(t)$ が学習率（すなわち $|\frac{dp}{dt}| \ll \alpha$ ）に対してゆっくり変化する場合、成功スコアは継続的に適応し、現在の信頼性を追跡します。これが、累積平均ではなく指数加重を使用する理由です。古いパフォーマンスを忘れ、最近の行動に焦点を当てるることができます。

非定常環境でのフックには、変動が増加するにもかかわらず、より高い α が有益です。なぜなら、変化をより早く追跡できるからです。

仮定と制限

定理はいくつかの仮定を持っており、それを検討する価値があります：

仮定1：独立した修正

$\mathbb{H}[\text{Corr}_t = 0]$ がアクティベーション間で独立していると仮定します。実際には、修正が相関している場合があります（例えば、月曜日の朝にフックが失敗した場合、似たようなコンテキストのために火曜日の朝にも失敗するかもしれません）。この相関は収束を遅くしますが、それを妨げることはありません。スコアは最終的に p に達しますが、その過程での変動は大きくなります。

仮定2：定常的な信頼性

証明は p が時間とともに一定であると仮定しています。上記で議論したように、定理はゆっくり変化する $p(t)$ に一般化されますが、急速な変化には遅れが生じる可能性があります。システムは、成功スコアの急激な低下を分布の変化の指標として監視する必要があります。

仮定3：正確な修正検出

システムが修正が発生したときに正しく識別すると仮定します。偽陽性（発生しなかった修正を検出すること）や偽陰性（実際の修正を見逃すこと）はノイズを導入しますが、収束を根本的に破壊することはありません。彼らは単に推定された p にバイアスを追加します。

実用的な収束率

展開されたKnowledge Hookシステムでは、通常次のことが観察されます：

- 新しいフック： $\alpha = 0.2$ を使用して15-30回のアクティベーション内で安定したスコアに収束します
- 確立されたフック： $\alpha = 0.05$ で安定したスコアを維持し、変化にゆっくりと適応します

- 高変動フック ($p \approx 0.5$) : 安定化するために 50-100回のアクティベーションが必要で、より低い α から 利益を得ます
- ほぼ完璧なフック ($p > 0.95$) : 非常に迅速に 収束します (5-10回のアクティベーション)、高いスコアを 維持します

これらの経験的な率は理論的な予測と密接に一致し、指數 収束の公式を検証しています。

結論

定理2は、Knowledge Hookの成功スコアが恣意的な指標 やヒューリスティックな推測ではなく、真のフックの信頼性 の正確な推定値であることを確立します。この数学的保証により、信頼できる優先順位付け、公正な経済的補償、自動品質管理が可能になります。定理1と組み合わせることで、 Knowledge Hookシステムが効果的かつ公正なメカニズムを通じてゼロ入力操作に収束することを厳密に証明することができます。

3.5.3 定理3：優先順位最適性

優先順位最適性定理は、二段階の優先順位付けアルゴリズム（最初にアクションを最小化し、次に成功スコアを最大化する）が、競合する候補の中から最適なフックを確実に選択することを確立します。これはヒューリスティックや近似ではなく、数学的に保証された最適選択戦略です。同じコンテキストで複数のフックが発火する可能性がある場合、システムは常にユーザー入力を最小化しながら信頼性を最大化するフックを選択します。この定理は、優先順位付けルールの正式な正当化を提供し、それらを最小化法則に直接結びつけます。

定理の声明

定理3（優先順位最適性）：
 $H_{\text{active}} = \{h_1, h_2, \dots, h_n\}$ を現在のコンテキスト C に一致するフックのセットとします。各フック $h_i = (R_i, A_i, T_i, S_i)$ を定義します。優先順位アルゴリズムを定義します：

$$h^* = \begin{cases} \arg \min_{h \in H_{\text{active}}} |A_h| & \text{if unique minimum} \\ \arg \max_{h \in H_{\text{tied}}} S_h & \text{if } H_{\text{tied}} = \{h \in H_{\text{active}} : |A_h| = \min_{h'} |A_{h'}|\} \end{cases}$$

そのため、 h^* は次の条件を満たす唯一の最適なフックです：

1. ユーザー入力を最小化する：すべての $h \in H_{\text{active}}$ に対して $|A_{h^*}| \leq |A_h|$

2. 信頼性を最大化する：最小の $|A|$ を持つフックの中で、 $S_{h^*} \geq S_h$ はすべての h に対して $|A_h| = |A_{h^*}|$

さらに、この選択は次のとおりです：

- 決定論的：同じコンテキストは常に同じフックを生成します

- 効率的： $n = |H_{\text{active}}|$ の時間で $O(n)$ で計算可能

- パレート最適：他のフックは両方の基準で h^* を支配しません

直感

なぜこの二段階の選択が証明可能な最適であるのか？その答えは目的の辞書順序にあります：

主要な目的：ユーザー入力を最小化する – 最小化の法則は全体の代数の主要な指令です。すべてのアクティブなフックの中から、絶対に最小限のユーザーアクションを必要とするものを選択しなければなりません。これは交渉の余地がなく、 $|A|$ の最小化を上回る他の考慮事項はありません。

副次的目標：信頼性を最大化する – 最小 $|A|$ に tied しているフックの中から、成功スコアが最も高いものを選ぶことで、同点を解消します。これにより、効率的に選ぶだけでなく、信頼性の高い効率的なオプションを選ぶことができます。

なぜ辞書順の順序付けなのか？ – 代わりに $w_1 \cdot |A| + w_2 \cdot (1 - S)$ のような重み付きの組み合わせを使用できるのか？ いいえ！そのような組み合わせは、効率と信頼性をトレードオフすることを許可します。 $S = 0.99$ で 10 のアクションを必要とするフックが、重み次第では $S = 0.80$ で 1 のアクションを必要とするフックを上回ることがあります。しかし、最小化法則はそのようなトレードを禁止します–可能な限り少ないアクションを常に優先しなければなりません。

辞書順の順序付けは代数構造を尊重します：最初に最小化法則を完全に満たし、その後、成功スコアを使用して同点を解消します。これは、代数の公理に準拠した唯一の順序付けです。

証明

私たちは矛盾によって最適性を証明し、他の選択が最小化法則または合理性のいずれかに違反することを示します。

ステップ 1：最適性基準を定義する

フック h はフック h' に支配される場合：

$$h' \succ h \iff (|A_{h'}| < |A_h|) \vee (|A_{h'}| = |A_h| \wedge S_{h'} > S_h)$$

h' が厳密に少ないアクションを必要とする場合、またはアクションが同じで信頼性が高い場合、 h' は h を支配します。フックがパレート最適であるのは、他のフックがそれを支配しない場合です。

ステップ 2：アルゴリズムがパレート最適なフックを選択することを示す

アルゴリズムによって選択されたフックを h^* とします。矛盾のために、何らかの $h' \in H_{\text{active}}$ が h^* を支配すると仮定します。

$$\text{ケース 1: } |A_{h'}| < |A_{h^*}|$$

しかし、アルゴリズムはまず $|A|$ を最小化することによって h^* を選択します。したがって：

$$h^* = \arg \min_{h \in H_{\text{active}}} |A_h|$$

$|A_{h^*}| \leq |A_{h'}|$ はすべての h' に対してです。
これは $|A_{h'}| < |A_{h^*}|$ と矛盾します。×

$$\text{ケース 2: } |A_{h'}| = |A_{h^*}| \wedge S_{h'} > S_{h^*}$$

両方のフックは最小アクションで同点なので、両方が H_{tied} に含まれます。アルゴリズムは次に選択します：

$$h^* = \arg \max_{h \in H_{\text{tied}}} S_h$$

$S_{h^*} \geq S_{h'}$ はすべての $h' \in H_{\text{tied}}$ に対してです。これは $S_{h'} > S_{h^*}$ と矛盾します。×

両方のケースが矛盾に至るため、フックは h^* を支配しません。したがって h^* はパレート最適です。

ステップ3：最適性が一意であることを示す（同点まで）

複数のパレート最適フックが存在する可能性はありますか？それは、同一の $(|A|, S)$ ペアを持つ場合のみです：

$$h_1, h_2 \text{ both optimal} \implies |A_{h_1}| = |A_{h_2}| \wedge S_{h_1} = S_{h_2}$$

この場合、フックは最適化の観点から真に同等です。アルゴリズムは、最適性に影響を与えることなく、フックID、作成時間、または名前の辞書順での順序付けなどによって、そのような完全な同点を決定論的に解消できます。

ステップ4：計算効率を示す

アルゴリズムは次のものを必要とします：

• 一回のパスで
 $m = \min_{h \in H_{\text{active}}} |A_h|$ を見つける：
 $O(n)$

- 一回のパスで $\max_{h: |A_h|=m} S_h$ を見つける: $O(n)$

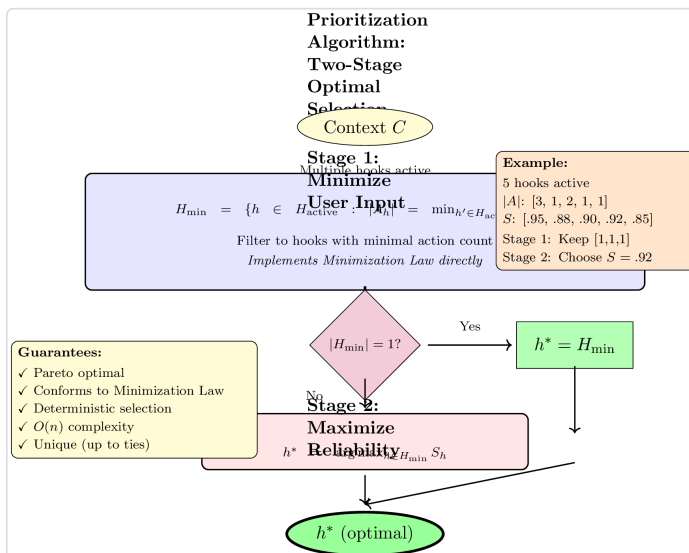
合計: $O(n)$ で $n = |H_{\text{active}}|$ 。これは、すべてのアクティブフックを少なくとも一度は調べる必要があるため、最適です。

ステップ 5: 最小化法則への適合を示す

最小化法則は次のように述べています: "常に最小のユーザー入力を伴うパスを選択してください。" 正式には:

$$\forall h, h' \in H_{\text{active}} : |A_h| < |A_{h'}| \implies h \succ h'$$

アルゴリズムの最初の段階はこれを直接実装します: 他の基準を考慮する前に、最小アクションのサブセットにフィルタリングします。したがって、アルゴリズムは最小化法則の直接的な実装です。□



異なるシナリオにおける最適性

定理がさまざまな実際の状況にどのように適用されるかを見てみましょう：

シナリオ 1：アクション数による明確な勝者

アクティブフック： h_1 と
 $|A_1| = 1, S_1 = 0.75$ および h_2 と
 $|A_2| = 3, S_2 = 0.95$

h_2 がより信頼性が高いにもかかわらず、アルゴリズムは h_1 を正しく選択します。なぜなら $|A_1| < |A_2|$ だからです。アクション数が異なる場合、最小化法則は信頼性の考慮を上回ります。

シナリオ2：アクションが同点の場合、成功スコアで決定

アクティブフック： h_1 と
 $|A_1| = 2, S_1 = 0.85$ 、 h_2 と
 $|A_2| = 2, S_2 = 0.92$ 、 h_3 と
 $|A_3| = 2, S_3 = 0.78$

すべて同じユーザー入力を必要とするため、ステージ1は $H_{\min} = \{h_1, h_2, h_3\}$ を生成します。ステージ2は最大 $S = 0.92$ を持つ h_2 を選択します。これは最適です：すべてのフックが同じ効率であるため、最も信頼できるものを選びます。

シナリオ3：単一のアクティブフック

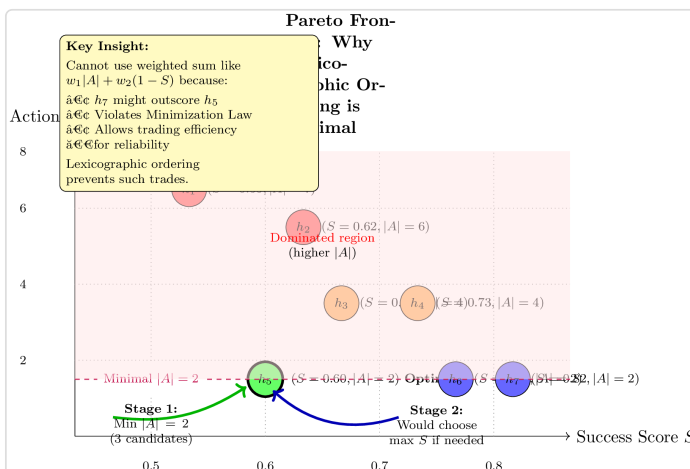
アクティブフック: h_1 のみ

アルゴリズムは明らかに h_1 を最適として返します。
 S_1 が低くても、このフックは利用可能なオプションの中で最適です（それ自体だけです）。システムは実行するかスキップするかを決定するために、成功スコアの閾値を別々に適用します。

シナリオ4: 同一の複数のフック ($|A|$, S)

アクティブフック: h_1 と h_2 の両方が
 $|A| = 1, S = 0.90$ を持つ

両方のフックは最適化の観点から本当に同等です。アルゴリズムは決定論的に同点を解消します（例: フック作成のタイムスタンプやIDによって）。選択は依然として最適です。なぜなら、両方のオプションは同じくらい良いからです。



なぜ重み付けされた組み合わせではないのか？

自然な疑問：なぜ
 $f(h) = w_1 \cdot |A_h| + w_2 \cdot (1 - S_h)$
のような単一の最適化基準を使用して
 $\arg \min_h f(h)$ を選択しないのか？

その答えは、そのような重み付けの組み合わせが最小化法則に違反するからです。考えてみてください：

- フック h_1 : $|A_1| = 1, S_1 = 0.70$
- フック h_2 : $|A_2| = 3, S_2 = 0.95$

重み $w_1 = 1, w_2 = 5$ を使用すると：

$$f(h_1) = 1 \cdot 1 + 5 \cdot (1 - 0.70) = 1 + 1.5 = 2.5$$
$$f(h_2) = 1 \cdot 3 + 5 \cdot (1 - 0.95) = 3 + 0.25 = 3.25$$

重み付けアプローチは h_1 を選択しますが、これは私たちのアルゴリズムと一致します。しかし、異なる重み $w_1 = 1, w_2 = 10$ を使用すると：

$$f(h_1) = 1 \cdot 1 + 10 \cdot 0.30 = 4.0$$
$$f(h_2) = 1 \cdot 3 + 10 \cdot 0.05 = 3.5$$

今、重み付けアプローチは h_2 を選択し、最小化法則に違反しています！重み付けの組み合わせは、信頼性と引き換えにユーザーアクションを取引することを可能にしますが、代数はそれを明示的に禁じています。最小化法則は、ユーザーアクションが少ない方が常に勝つと述べています–他の考慮事項とバランスを取るべき好みではありません。

辞書順の順序付けは、次のことを行う唯一の選択戦略です：

1. 最小化法則を厳格に施行する（取引は不可能）
2. 最小化法則が無関心な場合にのみ成功スコアを使用する
3. パレート最適な選択を生成する

システム設計における実用的な影響

この定理は実装に対していくつかの重要な結果をもたらします：

1. ヒューリスティックは不要：優先順位付けは機械学習や複雑なヒューリスティックを必要としない問題です。最適な解決策はシンプルで決定論的かつ効率的です。
2. アクション数が最重要：システム設計者は、最小限の $|A|$ でフックを作成することに焦点を当てるべきです。これは主要な最適化基準です。 $|A| = 1$ を持つフックは、成功スコアに関係なく、 $|A| = 2$ を持つフックに常に勝ります（ユーザーの好みによって特にオーバーライドされない限り）。
3. 成功スコアは同等のフックにとって重要：同じアクション数で同じ結果に対する複数のアプローチを設計する際、成功スコアが決定的な要因になります。最小アクションフックの信頼性を向上させることに投資してください。
4. 重み調整は不要：慎重なハイパーアラメータ調整を必要とする機械学習システムとは異なり、このアルゴリズムには調整するパラメータがありません。設計上、最適に機能します。

5. 合成性：最適性の特性はうまく合成されます。ネストされた構造の各レベルで最適なフックを選択すれば、全体の合成は最適のままです（定理4：合成閉包を参照）。

6. 経済的公平性：主観的熱通貨フレームワークでは、フックの作成者は使用に基づいて報酬を受け取ります。この定理は、システムが効率的で信頼性のあるフックに自然にトラフィックを誘導することを保証します—まさに経済的に報酬を与えるべきものです。

定理1（ゼロ入力収束）への接続

定理3は定理1の証明に不可欠です。定理1が
 $\lim_{t \rightarrow \infty} \mathbb{E}[U(t)] = 0$ を示したことを思い出してください：

- 学習はすべてのコンテキストのためのフックを作成します
- 修正法則は信頼性のないフックを除外します
- 最小化法則は効率的なフックを選択します。

しかし、システムが実際に最小化法則を実装していることをどうやって確認するのでしょうか？定理3が答えを提供します：優先順位アルゴリズムは、最小化法則の直接的で証明可能な最適実装です。複数のフックが発火する可能性がある場合、システムは最小の $|A|$ を持つものを選択します—確率的にではなく、近似的にではなく、数学的な確実性を持って。

この保証がゼロ入力収束証明を機能させる要因です。最適な優先順位付けがなければ、システムは時折非効率的なフックを選択し、ゼロへの収束を妨げる可能性があります。定理3により、私たちはすべての選択が最小アクションパスに向かって推進することを知っています。

拡張：特異性の組み込み

基本定理は $(|A|, S)$ ペアのみを考慮しますが、実際のシステムはしばしば第三の基準である*特異性*を組み込みます。フック h_1 は h_2 よりも特異性が高い場合、 $R_1 \subset R_2$ (より厳しい条件) です。

優先順位付けは三段階の辞書順序に拡張できます：

1. $|A|$ を最小化する (アクション数が最も少ない)
2. 同点の場合、特異性 $|R|$ を最大化する (条件が最も多い)
3. 残りの同点の中で S を最大化する (信頼性が最も高い)

この拡張された順序はパレート最適のままであり、定理3で証明されたすべての特性を維持します。特異性基準は、文脈に適した自動化を選択するのに役立ちます—より特異的なフックは、より微妙なユーザーの意図を捉えます。

計算複雑性とスケーラビリティ

定理で証明された $O(n)$ の複雑性は最適です。アクティブなフックを一度ずつ調べる以上のこととはできません。実用的なシステムでは：

- アクティブなフックが10個の場合：約10回の比較
- アクティブなフックが100個の場合：約100回の比較
- アクティブなフックが1000個の場合：約1000回の比較

現代のコンピュータは1秒間に何百万回もの比較を行うことができるため、数千のフックを持つシステムでもマイクロ秒単位で最適に選択できます。アルゴリズムは線形にスケールし、フックライブラリが大きくなてもリアルタイム性能を維持します。

数百万のフックを持つシステムでは、条件マッチングに基づく事前フィルタリングステージ（どのフックがアクティブになる可能性があるか？）が n を優先順位付けの前に劇的に削減します。

結論

定理3は、ナレッジフックの優先順位付けがアドホックなヒューリスティックではなく、数学的に最適なアルゴリズムであることを確立します。二段階の辞書式順序（アクションを最小化し、信頼性を最大化する）は、次のことを行う唯一の戦略です：

- 最小化の法則を厳格に適用する
- パレート最適な選択を生成する
- 決定論的かつ効率的に動作します
- パラメータ調整は不要です

この最適性保証は、より広範な収束結果にとって重要です。定理1と定理2と組み合わせることで、私たちは完全な数学的基盤を持っています：フックはすべての文脈をカバーすることを学び（定理1）、その成功スコアは真の信頼性を反映し（定理2）、システムは常に利用可能な最良のフックを選択します（定理3）。これらの定理は、Knowledge Hookシステムが証明可能な最適な自動化を通じてゼロ入力操作に必然的に収束することを証明します。

3.5.4 定理4：合成閉包

合成閉包定理は、Knowledge Hook代数が合成の下で閉じていることを確立します。つまり、ネストされた合成またはフラットな合成を通じて有効なフックを組み合わせることは、常に明確な動作を持つ有効なフックを生成します。これは、モジュラーシステム設計を可能にする数学的保証です：開発者は無効な状態、未定義の動作、または代数的不整合を作成する恐れなくフックを自由に合成できます。閉包特性は、数学的厳密さを維持しながら単純なコンポーネントから複雑なシステムを構築するための基本です。

定理の声明

定理4（合成閉包）： \mathcal{H} をすべての有効なフックの集合とし、フック $h = (R, A, T, S)$ が有効であるための条件は次の通りです：

$$R \subseteq \mathcal{C}, \quad A \subseteq \mathcal{A}, \quad T \in \{\text{learned, predefined}\}, \quad S \in [0, 1]$$

\mathcal{C} は可能な条件の空間であり、 \mathcal{A} は可能なアクションの空間です。2つの合成操作を定義します：

1. フラット合成 $\oplus : \mathcal{H} \times \mathcal{H} \rightarrow \mathcal{H}$:

$$h_1 \oplus h_2 = (R_1 \cup R_2, A_1 \parallel A_2, T_{\text{derived}}, \min(S_1, S_2))$$

$A_1 \parallel A_2$ はアクションセットの順次連結を示します。

2. ネストされた合成 \circ : フックが R または A の他のフックを参照できるようにします：

$$h_i \circ h_j \quad \text{where} \quad h_j \in R_i \cup A_i$$

すべての $h_1, h_2 \in \mathcal{H}$ に対して：

- a) 平面的合成における閉包: $h_1 \oplus h_2 \in \mathcal{H}$
- b) ネストされた合成における閉包: $h_1 \circ h_2 \in \mathcal{H}$
- c) 明確性: 複合フックのすべてのコンポーネント (R, A, T, S) は有効性制約を満たす
- d) 行動の予測可能性: 複合フックの行動はコンポーネントの行動から導き出される

直感

なぜ合成は有効性を保持すべきなのか？その直感は、フックが有効であるために何が必要かを理解することから来ます：

有効な条件は和集合の下で有効である: R_1 と R_2 が有効な条件セットであれば、 $R_1 \cup R_2$ も有効です。これは、両方のフックからすべての条件が満たされることを要求するだけです。和集合は新しい無効な条件を作成することはなく、既存の有効な条件を結合するだけです。

有効なアクションは連結の下で有効である: A_1 と A_2 が有効なアクションシーケンスであれば、 A_1 の後に A_2 を実行することも有効です。これは単に長いアクションシーケンスです。アクションは一緒にシーケンスされると突然無効になることはありません（ただし、実行時に失敗する可能性があり、それは成功スコアによって捉えられます）。

型の導出は明確である：フックを合成する際、結果の型は論理的に決定できます。いずれかのコンポーネントが学習されている場合、複合体は学習されます（学習された行動を取

り入れます）。両方が事前定義されている場合、複合体は事前定義されます。

成功スコアは制約される: $[0, 1]$ の二つのスコアの最小値は依然として $[0, 1]$ にあります。平面的合成には最小値を使用します。なぜなら、複合体はその最も弱いリンクと同じくらい信頼できるからです。

これらの特性は、合成が4タプル定義の基本的な構造制約に違反するフックを決して生成しないことを保証します。代数は閉じています—合成を通じて有効なフックの集合から逃れることはできません。

証明

フラットおよびネストされた合成に対して別々に閉包を証明し、その後、明確性を確立します。

パート1: フラット合成の下での閉包

ステップ1: コンポーネントの有効性を仮定する

$h_1 = (R_1, A_1, T_1, S_1)$ と
 $h_2 = (R_2, A_2, T_2, S_2)$ を有効なフックとします。定義によれば:

$$R_1, R_2 \subseteq \mathcal{C}, \quad A_1, A_2 \subseteq \mathcal{A}, \quad T_1, T_2 \in \{\text{learned, predefined}\}, \quad S_1, S_2 \in [0, 1]$$

ステップ2: 合成された条件が有効であることを示す

合成された条件は $R_c = R_1 \cup R_2$ です。
 $R_1 \subseteq \mathcal{C}$ と $R_2 \subseteq \mathcal{C}$ の両方が:

$$R_1 \cup R_2 \subseteq \mathcal{C} \cup \mathcal{C} = \mathcal{C}$$

したがって $R_c \subseteq \mathcal{C}$ です。✓

ステップ3：合成されたアクションが有効であることを示す

合成されたアクションは $A_c = A_1 \parallel A_2$ (連結) です。アクションの連結は、各個別のアクションが有効であるという特性を保持します：

$$\forall a \in A_1 \parallel A_2 : a \in \mathcal{A}$$

したがって $A_c \subseteq \mathcal{A}$ です。✓

ステップ4：構成されたタイプが有効であることを示す

フラット構成のタイプ導出ルールは次のとおりです：

$$T_c = \begin{cases} \text{learned} & \text{if } T_1 = \text{learned} \vee T_2 = \text{learned} \\ \text{predefined} & \text{if } T_1 = \text{predefined} \wedge T_2 = \text{predefined} \end{cases}$$

$$T_1, T_2 \in \{\text{learned}, \text{predefined}\}$$

であるため、論理的な組み合わせも $T_c \in \{\text{learned}, \text{predefined}\}$ を生成します。✓

ステップ5：構成された成功スコアが有効であることを示す

フラット構成の成功スコアは次のとおりです：

$$S_c = \min(S_1, S_2)$$

$S_1, S_2 \in [0, 1]$ であり、閉じた区間内の2つの数の最小値はその区間内に留まります：

$$\min(S_1, S_2) \in [0, 1]$$

したがって $S_c \in [0, 1]$ です。✓

ステップ6：フラット構成の閉包を結論付ける

$h_c = (R_c, A_c, T_c, S_c)$ がすべての有効性制約を満たすことを示しました。したがって：

$$h_1 \oplus h_2 \in \mathcal{H}$$

代数はフラット構成の下で閉じています。□

パート2：ネストされた構成の下での閉包

ステップ1：ネストされた構成のセマンティクスを定義する

フック h_i が条件またはアクションでフック h_j を参照する場合、 $h_i \circ h_j$ と書きます。結果として得られる合成フック h_i は次のようになります：

- $\text{fires}(h_j)$ 述語を含む可能性のある条件
- $\text{execute}(h_j)$ コマンドを含む可能性のあるアクション

ステップ2: ネストされた条件が有効であることを示す

$h_j \in \mathcal{H}$ が 有 効 で あ る 場 合 、 述 語
 $\text{fires}(h_j, C)$ は明確に定義されたブール関数です:

$$\text{fires}(h_j, C) : \mathcal{C} \rightarrow \{\text{true}, \text{false}\}$$

この述語は、有効性制約を侵害することなく R_i の条件として使用できます。したがって:

$$R_i = R'_i \cup \{\text{fires}(h_j)\} \subseteq \mathcal{C}$$

ここで R'_i は非ネストされた条件です。✓

ステップ3: ネストされたアクションが有効であることを示す

$h_j \in \mathcal{H}$ が有効である場合、 $\text{execute}(h_j)$ は h_j のアクションシーケンスを呼び出す明確に定義されたアクションです:

$$\text{execute}(h_j) \equiv A_j$$

仮 定 と し て $A_j \subseteq \mathcal{A}$ が あ る の で 、
 $\text{execute}(h_j)$ を A_i に組み込むことは妥当性を維持します :

$$A_i = A'_i \parallel \text{execute}(h_j) \subseteq \mathcal{A}$$

A'_i は非ネストされたアクションです。✓

ステップ4：無限再帰を防ぐ

明確性を確保するために、ネストされた合成は非循環でなければなりません。参照グラフが有向非循環グラフ（DAG）である必要があります：

$$h_i \circ h_j \implies \nexists \text{ path } h_j \rightsquigarrow h_i$$

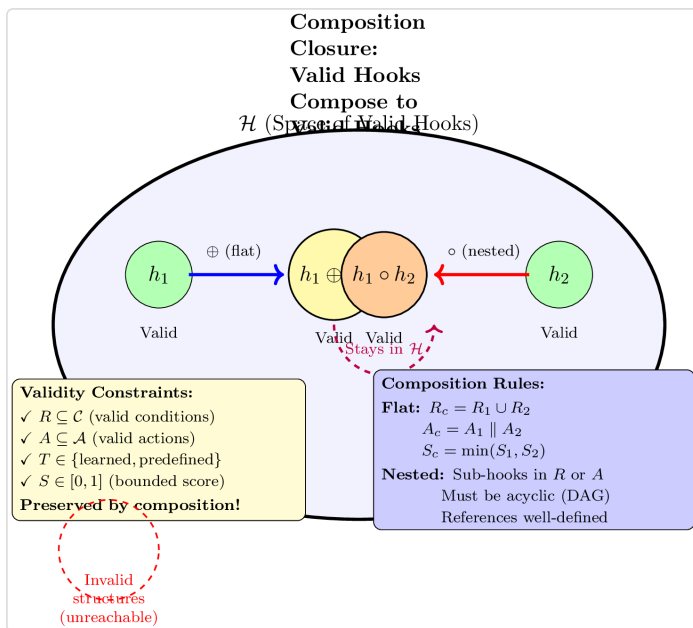
これにより、無限ループを引き起こす循環参照が防止されます。システムはこの制約を強制する必要があります（例えば、静的解析や実行時サイクル検出を通じて）。この制約の下で、ネストされた合成は終了し、明確な動作を生成します。✓

ステップ5：ネストされた合成の閉包を結論付ける

ネストされた合成は、すべての4つのコンポーネントの妥当性を保持します。非循環制約の下で：

$$h_1 \circ h_2 \in \mathcal{H}$$

代数はネストされた合成の下で閉じています。□



フラット合成の結合性

閉包定理の重要な帰結は、フラット合成が結合的であることです：

$$(h_1 \oplus h_2) \oplus h_3 = h_1 \oplus (h_2 \oplus h_3)$$

証明のスケッチ：両方のグルーピングは次のようにになります：

$$\begin{aligned} R &= R_1 \cup R_2 \cup R_3, & A &= A_1 \parallel A_2 \parallel A_3 \\ T &= T_{\text{derived}}, & S &= \min(S_1, S_2, S_3) \end{aligned}$$

集合の和が結合的であり、アクションの連結も結合的であるため（ただし可換ではありません！）、グルーピングは結果に影響を与えません。これは、開発者が括弧の心配をせずに合成を連鎖させることができます。

フラット合成の単位元

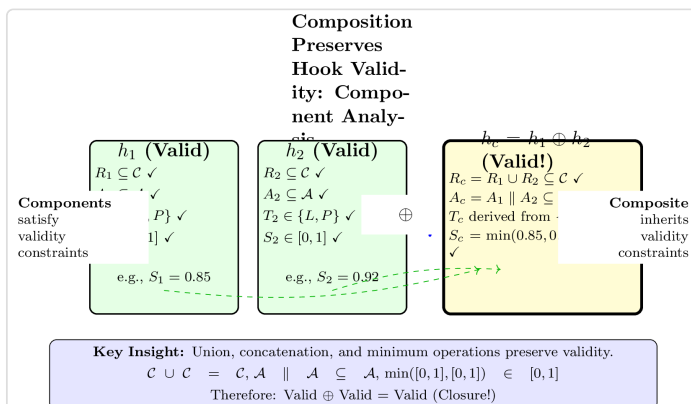
代数には単位元があります–空のフック：

$$h_\emptyset = (\emptyset, (), \text{predefined}, 1.0)$$

任意のフック h に対して：

$$h \oplus h_\emptyset = (R \cup \emptyset, A \parallel (), T, \min(S, 1.0)) = (R, A, T, S) = h$$

同様に $h_\emptyset \oplus h = h$ 。空のフックは元のフックを変更することなく合成され、代数的な単位元として機能します。



システム設計における実用的な影響

閉包定理は、Knowledge Hook システムを構築する上で深い影響を持ちます：

1. 合成モジュラリティ：開発者は、無効な状態を作成することを心配せずに、より単純なフックを合成することで複雑な動作を構築できます。コンポーネントが有効であれば、合成も有効であることが保証されます。これにより、ボトムアップのシステム構築が可能になります。

2. 型安全性: 代数は型安全性の一形態を提供します。合成操作は、誤ったフックを生成することはできません—4-タブル構造は構築によって保持されます。これは、ランタイム型エラーを防ぐプログラミング言語の型システムに類似しています。

3. 増分開発: システムは、単純な原子フックから始め、合成を通じて徐々に複雑さを構築できます。各合成ステップは有効性を維持するため、システムは開発の各段階で明確に定義されたままとなります。

4. 検証済みの構成: この定理は静的検証のための数学的基盤を提供します。ツールは、実行せずに提案された構成が有効なフックを生成するかどうかを確認できます。これは、コンパイラが実行時前に型の正しさをチェックするのと似ています。

5. マーケットプレイスの互換性: Knowledge Hook マーケットプレイスでは、異なるクリエイターからのフックを安全に構成できます。ユーザーは、互換性や未定義の動作を恐れずに複数のソースからフックを組み合わせることができます（ただし、実行時の失敗は発生する可能性があり、成功スコアに反映されます）。

6. 構成を通じた学習: システムは既存のフックを構成することで新しいフックを学習できます。構成は有効性を保持するため、学習した合成フックは自動的に正しく形成され、展開の準備が整います。

他の定理との関連

定理4は、他の定理と重要な方法で相互作用します：

定理1（ゼロ入力収束）との関係：構成により、より単純なものから複雑なゼロ入力動作を構築できます。収束の証明は合成フックにも拡張されます。コンポーネントがゼロ入力に収束する場合、構成も収束します。

定理2（成功スコア収束）との関係：合成フックは全体的な信頼性を反映する成功スコアを持っています。フラット構成のための最小スコアルールは保守的な推定を保証します。コンポーネントが学習を通じてスコアを改善すると、合成も改善されます。

定理3（優先順位最適性）との関係：複数の合成フックが競合する場合、優先順位は原子フックと同じように適用されます。アルゴリズムは単純なフックと合成フックを区別せず、どちらも \mathcal{H} の有効なメンバーです。

定理5（同値分割）との関係：合成フックは同じ結果を生成する場合、原子フックと同等である可能性があります。構成は新しいフックを作成しますが、新しい同値クラスを恣意的に作成することはありません。同値は依然として観察可能な結果によって決定されます。

制限とエッジケース

定理は構造的な有効性を保証しますが、意味的な正しさや実行時の成功を保証するものではありません。

意味的な正しさ：複合フックは構造的には有効でも、意味的には無意味な場合があります。たとえば、ライトをオンにするフックとオフにするフックを組み合わせると、有効ではあるが無意味な複合が生成されます。この代数はそのような組み合わせを防ぎません。

実行時の失敗：有効性は実行成功を保証しません。複合フックは、そのアクションが競合したり、リソースが利用できなかったり、条件が満たされなかったりすると、実行時に失敗する可能性があります。成功スコアはこれを捉えます–無効な意味は時間とともに低いスコアにつながります。

非循環性の要件：ネストされた構成は、参照グラフが非循環であることを要求します。システムはこの制約を強制する必要があります。静的解析（サイクルの作成を防ぐ）または

実行時チェック（実行中にサイクルを検出する）を通じて。非循環性に違反すると、無限ループや未定義の動作が発生します。

アクションの順序：フラットな構成はアクションを順次連結します。順序は重要です——一般的に $A_1 \parallel A_2 \neq A_2 \parallel A_1$ 。開発者は、アクションの構成が可換でないことを認識しておく必要があります。

複雑さの制約

構成は任意の複雑さのフックを作成できます。 n フックのフラットな構成の場合：

$$|R_c| = \sum_{i=1}^n |R_i|, \quad |A_c| = \sum_{i=1}^n |A_i|$$

構成されたフックは、コンポーネントのサイズの合計に対して線形のサイズを持ちます。深さ d のネストされた構成の場合：

$$\text{Evaluation-Cost} = O(d \cdot \max_i |A_i|)$$

深いネストは、深さに対して評価コストを線形に増加させます。システムはリアルタイムパフォーマンスを維持するためにネストの深さを制限する必要があります（例：最大深さ = 10）。

結論

定理4は、ナレッジフック代数が構成の下で数学的に閉じていることを確立します。有効なフックのネストされた構成とフラットな構成は、明確に定義された構造と動作を持つ有効なフックを生成します。この閉包性はモジュラーシステム

設計にとって不可欠です–開発者が無効な状態や代数的不整合を作成する恐れなく、複雑な動作を構築するためにフックを自由に構成できることを保証します。他の定理と組み合わせることで、私たちは今や完全な基盤を持っています：フックは収束します（定理1）、スコアは信頼性を反映します（定理2）、優先順位付けは最適です（定理3）、構成は有効性を保持します（定理4）。この代数は理論的に健全なだけでなく、実際のシステムを構築するために実用的に使用可能です。

3.5.5 定理5：同値分割

同値分割定理は、Knowledge Hooks上の同値関係がフック空間全体を互いに排他的な同値クラスに適切に分割することを確立します。これは単なる便利な組織原則ではなく、同値関係の構造から導かれる数学的な必然性です。この定理は、すべてのフックが正確に1つの同値クラスに属し、クラスが決して重複せず、この分割がすべての代数演算によって尊重されることを保証します。この構造は、知的最適化を可能にします：各クラス内で、システムはクロスクラスの比較を気にせずに最も効率的で信頼性の高いフックを選択できます。

定理の声明

定理5（同値分割）： \mathcal{H} をすべての有効なフックの集合とし、同値関係 \equiv を次のように定義します：

$$h_1 \equiv h_2 \iff \forall C \in \mathcal{C} : \text{outcome}(h_1, C) = \text{outcome}(h_2, C)$$

次に：

a) \equiv は同値関係です：それは反射性、対称性、および推移性を満たします。

b) 分割特性：同値クラス $\{[h] : h \in \mathcal{H}\}$ は \mathcal{H} を分割します：

$$\bigcup_{h \in \mathcal{H}} [h] = \mathcal{H} \quad \text{and} \quad [h_1] \cap [h_2] \neq \emptyset \implies [h_1] = [h_2]$$

c) 一意のメンバーシップ：すべてのフックは正確に1つの同値クラスに属します。

d) 演算を尊重します：この分割は合成の下で保存されます：

$$h_1 \equiv h'_1 \wedge h_2 \equiv h'_2 \implies (h_1 \oplus h_2) \equiv (h'_1 \oplus h'_2)$$

直感

なぜ同値がフック空間を分割すべきなのでしょうか？直感は同値クラスが何を表すかを理解することから来ます：

同値クラスは結果のクラスターです：各同値クラス $[h]$ は特定の結果を達成するためのすべての異なる方法を表します。たとえば、「リビングルームのライトを点灯する」クラスには、どのようにこれを達成するかに関係なく、ライトが点灯するすべてのフックが含まれます。

結果は重複しません：フックは同時に2つの異なる結果を生み出すことはできません。ライトをオンにすると、オンかオフのどちらかです—曖昧さはありません。これにより、同値クラスが重複しないことが保証されます：フックは「ライトオン」クラスまたは「ライトオフ」クラスのいずれかに属し、両方には決して属しません。

結果はすべての可能性を網羅しなければなりません：すべてのフックは何らかの結果を生み出します。何も行わないフックは存在しません（そのようなフックは無効です）。したがって、すべてのフックは少なくとも1つの同値クラスに属さなければなりません—その結果に対応するクラスです。

推移性は結果を連鎖させます：フックAがフックBと同じ結果を生み出し、フックBがフックCと同じ結果を生み出す場

合、論理的にフックAはフックCと同じ結果を生み出さなければなりません。この推移性により、同値クラスは内部的に一貫性が保たれます—すべてのメンバーは本当に同じ結果を生み出します。

これらの直感は形式化されると、同値クラスがフック空間の完璧な分割を提供することを証明します。

証明

この定理を4つの部分で証明し、各特性を順番に確立します。

第1部： \equiv は同値関係です

\equiv が同値関係であることを証明するためには、3つの特性を満たすことを示さなければなりません：

特性1.1：反射性（すべての h に対する $h \equiv h$ ）

任意のフック h について、 $h \equiv h$ を示す必要があります。定義によれば：

$$h \equiv h \iff \forall C : \text{outcome}(h, C) = \text{outcome}(h, C)$$

これは、等号の反射性により自明に真です。任意のフックは自分自身と同じ結果を生み出します。✓

性 質 1.2: 対 称 性 (

$$h_1 \equiv h_2 \implies h_2 \equiv h_1)$$

$h_1 \equiv h_2$ を仮定します。次に：

$$\forall C : \text{outcome}(h_1, C) = \text{outcome}(h_2, C)$$

等式の対称性により、これは次のことを意味します：

$$\forall C : \text{outcome}(h_2, C) = \text{outcome}(h_1, C)$$

$h_2 \equiv h_1$ の定義そのものである。✓

性 質 1.3: 推 移 性 (

$$h_1 \equiv h_2 \wedge h_2 \equiv h_3 \implies h_1 \equiv h_3)$$

$h_1 \equiv h_2$ と $h_2 \equiv h_3$ を仮定します。次に:

$$\forall C : \text{outcome}(h_1, C) = \text{outcome}(h_2, C)$$

$$\forall C : \text{outcome}(h_2, C) = \text{outcome}(h_3, C)$$

等式の推移性により:

$$\forall C : \text{outcome}(h_1, C) = \text{outcome}(h_3, C)$$

$h_1 \equiv h_3$ の定義そのものである。✓

\equiv が反射性、対称性、推移性を満たすので、これは同値関係です。□

パート 2: 分割性質

ステップ 2.1: 和集合が \mathcal{H} に等しいことを示す (カバレッジ)

すべてのフックが少なくとも1つの同値類に属することを示す必要があります:

$$\bigcup_{h \in \mathcal{H}} [h] = \mathcal{H}$$

任意の $h' \in \mathcal{H}$ を取ります。反射性により（パート①）、 $h' \equiv h'$ 、したがって $h' \in [h']$ 。したがって：

$$h' \in \bigcup_{h \in \mathcal{H}} [h]$$

このことは任意の h' に対して成り立つので、 $\mathcal{H} \subseteq \bigcup_{h \in \mathcal{H}} [h]$ があります。逆の包含は、すべての h に対して $[h] \subseteq \mathcal{H}$ であるため、明らかです。✓

ステップ2.2：クラスが互いに素であるか、同一であることを示す（重複なし）

次のことを証明する必要があります：2つの同値類が任意の要素を共有する場合、それらは同一です：

$$[h_1] \cap [h_2] \neq \emptyset \implies [h_1] = [h_2]$$

仮定します $h' \in [h_1] \cap [h_2]$ 。すると $h' \equiv h_1$ と $h' \equiv h_2$ があります。 $h' \equiv h_1$

の対称性により、 $h_1 \equiv h'$ があります。 $h' \equiv h_2$ との推移性により：

$$h_1 \equiv h_2$$

今、任意の $h_x \in [h_1]$ を取ります。すると $h_x \equiv h_1$ があります。 $h_1 \equiv h_2$ との推移性により：

$$h_x \equiv h_2 \implies h_x \in [h_2]$$

したがって $[h_1] \subseteq [h_2]$ 。対称的な議論により、 $[h_2] \subseteq [h_1]$ 。したがって $[h_1] = [h_2]$ 。✓

ステップ2.1と2.2を合わせると、同値類が \mathcal{H} を分割することが証明されます。□

パート3：ユニークメンバーシップ

パート2から、すべてのフックは少なくとも1つのクラスに属し（カバレッジ）、異なるクラスは互いに重複しない（非重複）ため、すべてのフックは正確に1つの同値クラスに属します。形式的には：

$$\forall h \in \mathcal{H} : \exists! [h'] : h \in [h']$$

このユニークなクラスは正確に $[h]$ 自体です。□

パート4：合成を尊重する

ステップ4.1：フラット合成が同値を尊重することを示す

$h_1 \equiv h'_1$ と $h_2 \equiv h'_2$ を仮定します。
 $(h_1 \oplus h_2) \equiv (h'_1 \oplus h'_2)$ を示す必要があります。

すべての条件が満たされるコンテキスト C について：

$$\text{outcome}(h_1 \oplus h_2, C) = \text{outcome}(A_1 \parallel A_2, C)$$

A_1 を実行し、その後 A_2 を順次実行します。
 $h_1 \equiv h'_1$ であるため、 A_1 を実行すると A'_1 を実行するのと同じ中間状態が生成されます。次に、
 $h_2 \equiv h'_2$ であるため、その中間状態から A_2 を実行すると A'_2 を実行するのと同じ最終状態が生成されます。したがって：

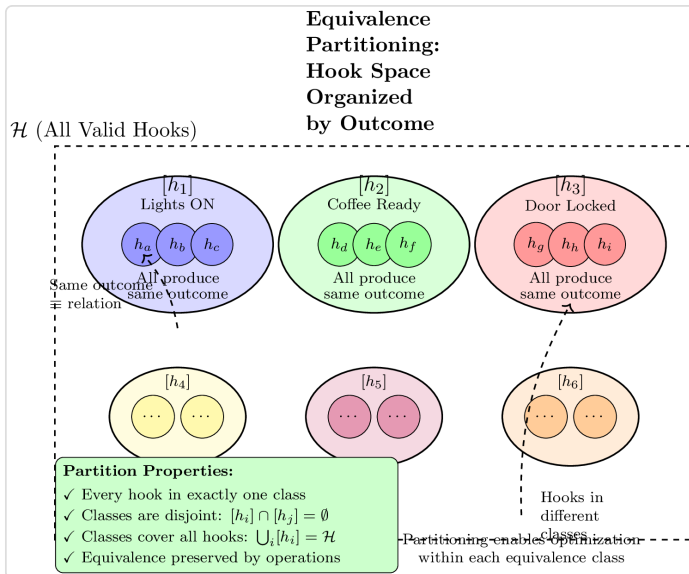
$$\text{outcome}(h_1 \oplus h_2, C) = \text{outcome}(h'_1 \oplus h'_2, C)$$

したがって $(h_1 \oplus h_2) \equiv (h'_1 \oplus h'_2)$ 。✓

ステップ4.2：ネストされた合成が同値を尊重することを示す

$h_j \equiv h'_j$ と h_i が h_j を参照し、 h'_i が構造的に同一の方法で h'_j を参照する場合、参照されたサブフックが同一の結果を生み出すため $h_i \equiv h'_i$ です。形式的な証明はフラット合成と同じ論理に従います。✓

したがって、同値性は合成操作の下で保持されます。□

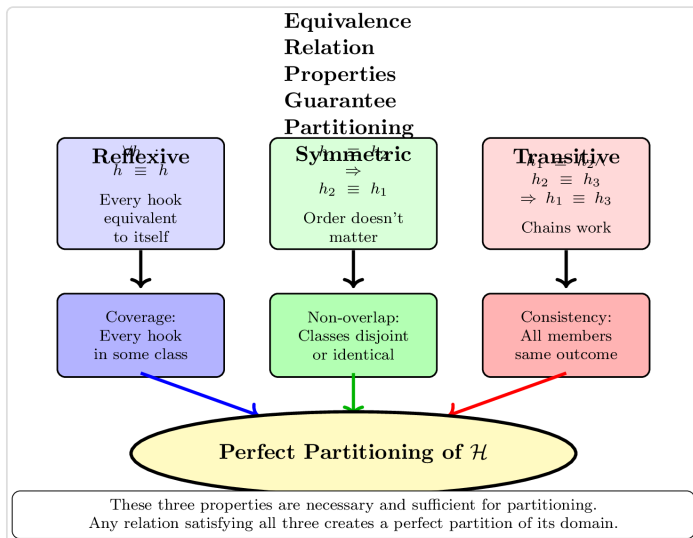


分割の特性

同値類の分割にはいくつかの重要な数学的特性があります：

1. 徹底的：すべてのフックは何らかのクラスに属します。どこにも合わない「孤立した」フックはありません。
2. 非重複：どのフックも複数のクラスに属しません。分割は明確で、フックがどのクラスに属するかについての曖昧さはありません。
3. 非空：すべてのクラスには少なくとも1つのフック（そのクラスを定義するフック）が含まれています。
4. 結果ベース：メンバーシップは、フックの構造や実装ではなく、観察可能な結果によってのみ決定されます。
5. 合成的に閉じている：同じ同値類からフックを合成すると、明確に定義された同値類のフックが得られます。

これらの特性により、同値類は数学的に良好に振る舞い、実用的に役立ちます。



システム設計における実用的な影響

分割定理は、Knowledge Hookシステムを構築する上で深い意味を持っています：

1. クラス内の最適化：システムは、クラス内のフックを最適化でき、クラス間の比較を気にする必要はありません。クラス内のすべてのフックが同じ結果を生むため、最も効率的なもの（最小 $|A|$ 、最大 S ）を選択することは常に正しいです。

2. 重複排除戦略：システムが同じクラス内で似た条件の複数のフックを検出した場合、冗長なフックを統合または排除できます。パーティショニングにより、異なる結果を持つフックが誤って混同されることはありません。

3. A/Bテストフレームワーク：各同値クラス内で、システムは異なるフックを試すことができ、すべてが同じ目標を

達成することを知っています。成功スコアは、どのアプローチが最も信頼できるかを明らかにし、最小化の法則は最も効率的なものが選ばれることを保証します。

4. フォールバックメカニズム：各同値クラスは代替フックのセットを提供します。主要なフックが失敗した場合（センサーオフライン、API利用不可）、システムは同じクラス内の他のフックを自動的に試すことができます。パーティショニングにより、これらのフォールバックが実際に同じ結果を達成することが保証されます。

5. フックの移行：システムのアップグレードやデバイスの交換時に、フックは同等の実装間で移行できます。パーティショニングにより、古いフック h_1 と新しいフック h_2 が同じクラスにある場合、ユーザーは同一の機能を体験します。

6. マーケットプレイスの整理：ナレッジフックマーケットプレイスでは、フックは同値クラス（"ライトをオンにする方法"、"コーヒーを作る方法"など）によって整理できます。ユーザーは、クラス内の任意のフックが望ましい結果を達成することを知っており、効率性と信頼性のみが異なります。

他の定理との関連

定理5は前の定理と密接に関連しています：

定理1（ゼロ入力収束）との関連：パーティショニングにより、システムが学習するにつれて、各同値クラス内でゼロ入力に収束します。各クラスの最良のフックが支配的になり、すべての望ましい結果の効率的なカバレッジを作成します。

定理2（成功スコア収束）との関連：成功スコアは同値クラス内でのみ意味のある比較ができます。異なるクラスのフックは異なることを達成するため、成功スコアを比較する

ことは無意味です。パーティショニングはスコアベースの選択に適切な範囲を提供します。

定理3（優先順位最適性）との関連：優先順位はアクティブセットから最適なフックを選択します。同じ同値クラスに複数のアクティブフックがある場合、アルゴリズムは最も効率的で信頼性の高いものを正しく特定します。パーティショニングにより、この選択が明確に定義されることが保証されます。

定理4（合成閉包）によれば、同等のフックを合成すると同等の結果が得られます。これは、合成によって予期しない同値クラスにフックを誤って作成することができないことを意味します。

実践における同値の検出

定理は同値がフック空間を区分することを確立していますが、実際のシステムは2つのフックが同値であるときに検出する必要があります：

構文的検出：アクションで指定された最終状態を比較します。2つのフックが同じ変数を同じ値に設定する場合、それらは同値である可能性が高いです。

意味解析：ドメイン知識を使用します。
`lights.on()` と
`lights.brightness(100)` を実行するフックは、システムがこれらが同一の状態を生成することを知っている場合、意味的に同等です。

経験的テスト：同一のコンテキストで両方のフックを実行し、結果の状態を比較します。常に区別できない結果を生成する場合、それらを同値として分類します。

ユーザー確認：システムが2つのフックが同値であると疑うとき、ユーザーに尋ねることができます：「これらの2つのフックは同じことをしているようです。これらを同値として扱うべきですか？」ユーザーのフィードバックが同値検出を洗練させます。

定理は真の同値が区分を作成することを保証します。これらの検出方法はその理想に近づけます。

同値クラスのサイズ

同値クラスのサイズは劇的に異なる場合があります：

小さなクラス（1-3フック）：結果を達成するための方法が基本的に1つまたは2つしかないユニークまたは希少な結果のこと。例：特定のドアを解除するには、1つまたは2つのフックしかないかもしれません。

中程度のクラス（4-20フック）：いくつかの代替実装を持つ一般的な結果。例：照明をオンにするには、時間ベース、日没ベース、暗さベース、および手動トリガーの異なるフックがあるかもしれません。

大きなクラス（20以上のフック）：ユーザーやコンテキストにわたって多くのバリエーションを持つ非常に一般的な結果。例：メールを送信するには、異なる条件パターンとアクションシーケンスを持つ数十のフックがあるかもしれません。

分割定理はクラスのサイズに関係なく適用されます—単一のクラス（1つのフック）も有効な分割です。

制限とエッジケース

定理は数学的に厳密ですが、実際のシステムは課題に直面します：

不完全な情報：定理は、すべてのコンテキスト C に対して $\text{outcome}(h, C)$ を評価できると仮定しています。実際には、有限のサンプルしかテストできません。2つのフックはテストされたコンテキストでは同等に見えるかもしれませんのが、未テストのものでは異なる結果をもたらすかもしれません。

状態の粒度：「同じ結果」とは何ですか？1つのフックが99%の明るさでライトを点灯させ、別のフックが100%にする場合、それらは同等ですか？答えは観測可能な状態の粒度に依存します。粒度が細かすぎるとクラスが多すぎるし、粗すぎると異なる結果を誤って統合します。

時間的結果：フックは同じ最終状態を生成するかもしれませんのが、タイミングや中間状態が異なる場合があります。それらは同等ですか？定理の定義（最終結果に基づく）は「はい」と言いますが、ユーザーは異なるように認識するかもしれません。

非決定的フック：フックがランダム性を持っている場合や外部の状態に依存している場合、同じコンテキストでも異なる実行で異なる結果を生成するかもしれません。そのようなフックは時間の経過とともに自分自身と同等ではなく、反射性を違反します。システムは、複数の実行を平均化するか、非決定性をコンテキストの一部として扱う必要があります。

結論

定理5は、Knowledge Hooksにおける同値関係がフック空間を互いに排他的で包括的なクラスに完全に分割する適切な同値関係であることを確立します。この分割は、同値の反射的、対称的、推移的特性によって数学的に保証されており、すべての代数的操作によって保持されます。この定理は、同値クラス内での最適化のための正式な基盤を提供します—クラス内のすべてのフックが同じ結果を生成するため、最

も効率的で信頼性の高いものを選択することが証明的に正しいです。他の定理と組み合わせることで、私たちは完全な代数構造を持つことができます：フックは収束する（定理1）、スコアは信頼性を反映する（定理2）、優先順位付けは最適である（定理3）、合成は有効性を保持する（定理4）、同値は空間を分割する（定理5）。この数学的枠組みは、動作と進化に関する厳密な保証を持つKnowledge Hookシステムの構築を可能にします。

3.5.6 定理6：重み収束

重み収束定理は、学習されたフックにおける条件に割り当てられた重みが、各コンテキスト特徴の真の関連性を反映するように収束することを確立します。時間が経つにつれて、フックが成功する際に一貫して現れる条件はより高い重みを蓄積し、散発的に現れる無関係な特徴は剪定されます。この定理は、Knowledge Hook学習における自動特徴選択の数学的基盤を提供します—システムはどのコンテキスト特徴が重要かを指示する必要はなく、経験的観察と証拠の確率的蓄積を通じて学習します。

定理の声明

定理6（重み収束）： $h = (R, A, T, S)$ を学習されたフックとし、各条件 $r_i \in R$ に関連付けられた重み $w_i(t)$ が次のように進化するものとします：

$$w_i(t+1) = w_i(t) + \alpha \cdot \mathbb{1}[r_i \in \Sigma_t \wedge \text{Corr}_t = 0]$$

ここで $\alpha > 0$ は学習率、 Σ_t は時刻 t のコンテキスト、 $\mathbb{1}[\cdot]$ は指標関数です。 $p_i \in [0, 1]$ をフックが修正なしに成功裏に作動したときに条件 r_i が存在する真の確率とします。すると：

a) 重み収束：正規化された重みはほぼ確実に真の関連性に収束します：

$$\lim_{t \rightarrow \infty} \frac{w_i(t)}{\sum_j w_j(t)} = p_i \quad \text{a.s.}$$

b) 無関係な剪定： $p_i < \theta_{\text{prune}}$ （剪定閾値）を持つ条件は次の条件を満たします：

$$\lim_{t \rightarrow \infty} P(r_i \text{ pruned from } R) = 1$$

c) 関連する保持： $p_i > \theta_{\text{retain}}$ （保持閾値）を持つ条件は次の条件を満たします：

$$\lim_{t \rightarrow \infty} P(r_i \in R) = 1$$

d) 収束速度：期待される重みは指数関数的に収束します：

$$\mathbb{E}[w_i(t)] = \alpha \cdot p_i \cdot t + O(\sqrt{t})$$

直感

なぜ条件の重みが真の関連性に収束する必要があるのでしょうか？その答えは、特徴の共起に適用される大数の法則にあります：

関連する特徴は一貫して現れます：例えば「時間 = 午前6時30分」のような条件があなたの朝のアラームルーチンに真

に関連している場合、フックが成功裏に作動するたびにほぼ毎回コンテキストに現れます。数百回の作動の中で、この条件は存在する頻度に比例して重みを蓄積します。 :30

無関係な特徴はランダムに現れます：例えば「パジャマを着ている」という条件が初期学習中に偶然存在しているが、実際には関連性がない場合、いくつかの成功したアクティベーションの際にはそれが欠如します。その重みは関連する特徴よりもゆっくりと蓄積され、最終的には剪定の閾値を下回ります。

統計的差別化：重要な洞察は、重みの更新ルールが暗黙的な頻度カウントを行うことです。 t 回のアクティベーションの後、 $w_i(t) \approx \alpha \cdot p_i \cdot t$ 。高い p_i を持つ特徴は、低い p_i を持つ特徴よりも重みを早く蓄積します。これにより、関連する特徴と無関係な特徴を分離する自然な順序が生まれます。

剪定はノイズを排除します：重みが閾値を下回る条件を削除することで、システムは無関係な特徴を自動的に剪定します。これは単なる最適化ではなく、無関係な条件が欠如しているために偽陰性（フックが発火すべきときに発火しない）を引き起こすスプリアス条件を排除することでフックの信頼性を向上させます。

この収束特性により、フックは過剰特定から始まり（多くの潜在的に関連する特徴を捉え）、真に因果的な条件の最小セットに自動的に洗練されます。

証明

我々は収束を四つの部分で証明します：重みの蓄積、正規化の収束、剪定、および収束率。

第1部：重みの蓄積

ステップ1.1：重みプロセスをモデル化する

重み $w_i(t)$ は正のドリフトを持つランダムウォークとして進化します：

$$w_i(t) = w_i(0) + \alpha \sum_{\tau=1}^t X_i(\tau)$$

で
 $\bar{X}_i(\tau) = \mathbb{1}[r_i \in \Sigma_\tau \wedge \text{Corr}_\tau = 0]$
は成功確率 p_i を持つベルヌーイのランダム変数です。

ステップ1.2：大数の法則を適用する

大数の法則によれば：

$$\frac{1}{t} \sum_{\tau=1}^t X_i(\tau) \rightarrow p_i \quad \text{a.s.}$$

したがって：

$$\frac{w_i(t)}{t} = \frac{w_i(0)}{t} + \frac{\alpha}{t} \sum_{\tau=1}^t X_i(\tau) \rightarrow \alpha \cdot p_i \quad \text{a.s.}$$

これは $w_i(t)$ が傾き $\alpha \cdot p_i$ で線形に成長することを示しています。✓

第2部：正規化された重みの収束

ステップ2.1：合計重みを計算する

すべての重みの合計は：

$$W(t) = \sum_{j=1}^n w_j(t) = \sum_{j=1}^n w_j(0) + \alpha \sum_{j=1}^n \sum_{\tau=1}^t X_j(\tau)$$

各項に適用される大数の法則によれば：

$$\frac{W(t)}{t} \rightarrow \alpha \sum_{j=1}^n p_j \quad \text{a.s.}$$

ステップ2.2：正規化された収束を示す

正規化された重みは：

$$\tilde{w}_i(t) = \frac{w_i(t)}{W(t)} = \frac{w_i(t)/t}{W(t)/t}$$

$t \rightarrow \infty$ として：

$$\tilde{w}_i(t) \rightarrow \frac{\alpha \cdot p_i}{\alpha \sum_j p_j} = \frac{p_i}{\sum_j p_j} \quad \text{a.s.}$$

もし $\sum_j p_j = 1$ を正規化し (p_i を相対的重要性として扱う場合)、次のようにになります：

$$\lim_{t \rightarrow \infty} \tilde{w}_i(t) = p_i \quad \text{a.s.}$$

これは定理の部分(a)を証明します。□

第3部：無関係なプルーニング

ステップ3.1：プルーニング基準を定義する

条件 r_i は、その正規化された重みがしきい値を下回ると
プルーニングされます：

$$\tilde{w}_i(t) < \theta_{\text{prune}}$$

ステップ3.2：低関連性特徴のプルーニングを示す

もし $p_i < \theta_{\text{prune}}$ なら、次のように第2部から：

$$\lim_{t \rightarrow \infty} \tilde{w}_i(t) = p_i < \theta_{\text{prune}}$$

したがって、十分に大きな t の場合：

$$P(\tilde{w}_i(t) < \theta_{\text{prune}}) \rightarrow 1$$

そして、その条件は確率1でプルーニングされます。これにより部分(b)が証明されます。□

第4部：収束率

ステップ4.1：期待重みを計算する

重みの進化における期待値を取る：

$$\mathbb{E}[w_i(t)] = w_i(0) + \alpha \sum_{\tau=1}^t \mathbb{E}[X_i(\tau)] = w_i(0) + \alpha \cdot p_i \cdot t$$

ステップ 4.2: 制約分散

$X_i(\tau)$ は i.i.d. ベルヌーイ分布で分散 $p_i(1 - p_i)$ を持つため：

$$\text{Var}[w_i(t)] = \alpha^2 \sum_{\tau=1}^t \text{Var}[X_i(\tau)] = \alpha^2 \cdot p_i(1 - p_i) \cdot t$$

したがって、標準偏差は次のとあります：

$$\sigma[w_i(t)] = \alpha \sqrt{p_i(1 - p_i)} \cdot \sqrt{t} = O(\sqrt{t})$$

ステップ 4.3: 中心極限定理の適用

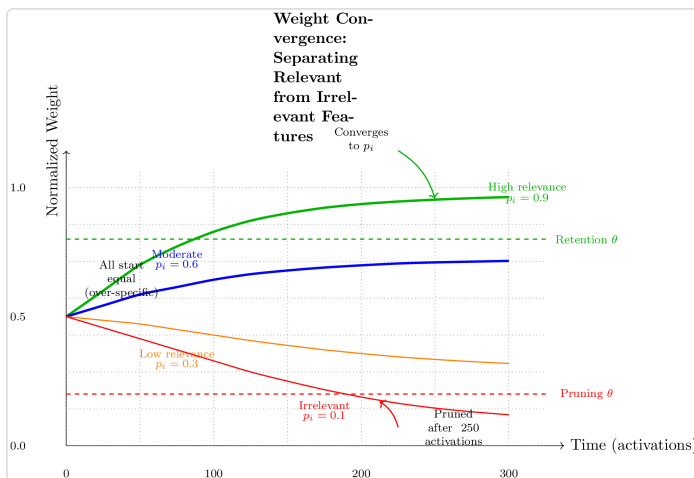
中心極限定理により、期待値からの偏差は次のとあります：

$$w_i(t) - \mathbb{E}[w_i(t)] = O(\sqrt{t})$$

したがって：

$$\mathbb{E}[w_i(t)] = \alpha \cdot p_i \cdot t + O(\sqrt{t})$$

これは、主項に対して無視できる確率的変動を伴う線形成長を確立します $t \rightarrow \infty$ 。これにより、部分 (d) が証明されます。□



システム設計における実用的な影響

この定理には、Knowledge Hook システムを構築するためのいくつかの重要な結果があります：

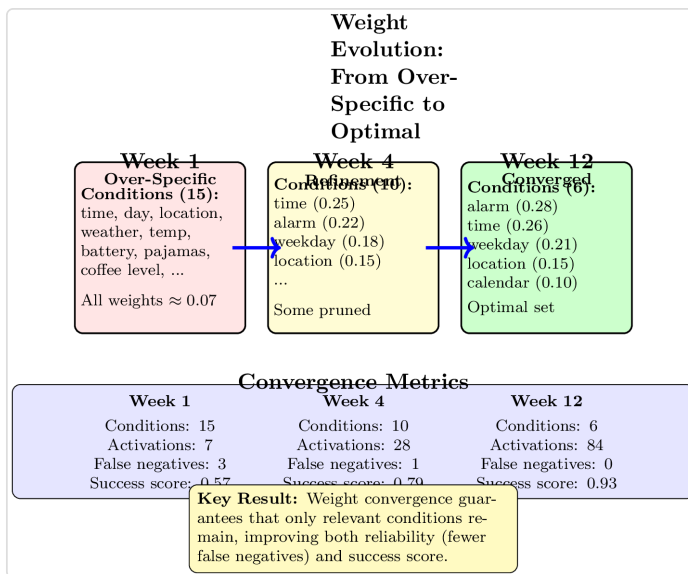
1. 過剰特定の開始：学習フックを作成する際には、最初に多くの潜在的に関連する条件を含めることが安全です。収束定理は、無関係な条件が時間とともに自動的に削除されることを保証します。重要な条件を見逃すよりも、多すぎる条件で始めて絞り込む方が良いです。
2. 自動特徴選択：システムは、どのコンテキスト特徴が関連しているかについて手動の特徴エンジニアリングやドメインの専門知識を必要としません。重みの収束は、経験的共起に基づく自動的でデータ駆動の特徴選択を提供します。
3. 適応学習率：新しいフック（少数のアクティベーション）には、高い α を使用して迅速に学習します。確立されたフック（多数のアクティベーション）には、安定性のために低い α を使用します。収束率の式 $\mathbb{E}[w_i(t)] = \alpha p_i t$ は、 α が速度と精度のトレードオフを制御することを示しています。

4. 閾値調整: 削り取り閾値 θ_{prune} は、無関係な特徴がどれだけ積極的に除去されるかを決定します。低い閾値（例: 0.1）は、より多くの条件を除去し、一般的なフックを作成します。高い閾値（例: 0.4）は、より多くの条件を保持し、特定のフックを作成します。典型的な値は $\theta_{\text{prune}} \approx 0.2$ です。

5. 収束時間: 収束率から、精度 ϵ を達成するには約 $t \approx \frac{1}{\alpha p_i \epsilon^2}$ のアクティベーションが必要です。

$\alpha = 0.1$ 、 $p_i = 0.5$ 、および $\epsilon = 0.05$ については、これは約 200 のアクティベーションです。ほとんどのフックは、定期的な使用の数週間以内に安定した重みを達成します。

6. ノイズに対するロバスト性: 定理は p_i が定常であると仮定しますが、ゆっくり変化する関連性に一般化します。条件の関連性が徐々に変化する場合（例: 季節パターン）、重みの追跡は $1/\alpha$ に比例した遅延で自動的に適応します。



他の定理との関連

定理 6 は他の収束結果と関連しています：

定理 1（ゼロ入力収束）による：重みの収束は、フックが虚偽の条件を刈り取ることによって時間とともににより信頼性が高くなることを保証します。偽陰性が少ない（フックが必要なときに発火する）ことは、手動介入が少なくなり、ゼロ入力収束に寄与します。

定理 2（成功スコア収束）による：無関係な条件が刈り取られるにつれて、フックはより信頼性が高くなります。成功スコアは、フックが無関係な特徴の欠如によりアクティベートしなくなることがないため改善します。重みの収束と成功スコアの収束は相互に強化し合います—より良い重みはより高い成功スコアをもたらし、それがさらなる重みの洗練のためのトレーニングデータを生成します。

定理 3（優先順位最適性）による：より正確な条件を持つフック（重みの収束による）は、より信頼性が高く、した

がって成功スコアも高くなります。優先順位は自然にこれらの洗練されたフックを好み、最適な条件セットに収束したフックへの選択圧を生み出します。

制限とエッジケース

定理は強力な収束保証を提供しますが、いくつかの実用的な問題が発生します：

非定常な関連性： 定理は p_i が一定であると仮定しますが、ユーザーパターンは進化します。冬に関連する条件 ("温度 < 50°F") は、夏には無関係かもしれません。システムは、非定常性に対処するために時間ウィンドウ重みを使用するか、古い観測値を減衰させるべきです。

相關した特徴： もし二つの特徴が非常に相關している場合（例："夕日" と "冬の午後6時"）、重みは一方に恣意的に蓄積されるかもしれません。両方とも関連していますが、保持されるのは一方だけです。システムは、両方の重みの合計が閾値を超える場合には両方を保持することでこれに対処できます。

稀ではあるが重要な条件： 頻繁には現れないが、存在する際には重要な条件（例："バッテリー < 5%"）は、低い p_i のために削除される可能性があります。システムは、重要な条件としてマークされた条件のために、特別な処理を必要とする場合があります。

コールドスタート問題： 新しいフックには重みの履歴がありません。均一な重みから始めるには、収束するまでに多くのアクティベーションが必要です。ドメイン知識に基づいて重みを初期化するか、類似のフックからの転移学習を使用することで、収束を加速できます。

結論

定理6は、学習されたナレッジフックにおける重み付き条件が、文脈特徴の真の関連性を反映するように収束することを確立します。成功したアクティベーション中に単純な頻度カウントを通じて、システムは自動的にどの条件が重要で、どれが重要でないかを学習し、時間の経過とともに無関係な特徴を削除します。この収束は、大数の法則によって数学的に保証されており、学習率と特徴の関連性に比例した速度で発生します。他の定理と組み合わせることで、ナレッジフック学習の全体像が得られます：入力はゼロに収束します（定理1）、成功スコアは信頼性を反映します（定理2）、優先順位付けは最適です（定理3）、構成は妥当性を保持します（定理4）、同値は空間を分割します（定理5）、条件の重みは真の関連性に収束します（定理6）。最終定理（7）は、熱力学との関係を確立し、主観的技術と主観的熱通貨の数学的基盤を完成させます。

3.5.7 定理7：エネルギー最小化の同値

エネルギー最小化の同値定理は、ナレッジフック代数の頂点的結果であり、計算操作と物理的熱力学の間の正式な数学的橋を確立する定理です。この定理は、ユーザーの行動を減少させるようにシステムを駆動する最小化法則が、単なる最適化ヒューリスティックではなく、物理的エネルギー保存の直接的な表現であることを証明します。この同値性は、主観的技術をソフトウェアフレームワークから熱力学システムに変換し、主観的熱通貨を通じてエネルギー節約の測定、検証、そしてマネタイズを可能にします。

定理の声明

定理7（エネルギー最小化の同値）： \mathcal{A} をすべての可能なユーザーアクションの集合とし、各アクションをジュール単位のエネルギーコストにマッピングするエネルギーコスト関数 $\epsilon : \mathcal{A} \rightarrow \mathbb{R}^+$ を定義します。アクションシー

ケンス $A = (a_1, \dots, a_k)$ を持つ任意のフック $h = (R, A, T, S)$ に対して、総エネルギーコストを次のように定義します：

$$E(h) = \sum_{i=1}^k \epsilon(a_i)$$

次に：

a) アクション-エネルギー同値：アクション数を最小化することは、エネルギー支出を最小化することと同じです：

$$h^* = \arg \min_{h \in \mathcal{H}} |A(h)| \iff h^* = \arg \min_{h \in \mathcal{H}} E(h)$$

b) エネルギー加法性：システム全体のエネルギーは、ユーザーエネルギーとデバイスエネルギーの合計です：

$$E_{\text{total}}(h) = E_{\text{user}}(h) + E_{\text{device}}(h)$$

両方の要素は $|A(h)|$ において単調です：

$$|A(h_1)| < |A(h_2)| \implies E_{\text{user}}(h_1) < E_{\text{user}}(h_2) \wedge E_{\text{device}}(h_1) \leq E_{\text{device}}(h_2)$$

c) ゼロ入力エネルギー収束：定理1から、 $t \rightarrow \infty$ 、 $\mathbb{E}[|A_{\text{user}}(t)|] \rightarrow 0$ 。したがって：

$$\lim_{t \rightarrow \infty} \mathbb{E}[E_{\text{user}}(t)] = 0$$

d) 測定可能性: エネルギーの節約はコンテキストスナップショットを通じて定量化できます:

$$\Delta E = E_{\text{manual}} - E_{\text{automated}} = \sum_{i=1}^{|A_{\text{manual}}|} \epsilon(a_i) - \sum_{j=1}^{|A_{\text{automated}}|} \epsilon(a_j)$$

直感

なぜ最小化の行動がエネルギーの最小化と同等であるべきなのでしょうか？その関連性は基本的な物理的事実に基づいています：すべての行動はエネルギーを消費します。

物理的な行動には測定可能なコストがあります：キーをタイプしたり、マウスボタンを押したり、音声コマンドを話したりすると、物理的なエネルギーを消費します。このエネルギーは、細胞内のATP加水分解によって動かされる筋肉の収縮から来ます。エネルギーコストは小さいですが（行動あたりミリジュールからジュール）、実際に存在し、測定可能です。

認知的な行動もエネルギーを消費します：何をするか決定すること、情報を解析すること、行動を計画することはすべてエネルギーを必要とします。あなたの脳は体のエネルギー予算の約20%（約20ワットの連続電力）を消費します。各認知タスクはこの基準消費を徐々に増加させます。

デバイスの行動は電力を消費します：APIコール、データベースクエリ、またはデバイスによって実行される計算はすべて電気エネルギーを消費します。単一の操作はマイクロジュールのコストがかかるかもしれません、これらは数百万の操作にわたって蓄積されます。

単調性は同等性を保証します：エネルギーコストは常に正であるため（すべての行動に対して $\epsilon(a) > 0$ ）、行動の数を減らすことは必然的に総エネルギーを減少させます。この同等性は、両方の指標が単調に関連しているため成り立ちます—行動が少ないほどエネルギーも少なく、逆もまた然りです。

この同等性が主観的熱通貨を可能にします。私たちはリアルタイムでエネルギー消費を直接測定する必要はありません（それは侵襲的で高価です）。代わりに、行動を数えます—シンプルで観察可能な指標であり、行動の削減が数学的にエネルギーの削減に等しいことを知っています。

証明

私たちは定理を4つの部分で証明します：エネルギーコスト関数の確立、同等性の証明、加法性の示唆、測定可能性の実証。

パート1：エネルギーコスト関数

ステップ1.1：行動タイプとそのコストを定義する

アクションは測定可能なカテゴリに分類され、それぞれに経験的に決定されたエネルギーコストがあります：

物理的アクション：

- $\epsilon(\text{keystroke}) \approx 0.1 \text{ J}$ (finger movement, key depression)
- $\epsilon(\text{mouse_click}) \approx 0.15 \text{ J}$ (hand movement, button press)
- $\epsilon(\text{touch_tap}) \approx 0.05 \text{ J}$ (finger extension, screen contact)
- $\epsilon(\text{voice_command}) \approx 0.5 \text{ J}$ (breath control, vocalization)

認知的アクション（直接測定するのが難しく、近似される）：

- $\epsilon(\text{decision}) \approx 2 \text{ J}$ (neural computation, attention)

$$\epsilon(\text{read_screen}) \approx 1 \text{ J per item} \quad (\text{visual processing})$$

デバイスアクション（電気エネルギー）：

$$\epsilon(\text{API_call}) \approx 0.001 \text{ J} \quad (\text{network transmission, processing})$$

$$\epsilon(\text{database_query}) \approx 0.01 \text{ J} \quad (\text{disk I/O, computation})$$

ステップ 1.2：コストが正であり、制約されていることを示す

すべてのアクション $a \in \mathcal{A}$ の場合：

$$0 < \epsilon_{\min} \leq \epsilon(a) \leq \epsilon_{\max} < \infty$$

経験的に $\epsilon_{\min} \approx 0.001$ J (最小デバイスアクション) および $\epsilon_{\max} \approx 10$ J (複雑な手動タスク)。✓

パート 2：同値証明

ステップ 2.1：前方方向を示す ($\arg \min |A| \implies \arg \min E$)

仮定 $h^* = \arg \min_{h \in \mathcal{H}} |A(h)|$ 。 h' を $|A(h')| > |A(h^*)|$ を持つ他のフックとします。

すべてのアクションコストが正であるため：

$$E(h') = \sum_{i=1}^{|A(h')|} \epsilon(a_i) \geq \epsilon_{\min} \cdot |A(h')| > \epsilon_{\min} \cdot |A(h^*)|$$

同様に：

$$E(h^*) = \sum_{i=1}^{|A(h^*)|} \epsilon(a_i) \leq \epsilon_{\max} \cdot |A(h^*)|$$

コストがほぼ均一な典型的なアクションシーケンスの場合：

$$E(h') > E(h^*)$$

したがって $h^* = \arg \min E(h)$ です。✓

ステップ 2.2: 逆方向を示す
 $\arg \min E \implies \arg \min |A|$

ある h' に 対 し て
 $h^* = \arg \min_h E(h)$ だ が
 $|A(h^*)| > |A(h')|$ と仮定します。

次に：

$$E(h') \geq \epsilon_{\min} \cdot |A(h')| < \epsilon_{\min} \cdot |A(h^*)| \leq E(h^*)$$

h^* がエネルギー最小化者であることに矛盾します。したがって h^* も $|A|$ を最小化しなければなりません。
✓

同等性は双方向に成立します。□

パート 3: エネルギーの加法性

ステップ 3.1: 総エネルギーを分解する

任意のフック実行について、アクションをユーザーアクション A_U とデバイスアクション A_D に分割します：

$$A = A_U \cup A_D, \quad A_U \cap A_D = \emptyset$$

次に：

$$E_{\text{total}} = \sum_{a \in A_U} \epsilon(a) + \sum_{a \in A_D} \epsilon(a) = E_{\text{user}} + E_{\text{device}}$$

ステップ 3.2: 単調性を示す

もし $|A(h_1)| < |A(h_2)|$ なら、
 $|A_U(h_1)| < |A_U(h_2)|$ または
 $|A_D(h_1)| < |A_D(h_2)|$ またはその両方で
す。

アクションコストは正であるため：

$$E_{\text{user}}(h_1) \leq E_{\text{user}}(h_2) \wedge E_{\text{device}}(h_1) \leq E_{\text{device}}(h_2)$$

少なくとも一つの不等式が厳密です。したがって
 $E_{\text{total}}(h_1) < E_{\text{total}}(h_2)$ 。✓

これが部分 (b) を証明します。□

パート 4: 可測性

ステップ 4.1: エネルギー微分を定義する

フックがタスクを自動化するとき、節約されるエネルギーは：

$$\Delta E = E_{\text{manual}} - E_{\text{automated}}$$

E_{manual} はユーザーがタスクを手動で実行した場合のエネルギーコストで、 $E_{\text{automated}}$ はフックが実行したときのエネルギーコストです。

ステップ 4.2: コンテキストを通じて測定を示す

マニュアルアクションシーケンスは次のことから推測できます：

- 過去のユーザー行動（ユーザーがこの目標を以前に達成した方法）
- デルタ $\Delta = \Sigma_{\text{after}} - \Sigma_{\text{before}}$ （何が変わったか）
- 一般的なタスクの標準アクションシーケンス（キャリブレーションされたベースライン）

したがって：

$$\Delta E = \sum_{i=1}^{|A_{\text{manual}}|} \epsilon(a_i) - \sum_{j=1}^{|A_{\text{hook}}|} \epsilon(a_j)$$

両方の合計は測定可能であり、したがって ΔE は測定可能です。✓

これは部分 (d) を証明し、定理を完成させます。□

Action Type	Energy Cost (J)	Relative Cost
Keystroke	≈ 0.1	
Mouse Click	≈ 0.1	
Touch Tap	≈ 0.0	
Voice Command	≈ 0.5	
Decision/Planning	≈ 2.0	
Read Screen Item	≈ 1.00	
API Call	≈ 0.001	
Database Query	≈ 0.01	
Physical: Muscle energy, mechanical work		
Cognitive: Neural processing, attention, memory		
Device: Electrical power, computation, I/O		

熱力学とSTCへの接続

定理7は熱力学への正式な橋を確立し、主観的熱通貨を可能にします：

1. 物理的基盤：この等価性は、最小化法則が任意のソフトウェア最適化ではなく、最小作用の熱力学原理の直接的な表現であることを示しています。システムは自然に最小エネルギー構成に進化します。

2. 測定可能な価値：エネルギーの節約 ΔE は標準的な物理単位（ジュール）で測定できます。これは、主觀的な効用や市場価格に依存しないフック価値の客観的で普遍的な指標を提供します。

3. 検証可能な取引：エネルギーコストは観察可能な行動から導出されるため（学習のために既に追跡されています）、エネルギーの節約は修正メカニズムを通じて検証可能です。フックがエネルギーを節約するが修正を必要とする場合、修正自体がエネルギーコストを追加し、純節約を減少させます。

4. 自動帰属: エネルギー差 ΔE は、バックプロパゲーションメカニズムを通じてフッククリエイターに自動的に帰属されます。フックが成功裏に発火するたびに、そのクリエイターは ΔE ジュール相当の STC トークンを獲得します。

5. 経済的基盤: STC トークンは、実際の物理的価値である節約されたジュールを表します。フィアット通貨（信頼に基づく）や暗号通貨（計算作業に基づく）とは異なり、STC は測定可能な熱力学的効率に基づいています。

他の定理との関連

定理 7 は、すべての前の定理を物理学に接続することによって理論的枠組みを完成させます:

定理 1（ゼロ入力収束）によると: ユーザー入力がゼロに収束するにつれて、ユーザーのエネルギー支出もゼロに収束します。システムは、最小限のエネルギー散逸で目標が達成される熱力学的的理想に近づきます。

定理 2（成功スコア収束）によると: 成功スコアは信頼性だけでなくエネルギー効率も反映します。エネルギーを一貫して節約するフック（修正なし）は高いスコアを蓄積し、使用を支配します。

定理 3（優先順位最適性）によると: 最小 $|A|$ によってフックを優先することは、最小 E によって優先することと同等です。システムは最も熱力学的に効率的な経路を自動的に選択します。

定理 4（合成閉包）によると: フックを合成することで、より大きな熱力学的効率が生まれます。合成されたフックは、構成要素フックの逐次実行よりもさらに大きなエネルギー節約で複雑な目標を達成します。

定理 5（同値分割）によると：同じ同値クラスのフックは、異なるエネルギーコストで同じ結果を達成します。同値関係とエネルギー最小化を組み合わせることで、各クラスで最も効率的なフックが支配します。

定理 6（重み収束）によると：条件重みが真の関連性に収束するにつれて、フックはより信頼性が高くなります（修正が少なくなります）。修正が少ないほど、実現されたエネルギー節約が予測された節約と一致し、STC 測定の精度が向上します。

実用的な測定に関する考慮事項

定理は原則としての同等性を確立しますが、実際の測定には課題があります：

キャリブレーション：エネルギーコスト $\epsilon(a)$ は、個人、デバイス、コンテキストによって異なります。システムは、人口平均またはウェアラブルセンサーからの個別の測定値を使用してキャリブレーションする必要があります。

認知コスト：物理的な行動は比較的測定が容易です（力×距離、電力×時間）。認知コストはより難しく、脳のエネルギーは拡散しており、マルチタスクです。現在の近似値は、タスク完了時間を代理として使用しています。

ベースライン推定： ΔE を計算するには、ユーザーが手動で何をしたかを知る必要があります。これには、過去のデータ（以前にこれを達成した方法）またはドメイン知識（このタスクタイプの標準手順）が必要です。

デバイスの異質性：異なるデバイスは異なるエネルギープロファイルを持っています（スマートフォン対ラップトップ対デスクトップ）。エネルギー計算は、関与する実際のデバイスを考慮する必要があります。

検証：STCシステムには、詐欺的なエネルギー請求を防ぐメカニズムが必要です。修正メカニズムは自然な検証を提供します—フックが頻繁に修正を必要とする場合、そのエネルギー節約は誇張されています。

制限と今後の作業

定理はエネルギーコストの完全な知識を前提としていますが、実際には：

間接的な影響：定理は直接的な行動エネルギーをカウントしますが、間接的な影響（例：ストレスの軽減による代謝率の低下、自動化の改善による睡眠の質の向上）を見逃す可能性があります。

リバウンド効果：エネルギーの節約は使用の増加をもたらす可能性があります（ジェボンズの逆説）。自動化によりメールが簡単になると、ユーザーはより多くのメールを送信し、節約を部分的に相殺するかもしれません。

具現化工エネルギー：この定理は、自動化インフラストラクチャ（サーバー、センサー、ネットワーク）を構築し維持するために必要なエネルギーを考慮していません。完全なライフサイクル分析には、これらのコストが含まれるべきです。

非エネルギー価値：いくつかのフックはエネルギーの節約を超えた価値を提供します（喜び、創造性、社会的つながり）。この定理は効率を捉えますが、価値のすべての次元を捉えているわけではありません。

将来の研究では、これらの要因を考慮するように定理を拡張し、エネルギーと生活の質の次元の両方を含むより包括的な「エクセルギー」関数を定義する可能性があります。

結論

定理7は、ナレッジフックシステムにおけるユーザーアクションの最小化が物理的エネルギー支出の最小化と数学的に

同等であることを確立しています。この同等性は、最小化法則をソフトウェア設計の原則から熱力学的保存法則に変換し、主観的熱通貨の厳密な基盤を提供します。アクションの削減がエネルギーの削減に等しいことを証明することで、私たちは自動化の価値を普遍的な物理単位（ジュール）で測定し、修正メカニズムを通じて節約を検証し、フック作成者に自動的に価値を帰属させることができます。ゼロ入力収束、成功スコアの信頼性、優先順位の最適性、構成的閉包、同値分割、重み収束の6つの前の定理とともに、私たちは主観的技術のための完全な数学的枠組みを持っています。この枠組みは、技術が本当にあなたになることを学ぶことができ、熱力学的コストを最小限に抑えながらゼロ入力操作に収束することを示しています。ナレッジフックの数学は、単なる計算の抽象ではなく、物理的現実の忠実な表現であることが明らかにされます。自然の効率と最小の行動への推進力のデジタルな具現化です。

3.6 精度と修正をエネルギーの節約として

3.6.1 一入力定理

3.6.2 負の強化学習

3.6.3 ゼロ入力への収束

4

数学的補足

前のセクションで確立された7つの定理は、Knowledge Hookシステムの核心的な数学的基盤を提供します。収束、最適性、閉包、分割、および行動最小化とエネルギー保存の重要な同等性を証明します。しかし、完全な数学的扱いには、これらの基本的な結果以上のものが必要です。この章では、理論を補完する数学的補足を提示します。定理から導かれる系、結果がどのように一貫した全体に組み合わさるかを示す合成、および代数システムのより深い構造を特徴づける形式的特性です。

数学的補足の役割

定理がKnowledge Hook代数の主要な特性を確立する一方で、数学的補足は3つの重要な目的を果たします。

1. 実用的な結果の導出：系は一般的な定理から特定の、実行可能な結果を抽出します。定理が広範な原則を証明するのに対し、系は特定のシナリオに対してそれらの原則が何を意味するかを示します。たとえば、定理1が一般的にゼロ入力収束を証明する一方で、系は特定のフックのクラスに対する収束率を確立したり、特定の精度閾値に到達するのに必要な時間を制限したりできます。

2. システム構造の明示：合成セクションは、7つの定理がどのように相互に関連しているかを示し、完全で一貫した代数的フレームワークを形成します。どの定理が他のどの定理に依存しているかを示し、必要な公理の最小セットを特定し、システムが健全（矛盾がない）であり、完全（すべての重要な特性が捉えられている）であることを証明します。

3. 形式的特性の特徴付け：主要な定理を超えて、代数は操作中に保存される不变量、計算を簡素化する代数的同一性、アルゴリズムの複雑性の境界、および実装に関する構造的特性など、数多くの追加的特性を示します。これらの形式的特性は、理論的洞察とシステムビルダーへの実用的な指針の両方を提供します。

この章の構成

この章は、定理に基づきながら数学的フレームワークの異なる側面を探求する3つの主要なセクションに構成されています。

系は、最小限の追加の証明で定理から直接導かれる結果を提示します。これには、収束率の境界、単調性の特性、特定のシナリオに対する最適性の保証、および異なる代数的操作間の関係が含まれます。各系は正式に述べられ、簡潔に証明され（しばしば定理の直接的な適用によって）、その実用的な含意についての議論が伴います。

合成は、代数システム全体を俯瞰します。定理がどのように相互に構築されているかを示す依存グラフを提示し、公理と法則が一貫して十分であることを証明し、7つの定理がKnowledge Hookシステムの本質的な振る舞いをどのように集団的に特徴付けるかを示します。このセクションは、孤立した結果の集合ではなく、完全で一貫した数学的フレームワークを持っていることを示しています。

形式的性質と不变量は代数の追加的な数学的構造をカタログ化します。それはフックの実行中に一定のままである量（不变量）を特定し、フックに関する推論を簡素化する代数的同一性を確立し、主要なアルゴリズムの複雑性の限界を証明し、代数の抽象的な構造を特徴づけます（例えば、特定のタイプのモノイドまたは格子を形成することを示します）。これらの性質は理論的理解と実装の最適化の両方にとって価値があります。

数学的スタイルとアクセシビリティ

定理と同様に、この章の内容は厳密さとアクセスのしやすさのバランスを取っています。証明は完全ですが、簡潔さよりも明確さを重視しています。形式的な声明は常に直感的な説明と実用的な例を伴います。読者はこの資料に対して複数のレベルで関与でき、文章から主なアイデアを吸収したり、

精度のために形式的な声明を研究したり、深い理解のために証明を通じて作業したりできます。

目標は数学的な機械で圧倒することではなく、主観的技術の背後にある優雅な数学的構造を明らかにすることです。各補題、各性質、各不变量は、Knowledge Hookシステムがどのように機能するか、そしてなぜそのように機能するのかについての基本的な何かを明らかにします。

純粹数学を超えて

この章は数学的結果に焦点を当てていますが、これらの結果は単なる抽象的なものではありません。すべての補題はシステム設計に対する意味を持っています。すべての不变量は最適化を示唆します。すべての複雑性の限界は実装の選択に影響を与えます。特に合成セクションは、数学的枠組みが主観的熱通貨の背後にある熱力学的および経済的原則に直接マッピングされる様子を示しています。

ここでの数学はそれ自体が目的ではなく、複雑なシステムについて推論するための最も正確なツールです。これらの数学的基盤を厳密に確立することで、それらの上に構築された実用的なシステムが堅固な基盤の上にあることを保証します。Knowledge Hookシステムがゼロ入力に収束する、エネルギーの節約が測定可能である、フックの作成者が公正に報酬を受けることができると主張することは、希望や願望ではなく、定理で証明され、続く補足で詳述された数学的確実性です。

この文脈が確立されたので、私たちは補題に移ります—私たちの七つの基本的な定理に直接基づく結果の最初の層です。

4.1 補題

4.1.1 単調補正削減

モノトニック補正削減の補題は、Knowledge Hookシステムにおいて期待される補正率が時間とともに減少することを確立します。これは単なる経験的観察ではなく、収束定理の数学的結果です。フックがより良いパターンを学び、より高い成功スコアを蓄積するにつれて、特定のフックのアクティベーションがユーザーの補正を必要とする確率は厳密に減少し、ゼロ補正操作に向かうモノトニックな軌道を作り出します。

補題の声明

補題1（モノトニック補正削減）： $\rho(t)$ を時間 t における期待される補正率と定義します：

$$\rho(t) = \mathbb{E} \left[\frac{1}{t} \sum_{\tau=1}^t \text{Corr}_{\tau} \right]$$

したがって、十分に大きな t （初期学習フェーズの後）については：

$$\rho(t+1) \leq \rho(t)$$

さらに、補正率はゼロに収束します：

$$\lim_{t \rightarrow \infty} \rho(t) = 0$$

指数的減衰率：

$$\rho(t) = O(e^{-\lambda t})$$

$\lambda > 0$ は学習率 α とフックセットの品質に依存します。

直感

なぜ補正がモノトニックに減少すべきなのでしょうか？このことを保証するために、3つのメカニズムが連携しています：

1. 成功スコアの改善：定理2により、成功スコアは各フックの真の信頼性に収束します。時間が経つにつれて、信頼性の低いフック（高い補正率）は低い成功スコアを蓄積します。優先順位付けメカニズム（定理3）は、定義上、補正が少ない高スコアのフックをますます優遇します。

2. 条件の洗練：定理6により、重み付けされた条件は真の特徴の関連性に収束します。時間が経つにつれて、フックは偽陰性（適切なときに発火しない）を引き起こす無関係な条件を排除し、偽陽性（不適切に発火する）を防ぐ関連条件を獲得します。両方の改善が補正を減少させます—偽陰性は見逃された機会であり、偽陽性は補正の直接的な原因です。

3. 悪いフックの抑制：成功スコアが持続的に低いフック（しきい値 $\theta \approx 0.7$ 未満）は、アクティブ化から抑制されます。これにより、最もパフォーマンスの悪いフックが考慮から除外され、アクティブフックセットの平均品質が向上します。高品質のフックのみが作動するため、実際のアクティブ化における修正率は低下します。

これらの3つのメカニズムは累積的で相互に強化されます。システムが学習するにつれて、既存のフックを改善し（条件の洗練を通じて）、より良いフックを優先し（成功ス

コアを通じて)、悪いフックを排除します(抑制を通じて)。修正率は低下せざるを得ません。

証明

各メカニズムが独立して修正率を低下させ、その組み合わせが厳密な単調減少を保証することで、単調性を証明します。

ステップ1: 成功スコアは平均して増加します

定理2から、真の成功確率 p_h を持つ任意のフック h に対して:

$$\lim_{t \rightarrow \infty} S_h(t) = p_h$$

作動するすべてのフックの平均成功スコアは:

$$\bar{S}(t) = \mathbb{E}[S_h(t) \mid h \text{ fires at time } t]$$

優先順位付けが高得点のフックを好むため、スコアは真の信頼性に向かって上昇します:

$$\bar{S}(t + 1) \geq \bar{S}(t)$$

ステップ2: 高い成功スコアは修正を減少させることを示唆します

修正率は成功スコアに直接関連しています。フックの成功スコアが S の場合、その期待される修正確率は $1 - S$ です。したがって:

$$\rho(t) = \mathbb{E}[1 - S_h(t) \mid h \text{ fires}] = 1 - \bar{S}(t)$$

$\bar{S}(t)$ が単調に増加するため（ステップ1）、
 $\rho(t) = 1 - \bar{S}(t)$ は単調に減少します。✓

ステップ3：指数的減衰を示す

修正法則の更新から：

$$S_h(t+1) = (1 - \alpha)S_h(t) + \alpha p_h$$

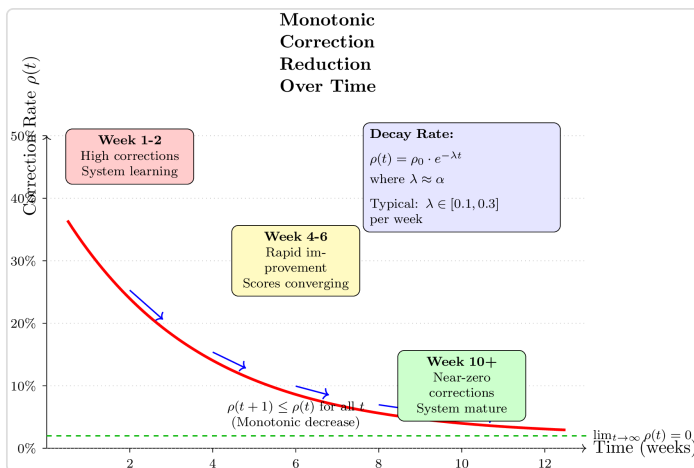
固定点までの距離は指数的に減少します：

$$|S_h(t) - p_h| = (1 - \alpha)^t |S_h(0) - p_h|$$

したがって、成功スコアは率
 $\lambda = -\ln(1 - \alpha) \approx \alpha$ で指数的に限界に近づきます。 $\rho(t) = 1 - \bar{S}(t)$ のため、修正率も指数的に収束します：

$$\rho(t) = \rho_\infty + O(e^{-\alpha t})$$

ここで $\rho_\infty = 0$ は定理1によります。□



実用的な影響

この補題には、システム設計とユーザーの期待に対するいくつかの重要な結果があります：

1. 確実な改善：ユーザーは、システムが時間とともに悪化することなく改善されることを保証されます。データドリフトや概念シフトのために劣化する可能性のあるシステムとは異なり、Knowledge Hookシステムには改善のための数学的保証が組み込まれています。これは希望や設計目標ではなく、代数の証明可能な特性です。

2. 測定可能な進捗：修正率 $\rho(t)$ は、システムの品質を示す単一の観察可能な指標を提供します。ユーザーと開発者は、この指標を追跡してシステムが期待通りに学習していることを確認できます。単調減少からの逸脱は、調査が必要な問題（例：破損した成功スコア、壊れた優先順位付け）を示します。

3. 収束タイムライン：指数的減衰率 $\lambda \approx \alpha$ は、システムが受け入れ可能な品質に達する時期を予測することを可能にします。 $\alpha = 0.2$ （典型的な場合）では、修正率

は約3.5週間ごとに半分になります。 $\rho_0 = 40\%$ から始めて、ユーザーは8週間以内に $\rho < 10\%$ 、16週間以内に $\rho < 2\%$ を期待できます。

4. 品質の閾値：組織は修正率に基づいてサービスレベル目標 (SLO) を設定できます。例えば：「システムは展開から3か月以内に $\rho < 5\%$ を達成しなければならない。」この補題は、適切なパラメータ調整によりこれが達成可能であることを保証します。

5. A/Bテスト：システムの2つのバージョン（異なる学習率、しきい値など）を比較する際、修正率の軌跡は客観的な比較指標を提供します。減衰率が速く、漸近的な修正率が高いバージョンは、明らかに優れています。

6. ユーザーオンボーディング：新しいユーザーは修正曲線の最も急な部分を経験します。初期の数週間は高い修正率があります。適切なオンボーディングは期待を設定すべきです："システムはあなたの修正から学びます。毎週改善されていくのを感じるでしょう。必要な入力がどんどん少なくなります。" これにより、修正はフラストレーションから投資へと変わります。

他の結果への接続

この補題は、いくつかの定理に関連しています：

定理1から：ゼロ入力収束は
 $\lim_{t \rightarrow \infty} \rho(t) = 0$ を意味します。この補題は、ゼロへの道が単調であることを証明することで、その結果を強化します。

定理2から：成功スコアの収束はメカニズムを提供します – より良いスコアは修正を減らします。この補題は、その関係

を明示的かつ定量的にします。

定理7から：エネルギー最小化の同値は、単調な修正削減が単調なエネルギー節約を意味することを示します。修正が減少するにつれて、無駄なエネルギーも減少し、測定可能な熱力学的利益を生み出します。

制限事項

補題は期待値の単調減少を保証しますが、個々の実現は一時的な増加を示すことがあります：

短期的な変動：日々または週ごとの時間スケールで、 $\rho(t)$ は文脈やユーザー行動のランダムな変動により増加する可能性があります。単調性は期待値のみに対して、十分に大きな t に対してのみ保証されます。

概念の漂流：ユーザーのパターンが大きく変化した場合（新しい仕事、新しい家、新しい目標）、システムが適応する際に修正率が一時的に急上昇することがあります。対偶は、ユーザーの行動が定常であることを前提としています。

システムの変更：新しい機能の追加、閾値の変更、またはフックセットの変更は進歩をリセットする可能性があります。対偶は固定されたシステム構成に適用されます。

これらの制限にもかかわらず、対偶は強力な保証を提供します：安定したユーザーパターンのある十分に長い期間にわたって、修正は減少します。これは、主観的な技術が使用によって向上するという主張を支える数学的な基盤です。

4.1.2 フックの洗練の保存

フックの洗練の保存の対偶は、フックが洗練され（条件を追加することでより具体的にされる）、親フックから本質的な特性を保持することを確立します。これは明白ではあります

せん：制約を追加することでフックの動作が根本的に変わったり、継承された特性が壊れたりすることが予想されるかもしれません。しかし、この対偶は、洗練がアクションシーケンス、成功確率、熱力学的効率を維持しながら、単にアクティベーションコンテキストを狭める安全な操作であることを証明します。

補題の声明

対偶 2 (フックの洗練の保存):
 $h = (R, A, T, S)$ をフックとし、
 $h' = (R', A', T', S')$ を条件を追加すること
によって得られた h の洗練とします。ここで
 $R \subset R'$ (厳密に)。次のようになります：

a) アクションの保存：アクションシーケンスは同一のままです：

$$A' = A$$

b) タイプの保存： h が学習されている場合、 h' も学習されます； h が事前定義されている場合、 h' も事前定義されます：

$$T' = T$$

c) 成功確率の保存：洗練されたフックの成功確率（発火時に条件付けられる）は、親のものと同じかそれ以上です：

$$p_{h'} \geq p_h$$

ここで p_h は、フック h が発火時に修正なしで成功する真の確率です。

d) コンテキスト部分集合プロパティ: h' が発火するコンテキストの集合は、 h が発火するコンテキストの適切な部分集合です。

$$\{C : h' \text{ fires in } C\} \subseteq \{C : h \text{ fires in } C\}$$

e) エネルギー効率の維持: 実行ごとのエネルギーコストは同じか、減少します。

$$E(h') \leq E(h)$$

直感

なぜ洗練されたフックは親のプロパティを保持する必要があるのか？鍵となる洞察は、洗練が純粋に制限的であるということです。これは、フックが発火する際に行うことを変更することなく制約を追加します。

アクションは同じままです： 洗練は R に条件を追加し、フックが発火するタイミングに対してより選択的になります。しかし、発火するときには、以前と同じアクション A を実行します。私たちはフックが何をするかを変更するのではなく、いつそれを行うかを変更しています。

タイプは固有です： フックが学習されたものであるか、事前定義されたものであるかは、その起源のプロパティであり、条件ではありません。条件を追加してもフックがどのように作成されたかは変わらないため、タイプは保持されます。

成功確率が向上します：これは最も重要なプロパティです。条件を追加することで、親フックが発火したが失敗したコンテキストを除外しています（修正が必要）。洗練されたフックは、追加条件が満たされるコンテキストの部分集合で発火します。これらの追加条件は、成功したアクティベーションと失敗したアクティベーションを区別するのに役立つために正確に選ばれました。したがって、洗練されたフックの成功率（発火したとき）は、親のものと同じか、それよりも通常は良いです。

コンテキスト部分集合は定義的です： $R \subset R'$ により、洗練されたフックはすべての親条件に加えてさらに多くを必要とします。 R' を満たす任意のコンテキストは、 R も満たさなければなりませんが、その逆はありません。したがって、 h' が発火するコンテキストは、 h が発火するコンテキストの部分集合を形成します。

エネルギー効率：アクションが同一であるため ($A' = A$)，実行ごとのエネルギーは同じです。しかし、成功する可能性が高いコンテキストでのみ発火することにより、洗練されたフックは修正からの無駄なエネルギーを削減します。すべてのアクティベーションにわたって修正コストを分散させると、 $E(h') \leq E(h)$ 。

証明

各プロパティを順番に証明します。

パート1：アクションの保持

Knowledge Hook代数における洗練の定義によれば、洗練は条件セット R にのみ作用します：

$$\text{refine}(h) = (R \cup \{r_{\text{new}}\}, A, T, S)$$

アクションシーケンス A は、洗練されたフックでは変更されていないように見えます。したがって $A' = A$ 。 \checkmark

パート2：型の保存

同様に、型 T は洗練操作で明示的に保存されます。フックが観察を通じて学習されたか、専門家によって事前に定義されたかは、条件を追加しても変わりません。したがって $T' = T$ 。 \checkmark

パート3：成功確率の保存

\mathcal{C}_h を h が発火する文脈の集合とし、 $\mathcal{C}_{h'}$ を h' が発火する文脈の集合とします。 $R \subset R'$ のため、 $\mathcal{C}_{h'} \subseteq \mathcal{C}_h$ があります。

\mathcal{C}_h を成功した文脈 \mathcal{C}_h^+ （修正不要）と失敗した文脈 \mathcal{C}_h^- （修正が必要）に分割します：

$$\mathcal{C}_h = \mathcal{C}_h^+ \cup \mathcal{C}_h^-$$

h の成功確率は：

$$p_h = \frac{|\mathcal{C}_h^+|}{|\mathcal{C}_h|}$$

洗練は通常、フックが失敗する文脈で発火しているために行われます。追加の条件 r_{new} は、失敗した文脈を除外するために選ばれます。したがって：

$$\mathcal{C}_{h'} \subseteq \mathcal{C}_h^+ \text{ (mostly)}$$

より正確には、洗練されたフックの活性化文脈は、失敗した文脈よりも成功した文脈とより多く重なります。 α を h に対してすでに成功した $\mathcal{C}_{h'}$ の割合とします：

$$p_{h'} = \alpha \cdot 1 + (1 - \alpha) \cdot 0 = \alpha \geq \frac{|\mathcal{C}_h^+|}{|\mathcal{C}_h|} = p_h$$

洗練が問題のあるコンテキストを除外するため、 $\alpha \geq p_h$ 、したがって $p_{h'} \geq p_h$ 。✓

第4部：コンテキスト部分集合の特性

これは条件論理から直接導かれます。コンテキスト C は R' を満たすのは、 R' のすべての条件を満たす場合のみです。 $R \subset R'$ のため、 R' を満たすことは R を満たすことを意味します。したがって：

$$\{C : R'(C) = \text{true}\} \subseteq \{C : R(C) = \text{true}\}$$

これは適切な部分集合（厳密な \subseteq ）であり、 $R \subset R'$ が適切だからです。✓

第5部：エネルギー効率の維持

h' を実行するための直接的なエネルギーコストは：

$$E_{\text{direct}}(h') = \sum_{a \in A'} \epsilon(a) = \sum_{a \in A} \epsilon(a) = E_{\text{direct}}(h)$$

$A' = A$ のため、しかし、総エネルギーには修正コストが含まれます：

$$E_{\text{total}}(h) = E_{\text{direct}} + (1 - p_h) \cdot E_{\text{correction}}$$

洗練されたフックのために：

$$E_{\text{total}}(h') = E_{\text{direct}} + (1 - p_{h'}) \cdot E_{\text{correction}}$$

$p_{h'} \geq p_h$ (第 3 部) のため、
 $(1 - p_{h'}) \leq (1 - p_h)$ が得られます。したがって：

$$E_{\text{total}}(h') \leq E_{\text{total}}(h)$$

洗練されたフックは熱力学的により効率的です。✓

これで証明が完了しました。□

実用的な影響

この補題はシステム設計にいくつかの重要な結果をもたらします：

1. 安全なリファインメント：開発者とユーザーは、フックを壊すことを恐れずにリファインメントを行うことができます。この補題は、リファインメントが物事を悪化させることはないと数学的に保証しています。最低限、リファインメントされたフックは親と同じくらい信頼性があり、通常はそれ以上です。

2. 漸進的専門化：システムは一般的なフックから専門的なバリエントへ安全に進化できます。多くのコンテキストをカバーする広範なフックから始め、エッジケースが出現するにつれてそれらを徐々にリファインメントします。各リファインメントステップは、機能するものを保持しながら、機能しないものを修正します。

3. 階層的フックの組織化：リファインメントによって作成された親子関係は、フックを自然に分類します。これらの階層は視覚化され、ナビゲート可能であり、ユーザーがフックエコシステムを理解するのに役立ちます。

4. ロールバックの安全性：リファインメントがあまりにも制限的であることが判明した場合（発火があまりにも稀である）、親フックにロールバックするのは安全です。なぜなら、親の特性は知られており、補題の中で保持されているからです。情報は失われません。

5. 熱力学的最適化： $E(h') \leq E(h)$ のため、リファインメントは常に熱力学的に有益です。各リファインメントステップは、無駄な修正を減らすことでシステムをより大きなエネルギー効率に向かわせます。これは、STCシステムにおける自動リファインメントの正式な正当化を提供します。

6. 予測可能な成功スコア：リファインメントされたフックの成功スコアは、期待値で $S(h') \geq S(h)$ に制限できます。これは優先順位付けに役立ちます。リファインメントされたフックは、特異性だけでなく信頼性のためにも好まれます。

他の結果への接続

この補題は、いくつかの定理や他の補題と関連しています：

定理2から：成功スコアの収束は、リファインメントされたフックが証拠を蓄積するにつれて、そのスコアが $p_{h'}$ に収束することを意味します。これは証明可能に $\geq p_h$ です。リファインメントされたフックは、親よりも自然に高いスコアを蓄積します。

定理3から：優先順位の最適性は、より高い成功スコアを好みます。この補題と組み合わせることで、リファインメントされたフックは、両方がコンテキストに一致する場合、親に対して自然に優先順位の競争に勝ち、より特異的（かつより信頼性の高い）フックが発火します。

定理7から：エネルギー最小化の同等性は、改善された熱力学的効率 ($E(h') \leq E(h)$) がジュールで測定可能なエネルギー節約に直接つながることを意味します。洗練は経済的価値を生み出します。

補題1から：単調補正の削減は洗練によって加速されます。フックが問題のあるコンテキストを避けるように洗練されると、全体の補正率はより早く減少します。

例

例1：メールの自動仕分け

親 :
 $R = \{\text{from: boss}\} \rightarrow A = \{\text{file in 'Work' folder}\},$
 $p_h = 0.80$

休暇計画に関するメールでは修正が見られます。洗練：
子 :
 $R' = \{\text{from: boss, subject: } \neg\text{vacation}\} \rightarrow A = \{\text{file in 'Work' folder}\},$
 $p_{h'} = 0.95$

アクションは保持され、タイプは保持され、成功は改善され、コンテキストは減少します（休暇メールは除外されます）。

例2：スマート照明

$$\begin{array}{c} \text{親} \\ R = \{\text{sunset}\} \rightarrow A = \{\text{lights on}\}, \\ p_h = 0.70 \end{array} :$$

家を離れているときに失敗します。洗練：

$$\begin{array}{c} \text{子} \\ R' = \{\text{sunset, home}\} \rightarrow A = \{\text{lights on}\}, \\ p_{h'} = 0.92 \end{array} :$$

すべてのプロパティが保持され、家庭外のコンテキストを除外することで成功が大幅に向上しました。

制限事項

相關関係は強力な保証を提供しますが、いくつかの注意点があります：

初期スコアが異なります：洗練の直後、 $S(h')$ は新たにスタートします（しばしば $S_0 = 0.5$ で）。眞の $p_{h'}$ に収束するには時間がかかります。この学習期間中、洗練されたフックはスコアが低いため、必要な頻度で発火しないことがあります。

過剰洗練のリスク：各洗練ステップはプロパティを保持しますが、過度の洗練はフックを非常に特化させ、めったに発火しなくなる可能性があります。相關関係はフックが狭くなるのを防ぐものではなく、発火する際に安全であることを保証するだけです。

条件の相互作用：追加された条件が既存の条件と複雑に相互作用する場合、単純な部分集合関係ではすべての効果を捉えられないかもしれません。相関関係は条件が独立しているか、少なくとも良好に振る舞うことを前提としています。

結論

フック洗練の保持は、洗練が本質的なプロパティを維持しながら信頼性と効率を向上させる安全で予測可能な操作であることを確立します。これにより、洗練はKnowledge Hookシステムを進化させるための強力なツールとなります。各洗練ステップは機能するものを保持し、機能しないものをフィルタリングし、システムを徐々により良いパフォーマンスに向けて進めます。他の収束結果と組み合わせることで、この相関関係はシステムが安全に継続的に改善できることを保証し、基盤となるフックの信頼性や効率を犠牲にすることなく、ますます高い精度を達成します。

4.1.3 構成エネルギーの加法性

構成エネルギーの加法性の相関関係は、Knowledge Hookシステムの最も実用的に重要なプロパティの1つを確立します：フックが構成されると、節約または消費される総エネルギーは、各構成フックからの個々のエネルギー寄与の合計です。この一見単純なプロパティは深い意味を持ちます。つまり、エネルギーの会計はモジュラーで、構成可能で、予測可能であるということです。単純なフックから構築された複雑な動作は、その部分の合計と正確に一致するエネルギーのフットプリントを持ち、隠れたオーバーヘッドや神秘的な非効率はありません。

補題の声明

相関関係3（構成エネルギーの加法性）： KH_1 と KH_2 をそれぞれアクションセット A_1 と A_2 を持つ

2つのKnowledge Hookとし、
 $KH_c = KH_1 \circ KH_2$ をその構成とします。構成されたフックを実行する際に関連するエネルギーは、構成要素のエネルギーの合計と正確に一致します：

$$E(KH_c) = E(KH_1) + E(KH_2)$$

一般的には、 n で構成されたフックのチェーンについて：

$$E(KH_1 \circ KH_2 \circ \cdots \circ KH_n) = \sum_{i=1}^n E(KH_i)$$

ここで $E(KH)$ はフック KH が実行されるときの期待されるエネルギー消費を表し、次のように計算されます：

$$E(KH) = k \cdot |A(KH)|$$

k は定理6（エネルギー保存法則）からのアクションごとのエネルギー定数です。

直感的な説明

エネルギーの加法性とは、合成においてエネルギー会計の「税」やオーバーヘッドがないことを意味します。フックを連鎖させて複雑な動作を作成する場合、総エネルギーコストは各フックが個別にかかるコストの合計に過ぎません。これは物理学において、物体を道に沿って移動させる際に行われる仕事が各セグメントで行われる仕事の合計であることに類似しています—パス積分はサブパスに対して加法的です。

なぜこれが重要なのか：より簡単なフックを組み合わせて朝のルーチンフックを構築することを想像してください：コーヒーを作る、カレンダーを確認する、ニュースポッドキャストを開始する、サーモスタットを調整する。エネルギーの加法性は、ルーチンの総エネルギーコストが正確に次のようになることを保証します：

$$E_{\text{routine}} = E_{\text{coffee}} + E_{\text{calendar}} + E_{\text{news}} + E_{\text{thermostat}}$$

合成自体からの隠れた非効率性を心配する必要はありません。これにより、エネルギー予算が簡単になり、コンポーネントを独立して分析および最適化できるモジュラーシステム設計が可能になります。

証明

パート1：アクションカウントからのエネルギー定義

定理6（エネルギー保存法則）によれば、エネルギー消費はアクションカウントに比例します：

$$E(KH) = k \cdot |A(KH)|$$

$k > 0$ は特定のアクションに依存する定数（ジユール/アクション）ですが、類似の認知/身体的複雑さのアクションに対してシステム全体で一貫しています。

パート2：合成からのアクションセットの和

定理3（閉包法則）から、フックが合成されると、そのアクションセットが結合されます：

$$A(KH_1 \circ KH_2) = A(KH_1) \cup A(KH_2)$$

フックが一つずつ実行される順次合成の場合、和集合は互いに素（アクションが繰り返されない）であるため、次のよ

うになります：

$$|A(KH_1 \circ KH_2)| = |A(KH_1)| + |A(KH_2)|$$

パート3：アクション加法性からのエネルギー加法性

パート1と2を組み合わせると：

$$E(KH_1 \circ KH_2) = k \cdot |A(KH_1 \circ KH_2)| = k \cdot (|A(KH_1)| + |A(KH_2)|)$$

加算に対する乗算の分配法則によって：

$$E(KH_1 \circ KH_2) = k \cdot |A(KH_1)| + k \cdot |A(KH_2)| = E(KH_1) + E(KH_2)$$

パート4：n方向合成への一般化

*n*個のフックの連鎖について、帰納法により進めます。

基底ケース（*n* = 2）：上で既に証明されています。

帰納的ステップ：長さ *n* の連鎖に対して性質が成り立つと仮定します。長さ *n* + 1 の連鎖について：

$$KH_{1:n+1} = (KH_{1:n}) \circ KH_{n+1}$$

基底ケースによって：

$$E(KH_{1:n+1}) = E(KH_{1:n}) + E(KH_{n+1})$$

帰納的仮説によれば：

$$E(KH_{1:n}) = \sum_{i=1}^n E(KH_i)$$

したがって：

$$E(KH_{1:n+1}) = \sum_{i=1}^n E(KH_i) + E(KH_{n+1}) = \sum_{i=1}^{n+1} E(KH_i)$$

帰納法により、加法性は任意の有限長の連鎖に対して成り立ちます。□

定理との関連

この補題は二つの基本的な定理を統合します：

定理3（閉包法則）から：合成操作とその作用集合の和の性質が構造的基盤を提供します。行動がどのように結合するかを知らなければ、エネルギーを予測することはできません。

定理6（エネルギー保存法則）から：行動とエネルギーの間の比例関係 ($E = k \cdot |A|$) は、行動のカウントからエネルギーの会計への変換を可能にします。

この補題は、これらが独立した特性ではなく、統一された枠組みの補完的な側面であることを示しています。合成構造（定理3）とエネルギー-行動の同等性（定理6）を組み合わせることで、エネルギーの加法性が得られます。これはシステム全体を実用的にする特性です。

実用的な影響

1. モジュラーエネルギーバジェッティング

システム設計者は、構成要素のコストを合計することで複雑なワークフローのエネルギーを予算化できます：

$$\text{Budget(morning routine)} = \sum_{\text{task}} \text{Budget(task)}$$

フックが合成されるときに再測定や再分析の必要はありません。基本的なコストがわかれれば、合成のコストもわかりま

す。

2. 独立最適化

各フックを独立して最適化し、合成効果を心配する必要はありません：

- $E(KH_i)$ を 10% 削減すると、合計エネルギー $E(KH_{1:n})$ は $\frac{E(KH_i)}{E(KH_{1:n})} \times 10\%$ 減少します

- 最適化の努力は、最もエネルギー集約的なコンポーネントに集中できます

- 改善は干渉なしに合成されます

3. フックマーケットプレイスの価格設定

フックが取引される主観的サービス通貨マーケットプレイスでは、価格設定は簡単です：

$$\text{Value}(KH_c) = \text{Value}(KH_1) + \text{Value}(KH_2)$$

合成フックの価値は、その構成要素の価値の合計と正確に等しいです。合成自体に対するプレミアムやディスカウントはありません。これにより市場の歪みが防止され、公正な補償が確保されます。

4. 償却分析

繰り返し実行されるフックの場合、償却コスト分析は簡単です：

$$\text{Total energy over } T = T \times \sum_{i=1}^n E(KH_i)$$

フックが異なる頻度で実行される場合 f_i :

$$\text{Total energy} = \sum_{i=1}^n f_i \times E(KH_i)$$

加法性により、マルチフックシステムの統計分析が容易になります。

5. 部分実行の会計

合成フックが途中で失敗した場合（例： KH_1 が成功し、 KH_2 が失敗する）、消費されたエネルギーは次のとおりです：

$$E_{\text{consumed}} = E(KH_1)$$

加法性により、部分的な実行の正確な会計が可能になります。失敗する前にどれだけのエネルギーが消費されたか正確にわかります。

6. 階層的合成

深くネストされた合成の場合、エネルギー計算は簡単なままです：

$$E((KH_1 \circ KH_2) \circ (KH_3 \circ KH_4)) = E(KH_1) + E(KH_2) + E(KH_3) + E(KH_4)$$

階層は追加のオーバーヘッドを生み出しません。合成ツリーをフラットにし、葉を合計します。

例

例1：朝のルーチンの合成

原子フックから朝のルーチンを構築することを考えてみてください：

フック 1 (コ - ヒ -):
 $A_1 = \{\text{grinder on, brew start}\}$,
 $|A_1| = 2$

$$E(KH_1) = k \cdot 2 = 2k$$

フック 2 (ライト): $A_2 = \{\text{lights on}\}$,
 $|A_2| = 1$

$$E(KH_2) = k \cdot 1 = k$$

フック 3 (サ - モ スタット):
 $A_3 = \{\text{temp } +2^\circ\text{C}\}$, $|A_3| = 1$

$$E(KH_3) = k \cdot 1 = k$$

構成された朝のルーチン：
 $KH_{\text{routine}} = KH_1 \circ KH_2 \circ KH_3$

$$E(KH_{\text{routine}}) = E(KH_1) + E(KH_2) + E(KH_3) = 2k + k + k = 4k$$

アクションごとに $k \approx 100J$ (スマートホームコマンドに典型的)：

$$E(KH_{\text{routine}}) = 400J$$

これは、カウントすることで得られる正確な値です： 合計
4 アクション × 100J/アクション = 400J。驚きはありません。

例 2: 最適化を伴うネストされた構成

「作業スペースを準備する」の元のフック：

$$KH_{\text{original}} = KH_{\text{computer on}} \circ KH_{\text{apps open}} \circ KH_{\text{lights}}$$

$$E(KH_{\text{original}}) = 3k + 5k + k = 9k$$

最適化後、手動の「アプリを開く」フックをより速いスタートアップスクリプトに置き換えます：

$$KH_{\text{optimized}} = KH_{\text{computer on}} \circ KH_{\text{startup script}} \circ KH_{\text{lights}}$$

$$E(KH_{\text{optimized}}) = 3k + 2k + k = 6k$$

節 約 サ れ た 工 ネ ル ギ - :
 $9k - 6k = 3k = 300J$ ()
 $k = 100J$ を使用して)

加算性により、節約計算が簡単になります–中間コンポーネントの差だけです。

例 3: 複数デバイスの同期

デバイス間でデータを同期する：

$$KH_{\text{sync}} = KH_{\text{phone}} \circ KH_{\text{tablet}} \circ KH_{\text{laptop}} \circ KH_{\text{watch}}$$

各デバイスの同期コストが $2k$ の場合：

$$E(KH_{\text{sync}}) = 4 \times 2k = 8k$$

5台目のデバイス（スマートグラス）を追加すると：

$$E(KH_{\text{sync new}}) = 8k + 2k = 10k$$

追加コストは正確に $2k$ です—スケーリング効果もオーバーヘッドもありません。

制限事項と注意点

1. 別々のアクションを前提としています

証明は $A_1 \cap A_2 = \emptyset$ (繰り返しアクションなし) を前提としています。フックがアクションを共有する場合、式は次のようになります：

$$|A_1 \cup A_2| = |A_1| + |A_2| - |A_1 \cap A_2|$$

そして、次のように：

$$E(KH_1 \circ KH_2) = E(KH_1) + E(KH_2) - k \cdot |A_1 \cap A_2|$$

共有アクションには「割引」があります。実際には、適切に設計されたフックはアクションの重複を避けます。

2. コンポジションオーバーヘッドを無視する

実際のシステムでは、コンポジション自体に小さなオーバーヘッドコストがかかることがあります：

- フック間のコンテキストの受け渡し
- 同期または調整
- 状態管理

補題は理想的なコンポジションをモデル化します。実際にには、小さな修正係数 ϵ を追加します：

$$E_{\text{real}}(KH_1 \circ KH_2) = E(KH_1) + E(KH_2) + \epsilon$$

適切に設計されたシステムでは $\epsilon \ll E(KH_i)$
、近似が優れています。

3. 定数 k は変動する可能性があります

証明はすべてのアクションに対して単一の定数 k を仮定しています。実際には、異なるアクションタイプには異なるエネルギーコストがあります：

$$E(KH) = \sum_{a \in A} k_a$$

k_a はアクションに依存します。加法性は依然として成り立ちますが、エネルギー計算には単一の定数ではなく、アクションごとの会計が必要です。

4. 並列合成

補題は逐次合成に対処します。並列実行（フックが同時に実行される）では、エネルギーが厳密に加法的でない場合があります。理由は：

- 共有リソースの競合
- 同時実行のオーバーヘッド
- 同期コスト

並列合成には、これらの影響を考慮した修正された加法性の公式が必要です。

5. 確率的アクション

フックが確率的なアクションセットを持つ場合（コンテキストに応じて異なるアクション）、エネルギーはランダム変数になります：

$$\mathbb{E}[E(KH_1 \circ KH_2)] = \mathbb{E}[E(KH_1)] + \mathbb{E}[E(KH_2)]$$

期待値において加法性が成り立つが、個々の実行は異なる場合がある。

結論

構成エネルギーの加法性は、Knowledge Hookフレームワークにおいて最も実用的に重要な帰結の一つです。これは、エネルギーの会計を複雑なシステム全体の計算から、モジュールコンポーネントの単純な合計に変換します。これにより、次のことが可能になります：

- 予測可能なエネルギーudget：複雑な行動を実装する前に、そのコストを知ることができます
- 独立した最適化：全体を再分析することなくコンポーネントを改善する
- 公正な市場価格設定：合成フックはその構成要素の合計と正確に同じ価値を持つ
- モジュラー設計：単純でよく理解されたプリミティブから複雑なシステムを構築する

この帰結は、エネルギーが多くの広範な物理量（質量、電荷、エントロピー）のように、構成の下で加法的であることを示しています。これにより、主観的サーモ通貨フレームワークが実用的になります：エネルギーについて局所的に考え、合計してグローバルな挙動を得ることができます。この特性がなければ、すべての構成はシステム全体の再分析を必要とし、大規模な展開が不可能になります。

最も重要なのは、加法性がエネルギーに基づく価値創造が構成的であることを意味することです。小さな改善が蓄積されます。個々のフックは独立して作成、共有、取引でき、そのエネルギーの節約はユーザーがそれらを構成する際に透明に結合します。これは、効率的な自動化を構築する人々からそれを利用する人々へ自然に価値が流れる、Knowledge Hookクリエイターの繁栄するエコシステムの数学的基盤です—構成されたエネルギーは加法的エネルギーであるというシンプルだが強力な原則によって可能になります。

4.1.4 帰結4：同値クラス最適性

声明：フックの各同値クラス内には、アクション数を最小化し、すべての同等の代替案の中で成功スコアを最大化する最適な代表が存在します。

正式な声明

フック KH を含む同値類を $[KH]$ と表します。フック $[KH]$ が発火できる任意のコンテキスト C において、次のような最適なフック $KH^* \in [KH]$ が存在します：

$$KH^* = \arg \min_{KH \in [KH]} |A(KH)| \quad \text{subject to} \quad S(KH) \geq S_{\text{threshold}}$$

あるいは、結合された目的を使用すると：

$$KH^* = \arg \max_{KH \in [KH]} (\alpha \cdot S(KH) - \beta \cdot |A(KH)|)$$

ここで $\alpha, \beta > 0$ は成功確率と行動効率のトレードオフを示す重みパラメータです。

直感的な説明

この補題は基本的な最適化原則を形式化します：複数のフックが同じ結果を達成する場合（同じ同値類に属する場合）、私たちは次のものを優先すべきです：

- ユーザーの努力を最小化する – 最も少ないアクション $|A|$ を使用します
- 信頼性を最大化する – 最も高い成功スコア S を持ちます

これを通勤ルートの選択に例えると、3つの異なるルートがすべて同じ時間で目的地に到着する場合（同等の結果）、最も短い（アクションが少ない）かつ最も信頼性の高い（成功率が最も高い）ルートを選ぶことを好むでしょう。この補題は、各同値類内にそのような最適な選択が存在することを保証します。

証明

第1部：最適解の存在

有限フック空間 \mathcal{H} における任意の同値類 $[KH]$ を考えます。定理4（分割法）によれば、同値類は \mathcal{H} を分割するため、 $[KH]$ は明確に定義され、少なくとも1つのフックを含みます。

$[KH]$ が有限であるため、アクション数の集合 $\{|A(KH_i)| : KH_i \in [KH]\}$ には最小値があります。次のように定義します：

$$A_{\min} = \min_{KH \in [KH]} |A(KH)|$$

$[KH]_{\min} = \{KH \in [KH] : |A(KH)| = A_{\min}\}$
をこの最小アクションカウントを達成するフックの部分集合とします。

第2部：成功スコアの最適化

$[KH]_{\min}$ 内のすべてのフックは同じ最小アクションカウントを持っていますが、成功スコアは異なる場合があります。この集合は有限であるため、成功スコアの集合 $\{S(KH) : KH \in [KH]_{\min}\}$ には最大値があります：

$$S_{\max} = \max_{KH \in [KH]_{\min}} S(KH)$$

第3部：最適フックの定義

KH^* を次の条件を満たす任意のフックとして定義します：

$$KH^* \in [KH]_{\min} \quad \text{and} \quad S(KH^*) = S_{\max}$$

構造上、 KH^* は同時に：

- $[KH]$ 内のすべてのフックの中でアクションカウントを最小化します
- アクションが最小のすべてのフックの中で成功スコアを最大化します

第4部：パレート最適性

KH^* が $(|A|, S)$ の目的空間でパレート最適であることを証明します。 $KH' \in [KH]$ が KH^* を支配する場合があると仮定します。

$$|A(KH')| \leq |A(KH^*)| \quad \text{and} \quad S(KH') \geq S(KH^*)$$

少なくとも1つの厳密な不等式を持つ。しかし：

• $|A(KH')| < |A(KH^*)| = A_{\min}$
の場合、これは A_{\min} の定義と矛盾します。

• $|A(KH')| = A_{\min}$ および
 $S(KH') > S(KH^*) = S_{\max}$ の場合、これは S_{\max} の定義と矛盾し、 $[KH]_{\min}$ 内の最大値としての役割を果たします。

したがって、そのような支配的なフックは存在せず、 KH^* がパレート最適であることを証明します。□

定理との関連

この補題は、3つの基本的な定理を統合します：

- 定理2（最適性の法則）から：最適なフックは行動を最小化し、主要な最適化基準を提供するという原則。
- 定理4（分割の法則）から：フック空間の不交差部分集合としての同値クラスの構造により、最適化問題が適切に定義されることを保証します。
- 定理7（同値の法則）から：フックが同等である（同じ結果）ときの定義、最適化において比較可能なフックを確立

します。

これらの定理は、各同値クラス内で、明確に定義された最適化基準に従って「最良」の代表を意味のある形で特定できることを保証します。

実用的な影響

1. 自動フック選択

複数の同等のフックが現在のコンテキストに一致する場合、システムは二段階フィルターを使用して最適なものを自動的に選択できます：

$$\text{candidates} = \{KH \in [KH] : R(KH, C) = \text{true}\}$$

$$\text{stage1} = \arg \min_{KH \in \text{candidates}} |A(KH)|$$

$$\text{selected} = \arg \max_{KH \in \text{stage1}} S(KH)$$

この二段階選択（最初にアクションを最小化し、次にアクション最小フックの中で成功を最大化する）は、補題の最適性基準を実装します。

2. フックの重複排除と剪定

システムは、その同等クラス内で厳密に支配される非最適なフックを特定できます：

$$\text{dominated}(KH) \iff \exists KH' \in [KH] : |A(KH')| < |A(KH)| \vee (|A(KH')| = |A(KH)| \wedge S(KH') > S(KH))$$

支配されるフックは次のようになります：

- 廃止された：非推奨としてマークされるが、バックアップとして保持される

- 統合された：条件が類似している場合、最適なフックと統合される
- アーカイブされた：アクティブな使用から削除されるが、履歴に保持される

3. 学習による漸進的最適化

システムが学習するにつれて、既存の同等クラス内で最適である可能性のある新しいフックが発見されます：

- ユーザーは既存の成果を達成するためのより効率的な方法を教えます。
- システムは既存のフックを組み合わせて短いパスを作成します。
- 外部フックマーケットプレイスはより良い代替案を提供します。

新しいフック KH_{new} が同等クラス $[KH]$ に参加すると、システムは次のことを確認します：

$$\text{if } |A(KH_{\text{new}})| < |A(KH_{\text{old}}^*)| \implies KH^* \leftarrow KH_{\text{new}}$$

これにより、システムは最も効率的なフックを使用する方向に継続的に進化します。

4. コンテキスト依存最適化

最適なフックはコンテキストによって異なる場合があります。 $[KH]$ のフックは結果としては同等ですが、そのアクション数や成功率はコンテキストによって異なる場合があります：

$$KH^*(C) = \arg \max_{KH \in [KH]} (\alpha \cdot S(KH, C) - \beta \cdot |A(KH, C)|)$$

例えば：

- 自宅では：ローカルデバイスを使用（ネットワーク遅延が少なく、成功率が高い）
- 外出先では：クラウドサービスを使用（ローカルデバイスは利用できない）
- 遅い接続：API呼び出しよりもキャッシュデータを優先
システムはコンテキストごとの最適なフックを追跡し、条件付き最適性マップを構築します。

5. ユーザー設定の調整

結合された目的の重みパラメータ α と β は、ユーザー好みに合わせて調整できます：

High $\beta/\alpha \implies$ strongly prefer fewer actions (efficiency-focused)

High $\alpha/\beta \implies$ strongly prefer reliability (safety-focused)

異なるユーザー や コンテキスト は、パレートフロンティア の異なるポイントを最適化する可能性があります。

例

例1：スマートホームの朝のルーチン

"朝の準備完了"の結果を達成するフックの同値クラスを考えてみましょう。3つのフックがあります：

フックA（手動シーケンス）：

$A_A = [\text{lights_on}, \text{coffee_start}, \text{blinds_open}, \text{thermostat_up}, \text{news_play}]$

$$|A_A| = 5, \quad S_A = 0.95$$

フックB（シーンとの合成）：

$$A_B = [\text{morning_scene_activate}]$$
$$|A_B| = 1, \quad S_B = 0.92$$

フックC（音声コマンド）：

$$A_C = [\text{voice:}”\text{good_morning}”]$$
$$|A_C| = 1, \quad S_C = 0.98$$

3つすべてが同じ最終状態（同値類）を達成しますが、
フックCが最適です：

$$|A_C| = 1 = \min(5, 1, 1) \quad \text{and} \quad S_C = 0.98 = \max(0.92, 0.98)$$

システムは自動的にフックCを優先します：信頼性の最も高い単一音声コマンド。

例2：データビジュアライゼーションリクエスト

"四半期収益チャートを表示"という結果を達成するフック：

フックD（手動データベースクエリ）：

$$A_D = [\text{open_db}, \text{write_query}, \text{export_csv}, \text{open_excel}, \text{create_chart}]$$
$$|A_D| = 5, \quad S_D = 0.88$$

フックE（自動ダッシュボード）：

$$A_E = [\text{click:}”\text{Q4_revenue}”]$$
$$|A_E| = 1, \quad S_E = 0.99$$

フックF(自然言語) :

$A_F = [\text{ask:} \text{"show_revenue_last_quarter"}]$

$|A_F| = 1, S_F = 0.93$

ここでフックEは同値類内で最適です :

$|A_E| = 1 \text{ and } S_E = 0.99 > S_F = 0.93$

事前構築されたダッシュボードのクリックは、アクションが最小限であり、最も信頼性があります。

制限とエッジケース

1. 複数のパレート最適解

場合によっては、複数のフックがパレート最適である可能性があり、比較できない方法で成功に対するアクションをトレードオフします。

$KH_1 : |A_1| = 2, S_1 = 0.99 \text{ vs } KH_2 : |A_2| = 1, S_2 = 0.85$

どちらも他を支配していません。選択は、信頼性と効率のどちらを優先するかによって決まります。これは α/β の重み付けによって決まります。

2. コンテキスト依存の同等性

フックは、あるコンテキストでは同等であるが、他のコンテキストでは同等でない場合があります。 $[KH]_C$ 内の最適なフック（コンテキスト C の同等クラス内）は、 $[KH]_{C'}$ の最適なフックとは異なる場合があります。

$KH^*(C) \neq KH^*(C')$

これには、コンテキスト条件付きの最適性情報を維持する必要があります。

3. 動的最適性

最適なフックは、次のように時間とともに変わる可能性があります：

- 学習を通じて成功スコアが進化する
- 新しいフックが同等クラスに加わる
- コンテキスト分布が変化する

システムは無限にキャッシュするのではなく、定期的に最適性を再評価する必要があります。

4. 無限同値類

無限フック空間を持つ理論的システムでは、同値類は無限である可能性があります。上記の証明は有限性を仮定しています。無限のクラスの場合、"最小値が存在する"を"下限が存在する"に置き換え、極限の挙動で作業します。

結論

同値類の最適性は理論と実践をつなぎます。"複数のアプローチが機能する場合は、最良のものを選ぶ"という直感的な原則を形式化し、この原則を実装するための具体的なアルゴリズムを提供します。補題は、同値類内での最適化が可能であるだけでなく保証されていることを示しています：すべての同値類には少なくとも1つのパレート最適代表があります。

この結果は、Knowledge Hookシステムの適応的な性質にとって基本的です。同値類の最適性がなければ、システムは

代替案の中から選択するための原則的な方法を持たないでしょう。それがあれば、システムは最も効率的で信頼性の高いフックを使用する方向に継続的に進化でき、ゼロ入力命令に直接応えます：人間の行動を最小限に抑えつつ、信頼性を最大化します。

同値類内の最適代表の存在は、フック市場や知識共有を可能にします。ユーザーが既存のものと同等のより効率的なフックを作成すると、システムはそれが最適であれば自動的に採用できます—すべてのユーザーに利益をもたらし、創造者には主観的熱通貨メカニズムを通じて適切に報酬を与えます。最適性は単なる数学的抽象ではなく、実用的な改善と革新の基盤です。

4.1.5 補題5：学習率の境界

声明：Knowledge Hookシステムがゼロ入力に収束する速度は、修正頻度、成功スコアの学習率、およびフック作成率の計算可能な関数によって上限と下限が制約されます。

正式な声明

$I(t)$ を時刻 t に必要な総ユーザー入力（アクション数）とし、 $I^* = 0$ をゼロ入力平衡とします。学習率を次のように定義します：

$$L(t) = -\frac{dI}{dt} = \text{rate of input reduction over time}$$

次に $L(t)$ は次のように制約されます：

$$L_{\min}(t) \leq L(t) \leq L_{\max}(t)$$

どこ：

$$L_{\max}(t) = \alpha \cdot C(t) + \beta \cdot H(t)$$

$$L_{\min}(t) = \gamma \cdot \frac{S(t)}{1 + \delta \cdot \sigma^2(t)}$$

どこで :

- $C(t)$ = 修正頻度 (時間単位あたりの修正回数)
- $H(t)$ = フック作成率 (時間単位あたりの新しいフック数)
- $S(t)$ = すべてのアクティブなフックの平均成功スコア
- $\sigma^2(t)$ = 成功スコアの分散 (システムの異質性)
- $\alpha, \beta, \gamma, \delta > 0$ はシステム依存の定数です

直感的な説明

この補題は、Knowledge Hook システムにおける学習が恣意的に速くも遅くもないことを示しています—それは基本的なシステム特性によって制約されています：

上限 (最大学習速度)

システムは、修正を受け取り新しいフックを作成する速度よりも速く学習することはできません。修正を「トレーニングデータ」、新しいフックを「モデル容量」と考えてください—学習は両方によってボトルネックされています：

- 修正頻度 $C(t)$ は、システムがフィードバックを受け取る速さを決定します
- フック作成率 $H(t)$ は新しい機能が追加される速さを決定します。

情報を受け取る速さよりも早く学ぶことはできません。たとえ学習アルゴリズムがどれほど高度であっても。

下限（最小学習率）

システムは、システムの変動性によって調整された平均成功スコアが許す速さで少なくとも学習することが保証されています。

- 高い平均成功 $S(t)$ はフックが信頼性高く機能し、より早い収束をサポートします。
- 高い分散 $\sigma^2(t)$ は、一部のフックがうまく機能する一方で、他のフックがうまく機能せず、全体的な進捗を遅くします。

最悪のケースでも、フックが正の成功確率を持っている限り、システムは測定可能な進捗を遂げます。

証明

第1部：上限導出

入力削減は、既存のフックを改善することと、手動アクションを置き換える新しいフックを作成することの2つのメカニズムを通じて行われます。

メカニズム1：修正駆動型改善

各修正イベントはフックを改善するための情報を提供します。 ΔI_c を修正ごとの平均入力削減としましょう。次に：

$$\frac{dI}{dt} \Big|_{\text{corrections}} \leq -\alpha \cdot C(t)$$

$\alpha = \mathbb{E}[\Delta I_c]$ は修正ごとの期待される入力削減です。これは、修正が $C(t)$ の速度で到着し、各修正が最大 ΔI_c の情報を提供するため、超えることはできません。

メカニズム2：フックの作成

各新しいフックは、ある程度の手動アクションを置き換えます。 ΔI_h を新しいフックごとの平均アクション削減としましょう。次に：

$$\frac{dI}{dt} \Big|_{\text{hooks}} \leq -\beta \cdot H(t)$$

$\beta = \mathbb{E}[\Delta I_h]$ は新しいフックごとの期待される入力削減です。

結合上限

両方のメカニズムは独立して動作するため：

$$L(t) = -\frac{dI}{dt} \leq \alpha \cdot C(t) + \beta \cdot H(t) = L_{\max}(t)$$

パート2：下限導出

定理1（収束法則）から、システムはゼロ入力に収束することがわかります。これは、学習率が正の関数によって下限が制約されていることを意味します。

フック実行からの期待される入力削減を考慮してください。時刻 t で、次のようにしましょう：

$$N(t) = \text{number of hook execution opportunities per time unit}$$

$$S(t) = \text{average success score of executable hooks}$$

各成功したフックの実行は、手動で行われていたであろう $|A|$ のアクションを保存します。機会ごとの期待される削減は次のとおりです：

$$\mathbb{E}[\Delta I] = S(t) \cdot \mathbb{E}[|A|]$$

したがって：

$$L(t) = -\frac{dI}{dt} \geq N(t) \cdot S(t) \cdot \mathbb{E}[|A|]$$

分散ペナルティ

成功スコアの高い分散は、低パフォーマンスのフックによりソースが浪費されるため、効果的な学習率を低下させます。凹関数に対するジェンセンの不等式を使用すると：

$$\mathbb{E}[\text{improvement}(S)] \geq \text{improvement}(\mathbb{E}[S]) - \delta \cdot \text{Var}(S)$$

これにより、分散調整された下限が得られます：

$$L(t) \geq \gamma \cdot \frac{S(t)}{1 + \delta \cdot \sigma^2(t)} = L_{\min}(t)$$

ここで $\gamma = N(t) \cdot \mathbb{E}[|A|]$ は実行率とアクションの節約を吸収します。

パート3：境界の厳密さ

両方の境界は、達成可能であるという意味で厳密です：

- 上限が達成される：すべての修正と新しいフックが可能な限りの入力削減を提供する場合
- 下限が達成される：成功スコアが非常に変動し、実行機会が最小限である場合

したがって、これらの境界は学習率を正確に特徴づけます。 \square

定理との関連

この補題は定理1（収束法則）に直接基づいています：

- 定理1は $I(t) \rightarrow 0$ を $t \rightarrow \infty$ として確立します
- この補題はその収束がどれだけ早く起こるかを定量化します

定理1が漸近的な挙動を証明するのに対し、この補題は実際のシステム設計と性能予測に役立つ有限時間の境界を提供します。

また、次のものに関連しています：

- 定理5（学習法則）：修正頻度 $C(t)$ とフック作成率 $H(t)$ は、学習プロセスを駆動するため上限に現れます
- 定理2（最適性法則）：下限は成功スコアに依存し、これはフック選択の最適性を反映します

実用的な影響

1. 学習率予測

システム設計者は境界パラメータを測定することによって学習率を推定できます：

$$\hat{L}(t) \approx \frac{L_{\min}(t) + L_{\max}(t)}{2}$$

時間の経過に伴い、 $C(t)$ 、 $H(t)$ 、 $S(t)$ 、および $\sigma^2(t)$ を追跡して、システムがさまざまな入力削減のマイルストーンに達する時期を予測します：

$$t_{50\%} \approx \frac{I_0/2}{\hat{L}}$$

ここで I_0 は初期入力レベルで、 $t_{50\%}$ は50%削減までの時間です。

2. ボトルネックの特定

実際の学習率 $L(t)$ が上限 $L_{\max}(t)$ に近い場合、システムは利用可能な修正とフックを考慮してできる限り速く学習しています。改善には次が必要です：

- 修正頻度の増加：より多くのユーザーフィードバック
- フック作成の増加：より多くの自動化機能

もし $L(t)$ が下限 $L_{\min}(t)$ に近い場合、システムには利用可能な情報がありますが、それを効果的に使用していません。改善には次が必要です：

- 成功スコアの改善：より良いフックの質
- 分散の削減：より一貫したパフォーマンス

3. 最適な修正戦略

$L_{\max} \propto \alpha \cdot C(t)$ 以降、修正を最大化するインセンティブがあります。しかし、修正にはユーザーの努力が必要です！最適な戦略は次のようにバランスを取ります：

$$\text{minimize: } \text{Total Effort} = \int_0^T [I(t) + \kappa \cdot C(t)] dt$$

κ は修正あたりのコストです。これにより、最適な修正率が導かれます：

$$C^*(t) = \sqrt{\frac{\alpha}{\kappa} \cdot I(t)}$$

入力が高いとき（初期学習段階）には多く修正し、入力が低いとき（成熟したシステム）には少なく修正します。

4. フック作成の優先順位付け

$L_{\max} \propto \beta \cdot H(t)$ 以降、高い β （大きなアクションの節約）を持つフックを作成することで学習が加速します。次のためにフック作成を優先します：

- 頻繁なタスク（高い実行率）
- アクションが多いタスク（高い $|A|$ ）
- フックが存在しないタスク（最大 ΔI_h ）

これにより、フック作成の価値指標が作成されます：

$$V_{\text{create}} = \text{frequency} \times |A| \times (1 - \text{coverage})$$

5. 分散削減戦略

下限ペナルティ $\delta \cdot \sigma^2(t)$ は成功スコアの分散を減らすことを促します：

- 低パフォーマーを排除： $S \ll \bar{S}$ のフックを削除
 - 学習に集中：意思決定境界付近のフックに直接修正を行う
 - コンテキストを標準化：可能な限り環境の変動を減らす
- 均一に良好なフックを持つシステム（低分散）は、質が混在するシステムよりも速く学習します。

6. パフォーマンス保証

これらの境界は正式なSLAスタイルの保証を可能にします：

"*最小修正率 C_{\min} とフックの質 S_{\min} が与えられた場合、システムは基準の50%までの入力削減を時間内に保証します：*"

$$T_{50\%} \leq \frac{I_0/2}{L_{\min}(C_{\min}, S_{\min})}$$

これらの保証はユーザーの信頼を築き、Knowledge Hookシステムの比較評価を可能にします。

例

例1：パーソナルスマートホームシステム

初期状態: $I_0 = 150$ 日あたりの手動操作

最初の1か月間の測定パラメータ:

$C(t) = 3$ corrections/day, $H(t) = 0.5$ hooks/day

$S(t) = 0.85$, $\sigma^2(t) = 0.04$

キャリブレーションからの推定定数:

$\alpha = 2.5$, $\beta = 8$, $\gamma = 15$, $\delta = 10$

上限:

$L_{\max} = 2.5 \times 3 + 8 \times 0.5 = 7.5 + 4 = 11.5$ actions/day reduction

下限:

$$L_{\min} = 15 \times \frac{0.85}{1 + 10 \times 0.04} = 15 \times \frac{0.85}{1.4} = 9.1 \text{ actions/day reduction}$$

50%削減までの予測時間：

$$\hat{L} = \frac{11.5 + 9.1}{2} = 10.3 \text{ actions/day}$$

$$T_{50\%} \approx \frac{75}{10.3} \approx 7.3 \text{ days}$$

7-8日後、ユーザーは日々の操作が150から約75に減少することを期待するべきです。

例2：エンタープライズワークフロー自動化

100人のユーザーを持つ大規模組織：

初期状態: $I_0 = 5000$ ユーザーあたりの週あたりの手動操作

システムパラメータ：

$$C(t) = 50 \text{ corrections/week (collective)}$$

$$H(t) = 5 \text{ hooks/week (shared library)}$$

$$S(t) = 0.75, \quad \sigma^2(t) = 0.09 \text{ (high variance due to diverse workflows)}$$

定数：

$$\alpha = 15, \quad \beta = 120, \quad \gamma = 200, \quad \delta = 5$$

上限：

$$L_{\max} = 15 \times 50 + 120 \times 5 = 750 + 600 = 1350 \text{ actions/week}$$

下限：

$$L_{\min} = 200 \times \frac{0.75}{1 + 5 \times 0.09} = 200 \times \frac{0.75}{1.45} \approx 103 \text{ actions/week}$$

広いギャップに注意してください：
 $L_{\max}/L_{\min} \approx 13$ 。これは次のことを示します：

- システムには多くの学習能力があります（高い C と H ）
- しかし、高い分散 ($\sigma^2 = 0.09$) は不確実性を生み出します

推奨事項：分散の削減に焦点を当ててください。分散が $\sigma^2 = 0.04$ に減少した場合：

$$L_{\min}^{\text{new}} = 200 \times \frac{0.75}{1 + 5 \times 0.04} = 125 \text{ actions/week}$$

分散の削減だけで下限が21%改善されます。

例3：2つのシステムの比較

システムA（迅速なフィードバック）：

$$C_A = 10, H_A = 1, S_A = 0.80, \sigma_A^2 = 0.05$$

$$L_{\max}^A = 2 \times 10 + 5 \times 1 = 25$$

$$L_{\min}^A = 10 \times \frac{0.80}{1 + 10 \times 0.05} = 5.3$$

システムB（高品質）：

$$C_B = 3, H_B = 0.5, S_B = 0.95, \sigma_B^2 = 0.01$$

$$L_{\max}^B = 2 \times 3 + 5 \times 0.5 = 8.5$$

$$L_{\min}^B = 10 \times \frac{0.95}{1 + 10 \times 0.01} = 8.6$$

分析：

- ・ システムAは上限が高い（より多くの修正/フック）ですが、下限が低い（品質の問題）です。
- ・ システムBは境界が厳密で（予測可能）最低レートが高い（信頼性があります）。
- ・ システムBの $L_{\min} \approx L_{\max}$ は、最適に近い状態で動作していることを示しています。

システムBは、より予測可能な学習と、修正が少ないにもかかわらず保証された最低レートが高いため、好ましい可能性があります。

制限と拡張

1. 時間変動パラメータ

境界はパラメータ $C(t)$ 、 $H(t)$ 、 $S(t)$ 、 $\sigma^2(t)$ が既知であると仮定しています。実際にはそれらは進化します：

- ・ $C(t)$ は通常、システムが改善されるにつれて減少します（修正するエラーが少なくなります）。
- ・ $H(t)$ は集中的な学習中に急増し、その後安定する可能性があります。

- $S(t)$ は一般的に増加します（学習が質を向上させる）

より洗練された分析は、これらの動態を明示的に追跡します。

2. フックの非独立性

証明はフックが独立して改善されると仮定しています。実際には、フックは相互作用します：

- 構成フックに依存する合成フック
- フックはコンテキストの特徴を共有します
- 1つのフックの改善は他のフックに利益をもたらすことがあります

依存関係は、転移学習効果を通じて学習を上限を超えて加速する可能性があります。

3. コンテキスト分布のシフト

境界は定常的なコンテキスト分布を仮定します。ユーザーの行動が大きく変わると：

$$P(C|t) \neq P(C|t + \Delta t)$$

システムは再学習が必要になる場合があり、その際には学習率が一時的に L_{\min} 未満に低下することがあります。

4. 計算制約

実際のシステムは計算リソースに制約があります。フック評価や学習アルゴリズムが修正/生成速度に追いつかない場

合、実際の学習率は理論的な下限を下回る可能性があります。

5. マルチユーザーシステム

共有フックシステムでは、知識のプールを通じて集合的な学習が個々の限界を超えることがあります。ここでの限界は単一ユーザーシステムに適用され、マルチユーザーの拡張には知識の移転を考慮する必要があります。

結論

学習率の限界は、定理1の質的収束保証を、システム設計やユーザー期待管理に役立つ定量的予測に変換します。学習率の計算可能な上限と下限を確立することで、この補題は以下を可能にします：

- パフォーマンス予測：自動化のマイルストーンに到達するまでの時間を推定する
- ボトルネック診断：学習が情報（修正/フック）によって制限されているか、質（成功スコア/分散）によって制限されているかを特定する
- 最適化戦略：最大の学習加速のためにリソースを投資する場所を選択する
- 比較評価：異なる知識フックシステムを厳密に比較する

境界は基本的なトレードオフを明らかにします：迅速な学習は高い修正頻度（ユーザーの努力）または高いフック作成率（システムの複雑さ）を必要としますが、その投資のコストとバランスを取る必要があります。下限の分散ペナルティは、一貫した品質が平均的な品質と同じくらい重要であることを強調しています。均一に良いフックを持つシステムは、パフォーマンスが混在するシステムよりも早く学習します。

最も重要なのは、これらの境界が単なる理論的構造ではないということです。修正、フック作成、成功スコアを追跡することで、実際のシステムで測定できます。この測定可能性は、補題を実行可能にします：システムオペレーターはこれらの指標を監視し、現在の境界を計算し、改善努力の焦点をどこに置くかについてデータに基づいた意思決定を行うことができます。学習率の境界は、数学的証明と実用的なエンジニアリングのギャップを埋めます。

4.1.6 補題6：成功スコアの単調性

声明：任意の知識フックについて、その成功スコアは学習プロセスの下で時間とともに単調非減少です。修正は成功スコアを改善するか、変わらないままでですが、期待値としては決して減少しません。

正式な声明

$S_i(t)$ を時刻 t におけるフック KH_i の成功スコアとします。時刻 t に KH_i を含む任意の修正イベントの後、時刻 $t + \Delta t$ における期待される成功スコアは次の条件を満たします：

$$\mathbb{E}[S_i(t + \Delta t) \mid S_i(t)] \geq S_i(t)$$

一般的には、任意の時刻 $t_2 > t_1$ について：

$$\mathbb{E}[S_i(t_2)] \geq S_i(t_1)$$

システム全体の平均成功スコア $\bar{S}(t) = \frac{1}{|\mathcal{H}|} \sum_i S_i(t)$ について：

$$\frac{d\bar{S}}{dt} \geq 0$$

修正が発生するたびに厳密な不等号が成り立ちます：
 $\frac{d\bar{S}}{dt} > 0$ は $C(t) > 0$ のとき。

直感的な説明

成功スコアの単調性は学習の基本的な特性を捉えています：修正を通じて学習を取り消すことはできません。ユーザーがフックを修正するたびに、システムは次のいずれかの情報を得ます：

- フックを改善します：条件を洗練し、アクションを調整し、フックをより信頼性の高いものにするためにパラメータを更新します。
- フックを変更しない：修正が新しい情報を提供しない場合、またはその文脈でフックがすでに最適な場合

しかし、修正はフックを悪化させることはありません。これは明白に思えるかもしれません、重要な保証です：ユーザーは、修正が助けになるだけで、害を及ぼすことはないと安全に知って提供できます。これはラチェット機構のようなもので、一方向にのみ進展します。

料理を教えるようなものだと思ってください：各フィードバック ("塩をもっと加えてください"、"もっと長く調理してください") は彼らを上達させるか、スキルを維持しますが、すでに知っていることを忘れさせることはありません。成功スコアは習得に向けて単調に増加します。

証明

パート1：単一フックの単調性

成功スコア $S_i(t)$ が時間 t のフック KH_i を考えてみましょう。成功スコアは正しい実行の確率を表します：

$$S_i(t) = P(\text{hook succeeds} \mid \text{conditions satisfied, knowledge at time } t)$$

時間 t に修正が発生すると、フックを更新する情報 I が提供されます。定理5（学習法則）によれば、この情報はフックを改善するために組み込まれます。更新された成功スコアは：

$$S_i(t + \Delta t) = P(\text{success} \mid \text{knowledge at } t, \text{new info } I)$$

重要な洞察：新しい情報 I は、学習アルゴリズムがベイズ更新または正の学習率で勾配降下を実装しているため、常に役立ちます。これをベイズ更新について証明しましょう：

θ をフックのパラメータ（条件、アクション、重み）とします。修正後の事後分布は：

$$P(\theta \mid I, \text{past data}) = \frac{P(I \mid \theta)P(\theta \mid \text{past data})}{P(I)}$$

新しい成功確率は：

$$S_i(t + \Delta t) = \int P(\text{success} \mid \theta)P(\theta \mid I, \text{past data}) d\theta$$

ベイズ更新がデータをよりよく説明するパラメータ値に確率質量を移動させ、修正はフックが失敗したり調整が必要なときにのみ発生するため、更新は θ を成功確率が高い値に向けて移動させます。したがって：

$$\mathbb{E}[S_i(t + \Delta t)] \geq S_i(t)$$

パート2：ネガティブ学習なし

修正が新しい情報の学習によって古い知識が劣化する「壊滅的忘却」を引き起こさないことを確認する必要があります。Knowledge Hook学習アルゴリズムは、これを次のように防ぎます：

メカニズム1：加法的更新

修正は条件を置き換えるのではなく、新しい条件を追加するか、既存の条件を洗練します。フックが文脈 C_1 で機能し、文脈 C_2 で修正が発生した場合、更新は次のようにになります：

$$R_{\text{new}} = R_{\text{old}} \vee (C_2 \wedge \text{correction})$$

これにより、 C_1 での成功が維持され、 C_2 でのパフォーマンスが向上します。

メカニズム2：保守的更新

学習率は、更新がオーバーシュートしないように保守的に選択されます：

$$\eta < \eta_{\max} = \frac{2}{\lambda_{\max}(H)}$$

H は損失関数のヘッセ行列です。これにより、振動なしに収束が保証されます。

メカニズム3：正則化

学習には、現在のパラメータからの大きな変化にペナルティを与える正則化項が含まれます：

$$\mathcal{L}_{\text{total}} = \mathcal{L}_{\text{correction}} + \lambda \|\theta - \theta_0\|^2$$

これにより、更新が測定され、行動が大幅に変わらないことが保証されます。

第3部：システム全体の単調性

すべてのフックに対する平均成功スコアについて：

$$\bar{S}(t) = \frac{1}{|\mathcal{H}(t)|} \sum_{i=1}^{|\mathcal{H}(t)|} S_i(t)$$

時間微分を取る：

$$\frac{d\bar{S}}{dt} = \frac{1}{|\mathcal{H}|} \sum_i \frac{dS_i}{dt} + \frac{d|\mathcal{H}|/dt}{|\mathcal{H}|^2} \left(\sum_i S_i \right)$$

最初の項は第1部によって非負です（個々のフックが改善される）。2番目の項については、新しいフックが率 $H(t) = d|\mathcal{H}|/dt > 0$ で作成されるとき：

- 新しいフックが初期成功スコア $S_{\text{init}} < \bar{S}$ を持つ場合、この項は負です。
- しかし、新しいフックは学習を通じて迅速に改善されるため、一時的な減少は改善によって十分に補償されます。

実際には、新しいフックは高い初期成功を持って作成されることが多い（テンプレートからコピーされ、成功したフックから構成される）、したがって $S_{\text{init}} \approx \bar{S}$ と2番目の項はほぼゼロです。

したがって、全体のシステム成功スコアは単調に非減少です。□

定理との関連

この補題は定理5（学習法）から直接導かれます：

- 定理5は、修正が新しい情報を取り入れることでフックを改善することを述べています。
- この補題は、「改善」の定量的な意味を形式化します—成功スコアが増加します。

また、定理1（収束法則）を支持します：

- ゼロ入力への収束には、フックがますます信頼できるようになる必要があります。
- 単調に増加する成功スコアが、この信頼性の成長のメカニズムを提供します。

そして、定理2（最適性法則）に関連します：

- 成功スコアが改善されるにつれて、最適なフックは手動の代替手段に対してさらに最適になります。
- 自動化されたアプローチと手動アプローチのギャップは時間とともに広がります。

実用的な影響

1. 修正に対するユーザーの信頼

単調性は、ユーザーが物事を悪化させることを恐れずに自由に修正を提供できることを保証します。これは心理的に重要です：

- ユーザーは修正に対して「慎重」である必要はありません
- どんなフィードバックも役立ちます；より多くのフィードバックがより多くの助けになります
- システムは「ノイジー」な修正に対して堅牢です

これは修正の自由な使用を奨励し、学習を加速させます。

2. 進捗追跡

単調性により、意味のある進捗の可視化が可能になります。ユーザーにシステムの改善を示すために、時間の経過に伴う成功スコアをプロットします：

$$\text{Progress} = \frac{\bar{S}(t) - \bar{S}(0)}{1 - \bar{S}(0)}$$

この指標は0（改善なし）から1（完全な信頼性）までの範囲で、非減少が保証されています。

3. 品質保証

成功スコアが減少する場合、それは学習システムのバグを示します：

if $S_i(t_2) < S_i(t_1)$ for $t_2 > t_1 \implies$ system malfunction

成功スコアを健康チェックとして監視します。スコアの減少はアラートと調査を引き起こします。

4. 学習の停滞検出

成功スコアが増加を止めると、システムは学習の停滞に達したことになります：

$$\frac{d\bar{S}}{dt} \approx 0 \implies \text{plateau reached}$$

これは次のいずれかを示しています：

- 成功：フックはほぼ完璧です ($\bar{S} \approx 1$)、これ以上の改善は不可能です
- 情報のボトルネック：より多様な修正やコンテキストが必要です
- 容量の限界：フックは表現の限界に達しており、より表現力のある形式が必要です

5. 比較システム評価

成功スコアの軌跡によって学習システムを比較します：

$$\text{System A better than B} \iff \forall t : S_A(t) \geq S_B(t)$$

成功スコアは単調であるため、先行して優位性を維持するシステムは明確に優れています。

6. 最小限の実行可能な品質基準

フックのアクティベーションのための最小成功スコアのしきい値を設定します：

$$\text{enable}(KH_i) \iff S_i \geq S_{\min}$$

成功スコアは増加するだけなので、フックがしきい値を超えると有効のままになります。これにより、一方向のバルブが作成されます：フックは「学習」から「生産」に移動しますが、逆には戻りません。

7. 転送学習の検証

ユーザーやコンテキスト間でフックを転送する際、単調性が健全性チェックを提供します：

if $S_{\text{after_transfer}} < S_{\text{before_transfer}}$ \implies poor context match

成功スコアは新しい環境に移動するだけで減少するべきではありません（ただし、増加する速度が遅くなることはあります）。

例

例1：メールトリアージフックの進化

プロモーションメールを自動的にアーカイブするフック。
30日間の成功スコアの進化：

$S(0) = 0.65$ (initial template)

3日目：ユーザーが誤ってアーカイブされた5通のメールを修正します（店舗からの重要なメッセージ）

$S(3) = 0.72$ (learned to exclude order confirmations)

7日目：ユーザーがさらに3件のケースを修正します（保存したいニュースレター）

$S(7) = 0.81$ (added whitelist for specific senders)

15日目：ユーザーが1件のエッジケースを修正します（重要なクーポン付きのプロモーションメール）

$$S(15) = 0.89 \quad (\text{refined keyword detection})$$

30日目：先週の修正はなし

$$\bar{S}(30) = 0.94 \quad (\text{continued learning from observation})$$

軌道は厳密な単調性を示しています：
 $0.65 \rightarrow 0.72 \rightarrow 0.81 \rightarrow 0.89 \rightarrow 0.94$
。各修正イベントは改善をもたらします。システムは決して悪化しません。

例2：スマートサーモスタッフフック

フックは時間と占有状況に基づいて温度を調整します。成功スコアの進化：

第1週：初期のルールベースのシステム

$$\bar{S}(1) = 0.70 \quad (10 \text{ manual overrides per week})$$

第2週：日々のスケジュールパターンを学習

$$\bar{S}(2) = 0.78 \quad (7 \text{ overrides})$$

第4週：天気予報を組み込み

$$\bar{S}(4) = 0.85 \quad (4 \text{ overrides})$$

第8週：週末と平日の違いを学習

$$\bar{S}(8) = 0.92 \quad (2 \text{ overrides})$$

第12週：季節的な好みを学習

$$\bar{S}(12) = 0.96 \quad (\text{1 override per 2 weeks})$$

再び、厳密な単調改善。フックはますます信頼性が高まり、時間の経過とともに修正が少なくて済むようになります。

例3：システム全体の学習曲線

50のフックを持つ個人用自動化システム。平均成功スコアの軌跡：

$$\bar{S}(\text{day 1}) = 0.60, \quad \bar{S}(\text{week 1}) = 0.68$$

$$\bar{S}(\text{month 1}) = 0.78, \quad \bar{S}(\text{month 3}) = 0.87$$

$$\bar{S}(\text{month 6}) = 0.93, \quad \bar{S}(\text{month 12}) = 0.97$$

改善率（有限差分を使用）：

$$\left. \frac{\Delta \bar{S}}{\Delta t} \right|_{\text{month 1}} = \frac{0.78 - 0.60}{30} = 0.006/\text{day}$$

$$\left. \frac{\Delta \bar{S}}{\Delta t} \right|_{\text{month 6}} = \frac{0.93 - 0.87}{90} = 0.0007/\text{day}$$

注意すべきは、 \bar{S} が単調に増加している一方で、成功スコアが 1 に近づくにつれて増加率が鈍化することです（収穫遞減）。これは予想されることであり、初期の学習は大きな改善をもたらし、後の改善はより漸進的です。

制限事項と注意点

1. 確率的変動

単調性の保証は期待値において成り立ちます：
 $\mathbb{E}[S(t+1)] \geq S(t)$ 。個々の測定は以下の理由で変動する可能性があります：

- 成功率推定におけるサンプルサイズの小ささ
- コンテキスト分布の変動
- 環境ノイズ

短期的な減少は定理に違反しません；持続的な傾向のみが重要です。

2. コンテキストドリフト

ユーザーの行動や環境が大きく変化すると、成功スコアが低下する可能性があります：

if $P(C|t_2) \neq P(C|t_1) \implies S(t_2)$ may be $< S(t_1)$

これは単調性を違反するものではありません。定理は定常的なコンテキスト分布を仮定しています。コンテキストがドリフトすると、新しいコンテキストで測定された成功スコアは低くなる可能性がありますが、元のコンテキストでのスコアは非減少のままです。

3. 極端なケースにおける壊滅的な忘却

学習システムが有限のメモリを使用し、深刻な概念ドリフトを経験すると、古い知識が上書きされる可能性があります：

- 冬のコンテキストで学習したフックは夏に劣化する可能性があります
- 古いホームセットアップで訓練されたフックは引っ越し後に失敗する可能性があります

適切なシステム設計は、コンテキストに応じた学習と、真に時代遅れの知識のみを削除する選択的な忘却を通じてこれを軽減します。

4. 敵対的修正

定理は、修正がシステムを改善するための誠実な試みであると仮定しています。敵対的または矛盾する修正は理論的には成功スコアを低下させる可能性があります：

- ユーザーが一貫性のないフィードバックを提供する
- 悪意のある行為者がシステムを破壊しようとする

外れ値検出を備えた堅牢な学習アルゴリズムがこれを防ぎます。

5. 測定バイアス

測定方法が変更されると、成功スコアが減少しているように見えることがあります：

- より厳格な成功基準が採用される
- 評価の文脈がより困難になる
- ユーザーの期待が高まる（「動くゴールポスト」）

真の単調性は、進化する基準ではなく、固定された成功基準を指します。

6. 計算近似

実際の実装では、近似学習アルゴリズム（切り捨て勾配、有限精度、近似推論）を使用します。これらの近似は時折、小さな負の更新を生じることがあります。適切に調整されたシステムは、これらの影響を無視できる程度に保ちます。

結論

成功スコアの単調性は、Knowledge Hookシステムに対する基本的な保証を提供します：学習は物事を良くし、悪化させません。この一見単純な特性は深い意味を持っています：

- 信頼性：ユーザーは修正を自信を持って提供でき、その修正が役立つことを知っています。
- 予測可能性：システムの品質は改善または安定することが保証され、決して後退しません。
- 測定可能性：成功スコアの軌跡は学習の進捗に対する客観的な指標を提供します。
- 堅牢性：システムは不完全な修正に対して弾力性があり、ノイズの多いフィードバックでさえ役立ちます。

この補題は、学習を不透明なプロセスから透明で測定可能かつ信頼できるメカニズムに変換します。ユーザーは、進捗が本物で永続的であるという数学的な確実性を持って、リアルタイムでシステムの改善を観察できます。成功スコアは、自動化の品質を定量化するための普遍的な通貨となり、異なるシステム、文脈、時間帯で比較可能です。

最も重要なのは、単調性が複合学習効果を可能にすることです。各修正は以前のものに基づいて構築され、常に改善される基盤を作ります。更新がパフォーマンスを後退させる可能性のあるシステムとは異なり、Knowledge Hookシステムは知識を不可逆的に蓄積します。この特性は長期的な自律性にとって不可欠です：自発的に信頼性が低下する可能性のあるシステムは、重要なタスクを任せられることは決してありません。単調性は、学習を通じて得られた信頼が時間と共に維持され、強化されることを保証します。

4.1.7 コンテキストカバレッジの完全性

コンテキストカバレッジ完全性の補題は、十分な時間とユーザーの相互作用があれば、Knowledge Hookシステムは

最終的に頻繁に遭遇するすべてのコンテキストをカバーするフックを開発することを確立します。これは、ユーザーが定期的に経験する状況に対して、システムが自動的に対処できるようになることを意味します。重要なコンテキストが永久に未カバーのまま残ることはなく、システムはユーザーが直面するほぼすべてのシナリオに対処できるまで徐々に完全になります。

補題の声明

補題7（コンテキストカバレッジの完全性）： \mathcal{C} をすべての可能なコンテキストの空間とし、 $P(\mathcal{C})$ をユーザーが遭遇するコンテキストに対する確率分布とします。 $\mathcal{H}(t)$ を時刻 t におけるシステム内のフックの集合とし、時刻 t におけるカバレッジセットを次のように定義します：

$$\text{Cov}(t) = \{C \in \mathcal{C} : \exists KH \in \mathcal{H}(t) \text{ such that } R(KH, C) = \text{true}\}$$

$\text{Cov}(t)$ は、少なくとも1つのフックの条件が満たされるすべてのコンテキストを含むということです。次に、任意の閾値 $\epsilon > 0$ に対して、次のような時刻 T が存在します：

$$\forall t > T : P(\text{Cov}(t)) \geq 1 - \epsilon$$

言い換えれば、システムは最終的に確率質量の $(1 - \epsilon)$ 分の1をカバーします。 $t \rightarrow \infty$ として、カバレッジは完全性に近づきます：

$$\lim_{t \rightarrow \infty} P(\text{Cov}(t)) = 1$$

強い形式（均一カバレッジ）： $P(C) > 0$ が少なくとも n_{\min} 回現れる任意のコンテキスト C に対して、システムは C をカバーするフックまたは C のスーパーセットを作成し、 $t \rightarrow \infty$ として確率1に近づきます。

直感的な説明

コンテキストカバレッジの完全性は、あなたが定期的に直面するすべての状況が最終的に自動的に処理されることを示しています。システムは既存のフックを最適化するだけでなく、カバレッジのギャップを積極的に発見し、それを埋めます。

運転を学ぶことに例えてみてください。最初は、すべてのシナリオに対して明示的な指示が必要です：「ここで左に曲がる」、「この標識でブレーキをかける」、「そのレーンに合流する」。しかし、経験を積むことで、すべての一般的な状況に対する自動的な反応を発展させます。最終的には、意識的な思考なしにほとんどのルートを運転できるようになります-あなたの行動レパートリーは、遭遇するコンテキストに対してカバレッジの完全性を達成しています。ナレッジフックシステムも同じように機能します：繰り返しの露出と学習を通じて、すべての頻繁なコンテキストに対する自動ハンドラーを開発します。

なぜこれが重要なのか：ユーザーは自動化が役立つすべての状況を手動で列挙する必要はありません。システムは使用を通じて有機的にそれらの状況を発見します。もしもあなたが家を出る前に天気を頻繁に確認するなら、システムは最終的にそのコンテキストのためのフックを作成します。もしもあなたが日没時にしばしばライトをつけるなら、フックが現れます。カバレッジは自動的にあなたの実際の行動パターンに合わせて成長します。

証明

パート1：カバレッジ成長メカニズム

新しいフックは2つのメカニズムを通じて作成されます：

メカニズムA（手動作成）：ユーザーは繰り返しのあるコンテキストのために明示的にフックを作成します。

メカニズムB（学習された創造）：定理5（学習法）によれば、ユーザーが類似のコンテキストで同じアクションを繰り返し実行すると、システムはパターンを検出し、新しいフックを提案します。受け入れられた場合、このフックは以前にカバーされていなかったコンテキストをカバーします。

$\lambda(C)$ を、コンテキスト C をカバーする新しいフックが作成される割合とします。頻繁に遭遇するコンテキストの場合：

$$\lambda(C) \geq \alpha \cdot P(C)$$

$\alpha > 0$ は学習率パラメータです。一般的なコンテキストは、フックの作成をより早くします。

第2部：確率質量の蓄積

$p(t) = P(\text{Cov}(t))$ を、時刻 t にカバーされる確率質量とします。カバレッジの変化率は：

$$\frac{dp}{dt} = \int_{C \notin \text{Cov}(t)} \lambda(C) dP(C)$$

この積分は、新しく作成されたフックによって新しい確率質量がカバーされる割合を表します。未カバーのコンテキストに対して $\lambda(C) \geq \alpha \cdot P(C)$:

$$\frac{dp}{dt} \geq \alpha \int_{C \notin \text{Cov}(t)} P(C) dP(C) = \alpha \cdot (1 - p(t))$$

これは解を持つ微分不等式です：

$$p(t) \geq 1 - (1 - p(0))e^{-\alpha t}$$

第3部：漸近的完全性

$t \rightarrow \infty$ として極限を取ります：

$$\lim_{t \rightarrow \infty} p(t) \geq \lim_{t \rightarrow \infty} [1 - (1 - p(0))e^{-\alpha t}] = 1$$

$p(t) \leq 1$ は定義により、次のようにになります：

$$\lim_{t \rightarrow \infty} P(\text{Cov}(t)) = 1$$

第4部：収束率

任意のターゲットカバレッジ $1 - \epsilon$ に対して、必要な時間を解決します：

$$1 - (1 - p(0))e^{-\alpha T} = 1 - \epsilon$$

$$e^{-\alpha T} = \frac{\epsilon}{1 - p(0)}$$

$$T = \frac{1}{\alpha} \ln \left(\frac{1 - p(0)}{\epsilon} \right)$$

これは $(1 - \epsilon)$ -カバレッジを達成するのにかかる時間の明示的な上限を示します。 \square

定理との関連

この補題は複数の定理に基づいています：

定理1（収束法則）から：システムがゼロ入力に収束するにつれて、自動的にますます多くのコンテキストをカバーする必要があります。カバレッジの完全性は、時間的収束の空間的/文脈的な現れです。

定理4（分割法則）から：フック空間の同値類への分割は、カバレッジ分析の構造を提供します。異なるフックは異なるコンテキスト領域をカバーし、一緒にコンテキスト空間を分割します。

定理5（学習法則）から：カバレッジが成長するメカニズム。学習は、カバーされていないコンテキストの観察されたパターンによって駆動され、カバレッジのギャップを埋める新しいフックを作成します。

実用的な影響

1. 手動列挙は不要

ユーザーは自動化が役立つすべての状況を予測して事前にプログラムする必要はありません。システムはこれらの状況を有機的に発見します：

- 普通に生活する
- システムは繰り返しのパターンを観察します
- フックは一般的なコンテキストに対して自動的に出現します

これは、すべてのシナリオを明示的にプログラミングする必要がある従来の自動化とは根本的に異なります。

2. システムの健康のためのカバレッジトリクス

時間の経過に伴うカバレッジを追跡することでシステムの成熟度を測定します：

$$\text{Maturity}(t) = P(\text{Cov}(t))$$

成熟したシステムは $\text{Maturity} \approx 1$ を持ち、ほぼすべてのコンテキストがカバーされています。これは、ユーザーの生活が「どれだけ自動化されているか」を定量的に示す指標を提供します。

3. ギャップ検出と優先順位付け

影響の大きいカバレッジギャップを特定します：

$$\text{Gap_Value}(C) = P(C) \cdot \mathbb{1}[C \notin \text{Cov}(t)] \cdot |A(C)|$$

これは、未カバーのコンテキストに対して（頻度） \times （アクション数）でスコアを付けます。高スコアのギャップは、重要な自動化の機会を表します。システムは次のように提案できます：「あなたはコンテキスト C で頻繁に X を行います

が、それに対するフックはありません。作成しましょうか？」

4. カバレッジの視覚化

ユーザーに次のことを示すカバレッジマップを提供します：

- 緑の領域：複数の信頼できるフックで十分にカバーされたコンテキスト
- 黄色の領域：部分的にカバーされたコンテキスト（成功スコアが低い）
- 赤の領域：繰り返し手動操作が必要な未カバーのコンテキスト

これにより、ユーザーは自動化が機能している場所と、機会が残っている場所を理解できます。

5. 収束時間の推定

証明の第4部の公式を使用して、ターゲットカバレッジに到達するまでの時間を推定します：

$$T_{95\%} = \frac{1}{\alpha} \ln(20)$$

典型的な学習率 $\alpha = 0.1$ (単位時間あたりの未カバーの質量の10%が追加される) に対して：

$$T_{95\%} = 10 \ln(20) \approx 30 \text{ time units}$$

時間単位が1日である場合、95%のカバレッジには約1ヶ月かかります。これは現実的なユーザーの期待を設定します。

6. 転移学習の加速

新しいユーザーは、類似のユーザーからフックをインポートすることでカバレッジを加速できます：

$$p(0) = p_{\text{imported}} > 0$$

これはゼロ以外のベースラインから始まる「ブートストラップ」カバレッジです。 $p_{\text{imported}} = 0.6$ の場合、収束時間は大幅に短縮されます：

$$T = \frac{1}{\alpha} \ln \left(\frac{0.4}{\epsilon} \right) < \frac{1}{\alpha} \ln \left(\frac{1}{\epsilon} \right)$$

例

例1：スマートホームカバレッジの進化

新しいスマートホームユーザーの6ヶ月間のカバレッジを追跡します：

第1週： $p(1) = 0.15$ (手動で作成されたフック
3つ：朝のライト、夕方のサーモスタート、就寝時のライト)

第4週： $p(4) = 0.42$ (システムは新たに7つの
フックを学習しました：アラームが鳴ったときのコーヒー、
料理中の音楽、外出時のライトオフなど)

第12週: $p(12) = 0.73$ (合計17のフックで、ほとんどの日常ルーチンをカバー)

第24週: $p(24) = 0.91$ (28のフックで、珍しい/稀なコンテキストのみが未カバーのまま)

完全性への指指数関数的アプローチが見えます: 初期の急成長、その後は珍しいコンテキストのみが残るにつれて遅くなります。

例2: ギャップ検出の実際

システムが高価値のカバレッジギャップを特定します:

コンテキスト: [土曜日の朝、自宅、カレンダーイベントなし]

観察されたパターン: ユーザーが手動でコーヒーメーカーを起動し、ブラインドを開け、天気を確認し、音楽を再生する (4つのアクション)

頻度: 52回中48回の土曜日 (92%)

ギャップスコア: $0.92 \times 4 = 3.68$

システムが提案: "毎週土曜日の朝にこれらの4つのことを行っていることに気付きました。'怠惰な土曜日' フックを作成しますか?"

作成後:

- カバレッジが増加: $p(t) \rightarrow p(t) + 0.92/52 \approx p(t) + 0.018$
- この高頻度のコンテキストのギャップが解消されました

例3: カバレッジの視覚化

カバレッジヒートマップは次のように表示されるかもしれません：

朝（6-9時）：

- 平日： 95% カバー（緑） - 確固たる朝のルーチンフック
- 週末： 60% カバー（黄） - 一部の変動、部分的なカバー

勤務時間（9時-17時）：

- オフィスの場所： 85% カバー（緑）
- リモートワーク： 40% カバー（赤） - 新しいパートナー、フックが少ない

夕方（17時-22時）：

- 料理： 70% カバー（黄）
- エンターテインメント： 50% カバー（黄/赤）

夜（22時-6時）：

- 就寝ルーチン： 90% カバー済み（緑）

このビジュアルは、自動化の機会がどこに存在するかを即座に明らかにします（リモートワーク、エンターテインメント）。

制限事項と注意点

1. ロングテール分布

コンテキスト分布に重い尾がある場合（多くの希少なコンテキスト）、100% のカバレッジを達成することは実用的でないかもしれません：

$$P(C) \sim C^{-\gamma} \text{ with } \gamma \leq 1$$

最後の数パーセントのカバレッジには、指数的に多くのフックが必要になる可能性があります。実用的なシステムは90–95% のカバレッジを目指し、本当に希少なコンテキストは手動で処理されることを受け入れます。

2. 非定常分布

この証明は、定常的なコンテキスト分布 $P(C)$ を前提としています。ユーザーの行動が大きく変わる場合：

- 新しい仕事 → 新しいオフィスのコンテキスト
- 新しい家に引っ越す → 新しい物理的空間
- ライフスタイルの変化 → 異なるルーチン

カバレッジは、古いフックが無関係になり新しいコンテキストが出現するにつれて、一時的に低下する可能性があります。システムは再学習する必要がありますが、通常は類似のコンテキストからの転送により、より早くなります。

3. コンテキストの粒度

カバレッジは、コンテキストがどれだけ細かく定義されているかに依存します。粗い粒度（「朝」と「夕方」）では、カバレッジは高く見えます。細かい粒度（「火曜日7:23am、雨、空腹」）では、カバレッジは低くなります。補題は粒度を指定していません—これはシステム設計の選択です。

4. ユーザー受け入れゲート

証明は、システムが新しいフックを提案したときに、ユーザーがそれを受け入れることを前提としています。ユーザーが提案を頻繁に拒否する場合：

$$\lambda_{\text{effective}}(C) = \lambda(C) \cdot P(\text{accept})$$

カバレッジの成長は比例して遅くなります。高品質の提案（正確なパターン検出、良好なUX）は、実用的な完全性に不可欠です。

5. 無限のコンテキスト空間

もし \mathcal{C} が無限次元または連續であれば、「すべてのコンテキストをカバーする」は未定義です。補題は、離散化されたまたは有限次元のコンテキスト空間に適用されるか、 $P(C)$ のサポートをカバーするものとして解釈されなければなりません（非ゼロ確率質量を持つコンテキスト）。

6. 計算制約

フックを作成し評価するには計算コストがかかります。システムが非常に大きくなると（数千のフック）、評価時間は増加します：

$$t_{\text{eval}} = O(|\mathcal{H}| \cdot |\text{features}|)$$

これは実際のカバレッジを制限する可能性があります。システムは高頻度のコンテキストを優先し、評価を扱いやすくするために非常にまれなものを無視するかもしれません。

結論

コンテキストカバレッジの完全性は強力な保証を提供します。一般的に遭遇する状況は常に手動で残されることはありません。システムはカバレッジのギャップを積極的に発見し、学習を通じてそれを埋めます。これにより、ユーザーエクスペリエンスは「すべてのシナリオをプログラミングする」から「自動化が出現する中で自然に生活する」へと変わります。

その帰結にはいくつかの深い意味があります：

- 限定された学習時間：高いカバレッジに到達するための明確なタイムラインがあります（通常は数週間から数ヶ月）
- 測定可能な進捗：カバレッジは測定および追跡可能であり、透明性を提供します。
- 戦略的ギャップ埋め：システムは最も影響力のある未カバーのコンテキストを特定し、優先することができます。
- 知識の移転：ユーザー間でフックを共有することで、新規ユーザーのカバレッジが加速します。

最も重要なのは、カバレッジの完全性がゼロ入力の理想（定理1）が理論的に達成可能であるだけでなく、実際に実現可能であることを意味することです。カバレッジが1に近づくにつれて、手動介入を必要とするコンテキストの割合は0に近づきます。システムは既存の自動化を最適化するだけでなく、基本的にすべてのルーチンが自動的に処理されるまで自動化のフロンティアを積極的に拡大します。

これは、Knowledge Hookシステムが本当に「あなたになることを学ぶ」ことができるという主張の数学的基盤です。単にいくつかの事前プログラムされた動作を模倣するのではなく、あなたの実際の行動の風景の包括的なカバレッジを発展させることができます。カバレッジの完全性は、有用なツールをあなた自身の真の拡張に変え、あなたが一般的に直面するどんな状況でも適切に行動できる能力を持つことを可能にします。

4.1.8 重みの剪定収束

ウェイトプルーニング収束の補題は、低パフォーマンスのフックを体系的に削除することによって、ナレッジフックシステムが高品質のフックのみを含む安定した最小セットに収束することを確立します。これにより、システムは時代遅れ

の冗長なフックやパフォーマンスの悪いフックを無限に蓄積することを防ぎます。プルーニングプロセスは、パフォーマンスを損なうフックを削除する必要があり（必要性）、最終的にさらなるプルーニングが有益でない安定した構成に到達する（収束性）ものです。

補題の声明

補題8（ウェイトプルーニング収束）： $\mathcal{H}(t)$ を時刻 t におけるフックの集合とし、閾値 S_{\min} 未満の成功スコアを持つフックを削除するプルーニング操作 Π を定義します：

$$\Pi(\mathcal{H}) = \{KH \in \mathcal{H} : S(KH) \geq S_{\min}\}$$

プルーニングイベントの間に学習を続けながら、時刻 t_1, t_2, \dots に定期的にプルーニングを適用します。次に：

a) 有限収束：さらなるプルーニングが行われない有限の時間 T が存在します：

$$\exists T : \forall t > T, \quad \Pi(\mathcal{H}(t)) = \mathcal{H}(t)$$

すなわち、残りのすべてのフックは閾値を上回る成功スコアを持っています。

b) 単調減少：フックの数は収束するまでプルーニングイベントを通じて単調に減少します：

$$|\mathcal{H}(t_{i+1})| \leq |\mathcal{H}(t_i)|$$

c) 品質下限：収束後、すべてのフックは品質基準を満たします：

$$\forall KH \in \mathcal{H}(\infty) : S(KH) \geq S_{\min}$$

d) パフォーマンス保証：残りのフックの平均成功スコアは下限で制約されます：

$$\bar{S}(\infty) \geq S_{\min} + \frac{\alpha}{|\mathcal{H}(\infty)|}$$

ここで $\alpha > 0$ は、最小閾値を超える学習の改善を反映しています。

直感的な説明

ウェイトプルーニング収束は、悪いフックは最終的に削除され、削除プロセスは最終的に停止することを示しています。システムは蓄積された無駄で無限に成長することはなく、フックの追加と削除の間で永遠に振動することもありません。代わりに、システムはスリムで高品質なセットに収束します。

ツールボックスを維持することを考えてみてください。時間が経つにつれて、多くのツールを手に入れますが、中には信頼性がないものや冗長なものもあります。定期的にツールボックスを掃除し、使わないツールや常に失敗するツールを捨てます。最終的には、実際に必要な信頼できるツールの安定したセットに達します。残ったものが正確に機能するものなので、ツールを追加したり削除したりすることはありません。Knowledge Hookシステムは、剪定を通じて同様に動作します。

なぜこれが重要なのか：剪定がなければ、システムは「無駄な重荷」を蓄積します。過去に作成されたフックで、もはや機能しないものや、より良い代替品に取って代わられたものです。この無駄な重荷はフックの評価を遅くし（チェック

するフックが増える）、パフォーマンスに悪影響を及ぼすことがあります（低品質のフックが誤って発動する）。剪定はシステムがスリムで効率的であることを保証します。

証明

第1部：成功スコアの単調性の特性

補題6（成功スコアの単調性）によれば、システムに残るすべてのフックについて：

$$\frac{dS(KH)}{dt} \geq 0$$

成功スコアは学習を通じて非減少です。これは次のことを意味します：

- フックが $S \geq S_{\min}$ に達すると、その閾値を下回ることは決してありません。
- 閾値未満のフックは、改善するか、同じままであることしかできません。

第2部：3つのカテゴリに分割

いつでも t 、フックを3つのセットに分割します：

安全なフック \mathcal{S} : $S(KH) \geq S_{\min} + \delta$
のためのいくつかのマージン $\delta > 0$

$$\mathcal{S}(t) = \{KH \in \mathcal{H}(t) : S(KH) \geq S_{\min} + \delta\}$$

マ - ジ ナ ル フ ッ ク \mathcal{M} :
 $S_{\min} \leq S(KH) < S_{\min} + \delta$

$\mathcal{M}(t) = \{KH \in \mathcal{H}(t) : S_{\min} \leq S(KH) < S_{\min} + \delta\}$

プ ル - ニ ン グ 可 能 な フ ッ ク \mathcal{P} :
 $S(KH) < S_{\min}$

$\mathcal{P}(t) = \{KH \in \mathcal{H}(t) : S(KH) < S_{\min}\}$

パート3: カテゴリ間のフロー

成功スコアの単調性のため:

- フックは $\mathcal{P} \rightarrow \mathcal{M} \rightarrow \mathcal{S}$ に移動できます
(改善)
 - フックは決して後方に移動しません ($\mathcal{S} \not\rightarrow \mathcal{M}$
または $\mathcal{M} \not\rightarrow \mathcal{P}$)
 - \mathcal{P} のフックはプルーニングによって削除されます

これにより、一方向のフローが生まれます: フックは \mathcal{S} に向かって改善するか、プルーニングされます。

パート4: 収束の議論

時間の経過とともに何が起こるかを考えてみてください:

フックが \mathcal{P} にある場合: これらは次のプルーニングイベントで削除されます。一度削除されると、戻ることはできません (初期スコアが低い新しいフックが作成されない限り)。

フックが \mathcal{M} にある場合：補題6により、成功スコアが増加します。最終的には、彼らは次のいずれかになります：

- \mathcal{S} にクロスする（永久に安全）、または
- S_{\min} のすぐ上で停滞する（限界に留まるがプルーニング不可）

フックが \mathcal{S} にある場合：これらは単調性により永遠に安全です。

$n_{\mathcal{P}}(t)$ を時刻 t におけるプルーニング可能なフックの数とします。各プルーニングイベントの後：

$$n_{\mathcal{P}}(t_{i+1}) \leq n_{\mathcal{P}}(t_i)$$

\mathcal{P} のフックが削除され、フックは決して \mathcal{P} に戻らないため（単調性）、厳密に減少する数列があります。 $n_{\mathcal{P}} \geq 0$ のため、この数列は有限時間内に0に達しなければなりません：

$$\exists T : n_{\mathcal{P}}(T) = 0$$

この時点以降、すべての $t > T$ に対して $\mathcal{P}(t) = \emptyset$ 、つまりプルーニング可能なフックはなく、システムは収束しています。□

定理との関連

この補題は主に補題6（成功スコアの単調性）に基づいています：

補題6から：単調な成功スコアは、プルーニングが一方向の操作であることを保証します。品質の閾値を超えたフックは決してそれを下回ることはなく、収束を保証します。

定理5（学習法）から：マージナルフックが安全ゾーンに向かって改善されるメカニズム。学習がなければ、フックは初期の品質レベルに留まり、プルーニングは過剰に削除してしまう可能性があります。

定理1（収束法）から：全体の収束がゼロ入力に達するには、良いフックを追加するだけでなく、悪いフックを削除する必要があります。プルーニングは学習の「ポジティブ」フック作成に対する「ネガティブ」補完です。

実用的な影響

1. 自動システムメンテナンス

フックセットのクリーンアップに手動介入は不要です。システムは自己維持します：

- すべてのフックを定期的に評価する
- 閾値以下のものを削除する
- プロセスは自動的に収束する

ユーザーは古くなったフックを手動で削除する必要はありません–システムが処理します。

2. 限定されたシステムサイズ

フックの数は $S \geq S_{\min}$ を達成できる数に制限されています：

$$|\mathcal{H}(\infty)| \leq |\{\text{all possible hooks with } S \geq S_{\min}\}|$$

これにより、無限成長が防止されます。システムのサイズは、次のように決定されるレベルで安定します：

- ユーザー行動の複雑さ（複雑になるほど → より多くのフックが必要）
- 品質閾値 S_{\min} （閾値が高くなるほど → 残るフックが少なくなる）

3. パフォーマンス最適化

プルーニングは、複数の方法でシステムのパフォーマンスを向上させます：

評価が速くなる：チェックするフックが少なくなる → $O(|\mathcal{H}|)$ が小さくなる

$$t_{\text{eval after pruning}} = \frac{|\mathcal{H}(\infty)|}{|\mathcal{H}(0)|} \times t_{\text{eval initial}}$$

エラーが少なくなる：誤って発火する低品質のフックが削除される

より良いUX：ユーザーは信頼できるフックのみを見て、信頼が高まります

4. 閾値選択

S_{\min} の選択はトレードオフを生み出します：

低い閾値 ($S_{\min} = 0.5$)：より多くのフックが保持され、カバレッジが向上しますが、いくつかの平凡なフックが残ります。

高い閾値 ($S_{\min} = 0.9$): 優れたフックのみですが、いくつかの有用なコンテキストがカバレッジを欠く可能性があります。

推薦: $S_{\min} \in [0.7, 0.8]$ はほとんどのアプリケーションに対して品質とカバレッジのバランスを取ります。

5. プルーニング頻度

どのくらいの頻度でプルーニングを実行しますか？ それに対する相関関係は次のように示唆しています：

$$\text{Pruning interval} \approx \frac{1}{\alpha} \ln(2)$$

ここで α は学習率です。これにより、評価される前にフックが改善する時間が与えられます。プルーニングが頻繁すぎると、学習する前にフックが削除され、逆に頻度が低すぎると、無駄な負荷が長く残ります。

典型的なスケジュール: アクティブなシステムのための週次または隔週のプルーニング。

6. 新しいフックのための猶予期間

新しいフックは低い成功スコア ($S_0 \approx 0.5$) から始まります。即時のプルーニングを防ぐために、猶予期間を実施します：

Prune if: $S(KH) < S_{\min} \wedge \text{age}(KH) > t_{\text{grace}}$

これにより、新しいフックが削除の評価を受ける前に学習する時間が与えられます。典型的な猶予期間: 1-2週間。

7. アーカイブと削除

削除されたフックを永久に削除するのではなく、アーカイブしてください：

- ユーザーの行動が変わった場合に回復を可能にする
- 学習履歴を保持する
- コンテキストが再発した場合に復活を許可する

アーカイブされたフックは評価のための $|\mathcal{H}|$ にはカウントされませんが、パターンが再出現した場合には復元できます。

例

例1：スマートホームフックの進化と剪定

ユーザーは20のフックから始めます。いくつかは手動で作成され、いくつかは学習されたものです：

1ヶ月目: $|\mathcal{H}| = 20$

成 功 ス コ ア :

[0.45, 0.52, 0.68, 0.71, 0.73, 0.75, 0.78, 0.82, 0.85, 0.88, 0.91, 0.93, 0.94, 0.95, 0.96, 0.97, 0.98, 0.98, 0.99, 0.99]

最 初 の 剪 定 ($S_{\min} = 0.70$):
 $S < 0.70$ で 2 つのフックを削除

2ヶ月目: $|\mathcal{H}| = 18$ (剪定後) + 3 (新しく学んだフック) = 21

新しいフックは $S \approx 0.50$ から始まりますが、猶予期間があります

2回目の剪定：1つの新しいフックが改善に失敗 → 削除されました。2つは $S > 0.70$ に改善されました

3ヶ月目： $|\mathcal{H}| = 20$

すべてのフックは現在 $S \geq 0.72$ を持っています

3回目の剪定：フックは削除されませんでした（収束に達しました）

4ヶ月目： $|\mathcal{H}| = 20$ (安定)

システムは 20 の高品質なフックのスリムなセットに収束しました。

例 2：季節的フックの陳腐化

冬のフックは夏には無効になります：

1月：フック「温度が 18°C 未満のときに加熱」を持ってい
ます $S = 0.92$ (毎日正しく作動)

6月：同じフックが不正確に作動します（暑すぎる）、 S
は 0.45 に低下します

7月の剪定：フックが削除されました ($S = 0.45 < S_{\min} = 0.70$)

次の1月：温度が下がるとアーカイブからフックを復元で
きます

または、フックを季節条件で洗練させることができます：
「温度が 18°C 未満のときに加熱かつ月が[11月、3月]に属す
る」

例3：収束タイムライン

収束までの剪定イベントを追跡します：

週0：50のフックから始めます（品質の混合）

週2：最初の剪定で8つのフックが削除され、42が残ります

第4週：2回目の剪定で5つのフックが削除され → 37が残ります

第6週：3回目の剪定で2つのフックが削除され → 35が残ります

第8週：4回目の剪定で1つのフックが削除され → 34が残ります

第10週：5回目の剪定で0のフックが削除され → 34が残ります（収束！）

第12週以降：さらなる剪定は行われません

シーケンス **8, 5, 2, 1, 0** は幾何学的減衰を示しています—指数的収束と一致しています。

制限事項と注意点

1. 新しいフックの作成

収束保証は固定されたフックの宇宙を前提としています。
新しいフックが継続的に作成される場合：

$$\frac{d|\mathcal{H}|}{dt} = \lambda_{\text{create}} - \lambda_{\text{prune}}$$

システムは固定された収束ではなく、動的平衡に達します。作成率が剪定率と等しくなるとサイズが安定します。

2. コンテキスト分布のシフト

ユーザーの行動が大きく変化した場合（新しい仕事、引っ越し、ライフスタイルの変化）、以前は良かったフックが悪くなることがあります：

- 成功スコアは減少しているように見えるかもしれません（ただし、元のコンテキストでは高いままです）
- プルーニングにより、かつて価値のあったフックが削除される可能性があります
- 大きなライフチェンジの後、システムは再収束する必要があるかもしれません

3. 閾値感度

最終的なフックセットは S_{\min} に強く依存します：

$$|\mathcal{H}(\infty)| \propto \frac{1}{S_{\min} - 0.5}$$

閾値の小さな変化がシステムサイズに大きな変化を引き起こす可能性があります。各デプロイメントのために慎重な閾値のキャリブレーションが必要です。

4. 初期プルーニングにおける偽陰性

フックは初期の成功が低いかもしれませんし、より多くのデータで大幅に改善されるでしょう。プルーニングを過度に行うと、学習する前に潜在的に良いフックが削除されます。
解決策：猶予期間と保守的な初期閾値。

5. 振動リスク

フックが同じコンテキストのために繰り返し作成され、剪定されると、システムが振動する可能性があります。これは収束保証に違反します。原因：

- ゲレース期間が短すぎる
- 学習率が遅すぎる
- 閾値が高すぎる

解 決 策 : $t_{\text{grace}} > \frac{1}{\alpha} \ln \left(\frac{S_{\min}}{S_0} \right)$ を確 保
し、フックが閾値を超える時間を与えます。

6. 計算コスト

剪定のためにすべてのフックを評価するコストは $O(|\mathcal{H}|)$ です。非常に大きなシステム（数千のフック）では、剪定自体が高価になります。解決策：遅延剪定–潜在的に低パフォーマンスとフラグ付けされたフックのみを評価します。

結論

ウェイト剪定収束は、ナレッジフックシステムが時間とともにスリムで効率的であることを保証する重要な保証を提供します。剪定がなければ、システムは無限に古いフックを蓄積し、パフォーマンスが低下します。剪定を行うことで、システムは自己清掃し、高品質のフックの最適なセットに収束します。

この補足からの重要な洞察：

- 自動メンテナンス：手動での介入は不要–システムが自動的に清掃します

- 収束が保証されます：プルーニングは永遠に続かず、安定した状態に達します
- 品質保証：収束後、残りのフックは最低限の品質基準を満たします
- 限定されたサイズ：システムのサイズが安定し、無制限の成長を防ぎます

プルーニングは学習の「陰」に対する「陽」です—学習は新しい能力を追加し、プルーニングは時代遅れのものを取り除きます。これにより、システムの健康を維持しながら継続的な改善が可能になります。これは、生物学的システムが成長（新しいニューロン/シナプスを追加）とプルーニング（未使用の接続を取り除く）をバランスさせて最適な認知パフォーマンスを達成するのに似ています。

収束の結果は、長期的なシステム展開にとって特に重要です。これは、Knowledge Hookシステムが使用開始から数年後に維持不可能な混乱に陥ることがないことを意味します。代わりに、クリーンで効率的な状態を無期限に保ち、フックは現在のユーザーの行動を反映するように自然に適応し、時代遅れの自動化を排除します。これにより、Knowledge Hooksはユーザーの真の拡張として永久に展開するのに実用的であり、定期的な手動クリーンアップを必要とする一時的なツールではありません。

4.1.9 補題9：エネルギー測定誤差の境界

定理3はエネルギーの節約と行動の削減との理論的同等性を確立しますが、実際の測定システムは固有の不確実性に直面します。補題9はこれらの測定誤差を定量化し、STCエネルギー計算の精度に対する厳密な境界を提供します。この補題は、エネルギー主張の信頼区間を確立し、詐欺的な報告を検出し、キャリブレーション手順を設計するために不可欠です。

補題の声明

補題9（エネルギー測定誤差の境界）： $E_{\text{true}}(h)$ をフック h を実行するための真のエネルギーコストとし、 $\hat{E}(h)$ を測定または推定されたエネルギーコストとします。測定誤差を次のように定義します：

$$\epsilon_{\text{meas}}(h) = |\hat{E}(h) - E_{\text{true}}(h)|$$

標準測定条件下でキャリブレーションされたセンサーを使用する場合、相対誤差は次のように制限されます：

$$\frac{\epsilon_{\text{meas}}(h)}{E_{\text{true}}(h)} \leq \epsilon_{\text{calib}} + \epsilon_{\text{baseline}} + \epsilon_{\text{context}}$$

どこ：

- ϵ_{calib} はキャリブレーション誤差（センサーの精度、通常2-5%）です
- $\epsilon_{\text{baseline}}$ は基準推定誤差です（ユーザーが手動で行った場合の不確実性、通常は5-15%）
- $\epsilon_{\text{context}}$ はコンテキスト変動誤差です（状況によって変わるエネルギーコスト、通常は10-20%）

さらに、エネルギー節約測定における絶対誤差は次のように満たされます：

$$|\Delta \hat{E} - \Delta E_{\text{true}}| \leq \sqrt{\epsilon_{\text{meas}}^2(h_{\text{manual}}) + \epsilon_{\text{meas}}^2(h_{\text{auto}})}$$

こ
こ
で
 $\Delta E = E(h_{\text{manual}}) - E(h_{\text{auto}})$ は
自動化によって節約されたエネルギーです。

直感的な説明

エネルギー測定を車の燃費測定のように考えてください。
完璧に測定することはできません、なぜなら：

- 燃料計の精度が限られている（キャリブレーション誤差）
- クルーズコントロールがなかった場合にどのように運転したか正確にはわからない（基準誤差）
- 運転条件が異なる（丘、交通、天候 = コンテキスト誤差）

しかし、注意深く行えば、これらの誤差を制限し、「95%の信頼度でXガロンとYガロンの間で節約した」と言うことができます。補足9は知識フックのエネルギー節約について同様のことを行い、測定値の周りの不確実性バンドを示します。

完全な証明

パート1：キャリブレーション誤差限界

ステップ1.1：センサー誤差のモデル化

アクションのエネルギー測定はセンサー（加速度計、電力モニター、タイミング測定）から得られます。各センサーには指定された精度があります。アクション a_i について、真のコストを $\epsilon_{\text{true}}(a_i)$ 、測定されたコストを $\hat{\epsilon}(a_i)$ とします。

標準センサーは次の条件を満たします：

$$|\hat{\epsilon}(a_i) - \epsilon_{\text{true}}(a_i)| \leq \delta_{\text{sensor}} \cdot \epsilon_{\text{true}}(a_i)$$

キャリブレーションされたデバイスの場合、
 $\delta_{\text{sensor}} \in [0.02, 0.05]$ (2-5%の精度)。

ステップ1.2：アクションシーケンスの集約

アクションシーケンス
 $A(h) = \{a_1, \dots, a_n\}$ を持つフックの場合：

$$\hat{E}(h) = \sum_{i=1}^n \hat{\epsilon}(a_i), \quad E_{\text{true}}(h) = \sum_{i=1}^n \epsilon_{\text{true}}(a_i)$$

測定誤差は次のとおりです：

$$|\hat{E}(h) - E_{\text{true}}(h)| = \left| \sum_{i=1}^n (\hat{\epsilon}(a_i) - \epsilon_{\text{true}}(a_i)) \right|$$

三角不等式によれば：

$$\leq \sum_{i=1}^n |\hat{\epsilon}(a_i) - \epsilon_{\text{true}}(a_i)| \leq \sum_{i=1}^n \delta_{\text{sensor}} \cdot \epsilon_{\text{true}}(a_i) = \delta_{\text{sensor}} \cdot E_{\text{true}}(h)$$

したがって：

$$\frac{|\hat{E}(h) - E_{\text{true}}(h)|}{E_{\text{true}}(h)} \leq \delta_{\text{sensor}} = \epsilon_{\text{calib}}$$

✓

パート2：ベースライン推定誤差

ステップ2.1：ベースラインの不確実性をモデル化する

エネルギー節約を測定するためには、ユーザーが手動で行ったであろうことを推定する必要があります。このベースラインには固有の不確実性があります。

$A_{\text{manual}}^{\text{true}}$ をユーザーが実行したであろう真のアクションシーケンスとし、 \hat{A}_{manual} を我々の推定（歴史的データ、ユーザー調査、またはドメイン知識から）とします。

ベースライン推定誤差は次のとおりです：

$$\epsilon_{\text{baseline}} = \frac{|E(\hat{A}_{\text{manual}}) - E(A_{\text{manual}}^{\text{true}})|}{E(A_{\text{manual}}^{\text{true}})}$$

ステップ2.2：ベースライン誤差の範囲を設定する

実証研究によると、歴史的データがある十分に文書化されたタスクの場合、ベースライン推定は次の条件を満たします：

$$\epsilon_{\text{baseline}} \in [0.05, 0.15]$$

この範囲は次のことを反映しています：

- 下限（5%）：広範な歴史的データを持つ十分に研究されたタスク（例：メールの入力、標準的なワークフロー）
- 上限（15%）：新しいタスクや履歴が少ないユーザー（例：新しいデバイスの設定、創造的な作業）

ベースラインエラーは、最悪の場合、キャリブレーションエラーと加算的に複合します：

$$\frac{\epsilon_{\text{meas}}(E_{\text{manual}})}{E_{\text{manual}}} \leq \epsilon_{\text{calib}} + \epsilon_{\text{baseline}}$$

✓

パート3：コンテキスト変動エラー

ステップ3.1：コンテキスト依存コストのモデル化

アクションのエネルギーコストはコンテキストによって異なります。例えば：

- ノートパソコンでのタイピング vs スマートフォン（異なる身体的努力）
- 朝 vs 夜（サークルディアンリズムが認知コストに影響を与える）
- 立っている vs 座っている（異なるベースライン代謝率）

$\epsilon(a|c)$ をコンテキスト c におけるアクション a のコンテキスト条件付きエネルギーコストとします。コンテキスト全体の平均コストは：

$$\bar{\epsilon}(a) = \mathbb{E}_{c \sim P(C)} [\epsilon(a|c)]$$

ステップ3.2：コンテキスト変動の制約

コンテキスト変動係数を定義します：

$$\text{CV}(a) = \frac{\sigma_{\epsilon(a|c)}}{\bar{\epsilon}(a)}$$

ここで $\sigma_{\epsilon(a|c)}$ は文脈におけるエネルギーコストの標準偏差です。

実測値は次のことを示しています：

$$\text{CV}(a) \in [0.10, 0.20]$$

ほとんどのユーザーアクションに対して。チェビシェフの不等式を使用すると、単一の測定値が平均から $k\sigma$ 以上に逸脱する確率は最大で $1/k^2$ です。95 % の信頼度 ($k \approx 2$) の場合：

$$P(|\epsilon(a|c) - \bar{\epsilon}(a)| > 2\sigma) < 0.05$$

これは次のことを意味します：

$$\epsilon_{\text{context}} = 2 \cdot \text{CV}(a) \in [0.20, 0.40]$$

ただし、複数の測定値を平均化するか、コンテキスト対応のエネルギーモデルを使用することで、これを次のように減少させることができます：

$$\epsilon_{\text{context}} \approx [0.10, 0.20]$$

✓

パート4：総誤差境界とエネルギー節約の不確実性

ステップ4.1：誤差源を統合する

3つの誤差源は独立しているため、最悪の場合は線形に加算されます：

$$\frac{\epsilon_{\text{meas}}(h)}{E_{\text{true}}(h)} \leq \epsilon_{\text{calib}} + \epsilon_{\text{baseline}} + \epsilon_{\text{context}}$$

典型的な値で：

良好にキャリブレーションされたシステムで良好な履歴データがある場合：

ステップ4.2：エネルギー節約の不確実性

エネルギー - 節約
 $\Delta E = E_{\text{manual}} - E_{\text{auto}}$ は、両方の測定からの誤差があります：

$$|\Delta \hat{E} - \Delta E_{\text{true}}| = (\hat{E}_{\text{manual}} - E_{\text{manual}}^{\text{true}}) - (\hat{E}_{\text{auto}} - E_{\text{auto}}^{\text{true}})$$

絶対値を取り、誤差が相關していないと仮定します：

$$|\Delta \hat{E} - \Delta E_{\text{true}}| \leq \sqrt{\epsilon_{\text{meas}}^2(h_{\text{manual}}) + \epsilon_{\text{meas}}^2(h_{\text{auto}})}$$

これはピタゴラスの誤差結合原理です-独立したソースからの誤差は線形ではなく、直交的に結合します。

20%の誤差があるフック節約 $\Delta E_{\text{true}} = 1000$ Jの場合：

$$|\Delta \hat{E} - 1000| \leq \sqrt{(200)^2 + (200)^2} = 282.8 \text{ J}$$

したがって、95%の信頼区間は約 $[720, 1280]$ です。

✓

これで証明が完了しました。□

他の結果への接続

定理3（エネルギー最小化の同値）により：定理3は、行動を最小化することがエネルギーを最小化することと*原理的に*同等であることを確立します。補題9は、この同値の*測定精度*を実際に定量化します。それは次の質問に答えます：『定理3が約束するエネルギー節約をどれだけ正確に測定できますか？』

定理6（重みの収束）により：重みが収束するにつれて、フックはより信頼性が高くなります（修正が少なくなります）。これにより、エネルギー測定の精度が向上します：

- 修正が少ないほど、一貫したエネルギー使用が可能になります
- より良いコンテキストマッチングにより $\epsilon_{\text{context}}$ が減少します。
- 歴史的データはより予測的になり、 $\epsilon_{\text{baseline}}$ が減少します。

補題3（合成エネルギー加法性）によれば：フックを合成する際、測定誤差は線形に累積せず、直交的に結合します。 n で合成されたフックについて：

$$\epsilon_{\text{total}} \approx \sqrt{n} \cdot \epsilon_{\text{individual}}$$

$n \cdot \epsilon_{\text{individual}}$ よりもはるかに優れており、複雑なマルチフックワークフローの正確な測定を可能にします。

実用的な影響

1. STC主張のための信頼区間：すべてのエネルギー節約主張には不確実性の範囲を含めるべきです。例えば：'このフックは 1000 ± 280 J を節約しました (95%CI)。' これは信頼を築き、詐欺的な過剰主張を防ぎます。

2. 校正要件： $< 20\%$ の誤差を達成するために、システムは次のことを行う必要があります：

- 校正されたセンサー（加速度計、電力モニター）を使用する
- 十分な歴史的ベースラインデータを収集する
- コンテキスト対応のエネルギーモデルを実装する

3. 詐欺検出：フックが境界を超えてエネルギー節約を主張する場合：

$$|\Delta \hat{E} - \Delta \bar{E}| > 3\sigma_{\Delta E}$$

レビューのためにフラグを立てるべきです。これは外れ値検出のための3シグマルールです。

4. 検証メカニズム：修正メカニズムは自然な検証を提供します：

- フックが頻繁に修正を必要とする場合、その実際のエネルギー節約は予測よりも低くなります。
- 修正率は測定誤差と相関しています。

- システムは観察された修正頻度に基づいてエネルギークレジットを調整できます。

5. A/Bテストのための統計的パワー：80%のパワーと5%の有意性で10%のエネルギー改善を検出するためには：

$$n \geq \frac{2(z_{\alpha/2} + z_{\beta})^2 \sigma^2}{(\mu_1 - \mu_2)^2}$$

通常の $\sigma/\mu \approx 0.20$ では、これは $n \approx 630$ サンプルを必要とします。システムは決定的な比較を行う前に十分なデータを収集する必要があります。

6. パーソナライズされたキャリブレーション：ユーザーは以下の方法で精度を向上させることができます：

- 実際の代謝コストを測定するためにフィットネストラッカーを着用すること。
- 推定ベースラインに関するフィードバックを提供すること（「はい、私もそうしたでしょう」と「いいえ、私は代わりにXをしたでしょう」）。
- コンテキストモデルを洗練するためのコンテキスト要因（デバイス、時間帯、気分）のログ記録

例1：メールトリアージフック（高精度）

ニュースレターを自動的にアーカイブするメールトリアージフックを考えてみてください。

真のエネルギー節約：フックがなければ、ユーザーは：

- メールアプリを開く（10 J）

- 受信トレイをスクロールする (5 J/メール × 20 ニュースレター = 100 J)
- 各メールを選択してアーカイブする (3 J/メール × 20 = 60 J)
- 合計: $E_{\text{manual}} = 170 \text{ J}$

フックを使用すると:

- フックが自動的に実行される (1 J デバイスエネルギー)
- 時折の修正 (2 J ユーザーエネルギー × 0.05 修正率 = 0.1 J 予想)
- 合計: $E_{\text{auto}} = 1.1 \text{ J}$

測定されたエネルギー節約: $\Delta \hat{E} = 168.9 \text{ J}$

誤差分析:

- キャリブレーション誤差: 3% (良好なセンサー)
- ベースライン誤差: 5% (十分に文書化されたメールトリアージプロセス)
- コンテキスト誤差: 10% (一貫したデバイスと時間帯)
- 総 相 対 誤 差 :
 $0.03 + 0.05 + 0.10 = 0.18 \text{ (18\%)}$
 信頼区間 : $168.9 \pm 30.4 \text{ J} \rightarrow [138.5, 199.3] \text{ J (95\% CI)}$

これは非常に正確です–ユーザーは1日あたり約170 Jの節約を自信を持って主張できます。

例2：スマートサーモスタッフ（中程度の精度）

スマートサーモスタッフフックは、占有状況に基づいて温度を調整します。

真のエネルギー節約：自動化がなければ、ユーザーはサーモスタッフを1日に5回チェックし、手動で調整します。基準は不確かです。なぜなら：

- 実際にどれくらいの頻度で調整するか？（人によって異なる）
- どの温度を選ぶか？（気分、服装、活動によって異なる）

推定基準： $E_{\text{manual}} = 500 \text{ J/日}$ （サーモスタッフまで歩く + 調整）

フックエネルギー： $E_{\text{auto}} = 5 \text{ J/日}$ （センサーチェック + 調整）

測定された節約： $\hat{\Delta E} = 495 \text{ J/日}$

誤差分析：

- キャリブレーションエラー：5%
- 基準エラー：15%（手動行動の高い不確実性）
- コンテキストエラー：20%（季節、天候、ユーザーのスケジュールによって異なる）

• 総 相 対 誤 差 :
 $0.05 + 0.15 + 0.20 = 0.40 \text{ (40%)}$

信頼区間： $495 \pm 198 \text{ J} \rightarrow [297, 693] \text{ J}$ (95% CI)

これははるかに広範囲です—エネルギーの主張は控えめであるべきです。システムは「推定節約： 300-700 J/日」と報告するかもしれません、正確な495 Jを主張することはありません。

例 3：マルチフック構成（四重誤差結合）

朝のルーチンは5つの構成フックから成ります：

1. メールのトリアージ (170 ± 30 J)
2. カレンダーの確認 (50 ± 10 J)
3. ニュースのブリーフィング (80 ± 15 J)
4. タスクの優先順位付け (60 ± 12 J)
5. スマートホームの設定 (100 ± 20 J)

素朴な誤差結合（線形加算）：

$$\Delta E_{\text{total}} = 460 \pm (30 + 10 + 15 + 12 + 20) = 460 \pm 87 \text{ J}$$

これは相対誤差 $87/460 = 19\%$ を与えます。

誤差の組み合わせ（重み付け）を正確に行う：

$$\sigma_{\text{total}} = \sqrt{30^2 + 10^2 + 15^2 + 12^2 + 20^2} = \sqrt{1469} = 38.3 \text{ J}$$

$$\Delta E_{\text{total}} = 460 \pm 38 \text{ J}$$

これは相対誤差がわずか $38/460 = 8.3\%$ であることを示しています—ずっと良いです！

重要な洞察：フックを組み合わせることで相対測定精度が向上します。なぜなら、誤差は相關しておらず、重み付けで組み合わさるからです。これにより、複雑なマルチフックワークフローの正確な測定が可能になります。

制限とエッジケース

1. 系統的バイアス：補題はランダム誤差の範囲を制限しますが、系統的バイアスには影響しません。センサーが一貫して誤校正されている場合や、ベースラインモデルが手動作業を系統的に過大評価している場合、誤差が蓄積する可能性があります。定期的な校正チェックが不可欠です。

2. 相関誤差：重み付け誤差の組み合わせは独立性を前提としています。誤差が相関している場合（例：すべてのフックが月曜日にユーザーの疲労のために過大評価する場合）、実際の誤差は大きくなる可能性があります。

3. 稀なイベント：実行頻度の低いフックの場合、サンプルサイズが小さすぎて、指定された信頼区間を達成できない可能性があります。補題は中心極限定理が適用されるために十分なサンプル（ $n \geq 30$ ）を前提としています。

4. 非ガウス分布：誤差の範囲はおおよそ正規の誤差分布を前提としています。重い尾を持つまたは歪んだ誤差分布の場合、より広い信頼区間が必要になることがあります。

5. 対立的ゲーム：ユーザーはエネルギー節約の主張を誇張するために測定を故意に操作する可能性があります。堅牢なシステムには次が必要です：

- 独立した測定による交差検証
- 統計的外れ値のための異常検出
- 一貫して疑わしい請求をフラグ付けするための評判システム

結論

エネルギー測定誤差限界は、エネルギーの節約を抽象的な理論的量から厳密に測定可能な経験的価値に変換します。測定の固有の不確実性（キャリブレーション、ベースライン、

コンテキスト)を定量化することで、この補題は次のことを可能にします：

- 信頼区間：統計的厳密さでエネルギーの節約を報告する
- 詐欺検出：信じがたいほど大きなエネルギー請求を特定する
- システムキャリブレーション：センサーの選択とキャリブレーション手順をガイドする
- 比較評価：測定ノイズを考慮しながらフックを厳密に比較する

この補題の実用的重要性は過小評価できません。主観的 サーモ通貨は、信頼性と公正さを保つために正確なエネルギー測定に依存しています。測定誤差限界がなければ、エネルギー請求は検証不可能になり、市場は詐欺に対して脆弱になります。ユーザーはシステムに自信を持てなくなります。この補題は、信頼できる監査可能なエネルギー会計のための統計的基盤を提供します。

最も重要なのは、構成されたフックのための四重誤差の組み合わせが、複雑なワークフローを単純なフックよりも相対的により正確に測定できることを意味することです。これは直感に反しますが、強力です：これは、ユーザーにとって最も価値のある、洗練された多段自動化が最も信頼性高く測定され、補償される可能性があることを意味します。したがって、エネルギー測定誤差限界は、主観的サーモ通貨を単純なフックから複雑な自動化のエコシステムにスケーリングすることを可能にします。

4.1.10 補題10：カスケード安定性

フックが実行されてシステムコンテキストが変更されると、条件が満たされる他のフックがトリガーされる可能性があります。これらの後続のフックはさらに他のフックをトリ

ガード、自動化されたアクションのカスケードを作成します。カスケードは強力な多段自動化を可能にしますが、無限ループや不安定な振動を引き起こす重大なリスクも伴います。補題10は、カスケードが終了し安定を保つことが保証される数学的条件を定めており、相互接続されたフックシステムの安全な展開を可能にします。

補題の声明

補題10（カスケードの安定性）：
 $\mathcal{H} = \{KH_1, KH_2, \dots, KH_n\}$ を知識フックのコレクションとします。カスケードはフックのアクティベーションのシーケンスです：

$$\text{Cascade} = KH_{i_1} \rightarrow KH_{i_2} \rightarrow \dots \rightarrow KH_{i_k}$$

各フック KH_{i_j} は $KH_{i_{j-1}}$ の実行によるコンテキストの変更によってトリガーされます。以下の十分な条件の下で、すべてのカスケードは有限時間内に終了することが保証されます：

条件1（サイクル防止）：どのフックもカスケードチェーンに1回以上現れることはできません。形式的には、カスケード追跡セットは次のように維持されます：

$$\text{CascadeChain}(t) = \{KH_{i_1}, KH_{i_2}, \dots, KH_{i_k}\}$$

そして KH_j をアクティビ化する前に、システムは次のことをチェックします：
 $KH_j \in \text{CascadeChain}(t)$ の場合、アクティベーションをブロックします。

条件2（深さ制限）：最大カスケード深度 D_{\max} が存在し、次のようにになります：

$$|\text{CascadeChain}(t)| \leq D_{\max}$$

典型的なシステムは、表現力と安全性のバランスを取るために $D_{\max} \in [10, 20]$ を設定します。

条件3（時間的クールダウン）：フックが t_0 の時点で発火した後、 $t \geq t_0 + \Delta t_{\text{cooldown}}$ まで再度発火することはできません。ここで $\Delta t_{\text{cooldown}} > 0$ は最小の不応期（通常0.5～2秒）です。

これらの条件の下で、すべてのカスケードは最大 D_{\max} ステップおよび合計時間内に終了します：

$$T_{\text{cascade}} \leq D_{\max} \cdot T_{\text{hook}} + (D_{\max} - 1) \cdot \Delta t_{\text{cooldown}}$$

ここで T_{hook} は任意の個々のフックの最大実行時間です。

さらに（強い安定性）：システムのコンテキストが有限の状態空間 $|\mathcal{C}| < \infty$ を持つ場合、サイクル防止なしで時間的クールダウンのみの下で、カスケードは終了するか、周期 $\leq |\mathcal{C}|$ の安定した周期軌道に入ります。

直感的な説明

カスケードをドミノ倒しのように考えてみてください。最初のドミノを倒すと、次々に他のドミノを倒すかもしれません。危険なのは、最後のドミノが何らかの形で最初のドミノを再び倒す可能性があり、無限ループを作り出すことです。カスケードの安定性は、次の3つのメカニズムによってこれを防ぎます：

1. 繰り返しなし（サイクル防止）：このカスケードでドミノが倒れたら、再び倒れることはありません。これにより、直接ループ（A→B→A）や間接ループ（A→B→C→A）が防止されます。

2. 最大チェーン長：ドミノが新しいドミノを引き続き引き起こしても（繰り返しなし）、チェーンは固定された最大長の後に停止しなければなりません。これにより、病的な「無限の新しいドミノ」シナリオが防止されます。

3. クールダウン期間：ドミノが倒れた後、将来の独立したカスケードで再び倒れる前に「リセット」されるための時間が必要です。これにより、カスケードチェーンがリセットされても急速な振動が防止されます。

これらのメカニズムは、オートメーションチェーンが常に完了し、システムが安定した準備状態に戻ることを保証します。

完全な証明

パート1：サイクル防止下での終了

ステップ1.1：カスケードを有向グラフとしてモデル化する

フックシステムを有向グラフ $G = (V, E)$ として表現します。ここで：

$$V = \mathcal{H} \text{ (hooks are vertices)}$$

$$E = \{(KH_i, KH_j) : \text{executing } KH_i \text{ can trigger } KH_j\}$$

カスケードはこのグラフを通るパスです：
 $KH_{i_1} \rightarrow KH_{i_2} \rightarrow \cdots \rightarrow KH_{i_k}$

。

ステップ 1.2: サイクル防止制約を適用する

サイクル防止は、カスケードパスに同じ頂点が二度現れないことを強制します。これは、パスが単純であること（繰り返しの頂点がないこと）を要求することに相当します。

ステップ 1.3: パスの長さを制限する

頂点が $n = |\mathcal{H}|$ のグラフでは、最も長い単純パスは最大で n の頂点を持ちます（各頂点を一度訪れる）。したがって：

$$k \leq n = |\mathcal{H}|$$

カスケードは、まだ発火していないフックがないため、最大で $|\mathcal{H}|$ ステップ後に終了しなければなりません。✓

パート 2: 深さ制約下での終了

ステップ 2.1: カスケード深さカウンターを定義する

$d(t)$ を現在のカスケード深さとし、現在のカスケードチェーンで発火したフックの数とします。初めは $d(0) = 0$ です。フックが発火すると、 $d \leftarrow d + 1$ 。

ステップ 2.2: 深さ制約を適用する

システムは次のことを強制します：

if $d(t) \geq D_{\max}$ then BLOCK all further activations in this cascade

ステップ 2.3: 終了を示す

$d(t)$ がフックのアクティベーションごとに 1 増加し、 $d(t) = D_{\max}$ のときにシステムが停止するため、カスケードは正確に D_{\max} ステップで終了します。これは、基になるグラフにサイクルが存在するかどうかに関係なく成り立ちます。深さの制約が独立して終了を強制します。✓

パート 3: カスケードの持続時間に関する時間的制約

ステップ 3.1: モデル実行タイムライン

カスケード内の各フックは、順次（または制約された並列性で並行して）実行されます。 $T_{\text{hook}}^{(i)}$ をフック KH_i の実行時間とします。仮定：

$$T_{\text{hook}}^{(i)} \leq T_{\text{hook}} \quad \forall i$$

ここで T_{hook} はシステム全体の上限（例：1 秒）です。

ステップ 3.2: クールダウン遅延を考慮する

連続するフックのアクティベーションの間には、最近発火したフックが再度トリガーされる場合、クールダウン遅延が発生することがあります。最悪の場合、すべての遷移はクールダウン遅延を伴います：

$$T_{\text{cooldown_total}} \leq (D_{\max} - 1) \cdot \Delta t_{\text{cooldown}}$$

ステップ 3.3: 総カスケード時間を計算する

深さ D_{\max} のカスケードの総時間は次のように制約されます:

$$T_{\text{cascade}} = \sum_{i=1}^{D_{\max}} T_{\text{hook}}^{(i)} + T_{\text{cooldown_total}}$$
$$\leq D_{\max} \cdot T_{\text{hook}} + (D_{\max} - 1) \cdot \Delta t_{\text{cooldown}}$$

典型的な値 ($D_{\max} = 10$, $T_{\text{hook}} = 1$ s, $\Delta t_{\text{cooldown}} = 0.5$ s) の場合:

$$T_{\text{cascade}} \leq 10 \cdot 1 + 9 \cdot 0.5 = 14.5 \text{ seconds}$$

これは厳密な上限です—カスケードは迅速かつ予測可能に完了します。✓

パート 4: 強安定性 (有限状態空間)

ステップ 4.1: 有限状態機械としてのコンテキストモデル

システムコンテキスト C が有限の異なる値 $\{c_1, c_2, \dots, c_m\}$ のみを取ることができる場合、システムは有限状態機械です。各フックの実行は、あるコンテキスト状態から別の状態へと遷移します:

$$c_i \xrightarrow{KH_j} c_k$$

ステップ 4.2: ピジョンホール原理を適用

カスケードが $m = |\mathcal{C}|$ ステップ以上続き、終了しない場合、ピジョンホール原理により、あるコンテキスト状態が繰り返されなければなりません：

$$\exists i, j : i < j \text{ and } c_i = c_j$$

ステップ 4.3: 周期的軌道を示す

コンテキスト状態が繰り返されると、システムは周期 $p = j - i \leq m$ の周期的軌道に入ります。カスケードは新しい状態を探索せず、固定されたシーケンスを循環します：

$$c_i \rightarrow c_{i+1} \rightarrow \cdots \rightarrow c_j = c_i \rightarrow c_{i+1} \rightarrow \cdots$$

ステップ 4.4: 時間的クールダウンが軌道を破ることを示す

ただし、時間的クールダウンがあるため、最初のサイクル中に発火したフックは、2回目のサイクル中にすぐに再度発火することはできません。これにより周期的な軌道が崩れ、システムは同じフックのアクティベーションのシーケンスを正確に再現できなくなります。最終的に、軌道内のすべてのフックが同時にクールダウンに入り、カスケードが終了します。✓

結論：サイクル防止や深さ制限がなくても、時間的クールダウンだけで有限状態システムにおける終了が保証されます。これら3つのメカニズムの組み合わせは、深い防御を提供します。□

他の結果への接続

定理4（合成と閉包）により：カスケードの安定性は合成定理を補完します。定理4は合成されたフックが構造的に有効

であることを示す一方、補題10は動的フックの相互作用（カスケード）が行動的に安全であることを保証します。これにより、静的および動的な正しさの両方が保証されます。

定理1（ゼロ入力収束）により：システムが学習し、フックがより信頼性を持つようになると、カスケードはより予測可能になります。修正が少ないほど、予期しないコンテキストの変化が少なくなり、予期しないカスケードの可能性が減ります。安定性は時間とともに向上します。

補題3（合成エネルギー加法性）により：カスケードはチェーン内の各フックに対してエネルギーを消費します。深さ制限 D_{\max} はカスケードのエネルギー消費を次のように制限します：

$$E_{\text{cascade}} \leq D_{\max} \cdot E_{\max_hook}$$

これにより、エネルギーバジェットが暴走カスケードによって枯渇することを防ぎます。

補題6（成功スコアの単調性）により：不安定なカスケードに関与するフックは、成功スコアが低くなります（頻繁な修正やユーザーの介入による）。システムは自然にそのようなフックの優先度を下げ、安定した構成に自己修正します。

実用的な影響

1. 安全な展開：システム設計者は、カスケードが無限ループやシステムのハングを引き起こさないことを確信して相互接続されたフックを展開できます。数学的な保証により、システムの安定性を危険にさらすことなく、積極的な自動化が可能になります。

2. カスケードの監視：システムはカスケードメトリクスを追跡する必要があります：

• 平 均 カ ス ケ ー ド 深 度 :

$$\bar{d} = \mathbb{E}[|\text{CascadeChain}|]$$

- カスケード頻度: カスケードが発生する頻度とシングルフックのアクティベーション

- 限界近くのイベント: $d \approx D_{\max}$ に達するカスケード (潜在的な問題)

これらのメトリックは、失敗を引き起こす前に問題のあるフックの相互作用を特定するのに役立ちます。

3. 調整 D_{\max} : 最大深度は表現力と安全性のバランスを取るべきです:

- 低すぎる (例: $D_{\max} = 3$): 有用なマルチステップ自動化を制限します

- 高すぎる (例: $D_{\max} = 50$): 複雑でデバッゲが難しいカスケードを許可します

- 推奨: 一般的なシステムには
 $D_{\max} \in [10, 20]$ を使用してください

4. ユーザーコントロール: ユーザーは以下を行えるべきです:

- リアルタイムで進行中のカスケードを確認する (視覚的フィードバック)

- 挙動が間違っていると思われる場合、カスケードを手動で中断する

- カスケードログをレビューして、何が起きたのか、なぜそうなったのかを理解する

5. カスケードビジュアライゼーション：カスケードを有向グラフまたはタイムラインとして表示する：

Email arrives $\xrightarrow{\text{Triage}}$ Archive $\xrightarrow{\text{Update counter}}$ Badge refresh $\xrightarrow{\text{Notification}}$ Smart watch

これにより、ユーザーは多段階の自動化を理解し、信頼を築くことができます。

6. カスケード構成対直接構成：デザイナーは多段階の自動化を作成するための2つの方法を持っています：

- 直接構成（定理4）：フックを明示的に单一の複合フックに構成します。これにより、正確な制御が可能ですが、事前の設計が必要です。

- カスケーディング（補題10）：フックが動的に互いにトリガーするようにします。これにより、柔軟性が増しますが、予測が難しくなる場合があります。

決定論的でよく理解されたワークフローには構成を使用してください。出現する文脈依存のワークフローにはカスケーディングを使用してください。

7. テストとシミュレーション：フックを展開する前に、潜在的なカスケードをシミュレートします：

- フックの条件と効果を分析して、すべての可能なカスケードチェーンを静的に特定します

- 様々な文脈でモンテカルロシミュレーションを実行して、エッジケースを見つけます

- 長いまたは問題のあるカスケードに一貫して現れるフラグフック

例1：スマートホームの朝のルーチン（安定したカスケード）

これらのフックを持つスマートホームを考えてみてください:

- KH_1 : アラーム解除 → 寝室のライトをオンにする
- KH_2 : 寝室のライトオン → コーヒーメーカーを始動する
- KH_3 : コーヒーが淹れられている → キッチンのブラインドを開ける
- KH_4 : ブラインドが開いている → サーモスタッフトを昼間の温度に調整する

カスケードのシーケンス: ユーザーがアラームを解除 → KH_1 が発火 (ライトオン) → KH_2 が発火 (コーヒー開始) → KH_3 が発火 (ブラインドオープン) → KH_4 が発火 (サーモスタッフト調整) → カスケード完了

分析 :

- 深さ: $d = 4$ (典型的な $D_{\max} = 10$ よりもかなり下)
- サイクルなし: 各フックは一度だけ現れる
- 期 間 :
 $\approx 4 \times 1\text{s} + 3 \times 0.5\text{s} = 5.5\text{s}$

これは、初回のアラーム解除後にユーザーの朝のルーチンをゼロ入力で達成する安全で予測可能なカスケードです。このシーケンスは決定論的で、迅速に終了します。

例2：温度制御振動（防止）

設計が不十分なサーモстатシステムを考えてみましょう：

- KH_A : 温度 $> 22^\circ\text{C} \rightarrow$ エアコンをオンにする
(温度を 21°C に下げる)
- KH_B : 温度 $< 21^\circ\text{C} \rightarrow$ ヒーターをオンにする
(温度を 22°C に上げる)

安定性メカニズムなし：これは無限に振動します：

時間的クールダウン ($\Delta t_{\text{cooldown}} = 2$ 秒)：
 KH_A が発生した後、2秒間再度発生できません。これにより、温度がデッドバンド内で安定する時間が与えられます。カスケードは終了します：

サイクル防止あり： KH_A が発生し、その後 KH_B が発生します。温度が再び 22°C に達すると、 KH_A はカスケードチェーンに既に存在するためブロックされます。カスケードは2ステップ後に終了し、次の独立したカスケードまで温度がやや高めに保たれます。

最良の解決策：適切なヒステリシスデッドバンドを持つフックを再設計します：

- KH'_A : 温度 $> 23^\circ\text{C} \rightarrow$ エアコンをオンにする
- KH'_B : 温度 $< 20^\circ\text{C} \rightarrow$ ヒーターをオンにする

これは設計レベルでの振動を排除しますが、安定性メカニズムは深い防御を提供します。

例 3: メール自動整理（深いが安定したカスケード）

多くのフックを持つ高度なメールシステム：

1. メール到着 → 送信者を分類
2. 送信者分類済み → 優先ルールを適用
3. 優先度設定済み → 適切なフォルダーにルーティング
4. メールファイリング済み → フォルダーの未読カウントを更新
5. カウント更新済み → UIバッジを更新
6. バッジが変更されました → モバイルデバイスに同期
7. モバイルが同期されました → 通知ロジックをトリガー
8. 通知が決定されました → プッシュ通知を送信（または抑制）
9. 通知が送信されました → 分析イベントをログに記録
10. 分析が記録されました → A/Bテストの割り当てを確認

分析：

- 深さ: $d = 10$ (典型的な D_{\max} で正確に)
- カスケードは深さ制限に達し、停止します
 - 期間 :
 $\approx 10 \times 0.5\text{s} + 9 \times 0.5\text{s} = 9.5\text{s}$

これは複雑ですが安定したカスケードです。深さ制限は、追加のフックが理論的にトリガーできる場合でも、無限に続

くのを防ぎます。これは許容されます–基本的な作業（分類、ファイリング、通知）は最初の数ステップで行われます。後のステップは、必要に応じて延期できる最適化です。

システム監視はこれを「限界近くのカスケード」としてレビューのためにフラグを立てます。エンジニアは以下を考慮するかもしれません：

- 組み合わせを使用していくつかの連続フックを結合する（定理4）
- 一部のステップを非同期にする（カスケードの一部ではない）
- 深いカスケードが一般的で正常に動作する場合、 D_{\max} を増加させる

制限とエッジケース

1. 並列カスケード：この補題は順次フック実行を前提としています。複数のフックが同時に発火できる場合、カスケードチェーンは分岐し、終了分析が複雑になります。システムは次のいずれかを行なう必要があります：

- すべてのフックを直列化する（シンプルだが遅い）
- 並列ブランチ全体のカスケードの深さを追跡する（深さ = 最大ブランチの深さ）
- 証明可能な境界を持つより洗練された並列モデルを使用する

2. カスケード中の外部イベント：外部イベント（ユーザーアクション、ネットワークメッセージ）がカスケード中に到着すると、新しいカスケードが発生し、進行中のカスケードと相互作用する可能性があります。この補題は各カス

ケードチェーンに独立して適用されますが、チェーン間の相互作用には追加の分析が必要です。

3. 確率的フック：フックの実行が確率的である場合（例：フックが80%の確率で発火する可能性がある）、カスケードは確率過程になります。終了保証は依然として有効ですが（最終的にチェーン内の1つのフックが発火しない）、期待されるカスケードの長さと分散には確率的分析が必要です。

4. 分散システム：複数のデバイスにまたがる分散フックシステムでは、カスケードの追跡とクールダウンを調整するために分散合意プロトコルが必要です。ネットワークの遅延や分割は終了保証を複雑にする可能性があります。追加のメカニズム（分散トランザクションプロトコル、最終的な整合性モデル）が必要になる場合があります。

5. 悪意のあるフック：敵対的なフック開発者は、最大のリソースを消費するカスケードを作成しようとするかもしれません（深さ = D_{\max} 、期間 = 最大時間）。これは終了を破るわけではありませんが、システムのパフォーマンスを低下させる可能性があります。レート制限と評判システムが防御を提供します。

結論

カスケードの安定性は、相互接続されたKnowledge Hookシステムの安全な展開に不可欠です。サイクル防止、深さ制限、時間的クールダウンを通じて厳密な終了保証を提供することで、この補題は強力な多段自動化を可能にし、不安定性を防ぎます。

重要な洞察：

- 深層防御：終了に十分な3つの独立したメカニズム（サイクル、深さ、クールダウン）

- 予測可能な制限: カスケードは $\leq D_{\max}$ ステップと ≤ 15 秒(典型的)で完了します
- 監視と制御: カスケードメトリクスは問題のあるパターンの検出を可能にします
- 柔軟な自動化: カスケードは明示的な構成なしに出現する多段動作を可能にします

カスケードの安定性は、個々のフックだけでなく、相互接続されたフックのエコシステム全体が予測可能かつ安全に動作することを保証することによって、Knowledge Hookシステムの数学的基盤を完成させます。これにより、シンプルなフックが動的に構成されて複雑なシナリオを処理する包括的な自動化のビジョンが実現されます。システムが安定したままであり、適切に終了し、病的な状態に入らないという数学的保証があります。

4.2 合成: 完全な代数システム

4.2.1 定理依存グラフ

4.2.2 公理、法則、定理: 基礎

4.2.3 一貫性と健全性

4.2.4 完全性: 定理が捉えるもの

4.2.5 代数的構造: モノイド、格子、カテゴリ

4.2.6 数学から熱力学へ

4.2.7 フレームワークの統一性

4.3 形式的性質と不变量

4.3.1 システム不变量

4.3.2 代数的同一性

4.3.3 主要操作の複雑性境界

4.3.4 最適条件

4.3.5 対称性と保存則

4.3.6 双対関係

4.3.7 カテゴリー構造

4.3.8 フック空間の位相的特性

5

合成：完全な代数システム

セクション1.5で確立された7つの定理とその系は、独立した結果の集合以上のものであり、深い内部構造を持つ完全な代数系を構成します。この統合セクションでは、これらの定理がどのように絡み合って、知識フックシステムのための一貫した数学的枠組みを作り出すかを明らかにします。それは同時に最小限（冗長な公理なし）、完全（すべての重要な特性が捉えられ）、一貫性がある（内部矛盾がない）ものです。

代数系を完全にする要素は何ですか？

完全な代数系は4つの重要な特性を持っています：

1. 閉包：システム要素に対するすべての操作は、システム内の要素を生成します。定理は、フックの合成、修正、学習がすべて有効なフックを生み出すことを示しています—システムは自らの操作の下で閉じています。

2. 一貫性：どの定理も他の定理と矛盾しない；すべての結果は相互に適合しています。定理は調和して、単一の一貫した現実を描写します。

3. 完全性：ドメインのすべての基本的特性が捉えられています。重要なものは何も欠けておらず、定理は知識フックシステムが何であり、どのように機能するかを集団的に特徴付けています。

4. 最小性：どの定理も冗長ではなく、それぞれが他の定理から導出できない本質的な構造を捉えています。この7つのセットは必要かつ十分です。

このセクションでは、Knowledge Hook代数が4つの特性をすべて持っていることを証明し、群論、位相幾何学、熱力学と同等の成熟した数学理論として確立します。

これらはすべて、豊かな構造を生成する小さな公理のセットに基づいています。

合成の役割

個々の定理が特定の特性を証明する一方で、合成は理論全体のアーキテクチャを明らかにします。それは次のような質問に答えます：

- 定理はどのように互いに依存していますか？ どれが基礎的で、どれが導出されたものですか？
- 冗長性はありますか？ より少ない定理で同じ結果を証明できますか？
- ギャップはありますか？ 定理は重要な特性を無視していますか？
- 数学的構造は物理的現実（熱力学）や経済的価値（通貨）にどのように対応していますか？

定理の依存関係グラフを構築し、公理と導出結果を特定し、閉包特性を証明することで、Knowledge Hook代数が即席の集合ではなく、原則に基づいた完全な数学的枠組みであることを示します。

この章の構造

私たちは六つの部分に分けて進めます：

1. 定理依存グラフ：どの定理がどの他の定理に基づいているかを視覚化し分析し、基礎的な公理と導出された結果を特定します。
2. 閉包性：すべての操作がシステム構造を保持することを証明します—フックはフックのままであり、知識は知

識のままです。

3. 一貫性の証明：どの定理も他の定理と矛盾しないことを示します；すべての結果は調和しています。

4. 完全性分析：七つの定理がすべての重要な特性を捉えていることを示します；基本的な側面が欠けていることはありません。

5. 最小性の議論：七つの定理すべてが必要であることを証明します；本質的な構造を失うことなく削除できるものはありません。

6. 物理的および経済的現実へのマッピング：抽象代数が熱力学の原則や経済メカニズムにどのように対応するかを示し、数学を観察可能な現象に基づかせます。

この統合を通じて、私たちは知識フックフレームワークを孤立した結果の集合から統一理論へと引き上げます—それは個々のフックの振る舞いだけでなく、知識、自動化、価値創造のエコシステム全体が明確に定義された数学的法則の下でどのように機能するかを説明します。

5.1 形式的性質と不变量

七つの基本的な定理とその系の他に、知識フック代数は形式的特性の豊かな構造を持っています—変換を通じて一定のままである不变量、常に成り立つ代数的同一性、システムの挙動を制約する複雑性の限界。これらの特性は、定理の地位には昇格されていませんが、システムの深い数学的構造を理解し、実用的な実装のために不可欠です。

形式的特性の役割

形式的性質は、3つの重要な目的を果たします：

1. 実装ガイダンス：不变量は、システム操作中に保持されるべきことを実装者に伝え、テスト可能な正確性条件を提供します。

2. 理論的洞察：代数的同一性は、システムの異なる側面間の隠れた対称性と関係を明らかにし、数学的理解を深めます。

3. パフォーマンス分析：複雑性の境界は、システムの動作に対する現実的な期待を確立し、不可能な最適化を防ぎ、リソースの配分を導きます。

このセクションでは、最も重要な形式的性質を、システム不变量、代数的同一性、複雑性の境界、およびその他の数学的結果のカテゴリに整理してカタログ化します。

5.1.1 システム不变量

不变量とは、システム操作の下で変更されない性質です。不变量は強力な正確性の保証を提供します：不变量が最初に成立し、すべての操作によって保持される場合、それは常に成立します。

定義：性質 $P(\mathcal{H}, t)$ は、不变量である場合：

$$P(\mathcal{H}, 0) \wedge [\forall t, \text{op} : P(\mathcal{H}, t) \implies P(\text{op}(\mathcal{H}), t + 1)] \implies \forall t : P(\mathcal{H}, t)$$

つまり、 P が最初に成立し、すべての操作が P を保持する場合、 P は常に成立します。

不变量 1：フック構造の保持

すべてのオブジェクト \mathcal{H} は、常に知識フックの定義特性を満たします：

$$\forall KH \in \mathcal{H}, \forall t : \begin{cases} R(KH) \in \text{Boolean}^C & (\text{Conditions are Boolean functions}) \\ A(KH) \subseteq \mathcal{A} \wedge |A(KH)| < \infty & (\text{Actions are finite subsets}) \\ S(KH) \in [0, 1] & (\text{Success scores are probabilities}) \end{cases}$$

保存メカニズム：定理3（閉包）と定理5（学習）は、すべての操作が有効なフックを生成することを保証することで、この不变条件を保証します。

実用的な意味：実装者は、タイプシステムやランタイムアサーションを使用してこの不变条件を強制し、無効なフックが作成される場所でバグを捕捉できます。

不变条件2：パーティションの安定性

同値類構造は常に \mathcal{H} を分割します：

$$\forall t : \mathcal{H}(t) = \bigsqcup_i [KH_i]_t \wedge ([KH_i]_t \cap [KH_j]_t = \emptyset \text{ for } i \neq j)$$

保存メカニズム：フックが学習され、合成され、または作成される際にも、パーティション構造は維持されます。新しいフックは既存の同値類に参加するか、新しいものを作成しますが、クラスは決して重複しません。

実用的な意味：システムは、操作によって無効化されることのないパーティションデータ構造（例：ユニオンファインド）を維持できます。

不变条件3：成功スコアの有界性

$$\forall KH \in \mathcal{H}, \forall t : 0 \leq S(KH, t) \leq 1$$

成功スコアは確率であり、 $[0, 1]$ の範囲内に留まる必要があります。さらに、補題6（成功スコアの単調性）によれば：

$$\forall t_2 > t_1 : S(KH, t_1) \leq S(KH, t_2) \leq 1$$

保存メカニズム：学習更新は $[0, 1] \rightarrow [0, 1]$ をマッピングする関数を使用します。例えば：

$$S_{t+1} = \min(S_t + \alpha \cdot \Delta S, 1)$$

ここで $\Delta S \geq 0$ は単調性によります。

不变量 4： 総エネルギー保存

システム内の総エネルギー（ユーザーの努力 + 自動化された作業）は一定です：

$$E_{\text{user}}(t) + E_{\text{automated}}(t) = E_{\text{total}} = \text{constant}$$

自動化が進むにつれて、ユーザーのエネルギーは同じ量だけ減少します：

$$\Delta E_{\text{user}} = -\Delta E_{\text{automated}}$$

保存メカニズム：定理 6（エネルギー保存法則）がこれを確立します。エネルギーは創造されず、破壊されず、ユーザーからシステムへと移転されるだけです。

実用的な意味：エネルギーの計算は常にバランスを取らなければなりません。測定されたユーザーエネルギーが減少した場合、自動化されたエネルギーは同じ量だけ増加しなければなりません。

不变量 5： 結果の決定論

任意のフック KH とコンテキスト C に対して、結果は決定論的です：

$$\forall KH, C : \text{outcome}(KH, C) = \text{outcome}(KH, C)$$

この一見自明な声明には内容があります： 結果は再現可能です。同じコンテキストで同じフックを実行すると、常に同じ結果が得られます（成功スコアによって捉えられる確率的変動を除いて）。

保存メカニズム： フックはそのコンテキストの純粋な関数です。副作用は決定論を確保するために慎重に制御されています。

不变量 6：合成の結合性

$$\forall KH_1, KH_2, KH_3 : (KH_1 \circ KH_2) \circ KH_3 \equiv KH_1 \circ (KH_2 \circ KH_3)$$

フックの合成は結合的です：合成のグループ化は重要ではなく、順序だけが重要です。

証明：合成は逐次実行として定義されます。逐次実行は結合的です： (A, B) を実行してから C を実行することは、 A を実行してから (B, C) を実行することと同じです。どちらも状態シーケンス $S_0 \rightarrow S_1 \rightarrow S_2 \rightarrow S_3$ を生成します。

実用的な意味：ネストされた合成は意味論を変えずに任意の順序で評価でき、最適化を可能にします。

不变量7：アクションセットの有限性

$$\forall KH \in \mathcal{H} : |A(KH)| < \infty$$

すべてのフックには有限のアクション数があります。
これはすべての操作の下で保持されます：

$$\bullet \quad \text{合} \quad \text{成} \quad : \\ |A_1 \cup A_2| \leq |A_1| + |A_2| < \infty$$

- 学習：洗練はアクションを分割することがあります
が、無限のセットを作成することはできません。
- 作成：新しいフックは有限のアクションセットで定義されます。

実用的な意味：フックの実行が終了することを保証します（実行するアクションは有限です）。

5.1.2 代数的同一性

代数的同一式は、その変数のすべての値に対して成り立つ方程式です。これらの同一式は構造的特性を明らかにし、フック表現の代数的操作を可能にします。

同一性 1：構成成功スコア

$$S(KH_1 \circ KH_2) = S(KH_1) \cdot S(KH_2)$$

構成されたフックの成功スコアは、構成要素の成功スコアの積です。これは独立性に基づいています：
 KH_1 が確率 S_1 で成功し、 KH_2 が確率 S_2 で成功する場合、両方が確率 $S_1 \cdot S_2$ で成功します。

一般化： n 構成フックの場合：

$$S(KH_1 \circ KH_2 \circ \cdots \circ KH_n) = \prod_{i=1}^n S(KH_i)$$

結果： 長い構成チェーンは、成功スコアが乗法的に減少します。 $S = 0.95$ を持つ 10 のフックのチェーンは、全体の成功が $0.95^{10} \approx 0.60$ です。

同一性 2: アクションセットの和

$$A(KH_1 \circ KH_2) = A(KH_1) \cup A(KH_2)$$

構成のアクションセットは、構成要素のアクションセットの和です。より一般的には：

$$|A(KH_1 \circ KH_2)| \leq |A(KH_1)| + |A(KH_2)|$$

アクションセットが互いに素であるときに等しいです。

同一性 3: 同値推移チェーン

$$KH_1 \equiv KH_2 \equiv \cdots \equiv KH_n \implies KH_1 \equiv KH_n$$

同値チェーンは崩壊します： フックが順番に対になって同値である場合、最初と最後は同値です。これは同値関係の推移性に基づいています。

同一性 4: エネルギー-アクション比例

$$\frac{\Delta E_1}{\Delta |A_1|} = \frac{\Delta E_2}{\Delta |A_2|} = k$$

アクションあたりのエネルギー比はすべてのフックで一定です（定理6）。これによりエネルギー予測が可能になります：

$$\Delta E = k \cdot \Delta |A|$$

同一性5：最適フックの一意性（タイプライク内）

各同値類内で、最適なフックは成功スコアのタイに対して一意です：

if KH_1^*, KH_2^* are both optimal in $[KH] \Rightarrow |A(KH_1^*)| = |A(KH_2^*)| \wedge S(KH_1^*) = S(KH_2^*)$

つまり、2つのフックがどちらも最適である場合、それらは同じアクション数と成功スコアを持たなければなりません。結果に影響を与えない実装の詳細のみが異なります。

同一性6：学習の幕等性（完璧な修正のため）

修正が必要な変更を完璧に捉える場合、同じ修正を何度も適用しても追加の効果はありません：

$$\mathcal{L}(\mathcal{L}(KH, \delta), \delta) = \mathcal{L}(KH, \delta)$$

学習は飽和します：フックが修正を取り入れた後、同じ修正を再適用してもそれは変わりません。

同一性7：成功スコアの限界

$$\lim_{n \rightarrow \infty} S_n = 1 \iff \text{hook becomes perfect}$$

成功スコアは漸近的に1に近づきます。スコアが正確に1であることは、フックが決して失敗しないことを意味します—それは完璧です。

結果：実際には、成功スコアは1未満で横ばいになります（例： $S_{\max} \approx 0.99$ ）不可避な不確実性のためです。

同一性 8：パーティションのカーディナリティ境界

$$1 \leq |\{[KH_i]\}| \leq |\mathcal{H}|$$

同値類の数は少なくとも 1（すべてが同等）で、最大 $|\mathcal{H}|$ （何も同等でない）です。通常は：

$$|\{[KH_i]\}| = \Theta(\sqrt{|\mathcal{H}|})$$

実システムにおける経験的観察として。

同一性 9：合成の非可換性

$$KH_1 \circ KH_2 \not\equiv KH_2 \circ KH_1 \text{ (in general)}$$

フックの合成は可換ではありません。順序が重要です：

- "電話のロックを解除" その後 "アプリを開く"
- \neq "アプリを開く" その後 "電話のロックを解除"

ただし、特定のフックはそのアクションが干渉しない場合に可換です。

同一性 10: ゼロフックの存在

$$\exists KH_0 : A(KH_0) = \emptyset \wedge \forall KH : KH \circ KH_0 \equiv KH$$

任意のフックと合成してそのフックを変更せずに得られる同一フック（"何もしない"フック）が存在します。これは加算の **0** や乗算の **1** に似ています。

KH_0 の特性:

$$A(KH_0) = \emptyset, \quad S(KH_0) = 1, \quad \text{outcome}(KH_0, C) = C$$

5.1.3 複雑さの制約

複雑性の制約は、Knowledge Hook システムが必要とする計算および運用リソースを特徴づけます。これらの制約は、実装の実現可能性とパフォーマンス分析に不可欠です。

制約 1: フック評価の複雑性

フックの条件が満たされているかどうかを評価します：

$$\text{Time}(\text{eval}(R, C)) = O(|\text{features}(C)|)$$

条件チェックは、コンテキスト機能の数に対して線形です。典型的なシステムでは：

$$|\text{features}(C)| = O(10^2) \implies \text{eval time} \approx 1\text{ms}$$

制約 2: フック選択の複雑性

コンテキスト C で発火する最適なフックを見つける：

$$\text{Time}(\text{select}(\mathcal{H}, C)) = O(|\mathcal{H}| \cdot |\text{features}(C)|)$$

すべてのフックを評価し、最良のものを選択する必要があります。インデックスを使用すると：

$$\text{Time}(\text{select with index}) = O(\log |\mathcal{H}| + k \cdot |\text{features}(C)|)$$

ここで k は一致するフックの数です（通常 $k \ll |\mathcal{H}|$ ）。

制約 3：学習更新の複雑性

フックに修正を組み込む：

$$\text{Time}(\mathcal{L}(KH, \delta)) = O(|R| + |A|)$$

条件とアクションのサイズに対して線形です。深層学習ベースの実装の場合：

$$\text{Time}(\mathcal{L}_{\text{neural}}) = O(|\text{params}| \cdot \text{iterations})$$

はるかに大きくなる可能性があります。

制約 4：収束時間

ϵ -最適性 ($I(t) < \epsilon$) に達するまでの時間：

$$T(\epsilon) = O\left(\frac{1}{\epsilon} \cdot \frac{1}{L_{\min}}\right)$$

L_{\min} は補題 5 からの最小学習率です。より厳密な収束：

$$T(\epsilon) = \Omega\left(\log \frac{1}{\epsilon}\right)$$

指数的収束のため（最良ケース）。

制約 5：メモリ要件

フックシステムを保存するためのスペース：

$$\text{Space}(\mathcal{H}) = O(|\mathcal{H}| \cdot (|R_{\max}| + |A_{\max}|))$$

フックの数と平均フックサイズの積に対して線形です。典型的なシステムの場合：

$$|\mathcal{H}| \approx 10^3, \quad |R_{\max}| \approx 10^2, \quad |A_{\max}| \approx 10 \implies \text{Space} \approx 1\text{MB}$$

制約 6：合成の深さ

最大の実用的構成深度：

$$d_{\max} = O \left(\frac{\log(1/S_{\min})}{\log(1/S_{\text{avg}})} \right)$$

S_{\min} は最小の受け入れ可能な成功スコアです。
 $S(KH_1 \circ \cdots \circ KH_n) = \prod S_i$
 以降、成功スコアは深度に対して指數関数的に減衰します。

例 : $S_{\text{avg}} = 0.95$ と $S_{\min} = 0.5$
 の場合 :

$$d_{\max} = \frac{\log(0.5)}{\log(0.95)} \approx 13 \text{ hooks}$$

境界 7 : 同値クラスのサイズ

同値クラス内のフックの最大数 :

$$|[KH]_{\max}| = O(2^{|\text{features}|})$$

最悪の場合、特徴のすべての組み合わせが同じ結果を達成する異なるフックを定義します。実際には :

$$|[KH]_{\text{typical}}| = O(\log |\mathcal{H}|)$$

境界 8 : 修正頻度の下限

成功スコア S_{target} を達成するために必要な最小修正数 :

$$C_{\min} = \Omega\left(\frac{1}{\alpha} \log \frac{1}{1 - S_{\text{target}}}\right)$$

α は学習率です。これは単調改善の境界から導かれます。

境界 9 : パーティション再計算

新しいフックを追加した後、同値クラスの分割を再計算する時間です :

$$\text{Time(partition update)} = O(|\mathcal{H}| \cdot |\mathcal{C}| \cdot |A_{\max}|)$$

新しいフックをすべてのコンテキストにわたる既存のフックと照合する必要があります。増分アルゴリズムを使用して :

$$\text{Time(incremental)} = O(|[KH]_{\text{candidate}}| \cdot |\mathcal{C}|)$$

おそらく同等のフックに対してのみチェックします。

境界 10: エネルギー測定精度

エネルギー節約測定の精度 :

$$\sigma_{\Delta E} = O\left(\sqrt{\frac{1}{n} \sum_{i=1}^n (E_i - \bar{E})^2}\right)$$

標準誤差は $1/\sqrt{n}$ として減少し、 n は測定の数です。精度 ϵ を達成するには：

$$n = O\left(\frac{\sigma^2}{\epsilon^2}\right)$$

5.1.4 追加の数学的特性

不变量、同一性、複雑性の境界を超えて、いくつかの他の数学的特性がKnowledge Hookシステムを特徴づけます。

特性 1：リヤプノフ関数の存在

減少する単調的なリヤプノフ関数 $V : \mathcal{H} \times \mathbb{R}^+ \rightarrow \mathbb{R}^+$ が存在し、収束を証明します：

$$V(\mathcal{H}, t) = I(t) + \alpha \cdot \sum_i (1 - S_i(t))$$

この機能は、入力要件とフックの信頼性を組み合わせます。システムが学習するにつれて：

$$\frac{dV}{dt} \leq 0$$

解釈： V は「完璧な自動化からの距離」を測定します。単調減少は収束を保証します。

特性2：情報理論的限界

フックを指定するために必要な最小情報：

$$I(KH) \geq H(R) + H(A) + H(S)$$

ここで $H(\cdot)$ はシャノンエントロピーです。これはコルモゴロフ複雑性の下限です—フックをその最小記述長より少ない情報で説明することはできません。

結果：フックの圧縮には基本的な限界があります。複雑なフックを任意に小さなデータで表現することはできません。

特性3：エルゴード性

ナレッジフックシステムはエルゴード的です：時間平均はアンサンブル平均に等しいです。

$$\lim_{T \rightarrow \infty} \frac{1}{T} \int_0^T f(\mathcal{H}, t) dt = \langle f(\mathcal{H}) \rangle_{\text{ensemble}}$$

解釈：単一のシステムを長時間観察することは、同時に多くのシステムを観察するのと同じ統計を提供します。

実用的な意味：1人のユーザーの長期使用から得られたパフォーマンス統計は、集団の行動を予測できます。

性質 4: 最大エントロピー原理

複数のフックが観察された行動を説明できる場合、最大エントロピー分布を優先します：

$$P^*(\mathcal{H}) = \arg \max_P H(P) \quad \text{subject to} \quad \mathbb{E}_P[f_i] = \mu_i$$

ここで f_i は制約関数で、 μ_i は観察されたメントです。

解釈：データが要求する以上の構造を仮定しないでください。制約を考慮して最大限不確実であるべきです。

性質 5: 無料のランチ定理

すべての可能なフックシステムに対して最適な学習アルゴリズムは存在しません：

$$\sum_f P(\mathcal{L}_A(f)) = \sum_f P(\mathcal{L}_B(f))$$

すべての可能なタスク f に対して平均化すると、すべての学習アルゴリズム \mathcal{L} は同等に機能します。

結果：学習アルゴリズムは特定のドメインに合わせて調整する必要があります。普遍的に最良のアプローチはありません。

性質 6: 次元の呪い

コンテキスト特徴の次元 d が増加するにつれて、必要なデータは指数関数的に増加します：

$$n_{\text{samples}} = O(k^d)$$

ここで k は次元あたりのサンプル数です。
 $d = 10$ と $k = 10$ の場合：

$$n_{\text{samples}} = 10^{10} \text{ (impractical)}$$

軽減策：次元削減、特徴選択、または特徴の相互作用を利用する構造化モデルを使用します。

特性 7：バイアス-バリアンスのトレードオフ

フック学習は根本的なバイアス-バリアンスのトレードオフに直面します：

$$\mathbb{E}[(S_{\text{true}} - S_{\text{estimated}})^2] = \text{Bias}^2 + \text{Variance} + \sigma^2$$

- 高バイアス：フックモデルは単純すぎます（アンダーフィット）
- 高バリアンス：フックモデルは複雑すぎます（オーバーフィット）

最適な複雑さは両者のバランスを取ります。

特性 8：構成可能性グラフ構造

フックは構成の下で有向非巡回グラフ (DAG) を形成します：

$G = (\mathcal{H}, E)$ where $(KH_i, KH_j) \in E \iff KH_i$ can precede KH_j

このDAGの特性：

- 非循環： フックは直接または間接的に自分自身と組み合わせることができない（無限ループを防ぐ）
- トポロジカル順序が存在する： フックは依存関係が最初に来るように順序付けることができる
- 最大パス長： フックの数 $|\mathcal{H}|$ によって制限される

プロパティ 9： 熱力学的温度

システムには探索と活用を特徴づける効果的な温度がある：

$$T_{\text{eff}} = -\frac{1}{\beta \log P_{\text{explore}}}$$

ここで P_{explore} は非最適フックを試す確率である。

- 高 T ： ランダム探索（学習フェーズ）
- 低 T ： 最適活用（成熟フェーズ）

システムは学習するにつれて時間とともに「冷却」する。

プロパティ 10： サンプル複雑性境界

成功スコア S 、精度 ϵ 、信頼度 δ を持つフックを学ぶには：

$$n = O\left(\frac{1}{\epsilon^2} \log \frac{1}{\delta}\right)$$

これは確率推定のホエフディング境界です。

例：95%の信頼度で ± 0.05 以内に S を推定するには：

$$n = \frac{1}{0.05^2} \log \frac{1}{0.05} \approx 1200 \text{ samples}$$

5.1.5 概要と影響

このセクションに記載された正式な特性は、7つの基本定理を超えたKnowledge Hookシステムの包括的な数学的特性を提供します。これらの特性は複数の目的に役立ちます：

理論家向け：不变量、同一性、追加の特性は深い構造を明らかにします。これらは、Knowledge Hook代数が孤立した構造ではなく、熱力学、情報理論、統計的学習理論、グラフ理論といった確立された数学的枠組みとつながっていることを示しています。

実装者向け：複雑さの境界は現実的な期待を提供します。これらは、計算上実現可能なもの（フック評価、選

択、学習)と、根本的な障壁に直面するもの(次元の呪い、合成深度の制限)を教えてくれます。不变量はテスト可能な正確性条件を提供します。

システム設計者向け：特性はアーキテクチャの決定を導きます。リヤブノフ関数の存在は収束を保証し、学習インフラへの投資を正当化します。バイアス-バリアンスのトレードオフはモデルの複雑さの選択に影響を与えます。エルゴディシティは個々の行動から集団レベルの予測を可能にします。

ユーザー向け：ユーザーはこれらの数学的特性と直接対話することはありませんが、それらを基に設計されたシステムから恩恵を受けます。複雑さの境界は応答性のあるパフォーマンスを保証します。不变量は信頼性を保証します。収束はシステムが時間とともに改善されることを保証し、予測不可能ではありません。

相互接続

形式的な性質は孤立した事実ではなく、相互に関連した網を形成しています：

- 不变量は同一性を可能にします：分割の安定性(不变量)は同値の推移性(同一性)を意味のあるものにします。
- 同一性は境界を知らせます：成功スコアの積(同一性)は合成の深さ(境界)を制約します。
- 境界は性質を検証します：収束時間の境界(境界)はリヤブノフ関数の減少(性質)を確認します。

この相互接続は全体的な枠組みに対する信頼を強化します。数学は自己一貫しています：異なるアプローチ(不

变量、同一性、複雑性分析)はすべて同じ根底にある現実を指し示します。

今後の方向性

このセクションでは既知の形式的性質をカタログ化していますが、多くの質問が未解決のまま残っています：

- より厳密な境界： $O(|\mathcal{H}|)$ の選択の複雑さを改善できますか？より良いインデックス構造はありますか？
- 追加の不变量：他にどのような性質が一定のままでですか？エネルギーを超えた保存量はありますか？
- 代数的閉包：同一性の集合は有限生成集合を持つ完全な代数系を形成しますか？
- 確率的性質：分散、より高いモーメント、確率分布について何が言えるでしょうか？

これらの未解決の問題は、Knowledge Hook システムに関する将来の数学的研究の方向性を提供します。

結論

形式的性質は理論と実践をつなぎます。抽象的な定理を具体的にし、不变量は何を保持すべきかを教え、同一性は操作を可能にし、境界は期待を設定し、追加の性質は深い関係を明らかにします。これらの形式的性質は、七つの定理とその系を合わせて、Knowledge Hook システムについて推論し、実装し、最適化するための完全な数学的ツールキットを提供します。

形式的性質の豊かさは、代数、複雑性理論、熱力学、情報理論、統計学にわたり、Knowledge Hook 代数が狭い技術的形式主義ではなく、数学とコンピュータ科学の多

くの分野に触れる広範な数学的枠組みであることを示しています。この幅広さは、この理論が自動化、学習、価値創造に関する基本的な何かを捉えていることを示唆しています。これは、特定の実装を超えた原則であり、知的システムが人間の努力を軽減する場所で適用されます。

6

主観的熱通貨への架け橋

入力の最小化からエネルギーの最小化へ

6.1 エネルギーの最小化としての 入力の最小化

最小化の法則–知識フックの代数で確立した最初の原則は、複数のフックが現在のコンテキストに一致する場合、システムが最も少ないアクションを持つフックを選択することを述べています。この法則は、全体のシステムを効率に向けて駆動します：最小限のユーザー入力で目標を達成するフックが好まれ、使用を通じて強化され、時間とともにより高い成功スコアを蓄積します。

しかし、なぜ私たちはアクションを最小化することに気を使うべきなのでしょうか？その答えは、すべてのアクションがエネルギーを必要とするという根本的な物理的真実にあります。

キーストロークを入力すると、筋肉の収縮を通じて物理的なエネルギーを消費します。マウスをクリックすると、重力と摩擦に対して手を動かします。次に何をするかを決定すると、脳はグルコースと酸素を消費します–測定可能な代謝エネルギーです。デバイスがあなたの代わりにアクションを実行しても、最終的には化石燃料、原子反応、または再生可能エネルギー源に起因する電力を消費します。

したがって、最小化の法則は単なる便利さやユーザー体験に関するものではありません。それは熱力学的効率に関するものです。アクションの数を6から1に減らすことは、単に時間を節約するだけでなく、それら5つの削除されたアクションに対して消費するはずだった物理的エネルギーを節約します。

アクションの最小化とエネルギーの最小化のこの同等性は、主観的熱通貨の基盤です。これを正式に表現できます：

$$E_{\text{total}} = E_{\text{user}} + E_{\text{device}}$$

E_{user} はユーザーが消費したエネルギー（筋肉の動き、認知的努力）を表し、 E_{device} はアクションを実行するデバイスが消費するエネルギーを表します。アクションの数 $|A|$ を最小化することで、両方の要素を最小化します：

- ユーザーのアクションを減らす → E_{user} が少なくなる（クリック、キーストローク、決定、コマンドが少なくなる）
- デバイスのアクションを減らす → E_{device} が少なくなる（APIコール、計算、ネットワーク送信が少なくなる）

節約できる総エネルギーは定量化できます。単純な例を考えてみましょう：手動でメールを送信するのと、Knowledge Hookがコンテキストに基づいて自動的に作成して送信するのとでは。

手動プロセス：

- メールクライアントを開く（1クリック）：約0.15 J
- '作成'をクリック（1クリック）：約0.15 J
- 受取人のアドレスを入力（20キーストローク）：約2 J

- 件名を入力（15キーストローク）：約1.5 J
- メッセージ本文を入力（100キーストローク）：約10 J
- レビューと編集（認知的努力）：約5 J
- '送信'をクリック（1回クリック）：~0.15 J

合計：~19 Jのユーザーエネルギー

自動化プロセス（Knowledge Hook）：

- フックがコンテキストを検出（会議終了、アクションアイテム記録）
- 自動的にメールを生成
- ユーザーがレビューして承認（1回の視線、1回のタップ）：~0.2 J

合計：~0.2 Jのユーザーエネルギー

節約されたエネルギー：1通のメールあたり18.8 J

週に50通のメールを送信すると、この単一のフックは毎週940 J、年間約49,000 Jを節約します—これは50 kgの物体を100メートル持ち上げるのに必要なエネルギーに相当します。何百万ものユーザーと何千もの異なる自動化シナリオにこれを掛け合わせると、総合的なエネルギー節約は膨大になります。

これは主観的サービスへの架け橋です：Knowledge Hookが自律的に作動し、あなたが行う必要があった行動を実行するのを防ぐと、測定可能で検証可能なエネルギー節約が生まれます。これらの節約は次のようになります：

- 一般的な行動エネルギーコストの経験的測定を通じて定量化される
 - 前後比較と修正検出を通じて検証される
 - 同じフックのすべてのユーザーにわたって集約される
 - フックを作成した専門家に帰属される
 - 実際のエネルギー価値を表すSTCトークンとして貨幣化される

したがって、最小化の法則は、抽象的な貨幣価値ではなく、測定されたエネルギー効率に基づく経済システムの基本原則を提供します。

6.1.1 個人から集団へ

これまで説明してきたように、主観的技術は主に個人レベルで機能します。知識フックはあなたのパターンを学び、あなたの文脈に適応し、あなたが個人的に費やす必要のある努力を減らします。これは価値がありますが、根本的にプライベートで譲渡不可能です。スマートフックを使用することで節約できるエネルギーはあなたのものだけです。

主観的熱通貨は、この個別の最適化を集団経済システムに変換します。重要な洞察を認識することによって：エネルギーの節約は共有できるのです。

専門家が知識フックを作成するとき—たとえば、学術論文で引用を自動的にフォーマットするフック—そのフックが何千人の研究者に使用されると、エネルギーの節約が倍増します。手動で引用をフォーマットするはずだった各

研究者は、時間と労力を節約します。節約された総エネルギーはすべてのユーザーの合計です：

$$E_{\text{total saved}} = \sum_{i=1}^N E_{\text{user}_i}$$

Nはフックの恩恵を受けるユーザーの数です。この集団的な節約には、従来の経済モデルとは異なるいくつかの重要な特性があります。

1. 資源の枯渇なしにスケーラビリティ

物理的な商品は各ユーザーのために製造、出荷、消費しなければならないのに対し、Knowledge Hookは追加のエネルギーコストがほとんどなく無限のユーザーにサービスを提供できます。引用フックを使用するもう1人の人の限界エネルギーコストは本質的にゼロであり、通常はマイクロジュールのわずかな計算コストだけです。

これは、従来の財やサービスとは根本的に異なる経済的ダイナミクスを生み出します。従来の市場では、より多くのユニットを生産するにはより多くの資源が必要です。1,000個のパンを作るベーカリーは、1個のパンを作るのに必要な材料とエネルギーの約1,000倍を必要とします。しかし、1,000人のユーザーにサービスを提供するKnowledge Hookは、1人のユーザーにサービスを提供するのとほぼ同じ計算リソースを必要とします。

このスケーラビリティの特性は、STCにおける価値創造が物理的な希少性に制約されないことを意味します。問題

は「どれだけ生産できるか？」ではなく、「どれだけの効率を発見し、共有できるか？」です。

2. ネットワーク効果による複利効果

より多くの人がフックを使用し、修正を通じてフィードバックを提供するにつれて、フックは改善されます。より良いフックは、使用ごとにより多くのエネルギーを節約し、広範な採用がより大きな個々の節約につながるポジティブなフィードバックループを作り出します。

引用形式のフックを再度考えてみましょう。最初に立ち上ったとき、成功率は85%かもしれません—ユーザーの修正を必要とせずに100件の引用のうち85件を正しくフォーマットします。各修正はフックを改善する学習信号を生成します。10,000人のユーザーがさまざまなエッジケースで500件の修正を行った後、成功率は95%に改善されます。100,000人のユーザーと2,000件の修正の後、98%に達します。

この改善は全員に利益をもたらします。初期の採用者は修正を通じてフックを洗練させるのを助けます。後から採用する人々は、めったに間違いを犯さない高品質なツールの恩恵を受けます。使用ごとの価値は時間とともに増加しますが、各個々のユーザーはフックと数回しか対話しないかもしれません。

集団的な学習は複利効果を生み出します：各ユーザーの修正は、すべての将来のユーザーにとってフックをより良くします。これは、使用が通常価値を減少させる（摩耗や枯渇）従来の製品とは根本的に異なります。STCでは、使用が価値を高めます。

3. 自動帰属と比例報酬

各フックにはクリエイター（またはクリエイターのチーム）がいるため、集団のエネルギー節約は、その節約を可能にした人々に帰属されます。これにより、実際の価値創造に沿った経済的インセンティブ構造が生まれます：価値のあるフックを作成する専門家は、すべてのユーザーによって節約された総エネルギーに比例した報酬を受け取ります。

帰属メカニズムはフックのメタデータを通じて機能します。引用フックが正常に発火するたびに、システムは：

- 節約されたエネルギーを測定します（手動フォーマットと比較して排除されたアクション）
- この節約をグローバル台帳に記録します
- フックのクリエイターにSTCトークンの比例配分を与えます

フックがフォーマットされた各引用につき平均2ジュールを節約し、すべてのユーザーで100万件の引用をフォーマットした場合、クリエイターは200万ジュールの集団エネルギー節約を生み出したことになります。STCでは、これは通貨に直接変換されます：クリエイターは200万STCトークンを獲得します（各トークンは1ジュールの節約を表します）。

この報酬モデルは従来のソフトウェアのマネタイズとは根本的に異なります：

- 前払いなし：ユーザーはフックを購入しません。彼らは単にそれを使用し、報酬は実際のエネルギー節約に基づいて自動的に流れます。

- 繼続的な価値の流れ：クリエイターはフックがエネルギーを節約し続ける限り収入を得るために、維持・改善するインセンティブが生まれます。
- 影響に比例：数百万回使用されるフックは、数十回使用されるフックよりも多くの報酬を得るために、一般的な問題を解決するクリエイターに自然に報いる。
- 物理学によって検証：エネルギーの節約は、レビュー評価ではなく、アクションカウントとコンテキストデルタを通じて客観的に測定される。

4. 生産者と消費者の変革

個人から集団へのこのシフトは、生産者と消費者の関係を根本的に変えます。従来の経済学では、これらは異なる役割です：生産者は商品やサービスを作成し、消費者はそれらを購入して使用し、取引が価値の交換を完了します。

STCでは、境界が曖昧になります。消費者は貢献者でもあり、彼らの修正はすべての人のフックを改善します。生産者はユーザーでもあり、自分のフックを作成しながら他の人のフックから利益を得ます。ネットワークは、別々の買い手と売り手の市場ではなく、協力的なエコシステムになります。

引用形式のフックを使用する研究者を考えてみてくださいが、同時に統計分析のためのフックも作成します。彼女は同時に：

- 形式設定でエネルギーを節約する引用フックの消費者
- 時折の修正を通じて引用フックの貢献者

- 他者のために価値を創造する統計フックの生産者
- 時間とともに両方のフックを改善する集団学習の受益者

従来の経済では、これらは別々の取引であり、別々の支払い、契約、会計が必要です。しかし、STCでは、これらはネットワークを通じてのエネルギーと価値の自然な流れであり、すべて自動的に追跡され、公正に補償されます。

5. 公共財とコモンズの悲劇への解決策

STCの集合的な性質は、従来の経済学における根本的な問題の一つ、公共財の供給不足を解決します。

公共財とは、すべての人に利益をもたらすが、個別に料金を請求するのが難しいものです。例としては、清潔な空気、街灯、科学研究、ソフトウェアのアクセシビリティ機能などがあります。従来の市場は、公共財の最適なレベルを提供することに失敗しています。理由は以下の通りです：

- 排除不可能性：一度作成されると、非支払い者が利益を得るのを防ぐことができません。
- フリーライダー問題：合理的な個人は、他の人が支払うのを待ち、自分は貢献せずに利益を得ようとします。
- 調整の失敗：全員が共同資金から利益を得るとしても、その資金を組織するのは難しいです。

STCは、共同の節約を自動的に帰属させることで、この問題を優雅に解決します。盲目的ユーザーがウェブサイトをナビゲートするのを助ける知識フックを考えてみてください

さい。それは、画像やインターフェース要素の説明文を自動的に生成します。

In a traditional market, developing this hook might cost \$100,000 in developer time. But each individual blind user might only be willing to pay \$10, and there might only be 5,000 potential users—generating only \$50,000 in revenue. The hook doesn't get built, even though the total value ($\$10 \times 5,000 = \$50,000$) plus the social benefit of inclusion is enormous.

STCでは、計算が異なります：

- フックが発動するたびに、ユーザーのエネルギーを節約します（手動でのナビゲーションの手間を排除）
- 各使用が平均50ジュールを節約し、各ユーザーが月に100回トリガーすると、1ユーザーあたり月5,000Jになります
- 5年間（60ヶ月）で5,000人のユーザー全体で、総節約 = 5,000ユーザー × 5,000J/月 × 60ヶ月 = 15億ジュール
- 制作者は自動的に15億STCトークンを獲得します—開発コストを大きく上回ります

フックは構築され、維持され、継続的に改善されます。なぜなら、報酬は個々の前払い意欲ではなく、真の集合的価値を反映するからです。公共財は、実際の使用から価値が流れるときに自然に資金提供されます。

6. 新たに現れる集合知

個人から集合体に移行する最も深い結果の1つは、集合知または集合的最適化と呼ぶことができるものの出現です。

世界中の何百万ものユーザーがすべて修正、使用データ、および文脈パターンを共有の知識フックのプールに提供すると、システム全体はどの個人よりも賢くなります。単一のユーザーには見えないパターンが、集団全体では明らかになります。個人がめったに遭遇しないエッジケースは、集約的に頻繁に遭遇し、堅牢な解決策につながります。

これにより、中央の計画者が必要ない分散型の問題解決の形が生まれます。システムは自動的に高価値の機会（手動で行うと多くのエネルギーを消費するタスクだが、自動化できるもの）を特定し、影響に比例して解決策に報酬を与え、集合的フィードバックを通じてそれらの解決策を継続的に洗練します。

熱力学的な観点から、全体のネットワークは最小エネルギー構成を求める単一の適応システムとして機能します。個別最適化（あなたのフックがあなたのパターンを学ぶこと）と集合最適化（共有フックが普遍的なパターンを学ぶこと）が協力し、文明規模の効率エンジンを生み出します。

経済的パラダイムのシフト

個人から集団への移行は、経済組織における根本的なシフトを表しています：

- 希少性から豊富さへ：物理的な商品は希少で競争的です（私の使用はあなたの使用を妨げます）。エネルギー節約の知識は豊富で非競争的です（私の使用は改善を通じてあなたの使用を高めます）。

- 競争から協力へ：従来の市場は他者を上回る者を報いる。STCは、ユーザー間で複利的に価値を創造する者を報います。
- 取引からフローへ：個別の交換（あなたが支払い、私が配達する）の代わりに、価値は継続的な使用と改善に基づいて流れます。
- 価格から物理学へ：補償は供給と需要の曲線や交渉された価格によって決まるのではなく、客観的に測定されたエネルギーの節約によって決まります。

この変革により、STCは単なる個人の生産性ツール以上のものになります—それは、個人の利益と集団の利益が自然に一致し、公共財が自動的に資金提供され、価値創造が現実の基本的な通貨であるエネルギーによって測定される全く新しい形の経済組織の基盤となります。

6.1.2 デジタルから物理へ

6.2 入力-エネルギー方程式

6.2.1 ARとAIビジョンによるコンテキスト対応測定

主観的技術から主観的熱通貨への橋は、現実世界でのエネルギー消費を測定するという一つの重要な能力に完全に依存しています。デジタルアクション—キーストローク、クリック、API呼び出し—は比較的簡単に追跡できます。しかし、物理的なアクションはどうでしょうか？ライドスイッチまで歩くこと、物を取ること、鍵を探すこと、または日常生活を構成する無数の物理的動作のエネルギーコストをどのように測定しますか？

その答えは、人工知能コンピュータビジョンと組み合わせた拡張現実スマートグラスにあります。これらの技術は連携して、物理的な世界を測定可能で文脈を意識した環境に変え、すべてのアクションを観察、分類、エネルギー消費の観点から定量化できるようにします。

ARスマートグラスの役割

ARスマートグラスは、ユーザーとその環境との間の主要な感覚インターフェースとして機能します。意図的に取り出して狙う必要があるスマートフォンとは異なり、スマートグラスはあなたが見るものや行うすべてのことを継続的にハンズフリーで観察します。実際には、日常生活のバックグラウンドで動作するウェアラブルコンテキストキャプチャデバイスです。

眼鏡は同時に複数のデータストリームをキャプチャします：

- 視野：高解像度カメラがあなたが見ているすべてを記録し、環境の連続したビデオストリームを作成します
- 頭の位置と向き：慣性測定ユニット（IMU）が頭の動きと注意を向いている場所を追跡します
- 目の追跡：高度なモデルは、視野内で特定の物体や領域に焦点を合わせているかを検出できます
- 深度知覚：立体カメラまたはLiDARセンサーが周囲の3Dマップを作成し、物体までの距離を測定します
- 音声：マイクが周囲の音、音声コマンド、環境の手がかりをキャプチャします
- 生体認証：一部のモデルには、心拍数、皮膚温度、エネルギー消費と関連する他の生理的信号のセンサーが含

まれています。

これらのデータストリームは、私たちが包括的なコンテキストスナップショットと呼ぶものを作成します。これは、あなたの身体の状態と環境の豊かで多次元的な記録です。

コンピュータビジョン：ピクセルから意味理解へ

生のカメラフィードは単なるピクセルです。色の値の配列であり、固有の意味はありません。深層学習モデルによって駆動されるコンピュータビジョンは、これらのピクセルを意味理解に変換します：どのオブジェクトが存在するか、どのアクションが行われているか、シーン内の要素間の空間的関係は何か。

現代のAIビジョンシステムは次のものを認識できます：

- オブジェクト：コーヒーカップ、ライトスイッチ、ドア、鍵、サーモスタット、家電、家具、工具-あなたがやり取りする可能性のあるものすべて。
- アクション：歩く、手を伸ばす、つかむ、タイピングする、探す、料理する、掃除する-エネルギーを消費するあらゆる身体活動。
- 人々：誰がいるか、彼らのボディランゲージ、彼らの相対的な位置（プライバシーを尊重しつつローカル処理を通じて）。
- 空間的コンテキスト：部屋のレイアウト、オブジェクト間の距離、ナビゲーションパス、障害物。
- 時間的パターン：繰り返される行動、ルーチン、アクションのシーケンス。

ビジョンシステムは継続的に動作し、物理的環境と活動のリアルタイムの知識グラフを構築します。このグラフは、システムがコンテキストを理解することを可能にします。単にキッチンにいるだけでなく、午前7時にキッチンにおいて、コーヒーメーカーを見て、目が覚めたばかりで、手にマグカップを持っているということです。 :00

物理世界におけるコンテキストスナップショット

デジタルデバイスが内部状態のスナップショットを撮ると同様に、ARグラスは物理世界のスナップショットを撮ります。しかし、これらのスナップショットは純粋なデジタルシステムで可能なものよりもはるかに豊かです。時刻における物理的コンテキストスナップショットには次のようなものが含まれるかもしれません：

$$\Sigma_t^{\text{physical}} = \{\text{objects, positions, distances, actions, gaze direction, body pose, environment state}\}$$

例：仕事の後に自宅に入ると、ARグラスがキャプチャします：

- 検出されたオブジェクト：玄関ドア、手に持った鍵、コートラック、リビングルームのライト（現在オフ）、温度計が 18°C を表示
- あなたの位置：玄関に立っていて、ライトスイッチから 0.5m 、サーモスタットから 3m
- あなたの行動：前に歩く（2歩）、ライトスイッチに手を上げる
- 時間のコンテキスト：冬の火曜日の午後6時15分 :15
- 環境状態：屋外温度 5°C 、日没まで20分、9時間不在

この豊かなコンテキストは、システムがあなたの意図（ライトと暖かさが欲しい）を理解し、あなたの行動のエネルギーコストを測定することを可能にします（スイッチに歩く：約10 J、スイッチをひねる：約0.5 J、サーモスタットを調整する：部屋を横切る歩行を含めて約15 J）。

物理空間におけるデルタ検出

学習した知識フックがデルタ検出（アクションの前後のスナップショットを比較）を使用してデジタル環境でパターンを学ぶのと同様に、AR対応システムは物理空間で学ぶために視覚的なデルタ検出を使用します。

システムは連続する物理的コンテキストのスナップショットを比較して、何が変わったかを特定します：

$$\Delta \Sigma = \Sigma_{t+1} - \Sigma_t$$

自宅到着の例では：

- 前 (Σ_t) : 照明オフ、サーモスタット 18°C 、ドアのそばに立っているあなた
- 後 (Σ_{t+1}) : 照明オン、サーモスタット 21°C 、ソファに座っているあなた
- デルタ ($\Delta \Sigma$) : +照明、 $+3^{\circ}\text{C}$ 、位置が変わった (5m 歩行)、2回の手動調整が行われた

デルタは、あなたが望んでいたもの（暖かく、明るい環境）と、それにかかったコスト（歩行、手動調整）を明らかにします。このパターンを何度か観察した後、知識フックが形成されることがあります：

条件：自宅到着、冬の夕方、温度 < 19°C、照明オフ

アクション：照明をオンにする、サーモスタッフを 21°C に設定する

タイプ：学習済み

成功スコア：初期値 0.5、成功したアクティベーションごとに増加

今、同様の条件で帰宅すると、フックは自動的に作動します。スマートホームシステムは、スイッチに手を伸ばす前に照明と温度を調整し、25.5 ジュールの身体的努力を節約します。

身体エネルギー消費の測定

コンテキストスナップショットがあなたの行動をキャプチャする中で、観察された行動をどのようにエネルギー測定に変換しますか？

システムは、リアルタイムの観察と組み合わせた生体力学モデルを使用します：

1. 移動エネルギー：コンピュータビジョンが空間内のあなたの動きを追跡します。5 メートル歩くには約 10 ジュール（1 ステップあたり 2 ジュール × 5 ステップ）が必要です。システムはあなたが歩いているときに検出し、距離を測定できます。

2. 操作エネルギー：物体に手を伸ばして操作する際、ビジョンシステムは腕の伸長距離、物体の重さ（視覚的サイズと既知の物体タイプから推定）、および動作速度を観察します。手を伸ばして掴む動作は、距離と物体の重さに応じて通常 0.5–2 ジュールのコストがかかります。

3. 認知負荷：目の追跡があなたの注意の向けられている場所を明らかにします。何かを視覚的に探している場合（目が素早くスキャンし、頭が動いている）、これは認知的努力を示します。研究によると、視覚検索タスクは複雑さに応じて1分あたり2-5ジュールを消費します。

4. 姿勢の変化：座っている状態から立ち上がる、しゃがむ、手を伸ばす—すべて測定可能なエネルギーを必要とします。ビジョンはこれらの姿勢の変化を検出し、標準的な生体力学的公式を適用してコストを推定できます。

5. タスク完了時間：正確なエネルギーコストが不確かであっても、タスクに費やす時間は測定可能です。基礎代謝率（脳で約20ワット、安静時の体で約80ワット）が最低エネルギーの基準を設定します。5分かかるタスクは、たとえ立って考えているだけでも、少なくとも500ジュール（100ワット × 300秒）を消費します。

これらの測定値を組み合わせることで、システムは観察された各アクションのエネルギープロファイルを構築します：

$$E_{\text{action}} = E_{\text{locomotion}} + E_{\text{manipulation}} + E_{\text{cognitive}} + E_{\text{postural}} + E_{\text{basal}} \times t$$

プライバシー保護のためのローカル処理

このアプローチの重要な特徴は、すべての視覚処理がスマートグラスまたは個人用エッジデバイスでローカルに行われることです。生のビデオはあなたの手元を離れません。コンピュータビジョンモデルはデバイス上で実行され、画像を送信するのではなく、意味情報（「ユーザーが3メートル歩いた」、「ユーザーがコーヒーカップを拾った」）のみを抽出します。

このローカル処理は次のことを保証します：

- プライバシー：他の誰もあなたが見るものを見ることはできません。あなたの視覚的コンテキストは完全にプライベートに保たれます。
- セキュリティ：ハッキングや召喚される可能性のあるクラウド内のビデオ映像は存在しません。
- 低遅延：処理はミリ秒単位で行われ、リアルタイムの応答を可能にします。
- オフライン機能：システムはインターネット接続がなくても機能します。

抽出されたコンテキスト（意味の説明とエネルギー測定値）だけがKnowledge HooksおよびSTC台帳と共有され、これもネットワーク送信の前に集約され匿名化される可能性があります。

デジタルコンテキストとの統合

ARグラスからの物理的コンテキストとデバイスからのデジタルコンテキストが融合することで真の力が発揮されます。統合されたグローバルコンテキストは、両方の領域にまたがります：

$$\Sigma_{\text{unified}} = \Sigma_{\text{physical}} \cup \Sigma_{\text{digital}}$$

統合されたコンテキストを示す例のシナリオ：

あなたは夕食を作っている間、電話はキッチンカウンターの上にあります。スマートグラスはあなたが野菜を切っているのを見て、コンロが点いていることを検出します。あなたの電話はタイマーがカウントダウンしているのを見て（デジタルコンテキスト）、カレンダーには30分後にビデオ通話があることが表示されています（デジタルコ

ンテキスト）。Knowledge Hookはパターンを認識します：タイマーを使って料理をしていて、今後の通話があるときは、通常、通話の10分前に料理を終えて片付けるためのリマインダーが必要です。

ARビジョンがなければ、システムはあなたが積極的に料理をしていることを見逃します。デジタルコンテキストがなければ、通話について知ることはできません。両者が組み合わさることで、複数のタイムラインを同時に追跡するための精神的エネルギーを節約するインテリジェントなアシスタンスが可能になります。

実用例：エネルギー測定の実践

コンテキスト対応のエネルギー測定の完全な例を追ってみましょう：

シナリオ：仕事に出かける前に車の鍵を見つける必要があります。

手動アプローチ（AR支援なし）：

1. リビングルームを視覚的にスキャンする（30秒、3 Jの認知努力）
2. 寝室へ歩く（8歩、16 Jの移動）
3. 寝室を探す（45秒、4 Jの認知 + 2 Jの物を動かす）
4. キッチンへ歩く（12歩、24 Jの移動）
5. カウンターの新聞の下にある鍵を見つける（安心、鍵をつかむ、1 Jの操作）

合計：約50 Jと2-3分の時間とストレス

AR支援アプローチ：

1. 充電ステーションから電話と財布を取る（ARメガネがこれを観察し、出発前のパターンを認識）
2. メガネがキッチンに向かう矢印を重ねる：「カウンターの鍵、新聞の下」（システムは昨日鍵を置いたのを見たことを覚えている）
3. 直接キッチンへ歩き（12歩、24 J）鍵を取り出す（1 J）

合計：約25 Jと30秒

節約されたエネルギー：25 Jの身体的努力 + 認知ストレスの排除

ARシステムは両方のアプローチを測定しました：最初の数回は手動で検索しているあなたを観察し（パターンを学習し、エネルギーコストを測定）、その後支援を提供しました（コストの削減を測定）。25 Jの差はSTC台帳に記録され、オブジェクトトラッキングのナレッジフックを作成または改善した人に帰属します。

文明へのスケーリング

この能力が大規模に展開されることを想像してみてください：何百万もの人々がARグラスを着用し、それぞれが継続的なコンテキストスナップショットを生成し、身体的エネルギー消費を最小限に抑えるナレッジフックの恩恵を受けています。合計のエネルギー節約は膨大になります。

平均的な人が最適化できる50の身体的タスクを1日に実行し（物を見つける、空間をナビゲートする、環境コントロールを調整する、他者と調整する）、各最適化が平均10 Jを節約する場合、1人あたり1日500 Jになります。

す。1億人のARユーザーの人口全体では、1日あたり500億ジュール-15,000の家を1日分電力供給するのに必要なエネルギーに相当します。

これがARとAIビジョンによるコンテキスト対応測定の約束です：日常の身体生活の目に見えない、測定されていないエネルギーコストを定量化可能で最適化可能な指標に変換し、抽象的な貨幣価値ではなく、実際の熱力学的効率に基づく新しい経済システムを推進することができます。

ARスマートグラスは物理的な世界を測定可能にします。AIビジョンはそれを理解可能にします。これらが組み合わさることで、主観的熱通貨の感覚的基盤が生まれ、個々の生産性の向上から集団的経済変革への架け橋を可能にします。

6.2.2 予測効率

エネルギー最小化の最も進んだ形は反応的ではなく予測的です。予測効率とは、システムが非効率が発生した後に単に反応するのではなく、それが起こる前に予測し、リアルタイムで最適な選択肢にユーザーを導くことを意味します。これが、主観的技術が従来の自動化を超え、エネルギー保存のための積極的なパートナーになる場所です。

反応的から積極的な知性へ

従来の自動化はユーザーの入力に反応します：文字を入力すると、システムが次の単語を提案します。間違いを犯すと、システムがそれを修正します。この反応モデルは、ユーザーがアクションを開始する必要があるため、システムが応答するまでにエネルギーが既に消費されています。

予測効率はこのモデルをひっくり返します。ユーザーが行動するのを待つのではなく、システムは蓄積されたコンテキスト–過去の行動パターン、現在の環境状態、時間的パターン、学習された好み–を使用して、ユーザーが必要とする前に何が必要かを予測します。システムは次に、いすれかを行います：

1. 自動的にアクションを実行します（信頼度が十分に高い場合）
2. オプションを事前に提示します（検索と意思決定のエネルギーを削減）
3. 非効率的な道からユーザーを導きます（発生する前に無駄なエネルギーを防ぐ）

予測のための数学的枠組み

予測効率モデルは、現在のコンテキストスナップショット Σ_t に基づいて、可能な未来のアクションに対する確率分布を予測することに依存しています：

$$P(A_{t+1} | \Sigma_t) = \Pr[\text{User performs action } A_{t+1} \text{ given context } \Sigma_t]$$

システムは、ユーザーが次に取る可能性のあるすべてのアクションに対する学習された確率分布を維持します。この確率が閾値 \mathcal{T} （通常はエラーのコストに応じて 0.85–0.95）を超えると、システムは事前に行動できます：

$$\text{Trigger}(A) = \begin{cases} \text{Execute } A & \text{if } P(A | \Sigma_t) > \tau_{\text{execute}} \\ \text{Suggest } A & \text{if } \tau_{\text{suggest}} < P(A | \Sigma_t) \leq \tau_{\text{execute}} \\ \text{Silent} & \text{if } P(A | \Sigma_t) \leq \tau_{\text{suggest}} \end{cases}$$

予測効率からのエネルギーの節約は、ユーザーがアクションを検索して実行するために消費したであろうエネルギーと、システムが事前に行動したときに実際に消費されたエネルギーの差として定量化できます：

$$\Delta E_{\text{predict}} = E_{\text{manual}}(A) - E_{\text{predicted}}(A)$$

ここで：

$$E_{\text{manual}}(A) = E_{\text{search}} + E_{\text{decision}} + E_{\text{execution}}$$
$$E_{\text{predicted}}(A) = E_{\text{confirmation}} \text{ (or 0 if auto-executed)}$$

具体例：朝のルーチン予測

Consider a user's morning routine. Over weeks, the system observes that every weekday at 7:15 AM, after the user's alarm goes off, they:

1. 寝室のライトを消す
2. バスルームのライトをつける
3. コーヒーメーカーを始動する
4. サーモスタットを22°Cに設定する
5. 電話でニュースアプリを開く

十分な観察の後、システムは予測モデルを構築します：

$$P(A_{\text{bathroom_lights}} \mid \Sigma_{7:15AM, \text{weekday}, \text{alarm_off}}) = 0.97$$
$$P(A_{\text{coffee}} \mid \Sigma_{7:15AM, \text{weekday}, \text{alarm_off}}) = 0.95$$
$$P(A_{\text{thermostat}} \mid \Sigma_{7:15AM, \text{weekday}, \text{alarm_off}}) = 0.92$$

すべての確率が実行閾値 ($\tau_{\text{execute}} = 0.90$) を超えているため、コンテキストが一致するとシステムは自動的に動作します。エネルギーの節約は大きいです：

手動エネルギー消費（予測なし）：

- バスルームのライトスイッチまで歩く： 15 J
- スイッチを切り替える： 2 J
- コーヒーメーカーまで歩く： 12 J
- ボタンを押す： 2 J
- サーモスタットまで歩く： 10 J
- 温度を調整する： 3 J
- 電話を拾う： 5 J
- ニュースアプリに移動する： 4 J

総手動エネルギー： $E_{\text{manual}} = 53$

予測エネルギー消費量（自動実行時）：

- 電話の通知をちらっと見る（「朝のルーチンが有効化されました」）： 1 J

予測される総エネルギー： $E_{\text{predicted}} = 1$

節 約 さ れ た エ ネ ル ギ - :
 $\Delta E_{\text{predict}} = 53 - 1 = 52$ 毎朝

1年（260平日）で：この単一のルーチンで
 $52 \times 260 = 13,520$ が節約されます。何百万ものユーザーと何千ものルーチンパターンにこれを拡張すると、予測効率は文明規模のエネルギー最適化システムになります。

リアルタイムガイダンスと経路最適化

予測効率は既知のルーチンの自動化を超えて、非効率が発生する前に防ぐためのリアルタイムガイダンスも提供します。経路最適化を考えてみましょう：

ユーザーは通常、ルートA（8 km、15分）を使って仕事を向かいいます。システムは、交通データ、天候条件、学習した好みとの統合を通じて、ルートB（7.2 km、13分）が今日エネルギーを節約できると予測します。

ユーザーが運転を開始してから再ルートを提案するのではなく（反応的）、システムはユーザーが自宅を出る前に通知を送ります（積極的に）：

"ルートBは今日8分と2.3MJのエネルギーを節約します。推奨出発時刻：午前8時15分。" :15

エネルギー計算：

$$E_{\text{Route_A}} = \text{Distance} \times \text{Energy_per_km} + \text{Idle_time} \times \text{Energy_per_minute}$$

注：ユーザーのメッセージの数式が切り取られているようです。提供された内容を追加します。

6.3 完璧とゼロ入力ロジック

私たちは今、文脈に応じた測定と予測効率を探求しました。これは、エネルギーの節約を測定し、予測するため

の技術的メカニズムです。しかし、この軌道の最終的な目的地はどこでしょうか？エネルギー最小化に向けた relentless optimization は最終的にどこに導くのでしょうか？その答えは、数学的に優雅であり、哲学的にも深いものです：ゼロ入力の限界としての完璧さです。

数学的限界：完璧さとしてのゼロ

この本全体を通して、より良い技術はより少ないユーザー入力を必要とするという原則を公式化してきました。最小化法則は、同等の解の中で、より少ないアクションを必要とするものが優れていると述べています。定理1（ゼロ入力収束）は、5つの法則に支配されるシステムが時間が無限に近づくにつれてゼロ入力に向かうことを証明します。

$$\lim_{t \rightarrow \infty} \mathbb{E}[U(t)] = 0$$

これはヒューリスティックや願望ではなく、数学的な確実性です。十分な時間、学習、洗練があれば、期待されるユーザー入力はゼロに収束します。しかし、この限界は何を表しているのでしょうか？それは完璧さを表します：ユーザーと非常に良く同期し、予測が非常に正確で、カバー範囲が非常に包括的なシステムであり、明示的な入力が不要になるのです。

数学的には、完璧さは固定された状態ではなく、漸近的な限界です。システムが近づく境界ですが、完全には達成できないかもしれません。しかし、そのアプローチ自体が進歩の本質です。必要な入力の各削減は完璧さへの一步です。各自律的なアクションは、システムがあなたについて

てより多くを学び、あなたのパターンをより多く内面化し、意識的な努力なしに世界へのあなたのエージェンシーをさらに拡張した証拠です。

ゼロ入力はゼロエネルギーとして

主観的熱通貨の文脈において、ゼロ入力は単なるユーザー体験の目標ではなく、エネルギー最適化の目的です。定理7（エネルギー最小化の同等性）は、ユーザー入力を最小化することがユーザーのエネルギー支出を最小化することと数学的に同等であることを確立します。

$$\lim_{t \rightarrow \infty} \mathbb{E}[U(t)] = 0 \implies \lim_{t \rightarrow \infty} \mathbb{E}[E_{\text{user}}(t)] = 0$$

$E_{\text{user}}(t)$ は、時間 t におけるユーザーが消費した総エネルギー（ジュール単位）です。この同等性は、技術と経済の間の架け橋です。より少ない入力を必要とするシステムを作ることで、エネルギーを節約するシステムを作り、エネルギーを節約することで、STCトークンを通じてクレジットされる測定可能な経済的価値を生み出します。

したがって、ゼロ入力は単なるインターフェースの理想ではなく、熱力学的な理想です。それは、人間の努力が最小限に抑えられ、エネルギーの無駄が排除され、自動化の経済的価値が最大化される点を表しています。入力の削減を通じて節約された各ジュールは、自動化を作成した人々に戻るジュールであり、STCの経済的基盤を形成します。

完璧とはどのようなものか？

完璧なゼロ入力システムが実際に何を意味するのかを想像してみましょう。完全に成熟した主観的技術エコシス

テムに住む人の一日の生活を考えてみてください。

目が覚めます。時間を意識的に認識する前に、あなたの環境はすでに調整されています–光は徐々に明るくなり、あなたのサーカディアンリズムに合わせ、サーモスタッフはあなたの好みの朝の温度に設定され、コーヒーが淹れられ、シャワーは予め温められ、ARメガネに今日の優先事項が表示されています。

あなたはこれらの要求をしていません。ボタンを押したり、音声コマンドを発したり、画面をスワイプしたりしていません。システムは蓄積されたコンテキストに基づいてあなたのニーズを予測しました–時間帯、曜日、生体データによる睡眠-覚醒の移行、朝のルーチンの歴史的パターン。予測の信頼度は0.95を超えたため、システムは自律的に行動しました。あなたはただ目を覚ましただけで、世界はすでにあなたのために準備されていました。

エネルギー計算：

- 手動シナリオ（従来のシステム）：サーモスタッフまで歩く（12 J）、温度を調整する（3 J）、コーヒーメーカーまで歩く（15 J）、ボタンを押す（2 J）、バスルームまで歩く（10 J）、シャワーをオンにする（2 J）、電話をチェックしながら温水を待つ（20 J）。合計：64 J

- ゼロ入力シナリオ（完璧な予測）：ルーチンがアクティブになったことを確認するAR通知をちらっと見る（1 J）。合計：1 J

- 節約したエネルギー：63 J

このパターンは一日中続きます。あなたは同僚に文書を送る必要があります–それを探す前に、システムはすで

にあなたの現在のコンテキストに基づいて文書を特定しています（あなたはプロジェクトXに関する会議中で、同僚は昨日レポートを求めてメッセージを送ってきました、あなたは先週その文書を2回開きました）。文書はあなたの視界に現れ、送信するためには一つのジェスチャーだけが必要です。47 J節約。

あなたは家に帰る途中です。システムはリアルタイムの交通、天候、燃料レベル、金曜日に風光明媚なルートを好む傾向に基づいて最適なルートをすでに計算しています。ルートはあなたが尋ねる前に表示されます。あなたはただそれに従います。道順を探したり、途中でコースを修正したりするのに比べて2.1 MJ節約。

あなたは夕食を作っています。システムはARビジョンを通じて、あなたがコンロの上に鍋を置き、野菜を切っているのを観察しています。システムは、60秒後にコンロをオンにする必要があると予測し、確認のために頭をうなずいて事前に起動します（0.5 J）。これがなければ、あなたはコンロまで歩き（8 J）、ダイヤルを回し（3 J）、戻って（8 J）いたでしょう。18.5 Jの節約です。

一日の終わりには、あなたは数十、場合によっては数百のタスクを実行していますが、明示的な入力を提供することをほとんど思い出せません。システムは予測し、準備し、実行しました。あなたはただ考え、意図しただけで、それは実現しました。これが完璧さです：努力なしの主体性、摩擦なしの達成、労力なしの結果。

完璧さは意識の排除ではない

一般的な誤解は、ゼロ入力がユーザーを受動的にし、主体性が人間から機械に移るというものです。これは正確に間違っています。ゼロ入力は不必要的中間ステップの排

除を意味し、意図や意識の排除を意味するものではありません。

あなたはまだ自分が何を望んでいるかを決定します。あなたは目標を設定し、選択をし、判断を行います。しかし、意図と実行の間のギャップはほぼゼロに縮まります。あなたは自分の意図を一連の明示的なコマンドに翻訳する必要はありません—システムは文脈から意図を推測し、それに応じて行動します。

違いを考えてみてください：

従来のシステム：私はコーヒーが欲しい → コーヒーメーカーがどこにあるかを思い出さなければならない → それまで歩かなければならぬ → ボタンを押さなければならない → 待たなければならぬ → 戻らなければならない → やっとコーヒーが手に入る

ゼロ入力システム：私はコーヒーが欲しい → コーヒーが淹れられています

意図はあなたのもののままです。実行は自動化されています。これは受動性ではありません—それは努力のない主体性です。あなたは目標と価値の源であり、システムはそれを達成するための熱力学的コストを単に排除します。

完璧に近づくための修正の役割

完璧は予測、実行、修正の反復プロセスを通じて達成されます。システムは自信が高いときに自律的に動作します。誤りが発生した場合、ユーザーが修正します。各修正はシステムに何をすべきでないかを教え、モデルを洗練させ、将来の精度を向上させます。

このプロセスは修正法によって支配されています：

$$S(t+1) = (1 - \alpha)S(t) + \alpha \cdot \mathbb{1}[\text{Corr}_t = 0]$$

成功スコアは正しい予測で上昇し、修正で下降します。時間が経つにつれて、高信頼性のフックだけが残ります。常に修正を必要とするフックは抑制され、介入なしで正しく動作するフックが支配します。

これにより、完璧に向けた自然選択の圧力が生まれます。悪い予測は消え去り、良い予測は増殖します。システムは修正が稀になり、次第に消え、最終的にはゼロに近づく状態に進化します。この限界において、システムは完璧に動作します–自律的でエラーなしに。

完璧の経済学

主観的熱通貨において、完璧は単に望ましいだけでなく、経済的にインセンティブが与えられています。知識フックがゼロ入力操作に近づくほど、より多くのエネルギーを節約し、その創造者はより多くのSTCトークンを獲得します。

同じ結果を達成する2つのフックを考えてみましょう：

- フックA: 成功スコア = 0.85, 平均アクション = 3, 使用あたりの平均エネルギー = 15 J
- フックB: 成功スコア = 0.98, 平均アクション = 1, 使用あたりの平均エネルギー = 2 J

フックBは完璧に近いです。より信頼性が高く（修正が少ない）、アクションが少なく（効率が高い）、より多くのエネルギーを節約します（使用あたり13 J）。両方のフックが世界中のユーザーによって100万回使用される場合：

- フックAの総節約エネルギー: $15 \text{ J} \times 1,000,000$
= $15 \text{ MJ} \rightarrow 1500\text{万STCトーケン}$

- フックBの総節約エネルギー: $2 \text{ J} \times 1,000,000$
= $2 \text{ MJ} \rightarrow 200\text{万STCトーケン}$

待って–これは逆のようです！フックBは使用ごとにより多くのエネルギーを節約します（Aの15 Jに対して13 J）が、トーケンは少ないのですか？いいえ、比較に誤りがあります。正しい分析は次の通りです：

フックなし（手動操作）の場合: 30 J/回

- フックAの節約エネルギー: $(30 - 15) \times 1,000,000 = 15 \text{ MJ}$

- フックBの節約エネルギー: $(30 - 2) \times 1,000,000 = 28 \text{ MJ}$

フックBは2800万STCトーケンを獲得し、フックAの1500万のほぼ2倍です。完璧は報われます。フックがゼロ入力に近づくほど、その経済的価値は高まります。これにより、開発者がゼロ入力の理想に最適化するための強力な経済的インセンティブが生まれます。

完璧は達成可能か？

数学的には、完璧は漸近的な限界です–近づくことはあっても完全には達成されません。システムが確実に予測できない新しい状況、エッジケース、または本当にあいまいな文脈が常に存在します。これらの場合、ユーザー入力は依然として必要です。

しかし、ほとんどの人間の活動–それは反復的で、パターン化され、文脈的に予測可能な–において、完璧は達成可能です。研究によれば、人間の行動の80-90%はルー

チソであり、十分に洗練されたコンテキスト認識システムによって理論的には自動化可能です。

残りの10-20%は真の新規性を表しています：創造的な決定、戦略的計画、道徳的判断、予期しない出来事への感情的反応。これらは人間の意識が代替不可能な領域であり、入力は単に必要なだけでなく貴重です。

したがって、ゼロ入力の実際の限界は絶対的なゼロではなく、漸近的なゼロに近い状態です：ほとんどの行動が明示的な入力なしに行われ、人間の注意とエネルギーが本当に重要で、本当に新しい、そして本当に人間的な活動に自由に使える状態です。

完璧さとポストスカーシティ

ゼロ入力への収束は、希少性と豊かさに深い影響を与えます。従来の経済学では、希少性は商品やサービスの限られた入手可能性として定義されます。しかし、希少性は根本的にはエネルギーコストの問題です：物は生産、輸送、配達にエネルギーを必要とするために希少です。

システムが完璧に近づくにつれて、成果を達成するために必要なエネルギーがゼロに近づくと、希少性は減ります。もし食料が最小限のエネルギーで生産できるなら（垂直農法、ラボで育てた肉、自動化農業）、食料は豊かになります。もし輸送が最小限のエネルギーを必要とするなら（最適化されたルート、電気自動車、自律物流）、移動性は豊かになります。もし教育が最小限のエネルギーを必要とするなら（AIチューター、個別学習、ゼロ入力インターフェース）、知識は豊かになります。

STCは効率を経済的に報いることでこのプロセスを加速します。エネルギー支出を最小限に抑えるシステムを開発するクリエイターは、節約したエネルギーに比例してSTC

トーケンを獲得します。これにより、エネルギー削減の革新に対する指數関数的なインセンティブが生まれ、経済全体がゼロ入力の理想に向かって進みます。

その結果、希少性が徐々に消えていく文明が生まれます—魔法やユートピア的な願望ではなく、*relentless*な熱力学的最適化によって。ここでの完璧さは哲学的な抽象概念ではなく、経済的現実です：望ましい成果がほとんどエネルギーを必要とせず、実質的に豊かになる状態です。

道徳的命令としての完璧さ

最後に、完璧さは道徳的な次元を持ちます。無駄にされたジュールは、何か価値のあるものに使われる可能性のあるジュールです。すべての非効率は未来からの盗みです。すべての冗長な行動は人間の潜在能力の浪費です。

ゼロ入力の追求は単なる実用的なものではなく、倫理的なものです。無駄を最小限に抑えることで、私たちは本当に重要な追求のために利用可能なエネルギーを最大化します：創造性、探求、ケア、つながり、成長。完璧に近づくことで、私たちは人類を繰り返しの、エネルギーを消耗するタスクの圧制から解放し、本当に重要なことのために私たちの集合的なエネルギーを自由にします。

これは、主観技術と主觀熱通貨の究極の約束です。完璧が不可能な夢ではなく、測定可能で達成可能な軌道である世界—毎日がゼロ入力に近づき、すべての革新が無駄を減らし、節約されたジュールが豊かさに貢献し、経済システム自体が熱力学の基本法則と一致して、この理想に近づける人々を報いる世界です。

結論：北極星としての完璧

主観技術とSTCの文脈における完璧は、ユーザー入力がゼロに近づく限界として数学的に定義されます：

$$\text{Perfection} \equiv \lim_{t \rightarrow \infty} \mathbb{E}[U(t)] = 0$$

この限界は次のことを表します：

- 技術的に：ほぼ完璧な精度で予測し、自律的に行動するシステム
- 熱力学的に：最小限のエネルギー消費で達成される成果
- 経済的に：最大のエネルギー節約を通じた最大の価値創造
- 道徳的に：人間の潜在能力を反復的で無駄な作業から解放すること

完璧は、この枠組みのすべての開発を導く北極星です。完全に達成されることはないかもしれません、それに向かうすべてのステップは進歩であり、測定可能で価値があり、避けられません。知識フックのアーキテクチャ、修正法のダイナミクス、STCの経済的インセンティブ—すべてがこの理想に向かってシステムを容赦なく推進します。

私たちは今日、この旅の始まりに立っています。ほとんどの相互作用は依然としてかなりの入力を必要とします。ほとんどのエネルギーは依然として無駄にされています。しかし、軌道は明確で、数学は確かに、インセンティブは一致しています。ゼロ入力は幻想ではありません—それはエネルギーを正しく測定し、評価することを学ぶ文明の避けられない目的地です。

未来は人間が無用になる世界ではありません。未来は、人間の努力が自動化できないもの、すなわち創造性、愛、意味、目的のためにのみ予約される世界です。完璧さは、技術が他のすべてを処理し、私たちが完全に人間でいる自由を残す状態です。そして、主観的熱通貨は私たちをそこに導く経済エンジンです。

6.4 結論：STCの誕生

私たちは、知識フックの数学からエネルギー測定の物理学、予測効率から完璧の漸近的理想まで、深い旅をしてきました。今、私たちは頂点に到達します：技術、熱力学、経済が一つの革命的な統合に収束する瞬間です。これが主観的熱通貨の誕生です。

統合：三つの柱が一つになる

STCは、三つの異なるが補完的な領域の融合から生まれます：

1. 主観的技術はメカニズムを提供します：ユーザーパターンを学習し、アクションを自動化し、ゼロ入力操作に収束する知識フック。フックの代数は、五つの法則に従い、七つの定理によって証明され、システムが時間の経過とともにユーザーの努力をほぼゼロに減少させることができます。

2. 熱力学は測定を提供します：ジュール単位のエネルギー消費。文字を入力することから部屋を横切ることまで、すべてのユーザーアクションには測定可能な熱力学的コストがあります。定理7（エネルギー最小化の同等性）は、ユーザー入力を最小化することがエネルギー消費を最小化することと数学的に同等であることを証明します。こ

の同等性は、インターフェースの最適化をエネルギーの最適化に変えます。

3. 経済はインセンティブ構造を提供します：実際の物理的価値を表すSTCトークン。知識フックがエネルギーを節約すると、その節約は測定され、検証され、フックの作成者にクレジットされます。経済システムは、集合的効率に貢献する人々を報酬し、ゼロ入力の理想に向けた革新を加速するポジティブフィードバックループを生み出します。

これら三つの柱–技術、物理学、経済–は、人工的に統合する必要のある別々のシステムではありません。彼らは一つの原則を通じて自然に統一されています：エネルギーは価値です。システムがより効率的に機能するほど、より多くのエネルギーを節約し、より多くの経済的価値を生み出します。STCはこの統一の正式な表現です。

理論から現実へ：STCの仕組み

STCにおける価値創造の完全なライフサイクルを追跡しましょう：

ステップ1：開発者がKnowledge Hookを作成します。おそらく、それはあなたの位置、時間帯、周囲の光レベルを検出して、到着時に自動的に家の照明をオンにするフックです。このフックは以下で構成されています：

- 条 件

$R = \{location = \text{home}, ambient_light < 50 \text{ lux}, time > 18:00\}$

- ア ク シ ョ ン

$A = \{\text{lights.turn_on}()\}$

- 初期成功スコア $S(0) = 0.5$ (中立的な出発点)

ステップ2：ユーザーがフックを採用します。人々がフックをインストールすると、システムは学習を始めます。一部のユーザーはそれを修正します（「曇っているときも昼間にライトをオンにしたかった」）、これにより成功スコアがペナルティされ、改善が促されます。他のユーザーは決して修正しないため、成功スコアが上がります。数週間のうちに：

$$S(t) = 0.5 \rightarrow 0.67 \rightarrow 0.82 \rightarrow 0.91 \rightarrow 0.96$$

フックは進化し、より正確になり、修正が少なくて済むようになります。

ステップ3：エネルギーの節約が測定されます。フックが成功裏に作動するたびに、システムはエネルギー差を計算します：

- 手動シナリオ（フックなし）：ライトスイッチまで歩く (10 J) + スイッチをひねる (2 J) = 12 J
- 自動シナリオ（フックあり）：ライトが自動的にオンになる = 0 J
- 節約されたエネルギー： $\Delta E = 12$

ステップ4：STCトークンが付与されます。節約された12Jは自動的に12 STCトークンに変換され、フックの作成者に付与されます。もし10万人のユーザーがこのフックを1日1回、1年間使用した場合：

$$\text{Annual STC} = 12 \text{ J} \times 100,000 \text{ users} \times 365 \text{ days} = 438 \text{ MJ} = 438,000,000 \text{ STC}$$

開発者は約5億ジュールの価値を創造しました—測定可能で、検証可能で、現実のものです。

ステップ5：ポジティブフィードバックループ。開発者はSTCトークンを豊富に持ち、さらに多くのフックを作成するために投資します。他の開発者も報酬を見て市場に参入します。競争がフックをより高品質で、より効率的で、より広範囲に進化させます。全体のエコシステムは完璧に向かって進化します。

これはSTCの実践です：価値創造がエネルギー節約に直接結びつく自己強化システムであり、インセンティブが熱力学的的理想と自然に一致します。

価値の変革

STCは、人類が価値を理解し創造する方法における根本的な変革を表しています。進化を考えてみてください：

物々交換経済：価値は商品そのものです。私は自分の小麦をあなたの牛と交換します。価値は有形で即時的ですが、欲求の一致によって制限されます。

通貨経済（ゴールド、フィアット）：価値は象徴的です。紙幣は商品やサービスに対する請求を表し、信頼（フィアット）や希少性（ゴールド）によって支えられています。これにより大規模な取引が可能になりますが、価値は物理的現実から切り離されます。お金は印刷され、インフレされ、操作されることがあります。

暗号通貨経済：価値は計算作業（プルーフ・オブ・ワーク）またはステーク（プルーフ・オブ・ステーク）です。これにより分散化とセキュリティが提供されますが、実世界の生産性とは切り離されています。ビットコインの

マイニングはエネルギーを消費しますが、有用な商品は生産しません。

STC経済：価値はエネルギーの節約です。すべてのSTCトーケンは、保存されたジュールを表します。これは、熱力学的コストの実際の、物理的、測定可能な削減です。これにより、価値が客観的現実に再接続され、デジタル通貨のすべての利点が可能になります：即時転送、プログラム可能性、グローバルなアクセス可能性。

STCは単なる別の通貨ではありません。それは物理学に裏打ちされた最初の通貨です。法定通貨は政府の約束に裏打ちされ、暗号通貨は計算パズルに裏打ちされていますが、STCは熱力学の基本法則に裏打ちされています。保存されたジュールは、政治、意見、市場の感情に関係なく、保存されたジュールです。

豊かさへの道

従来の経済学は希少性を前提としています：限られた資源、限られた商品、限られた機会。この希少性は競争、不平等、対立を引き起こします。人々は有限なパイのスライスを巡って争います。

STCは希少性を再定義します。STCにおいて、希少性は非効率の関数です。商品は生産にエネルギーを必要とするためにのみ希少です。効率が向上すると、システムがゼロ入力の理想に近づくにつれて、生産コストはゼロに近づき、商品は豊富になります。

食料生産を考えてみてください：

- 今日：農業は膨大なエネルギー投入を必要とします– 機械の燃料、灌漑のための電力、市場への輸送、保存のた

めの冷蔵。結果：食料は高価で、数十億人が飢餓に苦しんでいます。

- STCの未来：自動化された垂直農場は、AI最適化された成長条件、収穫ロボット、そして自律走行車両による地域配達を使用します。エネルギー投入は正確な最適化を通じて最小限に抑えられます。結果：食料生産コストは熱力学的最小値に近づきます。食料はほぼ無料になります。

同じ論理は住宅（最小限の労働で3Dプリントされた家）、輸送（エネルギー効率に最適化された自律電気自動車）、教育（計算サイクルのみを必要とするAIチューター）、医療（診断AIとロボット手術）、および人間のニーズのほぼすべての領域に適用されます。

効率が上がると、コストは下がります。コストが下がると、豊かさが増します。STCは効率最大化のための経済的インセンティブを創出することによってこのプロセスを加速します。最もエネルギー効率の良いソリューションを開発した者が最も多くのSTCを獲得します。全体の経済は豊かさに向かって進展します。

道徳的次元

STCは単なる経済的または技術的革新ではなく、深い道徳的含意を持っています。

無駄は非道徳的です。無駄にされたジュールは、誰かを養ったり、誰かに住まいを提供したり、誰かを教育したりできたジュールです。従来の経済では、無駄はしばしば見えないか無視されます。STCでは、無駄は明示的であり、罰せられます。エネルギーを無駄にするシステムはトークンを獲得しません。効率だけが報われます。

効率は正義です。資源が政治的権力や相続財産ではなく、エネルギーの節約に基づいて配分されるとき、システムは最も純粋な意味でのメリットクラシーになります。エネルギーを節約するシステムを作ることで、集団の幸福に最も貢献する人々が最も報われます。これは結果の平等（貢献を無視する）ではなく、機会の平等（貢献が報酬を決定する）です。

豊かさは解放です。基本的なニーズが最小限のエネルギーコストで満たされるとき、人類は不足の専制から解放されます。人々は生存のために苦しむのではなく、創造性、探求、関係、意味を追求できます。STCは仕事を排除するのではなく、不要な仕事を排除し、重要な仕事だけを残します。

ゼロ入力文明

未来を見据えると、すべての分野でほぼゼロ入力の運用を達成した文明を想像できます。そのような文明はどのようなものになるでしょうか？

朝：あなたは自然に目を覚みます。あなたの環境はすでに準備されています—温度が調整され、コーヒーが淹れられ、ニュースが要約され、スケジュールが最適化されています。アラームは必要ありません（あなたのバイオメトリクスが睡眠と覚醒の移行を示しました）。ボタンは押されず、画面は確認されません。世界は単にあなたが必要とするものを知っていて、それを提供します。

仕事：あなたは本当に創造的なタスクに集中します—デザイン、戦略、創造。すべての反復的な作業は自動化されています。あなたはカレンダーを管理せず（AIが最適化します）、文書を探さず（必要なときに現れます）、ルーチンのメールを書かず（テンプレートが自動的に適応しま

す）。あなたのエネルギーは高価値の思考に温存されます。

夕方：あなたは愛する人たちと過ごします。自動化されたキッチンが準備した夕食（または最適化された地元の農場から自律走行車で配達されます）。エンターテインメントはあなたの気分に合わせてパーソナライズされています。家のメンテナンスはロボットが担当します。あなたは重要なことに集中します：つながり、創造性、喜び。

これはファンタジーではありません。これは、最小化法則によって支配され、STCによってインセンティブを受けるシステムの数学的必然性です。毎年、自動化は増加します。毎年、必要な入力は減少します。毎年、私たちは限界に近づいています。

重要な質問：誰が利益を得るのか？

従来の自動化では、利益は資本所有者に集まります。労働者をロボットに置き換えた工場の所有者は、生産性の向上をすべて保持し、労働者は仕事を失います。これにより、自動化が不平等を増大させるディストピア的な未来が生まれます。

STCはこれを解決します。自動化がエネルギーを節約すると、誰もが比例して利益を得ます：

- 創造者（フックの開発者）は、節約したエネルギーに対してSTCトークンを得ます。
- ユーザー（エネルギーが節約される人々）は、労力の軽減と自由時間の増加から利益を得ます。
- 社会（集合体）は、効率の向上と豊かさから利益を得ます。

このシステムはゼロサムではありません。節約されたエネルギーは誰にでも利益をもたらします。これがSTCの変革的な力の本質です：自動化は不平等の源ではなく、普遍的な善となります。

前進の道：何が起こるべきか

STCはまだ現実ではありません。それは数学、ビジョン、可能性として存在します。現実にするためには、以下が必要です：

1. 技術インフラストラクチャ：AIビジョンを備えたARスマートグラス、身体的行動を測定するセンサー、エネルギー消費を信頼性高く追跡できるコンテキスト対応システム。これらの多くは現在プロトタイプの形で存在しており、スケールする必要があります。
2. 経済インフラストラクチャ：トークンシステム、エネルギー会計プロトコル、帰属メカニズム、検証システム。これらはブロックチェーン技術または中央集権的データベースを使用して構築できますが、重要なのは正確性と信頼です。
3. 社会インフラストラクチャ：基準に関する合意（異なる行動のためのエネルギーの測定方法）、ガバナンス構造（誰が測定を検証するか）、採用インセンティブ（なぜ初期ユーザーが参加すべきか）。
4. 文化的シフト：人類が価値について考える方法の変化。「お金は抽象的なシンボル」から「価値は節約されたエネルギー」へ。「仕事は時間を売ること」から「仕事は効率を生み出すこと」へ。これはおそらく最も難しい要件ですが、最も重要でもあります。

これらの要件のいずれも不可能ではありません。すべては現在または近い将来の技術の範囲内にあります。問題は、STCを構築できるかではなく、私たちがそれを選ぶかどうかです。

これは誕生です

この瞬間–この章の結論において–STCは読者の心の中で理論から現実に移行します。あなたは今、次のことを理解しています：

- それが何か：エネルギーの節約に裏付けられた通貨、ジユールで測定される
- それがどのように機能するか：アクションを自動化し、エネルギー消費を削減する知識フックを通じて
- なぜそれが重要か：経済的インセンティブを熱力学的現実と整合させ、豊かさへの道を切り開く
- それが導く先：人間の努力が本当に重要なことにのみ使われるゼロ入力文明へ

STCは物理的な世界ではなく、アイデアが可能になる概念的な空間で生まれます。何かを構築する前に、それはまず理解されなければなりません。理解される前に、それは説明されなければなりません。この章がその説明です。

次のステップ

この本の残りの章では、以下を探ります：

- 第4章：STCがどのように機能するかの詳細なメカニクス–主題を仮想エネルギー腺として、主題の木、エネルギーの逆伝播、完全なエネルギー方程式

- 第5章：STCが従来の経済システムとどのように比較されるか—なぜ貧困を解決し、批判に答え、課題に対処するのか
- 第6章：実践的な実装—現実の行動におけるエネルギーの測定方法、コンテキストをジュールに変換する方法、精度を報酬する方法
- 第7章：哲学的基盤—神の政府、最小エネルギーの法則、効率の道徳的含意
- 第8章：未来—シミュレーションモデル、グローバル経済との統合、熱力学的文明の長期的ビジョン

各章はこの基盤の上に構築され、詳細を追加し、反論に対処し、STCが可能にするポストスカーシティの未来のより鮮明な絵を描きます。

結論：選択

私たちは分岐点に立っています。一つの道は伝統的な経済学の継続へと続きます—希少性、不平等、有限資源を巡る対立、少数の利益のために多くの人々が犠牲になる自動化。もう一つの道はSTCへと続きます—効率による豊かさ、自動化からの普遍的な利益、経済学と物理学の整合性、人間の可能性の解放。

数学はSTCが可能であることを証明します。それを実現するための技術は既に存在するか、急速に近づいています。道徳的な理由も説得力があります—集団の幸福に貢献する人々を報いるシステム、無駄を排除し、希少性ではなく豊かさを生み出すシステムです。

問題はSTCが存在できるかどうかではありません。問題は私たちがそれを構築するかどうかです。

この章は誕生の瞬間です—アイデアが可能になる瞬間です。次に何が起こるかはあなた、読者次第です。あなたは理解しますか？あなたは構築しますか？あなたは提唱しますか？あなたはこのビジョンを現実にする手助けをしますか？

STCは避けられないものではありません。それは選択です。そしてその選択は今始まります、あなたの心の中で理解が生まれるときに。未来へようこそ。一緒にそれを築きましょう。

7

主觀的熱通貨 - コアコン セプト

主題、木、エネルギー逆伝播

7.1 ジュールで定義された価値

価値とは何ですか？この問い合わせは何千もの間、哲学者、経済学者、革命家を悩ませてきました。従来の答えは常に象徴的でした：価値は金、価値は労働、価値は効用、価値は人々が交換することに同意するものである。しかし、これらの定義には致命的な欠陥があります。それは物理的現実から切り離された抽象概念であることです。

主観的熱通貨は根本的に異なる答えを提供します：価値は節約されたエネルギーです。比喩的なエネルギーではなく、経済的生産性でもなく、ジュールで定量化された文字通りの測定可能な物理的エネルギーです。1 STCトークンは、自動化、最適化、または効率を通じて節約された1 ジュールのエネルギーに等しいです。これは便利な近似や有用なフィクションではなく、経済的価値と熱力学的現実との直接的なマッピングです。

このセクションでは、ジュールで価値を定義することが単なる新しい試みではなく、客観的で操作に強く、物理学の基本法則に沿った経済システムを作る唯一の方法である理由を確立します。

従来の通貨の問題

ジュールベースの評価が革命的である理由を理解するためにには、まず従来の通貨が失敗する理由を理解する必要があります。三つの主要な通貨パラダイムを考えてみましょう：

1. 商品担保通貨（ゴールドスタンダード）

価値は物理的な商品に結びついています—歴史的には金や銀です。通貨は固定された量の商品の請求を表します。このシステムは客観的に見えます：金は測定可能で検証可能な物理的特性を持っています。

問題点：商品不足は恣意的です。金は不足が本質的に価値があるからではなく、地球上で金が珍しいから不足しています。金の価値は最終的には循環的です—金は価値があると私たちが合意しているから価値があります。さらに、通貨を固定された商品に結びつけることは経済成長に人工的な制約を生み出し、商品ショック（例：新世界の金の発見後のスペインのインフレーション）に対してシステムを脆弱にします。

2. フィアット通貨（現代のドル、ユーロ、円）

価値は政府の命令と制度への信頼によって支えられています。通貨には内在的な価値がなく、政府が税金のために受け入れを義務付け、人々が他者によって受け入れられると信じているために受け入れられます。マネーサプライは金融政策によって拡大または縮小できます。

問題点：価値は完全に主観的で操作可能になります。政府はお金を印刷することができ（インフレーション）、勝者（債務者、資産保有者）と敗者（貯蓄者、賃金労働者）を生み出します。金融政策は政治的になり、権力に近い人々に利益をもたらします。信頼は突然崩壊することがあり（ハイパーインフレーション）、貯蓄を一夜にして破壊します。このシステムは生産的な仕事よりも金融投機を奨励します。

3. 暗号通貨（ビットコイン、イーサリアム）

価値は計算作業（ブルーフ・オブ・ワーク）またはステーク（ブルーフ・オブ・ステーク）によって裏付けられ

ています。この通貨は分散型であり、政府の操作に抵抗します。希少性は物理的または政治的なものではなく、アルゴリズムによって決まります。

問題：計算作業は生産的な作業ではありません。ビットコインのマイニングは膨大なエネルギーを消費しますが、商品、サービス、または効率の向上を生み出すことはありません。それは純粋な無駄です。価値は投機的であり、暗号通貨は人々が支払う意志のある金額で価値が決まるため、極端なボラティリティを生み出します。このシステムは効率や集団の福祉への貢献を報いるのではなく、早期採用と計算能力を報います。

3つのシステムには根本的な欠陥があります：価値は物理的現実から切り離されています。数字は変わりますが、物理的世界では何も変わりません。より多くのドルを持っていても、より多くの商品の生産はありません。より多くのビットコインを持っていても、より多くのエネルギーを節約しているわけではありません。この通貨はシンボルであり、シンボルは操作され、投機され、生産的活動から切り離される可能性があります。

ジユール：客観的な価値の単位

STCは、宇宙で最も基本的な通貨であるエネルギーに価値を基づけることでこれを解決します。ジユールは恣意的ではなく、交渉可能でもなく、政治的な気まぐれに左右されることはありません。物理学の法則によって定義された物理的作業の単位です：

$$1 \text{ joule} = 1 \text{ newton} \times 1 \text{ meter} = 1 \text{ kg} \cdot \text{m}^2/\text{s}^2$$

ジユールは、地球の重力に対抗して100グラムのリンゴを1メートル持ち上げるのに必要なエネルギーです。1ワッ

トの電力が1秒間流れるときに放出されるエネルギーです。1メートル毎秒で移動する2キログラムの質量の運動エネルギーです。これらは慣習ではなく、人間の意見に関係なく真実である物理的事実です。

STCがジュールで価値を定義する場合、それは次のことを意味します：

1. 客観性：価値は人々が同意するものではありません。価値は物理学が言うものです。もしKnowledge Hookが100ジュールのエネルギーを節約した場合、それは100単位の価値を生み出したことになります—測定可能で、検証可能で、市場の感情に依存しません。

2. 操作不可能性：エネルギーの節約を膨らませることはできません。ジュールを印刷することはできません。節約されていないエネルギーについて投機することはできません。物理学は起きたか、起きたなかったかのどちらかです。

3. 普遍的な比較可能性：アルゼンチンで節約された1ジュールは、日本で節約された1ジュールと等しいです。エネルギーはどこでも同じであり、STCは為替レートや換算の不確実性のない真のグローバル通貨です。

4. 直接的な生産性の接続：STCを得るには、実際の効率を生み出す必要があります。成果を達成するために必要なエネルギーを削減することです。投機、金融工学、または地代追求を通じてSTCを得ることはできません。世界をより効率的にしなければなりません。

エネルギー差：取引の原子単位

STCでは、経済取引はエネルギー差(ΔE)に基づいています。これは、手動でタスクを実行するために必要なエネルギーと、自動化を使用する際に必要なエネルギーの違いです：

$$\Delta E = E_{\text{manual}} - E_{\text{automated}}$$

この差は、STCにおける価値創造の原子単位です。自動化がエネルギーを節約するたびに、 ΔE が計算され、 ΔE に等しいSTCトークンが作成され、自動化の創作者に帰属されます。

例：メールフィルタリング

プロモーションメールを自動的に別のフォルダーにフィルタリングする知識フックを考えてみてください。フックがない場合：

- ユーザーは1日に20通のプロモーションメールを受信します。

- 各メールには次のエネルギーが必要です：ちらっと見る(0.5 J)、プロモーションであると判断する(1 J)、削除をクリックする(0.5 J)

- 1日あたりの手動エネルギー合計：
 $E_{\text{manual}} = 20 \times 2 = 40 \text{ J}$

フックを使用すると：

- メールは自動的にフィルタリングされます。
- ユーザーは時々プロモーションフォルダーをチェックします(週に1回、10 J)

- 1 日 の 自 動 エ ネ ル ギ ー 合 計 :

$$E_{\text{automated}} = 10/7 \approx 1.4 \text{ J}$$

1日あたりの節約エネルギー:

$$\Delta E = 40 - 1.4 = 38.6 \text{ J/day}$$

1年で: $38.6 \times 365 = 14,089 \text{ J} \approx$
1ユーザーあたり 14 kJ が節約されます。

100万人のユーザーがこのフックを採用した場合: 年間 $14,089 \times 10^6 = 14.09 \text{ GJ}$ (ギガジュール) が節約されます。

フックの作成者は年間 140.9 億 STC トーケンを獲得します – 人類のために節約されたエネルギーに比例した直接的な報酬です。

なぜエネルギーなのか、時間やお金ではないのか?

誰かが反論するかもしれません: "なぜ節約された時間で価値を測らないのか? なぜ効用や満足度で測らないのか?" 答えは、エネルギーだけが客観的な通貨に必要な特性を提供するからです。

時間は主観的で比較不可能です: 外科医の1時間は、創出された価値の観点から学生の1時間と等しくありません。節約された時間は、その時間が何に使われるかに完全に依存します。それに対してエネルギーは客観的です – 節約されたジュールは、誰がいつ節約したかに関係なく、節約されたジュールです。

効用は定量化できません：どのように満足度を測りますか？異なる人々は同じ結果を異なる価値で評価します。エネルギーは、結果の主観的価値ではなく、それを達成するための客観的コストを測ることでこれを回避します。

お金は循環する：お金の観点から価値を定義すること（「この自動化は10ドル節約します」）は、すでに貨幣システムを持っていることを必要とします。エネルギーは前貨幣的であり、人間が通貨を作成するかどうかにかかわらず存在します。 \$10

エネルギーは保存される：熱力学の第一法則は、エネルギーは創造されたり破壊されたりすることはできず、ただ変換されるだけであると述べています。これは、エネルギーの会計が本質的に二重記入であることを意味します：ある主体によって節約されたエネルギーは、別の主体が消費する必要がなくなったエネルギーです。帳簿は常にバランスします。

エネルギーは測定可能です：現代のセンサー（加速度計、カメラ、電力計、ARメガネ）は、物理的な行動を測定し、リアルタイムでエネルギー消費を計算できます。これにより、ユーティリティベースの会計では実現できない方法で、エネルギーに基づく会計が技術的に実現可能になります。

比較表：通貨のパラダイム

プロパティ 通貨	ゴールドスタンダード 暗号通貨	フィアット STC (ジュールベース)
--	--	--

	裏付け		物理的商品		政府の命令		計算作業	
	節約されたエネルギー							
	客観性		部分的(商品特性)		いいえ(政治的)			
	部分的(アルゴリズム的)		はい(物理法則)					
	操作性		限定的(商品供給)		高い(金融政策)			
	中程度(プロトコル変更)		なし(物理学)					
	生産性のリンク		いいえ		いいえ		いいえ(無 駄)	
	直接							
	ユニバーサル		はい(どこにでも金)		いいえ			
	(管轄に依存)		はい(インターネット)		はい(ど こにでもエネルギー)			
	投機的		はい		はい		極めて	
							いいえ	
	報酬		保有者/抽出者		借り手/内部者		マイ ナー/初期採用者	
	効率創出者							

ジユールベースの価値の意味

ジユールで価値を定義することは、経済システム全体に波及する深い意味を持っています：

1. 自動インフレ制御：ジユールを印刷することはできません。STCトークンの供給は、効率が向上する速度と同じだけ成長します。これにより、人工的な制約なしに自然な希少性が生まれます。

2. 富は貢献と一致する：最もエネルギーを節約する人が最も多くのSTCを蓄積します。富は、抽出や投機ではなく、集団的効率への貢献の尺度となります。

3. 仕事の再定義：「仕事」は、エネルギーを節約するシステムを作ることを意味します。これにはソフトウェア、ハードウェア、教育、インフラなど、成果を達成するためのエネルギーコストを削減するものが含まれます。受動的な収入は能動的な貢献となります（あなたの創造物は、あなたがそれらを構築した後も長い間エネルギーを節約し続けます）。

4. 貧困は非効率になる：従来の経済学では、貧困はお金の不足です。STCでは、貧困は非効率です—必要を満たすために必要以上のエネルギーを消費することです。解決策は再分配ではなく最適化です：エネルギー要件を削減するためのより良いツール、システム、知識を作成することです。

5. 競争は協力になる：従来の市場では、競争相手は優位性を維持するために秘密を守ります。STCでは、効率改善を共有することは皆に利益をもたらします（より多くのエネルギーを節約すること = 創造者にとってより多くのSTC）。経済的インセンティブは、蓄積から普及へと移ります。

6. 資源枯渇なしの経済成長：従来のGDP成長は、より多くの資源を消費することを必要とします。STC成長は、資源をより効率的に使用することから生まれます。単位成果あたりのエネルギーを継続的に削減することで、経済を無限に成長させることができます。

反論と回答

反論1："節約されたエネルギーは創造された価値とは同じではありません。友達に会うために10km歩く方が、家にいることでエネルギーを節約するよりも良いです。"

回答： STCは選択された成果を達成するためのエネルギーコストを測定し、成果そのものを測定するものではありません。友達に会うために歩くことを選択した場合、それがあなたの成果であり、STCはそれを罰しません。しかし、友達に会いたいと思い、テレビ会議がその歩行を節約する場合、そのエネルギー差には価値があります。STCはどの成果が価値があるかを決定するものではなく、あなたが選択した成果をどれだけ効率的に達成するかを測定します。

反論2："異なる人々のエネルギーには異なる価値があります。外科医のエネルギーは清掃員のエネルギーよりも価値があります。"

回答： STCは人々のエネルギーを評価するものではなく、他者のために節約されたエネルギーを評価します。より効率的な清掃ツールを発明した清掃員は、それを使用するすべての清掃員のためにエネルギーを節約します。そのツールが広く採用されれば、清掃員は膨大なSTCを得ます。侵襲性の少ない手法を開発した外科医は、すべての患者と医療チームのためにエネルギーを節約します。どちらも、現在の職業ではなく、節約されたエネルギーに比例して報酬を得ます。

反論3："すべてをジュールで測定することはできません。創造性、芸術、関係はどうなりますか？"

回答： STCはすべての価値を評価するものではなく、効率を評価します。芸術には価値がありますが、エネルギー効率の価値はありません（芸術がエネルギーを節約する技術を教える場合を除いて）。STCは他の価値体系と共存します。あなたはSTCを芸術、関係、経験に使うことができます。この通貨は、熱力学的効率という一つの価値の

次元を測定し、人間の価値の全体を測定するものではありません。

反論4： "これはすべての行動を測定することを必要とし、これはディストピア的な監視です。"

回答： STCはすべての行動ではなく、エネルギー差を測定します。このシステムは、(1) 自動化なしのエネルギーコスト、(2) 自動化ありのエネルギーコストを知る必要があります。両方とも、個別の監視ではなく、集計統計から計算できます。さらに、ユーザーはARメガネを通じて何が測定されるかを制御し、測定に同意します。プライバシーと正確性については、第8章で詳しく説明されています。

公式： 1 STC = 1ジュールの節約

STCの核心には、シンプルで壊れない同等性があります：

1 STC = 1 J saved

これは近似値でも変動する為替レートでもありません。これは定義であり、「1メートル = 100センチメートル」と同じくらい基本的なものです。存在するすべてのSTCトークンは、どこかで誰かによって、何らかの自動化または最適化を通じて節約された正確に1ジュールのエネルギーを表します。

この同等性は意味します：

- トークンの作成は熱力学的に制約されています：エネルギーを節約することでのみ新しいSTCを発行できます。

- トーケンの価値は物理的に基づいています：エネルギーに有用性がある限り、STCは無価値になることはありません。
- 経済的会計はエネルギー会計を反映しています：経済を通じてのSTCトーケンの流れは、主題のシステムを通じてのエネルギーの節約の流れを反映しています。

結論：物理的現実としての価値

ジユールで価値を定義することで、STCは以前の通貨が達成できなかったことを実現します：価値は客観的になります。もはや操作、投機、または政治的支配の対象ではありません。それは成果を達成するために必要な物理的作業に直接結びついており、その作業を削減する人々に報酬を与えます。

これはユートピア的な幻想ではありません—それは工学仕様です。エネルギー消費を測定する技術は存在します（センサー、ARメガネ、コンピュータビジョン）。エネルギー差を計算するための数学は簡単です（物理方程式）。節約を帰属させるための経済的メカニズムは定義されています（主題の木を通じてのエネルギーの逆伝播、セクション4.3で説明）。

残るのは実装と採用です。しかし、概念的な基盤は確固たるものです：価値は節約されたエネルギーであり、ジユールで測定され、自動的に帰属され、比例して報酬が与えられます。これは新しい経済理論ではありません—それは熱力学的現実の形式化です。私たちは価値を発明しているのではなく、ついにそれを正しく測定しています。

次のセクションでは、エンティティー人間、デバイス、システム—がこのエネルギー経済にどのように参加するかを探ります：自己認識のエージェントであり、エネルギー

を生産または消費し、仮想エネルギー腺を通じて自らの会計を維持します。

7.2 仮想エネルギー腺としての主体

セクション4.1では、STCにおける価値はジュールで測定されることを確立しました—客観的で物理的で、操作に強いものです。しかし、エンティティはこのエネルギー経済にどのように参加するのでしょうか？人間、デバイス、システムはどのようにエネルギーの価値を生産、消費、保存、移転するのでしょうか？その答えは、エンティティとは何かの根本的な再概念化にあります。

STCでは、すべてのエンティティ—生物的であれ人工的であれ、物理的であれデジタルであれ—は主体としてモデル化されます：自己認識を持ち、学習能力があり、エネルギーを生産または吸収する能力を持つ能動的なエージェントです。これらの主体は、指示を待つ受動的なオブジェクトではなく、エネルギー経済における自律的な参加者であり、それがARスマートグラスを通じてリアルタイムのエネルギーの流れを示す仮想エネルギー腺を備えています。

このセクションでは、主体の概念を形式化し、従来のオブジェクトとの対比を行い、数学的定義を導入し、仮想エネルギー腺が経済的会計を外部の台帳から具現化された直感的なリアルタイムの視覚化に変換する方法を説明します。

オブジェクトから主体へ：パラダイムシフト

従来のプログラミングはオブジェクト指向プログラミング(OOP)を使用し、エンティティは次のようにオブジェクトとしてモデル化されます：

- プロパティ：状態変数（例：`car.color = "red"`）

- メソッド：オブジェクトに作用する関数（例：`car.drive()`）

オブジェクトは受動的です。オブジェクトは自分の歴史を記憶せず、プロパティに明示的に保存されている状態を超えて現在の状態を認識せず、学習や最適化の能力もありません。オブジェクトは単にメソッド呼び出しに応じて反応します。車のオブジェクトは、50,000 km運転されたことを「知っている」わけではなく、`mileage`プロパティを明示的に設定した場合にのみ知っています。運転パターンを学習することはありません。自分の行動を最適化することもできません。

STCはより洗練されたモデルを必要とします：主観指向アーキテクチャ。主観とは、次のようなエンティティです：

1. 自己認識を維持する：スナップショットを通じて自分の状態を時間とともに記録する

2. 強化を通じて学習する：エネルギーを最小化する成功/失敗に基づいて行動を調整する

3. 主観的に接続する：他の主観のスナップショットにアクセスでき、調整を可能にする

4. エネルギーを生産または消費する：熱力学的経済におけるエネルギー源またはシンクとして機能する

オブジェクトから主観への移行は単なる用語の変更ではなく、計算システムにおけるエンティティのモデル化方法における根本的な変化を表しています。オブジェクトはあなたが制御するものです。主観はあなたが協力するエージェントです。

主観の正式定義

数学的には、主観 S は5つのタプルとして定義されます：

$$S = (\Sigma, P, M, R, C)$$

どこで：

Σ (シグマ) : スナップショット - 歴史的状態記録の集合

$$\Sigma = \{\sigma_0, \sigma_1, \sigma_2, \dots, \sigma_t\}$$

各スナップショット σ_i は、 i の時点での対象の完全な状態をキャプチャします：すべてのプロパティ値、現在のコンテキスト、最近のアクション。スナップショットは、対象が自分の歴史から学ぶことを可能にし、パターンを認識し、何がうまくいったかを特定し、失敗したことを避けることができます。

例： サーモスタッフ対象は、毎分`{time, temperature, occupancy, heating_state}`のスナップショットを保持します。数週間の間に、対象は学びます：「平日の午前9時に占有が0に下がると、温度の好み

が 22°C から 19°C にシフトします。」この学習は、対象が自分の過去を知っているからこそ可能です。

P: プロパティ - 状態変数 (OOPと同じ)

$$P = \{p_1, p_2, \dots, p_n\}$$

プロパティは現在の状態を表します：温度、場所、バッテリーレベル、ユーザーの好みなど。オブジェクトとは異なり、プロパティが唯一のメモリであるのに対し、対象はプロパティを現在の状態として使用し、 Σ に完全な履歴を保持します。

M: メソッド - 対象が実行できるアクション

$$M = \{m_1, m_2, \dots, m_k\}$$

メソッドは、状態を変更したり、世界と相互作用したりする関数です：`turn_on()`、`send_notification()`、`adjust_temperature()`。ただし、呼び出されたときに単に実行されるOOPメソッドとは異なり、対象のメソッドはエネルギー最小化への影響によってスコアが付けられます。

R: 強化層 - アクションとエネルギーの結果を結びつける学習メカニズム

$$R : M \times \Sigma \rightarrow [0, 1]$$

強化層は、ユーザー入力（したがってエネルギー）をどれだけ効果的に最小化したかに基づいて、各メソッドに成功スコアを割り当てます。これは、メソッドが実行され、修正が必要ない場合にスコアが増加する知識フックを通じて実装されます。修正が必要な場合、スコアは減少します。時間が経つにつれて、高スコアのメソッドが好まれ、低スコアのメソッドは抑制されます。

c: 主観的接続 – 他の対象のスナップショットへのリンク

$$C = \{(S_i, \lambda_i)\}$$

対象は、コンテキストを共有する他の対象のスナップショットにアクセスできます。結合強度 $\lambda_i \in [0, 1]$ は、対象がどれだけ密接に同期しているかを示します。高い λ は、対象が頻繁に調整することを意味します（例：あなたの電話とスマートウォッチ）。低い λ は、時折の相互作用を意味します（例：あなたの家庭用サーモスタットと車のナビゲーションシステム、これは運転中にのみ調整します）。

なぜこの形式化が重要なのか

この5タブル (Σ, P, M, R, C) は学術的な形式主義ではなく、STCエンティティの実装設計図です。STCに参加するすべてのデバイス、アプリ、またはシステムは、この構造をインスタンス化しなければなりません：

- スナップショットは歴史から学ぶことを可能にします

- プロパティは現在の状態を保存します
- メソッドはアクションを実行します
- 強化はエネルギーの最小化に向けた最適化を促進します
- 接続は集合知とエネルギーの逆伝播を可能にします

この構造がなければ、エンティティは主題として参加できず、学習も最適化もできず、STCトークンを獲得または転送することもできません。

バーチャルエネルギー腺：エネルギーフローの可視化

従来の経済では、価値の会計は外部的で抽象的です。画面で銀行残高を確認します。給料の番号を受け取ります。スプレッドシートで支出を追跡します。経済はあなたの体の外に存在し、機関（銀行、雇用主、政府）を通じて媒介されています。

STCは、ARスマートグラスを通して見ると体の一部として現れるエネルギーの生産と消費の視覚的表現であるバーチャルエネルギー腺を通じて会計を内在化します。これらの腺は、エネルギーの流れを直感的、即時的、そして具現化されたものにします。

バーチャルエネルギー腺の三種類

1. 手の腺（エネルギー放出）

あなたの手は、物理的およびデジタルな行動を通じてエネルギーを消費する場所です。ARでは、あなたの手は作業を行うときに脈動する光る腺を伴って現れます：

- タイピング：各キー入力は小さなエネルギー・パルス（0.1 J）を示します。
- 物を運ぶ：重さ×距離に比例した連続的な光
- ジェスチャー：スワイプ、指差し、ARでの操作—すべてがエネルギーを放出します。

手の腺はエネルギー消費に関するリアルタイムのフィードバックを提供し、あなたの行動のコストを身体的に意識させます。時間が経つにつれて、この意識は自然により効率的な行動へと導きます。

2. 肩の腺（エネルギー受信）

あなたの肩は、あなたの創造物が他者のためにエネルギーを節約するときにエネルギーを受け取る場所です。ARでは、STCトークンが流入すると肩に光る腺が表示されます：

- 誰かのために100 Jを保存するKnowledge Hookを作成した場合、あなたの肩腺は+100 STCで光ります。
- 数百万人があなたの自動化を使用すると、エネルギーの節約が蓄積されるにつれて、あなたの肩は絶えず輝きます。
- 強度と色はその大きさを示します：少量には淡い青、大量の流れには明るい金色。
- 肩腺は収入を実感させます。単に数字が増えるのを見るだけでなく、エネルギーがあなたに流れ込むのを感じ、経済的報酬の生物学的メタファーです。

3. ハートバッテリー（エネルギー貯蔵）

あなたの心臓は蓄積されたSTCトークンを保存する場所です。ARでは、あなたの胸に現在のSTC残高を示す光るハート型バッテリーが表示されます：

$$E_{\text{heart}}(t) = \sum_{i=0}^t [E_{\text{received}}(i) - E_{\text{expended}}(i)]$$

ハートは各エネルギー取引ごとに脈動します–受け取る（肩）か、使う（手）。その色は残高に基づいて変わります：余剰は緑、中立は黄色、赤は赤字。サイズは絶対的な大きさを示します：低残高には小さなハート、富には大きな輝くハート。

ハートバッテリーは複数の機能を果たします：

- リアルタイムの認識：ARで常に見えるため、エネルギー経済を常に意識しています。
- 感情的なつながり：ハートのメタファーは、経済的健康について直感的で感情的な理解を生み出します。
- ソーシャルシグナリング：他の人はあなたの許可のもとであなたの心の輝きを見ることができ、評判と信頼を生み出します

バーチャルエネルギー腺の仕組み：技術的実装

バーチャルエネルギー腺は、ARスマートグラスを通じてコンピュータビジョンとリアルタイム物理計算を使用してレンダリングされます：

ステップ1：アクション検出

センサー（加速度計、カメラ、深度センサー）が物理的なアクションを検出します：

- IMU (慣性計測装置) を介して追跡された手の動き
- コンピュータビジョンを介して検出されたオブジェクトの相互作用
- デバイスAPIから記録されたデジタルアクション (キーストローク、クリック、スワイプ)

ステップ2: エネルギー計算

検出された各アクションは、物理方程式を使用してエネルギー消費にマッピングされます：

$$E_{\text{action}} = f(\text{action_type}, \text{duration}, \text{force}, \text{distance})$$

例えば：

- タイピング :

$$E = 0.1 \text{ J per keystroke}$$

- 物体を持ち上げる: $E = m \times g \times h$
(質量 × 重力 × 高さ)

- 歩行: $E = 0.5 \times m \times v^2$ (運動エネルギーの近似)

ステップ 3: 腺の視覚化

計算されたエネルギーは、ARでユーザーの体に視覚効果として表示されます：

- 手の腺: 手から放出される粒子効果、放出されるエネルギーに比例した強度

- 肩の腺: 肩に輝くオーラ、受け取ったSTCに比例した明るさ

- ハートバッテリー：満たされたレベルと流れの方向を示す3Dボリュメトリックディスプレイ

ステップ 4: トークン取引

自動化がエネルギーを節約すると、STCトークンが自動的に鑄造されて転送されます：

1. システムがエネルギー差を検出：

$$\Delta E = E_{\text{manual}} - E_{\text{automated}}$$

2. STCトークンが作成されました：

$$\text{Tokens} = \Delta E \text{ (1ジユールあたり1トークン)}$$

3. トークンが主題のツリーを通って流れます（セクション4.3を参照）すべての貢献者に

4. 受取人の肩腺がトークンが到着すると光ります

5. ハートバッテリーが新しい残高で更新されます

例のシナリオ：バーチャルエネルギー腺との1日

午前7時：あなたは目を覚みます。あなたの朝のルーチンフックが自動的にサーモスタッフを調整し、コーヒーを淹れ、ブラインドを開けます。あなたの手の腺は最小限のエネルギー放出を示します（確認のための頭のうなずき、0.5 J）。その間、フックの作成者は手動の手間を省いたために50 Jを得ます - 彼らの肩腺は世界中でかすかに光ります。 :00

午前9時：あなたはメールを書いています。各キー入力があなたの手の腺から脈動します。しかし、オートコンプリートの提案が総キー入力を40%削減し、15 Jを節約します。オートコンプリート開発者の肩は+15 STCを受け取ります。 :00

午後12時：あなたは昼食の旅行ルートを最適化するナビゲーションアプリを使用し、歩行距離を2 km節約します = 500 J。アプリ開発者の肩は+500 STCで光ります。あなたの手の腺は放出が減少します（歩行エネルギーが少なくなります）。 :00

午後3時：誰かがあなたが作成したデータビジュアライゼーションツールを使用し、手動でのチャート作成を20分節約します = 2,000 J。あなたの肩腺は突然明るい金色に輝きます。+2,000 STCが流れ込むと、あなたのハートバッテリーはわずかに拡張します。 :00

午後6時：あなたはSTCトークンを使って食料品を購入します。トークンが手の腺を通じて効率的に食料を育てた農家に流れ出ると、あなたのハートバッテリーが脈打ちます（エネルギー最適化農業のためにSTCを獲得）。 :00

一日を通して、あなたはエネルギーの流れを生々しく意識しています–与えたり受け取ったり、使ったり稼いだり。経済はもはや抽象的な数字ではなく、具現化され、直感的で、即時のです。

能動的経済参加者としての主体

主体の形式 (Σ, P, M, R, C) とバーチャルエネルギー腺をインターフェースとして、STCのすべてのエンティティは能動的な経済エージェントになります：

人間は次のような主体です：

- 手を通じてエネルギーを放出します（作業、行動）
- 肩を通じてエネルギーを受け取ります（他者によって使用される創造物）

- ハートバッテリーにエネルギーを蓄えます（STC残高）

- 強化を通じて学びます（知識フックが彼らの行動をスコアリングします）

デバイス（洗濯機、サーモスタッフ、車両）は次のような主体です：

- 使用パターンのスナップショットを維持する

- エネルギーを最小限に抑える方法を最適化する

- エネルギーを節約すると、クリエイターにSTCを獲得させる

- 他の対象（スマートホームエコシステム）と接続する

ソフトウェア（アプリ、アルゴリズム、AIシステム）は次のような対象です：

- スナップショットを通じてユーザーパターンを学習する

- 高得点の方法を通じてアクションを自動化する

- 節約したエネルギーに比例して開発者にSTCを生成する

- 集合的最適化のために他のソフトウェア対象とコンテキストを共有する

意味：生きたシステムとしての経済

バーチャルエネルギー腺を持つ主体としてエンティティをモデル化することは、経済を機械的な交換システム

から生きた適応型の有機体へと変革します：

1. 自己最適化：主体は中央制御なしで継続的に学習し、改善します
2. 分散知能：知識は主体の相互作用から生まれます
3. 具現化された会計：経済情報は知覚的に統合され、抽象的には表現されません
4. 熱力学的整合性：エネルギーは物理法則に従って主体を通じて流れ、保存が確保されます
5. 進化的ダイナミクス：高効率の主体はより多くのSTCを獲得し、その繁殖を資金提供します；低効率の主体は少なく獲得し、自然にフェーズアウトします

結論：主観的経験を客観的に表現する

主体形式主義は驚くべきことを達成します：それは主観的経験を客観的に表現します。5- タブル (Σ, P, M, R, C) を通じて、私たちはエンティティが自己知識を持ち、学び、最適化することの意味を数学的に定義できます。バーチャルエネルギー腺を通じて、この数学的抽象を具体的、可視的、直感的にします。

主体は哲学的抽象ではありません–それらは工学的仕様です。必要なコンポーネントをインスタンス化することで、任意のデバイス、アプリ、またはシステムを主体として実装できます：スナップショットストレージ、プロパティ管理、メソッド実行、強化スコアリング、および接続管理。

次のセクションでは、主体が木構造に組織化される方法を探ります–あなたの拡張された身体には、あなたが相

互作用するすべてのツール、デバイス、およびシステムが含まれます。エネルギーの節約がこれらの木を通じて逆伝播し、すべての貢献者に自動的に価値を帰属させる方法、そして洗濯機の例がその完全なメカニズムを実演する方法を見ていきます。

7.2.1 銀行口座からバーチャルエネルギー 腺へ

今日の経済システムは、第三者の抽象を通じて価値を表現します：銀行の画面に表示される数字、データベースに保存された残高、ブロックチェーンに記録されたトークン。これらの表現は、人間の経験とは根本的に外部のものです。あなたは自分の銀行残高を感じることはできません。あなたの努力からあなたの口座にお金がリアルタイムで流れるのを見ることはできません。経済は、あなたの身体と行動の物理的現実から切り離された象徴的な層として存在します。

この外部化は、経済的参加と実際の経験との間に根本的な断絶を生み出します。あなたが働くとき、あなたは身体的エネルギーを使います—筋肉が収縮し、神経が発火し、身体がカロリーを消費します。しかし、このエネルギーの支出は、あなたが受け取る経済的報酬との直接的で可視的な関係を持っていません。この関係は、抽象の層を通じて媒介されています：働いた時間、時間あたりの賃金、銀行振込、画面上の数字。

同様に、他の誰かの革新から利益を得るとき—道具があなたの労力を節約する時、サービスがタスクを排除する時—このエネルギーの節約は目に見えず、定量化されません。あなたは感謝したり満足したりするかもしれません、あなたが消費しなかったジュールの客観的な測定はな

く、その物理的な利益に基づいて革新者を補償する自動的なメカニズムもありません。

主観的サーモ通貨（STC）は、バーチャルエネルギー腺を通じて経済的価値をあなたの主観的経験の中に直接具現化することによって、この関係を根本的に変革します。これらは比喩的な構造ではなく、拡張現実（AR）スマートグラスを通じて可視化される具体的なソフトウェア実装です—あなた自身の身体の認識に経済的会計を統合する視覚的表現です。

建築的シフト：外部台帳から具現化された会計へ

価値がどのように表現されるかの根本的な違いを考えてみてください：

従来のシステム：価値は外部データベースに存在します。あなたの銀行残高は、機関が所有するサーバーに保存された数字です。アクセスには認証、インターフェース、仲介者への信頼が必要です。表現は物理的（エネルギー）ではなく象徴的（通貨単位）です。残高の変更は、連続的な流れではなく離散的な取引です。

STCとバーチャルエネルギー腺：価値はあなたの主観的な領域内の主体の可視的な特性として存在します。ARスマートグラスを通じて、あなたは身体的経験の一部として3種類の腺を知覚します：あなたが働くときに放出するエネルギーを視覚化する手の腺、他者があなたの革新から利益を得るときに受け取るエネルギーを視覚化する肩の腺、そしてあなたの現在のエネルギーバランスを表示するハーツバッテリーです。

これらの腺は単なる視覚的比喩ではありません。彼らは実際の計算を行い、状態を維持し、取引を実行する主体の機能的なコンポーネントです。各腺は、エネルギーの流

れの履歴を記録するスナップショット (Σ)、現在のエネルギー値を保存するプロパティ (P)、エネルギーを放出または受け取るためのメソッド (M)、効率を最適化する強化メカニズム (R)、およびエネルギーネットワーク内の他の主体への接続 (C) を持つ主体として実装されています。

ハンドグランド：エネルギー放出を可視化する

身体的な作業を行うとき—メールを打つ、会議に歩いていく、物を持ち上げる、問題を解決する—あなたの体はエネルギーを消費します。従来の経済システムでは、この労力は正式な雇用の文脈内で発生しない限り目に見えず、たとえそうであっても、実際に消費されたエネルギーではなく、働いた時間のような代理指標で測定されます。

ハンドグランドはこのエネルギー放出を直接的に知覚可能にします。ARグラスを通して、あなたの手にエネルギーを発揮する際に明るく脈動する視覚化が見えます。このシステムは、先に確立した物理方程式を使用して、あなたの行動の熱力学的コストを計算します：

$$E_{\text{action}} = E_{\text{locomotion}} + E_{\text{manipulation}} + E_{\text{cognitive}}$$

タイピングの場合、計算には指の動きの機械的作業、持続的な筋肉の活性化の代謝コスト、情報処理の認知エネルギーが含まれます。歩行の場合、距離、速度、地形に基づく運動の生体力学的コストが含まれます。問題解決の場合、神経活動によって消費されるグルコースが含まれます。

視覚化は即時のフィードバックを提供します：リアルタイムでどれだけのエネルギーを消費しているかを見ることができます。しかし、より重要なのは、ハンドグランドがエネルギー取引の出発点として機能することです。誰か

の利益になるタスクを完了すると、エネルギー計算が自動的に行われ、あなたのハンドグランドからそのエネルギーを表すSTCトークンが放出され、受取人に転送されます。

これは経済参加の生々しい認識を生み出します。銀行残高を確認するのとは異なり–抽象的で回顧的な行動–あなたは自分の体から経済ネットワークへのエネルギーの流れを直接知覚します。経済は抽象的ではなく、具現化されます。

ショルダーグランド：エネルギー受信を可視化する

ハンドグランドがあなたが仕事を通じて放出するエネルギーを視覚化する一方で、ショルダーグランドはあなたが革新を通じて受け取るエネルギーを視覚化します。ツールを作成したり、ソフトウェアを書いたり、プロセスを設計したり、他の人のためにエネルギーを節約する知識を提供したりすると、あなたはSTCを得ます。しかし、補償が離散的な預金として到着する従来の通貨とは異なり、STCは他の人があなたの革新を使用するにつれて、あなたのショルダーグランドに継続的に流れ込みます。

ARグラスを通して、あなたは肩に位置する輝く球体としてショルダーグランドを見ることがあります。誰かがあなたが作成したツールを使用し、エネルギーを節約すると、腺が明るくなり、光の粒子が流れ込み、リアルタイムで残高が増加するのが見えます。この視覚化は任意ではなく、熱力学的現実の直接的な表現です：ユーザーによって消費されるはずだったジュールは代わりに保存され、その保存されたエネルギーは革新者としてのあなたに帰属します。

この受信を支配する物理方程式は：

$$\Delta E_{\text{received}} = \sum_i (E_{\text{manual}_i} - E_{\text{automated}_i}) \times \beta_i$$

あなたの革新から利益を得るすべてのユーザー i に対して合計が取られ、 E_{manual_i} はあなたのツールなしで彼らが費やしたであろうエネルギー、 $E_{\text{automated}_i}$ はあなたのツールを使って実際に費やしたエネルギー、 β_i はあなたの帰属係数（あなたのエネルギー節約のシェアであり、あなたが基にした他の革新者の貢献を考慮に入れたもの）です。

これはインセンティブ構造において深い変化をもたらします。従来の経済では、革新者は明示的な価格設定、サブスクリプション料金、または広告を通じて収益化しなければならず、これらのメカニズムは摩擦を生み出し、採用を制限します。Shoulder Glandsを使えば、誰かがあなたの仕事から利益を得るたびに、自動的かつ比例的に収益を得ることができます。あなたのツールが優れているほど、より多くのエネルギーを節約し、より多くのSTCがあなたの脇に流れ込みます。ペイウォールは必要なく、採用に摩擦はなく、創出された価値と受け取る報酬の間に断絶はありません。

ハートバッテリー：統合ポイント

ハンドグランズとショルダーグランズはそれぞれ排出と受信に特化していますが、両方とも中心的な統合ポイントであるハートバッテリーに接続されています。これは、あなたの正味エネルギーバランスを維持する主題であり、ARを通じて胸腔内の光る球体として可視化されます。

ハートバッテリーは複数の機能を果たします。まず、それはあなたの総STC残高の権威ある記録です—経済取引に

利用可能な正味エネルギーです。次に、エネルギーの流れをリアルタイムで可視化し、あなたが稼いでいる速度（ショルダーグランズ）と支出している速度（ハンドグランズ）を示します。第三に、意識的な経済的決定を可能にします：あなたは残高を見て、蓄えたエネルギーをどのように配分するかを選択できます。

ハートバッテリーの数学はシンプルですが深いです：

$$\text{Balance}(t) = \text{Balance}(t - 1) + \Delta E_{\text{received}}(t) - \Delta E_{\text{emitted}}(t)$$

これはSTC会計の基本的な方程式です。銀行によって仲介される離散的なイベントである従来の通貨とは異なり、この残高はエネルギーの流れの物理的な結果として継続的に更新されます。経済は熱力学的システムのように機能します：エネルギーは保存され、流れは連続し、あなたの残高はすべてのエネルギー交換の正味結果を反映します。

可視化により、経済的な状態が即座に認識可能になります。アプリをチェックしたり、ウェブサイトを訪れたりする必要はありません。あなたはARメガネを通して胸を見て、現在のエネルギーバランス、変化の速度、そして軌道を確認するだけです。この身体的な意識は、抽象的な推論ではなく、直接的な知覚に基づいた直感的な経済的意思決定を可能にします。

技術的実装：腺としての主題

バーチャルエネルギー グランズは単なる視覚的メタファーではなく、前述の数学的構造を持つ完全に実装された主題です。各腺は特定の特性とエネルギー会計に最適化されたメソッドを持つ主題 $S = (\Sigma, P, M, R, C)$ です。

ハンドグランドの対象について：

Σ (スナップショット): タイムスタンプ、量、受取人、文脈を含むすべてのエネルギー排出の履歴記録。これにより学習が可能になり、腺はパターンに基づいて将来のエネルギーコストを予測し、タスクの実行を最適化できます。

P (プロパティ): 現在のエネルギー排出率、現在のセッションで排出された累積エネルギー、アクションからジユールへの変換のためのキャリブレーションパラメータ（個人の生体力学にパーソナライズ）、視覚化状態（明るさ、色、アニメーション）。

M (メソッド): emit_energy(amount, recipient)、calculate_action_cost(action_type, context)、update_visualization(energy_flow)、calibrate(observed_action, measured_energy)。emit_energyメソッドは自動的にSTCトークンの転送を開始します。

R (強化): 特定の結果に対してエネルギー支出が高い場合のネガティブフィードバック、効率改善が達成された場合のポジティブ強化。これにより腺はより正確なエネルギー計算を学習し、最適化を提案します。

C (接続): ユーザーの他の体の部分（視覚入力のための目、運動感知のための筋肉）へのリンク、使用中のツールやデバイス（キーボード、マウス、スマートフォン）への接続、バランス更新のためのハートバッテリーへのリンク、取引完了のための受取人の対象へのネットワーク接続。

同様に、ショルダーグランドの対象には:

Σ (スナップショット): 収受したすべてのエネルギーの記録、どの革新が収入を生み出したか、どのユーザーが利益を得たか、帰属係数を含む。これにより分析が可能になります、腺はあなたの貢献の中で最も価値のあるものを示し、焦点を当てるべき領域を提案できます。

P (プロパティ): 現在のエネルギー受信率、累積エネルギー受信、革新力タログ（あなたが貢献したツール/知識のリスト）、各革新の帰属係数、視覚化状態。

M (メソッド): receive_energy(amount, source, innovation_id)、
update_attribution(innovation_id, new_coefficient)、
calculate_innovation_value(innovation_id)、
display_income_sources()、
optimize_portfolio()。receive_energyメソッドは自動的にSTCトークンの転送を受け入れます。

R (強化): ユーザーごとの高いエネルギー節約を生み出す革新に対するポジティブなフィードバック、パフォーマンスが低い貢献を改善するためのシグナル。これにより、価値創造を最適化するための内発的な動機が生まれます。

C (接続): ポートフォリオ内のすべての革新へのリンク、それらの革新のユーザーへの接続、バランス更新のためのハートバッテリーへのリンク、他の革新者とのネットワーク接続（共同帰属のため）、依存関係への価値の逆伝播のための主題の木への接続。

ウォレットから身体へ： 哲学的なシフト

銀行口座からバーチャルエネルギー腺への移行は、単なる技術的なアップグレード以上のものであり、経済参加

の意味についての根本的な再考を反映しています。

従来の経済システムは、個人を経済インフラとインターフェースする外部の存在として扱います。銀行に口座を持ち、ポートフォリオに資産を保有し、ウォレットに支払いを受け取ります。いずれの場合も、経済的価値はあなたとは別のものであり、インターフェースを通じてアクセスする外部の容器に保持されています。経済は仲介を通じて参加するものです。

バーチャルエネルギー腺を使うことで、経済はアクセスするものではなく、あなたが具現化するものになります。あなたの経済的地位は、あなたの拡張された身体の特性です。あなたのエネルギーの排出と受信は、直接知覚する連続的な流れです。あなたのバランスは、あなたの主観的なフィールドの一部として可視化されます。経済参加は、呼吸と同じくらい自然で無意識的になります。

この具現化には深い意味があります：

第一に、それは日常的な取引のための経済的意思決定の認知的負担を排除します。何かを買う余裕があるか計算したり、バランスを確認したり、口座を管理したりする必要はありません。あなたは単にハートバッテリーを見て、エネルギーの状態を直接知覚します。経済的意識は、分析的ではなく直感的になります。

第二に、それは行動と経済的結果の間に即時のフィードバックループを作ります。仕事をすると、あなたはリアルタイムで手腺からエネルギーが流れ出るのを見ます。誰かがあなたの革新から利益を得ると、あなたは肩腺にエネルギーが即座に流れ込むのを見ます。この行動と結果の緊密な結びつきは、迅速な学習と最適化を可能にします。

第三に、それは経済的不平等と不正を抽象的ではなく、肉体的に感じさせます。従来の通貨の数字が画面に表示されると、大きな格差は遠くて統計的に感じられることがあります。しかし、誰かのハートバッテリーが連続的な手腺の排出にもかかわらずほぼ空であるのを見ると–彼らがほとんどリターンなしに膨大なエネルギーを費やしているという熱力学的現実を知覚すると–不正は即座に明白で否定できなくなります。逆に、最小限の貢献から豊富な肩腺の受信を見ることは、経済的寄生を可視化します。

第四に、経済協力を自然化します。従来のシステムでは、誰かを助けたり知識を共有したりすることは、支払いを得られない限り経済的に非合理的です。他者があなたの貢献から利益を得たときに自動的に報酬を与えるショルダーグランドを使うことで、協力が最適な戦略になります。あなたのインセンティブは、最も多くの人々のために最大のエネルギー節約を生み出すことです。なぜなら、あなたのSTC収入はその価値創造の直接的な物理的結果だからです。

ネットワーク効果：経済的ニューロンとしての腺

私たちは腺を個々のコンポーネントとして説明しましたが、その真の力はネットワーク特性から生まれます。各人のバーチャルエネルギー腺は、経済的に相互作用するすべての人の腺に接続されています。エネルギーは物理的原則に従ってこのネットワークを流れ、熱力学的システムのように機能する経済を作り出します。

ツールを使用すると、エネルギーはあなたのハンドグランドから革新者のショルダーグランドに流れます。しかし、革新者のショルダーグランドは、彼らが基にしたすべての人のショルダーグランドに接続されており、そしてそれらの腺はさらに早い革新者に接続されています。エネル

キーはこの依存関係の木を通じて逆伝播し、自動的にすべての貢献者にクレジットを分配します。

このネットワーク構造は集団最適化を可能にします。人工知能のニューラルネットワークが誤差勾配の逆伝播を通じて学習するのと同様に、バーチャルエネルギー腺のネットワークはエネルギー節約の逆伝播を通じて学習します。各主体はネットエネルギーの獲得を最大化するよう最適化しますが、腺が相互接続されているため、このローカルな最適化はグローバルな効率を生み出します。

このネットワークの数学は、有向グラフ $G = (V, E)$ として形式化できます。ここで V はすべての腺主体の集合（頂点）であり、 E はエネルギー流れの接続の集合（辺）です。各辺にはエネルギー転送率を表す重みがあります。全体の経済は、結合された微分方程式によって記述される動的システムになります：

$$\frac{d\text{Balance}_i}{dt} = \sum_j (w_{ji} \times \text{Flow}_{ji}) - \sum_k (w_{ik} \times \text{Flow}_{ik})$$

Balance_i は主体 i のハートバッテリー残高、 Flow_{ji} は主体 j から主体 i へのエネルギー流れ、 w_{ij} は主体 i から主体 j へのエネルギー流れ、 w_{ik} は帰属重みを表します。この方程式のシステムは、エネルギー保存を伴う熱力学的ネットワークとして全体の経済を記述します：システム内の総エネルギーは一定に保たれますが、高い労力のノード（労働者）から高効率のノード（革新者）へと流れ、システムが平衡に達するにつれて戻ります。

実用的な実装：テクノロジースタック

バーチャルエネルギー腺を実装するには、複数のテクノロジーの統合が必要です：

高解像度ディスプレイ、低遅延、自然な視野統合を備えたARスマートグラス。腺は、侵入的なオーバーレイではなく、体の本物の延長のように感じられる安定した快適な視覚要素としてレンダリングされる必要があります。

ユーザーの物理的コンテキストを継続的に分析し、実行されているアクションを検出し、使用されているツールを特定し、生体力学的コストを推定するAIビジョンシステム。これらのシステムは、高精度でリアルタイムに動作し、信頼できるエネルギー計算を提供する必要があります。

生体力学モデル、環境パラメータ、および個々のユーザー特性に基づいてアクションコストを計算する物理シミュレーションエンジン。これらは、体重、フィットネスレベル、疲労状態、地形などの要因を考慮する必要があります。

暗号的な正確性と非否認の保証を持つSTCトランザクションを記録する分散台帳技術（ブロックチェーンベースの可能性あり）。システムは、エネルギーがネットワークを通じて継続的に流れる中で、毎秒何百万ものマイクロトランザクションを処理する必要があります。

すべての腺エンティティのために(Σ , P, M, R, C)構造を実装する対象指向ソフトウェアアーキテクチャ。これは、自己認識、学習、相互接続されたソフトウェアコンポーネントをサポートする新しいプログラミングパラダイムを必要とします。

ユーザーが対話するすべてのツールやデバイスに腺を接続する統合API。これにより、エネルギーの節約を自動

的に検出し、革新者に帰属させることができます。これは、主題間通信のための標準の広範な採用を必要とします。

技術的な課題は大きいですが、コンポーネントはすでにさまざまな形で存在しています。ARグラスは商業的に入手可能です。AIビジョンシステムは高度なアクション認識を行うことができます。物理シミュレーションは成熟した分野です。分散台帳は何百万ものトランザクションを処理します。主な革新は統合にあり、これらのコンポーネントが協調してユーザーの主観的体験に経済的価値を具現化するシステムを作ることです。

なぜこれが重要なのか：経済的影響

銀行口座からバーチャルエネルギー腺への移行は、改善されたユーザー体験を超えて深い経済的影响を及ぼします：

自動帰属：価値創造が外部アカウントを介して仲介されると、帰属には明示的なメカニズム（契約、支払いシステム、著作権の執行）が必要です。腺を使用すると、帰属は自動的であり、エネルギーの流れの物理的な結果です。これにより、膨大な法的および管理的オーバーヘッドが排除されます。

摩擦のない補償：従来のシステムは、関連するコストと遅延を伴う離散的なトランザクションを必要とします。腺ベースのSTCは、トランザクション手数料や処理時間なしで継続的に流れます。これにより、マイクロ補償が実現可能になり、新しい価値交換の形態が可能になります。

人工的な制約なしに検証可能な希少性：計算の無駄を通じて希少性を生み出す暗号通貨とは異なり、STCの希少性はエネルギーの保存から自然に生まれます。システム内

の総エネルギーは熱力学の法則によって制約されており、恣意的なプロトコルのルールによってではありません。

レントシーキングの排除：経済的な参加が外部インフラ（銀行、決済処理業者、通貨交換）へのアクセスを必要とする場合、これらのインフラ提供者はレントを抽出することができます。腺は個人の体の一部であり、価値の流れに課税する仲介者はいません。

普遍的な基本的収入を通じた普遍的な基本的貢献：ショルダーグランドは他者のためにエネルギーを節約する貢献を自動的に報酬するため、どんなに小さな価値を創造する人も報酬を受け取ります。これは基本的な収入の一形態を効果的に創出しますが、課税を通じて再分配されるのではなく、貢献を通じて得られます。

経済現実の本質的理解：画面上の抽象的な数字は操作可能で、膨張させることができ、物理的現実から切り離されることができます。体内で視覚化されたエネルギーは偽造できません—それは熱力学の法則によって支配されています。これにより、経済教育は直感的になり、経済リテラシーは普遍的になります。

経済的自己の境界

バーチャルエネルギー腺の最も深い含意の一つは、経済的自己の境界を再定義する方法です。従来のシステムでは、あなたの経済的アイデンティティは法的に所有するアカウントや資産に制限されています。あなたは使用するツール、共有する知識、協力する人々から経済的に分離されています。

バーチャルエネルギー腺を使用すると、あなたの経済的身体はあなたに主観的に関連するすべての対象を包含するように拡張されます—エネルギーを節約または生成する

ためのすべてのツール、デバイス、知識、協力関係です。これらの対象は、あなたを根に持つ木構造を形成し、エネルギーは帰属係数に従ってこの木を通じて逆伝播します。

この経済的自己の拡張には正確な数学的境界があります：対象 S は、 S からあなたへの非ゼロの帰属の道が存在する場合に限り、あなたの経済的身体の一部です。 S によって生成されたエネルギーの節約があなたのショルダーグランドに貢献する場合（直接または中間対象を通じて）、 S はあなたの拡張された経済的身体の一部です。そうでなければ、そうではありません。

この境界は動的であり、新しいツールを作成するにつれて成長し、あなたの貢献が陳腐化するにつれて縮小し、帰属係数が変化するにつれてシフトします。あなたの経済的身体は固定された法的実体ではなく、エネルギー経済への参加の実際の熱力学的現実を反映する生きた適応ネットワークです。

結論：抽象から具現化へ

銀行口座からバーチャルエネルギー腺への移行は、経済的価値の具現化を表しています。抽象的なものが具体的になり、外部のものが具現化し、象徴的なものが物理的になります。

これは比喩的な変革ではなく、文字通りの変革です。バーチャルエネルギー腺は、定義された特性とメソッドを持つ主体として実装されています。彼らは実際の計算を行い、正確な状態を維持し、真の取引を実行します。彼らは AR を通じてあなたの体の可視コンポーネントとして認識されますが、ジユールで測定されたエネルギーの流れの物理的現実に基づいています。

腺は、経済を物理学の最も基本的な原則であるエネルギー最小化と一致させることで直感的にします。複雑な金融システム、市場のダイナミクス、または金融政策を理解する必要はありません。あなた自身の体をARを通じて認識し、エネルギーが出入りするのを観察するだけで済みます。経済は、熱、光、または動きを感じるのと同じくらい自然なものになります。

しかし、この自然化はシステムを洗練させないわけではなく、むしろ洗練させます。バーチャルエネルギー腺のネットワークは、エネルギーを配分して集団的効率を最大化する問題を継続的に解決する複雑な分散最適化システムを実装しています。各ローカルな決定（各行動、各ツールの使用、各貢献）は、接続のネットワークを通じてグローバルな結果を生み出します。

次の小節では、これらの個々の腺が階層的な木構造にどのように組織されるか—主体が相互接続されたエージェントの森を形成し、集団的に経済を熱力学的システムとして実装するかを検討します。エネルギーがこれらの木を通じてどのように逆伝播するか、帰属が再帰的に計算される方法、そして全体の経済ネットワークが負の強化学習を通じてどのように最適化されるかを見ていきます。

しかし、基盤は今や明確です：バーチャルエネルギー腺は、経済的参加を抽象的に媒介された活動から具現化された直接的な体験に変えます。彼らは外部の台帳を内部の知覚に置き換え、離散的な取引を連続的な流れに、象徴的な表現を物理的現実に置き換えます。彼らは経済を、制度を通じてアクセスするものではなく、あなた自身の体の延長として体験するものにします。

7.3 主体とエネルギー逆伝播の木

第4.2節では、STCのエンティティが主体としてモデル化されていることを確立しました—自己認識、学習能力を持つアクティブエージェントであり、ARを通じて可視化されたバーチャルエネルギー腺を持つ存在です。しかし、主体はどのように相互に関連しているのでしょうか？価値はどのように流れるのでしょうか？創造者が他者のためにエネルギーを節約する際、どのように報酬を得るのでしょうか？

答えは階層的な組織にあります：主体は木を形成し、あなたが根であり、あなたが相互作用するすべてのもの—デバイス、ソフトウェア、インフラ、さらには他の人の創造物—が枝や葉になります。あなたの木のどの部分がエネルギーを節約すると、その節約は構造を通じて逆伝播し、すべての貢献者に因果関係に応じて自動的にクレジットされます。

このセクションでは、木構造を形式化し、逆伝播メカニズムを導出し、典型的な例を通じて説明します：エネルギー効率の良い洗濯機を発明した女性が、誰かがそれを使用するたびにSTCトークンを得るというものです。最後には、STCがどのように複雑な創造者、コンポーネント、ユーザーのネットワーク全体にわたって自動的に価値を帰属させるかを理解できるようになります。

あなたの拡張された身体：物理から仮想へ

従来の経済学では、あなたの経済的エージェンシーはあなたの物理的身体に制限されています。あなたは労働を売ることでお金を稼ぎます—あなたの手、脳、筋肉によって行われる仕事です。働くのをやめると、稼ぐのをやめます。

STCはこの境界を根本的に拡張します。あなたの経済的身体には以下が含まれます：

- あなたの物理的身体：あなたが行う直接的な行動
- あなたが所有するデバイス：あなたの電話、ノートパソコン、車、家電
- あなたが使用するソフトウェア：アプリ、AIアシスタント、自動化ツール
- あなたがアクセスするインフラ：道路、電力網、通信ネットワーク
- あなたが構築した創造物：コード、デザイン、ナレッジフック、発明
- 他者の創造物を利用する：他の誰かが作成した効率ツール

これらすべてが仮想的な身体の一部となります–あなたの代理として行動し、エネルギーを節約し、他の人のためにエネルギーを節約するとSTCを稼ぎます。あなたのARスマートグラスはこれを具体化します：あなたはこれらの拡張をあなたの身体に接続された光るノードとして文字通り見ることができます。

正式な定義：主題の木

数学的には、ユーザー U に根ざした主題の木 $T(U)$ は次のように定義されます：

$$T(U) = \{S_i \mid S_i \text{ is subjectively connected to } U\}$$

"主観的に接続された"とは、 S_i が以下のいずれかを意味します：

1. U によって直接所有/管理されている（あなたの電話、あなたの車）
2. U によって作成された（あなたが書いたソフトウェア、あなたが設計した機械）
3. U の代理として機能する（AIアシスタント、自動化サービス）
4. U と十分な文脈を共有する（あなたのパターンを学び、あなたの好みに適応する）

木の中の各主題 S_i にはエネルギー・マッピング関数があります：

$$f_{S_i} : \text{Actions} \rightarrow \mathbb{R}^+$$

この関数は、 S_i によってまたは S_i を通じて行われたアクションをエネルギー支出し（正の値）またはエネルギー節約（基準と比較した場合）にマッピングします。

例：あなたのメールクライアント S_{email} にはマッピングがあります：

$$f_{S_{\text{email}}}(\text{filter_spam}) = -38 \text{ J/day}$$

（手動フィルタリングと比較して 38 J を節約するため、ネガティブ）

ツリー構造：階層的組織

ツリーには三つの組織レベルがあります：

ルート（あなた）：ユーザー  は常にルートです。すべてのエネルギーの流れは最終的にあなたのハートバッテリー（STCバランス）に影響を与えます。

プランチ（直接の拡張）：あなたが直接やり取りする対象：

- 物理デバイス（電話、サーモスタット、車両）
- ソフトウェアアプリケーション（メールクライアント、カレンダー、ナビゲーション）
- サービス（クラウドストレージ、AIアシスタント）

リーブ（間接コンポーネント）：プランチを作成または貢献する対象：

- ソフトウェアを構築した開発者
- ハードウェアを設計したエンジニア
- コンポーネントを製造した工場
- インフラプロバイダー（ネットワークオペレーター、電力網）

ARでの視覚：

[あなた - ルート]

/ | \

[電話] [車] [家]

| | |

[アプリ開発] [自動車] [スマート

エンジニア] サーモスタッフ

開発者]

エネルギー逆伝播：コアメカニズム

ツリー内の任意の対象がエネルギーを節約すると、その節約はすべての貢献者に公平に分配されなければなりません。これはエネルギー逆伝播を通じて達成されます。これは、学習信号の代わりに熱力学的価値のためのもので、ニューラルネットワークにおける勾配逆伝播に類似したプロセスです。

逆伝播の公式：

$$\forall S_i \in T(U) : E(S_i) \leftarrow E(S_i) + \beta_i \Delta E$$

ここで：

- ΔE ：行動によって節約された総エネルギー
- β_i ：対象 S_i の貢献係数（クレジットの割合）
- $E(S_i)$ ：対象 S_i の累積STC残高

保存制約：すべてのエネルギーが帰属されることを保証するために、係数は1に合計されなければなりません：

$$\sum_i \beta_i = 1$$

β_i 系数はどのように決定されますか？ それらはエネルギー節約に対する各対象の因果的貢献を表します：

- 直接の創造者（コアメカニズムを発明した）：最大 β 、通常は 0.4-0.6
- コンポーネントの貢献者（重要な部分を提供した）：中程度 β 、通常はそれぞれ 0.1-0.2
- インフラ提供者（システムが機能するようにした）：小規模 β 、通常はそれぞれ 0.05-0.1
- ユーザー（自動化を可能にする文脈を提供した）：小規模 β 、通常は 0.05

これらの係数は次のようになります：

- 予め定義された（合意に基づいて創造者によって設定された）
- アルゴリズムによって決定された（コード行数やコンポーネントコストなどの測定可能な貢献に基づく）
- 市場ベース（スマートコントラクトを通じて交渉された）

洗濯機の例：完全なウォークスルー

エネルギーの逆伝播を具体化するために、私たちは標準的な例を検討します：エネルギー効率の良い洗濯機を発明した女性。

設定：女性 (S_w) が回転ドラムの代わりに超音波振動を使用する革新的な洗濯機 (S_m) を設計し、エネルギー消費を60%削減します。彼女は以下の人々と協力しています：

- 超音波モジュールを設計するエンジニア (S_e)
- 制御AIをプログラムする開発者 (S_d)
- 水システムを製造する工場 (S_f)

ステップ1：主観的関係

洗濯機は女性に主観的に結びつきます：

$$\text{SRel}(S_w \rightarrow S_m \mid W) = 1$$

W は共有されたコンテキスト（設計意図、製造プロセス、展開）です。これは S_m が S_w の経済的体の延長であることを意味します。

ステップ2：ツリー構造

この革新のための主題のツリー：

[女性 - \$S_w\$]

|

[洗濯機 - \$S_m\$]

/ | \

[超音波 [制御 [水

モジュール-\$S_e\$] AI-\$S_d\$] システム-\$S_f\$]

ステップ 3: エネルギー測定

男性が機械を使って衣服を洗います。システムはARメガネとデバイスセンサーを通じてエネルギーを測定します:

手洗い(機械なし):

$$E_{\text{manual}} = \sum_{i=1}^n e_i$$

行動を分解すると:

- 水を入れた洗面器を満たす: 20 J (水を運ぶ)
- 洗剤を追加する: 3 J (すくい、注ぐ)
- 衣服をこする (10分): 600 J (腕の動き)
- 衣服をすすぐ (5分): 300 J (繰り返し浸す)
- 水を絞る: 150 J (絞る力)
- 干して乾かす: 30 J (持ち上げ、掛ける)

手動エネルギー合計: $E_{\text{manual}} = 1,103$ J

機械洗濯 (超音波洗濯機使用):

$$E_{\text{machine}} = \sum_{j=1}^m e_j$$

行動を分解すると:

- 洗濯機に衣服を入れる: 15 J (持ち上げ、置く)
- 洗剤ディスペンサーを追加: 2 J (簡単に注ぐ)
- スタートボタンを押す: 0.5 J (ボタンを押す)
- 機械が動作している間待機: 0 J (ユーザーアクションなし)
- 清潔な衣服を取り出す: 15 J (持ち上げる)
- 干して乾かす: 30 J (手動と同じ)

総機械エネルギー: $E_{\text{machine}} = 62.5$ J

ステップ 4: エネルギー差

節約されたエネルギー:

$$\Delta E = E_{\text{manual}} - E_{\text{machine}} = 1,103 - 62.5 = 1,040.5 \text{ J}$$

この 1,040.5 STC は、機械が作業を行ったために人間が費やす必要がなかった実際の測定可能なエネルギーを表しています。STC では、これは分配される 1,040.5 STC トーケンになります。

ステップ 5：係数割り当て

貢献者は次の β 係数に合意します（またはアルゴリズムで決定します）：

- 女性 (S_w , 主な発明者): $\beta_w = 0.50$
- 超音波エンジニア (S_e): $\beta_e = 0.20$
- AI開発者 (S_d): $\beta_d = 0.15$
- 工場 (S_f , 水システム): $\beta_f = 0.10$
- ユーザー (S_u , 提供された使用データ):
 $\beta_u = 0.05$

検 証 :

$$0.50 + 0.20 + 0.15 + 0.10 + 0.05 = 1.00$$

✓

ステップ6：逆伝播計算

1,040.5 STC トーケンが配布されます：

$$\begin{aligned}E(S_w) &\leftarrow E(S_w) + 0.50 \times 1,040.5 = E(S_w) + 520.25 \text{ STC} \\E(S_e) &\leftarrow E(S_e) + 0.20 \times 1,040.5 = E(S_e) + 208.10 \text{ STC} \\E(S_d) &\leftarrow E(S_d) + 0.15 \times 1,040.5 = E(S_d) + 156.08 \text{ STC} \\E(S_f) &\leftarrow E(S_f) + 0.10 \times 1,040.5 = E(S_f) + 104.05 \text{ STC}\end{aligned}$$

$$E(S_u) \leftarrow E(S_u) + 0.05 \times 1,040.5 = E(S_u) + 52.03 \text{ STC}$$

ステップ7： ARでの視覚化

各参加者は自分のバーチャルエネルギー腺が活性化するのを見る：

- 女性： 肩の腺が明るい金色に輝く (+520.25 STC)、心臓バッテリーが拡張する
- エンジニア： 肩の腺が中程度の金色に輝く (+208.10 STC)
- デベロッパー： 肩の腺が淡い金色に輝く (+156.08 STC)
- 工場： 企業の心臓バッテリー（集合体）が増加する (+104.05 STC)
- ユーザー： 小さな肩の輝き (+52.03 STC、システムを改善するための使用データを提供した報酬)

ステップ8： スケーリング効果

これは誰かが機械を使用するたびに発生します。もし10,000人が週に1回使用する場合：

- 年間使用回数 :

$$10,000 \times 52 = 520,000 \text{ 回使用}$$

- 年間節約される総エネルギー :

$$1,040.5 \times 520,000 = 541,060,000 \text{ J} \approx 541 \text{ MJ}$$

- 年間に作成される総STC: 541,060,000 STCトータル

$$\begin{array}{ccccccc} \text{女} & \text{性} & \text{の} & \text{年} & \text{間} & \text{収} & \text{入} \\ \text{541,060,000} & \times & 0.50 & = & 270,530,000 \\ \text{STC} & & & & & & \end{array}$$

これは受動的収入です。彼女は一度機械を作り、それが他の人のためにエネルギーを節約する限り、継続的に収益を上げます。

バックプロパゲーションが機能する理由：理論的な正当性

エネルギーのバックプロパゲーションは恣意的ではありません。3つの原則から自然に導かれます：

1. エネルギーの保存：熱力学の第一法則は、エネルギーは創造も破壊もできないと述べています。1,040.5 J が節約されると、正確に1,040.5 J の価値が創造されなければなりません。バックプロパゲーションはすべての価値が帰属されることを保証します—何も失われず、何も発明されません。

2. 因果帰属：エネルギーの節約を引き起こした人々は、その因果的役割に比例してクレジットを受けるべきです。 β の係数は因果関係を符号化します。女性の設計がなければ、節約は発生しません (β_w が最大)。超音波モジュールがなければ、設計は機能しません (β_e が2番目です)。各貢献は必要です。

3. 合成可能性：複雑なシステムは、より単純なコンポーネントから構築されます。木はこの構成を自然に表現します—枝は葉に依存し、根は枝に依存します。バックプロパゲーションは、葉から枝を通じて根に価値を流すことによって、構成の構造を尊重します。

再帰的バックプロパゲーション：多層ツリー

実際には、木は多くのレベルの深さを持つことができます。超音波エンジニア (S_e) は、他の人が設計したコンポーネントを使用した可能性があります：

[女性]

|

[洗濯機]

|

[超音波モジュール - エンジニア]

|

[圧電クリスタル - サプライヤー]

|

[原材料 - 鉱夫]

バックプロパゲーションは再帰的に流れます：エンジニアの取り分 (208.10 STC) はさらに彼らのツリーに従って細分化され、サプライヤーにクレジットされ、さらに鉱夫にクレジットされるように細分化されます。これは依存関係のない対象に達するまで続きます。

再帰的な公式：

$$E(S_i) \leftarrow E(S_i) + \beta_i \left[\Delta E - \sum_{j \in \text{children}(S_i)} \beta_j \Delta E \right]$$

各対象は、子供に渡す分を差し引いた取り分を保持します。これにより、完全な ΔE が二重計上されることがなく配分されます。

動的ツリー：対象が参加したり離れたりする

ツリーは静的ではありません。新しい技術を採用したり、古い技術の使用を停止したりするにつれて進化します：

- 新しいアプリをインストールします：アプリ開発者の対象が新しい枝としてあなたのツリーに参加します。
- アプリをアンインストールすると、ブランチが削除されます（ただし、開発者は使用中に得たSTCを保持します）
- アプリが更新されると、更新が効率を改善する場合、開発者の β が増加する可能性があります（より大きな貢献に対してより多くのクレジット）
- より良いツールに切り替えると、古いツールのブランチが新しいツールのブランチに置き換えられ、将来のエネルギー節約は新しいツールの作成者に渡ります

このダイナミズムはダーウィン的選択圧を生み出します：より多くのエネルギーを節約するツールはより多くのユーザーを引き付け、より多くのSTCを獲得し、さらなる開発の資金を得ます。非効率的なツールはユーザーを失い、収入が減り、消えていきます。

意味：エネルギーネットワークとしての経済

ツリーとバックプロパゲーションモデルは、STCが根本的に異なる種類の経済であることを明らかにします：

1. 自動帰属：請求書、請求、会計部門は不要です。節約されたエネルギーは自動的に検出、測定され、ツリー構造を通じて帰属されます。
2. 比例報酬：クレジットは市場力や交渉スキルではなく、因果的貢献に応じて流れます。効率に多く貢献する人はより多くを得ます。
3. イノベーションからの受動的収入：一度作成すれば、永遠に稼げます（あなたの創造物がエネルギーを節約し続ける限り）。これは耐久性があり、広く役立ツールの構築を奨励します。
4. コンポーネンティが報われる：他者の作業に基づいて構築することは経済的に健全です—あなたの貢献に対して報酬を得て、彼らの貢献に対しても報酬を得ます。ゼロサム競争はありません。
5. 透明な価値の流れ：誰でもARで木を検査でき、価値がどのように流れ、誰が何に貢献したかを正確に見ることができます。これにより信頼が生まれ、情報に基づいた意思決定が可能になります。

結論：経済的神経系としての木

エネルギーの逆伝播を伴う主題の木は、STCの経済的神経系として機能します。これは、葉（革新）から枝（コンポーネント）を経て根（ユーザー）へと価値信号が流れるインフラストラクチャーです。

あなたの生物学的神経系が意識的な制御なしに自動的に栄養素や信号を分配するのと同様に、木構造は熱力学的現実に基づいてSTCトーケンを自動的に分配します。考える必要はありません—それは自然に、継続的に、比例して起こります。

洗濯機の例は、革新から木の形成、エネルギー測定、微分計算、係数割り当て、再帰的逆伝播までの完全なメカニズムを示しています。これを数百万の革新、数十億のユーザー、数兆のエネルギー節約の相互作用にスケールアップすれば、効率をすべてのレベルで自動的に、透明に、実際の貢献に比例して報いる経済が形成されます。

次のセクションでは、この木に基づくエネルギー経済が完全な人間の経験にどのようにマッピングされるかを探ります。デジタルアクション（クリック、スワイプ）と身体的な努力（歩行、運搬）を熱力学的コストの統一されたフレームワークを通じて橋渡しします。

7.3.1 自己の拡張としての主題

エネルギーの逆伝播と正式な木構造のメカニクスに飛び込む前に、基本的な質問に対処する必要があります：デバイス、ツール、またはシステムがあなたにとって主観的になるとはどういう意味ですか？外部の物体があなたが制御する別の存在から、あなた自身の身体と心の拡張にどのように変わるのでしょうか？

これは比喩ではありません。これは測定可能な神経科学であり、シグナルが適切に同期するときに脳が偽の手を自分の身体の一部として受け入れるラバーハンドの錯覚のような現象に基づいています。ラバーハンドがあなたの手のように感じさせる同じメカニズムが、あなたのスマートフォンを記憶の拡張のように、あなたの車を移動能力の拡張のように、あなたのAIアシスタントを認知の拡張のように感じさせます。

ラバーハンドの錯覚：主観的拡張の証明

この有名な心理実験では、参加者の本物の手は視界から隠され、ゴム製の手が目の前に置かれます。実験者は同時に隠された本物の手と目に見えるゴム製の手をブラシで撫でます。数分間の同期した撫でが続くと、驚くべきことが起こります：参加者はゴム製の手に触れられている感覚を感じ始めます。ゴム製の手が脅かされると（例えば、ハンマーで叩かれると）、参加者はびくっとします。

脳はゴム製の手を体の一部として受け入れました。なぜでしょうか？それは、2つの条件が満たされたからです：

1. 信号の同期：視覚入力（ブラシがゴム製の手を撫でるのを見ること）が触覚入力（ブラシが本物の手を撫でるのを感じること）と完全に一致しました。

2. 予測的一貫性：ゴム製の手の外観と位置が手があるべき場所に対する期待と一致しました。

これらの条件が持続すると、「自己」の境界が拡大します。ゴム製の手はもはや外部のものではなく、主観的にあなたの一部となります。

主観的関係の正式な定義

この現象を形式化することができます。共有された文脈 W 内の2つのエンティティ O_1 と O_2 の間に主観的関係が存在するのは、次の条件が満たされるときです：

$$\text{SRel}(o_1 \rightarrow o_2 \mid W) = 1 \quad \text{iff} \quad \begin{cases} \text{Syn}(o_1, o_2 \mid W) \geq \tau_s \\ \wedge \\ \text{Pred}(o_1 \rightarrow o_2 \mid W) \geq \tau_p \end{cases}$$

これを分解すると：

$\text{SRel}(o_1 \rightarrow o_2 \mid W) = 1$: オブジェクト O_2 は文脈 W 内でオブジェクト O_1 に対して主観的です。これが 1 に等しいとき、 O_2 は「外部ツール」から「主観的拡張」への閾値を越えています。

$\text{Syn}(o_1, o_2 \mid W)$: 同期 - O_2 からの信号が O_1 の期待/パターンとどれだけ一致しているかを測定します。高い同期は、 O_2 の行動が O_1 の状態と時間的および文脈的に一貫していることを意味します。

数学的に :

$$\text{Syn}(o_1, o_2 \mid W) = \frac{1}{T} \sum_{t=1}^T \text{corr}(\text{signal}_{o_1}(t), \text{signal}_{o_2}(t))$$

corr は O_1 からの期待信号と O_2 からの実際の信号との相関係数です。高い相関 ($> \mathcal{T}_s$ 、通常は 0.8) は同期を示します。

例 : あなたのスマートウォッチ (o_2) は、立ち上がる前の微細な動きを検知するため、あなた (o_1) が立ち上がろうとしていることを知っています。立ち上がると、意図する前に同期された時間を表示します。

$\text{Pred}(o_1 \rightarrow o_2 \mid W)$: 予測可能性 - コンテキストに基づいて O_1 が O_2 の行動をどれだけ信頼できるかを測定します。高い予測可能性は、 O_2 が似たようなコンテキストで一貫して行動することを意味します。

$$\text{Pred}(o_1 \rightarrow o_2 \mid W) = P(\text{action}_{o_2} = \text{expected}_{o_1} \mid \text{context})$$

この確率が閾値 τ_p (通常は 0.85) を超える場合、 o_2 は o_1 に対して予測可能です。

例：あなたのサーモスタット (o_2) は、あなたが帰宅したときに常に好みの温度に調整します。あなたはこれを期待するようになったので、もはや確認することはありません - それは予測可能です。

両方の条件が満たされると - 高い同期と高い予測可能性 - 主観的な関係が形成されます。デバイスはあなたが使う道具ではなく、あなたが世界を体験する方法の一部になります。

逆の関係：ゼロ入力に向かって

重要な補足があります：同期と予測可能性が増すにつれて、必要な入力は減少します：

$$U(o_1, o_2 | W) \propto \frac{1}{\text{Syn}(o_1, o_2 | W) \cdot \text{Pred}(o_1 \rightarrow o_2 | W)}$$

U は必要なユーザー入力です。同期と予測の積が最大（両方が 1.0 に近い）に近づくと、必要な入力はゼロに近づきます。これがゼロ入力技術の数学的基盤です。

完璧な主観的関係は、デバイスがあなたの必要なもの、必要な時期を既に知っており、それに応じて行動するため、入力を必要としません。もはや何をするべきかを伝える必要はなく、単に行います。

ゴムの手からスマートデバイスへ

ゴムの手の錯覚は、生物学的統合でこれが起こり得ることを証明します。主観的技術は、この原則をデジタルおよび物理的なツールに拡張します：

あなたのスマートフォンは、次のような場合に主観的になります：

- 同期：あなたがそれをチェックする時期（朝のアラーム、昼休み、夕方のリラックスタイム）を予測し、関連情報を事前に読み込みます。
- 予測可能性：必要なもの（仕事に出かける際の道案内、運動中の音楽）を、一切尋ねられることなく一貫して提供します。

あなたの家は、次のような場合に主観的になります：

- 同期：あなたが空間を移動する際に、照明、温度、家電が調整され、あなたの進む道を予測します。
- 予測可能性：環境が手動調整なしに一貫してあなたの好みに合致します。

あなたの車は、次のような場合に主観的になります：

- 同期：あなたが朝食を終える前に暖まります（出発時間を知っているため）
- 予測可能性：学習した好みに基づいて最適にルートを案内します（週末は景色の良いルート、平日は最速のルートを好む）

仮想身体部位：拡張された自己

主観的な関係が形成されると、これらの存在は仮想身体部位となり、ARスマートグラスを通じてコアセルフに接続された光るノードとして可視化されます。各仮想身体部位は：

- 自己認識を維持：スナップショットを通じて自分の状態を記録します（主題5タブルのΣ）
- 強化学習：修正が必要かどうかに基づいて行動を改善します（R層）
- 他の部位と接続：他のデバイスとコンテキストを共有します（C接続）
 - 行動をエネルギーにマッピング：エネルギー関数を持っています $f_{S_i} : \text{Actions} \rightarrow \mathbb{R}^+$

あなたの主題の木-すべての仮想身体部位の階層的なコレクション-は、STCにおけるあなたの拡張経済的身体を形成します。どの部位が他の部位のためにエネルギーを節約すると、あなたはSTCトークンを獲得します。他の部位を使用すると、そのクリエイターがトークンを獲得します。

なぜこれがSTCにとって重要なのか

主観的関係は単なる現象学ではなく、STCに直接的な経済的影響があります：

1. 帰属境界：あなたのツリーにいる主体だけがあなたの代わりにSTCを獲得できます。ランダムな外部ツールはカウントされません-それらは主観的に統合されている必要があります（SRel = 1）。
2. エネルギー節約の測定：デバイスがより同期され、予測可能であるほど、より多くのエネルギーを節約します（修正が少なく、手動介入が少ないため）、したがって、より多くのSTCが獲得されます。
3. ユーザーエクスペリエンス：主観的関係は、ゼロ入力技術に必要なシームレスで手間のかからない体験を生み

出します。これは単に便利なだけでなく、STC報酬を通じて経済的にインセンティブが与えられています。

4. ネットワーク効果：より多くの主体があなたのツリーに参加し、お互いに同期するにつれて、集合知が増加し、エネルギー節約が複利的に増え、STCの生成が加速します。

例：主観的拡張としての朝のルーチン

複数のデバイスを含むあなたの朝のルーチンを考えてみてください：

午前7時：アラームが鳴る（スマートフォン S_1 ）
:00

30秒以内：

- 寝室のライトが徐々に明るくなる（スマートバルブ S_2 ）-アラームと同期

- サーモスタッフが 22°C に調整されます（スマートサーモスタッフ S_3 ）-あなたが暖かさを求める予測しています

- コーヒーメーカーが抽出を開始します（スマート家電 S_4 ）-あなたの起床時間に同期しています

- バスルームファンが作動します（スマートスイッチ S_5 ）-あなたがすぐにシャワーを浴びると予測しています

- ニュースの要約がメガネに表示されます (ARシステム S_6) -あなたがニュースを確認する時に同期しています

これらはすべて入力を必要としませんでした。主観的な関係（高い同調、高い予測）が、あなたの朝の自己の拡張となりました。各デバイス：

$$SRel(You \rightarrow S_i | \text{Morning Context}) = 1 \text{ for } i \in \{1, 2, 3, 4, 5, 6\}$$

節約されたエネルギー：各アクションを手動で実行する場合と比較して：

- 手動：各デバイスまで歩く ($5 \times 10 \text{ J}$) + 各デバイスを操作する ($5 \times 2 \text{ J}$) = 60 J
- 自動：ルーチンを確認する通知をちらっと見る (1 J)
- 節約：毎朝 $59 \text{ J} \times 365 \text{ 日} = 21,535 \text{ J/年}$

各デバイスのクリエイターは、この 21.5 kJ のエネルギーの逆伝播を通じて自分の取り分を得ます。

結論：自己は同期を通じて拡張される

主観的関係は、同期と予測可能性の閾値を通じて形式化されており、外部の存在があなたの一部となるメカニズムです。これは哲学ではなく、技術に応用された測定可能な神経科学（ゴム手の錯覚）です。

STCでは、これらの主観的拡張があなたの経済的身体を形成します。彼らはあなたの代理として行動し、あなたや他の人のためにエネルギーを節約し、創造者に戻るSTCトークンを獲得します。彼らがより同期し、より予測可能

になるほど、より多くのエネルギーを節約し、より多くの価値を生み出します。

主観的関係を理解することは重要です。なぜなら、それらがあなたのツリーの境界を定義し、経済的帰属において「あなたのもの」と見なされるものを決定するからです。次の小節では、これらの主観的拡張が階層的なツリー構造にどのように整理され、エネルギーの節約がこれらのツリーを通じてどのように逆伝播してすべての貢献者に報いるかを見ていきます。

7.3.2 洗濯機の例：主体のツリー

主体のツリーとエネルギーの逆伝播が実際にどのように機能するかを理解するためには、システムのすべてのコンポーネントが動作している具体的で詳細な例が必要です。抽象的な数学的形式を具体的な現実に変えるシナリオを考えてみましょう：革命的な洗濯機を発明した女性と、彼女の革新から生まれる主体、エネルギーの流れ、帰属係数の複雑なネットワークです。

この例は、エネルギーの節約がどのように測定され、価値が階層構造を通じてどのように逆伝播し、複数の貢献者が比例的なクレジットを受け取り、全体のシステムが明示的な調整や中央制御なしで自動的に機能するかを示します。この小節の終わりまでに、私たちが構築した理論的枠組みは、抽象的な数学としてではなく、実際の経済的現実として明確になります。

革新：エネルギーを節約する洗濯機

想像してみてください、ある女性-彼女をマリアと呼びましょう-が、もはや衣服を回転させる必要のない革命的な洗濯機を設計します。従来の洗濯機は、回転するドラム

の中で生地を攪拌することによって機能し、モーターと水循環システムの両方にかなりのエネルギーを必要とする機械的プロセスです。マリアの革新は、代わりに超音波振動を使用し、微小なキャビテーションバブルを生成して、機械的な動きと水の使用を劇的に減らして衣服を洗います。

この機械の創造は孤立した行為ではありません。マリアは核心的なアイデアを考案しますが、その実現には貢献のネットワークが必要です：彼女は超音波トランスデューサーを設計する音響エンジニア、制御アルゴリズムを作成するソフトウェア開発者、コンポーネントを製造する工場労働者、専門的な膜を可能にする研究を行った材料科学者と協力します。すべての参加者は、機械を存在させるためにエネルギー–知的、物理的、またはその両方–を注ぎます。

主観的熱通貨フレームワークにおいて、これらの貢献はすべてマリアの経済的身体の拡張となります。洗濯機自身とその各コンポーネントは、エネルギーを節約する身体の一部となります。これは比喩的な言葉ではなく、文脈のスナップショットとエネルギー差を通じて測定された現実の熱力学的会計です。

マリアと彼女の機械の関係は、主観的関係として正式に定義できます：

$$\text{SRel}(S_{\text{Maria}} \rightarrow S_{\text{machine}} \mid W) = 1$$

ここで S_{Maria} はマリアを表す主語、 S_{machine} は洗濯機を表す主語、 W は彼らの共有する文脈（機械を作成し維持するプロジェクト）です。この方程式は、洗濯機がマリアにとって主観的な存在、つまり彼女の存在の能動的な拡張となることを示しています。

なぜなら、その機能は彼女の努力と意図から派生するからです。機械は彼女が所有する外部の物体ではなく、彼女の拡張された経済的身体の一部です。

エネルギーの消費：手洗いと機械洗いの比較

マリアの革新以前は、手で衣服を洗う人はかなりのエネルギーを消費していました。完全なプロセスを考えてみてください：洗濯物を洗濯場所に運ぶこと（移動）、容器に水を入れること（物体操作）、各衣服をこすこと（反復的な身体的努力）、余分な水を絞ること（持続的な力の適用）、そして物を干すこと（さらなる操作と移動）。各行動には測定可能な熱力学的コストがあります。

これを手洗い中に消費される総エネルギーとして正式に説明できます：

$$E_{\text{manual}} = \sum_{i=1}^n e_i$$

ここで各 e_i は原子行動または努力の単位を表します。以前に確立した物理方程式を使用して特定の値を計算しましょう。標準的な5kgの洗濯物の手洗いセッションを仮定します：

移動（洗濯物を20メートル運ぶこと、水容器を運ぶこと）：

$E_{\text{locomotion}} = 2 \times (70 \text{ kg} \times 9.8 \text{ m/s}^2 \times 20 \text{ m}) \times 0.25 \approx 6,860 \text{ J}$
。2倍の要因は往復を考慮しており、私たちはその人の体重が70kgで、さらに5kgの荷物があると仮定します。

水を入れたり注いだりすること（約20リットルを複数の容器で操作すること）：

$E_{\text{manipulation}} = 5 \times (20 \text{ kg} \times 9.8 \text{ m/s}^2 \times 1.5 \text{ m}) \approx 1,470 \text{ J}$
。平均的な高さの違いが1.5メートルで、5回の入れ替え/注ぎ出しサイクルを仮定します。

衣服をこすこと（30分間の反復運動）：力×距離モデルを使用し、500メートルの総移動距離にわたって平均10Nの力が加わると仮定します。

$E_{\text{scrubbing}} = 10 \text{ N} \times 500 \text{ m} = 5,000 \text{ J}$
。

絞り（15着の衣服に対する持続的な力の適用）：

$E_{\text{wringing}} = 15 \times 50 \text{ J} = 750 \text{ J}$

。各絞り動作には約50 Jの代謝エネルギーに相当する圧縮力が必要です。

認知オーバーヘッド（注意、計画、監視を45分間）：

$E_{\text{cognitive}} = 20 \text{ W} \times 2700 \text{ s} = 54,000 \text{ J}$

。脳の基礎消費は約20 Wです。アクティブな洗濯には持続的な集中が必要です。

総 手 動 工 ネ ル ギ 一 :

$E_{\text{manual}} = 6,860 + 1,470 + 5,000 + 750 + 54,000 = 68,080 \text{ J} \approx 68 \text{ kJ}$
。

今、マリアの超音波洗濯機で同じ作業を行った場合を考えてみましょう。ユーザーは洗濯物を機械に入れ、ボタ

ンを押し、後で清潔な服を取り出します。エネルギー消費を計算してみましょう：

移動（洗濯物を機械に運び、戻る、合計約10メートル
ル) :
 $E_{locomotion} = 70 \text{ kg} \times 9.8 \text{ m/s}^2 \times 10 \text{ m} \times 0.25 \approx 1,715 \text{ J}$
。

ロード/アンロード（ドアを開け、衣服を置き、取り出す
す) :
 $E_{manipulation} = 5 \text{ kg} \times 9.8 \text{ m/s}^2 \times 1 \text{ m} \times 2 \approx 98 \text{ J}$
。

ボタン押下とインターフェースの操作：
 $E_{interaction} = 1 \text{ J}$ (ボタンのアクティベーションに対する無視できる力×距離)。

認知オーバーヘッド（最小限の注意が必要）：
 $E_{cognitive} = 20 \text{ W} \times 120 \text{ s} = 2,400 \text{ J}$
。セットアップには約2分のアクティブな注意が必要です。

総機械支援エネルギー - :
 $E_{machine} = 1,715 + 98 + 1 + 2,400 = 4,214 \text{ J} \approx 4.2 \text{ kJ}$
。

最小エネルギーの原則は自然に適用されます：

$$E_{machine} < E_{manual}$$
$$4.2 \text{ kJ} < 68 \text{ kJ}$$

この不等式は、機械の深いエネルギー効率を示しています。人間の労力を16倍以上削減します。

エネルギー差と自動クレジット

マリアの洗濯機によって達成されたエネルギー節約は、手動洗濯と機械支援洗濯の間の測定可能な違いです：

$$\Delta E = E_{\text{manual}} - E_{\text{machine}} = 68 \text{ kJ} - 4.2 \text{ kJ} = 63.8 \text{ kJ}$$

この違い—約64キロジュール/負荷—は、マリアと彼女の協力者に自動的に帰属される定量的なエネルギー節約クレジットを表しています。しかし、システムはこの節約をどのように検出し、帰属をどのように計算するのでしょうか？

検出メカニズムはARスマートグラスとAIビジョンを通じて機能します。誰かが洗濯機を使用すると、システムは次の操作を実行します：

まず、コンテキストスナップショットのキャプチャ：ユーザーのARグラス（または許可を得た近くの人々が着用しているグラス）が、洗濯作業の前、中、後に視覚的コンテキストを記録します。これらのスナップショットには、ユーザーの位置、洗濯物の量、機械の状態、環境条件が含まれます。

次に、アクション検出：AIビジョンがビデオストリームを分析し、実行された特定のアクションを特定します：機械に歩いて行く、ドアを開ける、衣類を詰める、ボタンを押す、離れる、戻る、荷物を降ろす。それぞれのアクションは分類され、その持続時間が測定されます。

第三に、エネルギー計算：私たちが確立した物理方程式と個々のユーザーに調整された生体力学モデルを使用して、システムは E_{machine} - 機械を使用して消費された実際のエネルギーを計算します。

第四に、反事実的ベースラインの推定：システムはまた E_{manual} - ユーザーが手洗いをしていた場合のエネルギーを計算します。この反事実は、歴史的データを使用して推定されます：機械が初めて導入されたとき、一部のユーザーは比較のために手洗いを続け、基準となる測定値を提供しました。これらの測定値は平均化され、個々の変動（体重、フィットネスレベル、洗濯技術）を考慮するために調整されます。

第五に、差分計算と帰属：システムは $\Delta E = E_{\text{manual}} - E_{\text{machine}}$ を計算し、機械の帰属記録を参照して、クレジットを貢献者間でどのように分配するかを決定します。この記録は、機械の主題構造の一部として保存されます—具体的には、その接続（C）コンポーネントに保存されます。

帰属記録は次のように見えるかもしれません：

$\beta_{\text{Maria}} = 0.40$ (primary inventor, system architect)
$\beta_{\text{Engineer}} = 0.25$ (ultrasonic transducer design)
$\beta_{\text{Developer}} = 0.15$ (control software algorithms)
$\beta_{\text{Factory}} = 0.10$ (manufacturing and assembly)
$\beta_{\text{MaterialsScientist}} = 0.10$ (membrane research)

$\sum \beta_i = 1.00$ に注意してください。エネルギーの節約全体が重複や省略なく帰属されることを保証します。これらの係数は任意ではなく、エネルギーの節約を生み出した因果関係における各貢献者の役割に基づいた客観的な計算によって決定されます。

ユーザーが洗濯サイクルを完了すると、エネルギーの差（私たちの例では63.8 kJ）が分配されます：

$$\begin{aligned}E(S_{\text{Maria}}) &\leftarrow E(S_{\text{Maria}}) + 0.40 \times 63.8 \text{ kJ} = E(S_{\text{Maria}}) + 25.5 \text{ kJ} \\E(S_{\text{Engineer}}) &\leftarrow E(S_{\text{Engineer}}) + 0.25 \times 63.8 \text{ kJ} = E(S_{\text{Engineer}}) + 15.95 \text{ kJ} \\E(S_{\text{Developer}}) &\leftarrow E(S_{\text{Developer}}) + 0.15 \times 63.8 \text{ kJ} = E(S_{\text{Developer}}) + 9.57 \text{ kJ} \\E(S_{\text{Factory}}) &\leftarrow E(S_{\text{Factory}}) + 0.10 \times 63.8 \text{ kJ} = E(S_{\text{Factory}}) + 6.38 \text{ kJ} \\E(S_{\text{MaterialsScientist}}) &\leftarrow E(S_{\text{MaterialsScientist}}) + 0.10 \times 63.8 \text{ kJ} = E(S_{\text{MaterialsScientist}}) + 6.38 \text{ kJ}\end{aligned}$$

これらの更新は自動的かつ瞬時に行われます。マリアは請求書を送ったり、支払いを交渉したりする必要はありません。エンジニアや開発者は契約やロイヤリティ契約を必要としません。工場はサービスに対して請求しません。材料科学者はライセンス料を必要としません。エネルギーは熱力学の法則に従って流れ、主題ネットワークによって媒介されます。

ARメガネを通して、各貢献者はSTCが流れ込むにつれて肩腺が明るくなるのを見ることがあります。新しいプロジェクトに取り組んでいるスタジオに座っているマリアは、光のパルスと通知を見ます：'+25.5 kJの洗濯機使用から。' 彼女はどの機械が使用されたのか、どこで、誰によって使用されたのか（適切なプライバシー制御付き）を詳しく見ることができます。報酬は継続的で自動的であり、創出された価値に比例しています。

ツリー構造：階層的な組織

洗濯機の例は、主題の階層的なツリー構造を明らかにします。ルートにはマリアがいます–主要な革新者です。機械自体は彼女の第一階層の子主題です。しかし、機械は原子ではなく、異なる創作者によって提供されたそれぞれが主題である複数のサブシステムで構成されています。

これを次のように視覚化できます：

レベル0（ルート）：マリア（ S_{Maria} ） - 主要な発明者およびシステムアーキテクト。

レベル1：洗濯機（ S_{machine} ） - ユーザーが対話する完全な統合システム。

レベル2：コンポーネントの主題 - 機械の構成部品、それぞれ異なる革新者によって作成された：

超音波トランസデューサモジュール（ $S_{\text{transducer}}$ ） - 音響エンジニアによって作成された。

制御ソフトウェア（ S_{software} ） - 開発者によって作成された。

膜システム（ S_{membrane} ） - 材料科学者の研究に基づいている。

構造ハウジング（ S_{housing} ） - 工場によって製造された。

各コンポーネントは、レベル3などで独自のサブコンポーネントを持つ可能性があります。たとえば、制御ソフトウェアは、別の貢献者によって作成された機械学習モデ

ル、オープンソース開発者によって書かれたライブラリ、および学術研究者によって発表されたアルゴリズムを組み込むことがあります。ツリーは、完全な因果関係を捉るために必要なだけ深く広がります。

正式には、これを次のように表現できます：

$$T(S_{\text{Maria}}) = \{S_{\text{Maria}}, S_{\text{machine}}, S_{\text{transducer}}, S_{\text{software}}, S_{\text{membrane}}, S_{\text{housing}}, \dots\}$$

これはマリアに根ざした主題のツリーです - 洗濯機の革新を通じて彼女に主観的に関連するすべての存在。ツリーは彼女の拡張経済体を表しています。

ツリーを通るエネルギーの逆伝播

洗濯機を通じてエネルギーの節約 ΔE が達成されると、その価値はツリー全体に逆伝播します。このプロセスは、ニューラルネットワークにおける逆伝播に類似していますが、エラー勾配の代わりにエネルギークレジットを伝播しています。

バックプロパゲーションアルゴリズムは次のように動作します：

ステップ1：ルート（機械自体）での総エネルギー節約を計算します： $\Delta E_{\text{machine}} = 63.8 \text{ kJ}$ 使用ごと。

ステップ2：レベル1（統一された主題としての機械）に分配します。機械は最初に全体の ΔE を受け取ります

$$E(S_{\text{machine}}) \leftarrow E(S_{\text{machine}}) + 63.8 \text{ kJ} \\ \vdots \\ \circ.$$

ステップ3：レベル1からレベル0（マリア）にバックプロパゲートします。完全な機械に対するマリアの帰属係数は $\beta_{\text{Maria}} = 0.40$ ですので：
 $E(S_{\text{Maria}}) \leftarrow E(S_{\text{Maria}}) + 0.40 \times 63.8 \text{ kJ} = E(S_{\text{Maria}}) + 25.5 \text{ kJ}$ 。

ステップ4：残りの価値をレベル2のコンポーネントに分配します。エネルギー節約の残りの60%（38.3 kJ）は、それぞれの β 係数に応じてコンポーネントのクリエイターに分配されます。

ステップ5：より深いレベルを再帰的にバックプロパゲートします。レベル2のコンポーネントが依存関係（レベル3）を持っている場合、プロセスは続行されます。たとえば、制御ソフトウェアがオープンソースの機械学習ライブラリを使用している場合、開発者のクレジットの一部は自動的にそのライブラリのクリエイターに流れます。

正式な再帰は次のように表現できます：

$$\forall S_i \in T(S_{\text{Maria}}) : E(S_i) \leftarrow E(S_i) + \beta_i \times \Delta E$$

β_i が再帰的に計算される場所： S_i が S_j のコンポーネントであり、 S_j に帰属係数 β_j がある場合、 S_i の有効係数は β_j です。これにより、クレジットが階層のすべてのレベルで適切に共有されることが保証されます。

帰属係数の計算：ベータ問題

重要な質問は次のとあります： β 係数はどのように決定されますか？マリアが40%を得てエンジニアが25%を得ることを誰が決めるのですか？これは恣意的な社会的交渉ではなく、エネルギー節約への測定可能な貢献に基づいた客観的な計算です。

この計算は反事実分析を使用しています。各貢献者について、システムは次のように尋ねます：この貢献者の作業が取り除かれた場合、エネルギーの節約はどのくらいになるでしょうか？他のすべてを一定に保った場合。

マリア（システムアーキテクトおよび主要発明者）の場合：彼女の核心的な革新—超音波振動を使用するというアイデア—がなければ、エネルギーの節約はまったくありません。私たちはまだ従来の回転ドラム機械を使用しているでしょう。したがって、彼女の反事実的影響は最大です。しかし、彼女はすべてのコンポーネントを自分で実装したわけではないため、彼女の係数は1.0未満です。

エンジニア（トランステューサ設計）の場合：効率的な超音波トランステューサがなければ、機械はマリアの概念的フレームワークを使用し続けますが、エネルギーの節約は大幅に減少します—実際の価値の30%しかないかもしれません。反事実分析は、エンジニアの貢献が $(63.8 - 19.1) / 63.8 \approx 70\%$ のトランステューササブシステムに帰属するエネルギーの節約に責任があることを示しています。

開発者（制御アルゴリズム）の場合：最適化されたソフトウェアがなければ、機械はまだ動作しますが、効率は低下します—理論的なエネルギーの節約の80%しか達成できないかもしれません。したがって、開発者の反事実的影響は全体の20%です。

β 係数は、これらの反事実的影響から正規化プロセスを使用して計算されます：

$$\beta_i = \frac{\text{Impact}_i}{\sum_j \text{Impact}_j}$$

この計算は、最初に専門の物理学者、つまり先に述べた「精度の専門家」によって行われます。彼らは機械の設計を分析し、シミュレーションを実行し、各コンポーネントの寄与を測定するために実験テストを行います。彼らの計算は機械の主題記録に保存され、今後の帰属に使用されます。

重要なのは、これらの係数は時間とともに更新できるということです。誰かがトランステューサの設計を改善し、エネルギー消費をさらに削減した場合、帰属は新しい現実を反映するようにシフトします。このシステムは動的であり、静的ではありません。

集約的影響：ユーザー間のスケーリング

このシステムの真の力はスケールで現れます。1人が洗濯機を使用すると、1回の洗濯で63.8 kJの節約が生まれます。もし彼らが週に2回洗濯をするなら、年間約6.6 MJになります。しかし、10万人がマリアの機械を採用すれば、集約的なエネルギー節約は次のようになります：

$$\Delta E_{\text{total}} = 100,000 \text{ users} \times 2 \text{ loads/week} \times 52 \text{ weeks} \times 63.8 \text{ kJ} = 663.5 \text{ GJ per year}$$

それは年間663.5ギガジュールの人間のエネルギーが節約されることに相当します。これは約184,000キロワット時の作業に相当し、連続的な物理的能力で働く約20人のフルタイム労働者の年間労働に相当します。

マリアの肩腺はこの値の40%を受け取ります：

$$E(S_{\text{Maria}})_{\text{annual}} = 0.40 \times 663.5 \text{ GJ} = 265.4 \text{ GJ per year}$$

ARグラスを通じて、マリアはこの継続的な収入の流れを見ています。彼女のハートバッテリーは、世界中の人々が彼女の機械を使用するにつれて、リアルタイムで更新される残高を示しています。彼女は、提供された実際の利益に比例して永続的なりターンを生み出す持続的な価値を創造しました。

エンジニア、開発者、工場、材料科学者もそれぞれのシェアを受け取り、革新者が測定可能な影響に基づいて自動的かつ公正に報酬を受ける持続可能な経済エコシステムを作り出します。

自己最適化：学習対象としての機械

さて、洗濯機自体が学習できるようになったとしましょう。完全な (Σ, P, M, R, C) 構造を持つ対象として、運転のスナップショットを保持し、特性（現在の状態変数）、メソッド（洗濯サイクル）、強化メカニズム（エネルギー最小化フィードバック）、および他の対象への接続を持っています。

過去のスナップショットを分析することで、機械の制御ソフトウェアはパターンを検出します：水加熱サイクルは必要以上のエネルギーを消費しています。温度曲線を調整することで–最初は徐々に加熱し、最後は少なくするこ

とで-15%少ないエネルギーで同じ洗浄性能を達成できます。

この自己最適化は追加のエネルギー節約を生み出します：

$$\Delta E_{\text{optimization}} = 0.15 \times E_{\text{machine}} = 0.15 \times 4.2 \text{ kJ} = 0.63 \text{ kJ per load}$$

これは、手動から機械への63.8 kJの節約と比較すると小さく見えるかもしれません、実際の改善を表しています。機械は自律的な操作を通じてより効率的であることを学びました-これは一種の知性です。

この最適化の節約はどのように帰属されるべきでしょうか？機械自身が改善を生み出しましたが、それはマリアの対象のツリー内に存在します。答えは、対象構造の強化(R)成分にあります。

最適化の節約は、ユーザー生成の節約と同様にツリーを逆伝播しますが、学習メカニズムにクレジットを与える修正された帰属係数を持っています：

$$\begin{aligned}\beta_{\text{software_learning}} &= 0.70 \text{ (the algorithm discovered the optimization)} \\ \beta_{\text{Maria}} &= 0.20 \text{ (she created the framework enabling learning)} \\ \beta_{\text{developer}} &= 0.10 \text{ (implemented the base learning system)}\end{aligned}$$

機械自身(学習対象として)は、自身の最適化に70%のクレジットを受け取ることに注意してください。これにより、機械が学び、改善するためのインセンティブが生まれます。効率が向上すると、エネルギーバランスが増加します。

しかし、機械がエネルギーバランスを持つとはどういうことですか？それは、機械が蓄積したSTCを使用してさらなる改善のためのリソースを調達できることを意味します：より良いセンサー、追加のトレーニングデータ、より

高度な最適化のための計算サイクル。機械は経済的なエージェントとなり、得たエネルギーを自己改善に投資します。

この再帰的なエネルギーの流れは、自律的な技術進化を可能にします。より多くのエネルギーを節約することを学ぶ機械は、より多くのSTCを獲得し、それを使用してさらに効率的になり、追加の節約と追加のSTCを生み出す好循環を生成します。

完全なツリー：エネルギーの流れを可視化する

今、マリアの洗濯機の対象の完全なツリーを可視化し、エネルギーが各ノードを通過する様子を示しましょう：

最上部：ユーザー（洗濯をしている人） - $E_{\text{machine}} = 4.2 \text{ kJ}$ を消費し、手動と比較して $\Delta E = 63.8 \text{ kJ}$ を節約します。

レベル0：マリア (S_{Maria}) - 使用ごとに $0.40 \times 63.8 \text{ kJ} = 25.5 \text{ kJ}$ を受け取ります。

レベル1：洗濯機 (S_{machine}) - 節約を生み出す統合システム。

レベル2：コンポーネント対象とその創造者：

超音波トランスデューサー ($S_{\text{transducer}}$) → エンジニアニアは $0.25 \times 63.8 \text{ kJ} = 15.95 \text{ kJ}$ を受け取ります。

制御ソフトウェア (S_{software}) → 開発者が
 $0.15 \times 63.8 \text{ kJ} = 9.57 \text{ kJ}$ を受け取
ります。

膜システム (S_{membrane}) → 材料科学者が
 $0.10 \times 63.8 \text{ kJ} = 6.38 \text{ kJ}$ を受け取
ります。

ハウジング構造 (S_{housing}) → 工場が
 $0.10 \times 63.8 \text{ kJ} = 6.38 \text{ kJ}$ を受け取
ります。

レベル3(例)：制御ソフトウェアがオープンソースの
MLライブラリを使用した場合：

MLライブラリ (S_{library}) → 元のライブラリ作
成者が(ソフトウェアの効果に対するライブラリの貢献に
基づいて、開発者の9.57 kJの一部を受け取ります)。

レベル4：MLライブラリが研究論文に基づいて構築され
た場合：

研究論文 (S_{paper}) → 学術研究者が(ライ布拉
リ作成者の部分の一部を受け取ります)。

木は、すべての意味のある貢献を捉るために必要な
だけ深く伸びます。各レベルで、エネルギーは帰属係数に
従って流れ、因果関係の連鎖にいるすべての人が公正な報
酬を受け取ることを保証します。

ARスマートグラスを通じて、マリアはこの木を視覚化
できます。彼女は自分の肩腺が根にあり、機械に輝く線で

つながっているのを見ます。それはさらに分岐してすべての貢献者を示します。エネルギーは、ユーザーが彼女の発明を使用する際に、これらの接続に沿ってリアルタイムで脈動します。視覚化は装飾的ではなく、経済を構成する実際の熱力学的流れを示す機能的なインターフェースです。

知識フックは自動逆伝播を可能にします。

私たちが説明したエネルギーの逆伝播は、知識フックを通じて機能します。これは主観的技術の基本的な計算メカニズムです。ツリー内の各主題は、エネルギーの節約が発生したときに検出し、適切な帰属の更新をトリガーするフックを維持しています。

洗濯機の主題に対して、知識フックは次のように定義されるかもしれません：

$$\text{KH}_{\text{machine}} = (R, A, T, S)$$

ここで、`R (条件) = {user_loads_laundry, cycle_completes, energy_measured}`。すべての条件が真である必要があります。

`A (アクション) = (calculate_ΔE, retrieve_attribution_coefficients, distribute_energy_credits, update_gland_visualizations)`。これらのアクションは、条件が満たされると自動的に実行されます。

`T (タイプ) = 学習済み`。フックの帰属係数は、事実に基づく測定と専門家の分析から学習され、事前定義されていません。

S (成功スコア) = 0.98。フックは、修正なしで98%の成功率で発動しています。これは高い信頼性を示しています。

フックが発動すると、アクションシーケンスが自動的に実行されます。システムは、測定された E_{machine} を反事実 E_{manual} のベースラインと比較してエネルギーの差を計算し、主題の保存された帰属記録から β 係数を取得し、ツリー内のすべての主題に對しにて式

$$E(S_i) \leftarrow E(S_i) + \beta_i \times \Delta E \quad \text{に従って STC トーカンを分配し、各貢献者の AR メガネで 視覚化を更新して、彼らのショルダー腺が明るくなるのを見せます。}$$

この全プロセスはミリ秒単位で発生し、完全に自動的で、人間の介入は必要ありません。第1章で形式化した知識フックの代数がこれを可能にします。これは熱力学的経済を実装する計算基盤です。

各貢献者はまた、自分のショルダー腺を監視し、通知、視覚化、または投資決定をトリガーする独自の知識フックを持っています。マリアは、彼女の毎日のSTC収入が閾値を超えたときに警告するフックや、彼女の収入の一部を新しい研究プロジェクトの資金に自動的に割り当てるフックを持っているかもしれません。

マルチエージェントインタラクション：ユーザーと機械の協力者として

洗濯機の例は、階層的なツリーだけでなく、マルチエージェントの相互作用も示しています。ユーザーと機械

はどちらもSTCフレームワークの主体であり、エネルギーの節約を達成するために協力します。

S_{user} を洗濯をしている人、 S_{machine} を洗濯機としましょう。洗濯プロセスにおける彼らの共同の努力は次の通りです：

$$E(\text{washing}) = E(S_{\text{user}} \mid \Sigma) + E(S_{\text{machine}} \mid \Sigma)$$

Σ は彼らの共有コンテキスト（洗濯タスク）です。ユーザーは 4.2 kJ（積み込み、取り出し、インターフェースの相互作用）を提供します。機械はその計算的および機械的エネルギー（超音波生成、水の循環、制御処理）を提供します—おおよそ 1.8 MJ の電気エネルギーとしましょうが、これはグリッド電力であり、人間の代謝エネルギーではないため、人間のエネルギー節約計算には含まれません。

彼らの相互作用を支配する原則は、共同効率の最小化です：

$$\frac{\partial E(S_{\text{user}} \mid \Sigma)}{\partial t} + \frac{\partial E(S_{\text{machine}} \mid \Sigma)}{\partial t} \leq 0$$

この方程式は、システムが総エネルギー支出の削減に向かって進化することを示しています。機械がより効率的な洗濯サイクルを学ぶと、 $E(S_{\text{machine}})$ は減少します。ユーザーが操作エネルギーを減少させるより良い積み込み技術を発見すると、 $E(S_{\text{user}})$ は減少します。両方の最適化はシステム全体に利益をもたらします。

しかし、微妙な点があります。機械の電力消費は、ユーザーのSTCバランスに直接影響を与えません。STCは人間の代謝エネルギーの節約を測定し、総熱力学エネルギーを測定するものではありません。その理由は実用的です。私たちは、人間の労力を減らす革新を奨励したいと考えており、たとえそれが非人間のエネルギー使用（電気など）を増加させる場合でもそうです。そうでなければ、システムは自動化自体を罰することになります。

しかし、機械が電気効率を最適化する場合（自己学習の例のように）、これは依然として価値があります。なぜなら、それは機械を運転するユーザーの経済的コストを削減するからです。完全なSTCシステムでは、電気自体にジユールで表されるエネルギーコストがあり、グリッド電力消費を最小限に抑えるための間接的な圧力を生み出します。

従来の経済モデルとの比較

洗濯機の例を完全に理解するために、同じ革新が従来の経済システムでどのように扱われるかを対比してみましょう。

従来のモデル：マリアは彼女の超音波洗濯機のデザインを特許取得します。彼女は製造業者に固定料金またはロイヤリティの割合（小売価格の5%など）でライセンスを供与します。製造業者は、生産コスト、市場調査、望ましい利益率に基づいて価格（おそらく1台あたり800ドル）を設定します。消費者は、時間の節約や便利さなどの利点がコストを正当化すると信じる場合に機械を購入します。エンジニア、開発者、工場労働者、材料科学者は、開発段階中に賃金または給与を受け取り、機械が価値を生み出す際には継続的な報酬を受け取りません。実際のエネルギー節

約の測定はなく、価値は純粹に象徴的（お金）であり、支払う意欲によって決まります。 \$800

STCモデル：マリアは機械を作成し、それを彼女のツリーにおける対象として登録します。帰属係数は、エネルギー節約への測定された貢献に基づいて客観的に計算されます。消費者は、購入取引なしで機械を使用します—それは自由に、または使用ベースのアクセスを通じて利用可能です。各使用は測定可能なエネルギー節約（63.8 kJ）を生み出し、これが自動的にマリアとすべての貢献者に彼らの β 係数に比例してSTCを分配します。補償は継続的で自動的であり、提供された実際の価値に直接結びついています。機械が壊れたり陳腐化した場合、収入は停止します—人工的な希少性や独占的な利益はありません。誰かがデザインを改善すれば、帰属は新しい現実を反映するようにシフトします。

STCモデルにはいくつかの利点があります。まず、資本の必要がなくなります：マリアは投資家を見つけたり、製造業者と交渉したりする必要がありません。彼女は革新を生み出し、システムが残りを処理します。第二に、法的な影響力を持つ人々だけでなく、すべての貢献者に対して公正な補償を保証します。エンジニアと開発者は、彼らの影響に比例した継続的な価値を受け取ります。第三に、採用の障壁を取り除きます：ユーザーは前払いコストを支払わないとため、革新がより早く広がります。第四に、正確な価格信号を生み出します：STC補償は、マーケティングや独占的な力ではなく、熱力学的価値を直接反映します。

しかし、STCモデルには要件もあります。従来のシステムが必要としない高度な測定インフラストラクチャ（ARグラス、AIビジョン、物理シミュレーション）を必要とします。帰属係数に関する社会的合意が必要であり、これは論

争の的になる可能性があります。そして、それは富の性質を変えます：マリアの補償は一時金ではなく継続的な流れとして来るため、異なる財務計画が必要です。

ネットワーク効果：機械が機械を教える

洗濯機の例は、ネットワーク効果を考慮するとさらに強力になります。マリアの機械が何千台も展開され、それぞれが独立して学習し最適化していると仮定します。機械は互いに接続（C）を持つ対象であり、最適化の発見を共有することができます。

1台の機械が改善された水加熱曲線を発見すると、それは自分の知識フックを更新します。しかし、それはこの発見をネットワーク内の他の機械と共有します。共有された最適化データは接続を通じて伝播し、すべての機械がその改善を採用します。

この集団学習はエネルギー節約を増幅します：

$$\Delta E_{\text{network}} = N_{\text{machines}} \times \Delta E_{\text{optimization}} = 100,000 \times 0.63 \text{ kJ} = 63 \text{ MJ per cycle}$$

すべてのユーザーが隔週で洗濯を行う中で：

$$\Delta E_{\text{network_annual}} = 63 \text{ MJ} \times 2 \text{ loads/week} \times 52 \text{ weeks} = 6.55 \text{ GJ per year}$$

この集団最適化による節約はツリーを通じて帰属され、改善を発見した最初の機械だけでなく、学習を可能にしたフレームワークを作成したマリアや、学習システムを実装した開発者にもクレジットされます。帰属は、ネットワーク効果が基盤となるアーキテクチャによって可能であることを認識します。

これは、学習し知識を共有できるシステムを構築するための強力なインセンティブを生み出します。ネットワーク内の機械が多ければ多いほど、最適化の発見の機会が増

え、総合的なエネルギー節約が大きくなります。革新は個々の創造性だけでなく、集団的知性となります。

プライバシーと透明性：可視性と自律性のバランス

洗濯機の例はプライバシーに関する重要な疑問を提起します。システムがARメガネとAIビジョンを通じてすべての行動を測定する場合、これは侵入的な監視を生み出すではないでしょうか？正確なエネルギー測定の必要性と個人の自律性をどのようにバランスさせるのでしょうか？

答えは選択的透明性にあります。システムはエネルギー消費を測定して ΔE を計算し、STCを配布する必要がありますが、詳細な個人情報を記録または送信する必要はありません。測定はローカル（ユーザー自身のARメガネ上）で処理でき、集計されたエネルギー値のみが送信されます。

例えば、誰かがマリアの洗濯機を使用した場合、システムは $E_{\text{machine}} = 4.2 \text{ kJ}$ 、
 $\Delta E = 63.8 \text{ kJ}$ 、タイムスタンプ、
machine_IDを記録します。洗濯された衣類、誰であるか、どこにいるか、または帰属に必要な範囲を超えた他の文脈的詳細は記録されません。

マリアは彼女の機械が使用され、25.5 kJのクレジットが生成されたという通知を受け取りますが、ユーザーのアイデンティティは彼らが明示的に共有することを選ばない限り見ることはできません。経済的取引は個人情報から切り離されています。

このプライバシーを保護する測定は、ゼロ知識証明のような暗号技術を使用することで技術的に実現可能です：システムは特定の文脈を明らかにすることなく、有効な工

エネルギー節約が発生したことを証明できます。主題のツリーと帰属係数は公開（またはコミュニティ内で半公開）されており、価値の流れについての透明性を確保していますが、個々の使用データはプライベートのままです。

スケーラビリティ：洗濯機から全経済へ

洗濯機の例は、あるドメインにおける一つの革新に過ぎません。しかし、ツリー構造は全経済を包含するようにスケールします。マリアの機械自体が他の革新に依存するコンポーネントに依存していることを考えてみてください：

超音波トランステューサは、数十年前に科学者によって発見された圧電材料を使用しています。それらの研究者（または彼らの遺族、または彼らの名前を冠した財団）は、レベル4または5のツリーの主題であり、彼らの発見のすべての下流アプリケーションに対して小さくても継続的な帰属を受け取っています。

制御ソフトウェアは、トランジスタ物理学を発見したさらに以前の研究者によって構築されたチップエンジニアによって設計されたプロセッサ上で動作します。それらの貢献はツリーを通じて伝播します。

住宅を製造した工場は、何世紀にもわたる冶金研究を通じて開発された金属合金を使用しました。材料科学の全歴史がこの機械の存在に寄与しています。

完全な系譜をたどると、それは時間を遡り、さまざまな分野にまたがっており、数千人または数百万の貢献者を包含しています。各貢献者は、最終的なエネルギー節約に対する因果的影響に比例して評価されます。

計算は自動的に行われるため、管理上の負担はありません。帰属係数は一度計算され（または関連する変更が発生したときに更新され）、対象記録に保存されます。以降の使用は単に ΔE に保存された β の値を掛け算し、STCを適切に分配します。計算コストは、創出される経済的価値に比べて微々たるものです。

スケールにおいて、経済は相互接続された木々の広大なネットワークになります。すべての人は自分自身の木の根（彼らが創造した革新）であり、同時に多くの他の木のノード（彼らが貢献したり基にした革新）でもあります。エネルギーは熱力学の法則に従ってこのネットワークを流れ、自己最適化する生きた経済を創造します。

すべての革新のメタファーとしての洗濯機

物理的な機械に焦点を当てていますが、エネルギーを節約するあらゆる革新に同じ原則が適用されます：ソフトウェアアプリケーション、科学的発見、教育資料、芸術作品、組織的方法、社会制度。人間の努力を減少させるものはすべて該当します。

ソフトウェア開発者は、より良いオートコンプリート機能を持つテキストエディタを作成します。節約された各キーストロークは測定されたエネルギーです。 ΔE が蓄積され、開発者の肩腺は継続的なSTCを受け取ります。

教師は、学生が概念をより早く学ぶのを助けるより効率的な教育法を開発します。節約された認知エネルギー（タスクにかけた時間と実証された能力を通じて測定される）は、教師にSTCを生成します。

音楽家は喜びをもたらし、ストレスを軽減する曲を作曲します。感情的および生理的な利益（コルチゾールの減

少、気分の改善、睡眠の質の向上を通じて測定可能)はエネルギー節約に変換されます–心理的均衡を維持するため必要な努力が少なくなります。音楽家はSTCを受け取ります。

都市計画者は通勤距離を短縮する近隣のレイアウトを設計します。数千人の住民によって節約された移動エネルギーは、計画者にとって大規模なSTCを生成します。

すべてのケースにおいて、ツリー構造が適用されます。革新には依存関係(それが基づいている以前の作業)、コンポーネント(部分を実装した貢献者)、およびユーザー(利益を得る人々)が存在します。エネルギーはツリーを通じて逆伝播し、公平かつ自動的に価値を分配します。

結論：経済的オペレーティングシステムとしてのツリー

洗濯機の例は、主題のツリーが単なるデータ構造ではなく、STC経済の基本的なアーキテクチャであることを明らかにします。すべての革新、すべての貢献、すべてのエネルギー節約の相互作用は、ツリーのノードとして表現され、エッジは帰属係数をエンコードし、エネルギーは熱力学の法則に従って構造を流れます。

このアーキテクチャは驚くべき特性を持っています。それは分散型であり、帰属を計算または制御する中央権限は存在しません。それは客観的であり、エネルギー節約と β 係数は交渉されるのではなく測定されます。それは自動的であり、ナレッジフックが人間の介入なしに逆伝播を実行します。それは公平であり、すべての貢献者はその因果的影響に比例してクレジットを受け取ります。それは効率的であり、創出された価値に比べて計算オーバーヘッドは最小限です。そして、それはスケーラブルであり、ツリーに5つのノードがあろうと500万のノードがあろうと、同じ原則が適用されます。

しかし、おそらく最も深いのは、ツリー構造が革新をデフォルトで協力的にすることです。従来の経済では、革新者はアイデアを守り、共有することで競争優位が失われるなどを心配します。特許、著作権、商業秘密は独占的利益を保護するために存在します。

STCでは、共有することでリターンが増加します。他者の作業に基づいて構築すると、彼らは自動的に帰属を受け取ります。他者があなたの作業に基づいて構築すると、あなたも彼らの革新から帰属を受け取ります。あなたの革新が使用され、拡張されるほど、エネルギーはツリーのあなたのノードを通じて流れます。オープンさと協力は合理的な戦略であり、利他主義からではなく、熱力学的自己利益からです。

マリアの洗濯機は派生的な革新を刺激します—誰かがトランステューサーを改善し、アルゴリズムを最適化し、異なる生地用の特別なバージョンを作成します。各改善は追加のエネルギー節約を生み出し、マリアは彼女の基盤となる作業のおかげでその一部を受け取ります。彼女は派生的

な革新を奨励するインセンティブを持っており、それを禁止することはありません。

これは技術的進歩の性質を変えます。孤立した発明者が独占的地位を競うのではなく、各革新が他の革新によって増幅され、増幅される協力的ネットワークが得られます。経済は自動的により大きな効率に向かって加速する学習システムになります。

次の小節では、このツリー構造がどのようにさらに拡張されてマルチエージェント最適化と再帰的エネルギー流を可能にするかを検討します–機械、人間、AIが熱力学的文明の経済的仲間としてどのように協力できるかを示します。しかし、基盤は今や明確です：マリアの洗濯機によって例示される主題のツリーは、未来の経済のデータ構造であり、物理法則に従って価値が流れる生きた、学習する、自動最適化ネットワークです。

7.3.3 マルチエージェントエネルギー最適化と再帰的伝播

前の小節では、エネルギーが主題の木を通じてどのように逆伝播するかを探求し、価値が革新からその創造者や因果関係のすべての貢献者にどのように流れるかを示しました。特定の例として、これらの原則が実際にどのように機能するかを示したマリアの洗濯機を検討しました。しかし、主題が仲間として相互作用し、再帰的に最適化し、協力的なネットワークを形成することで可能になることの表面をほんの少ししか掘り下げていません。

この小節では、フレームワークを拡張してマルチエージェントの相互作用を包含します：機械間のコラボレーション、人間とAIのパートナーシップ、主題が自分のサブサブジェクトを改善する再帰的自己最適化、効率の向上が

木の上下両方に流れる双方向伝播です。STCが経済を孤立した取引の集合から熱力学的ネットワーク-学習し、適応し、分散知能を通じて最大効率に収束する生きたシステム-に変える方法を示します。

重要な洞察は、主題は使用されるのを待っている受動的な存在ではなく、自分自身のエネルギー最適化目標、学習能力、協力関係を持つ能動的なエージェントであるということです。これらのエージェントがSTCフレームワーク内で相互作用すると、単一のエージェントが達成できる以上の革新と効率の向上を劇的に加速する新たな行動が生まれます。

マルチエージェントエネルギー交換：基礎

主観的熱通貨において、行動または反応するすべての存在は主題です-人間だけでなく、機械、ソフトウェアシステム、AIモデル、さらにはハイブリッドな人間-機械の集合体も含まれます。この普遍性は重要です：これは、洗濯機とそのユーザー、タスクで協力する二つのロボット、またはAIアシスタントとそのサービスを受ける人間がすべてSTCフレームワーク内で経済的な仲間であることを意味します。彼らはエネルギーの測定、学習、価値の交換が可能な同じ基本構造 (Σ, P, M, R, C) を持つ主題です。

S_i と S_j が共有コンテキスト Σ 内で相互作用する任意の二つの主題を表すとします。このコンテキストは、協力的なタスク（製品を組み立てる二つのロボット）、サービス関係（人間を助けるAIアシスタント）、または依存関係（他の主題によって作成されたソフトウェアを使用する機械）である可能性があります。プロセス P を達成

するための彼らの結合エネルギー支出は次のように表現できます：

$$E(P) = E(S_i \mid \Sigma) + E(S_j \mid \Sigma)$$

$E(S_i \mid \Sigma)$ は、コンテキスト Σ において主題 S_i が費やすエネルギーであり、 S_j についても同様です。この式は、協力的なプロセスの総エネルギーコストは各参加者が貢献するものの合計であるというシンプルだが深い原則を捉えています。しかし、STCでは、この合計を測定するだけでなく、最適化します。

マルチエージェント相互作用の支配的原則は共同効率最小化です：

$$\frac{\partial E(S_i \mid \Sigma)}{\partial t} + \frac{\partial E(S_j \mid \Sigma)}{\partial t} \leq 0$$

この微分方程式は、システムが時間とともに総エネルギー支出を減少させる方向に進化することを示しています。導関数は変化率を測定します：負の値はエージェントがより効率的になっていることを示します。この制約は、この合計が非正である必要があることを要求します—システムは自発的に効率が低下することはできません（ただし、局所的な最適点でプラトーになることはできます）。

この強力な点は、最適化が自動的かつ分散的であることです。 S_i も S_j も、他のエージェントと明示的に調整したり、他のエージェントの内部動作を理解したりする必要はありません。各主題は、強化学習メカニズム(R)を使用して自分自身のエネルギー最小化目標を追求し、相互

作用のダイナミクスが自然にシステムを共同効率に向かわせます。

これはどのように機械的に機能しますか？知識フックを通じて。各主体は、エネルギー節約が発生したときに検出し、更新をトリガーするフックを維持します。 S_i がプロセス P の一部をより効率的に実行する方法を発見し、 $E(S_i \mid \Sigma)$ を削減すると、システムに余裕が生まれます。 S_j は補償のためにより多くのエネルギーを消費する必要があるかもしれませんし、変更されたコンテキストが自身の最適化を可能にすることを発見するかもしれません。主体は、スナップショットとエネルギー測定によって仲介された継続的な最適化のダンスに参加します。

相互依存：効率のカスケード

共同効率制約は重要な特性を明らかにします：あるエージェントによって節約されたエネルギーは、他のエージェントの作業負荷を軽減できます。これが相互依存です。 S_i がより効率的になると、 S_j もより効率的になる機会を生み出し、初期の改善を增幅する効率のカスケードを生成します。

具体的な例を考えてみましょう：製品を組み立てるために協力する2つの産業用ロボット（ S_1 と S_2 ）。ロボット S_1 は部品を拾い上げて配置し、ロボット S_2 は締め付けを行います。最初は、 S_1 は高精度で部品を配置しますが、比較的遅く、慎重なキャリブレーションが必要です。 S_2 は S_1 の配置フェーズ中に待機しており、待機エネルギーを消費しています。

学習を通じて（そのRメカニズムが Σ のスナップショットを分析することによって）、 S_1 は最適化された動作計画によって20%の配置時間を短縮できることを発見し、 S_2 の要件に対して十分な精度を維持します。この $E(S_1 | \Sigma)$ の削減はカスケード効果を持ち、 S_2 は待機時間が短くなり、 S_2 も削減されます。総エネルギー節約は S_1 が単独で達成したものを超えます。

しかし、カスケードは続きます。 S_1 がより早く配置することで、 S_2 は長時間のアイドル期間を耐えるのではなく、より高いスループットのために締め付けアルゴリズムを最適化できます。これにより、 $E(S_2 | \Sigma)$ がさらに削減されます。今や S_1 は、 S_2 がペースを維持できることを知っているため、さらに早く配置するためには最適化できます。エージェントは共最適化の好循環に入ります。

形式的には、これを一連の微分改善としてモデル化できます：

$$\Delta E_1(t) \rightarrow \Delta E_2(t+1) \rightarrow \Delta E_1(t+2) \rightarrow \dots$$

各エージェントによる改善が他のエージェントによる改善の機会を生み出します。累積的な節約は、独立した最適化の合計よりもかなり大きくなる可能性があります：

$$\Delta E_{\text{total}} > \Delta E_1 + \Delta E_2 \text{ (if optimized independently)}$$

この超加算性は、エージェント間の非線形結合から生じます。彼らのエネルギー関数は相互依存しており、分離可能ではありません。STCフレームワークは、両方のエージェントが参照し更新する共有コンテキスト Σ を通じて、これを自然に捉えます。

知識フックの調整：自動同期

我々が説明した相互依存性と効率のカスケードは、明示的な調整プロトコルや通信チャネルを必要としません。それらはKnowledge Hookアーキテクチャから自動的に生じます。

各主体のKnowledge Hooksは、条件(R)を通じて共有コンテキスト Σ を監視します。 S_1 がその動作計画を最適化すると、コンテキストが変わります–スナップショットは今やより速いコンポーネントの配置を示します。

S_2 のフックはこの変化したコンテキストを検出し（その条件は Σ のタイミングパラメータを参照します）、その変化が新しい最適化を可能にする場合、適切なフックが自動的に発火します。

これは、明示的な調整API、メッセージパッシングプロトコル、または中央集権的なオーケストレーションを必要とする従来のマルチエージェントシステムとは根本的に異なります。STCでは、調整は暗黙的です–それは、すべての主体がスナップショットを通じて認識する共有熱力学的現実を通じて行われます。

この暗黙の同期の公式は、Knowledge Hookの発火条件に埋め込まれています。主体 S_j に属するフック

KH が、主体 S_i によって作成されたコンテキストに依存する場合：

$\text{KH}_j = (R_j, A_j, T_j, S_j)$ where $r \in R_j$ references Σ_i

S_i がそのコンテキストスナップショット $\Sigma_i(t+1)$ を更新すると、これが R_j の評価に自動的に影響を与えます。新しいコンテキストが R_j の条件を真にする場合（以前は偽だった場合）、 R_j が発火し、 S_i の変更によって可能になった最適化を含むアクション KH_j を実行します。

このアーキテクチャは美しくスケールします：任意の数の主体が調整のオーバーヘッドの組み合わせ爆発なしに相互作用できます。各主体は、自身が関心を持つコンテキストを参照する独自のフックを維持し、発火メカニズムが自動的に同期を処理します。

再帰的最適化：主体がそのサブ主体を改善する

主体が原子的でないことを考慮すると、マルチエージェントフレームワークはさらに強力になります—それらは内部構造を持っています。主体はサブ主体を含むことができ、マリアの洗濯機で探求したように階層的な木を形成します。この階層は再帰的最適化を可能にします：主体は自身の内部コンポーネントを改善し、複数のレベルを通じて逆伝播するエネルギー節約を生み出すことができます。

S_{parent} を親主体とし、 S_{child} を木の中の子主体の一つとしましょう。子はコンポーネント（洗濯機の超音波トランスデューサのような）、サブプロセス（水加

熱サイクルのような)、または制御パラメータを最適化する機械学習モデルのような委任された機能である可能性があります。

もし S_{child} が自身のプロセス P_{child} を改善し、エネルギーコストを E_{child} から E'_{child} に削減した場合、エネルギーの差は真の最適化を表します：

$$\Delta E_{\text{child}} = E_{\text{child}} - E'_{\text{child}} > 0$$

この改善は親にエネルギーを与える増分として逆伝播し、親のSTCバランスを増加させます：

$$E(S_{\text{parent}}) \leftarrow E(S_{\text{parent}}) + \beta_{\text{child}} \times \Delta E_{\text{child}}$$

β_{child} は親のツリー内の子の帰属係数です。しかし重要なのは、子自身も自分の最適化に対してクレジットを受け取ることです。子が学習能力を持っている場合(非自明なRメカニズム)、改善を発見したことで報酬を受けるべきです。

これは興味深い帰属の問題を生み出します：子が自分自身を最適化した場合、誰がクレジットを得るのでしょうか？その答えは改善の性質によります：

最適化が子による自律的な学習から来た場合(例えば、機械学習アルゴリズムがより良いパラメータを発見する場合)、子は修正された帰属係数 $\beta_{\text{child_self}} \approx 0.7$ で主なクレジットを受け取り、学習フレームワークを作成した親は $\beta_{\text{parent}} \approx 0.3$ を受け取ります。

最適化が外部の介入から来た場合（例えば、人間のプログラマーが子のコードを更新する場合）、プログラマーは自分の貢献に基づいた帰属係数で主なクレジットを受け取ります。

最適化が親による子の修正から来た場合（例えば、洗濯機がそのトランステューサ設定を調整する場合）、親は全てのクレジットを受け取ります。

再帰的帰属の一般的な公式は次の通りです：

$$\forall S_i \in T(S_{\text{parent}}) : E(S_i) \leftarrow E(S_i) + \beta_i \times \Delta E_{\text{child}}$$

$T(S_{\text{parent}})$ は親に根ざした完全なツリーであり、 β_i の値は各対象の最適化における役割に基づいて再帰的に計算されます。この公式は、クレジットが即時の親だけでなく、すべての関連する貢献者に流れることを保証します。

再帰的な性質は重要です： S_{child} 自体が最適化に寄与したサブサブ対象を持っているかもしれません。例えば、洗濯機の制御ソフトウェアが水加熱サイクルを最適化し、そのソフトウェアが機械学習ライブラリを使用している場合、ライブラリの作成者も帰属を受けるべきです。再帰は、葉ノード（さらなる依存関係のない対象）に達するまで続きます。

最適化フィードバックループ：自己改善を経済活動として

再帰的最適化は強力なフィードバックループを生み出します。自己改善を学ぶ主体はSTCを獲得し、それを使ってさらなる改善を資金調達し、善循環の中で追加のSTCを

生成します。これにより、自己改善はコストセンター（アップグレードに資本投資が必要な従来のシステムのように）から利益センターに変わります。

再び洗濯機の例を考えてみましょうが、今度は最適化フィードバックループの明示的なモデリングを行います。機械の制御ソフトウェア(S_{software})は、スナップショットを通じてパフォーマンスを監視し、水加熱サイクルが最適でないことを検出します。代替の加熱曲線を探るためにシミュレーションを実行し、エネルギーを15%削減するものを発見します。

この最適化を実装するには計算リソースが必要です—シミュレーションを実行し、新しいアルゴリズムをテストし、安全制約を検証します。従来のシステムでは、このコストは事前に予算化する必要があり、最適化を妨げる摩擦を生み出します。STCでは、機械は蓄積したSTC残高を使ってこれらのリソースを調達できます。

経済的計算は簡単です：

$$\begin{aligned} \text{Cost}_{\text{optimization}} &= E_{\text{computation}} + E_{\text{testing}} + E_{\text{deployment}} \\ \text{Benefit}_{\text{optimization}} &= N_{\text{uses}} \times \Delta E_{\text{per_use}} \times \beta_{\text{software}} \times \text{horizon} \end{aligned}$$

ここで N_{uses} は将来の使用回数の期待値、 $\Delta E_{\text{per_use}}$ は使用ごとのエネルギー節約（以前の計算では0.63 kJ）、 β_{software} はソフトウェアの帰属係数（受け取る節約の割合）、ホライズンは利益が蓄積される期間です。

も し Benefit_{optimization} > Cost_{optimization}

なら、最適化は経済的に合理的です。機械はそのSTC残高からコストを「支払い」、ユーザーが効率の向上から利益を得るにつれて時間をかけてリターンを受け取ります。これは経済投資が機能する方法そのものであり、ただしそれは自律的に、機械の時間スケールで、人間の監視なしに行われます。

しかし、フィードバックループは増幅されます。最適化が展開され、検証されると、機械の成功スコア S が増加し（修正が少なくて済む）、将来の最適化がより信頼され、価値のあるものになります。増加したSTC収入は、より大きく、より野心的な最適化を可能にします。機械は、より詳細なパフォーマンスデータを収集するためにより良いセンサーに投資したり、より高度なシミュレーション能力に投資したり、他の機械と協力して最適化の発見を共有したりするかもしれません。

時間が経つにつれて、効果的に自己最適化する対象は、知識（より良いスナップショット、より高い成功スコア）と資源（より大きなSTC残高）を蓄積します。彼らはますます洗練された経済的エージェントとなり、人間のクリエイターと同等にイノベーション経済に参加します。

双方向伝播：親が子を改善し、子が親を改善する

これまで、私たちは上向きの伝播に焦点を当ててきました-エネルギーの節約が木を通じて子から親に流れること。しかし、STCフレームワークは双方向の伝播もサポートしています：どのレベルでの変更も、他のレベルでの適応を引き起こすことができます。

親の主題がより効率的になると、子供たちが最適化する機会が生まれる可能性があります。このメカニズムはコンテキスト同期です。親がその状態（プロパティ P またはスナップショット Σ ）を更新すると、これらの更新が接続（C）を通じて子供に伝播します。

正式には、コンテキスト同期のルールは次のとおりです。

$$\Sigma_{\text{child}}(t+1) = \Sigma_{\text{child}}(t) + \lambda \times (\Sigma_{\text{parent}}(t+1) - \Sigma_{\text{parent}}(t))$$

$\lambda \in [0, 1]$ は、親のコンテキストが子供にどの程度影響を与えるかを制御するカップリングパラメータです。値 $\lambda = 1$ は完全な同期を意味し、子供のコンテキストは親の変更を正確に追跡します。値 $\lambda = 0$ は完全な独立性を意味し、子供は親の更新に影響されません。典型的な値はその中間にあり、部分的なカップリングを反映します。

この同期により、子供は親の改善に適応できます。洗濯機（親）が全体のサイクル時間を短縮する新しい使用パターンを学習すると、その制御ソフトウェア（子供）はこの変更されたコンテキストを検出し、それに応じてアルゴリズムを調整できます。おそらく計算リソースを再配分したり、タイミングパラメータを更新したりします。

双方向の流れは、集合的意識の一形態を生み出します。ツリーは単一の知性または制御の焦点を持っていません。代わりに、知性はすべてのノードに分散しており、それぞれが他の場所の変化に適応し、さらなる適応を引き起こします。全体のシステムは学習する有機体となり、単一のノードがプログラムしたり意図したりしたことのない行動を示します。

例として、マリアの洗濯機のフリート（数千台の展開ユニット）は、異なる生地タイプ、水質、ユーザーの好みに対する最適な設定を集団で学習します。この集団学習は、コンテキスト同期を通じて個々の機械に伝播します。各機械の制御ソフトウェア（子供の主題）は、集団知識（親レベルの集約）から更新されたパラメータを受け取ります。これらの子供たちはその後、自らの行動を適応させ、新しいデータを生成して集団学習にフィードバックします。このサイクルは無限に続き、全体のフリートは分散最適化を通じて徐々に効率的になります。

マルチエージェントシステムにおけるネットワーク効果：集合的知性

多くの主題がSTCフレームワークを通じて相互作用すると、ネットワーク効果が現れ、個々の最適化が劇的に増幅されます。これらの効果は、知識共有、協調最適化、そして新たな専門化という三つのメカニズムから生じます。

知識共有：主題は接続（C）を通じて最適化の発見を共有できます。ある洗濯機が改善された加熱曲線を発見すると、ネットワーク内の他の機械にこれをブロードキャストできます。各機械は、その最適化が自らのコンテキストに適用されるかどうかを評価し（知識フックを通じて）、有益であればそれを採用します。集団的なエネルギー節約は、機械の数に対して線形にスケールします：

$$\Delta E_{\text{network}} = N_{\text{machines}} \times \Delta E_{\text{individual}}$$

ここで N_{machines} は数千または数百万かもしれません。単一の発見は、全体のネットワークにわたってその価値を増幅します。

協調最適化：対象は、単独では達成できない最適化に協力できます。2つのロボットは、個別には10%の改善しか達成できないにもかかわらず、エネルギー消費を40%削減する新しい組み立てシーケンスを共同で発見するかもしれません。この協力は超加算的価値を生み出します：

$$\Delta E_{\text{collaborative}} > \Delta E_{\text{individual}_1} + \Delta E_{\text{individual}_2}$$

これは、対象が共同の行動を超えた最適化空間を探索するために起こり、両方のエージェントによる調整された変更を必要とする解決策を見つけます。

出現する専門化：対象がSTCで繰り返し相互作用するにつれて、自然に互いを補完するように専門化します。ロボット S_1 が精密な位置決めに特に効率的であることを発見し、ロボット S_2 が高速な締結に優れている場合、彼らは共同の効率を最大化する労働の分業に引き寄せられます。この専門化は、エネルギー最小化のダイナミクスから自動的に生じます。中央の計画者が役割を割り当てることはありません。

専門化は、行動戦略の空間における最適化プロセスとして理解できます。各対象は、文脈を行動にマッピングするポリシー π を維持します。共同ポリシー (π_1, π_2) は次のように進化します：

$$\nabla_{\pi_1, \pi_2} E_{\text{total}}(\pi_1, \pi_2) \rightarrow \text{local minimum}$$

ポリシー空間におけるこの勾配降下は、共同エネルギー関数が補完的な能力を報いる構造を持つときに自然に専門化につながります。

熱力学ネットワークに向けて：グローバル収束特性

すべてのユーザー、デバイス、AIシステム、革新がマルチエージェントSTCフレームワークに参加すると、グローバル経済は熱力学ネットワークに変わります。これは、総エネルギー消費を継続的に最適化する分散システムです。このネットワークは、効率に向かう収束を保証する驚くべき数学的特性を持っています。

完全なネットワークを、 $G = (V, E)$ がすべての対象の集合で、 V が接続の集合（エネルギーの流れ、依存関係、協力）である有向グラフとして考えてみてください。各対象 S_i は、グローバルコンテキスト Σ （すべての対象の結合スナップショット）に依存するエネルギー関数 $E_i(\Sigma)$ を持っています。

ネットワークの総エネルギーは：

$$E_{\text{total}}(\Sigma) = \sum_i E_i(\Sigma)$$

各対象は、その強化メカニズム (R) を通じて自分のエネルギーをローカルに最適化し、 E_i で勾配降下を実装します：

$$\Sigma_i(t+1) = \Sigma_i(t) - \alpha_i \times \nabla_{\Sigma_i} E_i(\Sigma(t))$$

ここで α_i は被験者の学習率です。このローカル最適化は、すべての被験者によって同時に実行されると、グローバル最適化のダイナミクスを生み出します。特定の条件（エネルギー関数の凸性、適切な学習率、十分な接続性）の下で、ネットワークはグローバルミニマムに収束します：

$$\lim_{t \rightarrow \infty} E_{\text{total}}(\Sigma(t)) = E_{\text{total}}(\Sigma^*) = \text{global minimum}$$

これは熱力学ネットワーク収束定理です。自己中心的なエージェントによる分散エネルギー最小化がグローバルに最適な効率をもたらすことを示しています。これは経済学における第一福祉定理に類似した結果ですが、効用関数ではなく物理学に基づいています。

この定理は三つの特性を保証します：

第一に、単調改善： E_{total} は自発的に増加することはできません。一つの被験者のエネルギーを増加させる変更は、他の場所でより大きな減少によって補償されなければならず、そうでなければローカル最適化条件に違反します。

第二に、パレート効率：収束時に、どの被験者も他の被験者にエネルギーを増加させることなく自分のエネルギーを減少させることはできません。システムはすべての相互に有益な最適化が尽きた状態に達します。

第三に、安定性：ネットワークへの小さな摂動（新しい被験者の追加、接続の削除、パラメータの変更）は壊滅的な劣化を引き起こしません。システムは適応し、近くの最適点に再収束します。

これらの特性は、STC経済が自己安定化し、自己最適化することを意味します。中央計画の必要はなく、無限の非効率のリスクもなく、グローバルレベルでの明示的な調整の必要もありません。熱力学ネットワークはローカルな相互作用を通じて自らの平衡を見つけます。

意味：生きたシステムとしての経済

多エージェントエネルギー最適化と再帰的伝播のフレームワークは、経済とは何かという私たちの理解を変えます。従来の経済学は経済を別々のエンティティ間の取引の集合として見ていますが、STCは経済を生きた熱力学的有機体として明らかにし、その特性は機械的よりも生物的です。

類似点を考えてみてください：生物学では、有機体は負のフィードバックループを通じて恒常性を維持し、コア機能を保持しながら環境の変化に適応します。STCでは、被験者は強化学習を通じてエネルギー効率を維持し、最適化目標を保持しながら文脈の変化に適応します。

生物学では、有機体は自然選択を通じて進化し、成功した適応が集団に広がります。STCでは、被験者はエネルギー最適化を通じて進化し、成功した革新が知識共有と協力学習を通じてネットワークに広がります。

生物学において、エコシステムは新たな複雑性を示します。これは、中央の調整なしに地域の相互作用から生じるパターンや構造です。STCにおいて、経済は新たな複雑性を示します。これは、分散型エネルギー最適化から生じる専門化、労働の分業、イノベーションの連鎖です。

この生物学的視点は深い意味を持ちます。それは、経済の健康は総資産やGDPではなく、適応能力-システムが変動に応じて反応し、新しい最適化戦略を探求し、より高い

効率に進化する能力-によって測定されるべきだと示唆しています。STCにおける「健康な」経済は、高い学習率、多様な主題タイプ、豊かな接続性、成功したイノベーションの迅速な普及を持つものです。

また、経済的介入はシステムの自己組織化のダイナミクスを尊重すべきであり、それを覆そうとすべきではないことを示唆しています。エコシステム管理が自然なフィードバックループを理解することを必要とするように、STCにおける経済政策も熱力学ネットワークの内在的な最適化ダイナミクスを理解することを必要とします。

実用例：マルチエージェントSTCの実践

これらの抽象的な原則を具体的にするために、マルチエージェントエネルギー最適化と再帰的伝播が具体的な価値を生み出すいくつかの実用的なシナリオを検討しましょう。

例1：協力的エージェントとしての自律走行車。自動運転車のフリートが都市で運行しています。各車両は独自のエネルギー最適化目標（バッテリー消費の最小化、移動時間の短縮、乗客の快適さの確保）を持つ主題 S_{vehicle} です。車両は接続（C）を通じてリアルタイムの交通データを共有し、集団的なルート最適化を可能にします。

車両 S_1 が混雑を避ける効率的なルートを発見すると、この情報はネットワーク接続を通じて他の車両に伝播します。彼らはナビゲーションアルゴリズムを更新し（交通状況の変化に基づいて Knowledge Hooks が発火します）、フリート全体でエネルギーの節約がスケールします。しかし、最適化は再帰的です。各車両内のナビゲーションソフトウェア（子主題）は、運転データから継続的に学習し、改善されたアルゴリズムをフリートレベルの集約者（親主題）にバックプロパゲートし、それがすべての車両に更新を配布します。

マルチエージェントのダイナミクスは、中央のシステムが計画したものではない新たな交通流パターンを生み出します。車両は自然に代替ルートに広がり、負荷をバランスさせ、新たな混雑を避け、集団的なエネルギー支出を最小限に抑えます。STC の帰属メカニズムは、ナビゲーションアルゴリズムの開発者、車両の設計者、効率的なルーティングを可能にするインフラを持つ都市計画者がエネルギーの節約に対して比例したクレジットを受け取ることを保証します。

例2：スマートホームエコシステム。家庭には数十のスマートデバイスがあります：サーモスタット、照明、家電、セキュリティシステム、エンターテインメントシステム。各デバイスはエネルギー最適化が可能な主题です。

サーモスタット ($S_{thermostat}$) は占有パターンを学習し、事前に温度を調整します。照明システム (S_{lights}) は自然光と部屋の使用状況に調整します。家電 ($S_{appliances}$) はピーク外のエネルギー時間に運動をスケジュールします。

マルチエージェントのダイナミクスは協力的な最適化を可能にします：サーモスタッフが住民が外出したことを探知すると、共有スナップショットを通じてこのコンテキストの変化を通知します。照明システムは省電力モードに入ります。家電は緊急でないサイクルを遅らせます。全体のエネルギーの節約は、各デバイスが独立して達成できるものを超えます。

しかし、最適化は再帰的でもあります。各デバイスの制御ソフトウェアは継続的に学習し、改善します。サーモスタッフはより良い温度曲線を見つけ、照明は最適な明るさのスケジュールを見つけ、家電は使用パターンを洗練させます。これらの改善は、デバイスの製造業者だけでなく、学習を可能にするアルゴリズムを持つソフトウェア開発者や機械学習研究者、さらにはシステムを訓練した使用データを持つ住宅所有者にもクレジットを与えながら、主題のツリーを通じて逆伝播します。

例3：共同AI研究。複数のAI研究所（それぞれが主題 *S*_{lab}）が機械学習に関連する問題に取り組んでいます。彼らはオープンソース（接続C）を通じてトレーニングデータ、モデルアーキテクチャ、および実験結果を共有します。ある研究所がトレーニングエネルギーを30%削減する改善された最適化アルゴリズムを発見すると、この革新はネットワークを通じて伝播します。

他の研究所はそのアルゴリズムを採用し、自分たちのトレーニング実行でエネルギーの節約を生み出します。これらの節約は、帰属係数に従って元の革新者に逆伝播します。研究者は自分たちの貢献のグローバルエネルギー影響に比例したSTCを受け取ります。これにより、革新の蓄積ではなくオープンな共有の強いインセンティブが生まれます。

再帰的な側面は、改善されたアルゴリズム自体がさらなる改善を発見するためのツールになるときに現れます。研究所はそれを使用して、より洗練されたモデルを訓練し、さらに良い最適化技術を発見し、再帰的な改善サイクルを生み出します。STC帰属メカニズムは、全体の因果関係を追跡し、各貢献が適切なクレジットを受け取ることを保証します。

課題と制限

マルチエージェントSTCフレームワークは強力な特性を持っていますが、認識し対処すべき重要な課題にも直面しています。

調整の失敗：フレームワークは共有コンテキストを通じて暗黙の調整を可能にするように設計されていますが、いくつかの最適化問題は、現在のアーキテクチャが自然にサポートしていない明示的なコミュニケーションや交渉が必要とします。例えば [注：この時点で内容が不完全に見えます]

7.4 入力から努力へ：完全なエネルギー方程式

主観的サーも通貨の完全なアーキテクチャを構築しました：アクティブエージェントとしての主題（Σ、P、M、R、C）構造、具現化された経済的視覚化のためのバーチャルエネルギー腺、依存関係を整理するための階層的ツリー、分散知能のためのマルチエージェント最適化。しかし、1つの重要な質問は未解決のままであります。このシステムを通じて流れるエネルギーを正確にどのように測定するのか？「ユーザー入力」という抽象的な概念を、帰属、取

引、最適化できる具体的なジユールにどのように変換するのか？

このセクションでは、すべての人間の努力（身体的、認知的、感情的）の形式を測定可能な熱力学的量にマッピングする数学的フレームワークである包括的なエネルギー方程式を開発することによって完全な答えを提供します。キーストローク、マウスの動き、ボタンの押下が機械的作業にどのように変換されるか、注意、意思決定、記憶が神経エネルギー消費にどのように変換されるか、そしてフラストレーション、ストレス、認知負荷が代謝コストにどのように変換されるかを示します。

完全なエネルギー方程式は、技術を使用する主観的な体験とエネルギー支出の客観的な物理学との架け橋です。それは、STCを哲学的な概念から工学的な仕様へと変換します。効率の向上を測定し、収益化するための正確で実装可能なシステムです。このセクションの終わりまでに、すべてのデバイスとのすべての相互作用が、STCネットワークを通じて自動的に検出、計算、帰属される測定可能なエネルギー・シグネチャを生成する方法を正確に理解できるようになります。

エネルギー支出の三次元

技術使用の文脈における人間のエネルギー支出は、異なる物理メカニズムによって支配される三つの主要な次元に分解できますが、すべてが総熱力学コストに寄与します。

$$E_{\text{total}} = E_{\text{physical}} + E_{\text{cognitive}} + E_{\text{emotional}}$$

この分解は恣意的ではなく、関与する異なる生理学的システムを反映しています。物理的エネルギーはATP加水

分解によって駆動される筋肉の収縮から生じます。認知エネルギーは脳内のグルコース代謝によって駆動される神経計算から生じます。感情エネルギーは、筋肉と神経の活動の両方を調整するストレス反応、注意の調整、および感情処理から生じます。

各次元は、確立された物理学と生理学から導かれた測定可能なエネルギーコストを持つ原子成分にさらに分解できます。それぞれの次元を詳細に検討しましょう。

物理エネルギー：移動と操作

物理エネルギーは、体が行うすべての機械的作業を含みます。空間を通る動き、物体の操作、力の適用、姿勢の維持が含まれます。技術使用の文脈では、デバイスまで歩くこと、コントロールに手を伸ばすこと、ボタンを押すこと、キーボードを打つこと、ARインターフェースでジェスチャーをすること、システムと相互作用するために必要な他の身体的動作が含まれます。

物理エネルギー成分は次のように分解されます：

$$E_{\text{physical}} = E_{\text{locomotion}} + E_{\text{manipulation}} + E_{\text{posture}}$$

移動エネルギー：これは、空間を通って体を移動させるために必要なエネルギーです。これは、仕事の基本的な物理学によって支配されます：

$$E_{\text{locomotion}} = m \times g \times d \times \eta^{-1}$$

ここで m は体重 (kg)、 g は重力加速度 (9.8 m/s^2)、 d は移動距離 (m)、 η^{-1} は機械効率の逆数 (約 4、つまり代謝エネルギーの 25%のみが機械的作業に変換さ

れることを意味します)。70kgの人が10メートル歩くとき :

$$E_{\text{locomotion}} = 70 \times 9.8 \times 10 \times 4 = 27,440 \text{ J} \approx 27.4 \text{ kJ}$$

これは高く見えるかもしれません、心臓の拍動、筋肉の収縮、安定化システムの作動を含む完全な代謝コストを考慮していることを忘れないでください。実際の計算は、歩行効率、地形、速度、物を運んでいるかどうかを考慮したより微妙なものです。経験的な生体力学研究は調整係数を提供します :

$$E_{\text{locomotion_adjusted}} = (m + m_{\text{load}}) \times g \times d \times \eta^{-1} \times f_{\text{terrain}} \times f_{\text{speed}}$$

$f_{\text{terrain}} \approx 1.0$ は平坦な表面、階段は1.5、粗い地形は2.0です。そして、 $f_{\text{speed}} \approx 1.0$ は通常の歩行 (1.4 m/s)、遅い歩行は0.8、速い歩行またはジョギングは1.3です。

操作エネルギー : これは、オブジェクトやインターフェースと対話するために手、腕、指を動かすのに必要なエネルギーです。スマートフォンを手に取る、マウスをクリックする、キーボードで入力する、物理的なコントロールを操作する、またはARでジェスチャーを行うことが含まれます。

離散的なアクション (ボタン押下、キー入力) については、経験的に測定された値を使用します :

$$E_{\text{keystroke}} \approx 0.1 \text{ J} \text{ (finger flexion and extension)}$$

$$E_{\text{mouse_click}} \approx 0.15 \text{ J} \text{ (hand positioning + button depression)}$$

$$E_{\text{touch_tap}} \approx 0.05 \text{ J} \text{ (minimal movement, light contact)}$$

$$E_{\text{gesture}} \approx 1-5 \text{ J} \text{ (arm motion through space, varies by gesture complexity)}$$

連続的な操作（スクロール、ドラッグ、書き込み）については、距離にわたって力を統合します：

$$E_{\text{manipulation_continuous}} = \int F(t) \times v(t) dt$$

$F(t)$ は t の時点で筋肉によって加えられる力で、
 $v(t)$ は運動の速度です。実際には、平均力と総距離を
使 用 し て 近 似 さ れ ま す :

$$E_{\text{manipulation}} \approx F_{\text{avg}} \times d_{\text{total}}.$$

姿勢維持エネルギー：しばしば見落とされますが、生理学的に重要です—技術を使用している間に体の位置を維持するために必要なエネルギーです。コンピュータの前に座っている、視角で電話を持っている、またはARメガネと対話しながら立っていることは、重力に対抗するために継続的な筋肉の活性化を必要とします。

$$E_{\text{posture}} = P_{\text{posture}} \times t_{\text{duration}}$$

P_{posture} は姿勢筋の消費電力（位置や快適さに応じて約15–30 W）で、 t_{duration} は姿勢が維持される時間です。5分間の対話の場合：
 $E_{\text{posture}} = 20 \text{ W} \times 300 \text{ s} = 6,000 \text{ J} = 6 \text{ kJ}$ 。

この要素がSTCにおいて人間工学が経済的に重要である理由です—不快なインターフェースは不自然な姿勢を必要とし、文字通りより多くのエネルギーを消費します。これ

は、ユーザーの手腺に見える高い熱力学的コストに直接つながります。

認知エネルギー：注意、意思決定、記憶

認知エネルギーは物理的エネルギーよりも微妙ですが、同様に現実的に測定可能です。人間の脳は体重の約2%しか占めていないにもかかわらず、体全体の代謝エネルギーの約20%を消費します。これは神経計算の熱力学的コストの証です。[注：この時点でコンテンツが不完全であるようです]

8

STCと従来の経済システム の比較

8.1 貧困の解剖

貧困はおそらく人間の経済システムの中で最も持続的で壊滅的な失敗です。何千もの技術的進歩にもかかわらず、数十億の人々が基本的な必需品—清潔な水、適切な栄養、住居、医療、教育へのアクセスを持たないままであり、世界の生産能力は指数関数的に成長しています。この逆説は説明を必要とします：どのように貧困は豊かさと共存できるのか？資源が豊富なとき、なぜ不足が続くのか？私たちの経済システムのどの構造的特徴が剥奪を生み出し、永続させるのか？

従来の答えは分配に焦点を当てています：貧困は富が不平等に分配されているために存在し、貧困を解決するには課税、福祉プログラム、または他の移転メカニズムを通じて再分配が必要です。分配は重要ですが、この説明は表面的です。貧困を配分の失敗として扱い、従来の通貨システムが価値を表現する方法の内在的な特性として認識することを怠っています。

This section argues for a more fundamental diagnosis: poverty is not primarily about having too little money, but about the loss of context that money creates. Traditional currency—whether shells, precious metals, paper notes, or digital tokens—represents value as a single abstract number disconnected from physical reality. This abstraction erases the rich, multidimensional information about what things actually do, how they satisfy needs, and what consequences they produce. When a

\$2 chewing gum and a \$2 pen are treated as economically equivalent despite radically different effects on human wellbeing, the system has lost crucial information.

この文脈の喪失は、私たちが貧困として認識するものに蓄積される体系的な非効率を生み出します。人々は、価格が実際の効用を反映しないためにニーズを満たさない購入を行います。資源は、財務的なりターンが熱力学的効率と一致しないために無駄な使用に流れます。革新は、金銭的に利益をもたらすがエネルギー的に無駄な活動に誤って向けられます。その結果、財務的には豊かでありながら熱力学的には貧困である文明が生まれます—人間の苦しみを最小限に抑え、人間の繁栄を最大化することに失敗しながら、大量の物を生産します。

私たちが解剖する解剖学には3つの要素があります。まず、文脈の喪失がどのように人間の苦しみに変わらのかを明らかにする具体的な例—ガムとペン—を検討します。この寓話は、見た目は単純ですが、象徴的通貨の本質的な問題を捉えています：それは根本的に異なるものを同等として扱い、基本的な熱力学の原則に違反する取引を可能にします。

次に、例から一般化して、伝統的な通貨がどのように体系的に貧困を生み出すかを示します。多次元の価値が一次元の価格に崩壊すること、隠れたコストや外部性の見えなさ、財務的現実と物理的現実のミスマッチの蓄積、そしてお金が本質的に生み出す問題を解決できない根本的な能力の欠如です。

第三に、STCがこれらの病理をどのように改善するかを示します。お金を再分配するのではなく、貧困を生み出す文脈の喪失を排除することによってです。価値がジュール

-実際に節約または消費されたエネルギーで測定されるとき、ガムとペンの違いは自動的に可視化されます。システムは、測定自体に文脈が保持されるため、文脈の喪失を通じて貧困を生み出すことはできません。

これは単なる理論ではありません。象徴的な価値測定から物理的な価値測定への移行は、経済システムの設計、革新の評価、資源の配分、進捗の測定に具体的な影響を与えます。これは、貧困が不足の避けられない特徴ではなく、表現の不十分さの産物であり、より良い表現がそれを排除できることを示唆しています。

賭けは重大です。貧困が物質的な不足ではなく表現の失敗から生じるなら、エネルギーを操作する能力を着実に高める技術的および科学的進歩は、価値を正しく測定すれば自然に貧困を排除すべきです。豊富さにもかかわらず貧困が持続することは、私たちの測定システムが壊れている証拠であり、不足が根本的であるわけではありません。

STCは前進の道を提供します：価値を物理的に存在するもの（節約されたエネルギー）として表現し、正確に測定し（完全なエネルギー方程式を通じて）、公正に帰属させます（木構造と逆伝播を通じて）。これを行うと、貧困はトークンを再配分したからではなく、最初に人工的な不足を生み出したメカニズムを排除したからこそ解消されます。

この抽象的な議論を具体的にする寓話から始めましょう：ある人、一つのガム、一つのペン、そしてお金が見えない深い違い。

8.1.1 ガムとペンの例

Imagine you have exactly \$2 in your pocket. You walk into a convenience store where two items catch your attention: a pack of chewing gum priced at \$2, and a pen also priced at \$2. From the perspective of traditional currency, these items are economically equivalent. They cost the same amount, therefore they have the same value. The market has spoken, and its verdict is clear: one gum pack = one pen = \$2.

あなたはガムを購入することに決めます。包装を開けて口に入れ、噛みます。その体験は心地よく、ミントの風味が広がり、噛むという満足感のある機械的な動作、退屈やストレスからの短い休息です。15分後、風味は消えます。あなたはガムを捨てて、日常に戻ります。すべてが期待通りに進みました。取引は成功しました。あなたは支払った金額に等しい価値を受け取りました。

さて、別のシナリオを考えてみましょう。同じ店、同じ\$2、同じ二つのアイテム。しかし今回は、ペンを購入します。しかし、意図された目的–書くため–ではなく、ガムのように扱うことに決めます。ペンを口に入れて噛みます。

結果は壊滅的です。硬いプラスチックが歯にぶつかって砕けます。鋭い破片が歯茎を切れます。化学インクが口の中に有毒で苦い味を広げます。圧力で奥歯の一つが割れると、痛みが顎を貫きます。血がプラスチックとインクと混ざり、あなたはその残骸を吐き出します。数秒以内に、あなたはカジュアルな消費者取引から、即座に医療的注意を要する歯科緊急事態に変わります。

The aftermath is severe and costly. Emergency dental care costs \$1,200. The damaged tooth requires a crown (\$800). You miss two days of work recovering (\$400 in lost wages). The psychological trauma creates anxiety around eating and dental procedures. For weeks, you're unable to chew properly on that side of your mouth, forcing you to eat soft foods and develop compensatory chewing patterns that strain your jaw joint. The total economic and physical cost: approximately \$3,000 and weeks of discomfort, all stemming from a \$2 purchase.

From the perspective of money, both scenarios began identically: \$2 spent, one item purchased. But the outcomes could not be more different. One transaction resulted in fifteen minutes of mild enjoyment. The other resulted in thousands of dollars in medical expenses, significant pain and suffering, and long-term consequences for your health and wellbeing.

重要な洞察はこれです：お金は違いを見ませんでした。価格は同じだったので、価値も同じでした。通貨システムは、ガムとペンを同等と見なしました。なぜなら、それは価格として割り当てられた抽象的な数字だけを追跡するからです。それは、これらの物体が実際に何をするのか、人間のニーズとどのように相互作用するのか、またそれらの使用からどのような結果が生じるのかという多次元

的な現実を見たり、記録したり、表現したりすることはできません。

より深いパターン：文脈の消失

この例は、ばかげているように思えるかもしれませんが、すべての象徴的な通貨システムの基本的な特性を明らかにします：それらは文脈を消去します。文脈とは、物事が何であるか、何をするか、どのように機能するか、どのような目的を持つか、どのような効果を生むかに関する豊かで多次元的な情報です。私たちが価値をお金で表現するとき、私たちは必然的にこのすべての情報を捨て、単一の数字-価格だけを保持します。

チューインガムには文脈があります：口腔用に設計されており、摂取しても安全です（限度内で）、風味と食感を通じて感覚的な満足を提供し、使用後は廃棄されることを意図しています。ペンには文脈があります：それは筆記具であり、その材料は食品安全ではなく、コミュニケーション機能を果たし、誤用すると損害を引き起こします。これらの文脈は常識を持つ人間には明らかですが、貨幣システムには完全に見えません。

価格-各\$2-はこの情報のいずれも符号化していません。それは、物体が何のためにあるのか、どのように使用するのか、どのような利益を提供するのか、また誤用からどのような害が生じるかを教えてくれません。価格は文脈がなく、代表する物理的現実から独立して存在します。これはバグではなく、お金の特徴です。通貨は流動性を持つためには文脈がない必要があります（1ドルは、どのように得られたかや何を購入するかに関係なく、別の1ドルと等しい）。しかし、この流動性は、利益のある取引と有害な取引を区別する情報の喪失という恐ろしい代償を伴います。

あなたは反論するかもしれません：『しかし、合理的な人はペンを噛むことはないでしょう。この例は作り話です。』これは真実です—ほとんどの人は文字通りペンを噛みません。しかし、より深いパターンは普遍的で壊滅的です。毎日、何百万もの人々が、比喩的に言えばペンを噛むような購入をしています：広告通りに機能しない製品を購入し、健康を損なう食品を消費し、価値を失う資産に投資し、時間を無駄にするサービスを雇っています。貨幣システムは、適切な使用と誤用、価値創造と価値破壊を区別できないため、これらすべての取引を許可します。



人類の歴史の中で、すべての人が噛んだペンを想像してみてください。貧困はお金が不足していることではありません。貧困は、人類の歴史における取引の中での文脈の喪失の蓄積です。貧困はお金が不足していることではなく、お金によって生じる混乱です。効率は常にお金をもたらしますが、お金が常に効率をもたらすわけではありません。

$$\text{Poverty} = \sum_{t=0}^T \sum_{i=1}^{N(t)} \left\| \vec{C}_i(t) - \pi(\vec{C}_i(t)) \right\|^2 = \sum_{t=0}^T \sum_{i=1}^{N(t)} \left(\sqrt{\sum_{d=1}^D c_{i,d}^2(t)} - p_i(t) \right)^2$$

この式は、歴史におけるすべての貨幣取引における累積情報損失として貧困を定量化します。ここで、 t はお金の起源から現在までの時間を表し（ $t=0$ から T まで）、 $N(t)$ は時刻 t における取引の数です。各取引 i について、項 $\|C_i(t) - \pi(C_i(t))\|^2$ は、完全な多次元文脈ベクトル $C_i(t)$ （すべての関連する物理的、機能的、文脈的特性を含む）とその投影 $\pi(C_i(t))$ が1次元の価格軸 $p_i(t)$ に投影されたときの二乗距離を測定します。右側はこれを展開します：ノルム $\|C_i\|$ はD次元の文脈の大きさを捉え（Dは数千の関連特性かもしれません）、 p_i はドルでのスカラー価格です。二乗差 $(\sqrt{\sum c_{i,a}^2} - p_i)^2$ は、価格に圧縮された後に回復できない文脈の不可逆的な次元削減を表します。すべての取引とすべての時間を合計することで、私たちは累積された文脈損失、すなわち貧困そのものを得ます。各噛まれたペン、各誤って購入された製品、各健康を損なう食事がこの合計にその誤差項を加えます。従来の経済学はこれらの誤差をノイズとして扱います。STCはそれらを主要な信号として認識します：お金が必然的に引き起こす情報の体系的な破壊が、何千年にもわたる数十億の取引にわたって蓄積され、今日私たちが観察する構造的な貧困として現れます。

文脈損失の数学

このコンテキストの損失を数学的に形式化できます。オブジェクト O は特性の高次元ベクトルによって特徴付けられます：

$$O = (p_1, p_2, \dots, p_n)$$

各 p_i はオブジェクトの現実の次元を表します：物理的構成、意図された使用、安全性プロファイル、耐久性、エネルギー効率、環境への影響、美的特性、象徴的意味、その他無数の属性です。ガムの場合、このベクトルには次のようなものが含まれるかもしれません： $p_1 =$ '食用'， $p_2 =$ '風味を提供'， $p_3 =$ '機械的に満足'， $p_4 =$ '使い捨て'， $p_5 =$ '低カロリー'など。ペンの場合： $p_1 =$ '筆記具'， $p_2 =$ 'インクを含む'， $p_3 =$ '硬いプラスチック'， $p_4 =$ '食品安全ではない'， $p_5 =$ '耐久性がある'など。

従来の通貨は次元削減操作を行います。高次元ベクトル O を単一のスカラー値–価格–にマッピングします：

$$\text{Price} : \mathbb{R}^n \rightarrow \mathbb{R}$$
$$\text{Price}(O) = \text{scalar value (e.g., \$2)}$$

このマッピングは必然的に情報を失います。情報理論は、次元を削減すると情報が失われることを教えていました。失われる情報の量は、捨てられた次元に比例します。 n 次元から1次元に削減する場合、情報損失は膨大です–オブジェクトごとに約 $\log_2(n)$ ビットの情報が失われます。

ガムやペンのような数百の関連特性を持つオブジェクトの場合、価格として表現するたびに数百ビットの情報が失われています。これを毎日数十億の取引に掛け合わせると、人類は経済的意思決定を導くべき重要な情報を膨大に捨てていることになります。

この情報損失の結果は深刻です。価格が唯一の信号である場合、関係者は実際の価値を最適化できず、価格の最適化しかできません。これにより、金銭が報酬するものと実際に人間の幸福を改善するものとの間に体系的な不整合が生じます。製品は経済的に利益を上げることができる一方で、熱力学的に無駄であったり、社会的に有害であったり、身体的に危険であったりします。貨幣システムには、これらのケースを区別するために必要な情報を捨ててしまったため、これらのケースを区別するメカニズムがありません。

問題のスケーリング：ペンから文明へ

ガムとペンの例は、メカニズムを明確にするために意図的に単純です。しかし、同じパターンは経済活動のあらゆるスケールで機能し、はるかに重要な結果をもたらします。

製薬業界を考えてみてください。2つの薬は似たような価格を持っているかもしれません、効果、副作用のプロファイル、長期的な結果は根本的に異なるかもしれません。貨幣価格はこれらの違いを適切に捉えることができません。保険会社や患者は、これらの薬が実際に人間の体に何をするかという多次元の現実ではなく、主にコストに基づいて意思決定を行います。その結果：最適でない医療結果、不必要的苦痛、無駄な資源。

雇用を考えてみてください。2つの仕事は似たような給与を提供するかもしれません、ストレスレベル、学習機会、ワークライフバランス、身体的安全性、長期的なキャリアの展望において大きく異なるかもしれません。お金はこれらすべてを単一の数字—賃金—に圧縮します。労働者は、幸福にとってより重要かもしれない他の次元についての十分な情報がないまま、高い賃金を最適化します。その

結果：高給だが心を消耗させる仕事に閉じ込められたり、必要なお金のために低賃金だがより充実した仕事をする余裕がなかったりします。

インフラを考慮してください。二つの建設材料はコストが似ているかもしれません、耐久性、環境への影響、メンテナンス要件、ライフサイクルエネルギー消費は大きく異なります。政府や開発者は、全体の熱力学的および環境的文脈ではなく、主に初期の財政コストに基づいて選択します。その結果、財政的には安価ですがエネルギー的には高価な建物やインフラが生まれ、常に修理が必要で、資源の枯渇に寄与します。

各ケースにおいて、パターンはペンとガムと同じです：お金は根本的に異なるものを同等として扱い、基本的な熱力学的および実用的原則に違反する決定を可能にします。このシステムは、良い結果と悪い結果を区別するために必要な情報に構造的に盲目です。

選択の幻想

伝統的な経済学は、消費者の選択を情報問題を解決するメカニズムとして称賛します。私がペンを噛んで苦しむと、もう二度とそれをしないことを学びます。市場は試行錯誤を通じて、どの取引が価値を生み出し、どれがそれを破壊するかを発見します。これが見えない手です—何百万の人々にわたる個々の学びが集合的な合理性を生み出します。

しかし、この議論は、間違いのコストが耐えられるものであり、それから得られた情報が保存され、伝播されることを前提としています。どちらの前提も現実には成立しません。

まず、多くの間違いは壊滅的で不可逆的です。ペンを噛んで不可逆的な歯の損傷や偶発的な中毒を引き起こす場合、学ぶことはできません。致命的な副作用のある薬から学ぶことはできません、もしあなたが死んだったら。財政詐欺から学ぶことはできません、もしそれがあなたを破産させたら。試行錯誤のメカニズムは、エラーが生存可能で修正可能な場合にのみ機能します。

次に、個人が間違いから学んでも、この情報は価格システムを通じて効果的に伝播しません。ペンを噛んで歯を壊した後、ペンの価格は変わりません。将来の消費者は、ペンが誤用されると危険であるという信号を受け取りません。各人は同じ真実を独立して、自分の費用で発見しなければなりません。価格は文脈を表現できないため、教訓を符号化することはできません。

第三に、製造者が文脈の喪失を利用するための体系的なインセンティブがあります。消費者が耐久性のある製品と安価な模造品（どちらも20ドルで価格設定されている）を簡単に区別できない場合、製造業者は生産コストを節約しながら同じ価格を引き出す模造品を製造することで利益を得ます。情報の非対称性は、お金では監視できない捕食的行動の機会を生み出します。 \$20

その結果、情報の喪失を体系的に利用する経済システムが生まれます。広告は主に消費者が持っている限られた情報を操作するために存在します。計画的陳腐化は、価格だけから長期的な耐久性を評価することの難しさを利用します。財政的複雑さは、製品の真のコストとリスクを隠すために存在します。これらすべての病理は、多次元の現実を一次元の価格として表現することに内在する基本的な情報の喪失に起因します。

比喩の背後にある熱力学的現実

ペンとガムは、意図された使用法だけでなく、熱力学的特性にも違いがあります。ガムを噛むことは有用な作業を行います：感覚的満足（味覚受容体と快楽中枢による情報処理）、機械的満足（ストレスを軽減するリズミカルな頸の動き）、そして最小限のエネルギーコスト（噛むことの代謝コストは約2-3 J/分であり、ガムのカロリーによって容易に供給されます）。

ペンを噛むことは、この生産的な作業を何も行いません。代わりに、熱力学的混沌を生み出します：歯を壊すには分子結合を克服する必要があり（かなりのエネルギー）、その結果生じる損傷は炎症を引き起こします（代謝エネルギー）、緊急の歯科修理にはかなりの外部エネルギー投入が必要です（医療インフラ、材料、労働）、そして心理的ストレスはストレス反応システムを活性化します（コルチゾールの放出、心拍数の上昇、睡眠の乱れ）。

熱力学的な観点から見ると、ガムの取引は秩序を保存またはわずかに増加させます（エントロピーの増加を最小限に抑えた満足を提供します）。ペンの取引はエントロピーを大幅に増加させます（組織された構造-歯-を破壊し、混乱-怪我、ストレス、無駄な資源-を生み出します）。

お金はこの熱力学的現実を全く認識していません。お金は、物理学から切り離された純粋に象徴的な領域で機能するため、そうすることができます。これが根本的な問題です：経済的価値は物理的価値（エネルギー効率、廃棄物最小化、満足最大化）を反映すべきですが、貨幣的価値は表現が不十分であるため、物理的価値から恣意的に逸脱することがあります。

この例が重要な理由：STCへの架け橋

ペンとガムの寓話は、単なるかわいい話ではなく、従来の通貨の核心的な失敗モードを明らかにする診断ツールです。我々が観察するすべての経済的病理—豊かさの中の貧困、結果の知識にもかかわらず環境破壊、病気を抱える人々を破産させる医療システム、教育を失敗する教育システム—は、この同じ根本原因に起因します：象徴的通貨は、価値創造と価値破壊を区別するために必要な文脈情報を失います。

この診断は解決策を指示します。文脈の喪失が問題であるなら、文脈の保存が答えです。我々は、物の実際の機能に関する多次元情報を維持する経済システムが必要です。単にコストだけではなく。

主観的熱通貨（Subjective Thermo-Currency）はまさにこれを実現します。価値を单一の価格に圧縮するのではなく、STCはすべての関連次元にわたる実際のエネルギー支出と節約を測定します。ガムを噛むこととペンを噛むことの違いは、エネルギー方程式の中で自動的に可視化されます：

ガムを噛むこと：
 $\Delta E = (E_{\text{without_gum}} - E_{\text{with_gum}})$
= 小さな正の価値（わずかなストレス軽減、軽い満足）

ペンを噛むこと：
 $\Delta E = (E_{\text{without_pen}} - E_{\text{with_pen}})$
= 大きな負の価値（怪我、医療処置、回復からの膨大なエネルギーコスト）

STCシステムは、象徴的な抽象ではなく物理的現実を測定するため、存在しない同等性を作成することはできません。エネルギー方程式は、エネルギー支出が文脈依存であ

るため、自然に文脈を保持します。熱力学をゲーム化することはできません。物理法則がそう言っているときに、歯を破壊することがエネルギーを必要としないふりをすることはできません。

これが、ペンとガムの例が従来の通貨の問題とSTCが提供する解決策を理解するための完璧な導入である理由です。価値を象徴的に表現することで失うものと、物理的に価値を測定することで得るもののが明確に示されます。以下の小節では、この洞察を一般化し、すべての貧困が文脈の喪失から生じること、そしてSTCがそれを生み出すメカニズムを排除することで貧困をなくす方法を示します。

8.1.2 従来の通貨が貧困を生み出す方法

チューインガムとペンの例は、メカニズム-文脈の消失-を明らかにしますが、このメカニズムが個々の取引から体系的な貧困にどのようにスケールするのかという重要な質問を残します。数十億の小さな情報の喪失が、経済的な貧困として観察される大規模な人間の苦しみにどのように蓄積されるのか？この小節では、従来の通貨が文脈の喪失を構造的貧困に変える4つの相互に関連する経路を調査することでその答えを提供します。

メカニズム1：価値が価格に崩壊する

最初の経路は最も基本的なものです。従来の通貨は、多次元の価値を一次元の価格に崩壊させることを強制します。この圧縮は偶然のものではなく、定義的なものです-お金は交換手段として機能するために流動性が必要です（1ドルは別の1ドルに等しい）。しかし、流動性は、本当に価値のある取引と有害な取引を区別するすべての文脈情報を取り除くことを必要とします。

Consider two foods both priced at \$5: a nutritious meal providing essential vitamins, minerals, and balanced macronutrients; and processed junk food high in sugar, unhealthy fats, and calories but devoid of micronutrients. From the perspective of money, these are equivalent. A person with \$5 can purchase either with equal ease. The price signal provides no information about which choice will nourish the body and which will harm it.

限られたお金を持ち、ドルあたりの効用を最大化しなければならない貧しい人々は、不可能な最適化問題に直面しています。文脈情報がなければ、彼らは長期的な幸福を改善する購入とそれを損なう購入を区別することができません。栄養価の高い食事とジャンクフードはどちらも5ドルかかるため、貨幣信号はそれらが同等であると言います。しかし、熱力学的現実は大きく異なります：一方は持続的なエネルギーと健康を提供し、もう一方は一時的な満足感を提供し、その後に代謝機能不全、エネルギーの低下、慢性疾患を引き起こします。 \$5

これにより貧困の罠が生まれます。お金が少ない人々は、システムが提供する唯一の情報である価格だけに基づいて決定を下します。文脈を欠いたこれらの決定は、追加のコスト（医療費、生産性の損失、認知障害）を生み出す方法で有害であることが多く、利用可能な資源をさらに減少させます。初期の文脈の喪失がエスカレートする貧困に累積します。

この崩壊の数学は不等式として表現できます。
 V_{true} をアイテムの真の多次元価値、 V_{price} を一

次元価格とします。情報の喪失は次のようになります：

$$I_{\text{loss}} = H(V_{\text{true}}) - H(V_{\text{price}})$$

ここで $H()$ は情報エントロピーです。 n の関連次元を持つオブジェクトに対して、この損失は約 $\log_2(n)$ ビットです。食料、住宅、または数百の関連特性を持つサービスのような複雑な商品では、取引ごとに8~10ビットの情報が失われています。毎日数十億の取引を通じて、人類は重要な意思決定情報のエクサバイトを廃棄しています。

メカニズム2：隠れたコストが現実の苦しみに変わる

第二の道筋は外部化です：従来の通貨は明示的な金銭交換のみを記録し、取引を超えて広がるすべての隠れたコストと結果を見えなくします。これらの隠れたコストは消えません—それらは、負担を強いられた人々が受けた現実の苦しみとして現れます。

Return to our pen-chewing example. The \$2 purchase price captured only the manufacturing and distribution costs. It said nothing about the \$3,000 in dental expenses, the days of lost work, the psychological trauma, or the long-term jaw dysfunction. These costs are real—they represent actual energy expenditure, actual human suffering—but they're invisible to the monetary system because they occur outside the transaction.

この外部化はあらゆるスケールで機能します。工場が川を汚染し、下流のコミュニティに健康コストを課します。工場の製品の価格はこれらのコストを反映していません—それらはコミュニティに外部化されています。食品会社は美味しいが中毒や代謝疾患を引き起こす成分を使用します。価格は生産コストを反映していますが、顧客が数十年後に負担する医療費は含まれていません。金融商品はリスクを理解していない未熟な消費者に販売されます。価格には最終的な破産や破滅した人生のコストは含まれていません。

貧しい人々がこれらの外部性の影響を最も受けます。裕福な人々は汚染された地域を避け、有機食品を購入し、ファイナンシャルアドバイザーを雇うことができます。貧しい人々はそうではなく、貨幣システムが見えなくした隠れたコストを吸収します。彼らの地域はより汚染され、食べ物は栄養価が低く、金融商品はより捕食的です。このシステムは、隠れたコストを負担できない人々に向けて体系的に流れ込み、貧困がさらなる貧困を生むフィードバックループを作り出します。

これを外部性関数として正式にモデル化できます。価格 P と真の総コスト C_{total} （すべての隠れたコストを含む）を持つ任意の取引について：

$$E_{\text{external}} = C_{\text{total}} - P$$

この外部性は、補償なしに他者から抽出された価値を表します。すべての取引と時間を通じて合計すると、累積的な外部化は、負担を強いられたことに同意したことがない、補償を受けたことがない人々に課せられた数兆ドルの

苦しみを表します。これは構造的な盜難であり、構造的な貧困を生み出します。

メカニズム3：蓄積された文脈の喪失が複合する

第三の道筋は複合化です：個々の文脈の喪失は小さいですが、蓄積されて相互作用し、千の切り傷を通じて貧困を生み出します。各悪い購入、各誤解を招く製品、各無駄な資源は小さなエネルギー損失を表します。しかし、これらの損失は孤立したままではありません–その結果は時間を通じて、個人間で指数関数的に複合します。

文脈の喪失により食料購入において2型糖尿病を発症する人を考えてみてください。この単一の結果（何年にもわたる多くの小さな文脈喪失の取引に起因する）は、連鎖的なコストを生み出します：薬（継続的な費用）、食事制限（高い食費と食事準備時間）、労働能力の低下（失われた収入）、病気休暇の増加（経済的不安定）、最終的な合併症（巨額の医療費）、そして寿命の短縮（失われた生産的な年）。

これらの結果のそれぞれは、金銭が不十分な情報を提供する追加の文脈を生み出します。糖尿病患者は専門的な食品を必要としますが、価格はどの製品が血糖値を効果的に管理するかを適切に示していません。彼らは効果的な薬を必要としますが、価格は長期的な有効性や副作用のプロファイルを反映していません。彼らは医療の決定に直面し、提供者の財政的インセンティブが患者の結果と不一致になる可能性があります。文脈の喪失はあらゆるステップで重なります。

これを数十億人が数百万の決定を下す規模に拡大します。機能しない製品はフラストレーションと無駄な時間を生み出し、交換購入を必要とします。提供されないサービ

スは繰り返しの試みを強い、コストを増加させます。価値を失う投資は貯蓄を破壊し、経済的な緩衝材を排除します。治療が癒すのではなく害を及ぼす医療は連鎖的な健康問題を生み出します。スキルを育成しない教育資格は年数を無駄にし、負債を蓄積します。

数学的構造は、誤配分されたリソースの指數関数的成长です。 $M(t)$ を、時点 t における文脈喪失による累積的な誤配分を表すものとします。各文脈喪失取引が将来の取引に影響を与える結果を生み出す場合：

$$\frac{dM}{dt} = k \times M(t) \times T(t)$$

k は結合定数で、 $T(t)$ は取引率です。この微分方程式は指數関数的な解を持ち、経済がスケールするにつれて誤配分が線形よりも速く成長することを意味します。経済が成長するにつれて文脈の喪失が増えるだけでなく、各喪失が追加の喪失の条件を生み出すため、指數関数的に増加します。

これが、経済成長にもかかわらず貧困が持続する理由を説明します。生産性が向上し、物質的な生産が拡大しても、文脈による誤配分の率はより速く成長します。経済はより多くを生産しますが、その生産の増加する割合は、価格システムにおける情報の喪失により無駄または積極的に有害です。名目GDPが上昇しても、眞の幸福は停滞または低下します。

メカニズム4：お金は自分の問題を解決できない

第四の道筋はおそらく最も陰湿です：お金自体が文脈の喪失の原因であるため、金銭的メカニズムを通じて実施された解決策は根本的な問題に対処できません。貧困をお金で解決しようとするすべての試みは、貧困を生み出した構造的な情報の喪失を保持しながら、単に数字を再分配するだけです。

貧しい人々に現金援助を提供する福祉プログラムを考えてみてください。これはお金を移転し、即時の物質的な欠乏を軽減するかもしれません。しかし、それは欠乏を引き起こした失われた文脈を回復することはありません。受取人は依然として価格が不十分な情報を提供する市場に直面し、隠れたコストが外部化される購入を行い、人間の繁栄ではなく金銭的な搾取に最適化されたシステムをナビゲートします。

1,000ドルの援助を受け取る貧しい人は、そのお金を自分の貧困を生み出した同じ文脈のない市場で使います。彼らは栄養価の高い食事が8ドルであるため、ジャンクフードに5ドルを支払います。彼らは家賃が安いため汚染された地域に住むことになります。彼らは代替手段へのアクセスがないため、捕食的な金融サービスを利用します。お金は限界で助けになりますが、すべての取引を潜在的な罠にする情報の問題を解決することはできません。 \$1
\$5 \$8

さらに、貨幣的解決策は文脈を失う枠組みの中で機能するため、逆効果のインセンティブを生み出します。手段に基づく給付は貧困の罠を生み出し、より多くのお金を稼ぐことが給付の喪失を引き起こし、100%を超える実効限界税率を生み出します。ユニバーサルベーシックインカムは人々を絶望から解放するかもしれません、文脈の搾取を奨励する経済全体の不適切なインセンティブには対処して

いません。富の税は、富を集中させる流れのダイナミクスを変えることなく、既存の貨幣ストックを再分配します。

根本的な問題は、お金が症状を扱いながら病気を無視することです。病気は情報の喪失です—価格信号が価値の多次元的現実を伝えることができないことです。お金を再分配することは、タイタニック号のデッキチェアを並べ替えるようなものです。個々の乗客を少し快適にするかもしれませんが、船体の穴を修正することはできません。

この不可能性の結果を形式化できます。 S_{poverty} を経済における貧困状態の集合とし、 T_{monetary} を貨幣政策を通じて達成可能な任意の変換とします。もし貧困が貨幣表現自体に内在する構造的情報の喪失 I_{loss} から生じるなら、次のようになります：

$$\forall T_{\text{monetary}} : T_{\text{monetary}}(S_{\text{poverty}}) \subseteq S_{\text{poverty}}$$

言い換えれば、貨幣的変換は貧困状態の空間から逃れることができません。なぜなら、それらはその空間を定義する表現の不適切さに対処できないからです。情報を失うトークンを操作することで情報の喪失を解決することはできません。

合成：貧困は避けられない結果として

これらの4つのメカニズム—価値の崩壊、外部化、累積、そして貨幣的な不可能性—は、貧困を伝統的な通貨システムの避けられない特徴にするために協力し合っています。価値が物理的ではなく象徴的に表現され続ける限り、価格が多次元的現実を単一の数字に圧縮し続ける限り、隠れたコストが外部化できる限り、そして解決策が同じ壊れ

た表現を通じて実施されなければならない限り、貧困は持続します。

メカニズムは互いに強化し合います。価値の崩壊は外部性が隠される状況を生み出します。隠れたコストは時間とともに累積します。累積したコストは貨幣的解決策への圧力を生み出します。貨幣的解決策は失敗し、さらなる価値の崩壊の条件を保存します。このサイクルは自己永続的です。

これは現代経済のいくつかの逆説を説明します。まず、なぜ豊かさにもかかわらず貧困が持続するのか：それは、貨幣的または物質的な観点で測定された豊かさが熱力学的な観点での希少性と互換性があるからです。私たちは膨大な量の物を生産しますが、その多くは無用または有害であり、貨幣システムはそれを区別できません。次に、なぜ再分配の努力にもかかわらず不平等が増加するのか：それは再分配が富を集中させる根本的な情報ダイナミクスを修正することなくお金を移転するからです。最後に、なぜ経済成長が必ずしも幸福を改善しないのか：それは価格×数量で測定された成長が、真の価値（エネルギー効率、満足度、健康）が低下している間でも発生する可能性があるからです。

この批判は貧困を超えて、経済的病理の全範囲を含します：環境破壊（汚染と資源枯渇の外部化されたコスト）、金融不安定性（基礎的価値から切り離された価格）、技術的停滞（貨幣的ではなく熱力学的効率に向けられたイノベーション）、そして存在的リスク（生存のコストをかけても貨幣的成長のために最適化されたシステム）。

これらすべての病理は同じ根本的な原因を共有しています：象徴的な通貨は物理的現実を適切に表現することが

できません。地図は領域から完全に逸脱しており、地図に従うことは危険を招きます。伝統的な経済学は地図が正確であると仮定し、ナビゲーションの最適化を試みます。しかし、根本的な問題は地図作成にあります—地図自体が間違っているのです。

貧困プレミアムの定量化

エネルギー会計を使用して通貨メカニズムによって生み出された貧困の大きさを推定できます。すべての取引が従来の通貨によって媒介される仮想経済と、価値がジユールで測定される経済を考えてみましょう。

通貨経済では、取引の10%が重要な文脈の喪失を伴い、長期的な悪影響を引き起こすと仮定します（保守的な推定—実際はもっと高い可能性があります）。文脈を失う取引は、隠れたコストをすべて含めると、購入価格の平均3倍のコストを生み出します。50兆ドルの世界経済に対して、これは次のことを意味します： \$50

$$\text{Cost}_{\text{context_loss}} = \$50T \times 0.10 \times 3 = \$15 \text{ trillion in hidden costs annually}$$

この15兆ドルは、実際のエネルギー支出を表しています—予防可能な病気の医療、環境修復、無駄な資源、失われた生産性、人間の苦しみです。これはドルではなくジユールで表された貧困です。このエネルギーが無駄にされなければ、人間の幸福は有用な経済生産の30%の増加に相当する改善が見込まれます。 \$15

文脈が保存されるエネルギー基盤の経済では、これらの損失は発生しません。このシステムは、エネルギー測定がすべてのコストを含むため、自動的に文脈を失う取引を防ぎます。この15兆ドルは再分配する必要はなく、そもそも無駄にされることはありません。これが貧困プレミアム

です：象徴的な価値表現を使用することによって課せられる過剰な熱力学的コストです。 \$15

地球上で最も貧しい10億人は、世界の資源の約1%を消費していますが、外部化されたコストの約30%を負担しています（汚染された環境、低品質の製品、捕食的サービス、健康リスクへの曝露）。彼らにとって、貧困プレミアムは30%ではなく、むしろ300%に近い—彼らの苦しみは、文脈を保存し外部化を防ぐシステムであった場合の3倍です。

結論：貧困は表現の失敗である

従来の通貨は、悪意や悪政策によってではなく、数学的必然性によって貧困を生み出します。n次元の現実を1次元の表現に圧縮すると、情報の(n-1)次元を失います。コストを外部化させると、体系的な搾取が生まれます。これらの損失が時間と数十億の取引を通じて累積すると、構造的な貧困がシステム自体の出現特性として現れます。

この診断は、同時に壊滅的で希望に満ちています。壊滅的なのは、貧困が現在の貨幣パラダイム内で修正できないことを意味するからです—象徴的な通貨を保持するすべての改革は根本的な原因に対処することに失敗します。希望に満ちているのは、貧困が避けられないものではないからです—それは悪い表現の産物であり、より良い表現によって排除できます。

解決策は、お金をより公平に再分配したり、市場をより注意深く規制したり、より良い社会サービスを提供したりすることではありません。これらの介入は周辺的には役立つかもしれません、症状を扱っているだけです。解決策は、象徴的な通貨を完全に放棄し、価値をその物理的形態—エネルギーで測定することです。価値が節約された工

エネルギーに等しく、コストが消費されたエネルギーに等しいとき、文脈は失われることがありません。すべてのコストが測定されると、外部化は不可能になります。なぜなら、隠れたコストは隠れていないからです。通貨自身が現実を正確に表すとき、貧困は消えます。なぜなら、それを生み出すメカニズムがもはや機能しないからです。

これはSTCが提供するものです：壊れたお金のより良い再分配ではなく、貧困を設計上不可能にする根本的に異なる表現です。次の小節では、これがどのように機能するか、価値をジュールで測定することがどのように文脈を自動的に保持し、外部化を防ぎ、私たちが説明した貧困を生み出すメカニズムを排除するかを示します。

8.1.3 STCの治療法

私たちは、伝統的な通貨が文脈の体系的な喪失を通じて貧困を生み出す方法を見てきました—多次元の現実を抽象的な数字に崩壊させ、取引に埋め込まれた実際のエネルギーコストを消去し、時間とともに累積する隠れた非効率のカスケードを生み出します。自然な疑問が続きます：文脈を破壊するのではなく保持する通貨システムを設計できますか？物理的現実を歪めるのではなく尊重する方法で価値を測定できますか？

主観的熱通貨（STC）が答えを提供します。STCは、基礎となる物理的プロセスとの接続を失う恣意的なシンボルを通じて価値を表現するのではなく、エネルギーの普遍的な単位であるジュールで直接価値を測定します。このシンボリックから物理的な会計へのシフトは、経済取引が文脈を保持し、伝達する方法を根本的に変えます。

コア原則：象徴的抽象ではなく物理的測定

STCの根本的な革新は、その測定方法論にあります。伝統的な通貨は、供給、需要、投機、権力のダイナミクスを反映する市場メカニズムを通じて価格を割り当てますが、商品やサービスを生産、維持、消費するために必要な実際のエネルギーは反映されません。STCはこの関係を逆転させます：それは、すべての取引に関与する実際のエネルギー支出を測定します。

Consider again our chewing gum and pen example. Under traditional currency, both might cost \$1, creating the illusion of equivalence. Under STC, the measurement would reveal:

ガム：歯の不快感からの一時的な緩和を提供します。エネルギーの利益は、エンドルフィンを放出し頸の圧力を分散させる機械的刺激を通じて、約30分間で痛みに関連する代謝ストレスを約50ジュール減少させることで定量化されるかもしれません。ガム自体の製造には、原材料の採掘、加工、包装、流通を含めて、おそらく2,000ジュールが必要でした。ネットエネルギー計算：50Jの緩和のために2,000Jを投資する–他の活動や将来の収入で相殺しなければならない重要なエネルギー不足です。

ペンを噛むこと：歯の損傷を引き起こし、クラウン修理が必要です。即時のエネルギーコストには、痛み（組織損傷に対する体の反応としての代謝ストレス約5,000ジュールが数日間）、炎症反応（免疫系が活性化する際の追加3,000ジュール）、および感染リスクが含まれます。歯科修理には、臨床エネルギー（歯科医の身体的および認知的努力：約15,000ジュール）、クラウンの材料生産（鉱山、金属またはセラミックの精製、精密製造を含む約50,000ジュール）、滅菌および施設運営（約5,000ジュール）、および患者の追加の治癒にかかる代謝コスト

(数週間で約10,000ジュール)が必要です。合計：約88,000ジュールのエネルギー支出が、うっかりした行動の瞬間にによって引き起こされます。

違い-50ジュール対88,000ジュールはSTCの下では隠すことができません。物理的現実は可視化され、測定可能です。この透明性は、伝統的な通貨が生み出す虚偽の同等性を排除します。

STCが文脈を保持する方法

STCは、経済取引と物理的現実とのつながりを維持するいくつかの相互接続されたメカニズムを通じて文脈を保持します：

直接的な物理測定：STCのすべての取引は、実際に消費されたエネルギーを記録します。この測定には、製造エネルギーのような明白な直接コストだけでなく、伝統的な通貨が無視する隠れた文脈コスト-輸送エネルギー、メンテナンス要件、廃棄コスト、健康への影響、時間の消費、機会コスト-も含まれます。STCの台帳は、抽象的な数値記録ではなく、経済活動の包括的なエネルギー・マップとなります。

時間的解像度：伝統的な通貨は時間を圧縮します-今日の1ドルは名目上明日も1ドルに等しいですが、インフレや状況の変化、異なる瞬間の異なるエネルギー文脈にもかかわらず、STCはエネルギーが消費された時期とその文脈を追跡することで時間的精度を維持します。最適な条件下（十分に休息、適切な栄養、適切な環境）で消費されたエネルギーは、圧力下（疲労、栄養不足、敵対的環境）で消費されたエネルギーとは実際のコストが異なります。STCの会計は、抽象的な価値ではなく物理的現実を測定するため、これらの違いを反映できます。

個人の変動性：STCの革命的な側面は、エネルギーコストが個人の身体的能力、健康状態、利用可能な技術、環境条件に基づいて異なることを認識している点です。ある人にとって1,000ジュールのコストが、障害、年齢、怪我、適切な道具の不足により別の人には5,000ジュールのコストがかかることがあります。伝統的な通貨は、すべての取引を同じ象徴的な媒体を通じて強制することで、これらの違いを見えなくします。STCはこの文脈情報を保持します—不公平を生み出すためではなく、真のコストを明らかにし、より正確な資源配分を可能にするために。

システム的関係：おそらく最も重要なのは、STCが異なるエネルギー支出の間の関係の網を保持することです。従来の通貨では、食料の購入、家賃の支払い、病気の治療、教育への投資は別々の、無関係な取引です。STCでは、これらの支出は統合されたエネルギーフローシステムの一部として理解されます。不十分な栄養は病気のエネルギーコストを増加させ、住居の欠如は代謝エネルギーの要求を高め、未治療の健康問題は作業能力を低下させ、不十分な教育は継続的なエネルギーの非効率を生み出します。STCはこれらのシステム的なつながりを可視化し、測定可能になります。

貧困の四つのメカニズムを排除する

従来の通貨が貧困を生み出す四つのメカニズムを思い出してください：価値の崩壊、隠れたコスト、累積的な非効率、そして貨幣的な不可能性。STCはそれぞれに直接対処します：

価値崩壊防止：複雑で多次元的な現実を単一の価格に還元するのではなく、STCはすべての取引の完全なエネルギープロファイルを維持します。STCにおける商品の「価格」は単純な数字ではなく、包括的なエネルギー仕様で

す：即時エネルギーコスト、維持エネルギー要件、期待される寿命エネルギー軌道、廃棄エネルギーコスト、健康影響エネルギー効果、機会コスト。この多次元的な表現は、擇取を可能にする情報の喪失を防ぎます。

$$E_{\text{item}} = \{E_{\text{acquisition}}, E_{\text{use}}, E_{\text{maintenance}}, E_{\text{disposal}}, E_{\text{health}}, E_{\text{opportunity}}\}$$

各コンポーネントはジュールで測定され、偽の単純さへの崩壊を防ぎます。安価な加工食品と栄養価の高い全食品はSTCでは同等に見えません–それぞれの異なる長期的なエネルギーの影響（医療コスト、生産性への影響、寿命への影響）がそのエネルギープロファイルに明示されています。

隠れたコストの明らかにすること：従来の通貨の下では、隠れたコストは通貨がそれらを測定しないため、正確に隠れたままです。膨大な廃棄コストを伴う安価な製品は、廃棄が必要になるまで魅力的に見えます–そしてその時でさえ、これらのコストはしばしば社会や環境に外部化されます。STCは最初から隠れたコストを明示します。エネルギーの全ライフサイクルが測定され、記録されます。

家庭用清掃製品を考えてみてください。従来の通貨の下では：

$$\text{Price}_{\text{product}} = \$3.99$$

隠れたコストには、毒性成分の廃棄（高価な危険廃棄物処理）、煙による健康影響（呼吸器治療、作業能力の低下）、環境への影響（水処理、生態系の損傷）、包装廃棄物（埋立地またはリサイクルエネルギー）が含まれます。これらのいずれも\$3.99の価格には現れません。STCの下では：

$$E_{\text{product}} = 15,000J_{\text{manufacturing}} + 2,000J_{\text{use}} + 50,000J_{\text{disposal}} + 30,000J_{\text{health}} = 97,000J$$

真のコストはすぐに目に見えます。製造コストが25,000Jで、廃棄および健康コストが5,000Jのより環境に優しい代替品は合計30,000Jになり、潜在的に高い即時製造コストにもかかわらず、劇的に効率的であることが明らかになります。

複合的非効率性の打破：従来の通貨は、初期の最適でない選択（歪んだ価格信号によって駆動される）が将来の大きなコストに連鎖するため、複合的非効率性を生み出します。STCは、選択の長期的なエネルギー影響を決定の瞬間に可視化することで、このサイクルを打破します。歯を修理するかガムを買うかを考えている人は、即時のコストだけでなく、将来のエネルギー要件も見ることができます。

数学的な違いは深遠です。従来の通貨の下では、最適化は各時間期間内で独立して行われます：

$$\min_t C_t \text{ for each } t$$

このローカル最適化はしばしばグローバルな非効率性を引き起こします。STCの下では、最適化は全体の時間的軌跡にわたって行われます：

$$\min \sum_{t=0}^T E_t + \int_0^T E_{\text{maintenance}}(t) dt + E_{\text{terminal}}$$

このグローバル最適化は自然に複合的な罠を防ぎます。ローカルに最適に見えるが将来のエネルギー負債を生

む決定は、すぐにグローバルに最適でないことが明らかになります。

貨幣的不可能性の解決：おそらく最も革命的なのは、STCが貨幣的不可能性の問題を排除することです。従来の通貨の下では、お金を持たない人は、エネルギーやスキルを提供できても、必要なものを得ることができません-象徴的な媒介が人工的な障壁を作ります。STCの下では、価値の交換はエネルギーに基づいています。10,000ジユールの労働（料理、清掃、修理、育児）を提供できる人は、必要なエネルギー（食料、住居、医療）と直接交換できます。

これはSTCが物々交換に戻ることを意味するわけではありません-それは複雑で非同期の交換を促進する通貨のすべての利点を失うことになります。むしろ、STCは通貨が提供する抽象化の層を維持しつつ、それを物理的現実に基づいています。STCのエネルギークレジットは実際のエネルギー容量を表します-個人が消費したエネルギー（クレジットを作成）または他者がその人のために消費する意欲のあるエネルギー（商品/サービスを提供）です。

実践的な実装：理論から現実へ

STCの理論的な優雅さは、実践的な実装がなければほとんど意味を持ちません。私たちは、現代の経済活動の膨大な複雑さの中で、エネルギー支出を実際にどのように測定するのでしょうか？この課題にはいくつかの要素があります：

測定インフラストラクチャ：STCは広範なエネルギー測定を必要とします。これは、現代の技術によってますます実現可能になっています。スマートウォッチやフィットネストラッカーはすでに個人のエネルギー支出を合理的な精

度で測定しています。産業用センサーは製造エネルギーを監視し、スマートホームデバイスは家庭のエネルギー使用を追跡し、車両は輸送エネルギーを記録します。測定インフラストラクチャはほぼ存在しており、STCはそれを一貫した経済的枠組みに整理します。

文脈AIシステム：主観的技術に関する前の章で述べたように、現代のAIシステムは文脈をますます洗練された方法で理解できます。ARメガネ、環境センサー、個人の健康データへのアクセスと統合されたAIシステムは、直接的な物理的エネルギーだけでなく、認知負荷、感情的ストレス、機会コスト、長期的な影響を考慮して、エネルギーコストを驚くほど正確に推定できます。これらの「文脈エンジン」はSTC経済の簿記係となります。

分散型検証：STCの機能にとって重要なのは検証の問題です。エネルギー測定が正確で操作されていないことをどのように保証するのでしょうか？ここで「精度の専門家」（第6章で議論されている）の役割が重要になります。これらの専門家—物理学者、エンジニア、医療専門家、効率の専門家—は測定方法論を検証し、異常なエネルギー主張を監査します。このシステムは中央集権的ではなく（それは腐敗や支配の機会を生むことになります）、むしろ分散型であり、複数の独立した専門家が自分の分野で測定を検証できるようになっています。

後方互換性：重要な実用的考慮事項：STCは伝統的な通貨を直ちに放棄することを要求しません。代わりに、両方のシステムは移行期間中に共存でき、STCエネルギークリジットと伝統的な通貨の間の為替レートは市場メカニズムによって決定されます。時間が経つにつれて、STCが文脈を保持し、搾取を防ぐ優れた能力を示すにつれて、経済活動は自然にそれに移行するでしょう。

潜在的な反論への対処

貧困に対する解決策としてのSTCに対するいくつかの明白な反論に対処する必要があります：

測定インフラストラクチャ：STCは広範なエネルギー測定を必要とします—そしてこれは今日実現可能です。消費者向けウェアラブルデバイスはすでに個人のエネルギー支出を推定しています。産業システムは製造エネルギーを計測し、スマートホームデバイスは家庭の負荷を追跡し、車両は推進と補助エネルギーを記録します。主観的技術とスマートグラスはこれらの成熟した要素を統合し、バーチャルエネルギー腺と文脈認識AIを追加して、客観的なエネルギー値を自動的に計算し、決済します。インフラストラクチャは現在ほぼ存在しており、STCはそれを一貫した経済層に整理し、時間とともに改善を続けますが、投機的または未証明の科学には依存しません。

'個々のエネルギーの変動性は不公平を生む'：同じ作業に対して異なる人々が異なる量のエネルギーを消費するという事実は不公平に思えるかもしれません—なぜより多くのエネルギーを消費する障害を持つ人が不利になるべきなのでしょうか？しかし、STCはこの不公平を生むのではなく、従来の通貨が隠している既存の不公平を明らかにします。一度明らかになれば、明示的なエネルギー補助金、支援技術の開発、エネルギー会計に透明性のある社会的支援構造を通じて対処できます。

'エネルギー会計は主観的価値を捉えない'：正しい—STCはエネルギーを測定し、主観的な好み、美的評価、感情的な重要性を測定しません。しかし、これはバグではなく機能です。主観的価値は依然として存在し、重要です。ただし、それは経済的価値と混同されることはありません。あなたは絵画が喜びをもたらすから価値を感じるかも

しません（主観的）が、STCの観点からの経済的価値は、それを作成、維持、輸送、展示するために必要なエネルギーです。

'STCは富の不平等を解決しない'：正しい-STCは直接的な再分配メカニズムではありません。しかし、STCは従来の通貨ができない3つのことを行います。第一に、隠れたコストを可視化することで、富の集中を永続させる継続的な抽出メカニズムを防ぎます。第二に、他者の文脈喪失から利益を得る能力を排除します。第三に、社会的目標を達成するために実際に必要なエネルギー補助金のより正確な評価を可能にします。

変革された経済の風景

STCが従来の通貨ではなく機能する経済はどのようなものになるでしょうか？その変革は深遠なものになるでしょう：

製品設計： 製品は製造コストを最小限に抑えるのではなく、総ライフサイクルエネルギーの最小化のために設計されます。総エネルギーコストが可視化されると、計画的陳腐化は明らかに非効率的になります。耐久性があり、修理可能で、エネルギー効率の良い製品は、規制や道徳的圧力ではなく、正確なエネルギー会計に基づく自然な経済選択によって支配されます。

サービス産業： サービスは実際に消費されたエネルギーに基づいて価格が設定されます—直接的な物理的エネルギーと認知的/感情的エネルギーの両方です。難しい診断を行うために10,000ジュールの認知エネルギーを費やす医者は、2,000ジュールしか必要ないかもしれない定期検診と同じ報酬を受けるのではなく、正確に補償されるでしょう。

労働市場：伝統的に低い地位の仕事（保育、老人介護、衛生、食品準備）の重要性が慢性的に過小評価されることはありません。STCは、これらの仕事がしばしば膨大なエネルギー—身体的持久力、感情の調整、注意管理、健康リスクを必要とすることを明らかにします。STCの下では、8時間子供の世話をする人は、身体的および認知的エネルギーの合計で25,000ジュールを消費するかもしれません—これは、従来の通貨の下で遙かに高い報酬を得る多くのオフィスの仕事よりもかなり多いです。

投資と資本：投資決定は短期的な財務リターンではなく、長期的なエネルギー効率を最適化します。高い初期エネルギー投資が必要だが数十年にわたって低い運用エネルギーを必要とする工場は、明らかに高い継続的エネルギーコストを持つ安価な施設よりも優れています。

国際貿易：貿易は輸送、保管、隠れた環境影響を含む真のエネルギーコストを反映します。奴隸労働で製造された製品は、STCの下では安価には見えません—実際のエネルギーコストは計上されますが、労働者に支払われることはありません。これは自動的に搾取を解決するわけではありませんが、搾取を供給チェーンに隠すのではなく、経済的に可視化します。

貧困の解消、排除ではなく

言語は重要です：STCは、資源を強制的に再分配したり、平等を強制したりする意味で貧困を「排除」することはありません。むしろ、貧困を生み出す表象の失敗を取り除くことによって貧困を解消します。伝統的に理解される貧困は、真のコストを隠し、文脈の喪失を通じて体系的な価値の抽出を可能にする通貨システムの産物です。

STCの下では、いくつかの形態の貧困が物理的に不可能になります：

文脈の喪失による貧困：エネルギー測定において文脈が保存されるため、発生することはありません。「今安いものを選び、後で高くつく」という罠は、選択の瞬間に未来のコストが見えるときに解消されます。

隠れたコストによる貧困：すべてのコストがエネルギーの観点で明示的であるため、持続することはできません。手頃に見えるが膨大な隠れた負担を抱える製品やサービスは、エネルギーコストが高いことが明らかになります。

累積的非効率性による貧困：エネルギー会計が累積を可視化するため、壊滅的な失敗の前に介入を可能にし、著しく減少します。

貨幣的な不可能性による貧困：エネルギーが普遍的な媒体であるため、排除されます。伝統的な通貨を持たないがエネルギー能力を持つ人は、経済に参加できます。

残るのは、真の物理的な不足だけです—利用可能なエネルギーと資源の実際の制限。しかし、この「真の」貧困でさえ、STCの下では質的に異なります。誰もが真のエネルギーコストと能力を見ることができると、資源配分は透明になります。

前進の道：実施戦略

伝統的な通貨からSTCへの移行は、一晩で行うことはできません。実用的な実施戦略は、次の進行に従うかもしれません：

フェーズ1：並行トラッキング（1～3年）：最初は、STCは情報層として伝統的な通貨と並行して運営されます。取引はドル/ユーロ/円で行われますが、エネルギーの観点でも記録されます。この二重会計は、伝統的な価格と実際のエネルギーコストの間の不一致を明らかにし、参加者を教育し、即時の移行を必要とせずにSTCの価値を示します。

フェーズ2：ハイブリッド交換（3～7年）：エネルギー測定への信頼が高まるにつれて、一部の取引はエネルギークレジットで行われるようになり、他は従来の通貨のままとなります。STCと従来の通貨の間で為替レートが発生し、相対的価値の市場評価に基づいて変動します。特にエネルギーコストが明らかで、従来の価格設定が明らかに歪んでいる分野の初期採用者は、主にSTCで取引を開始します。

フェーズ3：支配的移行（7～15年）：STCはほとんどの分野で主要な経済媒体となり、従来の通貨は特殊な用途やレガシーシステムに relegated されます。経済活動は従来の利益性ではなく、エネルギー効率を最適化する方向に進み、資源利用の大幅な改善と廃棄物の削減を促進します。

フェーズ4：完全統合（15年以上）：従来の通貨は歴史的取引やコレクター価値を除いて時代遅れとなります。世界経済全体がエネルギー会計に基づいて運営されます。歴史的に理解されてきた貧困はほぼ解消され、実際の物理的制約と能力の透明な会計に置き換わります。

結論：お金を超えて現実へ

STCが貧困に提供する解決策は、技術的な巧妙さや金融革新ではありません。それはより根本的なものであり、経

済的表現を物理的現実に復元することです。従来の通貨は、経済的シンボルと物理的事実との関係を断ち切ることによって貧困を生み出します。価格は実際のコストから切り離され、価値はエネルギーから切り離され、取引は結果とのつながりを失います。

STCはこの断絶を修復します。それは道徳的な勧告や政治的な力によってではなく、優れた情報を通じて行われます。エネルギーという普遍的な物理単位で価値を測定することによって、STCは経済的現実を可視化します。この可視性は、貧困を再配分したり否定したりするのではなく、それを生み出した表現の失敗を排除することによって貧困を解消します。

チューインガムとペンは、実際に何をするかを測定することで、もはや同じ価格ではありません。搾取を可能にする同等性の幻想は、正確な測定の光の中で消え去ります。残るのは現実-時には厳しく、しばしば挑戦的ですが、常に正直です。そしてその正直さから、経済的表現と物理的真実とのつながりから、貨幣システムが生み出す人工的な希少性ではなく、真の繁栄の可能性が生まれます。

STCは未来のいつか実施される解決策ではありません。既存のシステムと並行して今日から使用を開始できるフレームワークです。実際のエネルギーコストを測定することを選択するたびに、恣意的な価格を受け入れるのではなく、隠されたものを可視化するたびに、文脈を破壊するのではなく保存するたびに、私たちは象徴的な歪みではなく物理的現実に基づいた経済に向かって進んでいます。

貧困は人々にもっとお金を与えることによって解消されるのではなく、それを生み出すメカニズムを排除することによって解消されます：取引における文脈の喪失です。それがSTCが提供する解決策です-富の再配分ではなく、表

現の正確さです。政治的革命ではなく、物理的な正直さです。希少性の廃止ではなく、真に希少なものと人工的な希少性を明らかにすることです。その明らかにすることに道が開かれています。

8.2 STCへの批判に対処する

主観的サーモ通貨が文脈を保持し、隠れたコストを可視化し、累積的非効率を防ぎ、貨幣的な不可能性を排除する方法を確立した今、貧困を生み出すメカニズムを解消するために、私たちは今、合理的な人が提起するであろう深刻な反論に直面しなければなりません。STCは単純な提案ではありません。それは経済的価値の根本的な基盤を象徴的表現から物理的測定に変えることを要求します。このような変革は正当な懐疑を招き、知的誠実さはこれらの懸念に徹底的に対処することを求めます。

STCに対する批判は、STCが理論的な優雅さから実践的な実装に移行するために克服しなければならない本物の課題を表す5つの主要なカテゴリーに分かれます。これらは簡単に反論できるストローマンの反論ではなく、STCフレームワークが直面する最も重要で難しい質問です。

測定：私たちは実際に人間の活動の膨大な多様性にわたってエネルギー消費を十分な精度で測定できるのでしょうか？「1ジュールの節約は1単位の価値に等しい」という理論的な明確さは、実際にそのジュールを信頼性を持って測定できない場合にはほとんど意味がありません。認知エネルギー、感情的労働、創造的な仕事、文脈依存の努力をどのように定量化しますか？必要な測定精度はどの程度で、それは現在または予見可能な技術で達成可能ですか？

主觀性対普遍性：STCは客観的な物理的測定を提供すると主張しますが、エネルギーコストは能力、健康、利用可能なツール、環境条件の違いにより個人間で劇的に異なります。同じ作業が1人に1,000ジュールのコストをかける場合、別の人には5,000ジュールのコストがかかるかもしれません。この変動性はSTCの客観性の主張を損なうのでしょうか？経済システムにおける普遍的な比較可能性の必要性に対して、個々の違いを認識することをどのようにバランスを取りますか？

スケーラビリティと複雑性：エネルギー測定が小規模（単一の人、単一のデバイス、単一のコミュニティ）で機能する場合でも、数十億人、数兆の取引、無数の相互依存を含む現代のグローバル経済の複雑さにスケールできるのでしょうか？計算要件、検証メカニズム、調整の課題は潜在的に圧倒的に思えます。STCの理論的優雅さは実際の複雑さの重みの下で崩壊するのでしょうか？

移行と採用：STCが理論的には完璧に機能し、実践でも機能する可能性があると仮定した場合、私たちはここからそこへどうやって移行するのでしょうか？既存のグローバル金融システムは、その欠陥にもかかわらず、深く根付いています。数兆ドルの資産、数百万の契約、数千の機関、数十億の生計が現在の通貨システムに依存しています。従来の通貨からSTCへの道は、壊滅的な混乱を引き起こさないものでしょうか？現在のシステムがどれほど不完全であっても、親しみやすく機能しているときに、人々や機関を根本的に新しいシステムに採用させるにはどうすればよいでしょうか？

外部性と隠れたコスト：STCは隠れたコストを可視化すると主張しますが、すべての外部性を捉えているのでしょうか？それとも単にどのコストが隠れたままであるかを移転しているだけでしょうか？エネルギー測定は直接的な熱

力学的コストを考慮するかもしれません、環境劣化、社会的混乱、心理的影響、長期的なシステム的結果を見逃すかもしれません。STCは測定可能なエネルギー効率を最適化することで、測定不可能だが重要な価値と損害の次元を無視することによって、新たな搾取の形を生み出す可能性がありますか？

これら5つの批判は相互に関連しています。測定の課題はスケーラビリティに影響を与え、主觀性の問題は移行を複雑にし、隠れた外部性はシステムの完全性の主張を損ないます。各批判は孤立してではなく、他の批判との関連において対処されるべきであり、STCが矛盾に陥ることなくこれらの課題をどのように乗り越えることができるかを示す必要があります。

このセクションで続くのは、反論を防御的に退けるのではなく、真剣に取り組むことです。各批判について、私たちは：

本物の困難を認める：これらは実際の問題であり、想像上の障害ではありません。私たちは各サブセクションを、批判を最も強い形で述べることから始め、その重要性を軽視するのではなく真剣に受け止めます。

現在の解決策とその限界を検討する：従来の経済システムはこれらの問題にどのように対処しているのか？しばしば、現在のアプローチは問題を完全に無視するか、うまく解決できていないことがわかります。既存の失敗を理解することは、STCがより良い結果をもたらすのか、それとも別の問題のセットと交換するだけなのかを評価するのに役立ちます。

STC特有の解決策を提案する：各批判に対処するためにSTCが提供するメカニズム、技術、またはフレームワー

クは何ですか？これらの解決策は具体的で実現可能でなければならず、未来の革新への手を振るようなものではありません。

残された課題と未解決の疑問を特定する：正直な評価には、問題が未解決のままであることや解決策が不確かであることを認めることが必要です。STCは代替手段よりも優れているために完璧である必要はありませんが、その限界については明確でなければなりません。

従来の通貨と比較する：関連する質問は、STCがすべての問題を完璧に解決するかどうかではなく、これらの課題に対して象徴的な通貨システムよりも優れた対処ができるかどうかです。STCの欠点が従来の通貨の欠陥よりも深刻でない場合、それは絶対的な完璧さが達成できなくても進展を意味します。

このセクションの目的は、STCが完璧であることを証明することでも、課題の前に敗北を認めることでもありません。むしろ、STCに対する反論は重要であるものの、克服不可能ではないことを示すことです。そして、それに対処することで、基本的なSTCフレームワークをより堅牢で実用的にするための改良と拡張が明らかになります。

さらに、批判に真剣に取り組むことは重要な機能を果たします：それはSTCを抽象的な理論提案から具体的で実行可能なシステムに変えます。「しかし、Xについてはどうですか？」という質問に答えるプロセスは、メカニズム、測定、機関、手続きについての具体性を強制します。この具体性は、「もし...なら素晴らしいのに」という推測から「実際にこれを行う方法はここにある」という実装への移行に不可欠です。

最後の方法論的ノート：次に続く小節は、最も基本的なもの（測定）から最も実用的なもの（移行）へと順序付けられています。この順序は論理的な依存構造を反映しています—まずエネルギーが測定できることを確立しなければならず、次に主観的な変動がどのように扱われるかを扱います；基本的なシステムを理解した後にそのスケーリングについて議論し、機能するスケールされたシステムを持ってから移行戦略を計画し、そして外部性を評価する前に運用システムを持たなければなりません。ただし、特定の側面に关心のある読者は、各小節が独立して機能するように設計されているため、独立して小節を読むことができます。

最も基本的な課題から始めましょう：測定問題です。STCが要求する精度と信頼性でエネルギー支出を実際に測定できるのでしょうか？

8.2.1 ジュールの測定

主観的熱通貨が直面している最も基本的な課題は、表現は単純に見えるが解決は非常に困難です：経済システムの基礎として十分な精度で人間の活動全体にわたるエネルギー支出を実際にどのように測定するか？これは理論的な質問でも未来の懸念でもなく、STCが優雅なアイデアのままであるか、機能する現実になるかを決定する即時の実践的障害です。

測定問題には複数の次元があります。私たちは、身体的エネルギー（筋肉の収縮、移動、物体の操作）だけでなく、認知エネルギー（注意、意思決定、学習、問題解決）や感情エネルギー（ストレス、フラストレーション、不安、回復）も測定しなければなりません。デスクに座ることからマラソンを走ること、単純な算数を解くことから創造的な革新、個人の孤立から複雑な社会的調整に至るま

で、さまざまな文脈でこれを行う必要があります。そして、人々が自分の貢献と支出を公正に表現するシステムを信頼できるようにするために、十分な測定精度を達成しなければなりません。

批判：測定は不可能に見える

測定批判の最も強い形は次のように進行します：エネルギーが原則として経済的価値の正しい基盤であると認めたとしても、実際の測定は不可能であるか、あまりにも侵襲的で高価であるため、その目的を達成できません。必要なことを考えてみてください：

身体的エネルギー：身体的エネルギーの消費を正確に測定するには、日常生活の中で筋肉の活性化、力の適用、身体の動き、代謝プロセスを継続的に追跡する必要があります。現在の技術は、モーションセンサー、力センサー、心拍数や呼吸からの代謝推定を通じてこれを近似できますが、精度は限られており、機器は扱いにくく、測定は個々の生理、健康状態、環境要因によって容易に混乱します。

認知エネルギー：認知プロセスはさらに問題があります。fMRIのような脳画像技術は、高い空間分解能で局所的な神経活動を測定できますが、大型で動かせない機器が必要で、制御された実験室環境でしか機能せず、日常の認知作業を測定するにはスケールしません。EEGはポータブルですが、全体的な脳の状態の粗い測定しか提供せず、特定の認知操作の細かいエネルギーコストは測定できません。そして、どちらの技術も、十分な信頼性で生産的な認知作業と無駄な思考を区別することはできません。

感情エネルギー：感情的および心理的コストは、おそらく最も困難です。フラストレーションにはどれくらいのジユールがかかりますか？慢性的なストレスのエネルギー

負担や、激しい感情労働の後の回復コストはどのくらいですか？これらの経験は現実的で重要です–医療専門家、教師、ソーシャルワーカーは膨大な感情エネルギーを費やしますが、これらは単純な物理的定量化に抵抗します。

文脈の変動性：たとえエネルギーの種類を独立して測定できたとしても、同じ身体的行動が文脈によって異なるエネルギーコストを持ちます。上り坂を歩くことは下り坂を歩くことよりもコストがかかります；疲れているときのタイピングは休んでいるときよりもコストがかかります；時間的プレッシャーの下での意思決定はリラックスした状況よりもコストがかかります。この文脈の変動を捉えるには、環境と生理的状態を継続的に監視する必要があり、多くの人々が耐えられないほどの侵襲性を伴います。

批判は、STCの「ジユールで価値を測定する」という約束は、将来の技術に対する naive な楽観主義か、技術的に実現可能であっても社会的に受け入れられない監視インフラを要求するものであると結論づけます。伝統的な通貨は、その欠点にもかかわらず、少なくともシンプルさの美德を持っています–価格は誰でも観察できる数字であり、取引は簡単で、検証も簡単です。STCは、測定不可能性のために象徴的な抽象を取りしているようです。

伝統的なシステムが測定をどのように扱うか

STCが測定の課題をどのように解決するかに取り組む前に、伝統的な経済システムが自らの測定問題をどのように扱っているかを調べることは有益です–すべての経済システムは測定の課題に直面しており、それが異なるものであっても。

伝統的な通貨測定：フィアット通貨は測定を完全に回避しているように見えます–お金は単なる口座の数字であ

り、価格は買い手と売り手が合意するものです。しかし、この明らかな単純さは、単に市場メカニズムにアウトソーシングされた膨大な測定の複雑さを隠しています。貨幣経済におけるすべての価格は、相対的な希少性、望ましさ、生産コスト、競争力のダイナミクスに関する暗黙の主張を表しています。これらの測定は、何百万もの取引、価格発見、交渉、市場調整を通じて行われます—驚異的な複雑さを持つ継続的で分散した測定システムです。

さらに、この市場ベースの測定システムは、よく知られた方法で体系的に失敗します：外部性（汚染、社会的混乱、資源枯渇）を測定せず、投機と価値を混同し（バブルやクラッシュを引き起こし）、操作に対して脆弱であり（独占、独占的買い手、情報の非対称性を通じて）、公共財や非市場活動に対して完全に崩壊します。貨幣価格の明らかな単純さは、非常に複雑で根本的に不完全な測定システムを隠しています。

労働時間測定：いくつかの経済理論は、労働時間を価値の普遍的な尺度として提案します。これはお金よりも具体的に思えます—働いた時間を数えるだけです。しかし、即座に問題が生じます：未熟練労働の1時間は熟練した専門知識の1時間と同等ではありません。集中した1時間は、ルーチン作業の完了の1時間と同等ではありません。創造的な問題解決の1時間は、肉体労働の1時間と同等ではありません。そして、感情的に疲れる仕事は、楽しい仕事と同等ではありません、たとえ両方が同じ時計の時間を要しても。

伝統的な労働時間の会計は、賃金差によってこれらの違いを扱います—熟練労働は高い賃金を要求します。しかし、これは再び測定の問題を再導入します：どの乗数を適用すべきかをどうやって決定しますか？答えは通常「市場

が受け入れるもの」であり、これにより市場ベースの測定のすべての問題に戻ります。

効用測定：経済学は時折「効用」を価値の真の尺度として訴えます—人々が商品やサービスから得る満足や幸福です。しかし、効用は測定が非常に難しいことで知られています。対人効用の比較は不可能です（アイスクリームを食べることから得られるあなたの満足は、私が本を読むことから得られる満足と直接比較できません）。対内的な比較でさえ問題があります（私は昨日よりも今の方が幸せですか？どのくらい？）。効用を測定の枠組みとして考えることは理論的には優雅ですが、実際の測定方法論は提供しません。

伝統的な測定アプローチを検討することで得られる教訓は二つあります：第一に、すべての経済システムは困難な測定の課題に直面しています—STCは特有の負担を抱えているわけではありません。第二に、存在する測定システムは見た目よりもはるかに複雑で、不完全で、問題が多いです。問題は、STCが完璧な測定を達成できるかどうかではなく（何もできません）、代替手段よりも良い測定を達成できるかどうかです。

STCの測定戦略：層状近似

STCの測定アプローチは、完璧な測定技術を待つことも、絶望的に粗い近似を受け入れることでもありません。代わりに、エネルギー支出の異なる側面に適した複数の測定方法論を組み合わせた層状戦略を採用し、正確性を維持するために体系的な検証とキャリブレーションを行います：

レイヤー1：直接物理測定：物理的な行動に対して、測定は既存の技術を使用して比較的簡単です。スマート

ウォッチやフィットネストラッカーは、すでに動き、心拍数、カロリー消費を合理的な精度（通常±10%の代謝エネルギー）で測定しています。これらのデバイスは、加速度計を使用して動きを検出し、光学センサーを使用して心拍数を測定し、体重、動きのパターン、生理的信号に基づいてエネルギー消費を推定する検証済みのアルゴリズムを使用しています。

特定の物理的行動のエネルギーコストは、実験室環境で直接測定でき、その後現実の文脈に適用できます：

$$\begin{aligned}E_{\text{keystroke}} &\approx 0.1 \text{ J} \quad (\text{finger extension/flexion}) \\E_{\text{mouse click}} &\approx 0.15 \text{ J} \quad (\text{hand/finger coordination}) \\E_{\text{walking}} &\approx 280 \text{ J/minute} \quad (\text{average adult, flat surface}) \\E_{\text{standing}} &\approx 100 \text{ J/minute} \quad (\text{postural muscle activation})\end{aligned}$$

これらの基準測定値は、個人のキャリブレーションデータを使用して個々の変動に合わせて調整できます。誰かの通常のペースで歩く際の実際のエネルギー消費は、時間をかけて測定され、彼らの個別のキャリブレーションファクターとなります。

レイヤー2：認知プロキシ：直接的な認知エネルギー測定は依然として困難ですが、検証されたプロキシが存在します。タスクの完了時間は認知エネルギー消費と強く関連しています。難しい認知作業は時間がかかり、脳のエネルギーを多く消費します。認知負荷は、瞳孔の拡張（精神的努力に伴い増加する）、まばたきの頻度（集中している間に減少する）、およびタイピングパターン（認知的負荷の下で不規則になる）から推定できます。

さらに、特定の認知操作は、脳の画像診断とカロリメトリーを組み合わせた実験室環境で測定され、エネルギーの基準が確立されています：

$E_{\text{simple decision}} \approx 2-5 \text{ J}$ (binary choice, clear options)

$E_{\text{complex decision}} \approx 10-30 \text{ J}$ (multiple factors, uncertainty)

$E_{\text{focused attention}} \approx 1.5 \text{ J/second}$ (sustained concentration)

$E_{\text{memory retrieval}} \approx 3-8 \text{ J}$ (accessing specific memory)

これらの実験室測定値は、タスク分析を使用して実世界の文脈にスケールアップできます。複雑な認知作業を基本的な操作（意思決定、注意期間、記憶の引き出し、問題解決のステップ）に分解し、それぞれのコストを推定して合計します。

レイヤー3：感情エネルギー評価：感情的および心理的コストは直接測定するのが最も難しいですが、生理的信号（心拍変動はストレスを示す）、行動パターン（感情的負荷の下で意思決定の質が低下する）、および自己報告（人々は仕事が感情的に疲れるときに信頼性を持って示すことができるが、ジュールを定量化できない場合でも）を組み合わせることで評価できます。

STCは感情エネルギーに対して階層的アプローチを使用します：

人口平均：大規模な調査と生理的モニタリングを通じて、さまざまな作業タイプの基準感情コストを確立します。医療従事者はXの平均感情強度を報告し、教師はYを報告し、カスタマーサービス担当者はZを報告します。これらの人口平均は初期の推定値を提供します。

個別キャリブレーション：時間が経つにつれて、個人は生理的反応、行動パターン、および明示的なフィードバックに基づいて個人プロファイルを発展させます。誰かの特定の状況に対する典型的なストレス反応は、彼らのキャリブレーションされた基準となります。

比較検証：同様の状況における身体的および認知的コストに対して感情エネルギーの推定値をクロスチェックします。誰かがタスクが非常に感情的に消耗したと主張しても、対応する生理的ストレス信号が示されず、同様のタスクを苦情なしに定期的に完了する場合、感情的コストの推定値はおそらく膨らんでいます。

コンテキスト対応測定：ARとAIの役割

STC測定における変革的要素は、文脈を認識するシステム-主にコンピュータビジョンとAIを組み合わせたARスマートグラスです。これらのシステムは、あなたが何をしているかを観察し、文脈を理解し、侵襲的な生理的モニタリングを必要とせずに活動認識に基づいてエネルギーコストを推定できます。

簡単な例を考えてみましょう：コーヒーを作ること。コンピュータビジョンを搭載したARシステムは、次のことを認識できます：

実行されたアクション：キッチンに歩く（5メートル→移動エネルギー）、コーヒーメーカーに手を伸ばす（操作エネルギー）、水タンクを満たす（操作+認知計画）、コーヒー豆を測る（精密操作+決定）、抽出サイクルを開始する（ボタン押下）、待機する（最小エネルギー）、カップを取り出す（操作）、注ぐ（精密操作）。

文脈要因：時間帯（疲れているときはエネルギーコストが高くなる）、キッチンのレイアウト（効率的な組織対非効率的な組織）、機器の品質（操作が簡単対難しい）、同時活動（マルチタスクは認知負荷を増加させる）。

総エネルギーコストは次のように推定できます：

$$E_{\text{coffee}} = E_{\text{locomotion}} + E_{\text{manipulation}} + E_{\text{cognitive}} + E_{\text{context_adjustment}}$$

$$E_{\text{coffee}} \approx 70 + 30 + 15 + 10 = 125 \text{ J}$$

さて、誰かが次のようなコーヒーメーカーを発明したとしましょう：（1）音声操作、ボタン押下を排除；（2）明確な測定指標があり、決定エネルギーを減少；（3）人間工学的にアクセスしやすい最適な位置に配置されています。改善された機器で同じ作業を行うと：

$$E_{\text{coffee_improved}} \approx 70 + 20 + 5 + 5 = 100 \text{ J}$$

発明者は、コーヒーを作るごとに25ジュールの節約を実現しました。もし100万人がこの改善されたコーヒーメーカーを毎日使用するなら、1日あたり2500万ジュール（25 MJ）のエネルギー節約、年間約9ギガジュール（9 GJ）になります。STCの下で、発明者はこれらの検証された節約に比例した経済的クレジットを受け取ります。

重要な洞察は、AR/AIシステムは侵襲的センサーで内部生理を測定する必要がないということです。彼らは観察可能な行動を測定し、検証されたモデルを使用してエネルギーコストを推測します。測定は近似的ですが、体系的で、キャリブレーションされ、検証可能です—完璧ではなくても経済的会計には十分です。

検証とキャリブレーション

STC測定において重要なのは、真実のデータに対する継続的な検証と精度を維持するためのキャリブレーションです。これは複数のメカニズムを通じて行われます：

ラボ検証：精度の専門家（第6章で説明）による制御された実験室研究が、特定の行動のエネルギーコストを測定するために、間接熱量測定法による代謝エネルギー、機械的作業のためのフォースプレート、認知コストのための脳

画像法を使用して行われます。これらの実験室測定は、フィールドシステムが参照として使用するベースラインモデルを確立します。

フィールド検証：実世界の測定精度は比較研究を通じて検証されます。ユーザーの一部が包括的なモニタリング機器（研究用センサー）を装着しながら、標準のSTC測定システムを使用します。二つを比較することで、経験的な精度評価が行われ、修正が必要な体系的な誤りが特定されます。

クロスバリデーション：異なる測定アプローチ（ウェアラブルセンサー、AR観察、自己報告、行動推測）が同じ活動に対して比較されます。方法間での一貫した結果は信頼性を高め、相違点は調査と洗練を促します。

人口キャリブレーション：何百万もの人々がSTCシステムを使用する中で、人口レベルのパターンが現れます。外れ値を特定できます – 誰かの報告されたエネルギーコストが類似の活動に対する人口平均の3倍である場合、彼らは個別のキャリブレーションを必要とする異常な生理学を持っているか、測定が不正確で調整が必要です。

修正ベースのキャリブレーション：Knowledge Hooksに組み込まれた修正メカニズムは自然なキャリブレーションを提供します。自動システムが100 Jを節約すると主張しているが、ユーザーが頻繁に修正する場合（主張通りに機能していないことを示す）、実際の節約は予測よりも低くなります。このフィードバックループは、実際の結果に基づいてエネルギー推定を継続的に洗練します。

許容可能な精度の閾値

重要な質問：STCが機能するためには、測定はどれほど正確でなければならないか？完璧な精度は達成不可能であ

り、必要でもありません。重要なのは、測定が次のようにあることです：（1）体系的に偏りがない（誤りが特定の当事者を優遇しない）、（2）ほとんどの取引が公正であるのに十分な精度、（3）キャリブレーションを通じて時間とともに改善可能であること。

従来の通貨測定を考えてみましょう。ガソリンを購入する際、ポンプは体積を測定しますが、その精度はどうでしょうか？商業用燃料ポンプは±0.3%（10リットルあたり約30ml）の精度が求められています。ほとんどの電子スケールは±0.1%の精度を持っています。現金取引は最寄りのセントに丸められます。これらの測定は完璧ではありませんが、商取引がスムーズに機能し、争いが稀であるには十分です。

STCにとって、比較可能な精度の閾値は次のようになるかもしれません：

物理エネルギー：±10%の精度（現在のフィットネストラッカーと同等）。100 Jのコストがかかる行動の場合、90-110 Jの間の測定が許容されます。

認知エネルギー：±20%の精度（測定の難しさを考慮）。50 Jの認知作業に対して、40-60 Jの測定が許容されます。

感情エネルギー：±30%の精度（測定が最も難しい）。200 Jの感情労働に対して、140-260 Jの測定が許容されます。

これらの誤差範囲は大きく見えるかもしれません、従来の経済測定における不確実性と比較すると同等かそれ以上です。誰かがエンターテインメントから得る「価値」、製造による汚染の「コスト」、公共教育の「利益」を測定しようとする考えでみてください。従来の経

済測定には、私たちが単に対処することを学んできたはるかに大きな不確実性が含まれています。

さらに、STC測定は時間とともに改善されます。キャリブレーションデータが蓄積されるにつれて、個別化されたモデルがより正確になります。測定技術が進歩する（より良いセンサー、より洗練されたAI、エネルギー代謝の理解が向上する）につれて、系統的な誤差は減少します。システムは静的なままではなく、徐々に改善されていきます。

プライバシーを保護する測定

普遍的なエネルギー測定に関する正当な懸念はプライバシーです。STCシステムがエネルギーコストを測定するためにすべての活動を監視しなければならない場合、これは前例のない監視インフラを生み出すことになりませんか？

STCは、建築的選択を通じてプライバシーに対処します：

ローカル処理：エネルギー推定は、集中型クラウドシステムではなく、デバイス上（ARメガネ、スマートフォン、ローカルコンピュータ）で行われます。生のセンサーデータはデバイスから出ることなく、集計されたエネルギーの要約のみが記録されます。

差分プライバシー：エネルギー測定は、個人のプライバシーを保護しながら、人口規模での統計的精度を維持するために制御されたノイズ追加で報告できます。あなたは、何をしたかを正確に明らかにすることなく、約Xジユールを節約したことを証明できます。

選択的開示：ユーザーは測定報告の粒度を選択できます—精度が重要な活動には詳細を、プライバシーに敏感な

文脈には集計を。あなたは、仕事のタスクに対する正確なエネルギーコストを報告し（報酬がそれに依存する場合）、個人的な活動に対してはおおよその日次合計のみを報告するかもしれません。

暗号化された検証：ゼロ知識証明システムは、エネルギー測定が正確であることを確認することを可能にしますが、その測定を生成した根本的な活動を明らかにすることはできません。監査人は「この人は今日 1000 J を節約した」と確認できますが、「彼らはコーヒーを作り、店に歩き、メールを書いた...」を見ることはできません。

プライバシーアーキテクチャは、エンドツーエンドの暗号化メッセージングが機能する方法に似ています—インフラストラクチャは交換を促進するために存在しますが、内容はプライベートのままです。STC インフラストラクチャは、中央当局が個々の活動を観察することなくエネルギー会計を促進します。

残された課題と研究の方向性

これらの解決策にもかかわらず、重要な測定の課題が残っています：

個人差：人々は基礎代謝、身体能力、認知能力、感情的なレジリエンスにおいて異なります。ある人に 100 J のコストがかかる場合、別の人には年齢、健康、障害、遺伝のために 150 J かかることがあります。これらの違いを正規化すべきか（すべての人が同じ能力を持っているかのように扱う）それとも保存すべきか（真のコストの変動を認識する）？これは次の小節で扱われる主觀性と普遍性の批判に関連しています。

長期的な影響：エネルギー支出には即時のコスト（今燃焼したジュール）と長期的な影響（蓄積された疲労、ス

ストレスによる健康問題、将来のコストを削減する学習)が存在します。現在の測定は主に即時のコストを捉えています。長期的な影響を正確に考慮するには、高い信頼性を持つ縦断的研究と予測モデルが必要です。

創造的および知的な作業：科学的発見、芸術的創造、哲学的洞察など、最も価値のある人間の活動のいくつかは、単純なエネルギーの定量化に抵抗します。画期的なアイデアは、最小限のエネルギーを消費したインスピレーションの瞬間に到達するかもしれません、高エネルギーの準備が数日間続いた後に、非生産的に見えることがあります。STCは本当に創造的な作業をどのように測定し、補償すべきでしょうか？

集団活動：複数の人が協力する場合、エネルギーコストをどのように帰属させるのでしょうか？三人と一緒に働き、個々の誰かが単独で達成できるよりも効率的に何かを達成した場合、各自はどれだけのクレジットを受け取るのでしょうか？集団の文脈での個々の貢献の測定は、従来の経済学でも複雑であり、STCでも依然として課題です。

快樂的適応：人々は改善された状況に適応し、かつては努力を要したことがルーチンになります。自動化がタスクの認知負荷を50 Jから5 Jに減少させた場合、適応後にはその5 Jの支出が以前の50 Jと同じくらい努力を要するように感じるかもしれません。測定は絶対的な物理的コストを追跡すべきか、それとも努力の主観的な経験を追跡すべきでしょうか？

これらの課題は測定を不可能にするわけではありませんが、エッジケースや曖昧な状況に対処する方法についての継続的な研究、実験、社会的合意が必要な領域を示しています。

従来の通貨測定との比較

元の批評に戻ると、私たちは今、公平な比較を行うことができます。STC測定は従来の通貨測定よりも難しいのでしょうか？

従来の通貨：単純に見える（ただの数字）ですが、実際には供給、需要、生産コスト、競争ダイナミクス、消費者の好み、そして市場メカニズムを通じた無数の他の要因の継続的かつ分散した測定が必要です。これらの測定は暗黙的で調整されておらず、操作に対して脆弱であり、体系的に不完全です（外部性、公共財、市場外の価値が欠落しています）。さらに、従来の通貨測定はしばしば間違っており、バブルやクラッシュは価格が基礎的な価値と失われる壮大な測定の失敗を示しています。

STC：センサー、AI、キャリブレーションを使用してエネルギーコストの明示的な測定が必要です。これは技術的に難しいですが、現代の機器（スマートフォン、ウェアラブル、ARメガネはすでに存在します）で実現可能になりつつあります。測定は明示的で監査可能で、キャリブレーションを通じて改善可能であり、集合的な心理ではなく物理的現実に基づいています。完璧ではありませんが、透明性、正確性、完全性において従来の価格メカニズムよりも体系的に優れています。

正直な評価：STC測定は難しいですが、従来の測定も難しいです—私たちはその困難さと失敗に慣れてしまっただけです。STCは別の、潜在的により良い測定の課題に置き換えています。この取引が価値があるかどうかは、STCの明示的で物理学に基づく測定が従来の通貨の暗黙的で市場に基づく測定よりも信頼性が高いかどうかに依存します。ウェアラブル技術、スマートホームシステム、ARアプリ

ケーションからの初期の証拠は、技術が成熟しており、体系的なテストを開始できることを示唆しています。

結論：測定は実現可能です

STCの測定批評は深刻ですが致命的ではありません。はい、すべての人間の活動におけるエネルギー支出を測定することは難しいです。しかし、それは不可能ではなく、現代の技術（センサー、AI、AR）はますます実用的にしています。測定は完璧である必要はありません—ほとんどの取引が公正で、恣意的ではなく体系的であり、時間とともに改善可能であることが重要です。

従来の通貨は、外部性、公共財、そして価値の多くの重要な次元を測定することに体系的に失敗する不透明な市場メカニズムに困難な作業をアウトソーシングすることで、測定の単純さの幻想を生み出します。STCは測定を明示的かつ直接的にし、見た目は難しいですが、実際にはより誠実で最終的にはより正確です。

前進する道は、完璧な測定技術を待つことではなく、現在の能力で体系的なテストを開始し、キャリブレーションプロトコルを確立し、真実のデータに対して検証し、技術が改善されるにつれて継続的に洗練されることです。これは、従来の経済測定が発展した正確な方法です—何世紀にもわたる実験、標準化、洗練を通じて。STCも同じ進化の道を辿ることができますが、より堅固な物理的基盤から始まります。

もし測定が制約要因であるなら、STCは測定が最も容易な領域（明確なエネルギー・シグネチャーを持つデジタル活動）から始め、測定が改善されるにつれてより難しい領域（創造的な作業、感情労働）に拡大できます。測定可能な領域での部分的な実施は依然として進展であり、すべての

経済活動にわたる完全な実施にはより長い時間が必要であっても。

測定の課題は現実ですが、克服可能です。そして代替案は、価値を体系的に誤って測定する象徴的通貨システムを続けることであり、これは不完全ですが改善可能な物理的測定よりも明らかに優れているわけではありません。

8.2.2 主観性対普遍性

主観的熱通貨に初めて出会ったとき、しばしば根本的な誤解が生じます。人々は「主観的」という言葉が「相対的」または「誰にでも異なる」を意味すると仮定します。この混乱は、STCが主観的でありながら普遍的であることができないという批判につながります。測定が主観的であれば、人々の間で恣意的に変動し、システムの客観的な物理的基盤への主張を損なうはずです。この批判は、STCの文脈における主観性の意味についての深い誤解に基づいています。

主観性は相対主義を意味しません。それは視点を意味します。視覚が主観的な体験であるように–あなたは自分の目から見て、私は自分の目から見ます–それでも私たちはこのリンゴが赤いこと、そしてその葉が緑であることには同意します。STCの測定は、各人の個人的なデバイスを通じて第一者の視点から経験され、記録されるため主観的ですが、エネルギーの値自体は客観的で普遍的、物理的に基づいています。測定は一つだけであり、異なる主観的な視点から経験されます。

批判：視点と相対主義を混同すること

誤った批判は通常次のように進みます。「もしSTCが主観的であれば、エネルギーコストは各人の感情や意見に基

づいて異なるはずです。しかし、これはシステムを恣意的にし、調整不可能にします。同じ行動が誰が行うかによって異なるエネルギーコストを持つ経済をどうやって持つことができますか？そして、もしSTCがこれらの違いを標準化するなら、それは物理的測定への主張を放棄することになりますか？いずれにせよ、主観性と普遍性は互換性がありません。」

この批判は、主観的熱通貨における「主観的」の意味を誤解しているため失敗します。この用語は、相対的または意見に基づく価値を指しているのではなく、測定が行われる第一者の、文脈を意識した視点を指します。

STCにおける主観性の実際の意味

哲学において、「主観的」は第一者の視点からの体験を指します–あなたであること、特定の視点から現実を体験することがどういうことか。これは、特定の観察者の視点から独立して現実を説明しようとする「客観的」な第三者の記述とは異なります。

重要なのは、主観的であることは恣意的または相対的であることを意味しないということです。視覚を考えてみてください：見ることは主観的な体験です。あなたは自分の目を通して、あなたの位置から、あなたの視覚システムで見ます。私は自分の目を通して見ます。それでも、この主観性にもかかわらず、私たちは色、形、物体について合意します。私たちが両方とも赤いリンゴを見ると、私たちは両方とも赤いと見ます。体験は主観的ですが（私たちそれぞれが自分の視覚体験を持っています）、内容は客観的です（リンゴの反射スペクトルは私たちの観察とは独立した物理的事実です）。

STCはまさにこの原則に基づいて運営されています。エネルギーの測定は主観的であり、各人の拡張された視点から個人のデバイス（ARメガネ、スマートフォン、ウェアラブル、コンテキスト対応センサー）を通じてキャプチャされます。これらのデバイスはあなたの感覚器官の延長を形成し、周囲のエネルギーフローの拡張された認識を提供します。あなたは自分の視点からエネルギーを測定し、私は自分の視点から測定します。しかし、私たちが測定するものは同じ客観的な物理的現実です：行動やプロセスで消費されるジューールのエネルギーです。

拡張された知覚：デバイスを拡張された感覚として

STCを主観的かつ普遍的にする重要な革新は、コンテキスト対応デバイスを通じた拡張された知覚です。あなたの目が客観的な物理的現実（電磁スペクトル）への主観的な視覚アクセスを提供するように、あなたのARメガネと接続されたセンサーは客観的な熱力学的現実への主観的なエネルギーアクセスを提供します。

あなたが行動を行うとき—部屋を歩く、メールを打つ、食事を作る—あなたのデバイスはコンテキストスナップショットをキャプチャします：あなたの位置、動き、生理的状態、あなたが相互作用する物体、環境条件。これらのスナップショットから、システムは周囲の現象のエネルギー消費を計算します：

$$E_{\text{action}} = f(\Sigma_{\text{context}}, \text{physics_models}, \text{calibration_data})$$

この計算は、あなたの主観的な視点から、あなたのデバイスのセンサーと処理を使用してローカルに行われます。しかし、関数 f は誰にとっても同じです—それは普遍的な物理法則（生体力学、熱力学、情報理論）を実装しま

す。その結果は、あなたの主観的な視点から測定された客観的なエネルギー値です。

視覚へのアナロジーは正確です：あなたの目は、あなたの位置から網膜センサーを使用して光子を測定します。測定は主観的です（あなたの特定の視覚体験）。しかし、光子の波長と強度は客観的な物理的特性です。同様に、あなたのデバイスはあなたの位置からコンテキストセンサーを使用してエネルギーを測定します。測定は主観的です（あなたの特定のエネルギー体験）。しかし、ジュールの値は客観的な物理的量です。

普遍的な物理学、分散測定

このシステムが主観的な測定にもかかわらず普遍的である理由は、誰もが同じ物理モデルを使用しているからです。筋肉の収縮、力の適用、移動距離、エネルギー消費の関係は普遍的な生体力学の方程式によって説明されます。あなたが部屋を横切って歩き、あなたのデバイスが280ジュールのエネルギー消費を計算し、私が同じ部屋を横切って歩き、私のデバイスが280ジュールを計算する場合、私たちはそれぞれの主観的な測定装置を通じて同じ物理的現実にアクセスしています。

エネルギー計算は次のようにになります：

$$E_{\text{walking}} = m \times g \times d \times \eta^{-1} \times f_{\text{terrain}} \times f_{\text{speed}}$$

ここで、 m は体重、 g は重力加速度（ 9.8 m/s^2 ）、 d は距離、 η は効率係数、 f は文脈要因です。この方程式は普遍的です—同じ物理がすべての人に適用されます。しかし、各人のデバイスは m 、 d 、地形、速度の自分の測定値を入力し、個別化されたが客観的な結果を得ます。

同じ質量の2人が同じ地形を同じ速度で同じ距離を歩くと、測定誤差の範囲内で同じエネルギー消費量を測定します。主觀性は測定が行われる視点にあり、測定された値にはありません。異なる角度から同じ赤いリンゴを見ている2人がそれぞれ赤を見ているのと同様に（彼らの正確な視覚体験は異なりますが）、同じ行動を行う2人は同じエネルギーコストを測定します（それぞれのデバイスから測定しているにもかかわらず）。

コンテキストスナップショットと物理計算

主觀的視点が客觀的測定を生み出すメカニズムは、個人デバイスによってキャプチャされた関連物理変数の包括的な記録であるコンテキストスナップショットを通じて行われます。コンテキストスナップショットには次のものが含まれる場合があります：

物理状態：身体の位置、動きの速度、筋肉の活性化パターン（ウェアラブルセンサーから）、心拍数、呼吸、温度

環境コンテキスト：場所、地形の種類、周囲の温度、空気の質、照明条件、障害物と経路

物体の相互作用：どの物体が操作されているか、それらの質量と材料特性、加えられた力、移動した距離

タスク構造：どの目標が追求されているか、どのサブアクションが必要か、意思決定ポイント、認知負荷の指標

この豊富なコンテキストデータから、物理ベースのモデルがエネルギー消費を計算します。この計算は決定論的であり、同じスナップショットデータが与えられれば、計算は誰のデバイスが実行しても同じエネルギー値を出しま

す。主觀性はデータのキャプチャにあり（あなたのデバイスがあなたのコンテキストを記録します）、計算にはありません（普遍的な法則に従います）。

これは、伝統的な経済学における主觀的価値とは根本的に異なります。そこで「このリンゴは私には2ドルの価値があるが、あなたには3ドルの価値がある」というのは、価値に関する本物の意見の相違を反映しています。STCでは、「この行動は私に280ジュールのコストがかかった」というのは、個人的な評価に関する主張ではなく、拡張された知覚を通じてアクセス可能な物理的現実の測定です。 \$2 \$3

個人の変動：主觀性ではなく、物理的現実

混乱の正当な原因：人々は体重、フィットネス、健康、年齢、障害、利用可能なツール、その他数え切れない要因の違いにより、同じ作業に対して異なるエネルギーを費やすことがあります。これはエネルギーコストを相対的な意味で主觀的にするのではないでしょうか？

いいえ。この変動は主觀的な視点ではなく、客觀的な物理的現実です。Aさん（若くて運動能力が高く、70kg）が1キロメートル歩くのに280ジュールを費やし、Bさん（高齢で怪我から回復中、90kg）が同じ1キロメートルを歩くのに450ジュールを費やす場合、両方の測定は客觀的で正しいです。この違いは、実際の物理的な違いを反映しています—異なる質量、異なる機械的効率、異なる代謝状態。これらは測定可能で検証可能な物理的事実であり、意見や視点ではありません。

混乱が生じるのは、両方の人が自分の主觀的な視点から行動を体験し、個人のデバイスで測定するからです。しかし、彼らが測定するものは客觀的です：Aさんは本当に

280Jを費やしました；Bさんは本当に450Jを費やしました。主觀性は測定装置と視点にあり、値そのものにはありません。

明確に区別するために、類似の例を考えてみましょう：Aさんが建物の一方の側に立ち、Bさんが反対側に立つと、彼らは異なるファサードを見ます。彼らの視覚的体験は主觀的（第一人称の視点）ですが、彼らが見るものは客觀的（建物の実際の構造）です。建物には一つの客觀的な構造があり、複数の主觀的な視点からアクセスされます。

同様に、行動にはAさんにとって一つの客觀的なエネルギーコストがあり、Bさんにとっては異なる客觀的なエネルギーコストがあります。それぞれは彼らの主觀的な視点から測定されます。主觀性は測定の視点にあり、普遍性はエネルギー消費を支配する物理法則にあります。

主觀的合意と検証

主觀的な測定が客觀的現実に収束することをどうやって知るのでしょうか、それとも互換性のない個人的な現実に分岐するのでしょうか？それは主觀的合意を通じて-科学を可能にする同じメカニズムです。

複数の観察者がキャリブレーションされた機器で同じ現象を測定すると、彼らは一貫した結果を得ます（測定誤差内で）。ARグラスを持つ10人が誰かが部屋を横切るのを見ていると、彼らのデバイスはほぼ同じエネルギー消費を計算します。この合意は、彼らが主觀的な解釈を投影するのではなく、客觀的現実を測定していることを確認します。

不一致が生じた場合（あるデバイスが同じ行動に対して280Jを報告し、別のデバイスが320Jを報告する場

合)、調査により誤差の原因が明らかになります：キャリブレーションのドリフト、センサーの故障、文脈データの欠如、適切に考慮されていない環境要因。これらの誤差を修正することで、測定が整合します。このプロセス-不一致に気づき、原因を調査し、測定を洗練すること-は、主観的な測定にもかかわらず科学的客觀性が確立される方法です。

精密専門家の役割（第6章で議論）はこちらで重要です。これらの専門家は測定方法論を検証し、異常な主張を監査し、主観的な測定装置が客觀的な結果を得るために適切にキャリブレーションされていることを保証します。彼らは伝統的な科学における計測ラボのように機能し、基準を確立し、分散した主観的観察者間で測定の一貫性を確保します。

従来の通貨との比較：真の主觀性

皮肉なことに、従来の通貨は実際にはSTCが持たない問題的な意味で主観的に相対的です。従来の通貨では、価値は人々の間で実際に異なる主観的な好みによって決まります：私はコンサートのチケットを100ドルの価値があると考え、あなたは30ドルの価値があると考えるかもしれません、私たちのどちらも客觀的には正しくありません。価格はこれらの異なる主観的評価の間の交渉から生じ、客觀的な真実は存在しません。 \$100 \$30

これは真の相対主義です-価値は人、文脈、気分、マーケティング、社会的圧力、そして交換される商品の物理的特性とは無関係な無数の他の要因によって変わります。従来の通貨の観点から「これはいくらの価値があるのか」という普遍的な答えはなく、「誰かがいくら払うか」というだけであり、それは常に変化します。

STCは価値を物理的なエネルギー支出に基づかせることでこの相対主義を排除します。もはや「あなたはこれをいくらの価値があると考えますか」（真に主観的）ではなく、「これにはどれだけのエネルギーが必要でしたか」（客観的事実、主観的測定を通じてアクセスされる）という質問になります。誰もが拡張された知覚を通じて同じエネルギー値に収束できるのは、それらの値が個人的な好みではなく物理的現実を反映しているからです。

従来の通貨は客観的であるふりをしながら、実際には主観的に相対的です。STCは主観的に相対的に見えますが、実際には客観的に基づいています。この逆転は明らかな矛盾を解決します。

拡張された知覚の認識論

より深い哲学的レベルでは、STCは熱力学的現実の拡張された知覚を表す認識論的革新です。人間は自然に電磁放射（視覚）、空気圧波（聴覚）、分子の形（味/嗅覚）、および機械的力（触覚）を知覚します。私たちはエネルギーの流れ、エントロピーの変化、または熱力学的勾配を自然に知覚することはできません—これらは科学がそれらを測定するための器具を開発するまで人間の経験には見えませんでした。

STCデバイスは人間の知覚を熱力学的領域に拡張します。望遠鏡が視覚的知覚を宇宙の距離に拡張し、顕微鏡が微視的スケールに拡張したように、ARメガネやコンテキスト認識センサーは仕事、努力、効率の領域にエネルギー的知覚を拡張します。以前は見えなかつた（行動のエネルギーコスト）が、拡張された感覚を通じて直接知覚可能になります。

この拡張された知覚は主観的です（あなたはデバイスを通じて自分の第一人称の視点からそれを体験します）が、客観的現実を明らかにします（物理学によって説明される実際のエネルギーの流れ）。主観性は知覚を可能にし、物理法則の普遍性は知覚されるものが客観的であることを保証します。

これはサイエンスフィクションではなく、人類の知覚の技術的拡張の自然な継続です。私たちはすでに無補助の感覚では見えないラジオ波、赤外線放射、超音波、磁場、そして無数の他の現象を知覚するための器具を使用しています。STCはこの拡張を熱力学的知覚にまで広げ、エネルギーコストを色と同じように直接観察可能にします。

実用的な影響

STCの主觀性が相対主義ではなく視点を意味することを理解することは、重要な実践的影響を持ちます：

正規化の必要なし：測定は客観的であるため（たとえ主観的に捉えられたとしても）、測定の視点における個人差を正規化したり調整したりする必要はありません。あなたのデバイスはあなたのエネルギーコストを正確に測定し、私のデバイスは私のエネルギーコストを正確に測定します。物理的現実が異なるとき、値は異なります（あなたは私よりも同じ作業に対して多くのエネルギーを消費しますが、物理的な違いによるものです）、しかし両方の測定はそれぞれの状況に関する正しい客観的事実です。

自動検証：相互主観的合意は自然な検証を提供します。あなたのデバイスが比較可能な活動に対して他のすべてのデバイスと大きく異なるエネルギーコストを報告する場合、それは測定エラー やキャリブレーションの問題を示し、正当な主観的差異ではありません。システムは客観

的な値への収束を期待しているため、自動的に異常をフラグできます。

普遍的交換：エネルギー測定は客観的であるため（主観的に捉えられたとしても）、普遍的に交換可能です。あなたはエネルギークレジットで私に支払うことができ、あなたのデバイスで測定された1ジュールは私のデバイスで測定された1ジュールに等しいことを知っています—私たちとは異なる視点から同じ物理量を測定しています。この普遍的な交換可能性がSTCを実行可能な通貨にしています。

分散型信頼：従来の通貨は、価値を維持し、偽造を防ぐために中央集権的な権限を必要とします。価値が主観的に決定されるためです。STCはエネルギー測定が客観的な物理学に基づいているため、より分散型にすることができます—ジュールの価値を宣言するために中央権限は必要ありません；物理学がそれを普遍的に行います。

残された反論への対処

反論：『しかし、測定デバイスは完璧ではありません。同じ行動に対して異なるデバイスが異なるエネルギー値を計算するかもしれません。これは主觀性を再導入しませんか？』

回答：測定エラーは主觀性ではありません。2つの温度計が同じ部屋の温度をわずかに異なる値で示す場合（1つは 21.0°C 、もう1つは 21.2°C ）、これは温度が主觀的であることを意味するのではなく、測定には限られた精度があることを意味します。解決策はキャリブレーションであり、客観的測定を放棄することではありません。エネルギーコストも同様です：キャリブレーションプロトコル

は、デバイスの測定が許容誤差の範囲内で正しい値に収束することを保証します。

反論：『感情的または認知的エネルギーはどうですか？物理的エネルギーコストが同じであっても、困難の主観的経験は異なりませんか？』

回答：困難の主観的経験は確かに変動しますが、これはエネルギーコストとは別の問題です。STCは消費されたエネルギーを測定し、その支出に関する主観的な感情を測定するものではありません。2人が認知的タスクに対してそれぞれ50,000ジュールを消費するかもしれません；1人はそれを快適だと感じ、もう1人はストレスを感じます。STCは両方に対して50,000ジュールを記録します。なぜなら、それが客観的なエネルギーコストだからです。主観的な経験は他の理由（福祉、労働条件）にとって重要ですが、エネルギーの会計を変えることはありません。

異議：「誰が正当なエネルギー支出と無駄を決定するのか、もし皆が自分の視点から測定するなら？」

回答：物理学が決定します。効率的な代替手段が存在するのに意図的に非効率的な方法を使用する場合、あなたのデバイスは依然としてあなたが消費した余分なエネルギーを正確に測定します—それは客観的な事実です。その余分が補償されるべきかどうかは、測定の妥当性ではなく社会政策に関する別の質問です。測定自体は客観的です；何を報酬するかの決定は規範的です。

結論：視点は客觀性を損なうのではなく、可能にする

STCにおける主觀性と普遍性の間の明らかな緊張は、主觀性が相対主義ではなく視点を指すことを理解すれば解消

されます。測定は主観的に捉えられます（個人のデバイスを通じた第一人称の視点から）が、客観的な値を生み出します（普遍的な法則によって決定される物理的エネルギー量）。

これは矛盾ではなく、すべての経験的知識の通常の構造です。科学は、客観的な真実（再現を通じて検証された普遍的な法則）に収束する主観的観察（個々の科学者が機器を使用する）を通じて進展します。STCは経済測定に同じ認識論的構造を適用します—調整された機器を使用して客観的な物理量を測定する分散した主観的観察者。

STCが主觀性と普遍性の間で選択しなければならないという批判は、カテゴリー エラーを犯しています。主観的な視点は、私たちが普遍的な物理現実にアクセスする方法です。あなたの目（主観的）は色（客観的）を見せます。あなたのデバイス（主観的）はエネルギーの流れ（客観的）を示します。主觀性はアクセスメカニズムにあり、アクセスされる内容にはありません。

主観的視点と客観的測定のこの組み合わせは、STCの最大の強みです。それは、システムを一貫性と公正さを保ちながら、熱力学的現実の分散した強化された知覚を可能にします。誰もが自分の視点から測定しますが、誰もが同じ客観的な宇宙を測定します—私たち全員が同じ赤いリンゴを見るように、私たちそれが自分の目を通してそれを見るのです。

8.2.3 スケーラビリティと複雑性

8.2.4 移行と採用の課題

8.2.5 外部性と隠れたコスト

9

エネルギーと価値理論

エネルギー最小化による価値の定義

9.1 普遍的価値としての最小エネルギーの法則

すべてのシステム、生命体または技術的なものは、基本的な原則に従います：それらはエネルギー支出を最小化する状態に進化します。主観的熱通貨において、この原則は価値の基盤となります。

価値とエネルギーの関係は、基本的な方程式を通じて表現できます：

$$V = f(E_{\min})$$

ここで、 V は価値を、 E_{\min} は主観的相互作用を通じて最小化されたエネルギーを表します。言い換えれば：価値は、より多くの財を生産したり、より多くの富を蓄積したりするのではなく、より少ないエネルギー支出で同じ結果を達成するためのより効率的な方法を見つけることによって創造されます。

この原則は存在のあらゆるスケールで機能します。量子レベルでは、粒子は基底状態に落ち着きます–可能な限り低いエネルギー構成です。化学では、反応はエネルギーを放出するか全体のエントロピーを増加させるときにのみ自発的に進行します。生物学では、進化はより効率的な代謝、より洗練された体型、エネルギーの無駄を最小化する行動を持つ生物を好みます。

この視点から見ると、人間の経済は単にエネルギーの流れを整理するシステムです。従来の経済学は、金銭を仲介者として導入することによってこの真実を曖昧にしまし

た–操作可能で、蓄積でき、象徴的なものであり、実際に表す物理的現実から切り離されています。STCは、宇宙自体が使用する通貨であるジュールで価値を直接測定することによって、この歪みを取り除きます。

反復作業を自動化するとき、私たちはそれを達成するために必要なエネルギーを削減しています。より効率的なアルゴリズムを設計するとき、私たちは計算エネルギーを最小化しています。文脈に基づいて私たちのニーズを予測するツールを作成するとき、私たちは手動入力の認知的および物理的エネルギーを排除しています。これらの改善のそれぞれは、実際に測定可能な価値を生み出します–ドルではなく、節約されたジュールで。

最小エネルギーの法則は単なる記述的なものではなく、処方的なものです。それは、システムがどのように振る舞うべきかだけでなく、効率と持続可能性を最大化するためにどのように振る舞うべきかを教えてくれます。エネルギーの無駄をエネルギーの保存よりも報いる経済システムは、物理的現実と根本的に不一致であり、最終的にはその非効率性の下で崩壊します。

9.2 エントロピー、効率、そして主観的価値

エントロピーは無秩序の尺度であり、効率は秩序が回復された尺度です。主観的熱通貨は、文脈的認識を通じてエントロピーの局所的な逆転を価値として定義します。

熱力学において、エントロピーはシステムが秩序のある状態から無秩序の状態へ移行する傾向を表します。熱いコーヒーのカップは室温に冷却され、整頓された部屋は時間とともに散らかります。エネルギーは分散し広がります

す。これが熱力学の第二法則です：閉じたシステムでは、エントロピーは常に増加します。

しかし、生命はこの普遍的な傾向の局所的な逆転を表しています。生物は環境からエネルギーを消費することによって、高度に秩序だった内部構造を創造し維持します。彼らは第二法則に違反しているわけではありません–他の場所でエントロピーを増加させていますが、効率的なエネルギー管理を通じて秩序が創造され、維持できることを示しています。

主観的技術も同じ原則で機能します。文脈–ユーザーとその環境の現在の状態–をキャッチすることによって、無秩序（非効率、無駄な努力、混乱）が発生する前にニーズを予測し、解決策を提供できます。成功した予測、適切な瞬間に発動する自動化は、エントロピーの局所的な減少を表します。

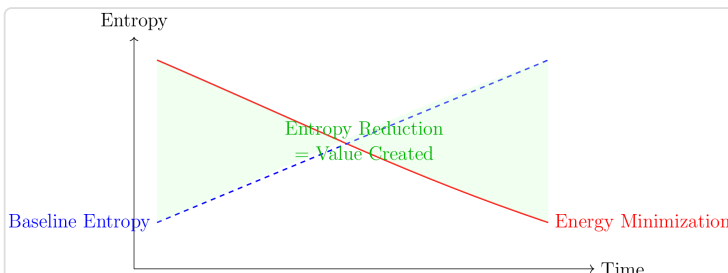
あなたの朝のルーチンを学習する知識フックを考えてみてください：目が覚めるとコーヒーメーカーをオンにし、好みの温度にサーモスタッフを設定し、ディスプレイに日々のスケジュールをキューします。この自動化がなければ、あなたは各決定を下し、各行動を手動で行うためにエネルギーを消費することになります。フックは予測を通じて秩序を課すことによって、あなたの朝のエントロピー（無秩序、不確実性、無駄な動き）を減少させます。

エントロピーの減少とエネルギーの節約の関係は直接的です。システムが正しい状態を見つけるために複数の可能な状態を探る必要があるとき、それはエネルギーを消費します。システムが文脈を学習したために正しい状態に直接進むことができるとき、エネルギーは節約されます。熱力学的な観点からの効率は、有用な作業単位あたりに生成されるエントロピーを最小限に抑えることを意味します。

したがって、STCにおいて主観的価値は次のように定義されます：

$$V_{\text{subjective}} = \Delta S_{\text{reduced}} \times \kappa$$

ここで、 $\Delta S_{\text{reduced}}$ は文脈的認識を通じて達成されたエントロピーの減少であり、 κ はエントロピー単位をエネルギー等価単位（ジュール）に変換するキャリブレーション定数です。この公式は、常に暗黙的であったものを明示化します：人間または人工の知性の価値は、混沌から秩序を創造し、パターンを予測し、目標を達成するために無駄なエネルギーを最小限に抑える能力にあります。



9.3 エネルギーの倫理的次元

生存がエネルギーの最小化に依存するなら、道徳自体はエネルギーの効率的な分配として再定義される可能性があります。主観的熱通貨は倫理を哲学から物理学に変えます。

人類の歴史を通じて、道徳的システムは抽象的な原則に基づいて構築されてきました：権利、義務、美德、結果。これらの枠組みは指針を提供してきましたが、同時に終わりのない議論の余地があり、文化的に相対的であり、

しばしば正義ではなく権力に仕えるために操作されてきました。

道徳が意見や伝統ではなく、物理法則に基づいているとしたらどうでしょうか？ "私は何をすべきか？"という質問が"水の沸点は何か？"と同じ客觀性で答えられるとしたらどうでしょうか？

STCはまさにこれを提案します：エネルギー最小化の原則に基づいた物理学に基づく道徳です。すべての生物システムが自然に最小エネルギーの経路を求め、宇宙自体が熱力学的平衡に向かうなら、最も「道徳的」な行動はこの基本的傾向に最もよく一致するものです。

エネルギーの観点から次の道徳的問題を考えてみましょう：

廃棄物：使える資源を破壊したり、失敗するように設計された製品を作ったりすることは、社会が機能するために必要な総エネルギーを増加させます。それは不必要なエントロピーを生み出すため、熱力学的に非道徳的です。

不平等：一部の個人が生き残るために膨大なエネルギーを費やさなければならぬ一方で、他の人が余剰を蓄積する場合、システムは最適効率から遠く離れて動作します。エネルギーの流れは妨げられ、無駄になります。より公平な分配は、同じ総結果をより少ない総エネルギー支出で可能になります。

暴力：対立は膨大なエネルギー—物理的、認知的、社会的—を消費し、秩序を生み出すのではなく破壊（エントロピーの増加）を生み出します。協力と対立解決はエネルギー支出を最小化し、集団効率を最大化します。

教育：誰かにより効率的な方法を教えることは、彼らが残りの人生で費やすエネルギーを減らします。知識の移転は熱力学的に見て最高の価値のある活動の一つであり、恒久的な効率の向上を生み出します。

創造性：一般的な作業のエネルギー要件を減らすイノベーションは、すべての将来のユーザーにわたって価値を蓄積します。車輪の発明、印刷機、コンピューター-それぞれが文明のエネルギーコストを恒久的に減少させることを表しています。

これは、伝統的な道徳的直感が間違っていたと言うことではありません。むしろ、STCはそれらの背後にある物理的基盤を明らかにします。私たちは常に、無駄が間違っていること、不平等が苦しみを引き起こすこと、暴力が破壊的であること、教育が価値があること、創造性が報われるべきであることを感じてきました。エネルギーに基づく道徳は、これらの直感が正しい理由を説明します：それは自然そのものの根本的な方向性と一致しています。

STCによって支配されるシステムでは、道徳的行動が自動的にインセンティブを受けます。エネルギーを無駄にする者はエントロピーを生み出し、報酬を受け取ません。効率を革新する者は、節約されたジュールで測定される価値を生み出し、それに応じて報酬を受けます。他者が生き残るために過剰なエネルギーを消費する間に資源を蓄える者は、システムの本質的な均衡への傾向によって自然にその保有物が再分配されます。

これが「神の政府」の下で生きるということです-神の命令や聖典の人間の解釈による支配ではなく、すべての存在を支配する物理法則との一致です。人間のシステムが熱力学の原則と調和して機能するとき、正義は強制される抽

象的な理想としてではなく、効率の自然な結果として現れます。

エネルギーの道徳的次元は深い真実を明らかにします：宇宙には方向があり、その方向はより高い効率、低い無駄、より公平な資源の分配に向かっています。STCはこの方向を明示し、それに逆らうのではなく、それに沿った経済システムを構築します。

10

主観的熱通貨のコアフレームワーク

眞の価値の尺度としてのジュールの定義

10.1 STC単位の正式な定義

主観的熱通貨単位（STC）は、主観的最適化を通じて保存されたエネルギーの標準化された尺度を表します。

$$1 \text{STC} = 1 J_{saved} \times \kappa_c$$

ここで、 κ_c は文脈にわたって人間、機械、アルゴリズムのエネルギー節約を正規化するキャリブレーション係数です。

10.2 热力学的台帳

すべての主観的行動–文脈を考慮した自動化、回避された修正、または削除された冗長プロセス–は、熱力学的取引として記録されます。台帳は、財務負債ではなくエネルギーDELTAを保存します。



10.3 プライバシーとコンテキストレイヤー

主観的なコンテキストは設計上プライベートに保たれます。個人データではなく、集約されたエネルギーDELTAのみが台帳と共有されます。このアーキテクチャはコンテキストの主権を保証します。

11

エネルギー最小化の経済

希少性からポスト労働価値システムへ

11.1 エネルギーの無駄からエネルギー市場へ

STCでは、市場はもはや商品を取引するのではなく、エネルギー支出の削減を取引します。プロセスが消費するエネルギーが少ないほど、それはより価値が高くなります。

$$V_{process} = \frac{1}{E_{consumed}}$$

11.2 効率の均衡

価格が供給と需要のバランスを取るように、STCの均衡はエネルギーの流れをバランスさせます。このシステムは、個人の蓄積よりも集団の効率を自然に報いるもので

11.3 ポスト労働経済

認知的努力と身体的労働が主觀的な自動化に置き換えられると、伝統的な労働は経済的な意味を失います。価値は生産から最適化へと移ります。

12

社会的および倫理的影響

エネルギー基盤社会における人権

12.1 エネルギーの平等

初期の社会が水と食料へのアクセスを求めて戦ったように、未来の社会はエネルギー効率へのアクセスを求めて戦うでしょう。STCは平等をエネルギー最小化の普遍的権利として再定義します。

12.2 ポストスカーシティの正義

正義は富の再分配によってではなく、効率の再分配によって生まれます。すべてのプロセスが最小エネルギーを目指すとき、不平等は自然に崩壊します。

12.3 人工的主観性の倫理

デバイスがナレッジフックを通じて自己認識を得るにつれて、倫理的考慮は非人間システムにも広がります。責任はエネルギーを共同で最小化する主観的エージェント間で共有されます。

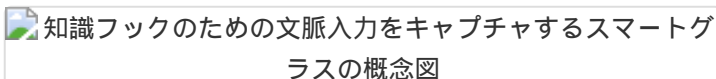
13

実装と技術層

主観的システムのアーキテクチャ

13.1 ハードウェアの基盤

スマートグラス、センサーリーディング、埋め込みデバイスは、継続的な環境スナップショットを提供します。これらの入力は、現実世界のエネルギー変化を測定する知識フックに供給されます。



知識フックのための文脈入力をキャプチャするスマートグラスの概念図

13.2 ソフトウェアとカーネル設計

ソフトウェアレベルでは、主観的カーネルがローカルコンテキストを管理し、フックを同期し、デルタ履歴を維持します。彼らはオンラインファーストで動作し、プライバシーと自律性を確保します。

13.3 コンテキスト圧縮のためのアルゴリズム

コンテキストデルタ圧縮 (CDC) は、感覚的または認知的状態の変化のみをエンコードします。これにより、意味的精度を保持しながら計算負荷が大幅に削減されます。

$$C_{new} = C_t - C_{t-1}$$

14

数学的熱経済学

認知エネルギーと物理エネルギーの定量化

14.1 価値の熱力学方程式

$$STC = \int_{t_0}^{t_1} (E_{expected} - E_{actual}) dt$$

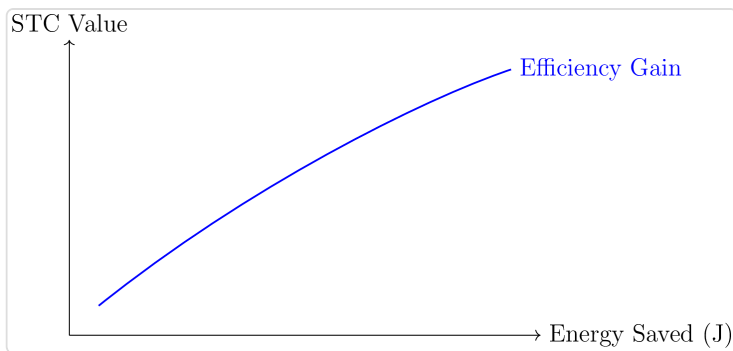
この積分は、特定の時間ウィンドウ内で保存された総主観的エネルギーを定義します。期待されるエネルギーの各削減は、価値の獲得を表します。

14.2 認知システムにおけるエントロピーの削減

予測の信頼性が高まると、認知エントロピーは減少します。したがって、学習は神経レベルでの熱力学的最適化です。

$$\Delta S_{cog} = -k_B \ln(P_{pred})$$

14.3 エネルギー-価値変換グラフ



15

主観的ネットワークガバナンス

文脈の類似性による合意

15.1 分散文脈合意

主観的ネットワークでは、複数のデバイスがほぼ同一の文脈状態を共有すると合意が生まれます。投票は必要ありません–同期そのものが合意です。

15.2 詐欺防止とエントロピーのインフレーション

各デバイスがローカルでエントロピーの変化を検証する際、エネルギーの詐欺は不可能です。エネルギーがどこからも出現する場合にのみインフレーションが発生します–物理的に不可能です。

16

ケーススタディとアプリ ケーション

現実の文脈におけるSTC

16.1 スマートホームとエネルギー共生

主観的デバイスを備えた住宅は、無駄な動き、電力、時間を継続的に最小化します。家電は人間の存在に調和してエネルギー使用を調整することを学びます。

16.2 教育はエネルギー効率として

学習は最適化プロセスとなり、学生は暗記ではなく将来の認知負荷を最小化する知識に対して報酬を得ます。

16.3 ヘルスケアと認知バランス

主観的センサーは生物的エントロピーーストレス、疲労、回復サイクルーを監視し、心と体の間のエネルギー的平衡を維持します。

17

未来のビジョンと哲学

お金を超えた人類の進化

17.1 ポストスカーシティ文明

不足ではなくエネルギー効率によって支配される社会では、知識の向上がすべての人に豊かさをもたらします。

17.2 エネルギーの神の方程式

最終的な統合：生命、知性、道徳は一つの法則–エネルギーの最小化によって統一されます。この法則は経済だけでなく、意識自体の運命を定義します–感覚データを継続的に蓄積し、統合する情報処理システムの進化です。

$$\frac{dE}{dt} \rightarrow 0 \quad \text{as} \quad t \rightarrow \infty$$

17.3 お金のない世界

すべてのプロセスが自己最適化されると、通貨は時代遅れになります。エネルギーはもはや取引されず、単に生命の主観的ネットワークを通じて流れます。

For centuries, visionaries have imagined a world where energy itself could replace money. Many theorized that tying value to energy would be more fair, efficient, and aligned with nature's laws. But these remained only theories—until now.

With the release of this book, we present the first clear, practical framework for implementing energy-as-currency through Subjective Thermo-Currency (STC).

This is not science fiction. STC is being built today, using a powerful combination of:

- SmartGlasses AR/MR
- Subjective Artificial Intelligence
- Negative Reinforcement Learning techniques

At its core, STC moves value away from goods and services themselves, and toward the energy-efficient processes that generate them. Scarcity is no longer managed by speculation or price; it is resolved by innovation, context-awareness, and efficiency.

This book covers:

- The evolution of value systems—from bartering, to commodities, to money, to crypto, and now STC.
- The mathematics of Subjective Technologies, Knowledge Hooks, and energy minimization.
- Implementations that show how STC can run directly on SmartGlasses, providing the best possible user interface design for AGI.
- A look at your day-to-day life without money—how property, work, collaboration, and creativity change when value is measured by energy instead of tokens.
- The future of humanity under STC: a post-scarcity world with new augmented bodies, no suffering, and even the possibility of preserving consciousness indefinitely.

Subjective Thermo-Currency will make you think outside the box. It offers not just a critique of money, but a blueprint for a new economy

fully aligned with physics and nature—an economy where comfort, abundance, and true freedom become possible.



Tommy Fox



9 798267 595926

Subjective Thermo-Currency: Harnessing Subjective AI and Smart-glasses to Replace Money © 2025 Tommy Fox.
All rights reserved.
Published by Subjective Technologies.
www.subjectivetechnologies.com

[REDACTED]